

UC-NRLF



\$B 650 571



COLLEGE OF AGRICULTURE
DAVIS, CALIFORNIA

L. cuatrecasas

Biochemische Zeitschrift.

Herausgegeben von

**E. Buchner-Berlin, P. Ehrlich-Frankfurt a. M., C. von Noorden-
Wien, E. Salkowski-Berlin, N. Zuntz-Berlin**

unter Mitwirkung von

**L. Asker-Bern, J. Bang-Lund, G. Bertrand-Paris, A. Bickel-Berlin, F. Bismuthal-Berlin,
Chr. Bohr-Kopenhagen, F. Bottazzi-Neapel, G. Bredig-Heidelberg, A. Darig-Wien, F. Ehr-
lich-Berlin, G. Embden-Frankfurt a. Main, S. Flexner-New York, S. Fränkel-Wien, E. Freund-
Wien, G. Galeotti-Neapel, H. J. Hamburger-Groningen, A. Hoffer-Berlin, M. Jacoby-Heidel-
berg, R. Robert-Rostock, M. Kumagawa-Tokyo, F. Landell-Buenos Aires, L. Langstein-Berlin,
P. A. Levene-New York, L. von Liebermann-Budapest, J. Loeb-Berkeley, A. Loewy-Berlin,
A. Magnus-Levy-Berlin, J. A. Mandel-New York, L. Marchlewski-Krakau, P. Mayer-Karlsbad,
L. Michaelis-Berlin, J. Morgenroth-Berlin, W. Nernst-Berlin, R. Pfeiffer-Königsberg, Ch. Porcher-
Lyon, F. Kochmann-Breslau, S. Salaskin-St. Petersburg, N. Sieber-St. Petersburg, M. Sieg-
fried-Leipzig, Ed. H. Skraup-Wien, S. P. L. Sørensen-Kopenhagen, E. H. Starling-London,
F. Tangi-Budapest, H. v. Tappiner-München, H. Thoms-Berlin, J. Traube-Charlottenburg,
A. J. J. Vandevelde-Gent, A. Wohl-Danzig, J. Wohlgenuth-Berlin.**

Redigiert von

C. Neuberg-Berlin.

Elfter Band.

Mit 4 Tafeln.



Berlin.

**Verlag von Julius Springer.
1908.**

UNIVERSITY OF CALIFORNIA
LIBRARY
COLLEGE OF AGRICULTURE
DAVIS

Druck von Oscar Brandstetter in Leipzig.

Inhaltsverzeichnis.

	Seite
Pekelharing, C. A. Ein paar Bemerkungen über Fibrinferment . . .	1
Eljkmán, C. Die Überlebungskurve bei Abtötung d. Bakterien durch Hitze	12
Baumgarten, P. v. Die osmologische Auffassung der Hämolyse u. Bakteriolyse	21
Rascken, Dodo und Robert Tigerstedt. Zur Kenntnis der Temperatur im menschlichen Magen	36
Zuntz, N. und J. Plesch. Methode zur Bestimmung der zirkulierenden Blutmenge beim lebenden Tiere	47
Vandeveldt, A. J. J. Über Milchzucker zerstörende Enzyme in der Milch	61
Bredig, G. und E. Wilke. Erregung und Beeinflussung katalytischer Pulsationen durch elektrische Ströme	67
Korányi, A. v. Ähnlichkeiten und Unterschiede zwischen Seifen und Komplementen	82
Grünhut, L. Die schweflige Säure in biochemischer Beziehung . . .	89
Höber, Rudolf und Felicia Kempner. Beobachtungen über Farbstoffaus- scheidung durch die Nieren	105
Leersum, E. C. van. Über die Ausscheidung von Aminosäuren während der Schwangerschaft und nach der Entbindung	121
Strauß, H. Über einige Ergebnisse physikalisch-chemischer Studien über den Wasserstoffwechsel	137
Loeb, Jacques. Über den Unterschied zwischen isosmotischen und isotonischen Lösungen bei der künstlichen Parthenogenese . . .	144
Arrhenius, Svante. Hämolytische Versuche	161
Herzog, R. O. und H. Kasarnowski. Über die Diffusion von Kolloiden II.	172
Hekma, E. Ein Beitrag zur Verwendung von citronensaurem Natron im Dienste von Untersuchungen über Phagocytose	177
Famulener, L. W. und Thorvald Madsen. Die Abschwächung der Anti- gene durch Erwärmung.	186
Samojloff, A. Über den Einfluß der Gerinnung des Blutes auf die Leitfähigkeit desselben	210
Bayliss, W. M. Über die Permeabilität der Froschhaut mit besonderer Berücksichtigung der Wirkung von Kaliumionen und der Frage der irreziproken Durchlässigkeit	226
Hemmeter, John C. Die Wirkung der Totalexstirpation sämtlicher Spei- cheldrüsen auf die sekretorische Funktion des Magens beim Hunde	238
Polimanti, Osw. Physikalisch-chemische Veränderungen einiger nor- malen Flüssigkeiten während ihres Fäulnisprozesses	260

Richet, Charles. Über die Wirkung schwacher Dosen auf physiologische Vorgänge und auf die Gärungen im besonderen	273
Mendel, Lafayette B. Der Einfluß der Nahrung auf die chemische Zusammensetzung des Tierkörpers	281
Sabbatani, L. Physikalisch-chemische Betrachtungen über die pharmakologische und toxische Wirkung von Quecksilber	293
Buglia, G. Veränderungen der Oberflächenspannung des Blutserums unter dem Einfluß von verschiedenen Elektrolyten	311
Bottazzi, Fil. und A. Japelli. Physiko-chemische Eigenschaften des Blutes und der Lymphe nach Transfusion homogenen Blutes	331
Dekhuysen, M. C. Ein Kryoskop	346
Foa, Carlo. Eine Methode graphischer Registrierung einiger Gärungsvorgänge	382
Neuberg, C. Lipolyse. Agglutination und Hämolyse. IV.	400
Liebermann, L. v. Können Antigene Amboceptoren binden?	405
Pick, E. P. und E. Pribram. Beiträge zur Kenntnis ätherempfindlicher und ätherlöslicher Substanzen des Blutserums und ihr Einfluß auf einige Immunitäts-Reaktionen	418
Hamburger, H. J. Permeabilität von Membranen in zwei entgegengesetzten Richtungen	443
Herlitzka, Amedeo. Calorimetrische Untersuchungen über die Eiweißfällung	481
Grigoriew-Manoloff, Olga. Zur Frage der biochemischen Eigenschaften des Bacillus osteomyelitis	493
Bang, Ivar. Kobragift und Hämolyse. I.	520
Bang, Ivar. Zur Methodik der Zuckerbestimmung	538
Freund, Ernst. Zur Frage des Albumosengehaltes des Blutes	541
Traube, J. Berichtigung	542

Ein paar Bemerkungen über Fibrinferment.

Von

C. A. Pekelharing, Utrecht.

Aus den 1905 von Morawitz¹⁾ und 1907 von Leo Loeb²⁾ gegebenen Zusammenstellungen geht hervor, daß die, auch in den letzten Jahren von mehreren Forschern mit Kraft fortgesetzten Bemühungen das verwickelte Problem der Gerinnung des Blutes noch keineswegs zu der wünschenswerten Klarheit gebracht haben.

Eine der Schwierigkeiten, auf welche man bei der Bearbeitung der diesen Gegenstand betreffenden Literatur stößt, liegt darin, daß vielfach aus gewissen Beobachtungen auf die Existenz von Gerinnung verursachenden, fördernden, hemmenden oder verhindernden Stoffen geschlossen wird, und daß diese hypothetischen Stoffe, je nach der Ansicht des Beobachters, mit Namen belegt werden, obgleich vorläufig gar keine Aussicht da zu sein scheint, die supponierte Existenz tatsächlich nachzuweisen. So sind zahlreiche neue Namen entstanden, welche, statt dem Zweck, einer scharfen Begriffsbestimmung zu entsprechen, vielmehr verwirrend wirken und es dem Forscher schwierig machen, bei der ohnehin schon nicht leicht zu bewältigenden Literatur, die Arbeit anderer genau zu verfolgen und in sich aufzunehmen.

Daß in gewissen Fällen wenigstens neue Stoffe ohne Notwendigkeit supponiert worden sind, werde ich mit ein paar Beispielen nachzuweisen versuchen.

Bei einigen schon vor längerer Zeit von mir beschriebenen, die Gerinnung betreffenden Versuchen, bin ich von der Auf-

¹⁾ Ergebn. d. Physiol. 4, 307.

²⁾ Biochem. Centralbl. 6, 829, 889.

fassung ausgegangen, daß es nötig war, die verschiedenen bei der Gerinnung des Blutes in Betracht kommenden Faktoren so viel wie möglich gesondert zu erforschen und dazu für die Gerinnungsversuche vor allem nicht nur, statt Blutplasma oder andere mehr oder weniger unbekannte Stoffe enthaltende „proplastische“ Lösungen, möglichst nach Hammarsten gereinigtes Fibrinogen, sondern auch möglichst gereinigtes Fibrin-ferment zu gebrauchen. Auf diesem Wege weiter arbeitend, gelangte ich zu dem Schluß, das der von Alexander Schmidt erst Fibrin-ferment, später Thrombin genannte Stoff aus der Einwirkung von Kalksalzen auf Nucleoproteide hervorgeht und daß in dieser Weise auch der von Wooldridge hervor-gehobene Einfluß von Gewebsextrakten auf die Gerinnung des Blutes erklärt werden kann.

Wird aber die Wirkung von Gemengen wie Blutserum oder Gewebsextrakt auf Fibrinogenlösungen oder sogar auf durch mitunter eingreifende Behandlung gegen Gerinnung geschütztes Blutplasma geprüft, so treten neue Faktoren ins Spiel, deren Bedeutung, so viel wie möglich ist, nachgeforscht werden muß, bevor neue Hypothesen aus den Beobachtungen abgeleitet werden dürfen.

Schon A. Schmidt fand — und alle späteren Forscher haben diesen Befund bestätigen können —, daß Blutserum beim Stehen an der Luft allmählich die Fähigkeit, eine Fibrinogenlösung gerinnen zu machen, verliert. Es gelang Schmidt aber die Wirksamkeit von dialysiertem, unwirksam gewordenem Serum wiederherzustellen. Dazu wurde es mit verdünnter Natronlauge versetzt und nach $\frac{1}{4}$ bis $\frac{1}{2}$ Stunde wieder neutralisiert. Bei Pferdeserum erhielt er den kräftigsten Erfolg durch Zusatz von 0,15 ccm $\frac{N}{10}$ -Natronlauge auf 1 ccm Serum.¹⁾ Später teilte er mit, daß durch Stehen geschwächtes Pferdeserum nicht aktiv wurde, wenn zu 1 ccm mit 25 ccm Wasser verdünntem Serum 0,75 ccm $\frac{N}{5}$ -NaHO hinzugesetzt war, wohl aber wenn zur Verdünnung nicht Wasser, sondern 0,6%ige Kochsalzlösung gebraucht war.²⁾

Die Möglichkeit, Blutserum durch vorübergehende Ände-

¹⁾ Zur Blutlehre, Leipzig 1892, S. 210.

²⁾ Weitere Beiträge zur Blutlehre, Wiesbaden 1895, S. 66.

rung der Reaktion zu aktivieren, ist von Morawitz näher untersucht worden.¹⁾ Er fand, daß das geschwächte Serum nicht nur durch Alkali-, sondern auch durch Säurezusatz mit nachfolgender Neutralisation aktiviert wird, daß aber die Alkaliwirkung kräftiger ist als die Säurewirkung.

Ebenso wie Schmidt nimmt Morawitz ohne weiteres an, daß diese Aktivierung des Blutserums einer Neubildung von Fibrinferment zuzuschreiben sei. Da ein Zusatz von Chlorcalcium zu dem geschwächten Serum zwar eine gewisse, aber bei weitem nicht so beträchtliche Verstärkung der Fermentwirkung hervorrief, kommt er zu dem Schluß, daß es zwei verschiedene Mutterstoffe von Fibrinferment gibt, erstens das Zymogen, welches von Kalksalzen in Ferment umgesetzt wird, und zweitens eine Substanz, welche infolge von vorübergehender Berührung mit Alkali oder Säure Ferment liefert. Den von Kalk aktivierbaren Stoff nennt Morawitz α -Proferment, den von Alkali oder Säure aktivierbaren β -Proferment oder auch Metathrombin.²⁾

Bei einer Flüssigkeit von so komplizierter Zusammensetzung wie das Blutserum muß aber eine andere Möglichkeit in Erwägung gezogen werden, nämlich diese, daß das Serum kein Zymogen enthält, sondern nur eine einzige Art von Fibrinferment, dessen Wirkung von beim Stehen des Serums an der Luft in immer größerer Menge auftretenden Stoffen gehindert wird.

Ich werde einige Beobachtungen mitteilen, welche zugunsten dieser Möglichkeit sprechen.

Die Wirksamkeit von aktiviertem Serum sinkt schneller herab als diejenige desselben, aber nicht aktivierten Serums. Werden dann beide vorübergehend alkalisch gemacht, so bleibt das schon vorher einmal aktivierte beim ändern in seiner Fermentwirkung zurück.

Zum Beispiel:

Von 1 Tag altem Pferdeserum, dessen Wirksamkeit durch CaCl_2 -Zusatz nicht nennenswert verstärkt wird,

A. 15 ccm vermischte mit 6 ccm $\frac{n}{4}$ -NaHO, nach 35 Min. mit 6 ccm $\frac{n}{4}$ -HCl.

¹⁾ Beiträge z. chem. Physiol. u. Pathol. 4, 331, 1904.

²⁾ Ergebn. d. Physiol. 4, 367.

B. 15 ccm vermischt mit 12 ccm $\frac{n}{8}$ -NaCl.

Von beiden unter Zusatz von Thymolkrystallen bei Zimmertemperatur aufbewahrten Flüssigkeiten wird, mit einer reinen Fibrinogenlösung, die Fermentwirkung geprüft.

Sogleich A 2 ccm + 5 ccm Fibrinogen gerinnt in 4 Min.

	B 2	„	+ 5	„	„	„	„	45	„
Nach 1 Tag	A 2	„	+ 5	„	„	„	„	8	„
	B 2	„	+ 5	„	„	„	„	40	„
Nach 2 Tagen	A 2	„	+ 5	„	„	„	„	15	„
	B 2	„	+ 5	„	„	„	„	40	„

Jetzt wird von A und B je 5 ccm vermischt mit 2 ccm $\frac{n}{4}$ -NaHO, nach 30 Min. mit 2 ccm $\frac{n}{4}$ -HCl.

A 4 ccm + 5 ccm Fibrinogen gerinnt in 11 Min.

B 4 „ + 5 „ „ „ „ 3 „

Was von den ursprünglichen Flüssigkeiten A und B noch übrig ist, wird noch einige Tage aufbewahrt. 8 Tage nach dem Aktivieren verursacht B dreimal schneller Gerinnung einer Fibrinogenlösung als A.

Bei der Morawitzschen Auffassung wäre dies durch die Annahme zu erklären, daß beim Stehen an der Luft das α -Ferment allmählich seine Wirkung verliert, das β -Proferment aber unverändert bleibt. Alkalizusatz veranlaßt dann die Entstehung von β -Ferment, das aber, nach Morawitz, nach dem Neutralisieren noch schneller als das α -Ferment wirkungslos wird. Der Zusatz von Natronlauge veranlaßt aber auch Verlust von Ferment. Eine in der von Schmidt angegebenen Weise mittels Alkohol aus Blutserum bereitete Fermentlösung wird durch Zusatz von Natronlauge und nachfolgende Neutralisation nicht nur nicht verstärkt, sondern entschieden geschwächt. Eine solche Lösung enthält, nach Morawitz, sowohl α - als β -Ferment, aber kein Proferment. Das schon einmal aktivierte Serum hat also, zur Lieferung von β -Ferment, einen beträchtlichen Teil seines Proferments abgeben müssen und hat dabei, infolge der Alkaliwirkung, einen Teil des schon vorhandenen Ferments verloren. Beim Stehen an der Luft verliert es seine Wirksamkeit schneller als das unveränderte Serum B, welches in diesem Fall seine Wirksamkeit freilich besser wie gewöhnlich behielt. Jetzt konnte, durch Wiederholung des Alkalizusatzes, A zwar noch wieder verstärkt werden, mit nicht so

gutem Erfolg aber als das im vollen Besitz seines Proferments gebliebene Serum B.

Der Unterschied wird größer, wenn das Serum durch Erwärmen auf Körpertemperatur beträchtlich geschwächt ist. Wiederholt habe ich gefunden, daß es dann, nach Alkalizusatz und nachfolgender Neutralisation, statt aktiviert zu sein, seine Wirksamkeit völlig verloren hatte.

Von 6 Tagen unter Thymolzusatz bei Zimmertemperatur aufbewahrtes Rindsserum wird ein Teil 4 Stunden auf 38°C erwärmt.

A 5 ccm bei Zimmertemperatur aufbewahrtes Serum
+ 4 ccm $\frac{1}{8}$ -NaCl.

B 5 cm erwärmtes Serum + 4 ccm $\frac{1}{8}$ -NaCl.

C 5 ccm erwärmtes Serum + 2 ccm $\frac{1}{4}$ -NaHO, nach
30 Min. + 2 ccm $\frac{1}{4}$ -HCl.

1 ccm A mit 3 ccm Fibrinogen in 10 Min. geronnen.

1 „ B „ 3 „ „ am folgenden Morgen geronnen.

1 „ C „ 3 „ „ gerinnt nicht.

Dauert die Einwirkung des Alkali etwas länger als eine halbe Stunde, so kann sogar noch ziemlich kräftig wirksames Serum dadurch inaktiv gemacht werden.

Von 2 Stunden lang auf 38°C erwärmtem Rinderserum wird vermischt:

A 5 ccm mit 2 ccm $\frac{1}{4}$ -NaHO, nach 45 Min. mit 2 ccm
 $\frac{1}{4}$ -HCl.

B 5 ccm mit 4 ccm $\frac{1}{8}$ -NaCl.

2 ccm von A mit 3 ccm Fibrinogen gerinnt nicht.

2 „ „ B „ 3 „ „ „ in 28 Min.

Auch dies wäre bei der Morawitzschen Auffassung noch wohl zu erklären, zwar nicht ohne eine neue Hypothese, daß nämlich infolge des Erwärmens auf Körpertemperatur nicht nur Ferment, sondern auch β -Proferment verschwindet. Außerdem ist es nicht ohne Schwierigkeit, anzunehmen, daß Alkali die Bildung von Ferment verursacht, indem es sich eben für Ferment so schädlich zeigt.

Vielmehr auf der Hand liegend scheint mir die zweite, soeben genannte Möglichkeit. Dabei wird angenommen, daß das Serum Stoffe enthält, welche der Gerinnung des Fibrinogen entgegenwirken und beim Stehen an der Luft, zumal bei Körper-

temperatur, zunehmen, durch Einwirkung von Alkali oder von Säure aber unwirksam gemacht werden. Die Schwächung der Fermentwirkung des Serums beim Stehen bei Zimmertemperatur und in stärkerem Maße bei Körpertemperatur würde also einerseits von der Zunahme dieser Stoffe, andererseits von dem Verschwinden von Ferment herrühren.

Daß eine Schmidtsche Fibrinfermentlösung bei Körpertemperatur ihre Wirksamkeit viel schneller verliert als bei 10 bis 15° C, ist wohl von jedem, der sich mit Untersuchungen über diesen Stoff beschäftigt hat, beobachtet worden. Man muß also wohl annehmen, daß bei dem im Blutserum gelösten Ferment dasselbe stattfindet. Es läßt sich aber auch nachweisen, daß das Serum, zumal wenn es einige Zeit auf Körpertemperatur erwärmt worden ist, die Wirkung des Fibrinferments hindernde Bestandteile enthält.

Zum Beispiel:

Von frischem Rinderserum ein Teil auf 38° C 16 Stunden erwärmt.

1 ccm nicht erwärmtes Serum mit 5 ccm Fibrinogen gerinnt in 30 Min.

1 ccm erwärmtes mit 1 ccm nicht erwärmtem Serum und 5 ccm Fibrinogen gerinnt in 50 Min.

A frisches Serum.

B 9 Tage altes Serum.

C 9 Tage altes Serum 18 Stunden auf 38° C erwärmt.

1 ccm von A + 3 ccm Fibrinogen gerinnt in 25 Min.

1 „ „ B + 3 „ „ „ „ 62 „

1 „ „ C + 3 „ „ „ „ 11 Std.

1 „ „ A + 1 ccm von C + 3 „ „ „ „ 45 Min.

Das sogenannte Aktivieren des Serums hebt aber diese hindernde Wirkung wieder auf, auch dann, wenn infolge der schädigenden Einwirkung des Alkali auf das Ferment, das Serum das Vermögen, Gerinnung hervorzurufen, nicht wieder erhält.

Rinderserum 2 Std. mit Thymol auf 38° C erwärmt.

A 5 ccm Serum + 2 ccm $\frac{n}{4}$ -NaHO, nach 30 Min. + 2 ccm $\frac{n}{4}$ -HCl.

B 5 ccm Serum + 4 ccm $\frac{n}{8}$ -NaCl.

3 ccm Ferment (Schmidt) + 2 ccm $\frac{n}{8}$ -NaCl + 5 ccm Fibrinogen gerinnt in 35 Min.

3 ccm Ferment (Schmidt) + 2 ccm A + 5 ccm Fibrinogen gerinnt in 20 Min.

3 ccm Ferment (Schmidt) + 2 ccm B + 5 ccm Fibrinogen gerinnt in 55 Min.

Rinderserum 18 Stunden mit Thymol auf 38° C erwärmt.

A 5 ccm Serum + 2 ccm $\frac{n}{4}$ -NaHO, nach 30 Min. + 2 ccm $\frac{n}{4}$ -HCl.

B 5 ccm Serum + 4 ccm $\frac{n}{8}$ -NaCl.

3 ccm Ferment (Schmidt) + 2 ccm $\frac{n}{8}$ -NaCl + 5 ccm Fibrinogen gerinnt in 30 Min.

3 ccm Ferment (Schmidt) + 2 ccm A + 5 ccm Fibrinogen gerinnt in 30 Min.

3 ccm Ferment (Schmidt) + 2 ccm B + 5 ccm Fibrinogen gerinnt nicht.

3 ccm Wasser + 2 ccm A + 5 ccm Fibrinogen gerinnt nicht.

Mehrere Male, jedoch nicht ohne Ausnahmen, fand ich, daß das gerinnungswidrige Vermögen von Serum, welches lange bei Zimmertemperatur aufbewahrt oder einige Stunden auf Körpertemperatur erwärmt worden war, nach kräftiger Dialyse abnahm oder sogar verschwand. Auf verschiedene Weisen habe ich versucht, die Gerinnung hindernden Stoffe aus auf Körpertemperatur erwärmtem Serum zu isolieren, ohne aber dabei meinen Zweck zu erreichen. Ofters hatte das erwärmte Serum, auch nach der Behandlung mit Alkali, eine fibrinolytische Wirkung, so daß die Gerinnung, wenn sie auch nicht mehr durch dieses Serum verzögert wurde, dennoch unvollkommen blieb und das Gerinnsel nach einiger Zeit sich wieder löste.

Der gerinnungshemmende Einfluß von Blutserum ist von Morawitz schon nachgewiesen worden. Dieser Forscher kommt aber zu dem Schluß, daß dieser Einfluß beim Stehen vom Serum an der Luft geringer wird.¹⁾ Es scheint mir aber, daß die mitgeteilten Versuche diesen Schluß nicht genügend rechtfertigen. Zu je 15 ccm Fibrinogenlösung und 10 Tropfen aktiviertem Serum wurden hinzugesetzt: a) 5 ccm NaCl-Lösung,

¹⁾ Beiträge z. chem. Physiol. u. Pathol. 4, 416.

b) 5 ccm frisches, nicht aktiviertes Serum und c) 5 ccm 5 Tage altes Serum; a war nach 20 Min., b nach $2\frac{1}{2}$ Stunde, c nach etwa 1 Stunde geronnen. Dabei wird aber die Wirkung, welche das 5 Tage alte Serum in frischem Zustand besaß, nicht erwähnt. Der Unterschied zwischen dem einen Serum und dem anderen ist zu groß für einen unmittelbaren Vergleich. Es ist nicht ohne weiteres anzunehmen, daß das von Morawitz im zitierten Versuch gebrauchte, 5 Tage alte Serum nicht früher ein geringeres gerinnungshemmendes Vermögen gehabt haben wird.

Ich glaube also aus meinen Versuchen folgern zu dürfen, daß die Annahme, daß das Blutserum neben dem Fibrinferment noch irgend ein Proferment enthält, nicht begründet ist. Die Möglichkeit, Blutserum mittels Alkali zu „aktivieren“, kann durch die Entfernung von Stoffen, welche die Gerinnung hindern, erklärt werden, während der schädliche Einfluß von Alkali und von längerem Aufbewahren bei neutraler Reaktion auf das Fibrinferment die Erklärung gibt, daß das „Aktivieren“ nicht beliebig oft wiederholt werden kann.

Meine zweite Bemerkung betrifft jene Bestandteile von Gewebsextrakten, welche, mit Kalksalzen in Berührung gekommen, imstande sind, Fibrinogen gerinnen zu machen, die Koaguline von Loeb, welche ich als Nucleoproteide betrachten zu dürfen glaube.

Einige Forscher nehmen an, daß diese Bestandteile durch Behandlung mit Kalksalzen noch keine mit dem Fibrinferment gleichzustellende Substanz liefern, dazu aber noch einen anderen Bestandteil des Blutplasmas oder des Blutserums brauchen.

Auch in dieser Hinsicht hat insbesondere Morawitz seine Ansicht genau formuliert.¹⁾ Gewebsextrakte enthalten, nach Morawitz, eine Substanz, Thrombokinas, welche mit Hilfe von Kalksalzen aus einem, von ihm Thrombogen genannten Bestandteil des Blutplasmas, Thrombin, Fibrinferment bildet.

Diese Hypothese ist aus dem Befund abgeleitet, daß es nicht immer gelingt, eine Fibrinogenlösung durch Zusatz von Gewebsextrakt, auch in Gegenwart von Kalksalzen, zur Gerinnung zu bringen. Insbesondere war dies der Fall mit

¹⁾ Arch. f. klin. Med. 79, 1 und Ergebn. d. Physiol. 4, 371.

Gänseleberextrakten, welche doch die Gerinnung von Blutplasma der Gans und von anderen Tieren, wenn wenigstens die Kalksalze daran nicht entzogen waren, kräftig förderten.

Die Annahme von zwei neuen Stoffen, Thrombokinasen und Thrombogen, deren Existenz in keiner anderen Weise nachgewiesen worden ist, scheint mir auf diesem Grund nicht gerechtfertigt.

Im allgemeinen verursachen mit Chloroformwasser bereitete Extrakte von allerhand Organen, in Gegenwart von Kalksalzen in nicht zu großer Menge, ganz sicher Gerinnung von möglichst gereinigten Fibrinogenlösungen. Und ohne Ausnahme gelingt es meiner Erfahrung nach, daraus durch Behandlung mit Essigsäure Nucleoproteide darzustellen, welche, mittels Alkali bis zur neutralen Reaktion in Wasser gelöst, mit Hilfe von Kalk Fibrinogen gerinnen machen. Hinsichtlich ihrer Wirkung auf Fibrinogen unterscheiden diese Stoffe sich nicht von dem Fibrinferment des Blutserums, auch nicht in bezug auf den schädlichen Einfluß von Erwärmen auf Körpertemperatur und von Alkali.

300 g Milzpulpa des Rindes wird mit 600 ccm Chloroformwasser angerührt, am folgenden Tage zentrifugiert. Die Flüssigkeit durch zusammengepreßten Brei von Filtrierpapier filtriert. Ein Teil des Filtrats 16 Stunden auf 38° C erwärmt. 1 ccm des Filtrats + 2 Tr. CaCl_2 1% + 5 ccm Fibrinogen gerinnt in 25 Min.

1 ccm des erwärmten Filtrats + 2 Tr. CaCl_2 1% + 5 ccm Fibrinogen gerinnt in 4 Stunden.

Ein Teil des Filtrats mit Essigsäure angesäuert, zentrifugiert. Der Niederschlag mittels sehr wenig Kalilauge in Wasser gelöst, wieder mit Essigsäure ausgefällt und zentrifugiert. Der Niederschlag wieder in verdünnter Kalilauge bis zu neutraler Reaktion gelöst. Ein Teil dieser Lösung 3 Stunden auf 38° C erwärmt.

1 ccm Nucleoproteidlösung nicht erwärmt + 2 Tr. 1% CaCl_2 + 3 ccm Fibrinogen, Gerinnungszeit 20 Min.

1 ccm Nucleoproteidlösung erwärmt + 2 Tr. 1% CaCl_2 + 3 ccm Fibrinogen, Gerinnungszeit 45 Min.

Von der erwärmten Nucleoproteidlösung je 5 ccm vermischt.

A mit 2 ccm $\frac{n}{4}$ -NaHO, nach 30 Min. mit 2 ccm $\frac{n}{4}$ -HCl.

B mit 4 ccm $\frac{n}{8}$ -NaCl.

2 ccm von A + 2 Tr. 1% CaCl_2 + 3 ccm Fibrinogen, nach
24 Stunden nicht geronnen.

2 ccm von B + 2 Tr. 1% CaCl_2 + 3 ccm Fibrinogen, nach
40 Min. geronnen.

Wenn ein Gewebsextrakt, auch in Gegenwart von Kalksalzen, eine Fibrinogenlösung nicht oder erst nach längerer Zeit gerinnen macht, so darf daraus noch nicht gefolgert werden, daß dasselbe gerinnungserregendes Enzym nicht oder nur in ganz geringer Menge enthält. Die Möglichkeit, daß das Extrakt auch gerinnungshemmende Stoffe enthält, darf nicht außer Betracht gelassen werden. Daß diese Möglichkeit tatsächlich verwirklicht sein kann, geht aus dem folgenden Beispiel hervor.

Die Leber eines soeben getöteten Kaninchens wird durch Einspritzen von 0,9% Kochsalzlösung möglichst von Blut befreit, dann zerhackt und mit Wasser, unter Zusatz von einigen Tropfen Chloroform, verrieben. Am folgenden Tag wird die Flüssigkeit abzentrifugiert. Ein Teil der noch ein wenig trüben Flüssigkeit wird durch zusammengepreßten Brei von Filtrierpapier abgesaugt. 120 ccm des nur durch die Gegenwart von Glykogen noch opaleszierenden Filtrats wird mit Essigsäure angesäuert. Der Nucleoproteidniederschlag wird abzentrifugiert und unter Zusatz von Natronlauge bis zu neutraler Reaktion in 120 ccm Wasser gelöst.

2 ccm der zentrifugierten Flüssigkeit + 2 Tr. 1% CaCl_2 + 5 ccm
Fibrinogen gerinnt in 35 Min.

2 ccm der filtrierten Flüssigkeit + 2 Tr. 1% CaCl_2 + 5 ccm
Fibrinogen gerinnt in 20 Min.

2 ccm der Nucleoproteidlösung + 2 Tr. 1% CaCl_2 + 5 ccm
Fibrinogen gerinnt in 14 Min.

Das Leberextrakt enthielt also gerinnungshemmende Stoffe. Die kürzere Gerinnungszeit bei Anwendung der Nucleoproteidlösung fällt um so mehr ins Gewicht, wenn in Betracht genommen wird, daß die Essigsäurefällung wohl nicht vollständig war und also diese Lösung weniger Nucleoproteid (und mitgefällte Stoffe) enthält als die filtrierte Flüssigkeit.

Die Vogelleber scheint an Stoffen, welche der Gerinnung entgegenwirken, reicher zu sein.

28 g Leber eines durch Verbluten getöteten Hahnes zerkhackt und unter Zusatz von einigen Tropfen Chloroform mit 60 ccm Wasser verrührt, am folgenden Tag zentrifugiert und durch zusammengepreßten Papierbrei abgesaugt. 30 ccm des opaleszierenden Filtrats mit Essigsäure versetzt und zentrifugiert. Der Niederschlag mit Natriumcarbonat bis zu neutraler Reaktion in 30 ccm Wasser aufgelöst.

1 ccm des filtrierten Extraktes + 2 Tr. 1% CaCl_2 + 5 ccm Fibrinogen, Gerinnung nach 24 Stunden unvollkommen.

1 ccm der Nucleoproteidlösung + 2 Tr. 1% CaCl_2 + 5 ccm Fibrinogen, Gerinnung nach 2 Stunden vollkommen.

1 ccm des filtrierten Extraktes + 2 ccm Ferment (Schmidt) + 2 ccm Fibrinogen, Gerinnung nach 40 Min.

1 ccm Wasser + 2 ccm Ferment (Schmidt) + 2 ccm Fibrinogen, Gerinnung nach 20 Min.

Das Vogelleberextrakt enthält also mit Kalk Fibrinferment liefernde Nucleoproteide, daneben aber gerinnungshemmende Stoffe.

Bei diesen und allen derartigen Versuchen stellte es sich immer wieder heraus, daß ohne Kalk weder die Gewebsextrakte noch die daraus bereiteten Nucleoproteide Gerinnung von Fibrinogen zu verursachen imstande sind.

Wenn also irgend ein Gewebsextrakt zwar Blutplasma, nicht aber eine gereinigte Fibrinogenlösung gerinnen macht, darf man daraus noch nicht die Existenz von Stoffen als Thrombokinase und Thrombogen folgern. Soweit man jetzt weiß, werden von allen Zellen des Tierkörpers an Wasser Nucleoproteide abgegeben, welche, mit Kalk zusammengebracht als Fibrinferment wirken können. Man hat keinen Grund, daran zu zweifeln, wenn bei der Vermischung so komplizierter Flüssigkeiten wie Gewebsextrakte und Blutplasma bisweilen Wirkungen zur Beobachtung kommen, welche den Befunden bei Vermischung von Gewebsextrakt mit gereinigter Fibrinogenlösung nicht völlig entsprechen.

Die Überlebenskurve bei Abtötung von Bakterien durch Hitze.

Von

C. Eijkman.

Mit 7 Figuren im Text.

(Aus dem hygienischen Institut der Universität Utrecht.)

Es ist eine bekannte Tatsache, daß sogar in ein und derselben Reinkultur die einzelnen Bakterien große individuelle Unterschiede mit Bezug auf Lebensfrische und Vermehrungs- sowie auch Widerstandsfähigkeit gegen schädliche Einflüsse darbieten können. Die Nichtbeachtung dieses Faktums hat bei Desinfektionsversuchen schon vielfach zu fehlerhaften Schlüssen Anlaß gegeben.

Es hat namentlich Schüder¹⁾ darauf hingewiesen, daß die Verwendung kleinerer Proben zur Kontrollierung des Desinfektionseffektes eine gelungene Abtötung vortäuschen kann, wo noch lebende Keime vorhanden sind, die aber erst durch Verarbeitung größerer Mengen des Untersuchungsmaterials ans Licht gezogen werden. Seine mit entsprechend verbesserter Methodik angestellten Untersuchungen, die sich speziell beziehen auf die Sterilisierung von Trinkwasser mittels Chemikalien, haben gezeigt, daß vereinzelte noch lebensfähige Keime übrig bleiben können lange nachdem die große Mehrheit schon abgestorben ist.

In Anbetracht dieser Tatsachen erschien es mir nicht nur von praktischem, sondern auch von theoretischem Interesse, die „Absterbeordnung“ (wie es in der Mortalitätsstatistik heißt) der Bakterien bei künstlicher Abtötung numerisch und zeitlich zu verfolgen und graphisch darzustellen. Eine gewisse Gesetzmäßigkeit, die sich in der Form der „Überlebenskurve“ aus-

¹⁾ Zeitschr. f. Hygiene u. Inf.-Krankh. 89.

sprechen müßte, war dabei von vornherein zu erwarten. Was namentlich die individuell verschiedene Zeitdauer der Abtötung anbetrifft, kam es mir am wahrscheinlichsten vor, daß eine Anhäufung der Sterbefälle um einen gewissen Zeitpunkt stattfindet, demgemäß, daß eine Frequenzkurve¹⁾ resultieren würde, die von diesem Punkte an nach beiden Seiten hin, von oben gesehen zunächst konvex, danach konkav verlief, um schließlich asymptotisch sich der Abszissenachse zu nähern. Ungeachtet ob diese Frequenzkurve eine symmetrische wäre, wie die binomiale Kurve der Wahrscheinlichkeitsrechnung, die in der Biologie eine so hervorragende Rolle spielt, oder daß sich — wie ebenso bei der Gruppierung von biologischem Material nicht selten der Fall ist — eine mehr schiefe Kurve ergeben würde, immerhin müßte dann die korrespondierende Überlebenskurve sich nach dem Typus einer λ -Figur gestalten.

Es kam nun darauf an, die Versuchsbedingungen derart zu wählen, daß die zu erwartende Gesetzmäßigkeit in der Absterbeordnung so rein wie möglich zutage treten konnte. Namentlich mußte dafür Sorge getragen werden, daß die Bakterien alle in gleichem Maße von dem keimtötenden Mittel getroffen wurden, und daß die Intensität der Einwirkung während der Dauer der Beobachtung keine Änderungen erlitt. Diesen Forderungen zu genügen, gelingt m. E. besser bei Anwendung von Hitze als von chemischen Stoffen. Für unseren Zweck ist es nämlich als ein Nachteil der chemischen Desinfektantia zu betrachten, daß sie vielfach Verbindungen und Wechselwirkungen eingehen, nicht nur mit den Substanzen der Bakterienleiber, sondern auch mit den Bestandteilen des Mediums. Die aktive Konzentration des Desinfektans ändert sich dann im Laufe des Versuchs, während eine Temperatureinwirkung hingegen ganz bequem (bis auf weniger als $0,1^{\circ}$ C genau) konstant erhalten werden kann. Dazu kommt, daß infolge der in keiner Weise ganz zu vermeidenden Zusammenklumpung ein Teil der Keime, und zwar die zu innen gelegenen, gegen die Einwirkung des

¹⁾ Die Frequenzkurve der Sterbefälle und die Überlebenskurve sind nur verschiedene Ausdrucksweisen für ein und dasselbe Geschehen. Die erstere gibt die im Laufe der Beobachtung pro Zeiteinheit absterbende Anzahl an, letztere die Zahl der zu jedem Zeitpunkte restierenden lebenden Individuen.

Agens geschützt werden, woraus dann fälschlich auf eine mehr als normale Widerstandsfähigkeit geschlossen wird. Zwar ist diese Fehlerquelle auch bei Hitzeinwirkung nicht gänzlich ausgeschlossen, sie wird hier aber viel weniger störend wirken, denn es ist nicht anzunehmen, daß die Temperatur im Inneren eines immerhin kleinen, in Flüssigkeit suspendierten Klümpchens nennenswert niedriger sei und bleibe als an der Peripherie.

Es sind alle unsere Versuche mit einem nicht sporenbildenden Mikroorganismus, dem *Bac. coli communis* angestellt. Eine 24stündige, bei 37° bebrütete Agarkultur wurde in einer relativ kleinen Menge einer sterilisierten Kochsalzlösung¹⁾ von 0,5% suspendiert und durch Papier filtriert, um wenigstens gröbere Klümpchen zu entfernen. Von der milchweißen Suspension wurde ungefähr 0,1 bis 0,2 ccm in eine Flasche mit 50 ccm einer auf die gewünschte Temperatur vorgewärmten 0,5%igen Kochsalzlösung eingetragen und mittels ebenso vorgewärmten Rührers schnell mit dieser vermischt. Die mit Glasstöpsel versehene Flasche von 100 ccm Inhalt war bis nahe an die Mündung eingetaucht in einem Ostwaldschen Wasserbad mit Toluolregulator und automatischem Rührer. In bestimmten Zeitintervallen wurden mittels steriler Pipetten abgemessene Proben aus der Flasche entnommen und Gelatinplatten davon angelegt, die im Brutofen bei 25° gestellt wurden. Die ersten, noch keimreichen Proben wurden, um eine zu dichte Besäung der Platte zu vermeiden, entsprechend verdünnt; im weiteren Verlauf kamen steigende Mengen (1—5 ccm) unverdünnt zur Anwendung.

Während die lebensfrischen Colibakterien nach 2- bis 3tägiger Bebrütung bei 25° ausnahmslos zu gut sichtbaren Kolonien ausgewachsen sind, äußert sich die Schädigung durch Hitze zunächst in einer um ein bis mehrere Tage verspäteten Entwicklung. Daher geschah die definitive Feststellung der Kolonienzahl erst, als keine Zunahme derselben mehr zu konstatieren war, d. h. nach 8 bis 16 Tagen. Wohl habe ich

¹⁾ Weil nach Fickers Untersuchungen eine reine Kochsalzlösung nicht als ein für Bakterien ganz indifferentes Medium zu betrachten ist, wurde sie mit Leitungswasser bereitet und zum Überflusse noch einige Tropfen Nährbouillon hinzugesetzt.

darüber gedacht, diese geschädigten Keime als nicht vollwertig zu vernachlässigen, oder nur für einen Bruchteil in Rechnung zu ziehen, habe aber bei näherer Überlegung diese Idee wieder fallen gelassen, namentlich auch weil eine scharfe Abgrenzung kaum zu machen ist und mithin eine gewisse Willkür bei der Zählung nicht zu vermeiden wäre.

Nebst der Plattenkultur, wobei faktisch nur eine ziemlich begrenzte Anzahl von Keimen zur Aussaat gelangen kann, wurde nach dem Beispiel von Schüder dann und wann noch ein anderes Verfahren in Anwendung gebracht, wobei größere Bakterienmengen verarbeitet wurden, um mit größerer Genauigkeit die obere Grenze der individuellen Widerstandsfähigkeit (gegen Hitze) anzunähern. Es wurden nämlich in dasselbe Wasserbad noch mehrere Flaschen gestellt und mit 50 bis 250 ccm genau der gleichen Bakteriensuspension versehen, wie jene, woraus die Proben für die Plattenkultur entnommen wurden. Von Zeit zu Zeit wurde eine Flasche herausgenommen, schnell in strömendem Wasser abgekühlt und der Inhalt im ganzen versetzt mit einem Zehntel seines Volums einer Nährlösung mit 5%igem Kochsalz, 5%igem Pepton und 10%iger Glykose. Die Flasche wurde sodann in den Brutofen bei 37° gestellt und nach 1 bis 2 Tagen auf etwa eingetretene Gärung und Entwicklung von Colibacillen untersucht. Wie bekannt, wird von den letzten Traubenzucker vergoren.

Was die anzuwendenden Abtötungstemperaturen anbetrifft, so kam es, um den Typus der Überlebungskurve herauszufinden, selbstverständlich darauf an, nicht zu weit über die physiologische Grenze hinauszugehen. Nur ein relativ langsam verlaufender Prozeß gestattet eine genaue zeitliche Verfolgung der numerischen Verhältnisse. Bei rascher Abtötung durch hohe Temperaturen wird die Kurve notwendig in horizontaler Richtung zusammengedrungen erscheinen und voraussichtlich als eine steile, ziemlich gerade Linie verlaufen. Weil nun *Bac. coli* noch bei Hitzegraden bis zu 46°, hier allerdings nur unter sehr günstigen Ernährungsbedingungen, lebens- und sogar entwicklungsfähig bleibt, so habe ich Temperaturen von 47° an bis zu 52,2° C angewendet.

Die Ergebnisse der Versuche sind in den Figuren 1—7 graphisch dargestellt.

Es ist dazu folgendes zu bemerken.

Die neben jeder Kurve angegebene Zahl bezieht sich auf die zu Beginn des Versuchs pro Kubikmillimeter der Suspension

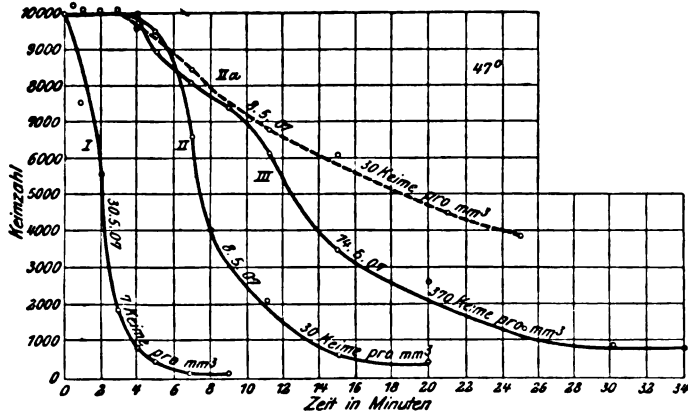


Fig. 1.

vorhandenen Keime und wurde durch einen Vorversuch ermittelt. Für die graphische Darstellung ist aber der Übersichtlichkeit wegen stets von 10000 Keimen ausgegangen, und sind die Ver-

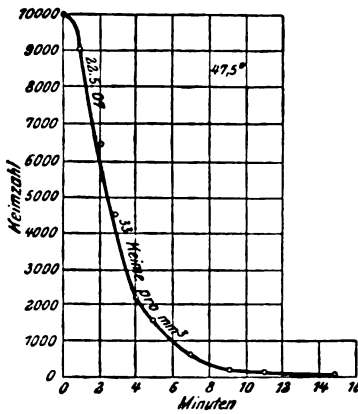


Fig. 2.

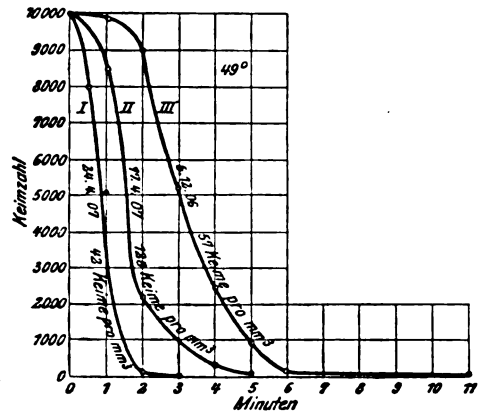


Fig. 3.

suchsergebnisse entsprechend umgerechnet. Die in der Weise bestimmten Werte für die Zahl der überlebenden Keime sind als Kreiselchen eingetragen, und durch diese ist die Überlebenskurve hindurchgezogen. Dies aber nur soweit es ungezwungen geschehen konnte. Wo es nicht ging ohne Verunstaltung der

Kurve, sind die betreffenden Punkte beiseite liegen gelassen und ist ihre Abweichung als wahrscheinlich durch Versuchsfehler bedingt aufgefaßt. Wie aus den Figuren ersichtlich, sind diese Abweichungen meistens nur gering.

Es hatte schon Ficker¹⁾ in Erfahrung gebracht, daß es auch bei Benutzung ein und derselben Stammkultur und unter Einhaltung womöglich gleicher Versuchsbedingungen nicht ge-

lingt, einigermaßen gleichmäßige Resultate zu erzielen. Ich kann solches nur bestätigen unter Verweisung auf Figuren 1, 3, 4 und 6, wo Überlebenskurven nebeneinander eingezeichnet sind, die sich beziehen auf an unterschiedenen Tagen, aber mit gleicher Abtötungstemperatur angestellte Versuche. Man ersieht daraus, wie stark unter augenscheinlich gleichartigen Bedingungen die Geschwindigkeit des Absterbungsprozesses wechseln kann. Die Ursachen dieser Schwankungen vermag ich ebenso wenig wie Ficker in ganz zufriedenstellender Weise

anzugeben. Nur so viel geht im Einklang mit Ficker aus unseren Untersuchungen hervor, daß im allgemeinen die Haltbarkeit der Keime *et. par.* mit dem Keimreichtum der Suspension an-

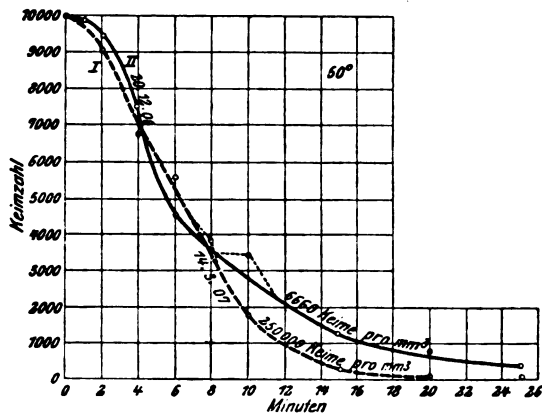


Fig. 4.

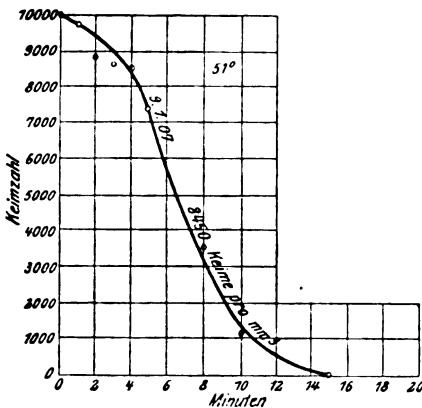


Fig. 5.

¹⁾ Zeitschr. f. Hygiene und Inf.-Krankh. 92.

zuwachsen scheint. Diese Erscheinung dürfte auf eine schützende Wirkung der von den abgetöteten Keimen an das Medium abgegebenen Stoffe beruhen, wie aus der Kurve IIa von Figur 1

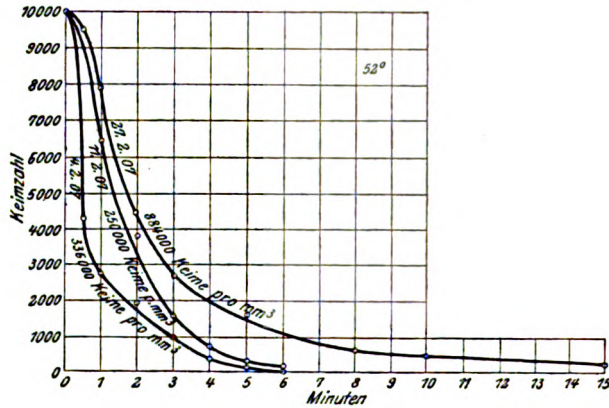


Fig. 6.

hervorgeht. Diese resultiert aus einem Parallelversuch von II, der sich von letzterem nur dadurch unterschied, daß die Bakteriensuspension angefertigt wurde mit einer Kochsalzlösung, worin zuvor schon eine große Menge Colikeime gebracht und

durch stundenlange Erhitzung auf 52° abgetötet worden waren.

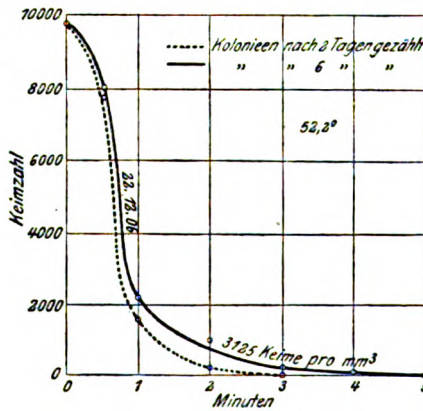


Fig. 7.

Zusatz von Nährbouillon hat eine ähnliche, die Tenazität der Bakterien erhöhende Wirkung.

An allen unseren Kurven ist nun, soweit das Absterben nicht mit zu großer Geschwindigkeit geschah, die oben schon postulierte λ -Gestalt deutlich zu erkennen. Wo der Verlauf ein relativ sehr langsamer ist, hat die Überlebenskurve im Anfangsteil sogar keine schiefgeneigte, sondern geradezu horizontale Richtung (vgl. Figur 1, 2, 2a und 3).

Ich möchte dies als den Ausdruck einer Inkubation be-

trachten. Nicht nur daß in dieser Periode keine Keime absterben, sondern sie sind auch noch nicht merklich geschädigt, wie der Umstand beweist, daß sie in der Gelatinplatte keine verzögerte Entwicklung aufweisen.

Je schneller die Abtötung, je kürzer auch diese Periode, und so braucht es kein Wunder zu nehmen, daß die sehr steil verlaufenden Kurven sie vermissen lassen. Damit will aber nicht gesagt sein, daß die Inkubation hier gänzlich fehlt. Nur hätte es Sekunden- anstatt Minutenwahrnehmungen bedurft, um sie ans Licht zu bringen.

Eine weitere Analyse der Versuchsergebnisse lehrt, daß alle Frequenzkurven der Sterbefälle schiefe Kurven sind, mit der Spitze nach links, d. h. nach der Nullseite hingerückt. Von einer Wiedergabe der Frequenzkurven ist hier abgesehen, das Gesagte geht aber schon daraus hervor, daß ohne Ausnahme, auch wenn die Inkubationsperiode mit eingerechnet wird, die erste Hälfte der Keime abgestorben ist in viel weniger als die Hälfte der Zeit, die für die Abtötung aller Keime erforderlich ist. Ja, wo die verschärfte Untersuchungsmethode nach Schüder angewendet wurde, ergab sich sogar, daß auch da, wo die Hälfte der Keime schon nach einzelnen Minuten eingegangen

Tabelle 1.

Temperatur	Keimzahl		Hälfte der Keime abgestorben zwischen	Alle Keime abgestorben zwischen
	pro mm ³	total		
47°	7	360 000	2—3 Min.	1—1 $\frac{1}{4}$ St.
	29	1,4 Million.	7—8 „	33—45 Min.
	37	9,2 „	11—15 „	45—? „
47,5°	33	8,2 „	2 $\frac{1}{2}$ —3 „	1—1 $\frac{1}{4}$ St.
48°	82	20 „	$\frac{1}{2}$ —2 „	1—1 $\frac{1}{2}$ „
49°	41	2,1 „	± 1 „	25—45 Min.
	59	2,9 „	$\frac{1}{2}$ —1 „	20—30 „
50°	78 000	3,9 Milliard.	3—5 „	4—5 St.
	93 000	4,6 „	4—6 „	4—? „
	248 000	12,4 „	6—7 „	5 $\frac{1}{2}$ —? „
	250 000	12,5 „	2—3 „	1 $\frac{1}{4}$ —1 $\frac{3}{4}$ „
52°	304 000	15 „	2—3 „	1 $\frac{1}{2}$ —1 $\frac{3}{4}$ „
	336 000	16,8 „	$\frac{1}{2}$ —1 „	2—2 $\frac{1}{4}$ „
	500 000	25 „	1—2 „	1 $\frac{3}{4}$ —2 $\frac{1}{4}$ „
	882 000	44 „	1 $\frac{1}{2}$ —2 „	2—2 $\frac{1}{2}$ „
	78 Million.	392 „	$\frac{1}{2}$ —1 „	1 $\frac{3}{4}$ —2 „

war, eine Abtötung sämtlicher Keime öfters erst nach Stunden erzielt wurde (vgl. Tabelle 1 auf Seite 19).

Indes sind es nach den Ergebnissen der Plattenkultur hauptsächlich nicht vollwertige Nachzügler, durch welche die starke Verlängerung des Schwanzes der Überlebenskurve herbeigeführt wird. Dieser wird bedeutend abgekürzt, wenn die definitive Zählung der Kolonien schon nach 2 bis 3 tägiger Bebrütung stattfindet, anstatt daß sie so lange hinausgeschoben wird, bis keine Zunahme mehr zu beobachten ist (vgl. Tabelle 2 und Fig. 7).

Tabelle 2.

Dauer der Temperatur- Einwirkung (52°)	Kolonieenzahl pro ccm	
	nach 3 Tagen	nach 15 Tagen
0 Min.	336 000 000	336 000 000
$\frac{1}{2}$	144 000 000	144 000 000
1	115 200 000	128 000 000
2	51 200 000	65 600 000
3	4 000 000	33 600 000
5	800 000	2 720 000
6	0	640 000
10	0	3 750
15	0	1 000
35	0	1

Die Abtötungsdauer wird durch Vernachlässigung der Nachzügler in diesem Falle von 35 Min bis auf 5 Min. erniedrigt.

Die osmologische Auffassung der Häm- und Bakteriolyse.

Von

P. v. Baumgarten.

(Aus dem Pathologischen Institut der Universität zu Tübingen.)

Daß die bekannte Erscheinung des „Lackfarbigwerdens“ des Blutes, die Hämolyse, wie dieser Vorgang jetzt nach P. Ehrlich allgemein bezeichnet wird, in vielen Fällen auf einem osmotischen Vorgang beruht, indem durch Veränderungen des osmotischen Gleichgewichtszustandes, in welchem sich die roten Blutkörperchen in ihrem eigenen Serum befinden, das im Blutkörperchenstroma gelöst enthaltene Hämoglobin aus dem Stroma in die umgebende Blutflüssigkeit exosmiert, ist von den Physiologen ganz allgemein anerkannt. Es kommt hier vor allem das Lackfarbigwerden des Blutes in Wasser und in gegenüber dem Serum anisotonischen Salzlösungen in Betracht. Es lag daher nahe, auch das Lackfarbigwerden des Blutes in andersartigem Serum auf Störungen des osmotischen Gleichgewichts zwischen Zellsaft und umgebender Flüssigkeit zurückzuführen. Doch mußten alle früheren osmologischen Erklärungsversuche der Serumhämolyse ganz zurücktreten gegenüber einer anderen, bis vor kurzem herrschenden Theorie, wonach der genannte Vorgang auf der Einwirkung spezifischer, gegen die fremden roten Blutkörperchen gerichteter Blutgifte beruhe, welche eine direkte chemische Destruktion der betreffenden roten Blutzellen zur Folge habe. Da indessen die zuerst von Landois¹⁾, später von mir angestellten mikroskopischen Beobachtungen des Vorganges der Serumhämolyse sich nicht mit dieser rein chemischen Auffassung derselben in Einklang bringen ließen, in-

¹⁾ Die Transfusion des Blutes, Leipzig 1875.

dem diese Beobachtungen zeigten, daß eine eigentliche Destruktion der roten Blutkörperchen bei dieser Hämolyse nicht stattfindet, vielmehr nur eine einfache Trennung des Hämoglobins vom Stroma, wie bei der Hämolyse in anisotonischen Salzlösungen, und daß außerdem die Serumphämolyse unter ganz ähnlichen Form- und Volumveränderungen der roten Blutkörperchen erfolgt, wie die Salzhämolyse, so habe ich eine neue, allen Beobachtungstatsachen möglichst gerecht werdende, gewissermaßen chemisch-osmologische Auffassung der Serumphämolyse zu begründen gesucht, welche sich in einer monographischen Abhandlung¹⁾ ausführlich dargelegt findet, auf welche ich bezüglich aller Einzelheiten verweise.

Meine Auffassung ist, kurz gefaßt, folgende:

Durch die feste chemische Bindung des Hämolsins an das rote Blutkörperchen, welche Bindung nachweislich an das Stroma, nicht an das Hämoglobin stattfindet, wird die normale Beschaffenheit des Stromas verändert. Diese Veränderung besteht offenbar nicht in einer direkten chemischen Destruktion, sondern wohl nur in einer „molekularen“ Alteration, der zufolge die normale Permeabilität (Semipermeabilität) des Stromas sich ändert, wodurch es zu Störungen des osmotischen Gleichgewichtes zwischen dem Blutkörpercheninhalt und der umgebenden Flüssigkeit kommt, welche Störungen sich teils durch anfängliche Schrumpfung mit sekundärer Quellung, teils durch primäre Quellungen der Körperchen zu erkennen geben. Die in der Quellung zum Ausdruck kommende Steigerung des osmotischen Druckes in der Zelle ist es dann, welche das Hämoglobin aus dem Stromagehäuse her austreibt.

Gegen diese Auffassung sind verschiedene Einwände erhoben worden, auf welche ich hier etwas näher eingehen möchte. Den schon etwas weiter zurückliegenden Einwand von Ehrlich und Sachs²⁾, daß sich die mit ihren

¹⁾ Ergebnisse der osmologischen Forschung über Hämolyse. Mit einem Nachtrag: Mikroskopische Präparate zu derselben (Zickels osmologische Diagnostik und Therapie, Berlin 1905). Die Hämolyse im heterogenen resp. Immuserum: Arbeiten a. d. Pathol. Inst. zu Tübingen 5, H. 2, 1905.

²⁾ Vgl. H. Sachs, Die Hämolsine usw. Lubarsch-Ostertags Ergebnisse 7, 1902, Sep.-A., S. 65.

hämolytischen Amboceptoren behafteten Blutkörperchen auch in ihrem eigenen Serum (Komplement), „also dem idealsten isotonischen Medium“, lösen können, habe ich bereits in meiner oben zitierten Abhandlung¹⁾ folgendermaßen erledigt:

„Der Begriff der Isotonie ist eben ein relativer; isotonisch ist das Serum für die eigenen roten Körperchen nur so lange, als sich der osmotische Druck in letzteren nicht ändert; wenn dies aber aus bestimmten Gründen — hier durch Einwirkung des Hämolsins auf die roten Blutkörperchen — geschieht, dann ist keine Isotonie mehr vorhanden, dann sind die Körperchen in bezug auf die Flüssigkeit und die Flüssigkeit in bezug auf die Körperchen anisotonisch geworden.“

In neueren und neuesten maßgebenden Schriften²⁾ nun wird meine obige Auffassung durch den Hinweis auf die Arbeiten von Friedberger, Rößle und Leuchs als widerlegt betrachtet, in welchen gezeigt worden ist, daß die roten Blutkörperchen (bzw. die Bakterien) durch Verankerung des Amboceptors keine Schädigung, keine Schwächung ihrer Widerstandskraft gegen osmotische oder sonstige Schädlichkeiten erfahren. Die Annahme, daß die roten Blutkörperchen durch eine Verbindung mit dem Amboceptor allein in ihrer Resistenz gegen osmotische Schädigungen herabgesetzt würden, ist aber von mir nur ganz im Anfang meiner hämolytischen Studien vertreten worden; die Notwendigkeit des „Komplements“ für die spezifische Hämolsinwirkung wurde bereits im Jahre 1902 von mir anerkannt.³⁾ Wie fern meiner jetzigen Auffassung, wie ich sie oben formuliert habe, der Gedanke liegt, den Amboceptor (Immunkörper) als das zellschädigende Agens zu erachten, dafür erlaube ich mir u. a. folgenden Passus⁴⁾ aus meiner oben zitierten Abhandlung zu reproduzieren: „Daß die roten Blutkörperchen zunächst

1) Arbeiten a. d. Pathol. Inst. z. Tübingen 5, 174, 1905.

2) H. Sachs, Die Hämolsine und die cytotoxischen Sera (Lubarsch-Ostertags Ergebnisse, 7, 1907, 567 bis 568). — G. Sobernheim, Die Lehre von der Immunität usw. in: Krehl-Marchands Handb. d. allg. Pathol. 1, 491, 1908.

3) Weitere Untersuchungen über Hämolyse im heterogenen Serum (Berl. klin. Wochenschr. 1902, Nr. 43).

4) Arbeiten a. d. Pathol. Inst. zu Tübingen 5, 171, 1905.

durch ihre Verbindung mit dem hämolytischen Immunkörper nicht getötet werden, dürfte sicher sein, denn sie verhalten sich in inaktiviertem Serum, welches den Immunkörper in der Vollkraft seiner Wirkungsfähigkeit enthält, genau so wie lebende rote Blutkörper: sie bewahren ihre Form, halten ihren Farbstoff dauernd fest und werden, wie Matthes gezeigt hat, durch verdauende Fermente ebensowenig wie lebende rote Blutkörperchen geschädigt.“ Also nicht dem Amboceptor an sich, sondern dem spezifischen Hämolysin, i. e. dem durch den Amboceptor auf die Zelle einwirkenden Komplement, schreibe ich die die Hämolyse herbeiführende Permeabilitätsveränderung der roten Blutkörperchen zu, wie dies ja auch in der obigen, meiner zitierten Schrift entlehnten Formulierung meiner Anschauung ausgesprochen ist.

Zu meiner Freude hat aber meine Auffassung nicht nur Widerspruch, sondern auch gewichtige Unterstützung gefunden. Völlig unabhängig von mir (wie ich von ihm) hat zunächst Nolf¹⁾ eine osmologische Theorie der Serumhämolyse begründet, welche der meinigen sehr nahe kommt. Nach Nolf wirken die Serumhämolysine nach Art des Ammoniumchlorids, welches, in die roten Blutkörperchen leicht eindringend, die Affinität des Stromas zum Wasser steigert, so daß eine exzessive Imbibition der Blutkörperchenmembran mit Wasser erfolgt, in welchem Zustande dieselbe für das Hämoglobin durchlässig wird. Diese Theorie Nolfs, welche sich ausschließlich auf Reagensglasversuche, nicht auch auf mikroskopische Beobachtungen des hämolytischen Vorganges im hängenden Tropfen stützt, vermag indessen die so häufigen anfänglichen Schrumpfungen der ins hämolytische Serum übertragenen roten Blutkörperchen nicht genügend zu erklären; ich möchte daher einstweilen meiner obigen Auffassung, welche auch dieses Phänomen zu deuten gestattet, den Vorzug geben. In der Hauptsache aber vereinigen sich Nolfs und meine Auffassung, nämlich in der Anschauung, daß der Austritt des Hämoglobins nach den Gesetzen der Osmose erfolgt, auf Grund von Störungen, welche durch das Eingreifen des Hämolysins in dem osmotischen

¹⁾ Contribution à l'étude des sérums antihématiques (Annales de l'Inst. Pasteur 19, 297, 1900) und: Le mécanisme de la globulyse (Ibidem, S. 656).

Gleichgewicht zwischen dem Blutkörpercheninhalt und der umgebenden Flüssigkeit herbeigeführt werden.

Schon frühzeitig schloß sich Gruber¹⁾ meiner osmologischen Anschauung an, welchem Forscher ich gerne das Verdienst zuerkenne, durch seine Entdeckung der spezifischen Bakterienagglutination und durch seine grundlegenden Arbeiten über den Mechanismus derselben einen wesentlichen Einfluß auf die Ausbildung meiner Theorie der Serumhämolyse ausgeübt zu haben. Bald hierauf traten auch Zikel²⁾, Löwit³⁾ und Albrecht⁴⁾ dieser Anschauung bei, Zikel mit der Annahme „spezifischer Strukturveränderungen (Permeabilitätsänderungen) der Zellmembranen“, Löwit mit der Erklärung, daß er „nach eigenen diesbezüglichen Untersuchungen die Hämolyse für einen wesentlich durch osmotische Verhältnisse bedingten Prozeß halte“, Albrecht unter Hinweis auf seine bekannten zellmorphologischen Studien, insbesondere über die „Struktur der roten Blutkörperchen“. Eine prinzipielle Übereinstimmung mit meiner Anschauung finde ich auch in den Untersuchungen Koeppes⁵⁾, eines hervorragenden Kenners der verschiedenen Hämolyseformen, welcher die Serumhämolyse als eine Hämolyse sui generis erachtet, „deren Ursache wahrscheinlich darin zu suchen ist, daß bei derselben der eiweißartige Bestandteil der ‚Wand‘ der roten Blutkörperchen angegriffen wird“. Wenn hier, wie ich annehme, unter dem Ausdruck „angegriffen wird“ nicht eine Zerstörung, sondern nur eine Schädigung, eine molekulare Alteration zu verstehen ist, so begegnen sich unsere beiderseitigen Anschauungen, wenn auch Koeppes den osmotischen Charakter des Hämoglobinaustrittes bei der Serumhämolyse nicht hervorhebt. Unter der gleichen Voraussetzung halte ich meine Auffassung auch mit dem Ergebnis der exakten Ver-

¹⁾ Zur Theorie der Antikörper (Münch. med. Wochenschr. 1901, Sep.-A., S. 31).

²⁾ Lehrb. d. klin. Osmologie usw. Berlin 1902.

³⁾ Bemerkung in der Diskussion zu meinem bei der V. Tagung der Deutschen Pathol. Ges. in Karlsbad, Sept. 1902, gehaltenen Vortrag: „Weitere Untersuchungen über Hämolyse im heterogenen Serum“.

⁴⁾ Bemerkung in derselben Diskussion und Verh. d. Deutschen Pathol. Ges. in Breslau, Sept. 1904, S. 21.

⁵⁾ Über Hämolyse (Verh. d. XXI. Kongr. für innere Med. in Leipzig 1904, S. 344).

suche Neubergs¹⁾ für vereinbar, wonach die Serumhämolsine die Lipoidhülle der roten Blutkörperchen (durch Lipolyse) verändern. Als eine Zustimmung darf ich es wohl auch ansehen, daß Morgenroth, der verdienstvolle Mitarbeiter Ehrlichs bei dessen berühmten Experimentaluntersuchungen über Serumhämolyse, in einer jüngst erschienenen Arbeit,²⁾ unter Bezugnahme auf meine Untersuchungen über die Wirkungsweise der Serumhämolsine, bei Erörterung des Wirkungsmodus der Hämolsine und Cytotoxine überhaupt, nicht nur die frühere Theorie der fermentativen Auflösung aufgibt (die jetzt ziemlich allgemein verlassen sein dürfte³⁾), sondern auch hinzufügt: „Man drückt den gegenwärtigen Stand dieser Frage wohl am besten aus, wenn man ganz allgemein von einer Schädigung der Zellen spricht, ohne zukünftigen Forschungen über das Wesen derselben vorzugreifen.“ Hiermit lehnt Morgenroth offenbar auch die spätere Annahme Ehrlichs einer protoplasmatötenden Wirksamkeit der Hämolsine zugunsten meiner Auffassung ab, ohne allerdings, gleich Koeppe und Neuberg, auf die osmologische Seite des hämolytischen Prozesses einzugehn.

Von größtem Werte ist es mir daher gewesen, daß unser hochverehrter Herr Jubilar, der gewiß von allen Seiten als einer der kompetentesten Forscher und Beurteiler in osmologischen Fragen anerkannt ist, zu einer mit der meinigen im Prinzip völlig übereinstimmenden Auffassung über das Wesen der Serumhämolyse gelangt ist. In Band 3, S. 360 seines großen osmologischen Werkes⁴⁾ schreibt Hamburger folgendes: „Ich glaube, daß unter dem Einfluß des Alexins das Stromaprotoplasma derart verändert wird, daß die Permeabilität modifiziert wird. Das anfängliche, gewöhnlich vorkommende, aber auch

¹⁾ C. Neuberg u. E. Rosenberg, Lipolyse, Agglutination und Hämolyse (Berliner klin. Wochenschrift 1907, No. 2; C. Neuberg u. C. Reicher, Diese Zeitschr. 4, 281, 1907; Münchener med. Wochenschr. 1907, No. 35).

²⁾ Morgenroth u. L. Rabinowitsch, Die Immunitätsreaktionen tuberkulösen Gewebes und deren Zusammenhang mit der Theorie der Tuberkulinwirkung (Deutsche med. Wochenschr. 1907, Nr. 18, 708).

³⁾ Cf. hierüber H. Sachs, Die Hämolsine und die cytotoxischen Sera (Lubarsch-Ostertags Ergebnisse, 9, 1907, 597 bis 598).

⁴⁾ Osmotischer Druck und Ionenlehre in den medizinischen Wissenschaften, 3 Bde., Wiesbaden 1902—1904.

nicht selten fehlende Schrumpfungsbild weist wahrscheinlich auf eine Strukturveränderung des Stromas oder dessen äußerer Begrenzung hin, wozu allerdings, wie aus der Agglutination ersichtlich ist, große Neigung besteht. Die nachträgliche Quellung rührt daher, daß die in das Blutkörperchen hineindiffundierten Substanzen einen größeren osmotischen Druck repräsentieren als die ausgewanderten. So wäre es z. B. denkbar, daß Chlor-natrium in die Blutkörperchen hineindiffundierte und eine äquivalente Menge Na_2CO_3 dieselben verließ. In der Tat enthält das Serum viel mehr Cl' als der Blutkörpercheninhalt. Selbst wenn der Austausch in äquimolekulären Verhältnissen stattfindet, gehen 2 Cl' hinein und 1 CO_3'' hinaus, infolgedessen steigt der osmotische Druck innerhalb des Blutkörperchens. Diese Vorstellung wäre experimentell durch quantitative Analysen zu prüfen¹⁾. — Und auf S. 362 des genannten Werkes resümiert Hamburger meine derzeitige Auffassung folgendermaßen: „Die Anisotonie ist also nach ihm nicht die primäre Ursache der Hämolyse im heterogenen Serum, wie er anfänglich meinte. Das entscheidende ursächliche Moment liegt in der Einwirkung der spezifischen Stoffe auf die roten Blutzellen. Diese Stoffe alterieren nach ihm das Stroma und setzen dessen Resistenz herab, ändern die Permeabilität. Verstehe ich den Verfasser recht, so denkt er sich den Vorgang so, wie ich ihn oben (S. 360) etwas schärfer präzisiert habe“.

Selbstverständlich akzeptiere ich sehr gerne diese präzisere Fassung des kompetenten Forschers, namentlich in ihrem zweiten, die Quellung betreffenden Teile; das Schrumpfungsbild möchte ich allerdings doch bis auf weiteres nur als den Ausdruck eines Wasserverlustes ansehen, nicht als den einer Strukturveränderung

¹⁾ In einer Anmerkung fügt hier Hamburger hinzu: „Ich muß indessen hervorheben, daß die Hämolyse nicht immer mit Volumvermehrung einhergeht.“ Die betreffenden Ausnahmen beziehen sich aber, wie aus Hamburgers Darlegungen hervorgeht, nicht auf Serumhämolyse, sondern auf Ather- und Saponinhämolyse, welche beiden letzteren Hämolyseformen von der ersteren, nach Koeppes und meinen Untersuchungen, scharf zu trennen sind: Die sog. Hämolyse durch Ather und Saponinsubstanzen ist nämlich keine eigentliche Hämolyse sondern eine Erythrocytolys (Baumgarten), d. h. ein Vorgang, bei welchem nicht bloß eine Trennung des Farbstoffes vom Stroma, sondern auch eine totale Zerstörung (Auflösung) des letzteren stattfindet.

des Stromas, weil die Erscheinung auch in den allerdings seltenen Fällen eintritt, in welchen die Hämolyse nicht von Agglutination begleitet ist, hier also eine eigentliche Strukturveränderung des Stromas als Ursache der Schrumpfung nicht wohl anzunehmen ist. Es dürfte freilich schwer sein, den Wasserverlust, den übrigens auch schon Landois¹⁾ als Ursache der anfänglichen Schrumpfung der ins heterogene Serum verbrachten roten Blutkörperchen angenommen hat, osmologisch zu erklären; vielleicht beruht er darauf, daß anfangs gerade solche Stoffe (Salze) aus den für sie durchlässig gewordenen Blutkörperchen austreten, welche einen größeren osmotischen Druck repräsentieren, als die dafür eintretenden. Diese, z. B. auf Grund der bekannten Ermittlungen Hamburgers über den Einfluß geringer Alkalimengen auf den Stoffaustausch und die Gestalt der roten Blutkörperchen denkbare Möglichkeit verdient von der zukünftigen exakten Forschung berücksichtigt zu werden.

Die genauere Erkenntnis des Wesens der Serumhämolyse gibt uns nun auch den Schlüssel für das nähere Verständnis der dieser völlig analogen Serum bakteriolyse. Es besteht in der Tat nach meinen eingehenden vergleichenden mikroskopischen Untersuchungen beider Vorgänge eine vollständige Übereinstimmung derselben in den wesentlichen Punkten: Auch bei der sog. Bakteriolyse kommt es nicht zu einer eigentlichen „Auflösung“ der Bakterienzelle, sondern nur zu einer analogen Trennung des flüssigen Zellinhaltes von dem festen Zellgehäuse, wie bei der Hämolyse; nach dem Austritt der flüssigen Bestandteile bleibt die Zellenmembran und der (in Wasser) unlösliche Teil des Protoplasten zunächst ungelöst zurück. Das schließliche spurlose Verschwinden der bakteriolierten Bakterienleiber im lebenden Tierkörper ist ein sekundärer Vorgang, der mit der Bakteriolyse als solcher gar nichts zu tun hat. Bekanntlich besitzt der lebende Tierkörper die Fähigkeit, in ihm befindliche abgestorbene Zellen und Zellenbestandteile, mögen sie nun Leichen oder Leichenbestandteile von Fremdzellen oder von eigenen Körperzellen sein, aufzulösen (zu „resorbieren“), und da die Bakterien nach vollständiger Bakteriolyse,

¹⁾ Die Transfusion des Blutes, Leipzig 1875, S. 159.

ebenso wie die roten Blutkörperchen nach vollständiger Hämolyse, sicher abgestorben sind, so unterliegen sie im lebenden Tierkörper dieser seiner nicht-spezifischen nekrolytischen Tätigkeit. Hierauf beruht es, daß in vitro niemals eine wirkliche „Auflösung“ der bakterioliysierten Bakterien beobachtet wird, (ebensowenig wie eine solche der hämolysierten roten Blutkörperchen), was mit Unrecht als eine Unvollständigkeit der Bakteriolyse (Bactericidie) in vitro gegenüber derjenigen in vivo (wegen unvollständiger Wirkung des labilen Komplements) aufgefaßt worden ist. Es läßt sich leicht nachweisen, daß durch ein stark bactericides Serum auch in vitro sämtliche der in dasselbe (nicht zu zahlreich) eingesäten Keime abgetötet werden, und daß trotzdem die Bakterien nicht wirklich aufgelöst, sondern nur bakterioliysiert, d. h. daß die den entfärbten Blutkörperchenstromata, den sog. „Blutkörperchenschatten“ (Ponfick), entsprechenden Bakterienschatten (Gruber) vollständig erhalten geblieben sind. So ist also auch in zellmorphologischer Hinsicht die Übereinstimmung zwischen Hämolyse und Bakteriolyse eine so vollständige, als es die zwischen Bakterienzelle und roter Blutzelle bestehende Verschiedenheit der Zellstruktur überhaupt zuläßt.

Eine, wenn auch nur kurze Erörterung der Hämolyse und Bakteriolyse kann heutzutage die von A. E. Wright entdeckten oder wenigstens als besondere Antikörper des Serums diskussionsfähig gemachten „Opsonine“ nicht mit Stillschweigen übergehen. Ich muß nun bekennen, daß ich es, nach allem, was bisher über diese Opsonine bekannt ist¹⁾ und was ich selbst darüber habe ermitteln können, nicht für möglich halte, dieselben von den bekannten, als Lysine und Agglutinine bezeichneten spezifischen Antikörpern des Serums scharf zu trennen. So kann zunächst das Ergebnis des Grundversuchs der Opsoninlehre, wonach in „opsonisch“ wirksames Normalserum zugleich mit Leukocyten verbrachte Bakterien von den ersteren reichlicher aufgenommen werden als in sog. indifferenten Salzlösungen

¹⁾ Vgl. hierüber die sehr eingehende und sorgfältige kritische Beschreibung der Opsonin-Literatur in der Studie von E. Sauerbeck: „Neue Tatsachen und Theorien in der Immunitätsforschung“ (Lubarsch-Ostertags Ergebnisse 9, 1907, 699 ff.) auch als „Sonderabdruck“, Wiesbaden 1907, erschienen.

oder im inaktivierten Serum, ungezwungen so gedeutet werden, daß die Bakterien von den bekannten bacteriolytischen Substanzen des Serums in der Weise beeinflußt werden, daß sie chemotaktische Stoffe (Bakterienproteine) aus ihren Leibern austreten lassen, welche die Leukocyten anlocken, die nun die derartig veränderten Bakterien reichlicher „fressen“, als nicht in dieser Weise veränderte. Wenn das Serum (Normalserum) durch Erhitzen auf 60° seinen „opsonischen“ Effekt verliert, so läßt sich dies durch Zerstörung des thermolabilen Komplements erklären, und bleibt nach vollzogener Bindung des „Opsonins“ an die Bakterien „trotz 5stündiger Erhitzung auf 60°“ der „opsonische“ Effekt erhalten, so stimmt auch diese Beobachtung mit obiger Annahme überein, da, wenn das Bakteriolyisin einmal in das Bacterium verankert und dieses dadurch in einen opsonischen, d. h. zur positiven Chemotaxis geeigneten Zustand versetzt worden ist, eine nachträgliche Zerstörung des Komplements nichts mehr verschlägt. (Den Bakterienproteinen, welche nach obiger Auffassung die unmittelbare Ursache der Phagocytosebeförderung sind, schadet ja eine länger dauernde Erhitzung auf 60° nichts, da sie äußerst thermostabile Substanzen sind). Schließlich ist die Tatsache, daß die „Opsonine“ des Immunserums die Thermolabilität der „Opsonine“ des Normalserums in der Regel nicht teilen, sondern ziemlich thermostabil sind, ebenfalls nicht geeignet, die Unabhängigkeit der „Opsonine“ von den Serumlysinen zu beweisen, da die Thermolabilität der Komplemente in ziemlich weiten Grenzen schwankt, thermostabile Komplemente keineswegs ganz selten sind, und vielfältige Erfahrung gelehrt hat, daß die Komplemente, welche Immun-Amboceptoren aktivieren, eine größere Hitze-resistenz aufweisen, als die Komplemente von Normal-Amboceptoren. Daß der Leib vieler Bakterien positiv chemotaktische Substanzen enthält, die beim Absterben oder bei Ernährungsstörungen aus diesen ausgeschieden werden, ist eine zuerst von H. Buchner¹⁾ festgestellte und später vielfach bestätigte Tat-

¹⁾ Über pyogene Stoffe in der Bakterienzelle (Berl. klin. Wochenschr. 1890, Nr. 30. — Die chemische Reizbarkeit der Leukocyten und deren Beziehung zu Entzündung und Eiterung (Berl. klin. Wochenschr. 1890, Nr. 47). — Die Bakterienproteine und deren Beziehung zur Entzündung und Eiterung (Centralbl. f. Chir. 1890, Nr. 50).

sache. Da nun die Bakteriolyse ebenfalls zu einer Ausscheidung gelöster Eiweißsubstanzen aus der Bakterienzelle führt, so dürfte nach alledem gegen unsere Annahme, daß die sog. Opsoninwirkung nichts anderes sei, als eine Nebenwirkung der bakteriolytischen Substanzen, kaum viel einzuwenden sein. Eine ähnliche Anschauung hat übrigens schon Dean¹⁾ auf Grund eingehender Untersuchungen ausgesprochen, indem er das „Opsonin“ in der Hauptsache mit dem lytischen Amboceptor identifiziert; diese Annahme dürfte indessen kaum genügen, da der Amboceptor ja nur das chemisch ziemlich indifferente Bindeglied zwischen der Zelle und dem wirksamen Komplement abgibt; auch ist das völlige Verschwinden der opsonischen Wirkung aus dem für kurze Zeit auf 60° erhitzten opsonischen Normalserum nicht wohl mit Deans Annahme zu vereinbaren, was diesen sorgfältigen Forscher ja auch veranlaßt hat, eine gewisse Beteiligung des Komplements an der opsonischen Wirkung des Amboceptors zu statuieren. Nicht dem Amboceptor allein, sondern dem mit ihm vereinigten Komplement, dem spezifischen Serumlysin, wird daher die opsonische Wirkung zugeschrieben werden müssen. Auch finde ich weder bei Dean, noch bei einem anderen Autor über Opsonine, Wright nicht ausgenommen, eine Erklärung der Opsoninwirkung, d. h. eine Auskunft darüber, in welcher Weise die sog. Opsonine die Phagocytosebeförderung zuwege bringen sollen. Durch meine obige Hypothese erklärt sich, wie ich glaube, die Sache ziemlich einfach²⁾).

Ist nun die hier geäußerte Ansicht über die „Opsonine“ richtig, so werden die Schlußfolgerungen, welche Wright und seine Anhänger aus ihren Beobachtungen gezogen haben, stark erschüttert. Der Zweck und die Bedeutung der

¹⁾ An experimental enquiry into the nature of the substance in serum which influences phagozytosis, Proc. Roy. Soc. 76, 506 bis 524.

²⁾ Wie ich nachträglich ersehen, sind auch andere Forscher zu einer mit der obigen wesentlich übereinstimmenden Auffassung über die Natur und Wirkungsweise der „Opsonine“, welche Auffassung ich bereits in meinem Jahresbericht für pathogene Mikroorganismen 1905, S. 144 und S. 748 entwickelt habe, gelangt, so namentlich auch Neufeld (Über die Ursachen der Phagocytose, Arbeiten a. d. Kaiserl. Ges.-Amt 27, 414, 1907).

Opsonine liegt nach Wright darin, daß mit ihrer Hilfe diejenigen infektiösen Bakterien, welche nicht von bactericiden Stoffen des Serums vernichtet werden, den Phagocyten überliefert und durch diese zerstört werden. Namentlich für die pyogenen Kokken und für die Tuberkelbacillen sieht Wright die Opsonine als entscheidende Faktoren in dem siegreichen Kampfe des Organismus gegen diese Krankheitserreger an. Fallen aber die Opsonine mit den spezifisch-bactericiden Stoffen des Serums zusammen, so bedarf es natürlich einer Tötung der opsonierten Bakterien durch die Phagocyten nicht; diesen würden dann auch bei dieser Gelegenheit, wie sonst immer, nur die Aufgabe zufallen, abgestorbenes oder absterbendes zelliges Material, welches sie in sich aufgenommen haben, zu „resorbieren“, d. h. unter bestimmten Umwandlungsstufen schließlich aufzulösen, wie sie dies z. B. auch mit von ihnen aufgenommenen absterbenden oder abgestorbenen roten Blutkörperchen, eigenen oder fremden, tun, die, beiläufig bemerkt, nach Barratt¹⁾ sowie Neufeld und Töpfer²⁾ durch (fremdes) Serum ebenfalls „opsonisch“ gemacht werden, was den Eindruck der Zusammengehörigkeit der Erscheinung der „Opsonie“ mit den agglutinolysierenden Serumwirkungen nur noch verstärken muß. Es ist nun allerdings zuzugestehen, daß die von Wright für seine Opsoninlehre hauptsächlich in Betracht gezogenen pyogenen Staphylokokken und die Tuberkelbacillen zu denjenigen Bakterien gehören, welche in vitro weder durch Normal- noch durch Immuns serum deutlich „bakteriolysiert“ und dementsprechend auch durch das Serum in vitro nicht abgetötet werden; aber nicht zugestanden kann Wright werden, daß die hier, d. h. in vitro, den „Opsoninen“ (den Bakteriolytinen nach unserer Auffassung) nicht gelungene Tötung der Bakterien nun durch die sich ihrer bemächtigenden Phagocyten vollbracht werde. Ich finde keinen Beweis hierfür in den Arbeiten Wrights und seiner Anhänger, auch nicht in den diesen Arbeiten nahe verwandten

¹⁾ Über Phagocytose von roten Blutkörperchen (Verh. d. Deutschen Path. Ges., Meran 1905, 9. Tagung, Jena 1906, S. 325). — Über erythrocytale Opsonine (Ibidem, 10. Tagung in Stuttgart 1906, 170).

²⁾ Über hämolytische und hämotrope Sera (Centralbl. f. Bakt. u. Paras. 38, 1905, Orig.; S. 456).

Untersuchungen von Neufeld und seinen Mitarbeitern¹⁾, und die Ergebnisse von in meinem Laboratorium angestellten Nachprüfungen, in welchen die Wrightsche Versuchsanordnung genau befolgt wurde, sprechen gegen diese Annahme: Trotz reichlichster Aufnahme der geprüften Bakterien (Staphylokokken, Tuberkelbacillen) in die Phagocyten konnte keine Abnahme der ursprünglichen Keimzahl, häufig dagegen (bei Staphylokokken) sogar eine Zunahme derselben konstatiert werden! Auch diese Beobachtungen haben mir also nicht die Überzeugung zu vermitteln vermocht, daß die Leukocyten imstande wären, lebenskräftige Bakterien zu vernichten, und wie schwach es um die der älteren Phagocytentheorie entgegengebrachte Annahme der neuzeitigen Immunitätsforschung bestellt ist, daß die wirksame Komponente des bakteriolytischen Antikörpers des Serums (das Komplement) in den Leukocyten enthalten sei, das zeigen die neuesten, eingehenden Untersuchungen von Lambotte und Stiennon²⁾, von Pettersson³⁾ sowie von Neufeld⁴⁾, welche Forscher auf Grund

¹⁾ Über die Antikörper des Streptokokken- und Pneumokokken-Immunserums (Deutsche med. Wochenschr. 1904, Nr. 40); Weitere Mitteilungen über die Immunität gegen Streptokokken und Pneumokokken (Zeitschr. f. Hygiene u. Inf.-Krankh. 51, 283, 1905); Untersuchungen über baktericide Immunität etc. (Arbeiten a. d. Kaiserl. Ges.-Amt 25, 164, 1907); Über cytotoxische und cytotrope Serumwirkungen (Ebenda, 27, 310, 1907); Über die Ursachen der Phagocytose (Ebenda, 414); Beitrag zur Kenntnis der Phagocytose etc. (Ebenda, 28, 125, 1908). — In diesen Arbeiten ist Neufeld, im Anschluß an eine frühere Arbeit von Denys und Leclef, zu der Annahme besonderer „bakteriotroper“ Stoffe gelangt, welche bei der Immunisierung im Serum auftreten und von den Bakteriolytinen und damit auch von den Opsoninen verschieden sein sollen. Nach den obigen Darlegungen ist indessen an der Identität der „bakteriotropen“ Substanzen mit den Immun-Opsoninen einerseits und damit an der Zusammengehörigkeit der „Bakteriotropine“ und Bakteriolytine andererseits wohl kaum zu zweifeln.

²⁾ Alexine et leucocyte (Centralbl. f. Bakt. u. Paras. 11, Heft 2 bis 4, 1905/06).

³⁾ Über die baktericiden Leukocytenstoffe und ihre Beziehung zur Immunität (Ibidem 89, Heft 4 u. 5, 1905).

Über die Bedeutung der Leukocyten bei der intraperitonealen Infektion des Meerschweinchens mit Typhusbacillen (Ibid. 11, Heft 4, 1906).

⁴⁾ Beitrag zur Kenntnis der Phagocytose und zur Herkunft des Komplements (Arbeiten a. d. Kaiserl. Ges.-Amt 28, 125, 1908).

dieser ihrer Untersuchungen jede Beziehung der Leukocytenstoffe zu den Komplementen (Alexinen) und jede „bakteriolytische“ Tätigkeit der Leukocyten in Abrede stellen. Lambotte und Stiennon suchen zwar eine Fähigkeit der Leukocyten, gewisse Bakterien im lebenden Zustande zu „verdauen“, für die Phagocytentheorie zu retten; aber die hierfür beigebrachten Beobachtungen reichen nicht entfernt aus, diese Fähigkeit zu beweisen. Woher sollen denn auch die Leukocyten die lebendige Bakterien verdauende Kraft nehmen, da wir doch aus den Untersuchungen von Matthes¹⁾, Fermi, E. Neumann²⁾ und anderen Forschern wissen, daß selbst die stärksten Verdauungsfermente, die wir kennen, Trypsin und Pepsin, ungeschädigte lebende Zellen nicht anzugreifen vermögen, selbst nicht so empfindliche, wie die roten Blutkörperchen, und aus den Untersuchungen Sigwarts³⁾, daß dies Gesetz auch für lebende Bakterien gilt? — Ebensowenig haltbar erscheint mir die, von Pettersson der Phagocytenlehre gemachte Konzession, daß in einigen Fällen die bactericide Immunität nicht durch die lytischen Stoffe im Serum, sondern durch „bactericide Leukocytenstoffe“ (die von den Alexinen [Komplementen] verschieden sind) bewirkt werde. Daß diese künstlich dargestellten Stoffe im lebenden Körper, und zwar speziell bei der Phagocytose, zur Wirksamkeit gelangen, ist nicht erwiesen. Insofern ist ja die Wrightsche Opsoninlehre und die ihr verwandte Neufeldsche Tropinlehre ein entschiedener Fortschritt gegenüber der älteren Phagocytentheorie Metschnikoffs, die heute wohl nur noch von ihrem verdienstvollen Begründer und einigen wenigen anderen Forschern festgehalten wird, als in ihr die Erkenntnis zum Ausdruck kommt, daß die Phagocytose allein, ohne Mitwirkung der Körpersäfte, den infektiösen Bakterien gegenüber ohnmächtig ist; aber auch

¹⁾ Untersuchungen über die Pathogenese des Ulcus ventriculi usw. (Zieglers Beitr. 18, 309, 1893).

²⁾ Über peptische Magengeschwüre usw. (Virchows Archiv 184, 360, 1906) und: Einige Versuche zur Frage der Autodigestion (Centralbl. f. path. Anat. 18, Nr. 1, 1907).

³⁾ Über die Einwirkung der proteolytischen Fermente, Pepsin und Trypsin, auf Milzbrandbacillen (Arbeiten a. d. Path. Inst. zu Tübingen, 8, Heft 2, 1901).

mit der Zubilligung einer solchen, durch das Serum bedingten bactericiden Wirksamkeit wird den Leukocyten nach den oben-erwähnten entgegenstehenden Untersuchungsergebnissen mehr, als sich beweisen läßt, eingeräumt.

Wie unzulänglich und verschoben häufig das Bild ist, welches uns künstliche Versuchsanordnungen *in vitro* von den bezüglichen natürlichen Vorgängen im lebenden Organismus geben, das lehren diese ingeniösen, mit größter Sorgfalt und vollendeter Technik angestellten Experimente Wrights und seiner Nachfolger, sowie diejenigen Neufelds und seiner Schüler wiederum aufs deutlichste. Während, wie gesagt, im Reagensglas weder das Normalserum noch auch das Immunserum eine ausgesprochene bactericide Wirkung auf Staphylokokken und namentlich Tuberkelbacillen ausübt, lösen sich, wie ich aus zahlreichen eigenen Beobachtungen weiß, im natürlich immunen oder künstlich immunisierten Organismus beide Bakterienarten größtenteils bereits im Serum unter bakteriolytischen Erscheinungen auf, nicht erst in den Phagocyten; und während unter dem Deckglas im Wrightschen Versuche stets eine sehr große Menge beider Bakterien phagocytiert werden, tritt im immunisierten Organismus bei den Tuberkelbacillen die leukocytaire Phagocytose so zurück, daß sie hier schon aus quantitativen Gründen als maßgebendes Adjuvans der Bakterienzerstörung gar nicht in Betracht gezogen werden könnte; bei den Staphylokokken findet allerdings auch *in vivo* reichliche leukocytaire Phagocytose statt, betrifft aber doch immer nur den kleineren Teil der injizierten Kokken, der größere löst sich auch hier unter bakteriolytischen Erscheinungen direkt in der Gewebsflüssigkeit auf.

Ich würde es bedauern, wenn die höchst interessanten Versuchsergebnisse über Opsonine und Tropine, deren praktische Bedeutung für Diagnose und Behandlung von Infektionskrankheiten durch obige Kritik in keiner Weise berührt wird, dazu Anlaß geben sollten, die Immunitätsforschung wieder in die Bahnen der seit den epochemachenden Entdeckungen über die bactericiden Wirkungen des zellfreien Blutserums fast allgemein aufgegebenen Metschnikoffschen Phagocytentheorie, die ich für einen Irrtum halte, zu lenken.

Zur Kenntnis der Temperatur im menschlichen Magen.

Von

Dodo Rancken und Robert Tigerstedt.

Mit 3 Figuren im Text und 1 Tafel.

(Aus dem physiologischen Institut der Universität Helsingfors.)

Im Jahre 1889 teilte Quincke¹⁾ einige Beobachtungen über die Temperatur im Magen bei einem Knaben, dem wegen einer Oesophagusstriktur eine Magenfistel angelegt worden war, mit. Seine wichtigsten Resultate waren etwa folgende.

Im leeren Magen war die Temperatur durchschnittlich um $0,12^{\circ}$ C höher als die gleichzeitig gemessene Temperatur des Rectums; maximale Differenz $+0,4^{\circ}$, bzw. $-0,4^{\circ}$. Letztere stellt indessen, wie Quincke bemerkt, möglicherweise einen Beobachtungsfehler dar.

Während der Verdauung 1 bis $1\frac{1}{2}$ Stunden nach dem Mittagessen war die Temperatur gleich oder $\pm 0,1^{\circ}$ der Temperatur unmittelbar vor der Mahlzeit.

In einer größeren Reihe von Beobachtungen wurde ferner der Temperatúrausgleich zwischen Mageninhalt und Magenwandung verfolgt, und zwar wurde hierbei die Temperatur des Magens wie die des Rectums in Zwischenräumen von 1 bis mehreren Minuten abgelesen. Die eingeführten Flüssigkeiten waren Wasser, Milch, Milchsuppe in Mengen von 200 bis 500 ccm.

Bei Versuchen mit kaltem Wasser von $4,4$ bis $7,5^{\circ}$ vollzog sich der Temperatúrausgleich in den ersten fünf Minuten schnell, indem selbst Flüssigkeitsmengen von $\frac{1}{2}$ l um 19 bis 20° erwärmt wurden. Dann schritt die Erwärmung langsamer und immer langsamer vor, so daß die Magentemperatur

¹⁾ H; Quincke, Arch. f. experim. Pathol. u. Pharmakol. 25. 375, 1889.

noch nach $\frac{1}{2}$ Stunde etwa $0,5$ bis $1,0^{\circ}$ unter der des Rectums lag.

Mit heißem Wasser von $44,1$ bis 49° war der Mageninhalt schon nach 15 Minuten gewöhnlich nur einige Zehntel, ausnahmsweise noch 1° wärmer als der Körper.

Sehr ähnlich dem heißen Wasser verhielt sich die heiße Milch, doch schien der Temperatúrausgleich langsamer zu erfolgen als beim Wasser, was nach Quincke von der dishomogenen und vielleicht durch Gerinnung dicklichen Beschaffenheit der Milch abhängig war. Bei einem Versuch mit Milchsuppe trat die Verlangsamung noch deutlicher hervor.

Endlich zeigten Versuche mit lauwarmer Milch von 18 bis 28° , daß der Temperatúrausgleich entschieden langsamer stattfindet als bei gleich reichlich zugeführtem kaltem Wasser.

Auch wir haben die Gelegenheit gehabt, an einem Knaben mit Magenfistel einige entsprechende Beobachtungen zu machen, über welche wir hier kurz berichten werden.

Am 13. November 1900 trank der Knabe, der damals 4 Jahre alt war, aus Versehen Lauge, und infolgedessen entwickelte sich allmählich bei ihm eine vollständige Strikture der Speiseröhre, wegen welcher ihm am 3. Mai 1901 eine Magenfistel angelegt wurde. Etwa ein Jahr später stellte Hornborg¹⁾ an ihm eine Versuchsreihe an, um zu ermitteln, ob die Beobachtungen Pawlows hinsichtlich der psychischen Absonderung von Magensaft beim Hunde auch für den Menschen gültig waren.

Jetzt, nach etwa sechs Jahren, ist der Knabe noch am Leben; sein Ernährungszustand ist nicht gerade schlecht, er hat indessen ein ziemlich schwächliches Aussehen, und er hustet etwas. Sonst keine Störungen.

Zur Temperaturmessung benutzten wir die von Benedict und Snell²⁾ beschriebene bolometrische Methode, betreffend deren Einzelheiten der eine von uns (R.) in einer im Skandinavischen Archiv für Physiologie demnächst erscheinenden Abhandlung näher berichten wird. Die Empfindlichkeit unserer Apparate war so abgemessen, daß 1 mm an der Galvanometerskala einer Temperaturdifferenz von $0,0215^{\circ}$ C entsprach.

¹⁾ Hornborg, Skand. Arch. f. Physiol. 15, 228, 1904.

²⁾ Benedict und Snell, Arch. f. d. ges. Physiol. 88, 492, 1901.

Es wurde die Temperatur im Magen und im Rectum jede zweite Minute gemessen. Die Temperaturveränderungen im Magen und im Rectum wurden also in Intervallen von je vier Minuten verfolgt, und zwischen je zwei Bestimmungen der Magentemperatur fiel eine Bestimmung der Rectaltemperatur.

Die Dauer jedes einzelnen Versuches betrug etwa $1\frac{1}{2}$ Stunde; es war uns nämlich nicht möglich, den Knaben zu länger dauernden Versuchen zu bewegen.

Das Rectalbolometer wurde 10 cm tief in das Rectum, und das Magenbolometer 6 cm tief in den Magen eingeführt.

Alle Versuche wurden etwa zwischen 11,30 vorm. und 1,30 nachm. gemacht. Der Knabe hatte sein Frühstück etwa um 7 Uhr vorm. genossen und seitdem nichts zu sich genommen. Der Versuch begann immer damit, daß die Temperatur des Magens und des Rectums ohne Aufnahme von Nahrung bestimmt wurde. Nach einer genügenden Zahl Bestimmungen wurde das Magenbolometer herausgenommen und die auf verschiedener Temperatur erwärmte Kost — Milchsuppe (Gerstengrütze mit Milch gekocht) allein oder mit zwei darin gut gemischten Eiern — durch die Fistel hineingegossen. Diese „Mahlzeit“, nach welcher sich der Knabe in hohem Grade sehnte, da er zu dieser Zeit sehr hungrig war, dauerte nur etwa 2 bis 3 Minuten. Unmittelbar darauf wurde das Bolometer wieder in den Magen hineingeführt und die Temperaturbeobachtungen fortgesetzt.

In erster Linie teilen wir einen Versuch mit, wo die Temperatur des leeren Magens verhältnismäßig lange verfolgt wurde.

Versuch I. Vgl. Fig. 1.

Zeit	Rectal- temperatur	Zeit	Magen- temperatur
		12,35	38,12
12,37	37,74	,39	38,04
,41	37,78	,43	38,00
,45	37,76	,47	37,95
,49	37,74	,51	37,93
,53	37,69	,55	37,91
,57	37,67	,59	37,87
1,01	37,65	1,03	37,87
,05	37,63	,07	37,85
,09	37,61	,11	37,82

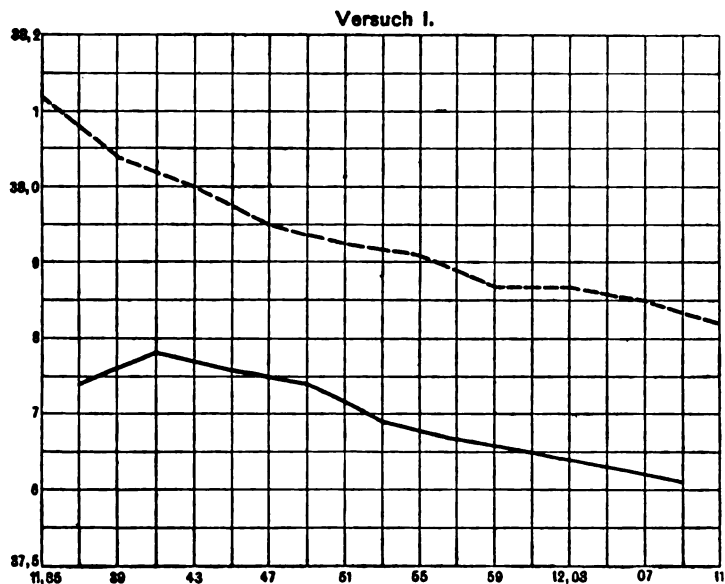


Fig. 1.

--- Magentemperatur.
 — Rectaltemperatur.

Der Knabe war hier wie auch in allen übrigen Versuchen von der Schule den etwa 20 Minuten langen Weg nach dem physiologischen Institut zu Fuß gegangen, und seine Körpertemperatur war daher anfangs ziemlich hoch. Als er nun ruhig im Bette lag, sank die Körpertemperatur, wie das beim ruhig liegenden Menschen immer der Fall ist. Die anfängliche Steigerung der Rectaltemperatur von 37,74 auf 37,78 dürfte nur davon abhängig sein, daß das Bolometer bei der ersten Beobachtung die richtige Temperatur noch nicht angenommen hatte. Von da ab erfolgt das Sinken ganz geradlinig, und zwar verläuft der Temperaturfall ganz parallel an beiden Orten, so daß die Temperatur des Magens konstant um etwa 0,20° C höher ist als die des Rectums. Wir bemerken, daß dies der größte Unterschied ist, den wir bei unseren allerdings nur wenigen Versuchen beim leeren Magen beobachtet haben.

Der hier erscheinende Parallelismus zwischen Magen- und Rectaltemperatur zeigt, daß im betreffenden Versuche die Magentemperatur ausschließlich von denjenigen Verhältnissen, welche die allgemeine Körpertemperatur beeinflussen, abhängig

gewesen ist, und daß also im Magen keine Prozesse stattgefunden haben, die eine vom allgemeinen Verlauf der Körpertemperatur abweichende, örtliche Temperaturschwankung bewirkt hätten.

Zur Illustration der Art und Weise, wie sich die Magentemperatur infolge einer kälteren oder wärmeren Kost verändert, mögen folgende Versuche dienen.

Im Versuch II hatte die eingegossene Milchsuppe eine Temperatur von etwa 34 bis 35°, im Versuch III eine von etwa 40°.

Versuch II. Vgl. Fig. 2.				Versuch III. Vgl. Fig. 3.			
Rectal- Zeit temperatur		Magen- Zeit temperatur		Rectal- Zeit temperatur		Magen- Zeit temperatur	
12,12	37,69	12,14	37,67	11,38	37,59	11,40	37,63
,16	37,69	,18	37,72	,42	37,59	,44	37,65
,20	37,69	,22	37,69	,46	37,57	,48	37,61
,24	37,67	,26	37,72	,50	37,50	,52	37,59
,28	37,69	,30	37,78				
12,30 bis 12,33. Eingießen von $\frac{1}{2}$ l Milchsuppe von etwa 34 bis 35°				11,52 bis 11,54. Eingießen von $\frac{1}{2}$ l Milchsuppe von etwa 40°			
		12,35	34,73	11,56	37,52	11,58	39,97
12,37	37,67	,39	35,59	12,00	37,52	12,02	39,56
,41	37,65	,43	36,23	,04	37,48	,06	39,11
,45	37,63	,47	36,56	,08	37,44	,10	38,74
,49	37,59	,51	36,86	,12	37,44	,14	38,43
,53	37,54	,55	37,05	,16	37,39	,18	38,17
,57	37,52	,59	37,24	,20	37,39	,22	38,04
1,01	37,52	1,03	37,31	,24	37,42	,26	37,89
,05	37,52	,07	37,39	,28	37,42	,30	37,76
,09	37,54	,11	37,46	,32	37,42	,34	37,67
,13	37,54	,15	37,50	,36	37,44	,38	37,63
,17	37,57	,19	37,57	,40	37,44	,42	37,59
,21	37,59	,23	37,59	,44	37,37	,46	37,52
,25	37,61	,27	37,57	,48	37,35	,50	37,50
,29	37,59	,31	37,61	,52	37,37	,54	37,48
,33	37,59	,35	37,63	,56	37,39	,58	37,48
,37	37,61	,39	37,63				
,41	37,63	,43	37,63				
,45	37,63	,47	37,63				
,49	37,63	,51	37,61				

Zu den Figuren 2 und 3 ist zu bemerken, daß die Ordinaten in $\frac{1}{10}$ des Maßstabes der übrigen hier mitgeteilten Temperaturkurven gezeichnet sind.

Von 12 Uhr 19 Min. an ist die Temperatur des Magens im Versuch II gleich der des Rectums.

Wie aus den Figuren 2 und 3 ersichtlich, verändert sich die Temperatur des Mageninhaltes nach Eingießen einer kälteren oder wärmeren Milchsuppe sehr regelmäßig; in beiden Fällen erfolgt der Temperatúrausgleich, wie es scheint, rein physikalisch, ohne irgendwelche Anzeichen einer durch die Magentätigkeit hervorgerufenen Störung. In beiden Versuchen fand sich vor dem Eingießen der Suppe nur ein ganz unerheblicher Unterschied zwischen der Magen- und der Rectaltemperatur vor. Im Versuch II erreicht die Magentemperatur nach etwa 40 Minuten die Temperatur des Rectums wieder; im Versuch III ist die Magentemperatur nach 40 Minuten noch $0,02^{\circ}$ höher als die Rectaltemperatur.

Nach Aufnahme einer Kost, deren Temperatur sich nur um etwa $\pm 3^{\circ}\text{C}$ von der des Magens unterscheidet, dauert es also rund $\frac{3}{4}$ Stunde, bis die Magentemperatur die mittlere Temperatur des Körperinneren wieder erreicht hat.

Es wird im allgemeinen angenommen, daß der erwachsene Mensch täglich etwa $1\frac{1}{2}$ l Wasser von durchschnittlich 15° und $1\frac{1}{2}$ kg Essen von durchschnittlich 25° genießt. Im Magen muß daher im Verlaufe von 24 Stunden sehr erhebliche Temperaturvariation stattfinden, und während einer verhältnismäßig langen Zeit wird die Temperatur des Magens erheblich

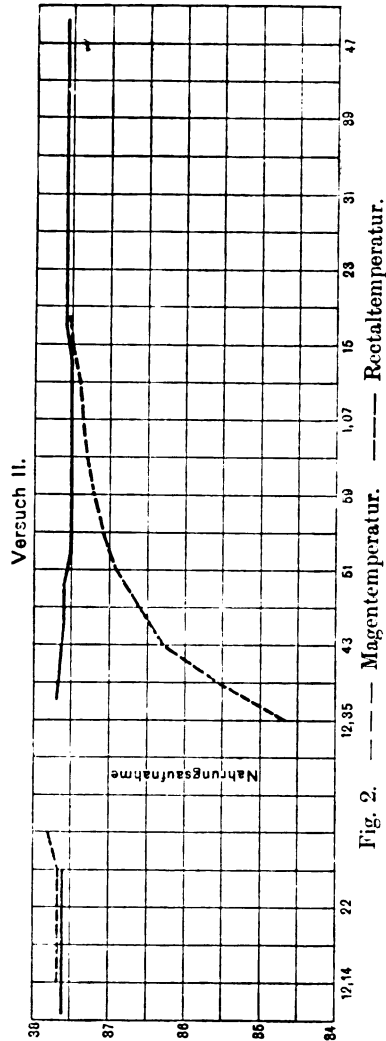


Fig. 2.

unter der der übrigen inneren Organe herabsinken, wie andererseits nach Aufnahme von warmen Getränken und Suppen die Magentemperatur um ein beträchtliches die Temperatur anderer Organe übertreffen muß. Da nun der Magen unter dem Ein-

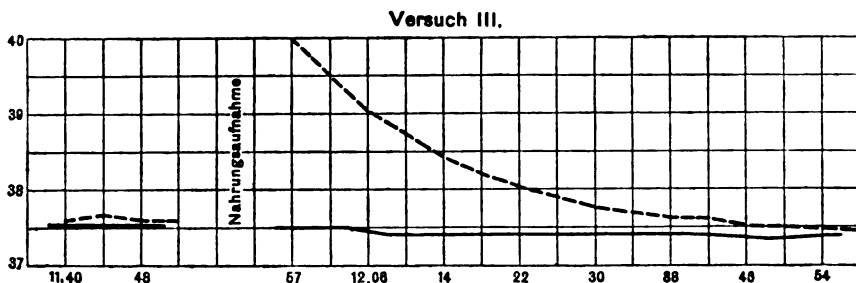


Fig. 3.

— — — Magentemperatur.
 ————— Rectaltemperatur.

fluß dieser Temperaturschwankungen keine Störungen erfährt, folgt, daß er im Vergleich mit den übrigen Organen der Bauchhöhle für solche Schwankungen sehr wenig empfindlich sein muß.

Versuche, bei welchen sich die Temperatur der eingegossenen Nahrung so erheblich wie in den jetzt mitgeteilten von der des Magens unterscheidet, eignen sich indessen nicht zur Erörterung der Frage, ob bei der Magenverdauung eine von dieser abhängige Temperaturveränderung nachweisen läßt oder nicht. Wir stellten daher einige Versuche an, wo die Temperatur der Nahrung möglichst gleich der des ruhenden Magens sein sollte.

Versuch IV. Vgl. Fig. 4 (Tafel).

Zeit	Rectal-temperatur	Zeit	Magen-temperatur
12,07	37,16	12,09	37,46
,11	37,26	,13	37,44
,15	37,29	,17	37,42
,19	37,29	,21	37,42
,23	37,29	,25	37,39
,27	37,29	,29	37,39

12,29 bis 12,33. Eingießen von $\frac{1}{2}$ l Milchsuppe von etwas mehr als 37°.

Versuch IV. Vgl. Fig. 4 (Tafel). (Fortsetzung).

Zeit	Rectal- temperatur	Zeit	Magen- temperatur
		12,35	37,24
12,37	37,31	,39	37,44
,41	37,31	,43	37,46
,45	37,33	,47	37,48
,49	37,31	,51	37,46
,53	37,29	,55	37,44
,57	37,29	,59	37,44
1,01	37,29	1,03	37,42
,05	37,26	,07	37,39
,09	37,29	,11	37,37
,13	37,29	,15	37,35
,17	37,29	,19	37,35
,21	37,29	,23	37,33
,25	37,29	,27	37,33
,29	37,29	,31	37,33
,33	37,26	,35	37,29
,37	37,24	,39	37,29

Die Rectaltemperatur betrug hier vor dem Essen 37,29°. Nach dem Essen ist sie anfangs 37,31°, sinkt dann mit einigen unbedeutenden Schwankungen wieder auf 37,29° und endlich auf 37,24°. Die Magentemperatur war vor dem Essen 37,39°. Die eingegossene Milchsuppe war etwas wärmer, weshalb die Temperatur des Mageninneren auf 37,44 bis 37,48° ansteigt (bei der Beobachtung um 12^h 35' hatte das Magenbolometer sich noch nicht auf die wirkliche Temperatur eingestellt). Von 12^h 47' an, d. h. 12 Minuten nach der Nahrungsaufnahme, sinkt die Magentemperatur ganz gleichmäßig; um etwa 1^h 10' ist sie 0,1° höher als die Rectaltemperatur, der Temperaturdifferenz vor dem Essen entsprechend. Sie sinkt aber immer weiter und ist schließlich, während der letzten 20 Minuten des Versuches, nur 0,04 bis 0,05° höher als die Rectaltemperatur.

In diesem Versuche finden wir also keine Gründe für die Annahme, daß die Magenverdauung mit einer deutlich nachweisbaren Temperaturerhöhung stattfinden würde.

Um größere Ansprüche auf die Leistung des Magens zu stellen, fügten wir in den beiden folgenden Versuchen zu der gewöhnlichen Milchsuppe noch je 2 Eier hinzu.

Versuch V. Vgl. Fig. 5 (Tafel).

Zeit	Rectal- temperatur	Zeit	Magen- temperatur
11,47	37,20	11,49	37,33
,51	37,37	,53	37,39
,55	37,37	,57	37,37
,59	37,35	12,01	37,35
12,03	37,35	,05	37,33
12,05 bis 12,07. Eingießen von $\frac{1}{2}$ l Milchsuppe mit 2 Eiern; Temperatur etwa 38°.			
12,11	37,35	12,13	37,44
,15	37,33	,17	37,39
,19	37,31	,21	37,33
,23	37,29	,25	37,31
,27	37,29	,29	37,31
,31	37,26	,33	37,29
,35	37,24	,37	37,29
,39	37,22	,41	37,31
,43	37,22	,45	37,31
,47	37,22	,49	37,31
,51	37,20	,53	37,31
,55	37,16	,57	37,26
,59	37,14	1,01	37,25
1,03	37,14	,05	37,24
,07	37,11	,09	37,23
,11	37,14	,13	37,22

Vor dem Essen ist die Temperatur im Magen und im Rectum fast ganz gleich (37,35°). Das Eingießen der etwa 38° warmen Milchsuppe bewirkt eine anfängliche Steigerung der Magentemperatur auf 37,44°. Letztere sinkt aber alsdann herab, und um 12^h 21' ist die Magentemperatur nur um 0,02° höher als die Rectaltemperatur. Von diesem Augenblick an tritt allmählich eine immer mehr ausgeprägte Differenz zwischen beiden zum Vorschein: die Magentemperatur bleibt bis 12^h 53' fast konstant auf 37,31, während die Rectaltemperatur ununterbrochen herabsinkt, so daß der Unterschied beider schließlich etwa 0,1° C wird. Dann fängt indessen auch die Magentemperatur an zu sinken, und zwar verläuft dieses Sinken fast genau parallel dem fortgesetzten Sinken der Rectaltemperatur.

Hier könnte man also an eine durch die Verdauung hervorgerufene Wärmetönung im Magen denken: die im Rectum gemessene Körpertemperatur sinkt im Verlaufe des Versuches

herab, dasselbe ist auch mit der Magentemperatur der Fall, diese nimmt aber entschieden langsamer ab und, während fast einer halben Stunde bleibt sie, trotz der ununterbrochen sinkenden Rectaltemperatur, konstant. Es ließe sich aber auch denken, daß die etwas über die Körperwärme erwärmte Kost den Temperaturfall des Magens verzögert und also den sonst parallelen Verlauf der Magen- und der Rectaltemperatur für eine Zeitlang aufgehoben hat.

Für die Richtigkeit der letzteren Deutung scheint folgender Versuch zu sprechen, wo die Temperatur der eingegossenen Nahrung etwas niedriger als die Körpertemperatur war.

Versuch VI. Vgl. Fig. 6 (Tafel).

Zeit	Rectal- temperatur	Zeit	Magen- temperatur
11,49	37,37	11,51	37,54
,53	37,39	,55	37,54
,57	37,39	,59	37,52
12,00 bis 12,02. Eingießen von $\frac{1}{2}$ l Milchsuppe mit 2 Eiern. Temperatur etwa 37,3°.			
12,03	37,39	12,05	36,99
,07	37,35	,09	37,07
,11	37,33	,13	37,14
,15	37,31	,17	37,20
,19	37,29	,21	37,22
,23	37,25	,25	37,24
,27	37,22	,29	37,24
,31	37,22	,33	37,26
,35	37,22	,37	37,29
,39	37,24	,41	37,31
,43	37,24	,45	37,33
,47	37,24	,49	37,35
,51	37,25	,53	37,35
,55	37,24	,57	37,35
,59	37,24	1,01	37,35
1,03	37,24	,05	37,35

In diesem Versuch war die Temperaturdifferenz zwischen Rectum und Magen vor dem Essen etwa 0,15°. Das Essen hatte eine etwas geringere Temperatur als der Magen, weshalb die Magentemperatur anfangs erheblich (auf 36,99°) herabsinkt und erst 25 Minuten nach dem Essen die Temperatur des Rectums erreicht. Ihrerseits sinkt diese eine Zeitlang ab und

bleibt schließlich konstant auf $37,24^{\circ}$. Etwa zu gleicher Zeit wird auch die Magentemperatur konstant, und zwar ist diese jetzt $0,11^{\circ}$ höher als die Temperatur des Rectums.

Da also die Magentemperatur verhältnismäßig mehr als die Rectaltemperatur herabsinkt, glauben wir folgern zu können, daß die Verdauung hier keine besondere Wärmebildung im Magen verursacht hat.

Aus diesen Versuchen dürfte also hervorgehen, daß nach Aufnahme einer breiigen Kost in einer Menge von $\frac{1}{2}$ l während der ersten Stunde keine durch den Verdauungsprozeß bewirkte Temperatursteigerung sich deutlich nachweisen läßt.

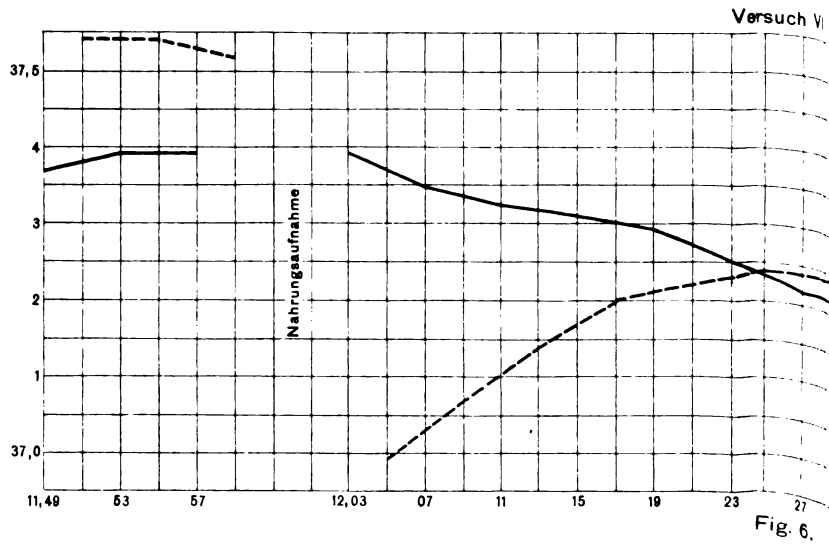
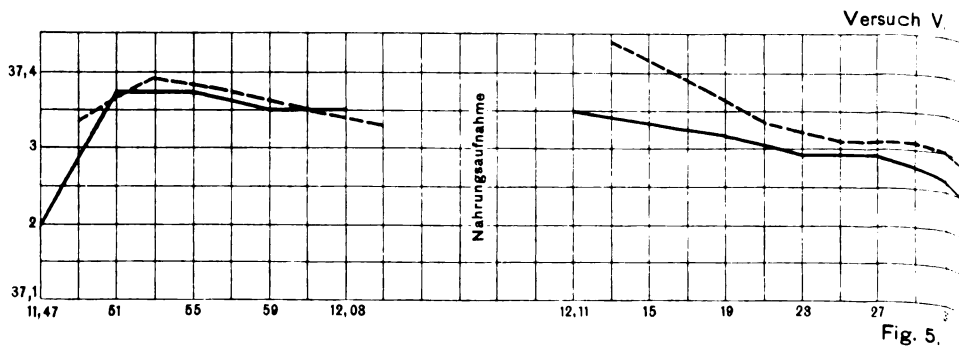
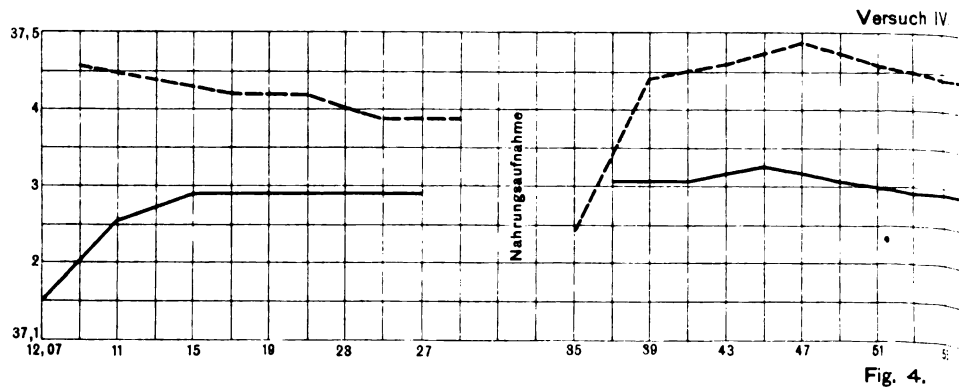
Dieses Ergebnis scheint anderen Angaben über die Wärmetönung bei der Drüsensekretion und der Verdauung nicht zu widerstreiten. So geben Bayliss und Hill¹⁾ an, daß die Sekretion der Submaxillarisdrüse mit keinem nachweisbaren Temperaturanstieg verbunden ist, und v. Lengyel²⁾ hat vor kurzem Versuche veröffentlicht, aus welchen er schließt, daß die Verdauung der Eiweißkörper mit Magensaft „mit einer außerordentlich minimalen Wärmeproduktion einhergeht“.

Wenn dem so ist, so wird die im Vergleich mit der Rectaltemperatur höhere Temperatur, die wir nach stattgefundenem Wärmeausgleich mit der aufgenommenen Nahrung im Magen beobachten, wohl größtenteils nicht durch Vorgänge im Magen selbst, sondern durch den Einfluß der Leber zu erklären sein.

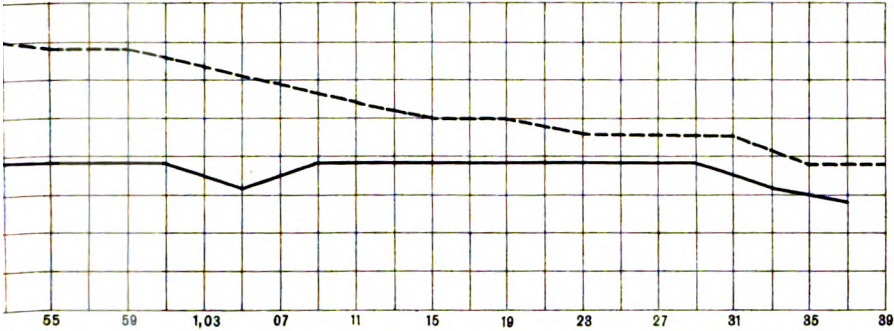
Um etwaige Mißverständnisse vorzubeugen, wollen wir indessen ausdrücklich bemerken, daß wir mit diesen Ausführungen nicht haben behaupten wollen, daß die Magentätigkeit überhaupt ohne jede Wärmetönung stattfindet: diese ist aber, wie es scheint, im allgemeinen so gering, daß sie sich nicht unverkennbar nachweisen läßt. Selbstverständlich gilt dies alles nur von der ersten Stunde nach der Nahrungsaufnahme, da es uns nicht möglich war, unsere Beobachtungen über längere Perioden auszudehnen.

¹⁾ Bayliss und Hill, Journ. of Physiol. 16, 351, 1894.

²⁾ v. Lengyel, Arch. f. d. ges. Physiol. 115, 7, 1906.

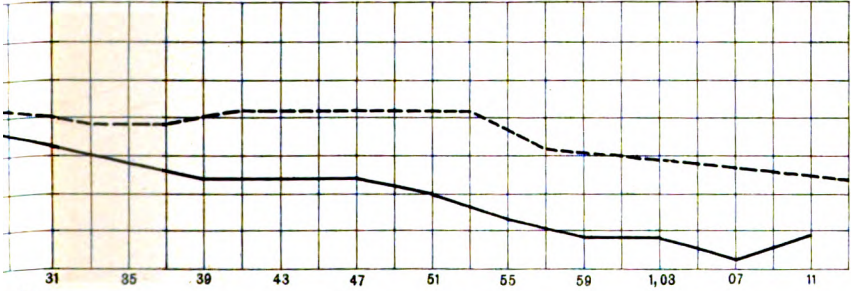


ch IV.



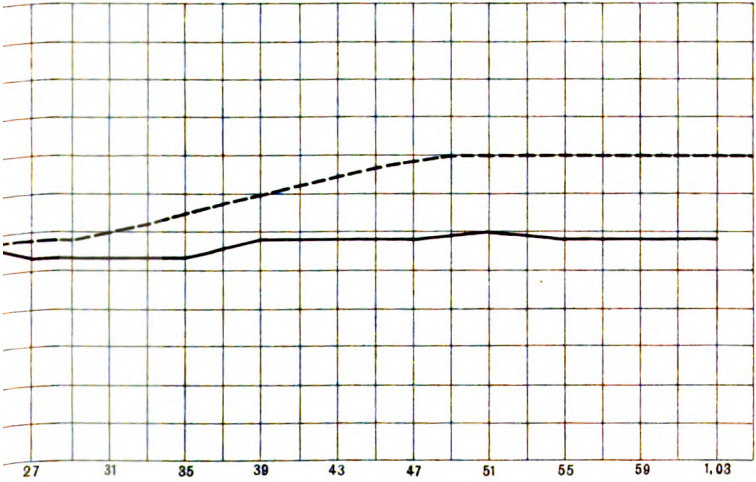
4.

h V.



f. 5.

uch VI.



g. 6.

Methode zur Bestimmung der zirkulierenden Blutmenge beim lebenden Tiere.

Von

N. Zuntz und J. Plesch.

Mit 2 Figuren im Text.

(Aus dem tierphysiologischen Institut der Landwirtschaftlichen Hochschule
zu Berlin.)

Bis vor kurzem galt nur die Welckersche Methode und ihre verschiedenen Modifikationen als exaktes Mittel zur Bestimmung der Blutmenge. Bei dieser Methode waren alle Aufgaben, welche die Beeinflussung der Blutmenge durch physiologische, pharmakologische und pathologische Bedingungen betreffen, nur lösbar durch vergleichende Untersuchung einer großen Anzahl von Tieren wobei man von der Voraussetzung ausgehen mußte, daß diese Tiere ursprünglich gleichen Prozentgehalt an Blut besessen hätten. Angesichts der Unsicherheit dieser Voraussetzung muß eine Methode, welche die Blutmenge am lebenden Organismus ohne tiefere Eingriffe bestimmen läßt, auch dann von großer Bedeutung sein, wenn sie nicht die Exaktheit der Welckerschen Methode erreicht.

Bisher sind zwei Methoden dieser Art zur Anwendung gekommen. Die eine stützt sich auf die Erfahrung, welche der eine von uns mit Cohnstein¹⁾ über die Langsamkeit des Austritts isotonischer Lösungen aus der Blutbahn gemacht hatte, die andere wohl zuerst von Gréhant und Quinquaud²⁾ an-

¹⁾ J. Cohnstein und Zuntz, Untersuchungen über den Flüssigkeitsaustausch zwischen Blut und Geweben unter verschiedenen physiologischen und pathologischen Bedingungen. Pflügers Arch. **42**, 303, 1888, spez. Kap. III.

²⁾ Gréhant und Quinquaud, Mesure du volume de sang contenu dans l'organisme d'un mammifère vivant. C. r. Ac. d. Sc. **94**, 1450 und Journ. de l'anat. et de la phys. **18**, 564, 1883;

gegebene beruht auf der Beimengung einer leicht nachweisbaren Substanz zum strömenden Blute. Bedingung ist hier, daß keine merkliche Menge der Substanz im Kreislauf zerstört wird oder in die Gewebe übertritt. Diesen Anforderungen genügt, nach Gréhant und Quinquauds inzwischen vielfach bestätigter Erfahrung, das Kohlenoxyd. Die Autoren verfahren in der Weise, daß sie eine gemessene Menge dieses Gases einatmen ließen und die Sauerstoffkapazität des Blutes durch Auspumpen vor und nach der Kohlenoxydatmung ermittelten. Die eingeatmete Menge dividiert durch die Abnahme der Sauerstoffkapazität, welche gleich ist dem Prozentgehalt an Kohlenoxyd im Blute, ergibt die Anzahl 100 ccm Blutes im Tierkörper.

Die genannten Autoren haben ihre Methode nur am Hunde erprobt. Sie war auch wegen der relativ großen Menge Blut, welche zur Auspumpung nötig war, zu Versuchen an Menschen wenig geeignet.

Diesen Übelstand hat Haldane im Verein mit Smith¹⁾ dadurch zu beseitigen gesucht, daß er eine Methode ausbildete, welche schon in zirka einem Kubikzentimeter Blut den Kohlenoxydgehalt zu bestimmen gestattete. Die Methode ist von Haldane und seinen Schülern sowie von Oerum²⁾ in größeren Versuchsreihen benutzt worden.

Wir schließen uns durchaus den Ausführungen Haldanes an, daß die Verwendung von Kohlenoxyd innerhalb der angegebenen Grenzen gesundheitlich vollkommen unbedenklich ist, schon die Tatsache, daß Lokomotivführer, welche längere Tunnel passieren, täglich viel stärkere Kohlenoxydmengen in das Blut aufnehmen, beweist dies (vgl. Mosso, *La respiration dans les tunnels*. Archives ital. de Biologie t. 34 u. 35).

Es ist uns nicht gelungen, nach der Haldaneschen Me-

¹⁾ John Haldane & S. Lorrain Smith, The mass and oxygen capacity of the blood in men. Journ. of Physiol. **25**, 331, 1900; vgl. auch Haldane, ebenda **18**, 463. A method of detecting and estimating carbonic oxide in air und **22**, 232. Methode der Carminitrierung; S. 375 und 475 Verbrennung von CO mit Hilfe der Platinspirale in einer Bürette. Gordon Douglas ebenda **33**, 493, 1906. Vergleich der Kohlenoxyd- und Welcker-Methode an Kaninchen.

²⁾ H. P. T. Oerum, Über die Einwirkung des Lichtes auf das Blut. Pflügers Archiv **114**, 1.

thode der Titrierung mit Carminlösung gut übereinstimmende Resultate zu erlangen.

Wir versuchten dann an Stelle des Carmins eine Farbgleichheit des kohlenoxydhaltigen Blutes mit dem vorher gewonnenen Normalblut desselben Individuums dadurch herzustellen, daß wir diesem Normalblut abgemessene Mengen eines vorher mit Kohlenoxyd vollständig gesättigten Anteils desselben Blutes hinzufügten. Das so herbeigeführte Mischungsverhältnis mußte dem Verhältnis entsprechen, in welchem Sauerstoff- und Kohlenoxydhämoglobin in dem nach der Inhalation gewonnenen Blut enthalten waren. Wir bedienten uns bei der Farbenvergleicheung des von einem von uns beschriebenen Chromophotometers.¹⁾ Die Details der Technik sind in der eben zitierten Abhandlung mitgeteilt.

Auch diese Methode ist zwar beim Menschen wegen der geringen erforderlichen Blutmenge wohl anwendbar, aber doch noch recht umständlich und vom Farbensinn des Beobachters abhängig.

Die außerordentliche Feinheit in der Bestimmung sehr geringer Gasvolumina, mit Hilfe der Wasserdruckmessung, die besonders von Barcroft²⁾ und Haldane ausgearbeitet wurde, in Verbindung mit der Möglichkeit, das Kohlenoxyd durch Ferricyanid aus dem Blute zu entbinden, schien uns eine direkte Bestimmung des Kohlenoxyds im Blute zu gestatten.

Nach mannigfachen Tastversuchen kamen wir zu der im Folgenden beschriebenen Methodik, welche es ermöglicht, in einem Kubikzentimeter Blut den Kohlenoxydgehalt mit einer Genauigkeit, welche der einer guten Blutgasanalyse mit Hilfe der Quecksilberpumpe gleichkommt, zu ermitteln. Unter ihrer Benutzung besteht die Bestimmung der Blutmenge eines Menschen oder Tieres aus folgenden Etappen:

1. Einatmung einer gemessenen Menge von Kohlenoxyd.
 2. Blutentnahme.
 3. Austreibung des Kohlenoxyds aus dem Blute.
 4. Verbrennungsanalyse des ausgetriebenen Kohlenoxyds.
- Ad 1. Das Versuchsobjekt wird mit Hilfe einer Maske,

¹⁾ Plesch, Chromophotometer usw. Zeitschr. f. klin. Med. 69, 1907.

²⁾ J. Barcroft, Journ. of Physiol. Suppl. 23, 64.

Trachealkanüle oder eines gewöhnlichen Mundstücks, bei verschlossener Nase mit dem nebenstehend skizzierten Atemapparat verbunden. Derselbe stellt einen geschlossenen Luftkreislauf dar. Die Inspiration erfolgt aus dem ca. 3 Liter fassenden Gummisack *s* durch das Inspirationsventil *J*. Die Expirationsluft geht durch das Ventil *E* in die Absorptionsvorrichtung *A* für die expirierte Kohlensäure. Wir fanden zu diesem Zwecke die von

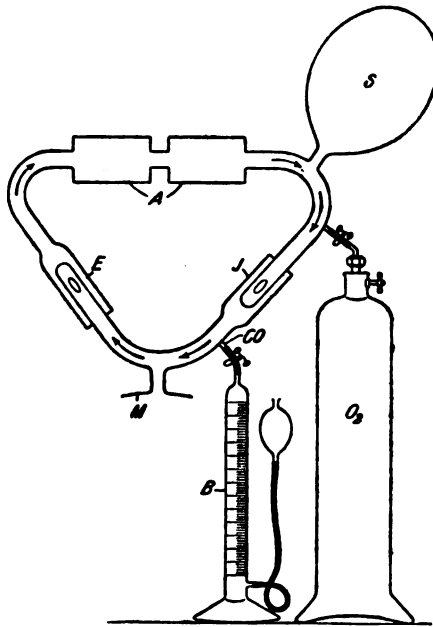


Fig. 1.

dem Drägerwerk in Lübeck seinen Rettungsapparaten beigegebenen Kalipatronen sehr bequem und ausgezeichnet wirksam. Von hier geht die Luft nach *S* zurück. Zwischen *S* und *J* befindet sich eine Zuleitung für Sauerstoff, zwischen *J* und *M* ein enges Rohr für das in der Bürette *B* abgemessene chemisch-reine Kohlenoxyd.

Nach zwei bis drei Atemzügen aus dem Sack, welchen eine möglichst vollkommene Expiration vorangehen soll, läßt man langsam die in der Bürette be-

reits genau abgemessene Menge Kohlenoxyd in den Stromkreis eintreten. Bei annähernd normaler Blutbeschaffenheit nimmt man zweckmäßig pro Körperkilo $2\frac{1}{2}$ bis 3 ccm Kohlenoxyd, bei Anämie entsprechend dem verminderten Hämoglobingehalt weniger, und zwar so, daß auf 1 g voraussichtlich vorhandenen Hämoglobins nicht mehr als 0,3 ccm CO entfällt.

Der Eintritt des Kohlenoxyds ist auf etwa 3 Minuten zu verteilen. Nach Beendigung des Einstromens wird noch 3 bis 4 Minuten lang weiter geatmet. Hierbei ist darauf zu achten, daß der Sack nicht ganz kollabiert, und eventuell neuer Sauerstoff nachzufüllen. Wir finden unsere Vorrichtung deshalb zweck-

mäßiger als die einfachere von Haldane beschriebene, welcher ohne Ventile aus einem Kautschuksack respirieren läßt, weil das zugeführte Kohlenoxyd in die Lunge gelangt, ohne mit dem übrigen Gase verdünnt zu werden. Bei fortdauernder Atmung werden nun mit Hilfe einer Spritze ca. 5 ccm Blut entnommen und damit der Atmungsversuch beendet. Es empfiehlt sich, in die Spritze ein wenig feingepulvertes Ammonoxalat zur Verhütung der Gerinnung zu bringen. Die Gegenwart einer kleinen Luftblase in der Spritze schadet nichts.

Man könnte bei Verwendung einer sehr feingeteilten Spritze diese direkt zum Einmessen der Blutproben in die Entwicklungspipette benutzen. Wir ziehen es aber vor, hierzu genau ausgewogene Pipetten von 1 ccm zu verwenden. Der Spritzenkolben wird, indem man Luft durch den Kanülenansatz nachtreten läßt, bis zur höchsten Stellung emporgezogen, dann unter Verschuß der Öffnung mit einem Finger vollends entfernt. Man kann auch, was wir in jüngster Zeit vorziehen, mit Hilfe einer mit Schlauch versehenen Stichkanüle das Blut direkt in eine mit einigen Krystallen von Ammonoxalat beschickte Eprouvette einfließen lassen. Man muß hierbei nur möglichst die Berührung des Blutes mit der Luft beschränken, indem man den Schlauch am Boden münden läßt.

Ad 3. Zur Entwicklung des Kohlenoxyds im Verein mit dem im Blute enthaltenen Sauerstoff dienen zylindrische Glasgefäße von etwa 15 ccm Inhalt. Diese Entwicklungspipetten sind unten in eine mittels Kautschukschlauchs und Quetschhahns verschlossene Capillare ausgezogen. Durch die obere, etwa 3 mm weite Öffnung wird 1 ccm einer $\frac{1}{4}\%$ igen Ammoniaklösung eingefüllt. In die so vorbereitete Entwicklungspipette mißt man nun 1 ccm des eben aufgefangenen Blutes ein und mischt durch vorsichtiges Schütteln. Sobald das Blut lackfarben geworden, wird ein Kubikzentimeter gesättigter frischbereiteter Lösung von Ferricyankalium zugefügt und die Pipette sofort mittels Kautschukschlauchs und Quetschhahns oben verschlossen. Nach zirka einer Minute beginnt die Entwicklung der Blutgase, welche man durch nicht zu heftiges Schütteln fördert. Wir empfehlen etwa drei solcher Analysen nebeneinander anzusetzen. Es bleibt dann noch genug Blut zur colorimetrischen Bestimmung des Hämoglobingehalts sowie des

spezifischen Gewichtes und eventl. zur Bestimmung der Kohlenoxydkapazität in einer total gesättigten Probe. Diese letztere Bestimmung sollte namentlich in pathologischen Fällen nie unterlassen werden, weil sie im Verein mit der colorimetrischen Bestimmung erkennen läßt, ob das Hämoglobin des Individuums von normaler Beschaffenheit ist.

Die Gasentwicklung ist nach zirka einer Stunde beendet. Man erkennt es an dem Verschwinden des feinblasigen Schaumes. Man kann nun die Überfüllung der Gase sofort vornehmen, aber auch die Probe 24 Stunden und länger verschlossen stehen lassen.

Ad 4. Zur Bestimmung des Kohlenoxyds dient eine Flasche *V* von etwa 30 ccm Inhalt (Fig. 2).¹⁾ Die Flasche besteht aus zwei durch einen guten Schliff miteinander verbundenen Teilen. In den unteren ist eine Platinspirale zur Verbrennung des Kohlenoxyds eingeschmolzen. Die Spirale besteht aus 0,1 bis 0,2 mm starkem Draht, während der Zuleitungsdraht 0,8 bis 1,0 mm stark ist. Der Widerstand, d. h. die Länge der dünnen Glühspirale, ist so zu bemessen, daß an den von der Kalilauge benetzten unteren Enden des dicken Drahtes keine Elektrolyse (Gasbläschen) auftritt. Das obere Ende von *V* geht in eine Capillare über, deren Ende seitlich abgebogen etwa 1 cm tief in *V* hineinragt. Die Capillare trägt einen Dreiweghahn *D*, durch welchen sie abwechselnd mit den ebenfalls capillaren Röhren *a* und *b* in Verbindung gesetzt werden kann. Zum Versuch bringt man in das untere Stück von *V* 1 bis 2 ccm 2%ige Kalilauge, fügt dann die schwach nur im oberen Teil der Schliffflächen gefetteten Teile aneinander, sichert die Verbindung mit Hilfe von Gummiringen, die an die Glashaken der beiden Stücke befestigt werden, und evakuiert das Gefäß indem man es mit der Capillare *a* an eine Wasserstrahlpumpe ansetzt. Hierauf wird *a* mit der Entwicklungspipette verbunden. Als Verbindungsstück dient eine Glascapillare, welche in der Mitte eine mit Glasperlen gefüllte kugelige Erweiterung von 1 bis 2 ccm Inhalt besitzt. Die Perlen benetzt man durch Aufsaugen mit einer 0,5%igen Schwefelsäure, deren Überschuß durch Ausblasen entfernt wird. Die Schwefelsäure dient zur

¹⁾ Unsere Glasapparate sind von der Firma Bleckmann & Burger, Berlin N., Auguststr. 3a, angefertigt.

Absorption des Ammoniakdampfes, welcher durch seine Verbrennung das Resultat fälschen würde. Man verbindet nun in der Fig. 2 skizzierten Weise die Verbrennungsflasche mit der Entwicklungspipette, öffnet den Quetschhahn 1 und den Dreiweghahn. Dann schließt man 1 und läßt durch Öffnen von 2 einen Teil des Gases durch die Schwefelsäure in die kleine

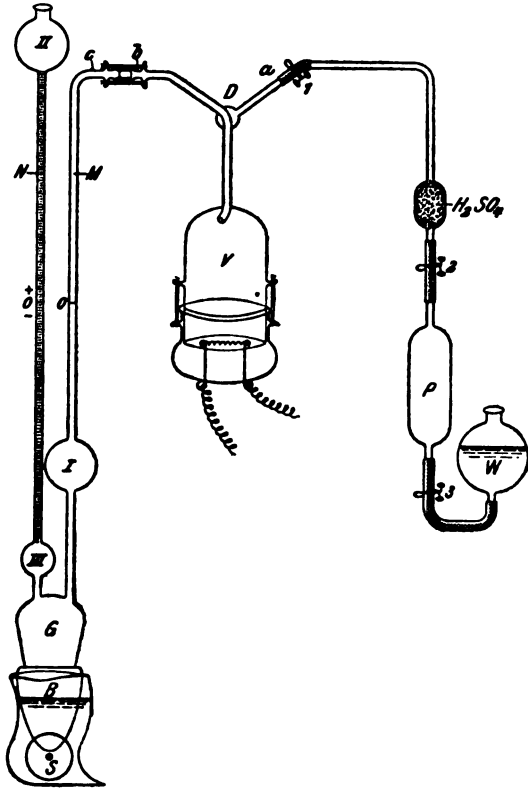


Fig. 2.

Kugel treten. Nach Verschuß von 2 wird dieses Gas in *V* gesaugt. So fährt man fort bis annähernder Spannungsausgleich zwischen *P* und *V* erzielt ist. Jetzt erst stellt man freie Kommunikation her, damit die Spannung sich vollkommen ausgleiche. Nun wird 2 wieder geschlossen und *P* behufs Entbindung des in der Flüssigkeit absorbierten Gases geschüttelt, abermals Kommunikation hergestellt und nun endlich, durch vorsichtiges Öffnen von 3, aus der inzwischen angesetzten Glas-

kugel W Wasser in P eingelassen, um den Rest des Gases nach V zu bringen. Zweckmäßig läßt man auch bei dieser Manipulation niemals alle Quetschhähne zugleich offen. Nach der Entfernung der Entwicklungspipette wird V mit Hilfe der Schliffstücke b, c mit dem Manometerschenkel M verbunden. Das Manometer wird an die Wand einer Wasserwanne außen so angehängt, daß sich V im Inneren der Wanne unter Wasser befindet. Nach einigen Minuten wird dann in V durch Einlassen von reiner Luft Atmosphärendruck hergestellt. Da die Zimmerluft häufig Spuren von Leuchtgas enthält, welche das Resultat fälschen würden und auch ihr hoher CO_2 -Gehalt einige Zeit bis zur vollen Absorption brauchen würde, verwendet man zweckmäßig CO_2 -freie Luft aus dem Freien. Dieselbe wird in einer Gaspipette über starkverdünnter Kalilauge bereit gehalten. Statt Luft haben wir häufig Sauerstoff aus einer Bombe zum Nachfüllen von V benutzt in der Hoffnung, dadurch den Verbrennungsprozeß zu beschleunigen. Der so erzielte Vorteil ist aber nicht nennenswert, da die Verbrennung ohnedies rasch genug erfolgt. Nunmehr wird D so gedreht, daß a mit b kommuniziert, und die Flüssigkeit im Manometerschenkel M auf den Nullpunkt eingestellt. Um diese Einstellung zu ermöglichen, ist das Manometergefäß G unten durch das Kautschuksäckchen B verschlossen, dessen Volum mit Hilfe der Messingfeder und Stellschraube S fein geändert werden kann. Nach Einstellung des Manometers auf den 0-Punkt setzt man es durch Drehung von D mit V in Verbindung und wartet nun unter öfterem Mischen des Wassers in der Wanne, bis das Manometer einen unveränderlichen Stand zeigt oder sich in genau gleichem Maße wie das danebenhängende Thermobarometer ändert.

Als Thermobarometer dient ein dem eben beschriebenen ganz gleiches System. Nach Ablesung des immer wieder im Schenkel M auf 0 eingestellten Manometers am Apparat und am Thermobarometer und der Temperatur des Wassermantels schreitet man zur Verbrennung des Kohlenoxyds. Indem man die Platinspirale bis fast zur Weißglut durch einen entsprechend abgestuften elektrischen Strom erhitzt. Wir bedienen uns hierzu in der Regel des Straßenstroms von 110 Volt Spannung unter Einschaltung eines Lampenwiderstands aus fünf Glüh-

lampen, welche man je nach der Dünne des Platindrahts 10 bis 25kerzig wählt. Wir haben auch wiederholt statt des Straßenstroms einen zweizelligen Akkumulator resp. zwei große Bunsen-Elemente benutzt. Wahrscheinlich würde auch eine kräftige Thermosäule gute Dienste tun. Mit dem Erglühen des Platindrahtes dehnt sich die erwärmte Luft in V aus und drückt die Flüssigkeit im Manometerschenkel M herunter. Die kugelige Erweiterung I des Manometerschenkels M nimmt die aus V verdrängte Luft auf, während das Wasser in die kugelige Erweiterung II des Manometerschenkels N emporsteigt. Die Erweiterungen müssen etwa ein Drittel des Inhaltes von V fassen. Der Druck des Gases in V steigt vermöge dieser Einrichtung beim Glühen nur um etwa 15 cm Wasser. Wir hatten anfänglich das Entweichen von Gas aus V durch Absperren von D verhindert, hierbei aber gelang es nicht, die Schliffe derart zu sichern, daß sie den Überdruck zuverlässig aushielten, so daß häufig Gasverluste eintraten. Nach etwa 20 Sekunden Glühens unterbricht man den Strom so lange, bis das Gas der Hauptmasse nach wieder in V zurückgekehrt ist, was in 10 bis 15 Sekunden geschieht. Dann glüht man abermals 20 Sekunden lang und wiederholt dieses Spiel etwa 20mal. Nun wird genau wie anfangs der Temperatenausgleich abgewartet und abgelesen, nachdem man durch Benetzung der Wand mit der Kalilauge für vollkommene Absorption der Kohlensäure gesorgt hat. Hierauf wird durch Wiederholung des Glühens kontrolliert, ob die Verbrennung vollendet war, was meist der Fall ist. Man kann sehr wohl 2 bis 3 Verbrennungen gleichzeitig ausführen, indem man die Platinspiralen hintereinander in denselben Stromkreis schaltet. Notwendig ist es auch das Thermobarometer genau wie die eigentlichen Verbrennungsgefäße einzurichten und mit diesen zu erhitzen, um alle Bedingungen möglichst gleichmäßig zu haben.

Es verbrennt nämlich regelmäßig beim Glühen ein wenig Stickstoff der Luft, wie wir durch das Auftreten von Salpetersäure in der Kalilauge nach längerem Gebrauch nachweisen konnten. Die Größe dieses Fehlers ist in den verschiedenen Apparaten gleich, wenn die Glühspiralen gleich lang und aus gleichem Draht gefertigt sind und die Verbrennungsgefäße annähernd gleichen Inhalt haben. Man muß sich.

ehe man die Gefäße in Benutzung nimmt, überzeugen, daß ihre Manometer nach längerem Glühen parallel gehen.

Erhebliche Fehler können entstehen, wenn die Luft des Zimmers brennbare Gase (Leuchtgas) enthält. Es empfiehlt sich deshalb, sowohl die Füllung der Entwicklungspipette *P* wie auch den Druckausgleich in *V* am offenen Fenster vorzunehmen oder besser in der S. 54 beschriebenen Weise CO_2 -freie Außenluft zu benutzen. Nach dem Druckausgleich ist die etwa in *V* und im Thermobarometer noch vorhandene Luftkohlenensäure durch leises Schütteln des Gefäßes zur Absorption zu bringen.

Zur Berechnung der Resultate ist es notwendig den Rauminhalt des Verbrennungsgefäßes einschließlich der Glasröhren bis zum 0-Punkt des Manometerschenkels *M* zu kennen. Durch Wasserwägung läßt sich die Kalibrierung mit mehr als nötiger Genauigkeit ausführen.

Bei der Verbrennung verbinden sich zwei Volumina CO mit einem Volum Sauerstoff zu CO_2 , welche absorbiert wird. Die Abnahme des Gases ist also mit $\frac{2}{3}$ zu multiplizieren, um das CO zu finden. Da durch die Einstellung des Manometers dafür gesorgt ist, daß der dem Gase zur Verfügung stehende Raum konstant bleibt, prägt sich die Änderung der Gasmenge ausschließlich im Druck aus. Die unvermeidlichen Änderungen der Temperatur und des äußeren Luftdruckes wirken auf die Manometer des Verbrennungsapparates und des Thermobarometers in gleichem Maße. Man braucht daher nur die Druckänderung des Thermobarometers von der des Manometers abzuziehen, um die durch die Verbrennung bewirkte Druckänderung zu finden. Betrüge nun diese Druckänderung *a* mm, das Kaliber des Verbrennungsgefäßes mit Einschluß des angrenzenden lufthaltigen Manometerschenkels bis zum Nullpunkt *v* ccm, die Anfangstemperatur gemessen im Wasser der Wanne t° , so ist das auf 0° 760 mm Hg Druck und Trockenheit reduzierte Volum des Kohlenoxyds gleich:

$$\frac{2 \text{ v. a}}{3 \times 760 \times 13,65 \times (1 + 0,0367 t)}$$

oder vereinfacht

$$\frac{\text{v. a}}{15561 (1 + 0,0367 t)}$$

Zur Erleichterung der Rechnung geben wir in der folgenden

Tabelle den Wert von $\frac{1}{15561(1+0,0367t)}$ für die praktisch wichtigen Temperaturen zwischen 12 und 22°. Die Zahlen lauten:

Temp. ° C	Numerus	Logarithmus	Differenz für 1°
12	0,0000616	5,78927 — 10	152
13	0,0000613	5,78775	152
14	0,0000611	5,78623	151
15	0,0000609	5,78472	151
16	0,0000607	5,78321	150
17	0,0000605	5,78171	150
18	0,0000603	5,78021	149
19	0,0000601	5,77872	149
20	0,0000599	5,77723	148
21	0,0000597	5,77575	148
22	0,0000595	5,77427	

Als Beispiel geben wir die Kohlenoxydberechnung in einem gesättigten Pferdeblut: Kaliber des Verbrennungsgefäßes $a = 37,54$ cm; Temperatur im Moment der Absperrung des Manometers und Thermobarometers $= 14,2^\circ$ C.

Anfangsablesung am Thermobarometer $+ 3,0$ mm
am Verbrennungsapparat $+ 4,8$ „

nach 10maligem Glühen:

am Thermobarometer $+ 35,2$ „
am Verbrennungsapparat $- 29,6$ „

nach abermals 10maligem Glühen:

am Thermobarometer $+ 46,1$ „
am Verbrennungsapparat $- 21,8$ „

nach abermals 10maligem Glühen:

am Thermobarometer $+ 49,2$ „
am Verbrennungsapparat $- 18,6$ „

Die durch die Verbrennung bewirkten Druckänderungen sind demnach:

Nach dem ersten Glühen: $29,6 + 4,8 + (35,2 - 3,0) = 66,6$ mm
 „ „ zweiten „ $21,8 + 4,8 + (46,1 - 3,0) = 69,7$ „
 „ „ dritten „ $18,6 + 4,8 + (49,2 - 3,0) = 69,6$ „

Es war also nach dem zweiten Glühen die Verbrennung vollendet. Durch Einsetzen der Zahlenwerte in die Formel haben wir

$$\frac{37,54 \times 69,65}{0,0000611}$$

$$\log 37,54 = 1,57449$$

$$\log 69,65 = 1,84292$$

$$\log \frac{1}{0,0000611} \text{ (s. Tabelle korrigiert für } 0,2^\circ) = 5,78593 - 10$$

$$\frac{9,20334 - 10}{\text{num. log } 9,20334 = 0,160 \text{ ccm CO in 1 ccm Blut, d. h. } 16,0 \text{ Vol.}\%.$$

In diesem Falle war die Sättigung des Blutes mit Leuchtgas ausgeführt worden, was bei colorimetrischen Bestimmungen unbedenklich, hier aber wegen der anderen aus dem Leuchtgas absorbierten brennbaren Gase durchaus unzulässig ist, wie der Vergleich mit zwei anderen Proben desselben Blutes, die mit reinem CO gesättigt worden, zeigt. Diese Proben ergaben:

$$14,07\% \text{ CO,}$$

$$13,80\% \text{ CO.}$$

Bei der Berechnung des im Körper vorhandenen Blutvolums aus den Daten des Versuchs ist zu berücksichtigen, daß von dem zugeführten Kohlenoxyd ein Rest in der Luft der Lungen und des Respirationskreises bleibt.

Dieser Rest ist aber sehr gering. Wenn das Hämoglobin des Blutes zu $\frac{1}{4}$ bis $\frac{1}{8}$ mit CO gesättigt ist, wie es in unseren Versuchen der Fall ist, entspricht die Tension dieses Gases nach Gréhant und Haldane einem Gehalt von $0,05\%$ in der Atemluft.

Da der Luftvorrat in den Lungen und dem Atemkreis bei Versuchen am Menschen etwa 5 l beträgt, haben wir mit einem Rückstand von $\frac{5000 \cdot 0,05}{100} = 2,5$ ccm CO zu rechnen.

Einige von uns in der Luft des Atemsackes ausgeführte CO-Bestimmungen ergaben nur wenig von diesem theoretischen

Werte abweichende Zahlen. Nur dann wird man auf etwas höheren Gehalt zu rechnen haben, wenn ein sehr sauerstoffreiches Gasgemisch zur Atmung benutzt wird, indem man die Lunge zu Beginn des Versuchs mit Sauerstoff auswäscht, was wir aber nicht empfehlen möchten.

Zur Analyse des Kohlenoxydgehaltes der Atemluft, sowie überhaupt zur Bestimmung geringer Mengen brennbarer Gase in sauerstoffhaltigen Gemischen, kann auch der in Fig. 2 abgebildete Apparat dienen. Man evakuiert V mit Hilfe einer Wasserstrahlpumpe und läßt dann das von Kohlensäure befreite zu untersuchende Gas in das Vakuum eintreten. Zweckmäßig wiederholt man die Evakuierung und Füllung ein zweitesmal, um die letzten Reste Luft zu entfernen. Dann vollzieht sich die Analyse genau wie beim Blutgas.

Der Prozentgehalt des Gases an CO ergibt sich hier aus dem Ausschlag des Wassermanometers $= b$ mm und dem auf 0° und Trockenheit reduzierten Barometerstande p als gleich $\frac{100 \times \frac{2}{3} b}{p \times 13,56}$ oder unter Zusammenfassung der Zahlen:

$$\frac{4,916 \times b}{p}$$

Geringe Mengen CO werden auch von den Körperflüssigkeiten absorbiert. Wenn wir, um den höchsten Wert des so zu begehenden Fehlers zu ermitteln, annehmen, die ganze Masse des Körpers habe dasselbe Absorptionsvermögen für CO wie Wasser (Absorptionskoeffizient $= 0,0184$ bei 37° C), so würden bei 70 kg Körpergewicht 0,64 ccm CO aus einer Atmosphäre mit 0,05% dieses Gases absorbiert werden.

Man wird daher in Versuchen am Menschen von dem zugeführten CO 3 ccm als nicht ins Blut aufgenommen abziehen müssen. Etwas CO dürfte auch das außerhalb der Blutbahn als Bestandteil der Muskeln vorhandene Hämoglobin absorbieren. Wir können den hierdurch bedingten Fehler wohl kaum auf mehr als 1% des Bluthämoglobins veranschlagen. Daß der Muskelfarbstoff bei Kohlenoxydvergiftung in der Tat sich mit dem Gase verbindet, das hat vor Jahren Falk¹⁾ im hiesigen Laboratorium nachgewiesen; er hat auch gezeigt, das das

¹⁾ Falk, F., Über postmortale Blutveränderungen. Vierteljahrsschr. f. ger. Med. 52, 215.

Muskelhämoglobin sich langsamer als das des zirkulierenden Blutes mit CO verbindet, dafür aber auch noch zu einer Zeit, wo das Blut schon frei von CO ist, deutlich die Spectralerscheinungen des Kohlenoxydhämoglobins gibt.

Nicht unerhebliche Fehler können entstehen, wenn das Versuchsindividuum in den letzten Stunden vor dem Versuch sich in einer durch Leuchtgas verunreinigten Luft aufgehalten oder stark geraucht hat, wodurch die fast stets im Blute vorhandenen Spuren von Kohlenoxyd beträchtlich anwachsen können.

Die mit der beschriebenen Methode gefundenen Zahlen für die Blutmenge von Menschen und Tieren wird der eine von uns (Plesch) in einiger Zeit veröffentlichen.

Nur als Beispiel geben wir folgende Bestimmung an einem gesunden jungen Manne von 65 kg Gewicht.

In $6\frac{1}{2}$ Minuten zugeführt 183,2 cc Kohlenoxyd bei $17,7^{\circ}\text{C}$ und 756 mm Barometerstand = 167,2 cc CO bei 0° u. 760 mm. Dann wurde noch 9 Minuten geatmet, ehe die Blutprobe aus der Armvene entnommen wurde.

Die Kontraktion bei der Verbrennung entsprach in 3 Analysen:

a	20,2 mm,
b	19,9 mm,
c	20,2 mm.
<hr/>	
Mittel . . .	20,1 mm.

Das Gefäß V maß 37,54 cc.

Die verwendete Blutmenge war jedesmal 0,960 cc, die Temperatur $18,1^{\circ}\text{C}$ in allen 3 Analysen, daher nach der Formel S. 56,

Prozentgehalt des Blutes = 4,737.

Die Kohlenoxydbestimmung der Atemluft ergab 0,027 %. Das Volum der Atemwege betrug ca. 4^l, demnach unabsorbiert 1,08 cc, in den Körpersäften ca. 0,3 cc, also an Hämoglobin gebunden 165,8 cc CO.

Die Blutmenge ist daher $\frac{165,8 \times 100}{4,737} = 3500 \text{ cc} = 5,385\% = \frac{1}{18,8}$ des Körpergewichts.

Über Milchzucker zerstörende Enzyme in der Milch.

Von

Prof. Dr. A. J. J. Vandeveld, Gent.

Im Laufe meiner Untersuchungen¹⁾ über Enzyme in der Kuhmilch habe ich feststellen können, daß der Milchzucker verändert wird. In Milchproben, welche roh mit Jodoform-aceton nach meiner früher beschriebenen Methode²⁾ bei 37,5° C aufbewahrt wurden, konnte ich eine erhebliche Verminderung des Rotationsgrades konstatieren, wie folgende Werte zeigen; diese Werte sind die Saccharimetergrade des Laurentschen Polarisimeters, wenn die Filtrate von 20 ccm Milch und 20 ccm einer 10%igen Bleizuckerauflösung³⁾ in einem Rohre von 20 cm beobachtet wurden.

Milchart	Frische Milch 14. 2. 1906	Aufbewahrte Milch	
		18. 3. 1906	3. 4. 1906
V 216	11,9	11,0	9,3
V 217	11,4	9,7	6,8
V 218	10,5	8,3	4,9
V 219	11,3	5,6	3,6
V 220	11,8	10,8	8,1
V 221	9,6	6,8	4,7
V 222	9,8	7,0	4,6
V 223	12,3	9,9	8,7

Daraus läßt sich schließen, daß der Milchzucker eine Umsetzung erleidet, welche nicht mit der gewöhnlichen d-Glucose

¹⁾ A. J. J. Vandeveld. Nouvelles recherches sur les ferments solubles du lait. Memoire couronné Acad. sciences Belgique, 1907, 85 S.

²⁾ A. J. J. Vandeveld. Über die Anwendung von Antiseptics bei Untersuchungen über Enzyme. Diese Zeitschr, 8, 315 bis 319, 1907.

³⁾ Chemisch Jaarboekje voor Nederland, België en Nederlandsch Indië, Amsterdam 1908, 105.

= d-Galactose-Inversion übereinstimmt, da diese Zuckerarten die folgenden spezifischen Rotationswerte zeigen:

$$\text{Milchzucker } [\alpha]_D = + 52,53$$

$$\text{d-Glucose } [\alpha]_D = + 51,78$$

$$\text{d-Galactose } [\alpha]_D = + 80,27.$$

Um diese Umsetzungserscheinungen näher zu untersuchen, habe ich eine neue Reihe Proben mit der Kuhmilch V 241 vorgenommen. Die Milch wurde auf drei Weisen aufbewahrt: 1. nach Sterilisieren durch Kochen, 2. mit 40%iger Formolauflösung (3 ccm pro Liter Milch), und auch 3. mit 4%igem Jodoform-aceton (100 ccm pro Liter Milch). Die Proben wurden in Druckflaschen gebracht und in Brutschränken auf 37,5° C aufbewahrt. Jede Woche wurden die Flaschen zur Homogenisierung der eingehaltenen Flüssigkeiten gut umgeschüttelt.

Die Milch V 241 hatte im frischen Zustande am 20. 12. 1906 die folgende Zusammensetzung und Eigenschaften:

Extrakt	13,15 GV%
Asche	0,70 GV%
Proteine	2,51 GV%
Milchzucker (durch Polarisierung) . .	4,88 GV%
Milchzucker (nach der Fehlingschen Methode)	4,77 GV%
Fett	4,93 GV%
Säuregrad in 100 ccm	27 ccm % ₁₀
Schmelzpunkt des Lactosephenylosa- zons, bereitet aus dieser Milch	201° C.

Mit dieser aufbewahrten Milch wurden die Rotation, die Reduktionskraft, die Osazonbildung und der Säuregrad untersucht.

1. Rotation.

Je 20 ccm Milch wurden mit 20 ccm einer 10%igen Bleizuckerauflösung versetzt, und die Saccharimetergrade mit dem Filtrate in dem 20 cm langen Rohr des Laurentschen Polarimeters bestimmt. Die übereinstimmenden Milchzuckermengen sind für 100 ccm Milch nach der Tabelle des „Chemisch Jaarboekje“¹⁾ berechnet. Mit der Jodoformmilch wurde die Volumkorrektur berechnet (110 Mischung = 100 Milch).

¹⁾ Op. cit.

Am 20. 12. 1906, anfangs:

FrISChe Milch . . 11,8° S. mit 4,88% Milchzucker übereinstimmend.

Am 16. 1. 1907, nach 27 Tagen:

Gekochte Milch . . 11,4° S. mit 4,63% Milchzucker übereinstimmend

Formolmilch . . . 11,4° S. „ 4,63% „ „

Jodoformacetonmilch 9,8° S. „ 4,06% „ „

Am 25. 5. 1907, nach 155 Tagen:

Gekochte Milch . . 11,5° S. mit 4,76% Milchzucker übereinstimmend

Formolmilch . . . 11,4° S. „ 4,63% „ „

Jodoformacetonmilch 5,4° S. „ 2,22% „ „

Am 20. 3. 1908, nach 429 Tagen:

Gekochte Milch . . 10,9° S. mit 4,50% Milchzucker übereinstimmend

Formolmilch . . . 10,4° S. „ 4,31% „ „

Jodoformacetonmilch 4,5° S. „ 1,86% „ „

Wie die bakteriologische Untersuchung zeigte, waren die Proben ganz bakterienfrei; auch enthielten die Flaschen keine Gase unter Druck. In der gekochten und in der Formolmilch fand ich allein eine geringe Verminderung der Rotation, stark ausgesprochen dagegen in der rohen Jodoformacetonmilch. Daraus läßt sich dieselbe Schlußfolgerung ziehen als aus den vorläufigen Untersuchungen.

2. Reduktionskraft.

Die Reduktion mit der Fehlingschen Auflösung wurde wie folgt ausgeführt: in einem Meßkolben von 100 ccm wurden 10 ccm Milch mit 10 ccm des 10%igen Bleizuckers versetzt; nach einer Stunde wurden zu dieser Mischung 10 ccm einer gesättigten Natriumsulfatauflösung zugesetzt und das ganze Volum mit Wasser auf 100 ccm gebracht; 50 ccm des Filtrates wurden mit 50 ccm kochender Fehlingscher Lösung vermischt, und das niedergeschlagene Kupferoxydul in Oxyd übergeführt. Bei der Jodoformmilch wurde die Korrektur 110 Mischung = 100 Milch gemacht. Die gefundenen Kupfermengen sind auf Milchzucker umgerechnet.

Am 20. 12. 1906, anfangs:

FrISChe Milch . . 4,768 g berechneter Milchzucker in 100 ccm,

Am 16. 1. 1907, nach 27 Tagen:

Gekochte Milch : . 4,695 g berechneter Milchzucker in 100 ccm,

Formolmilch : . . 4,609 g „ „ „ 100 „

Jodoformacetonmilch 4,479 g „ „ „ 100 „

Am 25. 5. 1907, nach 155 Tagen:

Gekochte Milch : .	4,653 g	berechneter Milchzucker in 100 ccm,
Formolmilch . . .	4,525 g	„ „ „ 100 „
Jodoformacetonmilch	4,273 g	„ „ „ 100 „

Am 20. 3. 1908, nach 429 Tagen:

Gekochte Milch . .	4,455 g	berechneter Milchzucker in 100 ccm,
Formolmilch . . .	4,588 g	„ „ „ 100 „
Jodoformacetonmilch	4,351 g	„ „ „ 100 „

Wenn folglich einerseits der Milchzucker eine Umsetzung erleidet, wodurch die Polarisierung vermindert wird, wurde andererseits festgestellt, daß die Reduktionskraft nahezu dieselbe bleibt. Im Falle einer normalen Inversion des Milchzuckers in d-Glucose und d-Galactose müßte auch die Reduktionskraft erhöht werden, da 0,1 gr Kupfer wird reduziert von:

0,0722 g Milchzucker
 oder 0,0529 g invertiertem Milchzucker
 oder 0,0549 g d-Glucose
 oder 0,0530 g d-Galactose.

Die gefundenen Werte weisen eine geringe Verminderung der Reduktion auf und stimmen mit den Ergebnissen der Rotation überein, welche eine andere Umsetzung als die Inversion zu d-Glucose und d-Galactose anzeigt.

3. Osazonbereitung.

Das Milchzuckerphenylosazon wurde aus 250 ccm Milch bereitet, welche mit einer Auflösung von 16 g neutralem Bleiacetat in 50 ccm Wasser versetzt waren. Nach einer Stunde wurde die Mischung mit 100 ccm einer gesättigten Natriumsulfatauflösung durchgeschüttelt und filtriert. Das Filtrat wurde mit 25 g salzsaurem Phenylhydrazin und 25 g Natriumacetat eine Stunde lang gekocht, unter Innehaltung einer konstanten Wassermenge. Die Flüssigkeit wurde warm filtriert und die Krystalle durch Auflösen in heißem Wasser gereinigt.

Aus der seit 27 Tagen aufbewahrten Milch wurden Osazonkrystalle erhalten, welche einen Schmelzpunkt von 197° C, 198° C und 196° C zeigten für die gekochte, die Formol- und die Jodoformacetonmilch. Nach 155 Tagen zeigte die Milch noch dieselben Werte: 196° C, 197° C und 196° C; da aber die Menge der Krystalle aus der Jodoformacetonmilch bedeutend vermindert

gefunden wurde, wurden die Gewichte dieser für die drei Milchproben unter denselben Bedingungen erhaltenen Krystalle bestimmt. Ich fand 1,68 g, 1,41 g und 0,63 g Milchzuckerphenylosazon für die gekochte, die Formol- und die Jodoformacetonmilch.

Nach 429 Tagen wurden mit der Jodoformketonmilch keine Ozonkrystalle mehr erhalten; mit der gekochten Milch konnte ich 1,45 g Krystalle mit einem Schmelzpunkt von 198° C und mit der Formolmilch 1,29 g Krystalle mit einem Schmelzpunkt von 199° C bereiten.

Damit wird bewiesen, daß der Milchzucker in der Jodoformketonmilch allmählich umgesetzt wird, und daß diese Umsetzung sehr wenig oder gar nicht in gekochter und in Formolmilch stattfindet. Auch hier wird der Milchzucker nicht in d-Glucose und d-Galactose gespalten, da bei diesen beiden Zuckern die Phenylosazone ähnliche Eigenschaften als das Lactosephenylosazon besitzen; es schmilzt das d-Glucosephenylosazon bei 205 bis 208° C, und das d-Galactosephenylosazon bei 193 bis 194° C.

4. Säuregrad.

Durch die bakteriologische Untersuchung wurde die völlige Abwesenheit der Bakterien festgestellt, welche den Säuregrad verändern könnten. Auch wurde keine spontane Säurebildung nachgewiesen. Mit $\frac{n}{10}$ -Natron und Phenolphthalein wurden in der frischen Milch 27 ccm $\frac{n}{10}$ pro 100 ccm gefunden. Nach 155 und 429 Tagen konnte ich die folgenden Werte bestimmen:

	Nach 155 Tagen	Nach 429 Tagen
Gekochte Milch . . .	28,0	43,0
Formolmilch	33,0	37,0
Jodoformacetonmilch .	27,1	39,0

Aus diesen Ergebnissen läßt sich demnach nicht ableiten, daß gebildete Säuren einen Einfluß auf die Zersetzung des Milchzuckers ausüben.

Durch meine Untersuchungen wird festgestellt, daß der Milchzucker in der rohen Kuhmilch zersetzt wird. Da diese Zersetzung in der gekochten Milch nicht, und in der Formolmilch wenig stattfindet, so ist die Anwesenheit von Milch-

zucker zerstörenden Enzyme in der Kuhmilch bewiesen. Die Wirkung dieser Enzyme besteht in keiner gewöhnlichen Inversion zu d-Glucose und d-Galactose, wohl aber in einer zu Umsetzung reduzierenden Verbindungen, welche ich allein nach neuen und langdauernden Untersuchungen bestimmen zu können hoffe.

Mit der Kuhmilch V 129 vom 17. 10. 1904, welche nach meiner mit De Waele und Sugg angegebenen Methode¹⁾ mit Perhydrol und Katalase aufbewahrt wurde und nach mehr als 3 Jahren in ganz sterilem Zustande geblieben war, habe ich eine Kontrolle vorgenommen. Am 20. 3. 1908, nach 3 Jahren und 153 Tagen fand ich:

Extrakt in 100 ccm	10,79 g
Asche in 100 ccm	0,57 g
Säuregrad in 100 ccm	28 ccm [°] / ₁₀
Milchzucker, durch Reduktion bestimmt,	
in 100 ccm	3,818 g
Polarisation	0.

Am 17. 10. 1904 waren die folgenden Daten gefunden:

Extrakt in 100 ccm	10,84 g
Asche in 100 ccm	0,56 g
Milchzucker(Polarisationsmethode) in 100 ccm	4,18 g

Diese Untersuchung beweist wie die oben beschriebene, daß der Milchzucker in der rohen Milch zu auf die Polarisation wirkenden Verbindungen umgesetzt wird und daß diese Umwandlung weder von einer Bildung flüchtiger Substanzen noch von einer Erhöhung der Säuremengen begleitet ist.

¹⁾ H. De Waele, E. Sugg und A. J. J. Vandeveld. Sur l'obtention de lait cru sterile. Centralbl. f. Bakt., 2. Abt, 18, 30 bis 35, 1904. — Dieselben, Ein Verfahren zur Gewinnung einer von lebenden Tuberkelbacillen und anderen lebensfähigen Keimen freien, in ihren gemeinsamen Eigenschaften im wesentlichen unveränderten Kuhmilch. Beiträge z. klin. Tuberkulose 6, 291 bis 293. 1907.

Erregung und Beeinflussung katalytischer Pulsationen durch elektrische Ströme.

Von

G. Bredig und E. Wilke.

Mit 2 Figuren im Text und 3 Tafeln.

(Aus dem Chem. Universitätslaboratorium in Heidelberg.)

1. Einleitung.

Seit Thénards klassischen Untersuchungen¹⁾ wissen wir, daß der Zerfall des Wasserstoffsuperoxyds in Wasser und Sauerstoffgas durch metallisches Quecksilber heftig katalysiert wird. Vor einigen Jahren hat nun der eine von uns in Gemeinschaft mit J. Weinmayr²⁾ festgestellt, daß die Geschwindigkeit dieser Reaktion unter gewissen Umständen eine rhythmisch pulsierende wird, eine Erscheinung, die bis vor kurzem in der Chemie ziemlich selten und deren Studium erst einige Zeit vorher durch die bekannten Versuche von W. Ostwald³⁾ am Chrommetall wieder angeregt worden war. Der von Bredig und Weinmayr aufgefundene Fall ist aber bisher wohl der einzige, wo eine Katalyse der Hauptvorgang ist. Auch läßt er sich stets leicht reproduzieren, so daß er sich sehr gut sogar zur Demonstration eignet.

Auch für den physikalisch-chemisch denkenden Physiologen ist vielleicht eine Untersuchung dieser pulsierenden Reaktion nicht ohne Interesse.⁴⁾ Betrachten wir

¹⁾ Mém. de l'Académie des Sciences 3, 385, 1818.

²⁾ G. Bredig und J. Weinmayr, Zeitschr. f. physikal. Chem. 42, 601, 1903. — Verhandl. d. Naturhist. med. Vereins Heidelberg 7, 405, 1904.

³⁾ W. Ostwald, Zeitschr. f. physikal. Chem. 35, 33 u. 203, 1900. — E. Brauer, ebenda, 38, 441, 1901. — A. Thiel und A. Windelschmidt, Zeitschr. f. Elektrochem. 13, 317, 1907.

⁴⁾ Vgl. H. J. Hamburger, Osmotischer Druck und Ionenlehre 3, 107. R. Hoerber, Physikalische Chemie der Zelle und der Gewebe, 2. Aufl., S. 418.

den ruhenden Muskel als ein Gebilde, in welchem unter dem katalytischen Einflusse der Enzyme und Kofermente ein stationäres bzw. „dynamisches“ Verhältnis zwischen chemischen Assimilations- und Dissimilationsvorgängen herrscht, welches bei Reizung im einen oder anderen Sinne Störungen erfährt, betrachten wir ebenso die Pulsationen des Herzmuskels als hervorgehend aus pulsierenden chemischen Vorgängen des Organismus, so dürfte die Behandlung der Frage, wie aus gewöhnlichen chemischen Reaktionen und besonders bei Katalysen Pulsationen entstehen, wie solche gereizt und gelähmt werden und wie man sie zu pulsierender Arbeitsleistung verwenden kann, doch auch in dieser Zeitschrift nicht ausgeschlossen bleiben, selbst wenn es sich vorderhand nicht um organisierte oder kohlenstoffhaltige Systeme handelt.

Die pulsierende Katalyse des Wasserstoffsuperoxyds nach der Bruttoreaktion: $\text{H}_2\text{O}_2 = \text{H}_2\text{O} + \frac{1}{2}\text{O}_2$ ist bereits ziemlich ausführlich von dem einen von uns in Gemeinschaft mit E. Wilke¹⁾ und A. von Antropoff²⁾ untersucht worden. Über die Ergebnisse dieser Untersuchungen ist schon in dieser Zeitschrift³⁾ unlängst kurz im Auszuge berichtet worden. Hervorzuheben war die „Reizbarkeit“ der Pulsationen durch Spuren von Alkali und Säure, die Zunahme ihrer Frequenz mit der Temperatur, die gleichzeitige spontane Pulsation des elektrischen Potentials und der Oberflächenspannung, die Lähmung durch geringe Zusätze gewisser Stoffe, die Zurückführung der Erscheinung auf die alternierende Bildung und „Dissimilation“ einer intermediären, sehr instabilen sauerstoffhaltigen Zwischenverbindung usw., also lauter Erscheinungen, die wenigstens in manchen Zügen an die Muskeltätigkeit und ihre Erklärungsversuche erinnern.⁴⁾

¹⁾ G. Bredig u. E. Wilke, Verhandl. d. Naturhist. med. Vereins Heidelberg 8, 165, 1905. — E. Wilke, Period. Erscheinungen bei der Quecksilberkatalyse des Wasserstoffsuperoxyds. Diss., Heidelberg 1904.

²⁾ A. von Antropoff, Zeitschr. f. physikal. Chem. 62, 513, 1908. — Journ. f. prakt. Chem. 77, 273, 1908.

³⁾ Diese Zeitschr. 6, 322 bis 326, 1907.

⁴⁾ Vgl. z. B. Max Verworn, Physiol. Praktikum 1907, 140, 153 bis 155, 176 bis 177, 191 bis 193. — M. v. Frey, Vorlesungen über Physiologie 1904, S. 72 bis 73, 237, 260. — L. Luciani, Physiol. d. Menschen 3, 104, 273 u. f. 1907. — F. Bottazzi, Principii di Fisiol. 1,

Ein besonderes Interesse verdient vielleicht die von uns festgestellte Tatsache, daß diesem physikalisch-chemischen Systeme eine gewisse „Reizbarkeit“ durch mechanische oder chemische oder elektrische „Reize“ eigentümlich ist, durch welche die Pulsation des katalytisch-chemischen Vorganges entweder erzeugt oder, wenn sie bereits spontan vorhanden ist, stark beeinflußt werden kann.

In der vorliegenden Mitteilung wollen wir nun über einige Versuche berichten, welche speziell die Wirkung elektrischer Ströme zur Erregung oder Beeinflussung dieses katalytischen Pulsationsvorganges betreffen.

2. Die Grunderscheinung.

E. Wilke beschreibt bereits in seiner Dissertation (l. c. S. 46 bis 47) folgende Erscheinung:

Wenn eine mit Wasserstoffsuperoxyd überschichtete und durch diesen Angriff bald mit einem gelben bis braunen Häutchen überzogene Quecksilberoberfläche kathodisch polarisiert wird, dann sieht man, wie das Häutchen sehr rasch weggefressen wird und an Stelle dessen die blanke Quecksilberoberfläche erscheint.

Macht man das Quecksilber dagegen zur Anode, so entsteht fast momentan ein dicker Überzug auf demselben. Nun konnte man durch geeigneten Zusatz von Alkalien oder Säuren die Konzentration des OH' -Ions so einstellen, daß man erst mit einer bestimmten Stromdichte die in früheren Mitteilungen bereits besprochenen, bei andern OH' -Konzentrationen auch ohne Strom bereits spontan auftretenden katalytischen Pulsationen erhielt. In beiden Fällen, einmal, wenn das Quecksilber Kathode, das andere Mal, wenn es Anode war, erhielt E. Wilke diese Pulsationen, doch mußte bei letzterer Versuchsanordnung die Alkalikonzentration eine bedeutend größere sein; sie schien überhaupt

461, 1906). — R. Tigerstedt, Lehrb. d. Physiol. 1907. 1, 62 bis 64, 231 ff., — W. Biedermann, Elektrophysiologie 1895, S. 71 u. 82 u. a. a. O. — J. Loeb, Vorlesungen über Dynamik d. Lebenserscheinungen, S. 117 ff. — A. Kanitz, Biol. Centralbl. 27, 11, 1907. — C. Richet, Diet. de physiol. 4, 316. — H. Boruttau in Koranyi-Richters Physikal. Chem. u. Med. 1907, 420. — H. Boruttau, Elektrizität in der Medizin und Physiologie 1906, S. 91, 116. — W. Ostwald, Naturphilosophie, S. 273, 363.

von der Stromdichte bestimmt zu werden. Wenn der Strom wieder unterbrochen wurde, hörten die Pulsationen momentan auf und die Katalyse verlief dann nur noch stetig.

Von diesem Phänomen angeregt, haben wir uns nun die Frage gestellt, wie die katalytische Pulsation von den verschiedenen Stromarten (Gleichstrom, intermittierendem Gleichstrom, Wechselstrom, erzeugt durch rasche Kommutierung eines Gleichstroms, Wechselstrom einer sekundären Induktionspule etc.) erregt oder beeinflusst werden kann.

In der ersten Gruppe (Kap. 4) unserer Versuche war das System Quecksilber + H_2O_2 -Lösung (durch vorsichtige Regulierung der vorhandenen Spuren OH' -Ion) so eingestellt, daß es zwar katalytische O_2 -Entwicklung, jedoch keine spontanen Pulsationen gab, sich aber im sogenannten „schwingungsfähigen“ Zustande befand, d. h. daß auf einen mechanischen Stoß oder infolge eines elektrischen Stromstoßes Pulsationen der katalytischen Sauerstoffentwicklung und der gleichzeitig intermittierenden Hautbildung auftraten. Diese Pulsationen wurden gerade so wie in unseren früheren Mitteilungen (l. c.) nach Ostwalds Vorgang mit einem selbstverfertigten Kymographion und mit Hürthle-Gadscher Schreibkapsel registriert, indem das mit pulsierender Reaktionsgeschwindigkeit am Quecksilber aus der H_2O_2 -Lösung katalytisch entwickelte O_2 -Gas durch eine Capillare aus dem Reaktionsgefäß entwich, während der gleichzeitig mit der Reaktionsgeschwindigkeit pulsierende Gasdruck im Innern dieses Gefäßes auf die obige Schreibkapsel übertragen wurde. Ein wenn auch vielleicht in manchen Punkten noch sehr gewagter Vergleich mit einem zuckungsfähigen Muskel wird sich hier jedem Beobachter unwillkürlich aufdrängen.¹⁾

In der zweiten Gruppe (Kap. 5) unserer Versuche wurde das System Quecksilber + H_2O_2 -Lösung so eingestellt, daß es bereits spontan die von uns früher beschriebenen, gewöhnlichen rhythmischen Pulsationen der katalytischen Sauerstoffgas-Entwicklung zeigte, und wurde nun zur Elektrode einer

¹⁾ Vgl. hiermit die interessanten Beobachtungen über „elektrische Pseudoirritabilität toter Substanzen“ von B. Danilewsky, Arch. f. Anat. u. Physiol., Physiol. Abt. 1906, 413.

der obigen Stromarten gemacht. Gegen diese Behandlung zeigten sich die Pulsationsformen außerordentlich empfindlich. Auch hier liegen vielleicht physiologische Analogien nahe.

3. Versuchsanordnung.

Für unsere Versuche benutzten wir wie gewöhnlich eine reine wässrige 10%ige Lösung von Wasserstoffsuperoxyd, wie man sie direkt aus 1 Vol. Merckschem „Perhydrol“ und 2 Vol. Wasser erhält. Eine solche Lösung, auf gut gereinigtes Quecksilber geschichtet, gibt bei Zimmertemperatur meist bald entweder ein spontan pulsierendes oder ein „schwingungsfähiges“ System. Je nach Bedarf kann man aber immer nach einigem Probieren¹⁾ und unter ev. Zusatz einiger Tropfen verd. Natriumacetats oder verd. Essigsäure oder verd. Alkalis bald das eine, bald das andere der gewünschten Systeme erhalten.

Das Quecksilber (Fig. 1) mit einer kreisförmigen Oberfläche von stets 35 mm Durchmesser befand sich am Boden des „Pulsgefäßes“ *A* und konnte als Elektrode durch einen eingeschmolzenen Platindraht mit der einen Stromzuführung *a* elektrisch leitend verbunden werden. Durch einen seitlichen Schliff-tubus ragte die andere Elektrode *b* in Form eines etwa 1 mm dicken Platindrahtes in das Gefäß *A* hinein, welches möglichst vollständig bis zur Höhe *c* mit ca. 50 ccm der H_2O_2 -Lösung gefüllt wurde. Das am Boden an der Grenzfläche von H_2O_2 -Lösung und Quecksilber katalytisch und ev. mit rhythmisch pulsierendem Tempo entwickelte Sauerstoffgas entwich durch den oberen seitlichen Schliff-tubus²⁾ mit

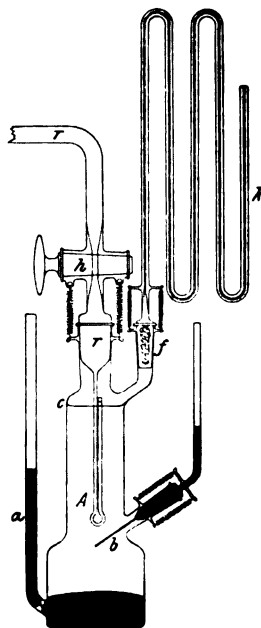


Fig. 1

^{1/3} nat. GröÙe.

¹⁾ Eine quantitative Definition und Bestimmung der sehr geringen, jeweils nötigen OH-Ionenmenge stößt zurzeit noch auf erhebliche Schwierigkeiten.

²⁾ Alle Schliffe werden mit Spiralfedern druckdicht festgehalten.

dem kleinen Wattefilter *f* und die Capillare *k* und übertrug seinen ev. rhythmisch pulsierenden Druck auf die Wassersäule, welche aus dem Innern des Gefäßes durch die mit Wasser gefüllten Verbindungsrohren *r—r* und den Hahn *h* zu einer Hürthle-Gadschen Schreibkapsel führte. Diese registrierte also dann über der geraden, horizontalen Nulllinie die Pulsationen der Katalyse in der bei den Physiologen üblichen Weise auf eine rotierende, berußte Trommel, während gleichzeitig ein Sekundenpendel mit einem Elektromagneten alle Sekunden Zeitmarken darunter zeichnete, die in allen unseren stets von links nach rechts zu lesenden Diagrammen auf der untersten Linie als sehr zahlreiche, kurze Vertikalstriche sichtbar sind. Abszisse ist also Zeit, Ordinate die Geschwindigkeit der katalytischen Sauerstoffgas-Entwicklung.

4. Elektrische Erregung von katalytischen Pulsationen in schwingungsfähigen Systemen.

Versuche mit Gleichstrom.¹⁾

Das System war (nach Zugabe von 1 Tropfen 0,5%iger Essigsäure auf 50 ccm H_2O_2 -Lösung) ohne spontanen Puls, aber in einem schwingungsfähigen, katalysierenden Zustande. Wie man in unserem Diagramm Blatt XVI Zeile 4 u. 5 (Tafel I) sieht, löst beim Vertikalstrich Signal *a* eine kurze mechanische Erschütterung des Pulsgefäßes eine Pulsation aus, indem dabei die katalytische Sauerstoffgas-Entwicklung unter deutlichem Erscheinen einer Haut kurze Zeit aussetzt. Zwischen den Signalen *b—c* machten wir die katalysierende Quecksilberoberfläche von nahezu 10 qcm zur Kathode eines Gleichstromes mit 0,7 Milliampere, längs der Kurvenstrecke *c—d* mit 1,1 Milliampere, längs *d—e* mit 2 Milliampere, von *e* an mit 3 Milliampere. Man sieht deutlich, wie mit steigender Stromdichte die Pulsfrequenz zunimmt und wie der Puls im Beginn der folgenden Zeile nach Unterbrechung des Stromes wieder vollständig verschwunden ist, aber bei Signal *f* mit 3 Milliampere Strom wiederkehrt, von Signal *g*

¹⁾ Nach v. Frey Lehrb. d. Physiol. 1904, S. 263 und Biedermann l. c. S. 91 gibt es physiologische Systeme, welche auch auf Dauerstrom reagieren.

an mit der offenbar zu großen Stromdichte 4 Milliampere aber allmählich verschwindet und einer starken, anscheinend aperiodischen Katalyse Platz macht, welche nach Abstellen des Stromes bei *h* rasch abnimmt, um nach Wiedereinschaltung eines kathodischen Stromes von 2,5 Milliampere bei Signal *i* wieder in Pulsation überzugehen.¹⁾

Im folgenden Diagramm Blatt XVII war das System durch Zugabe von 10 Tropfen Natriumacetat und 1 Tropfen Normalnatronlauge zu starker Katalyse ohne Pulsation angeregt. Die Quecksilberoberfläche erschien dabei blank und wurde erst bei anodischer Polarisierung unter starker Verminderung der Katalyse mit einer braunen Haut bedeckt, die sich bei Stromunterbrechung unter besonders heftiger Gasentwicklung rasch wieder auflöste. Auch dieses System erwies sich als „schwingungsfähig“, aber bei anodischer Gleichstrompolarisation und erst von einem Schwellenwerte der Stromdichte an. So wird die katalytische Aktivität der Quecksilberoberfläche anfangs in Blatt XVII Zeile 4 (Tafel I) bei anodischer Polarisierung mit 6 Milliampere pro ca. 10 qcm noch durch keine Pulsation unterbrochen, sobald man aber den Strom beim Signal *a* auf 6,5 Milliampere anodischen Gleichstrom steigerte, trat eine Pulsation der Katalyse von sehr großer Periodendauer ein. Nach Stromunterbrechung in der folgenden Zeile 5 war der Puls wieder verschwunden und trat beim Signal *a* mit dem anodischen Strom 6,5 Milliampere wieder auf (bei Signal *b* lief die sehr langsam rotierende Trommel etwas rascher), verschwand bei Signal *c* wieder mit dem Strome, dessen Einschaltung bei Signal *d* mit 6,5 Milliampere wieder Pulsation ergab, die am Signal *e* mit 7 Milliampere, am Signal *f* mit 7,5 Milliampere und am Signal *g* mit 8 Milliampere sich charakteristisch änderte.

Versuche mit intermittierendem Gleichstrom.

Durch Einschaltung eines federnden Stromschlüssels wurde intermittierender Gleichstrom erzeugt.

¹⁾ Die durch Elektrolyse entwickelten Gasmengen sind gegenüber den katalytisch entwickelten verschwindend klein und wirkten daher, wie wir uns direkt überzeugt haben, nicht merklich auf das Manometer. Unsere hier registrierten katalytischen Pulsationen sind also nicht mit den schon lange bekannten Pulsationen bei Elektrolysen (Lit. vgl. bei Thiel und Windelschmidt l. c.) zu verwechseln;

Das System war in (Tafel I) Blatt XVI, Zeile 2 u. 3 dasselbe wie oben mit kathodischem Gleichstrom (Blatt XVI, Zeile 4 u. 5). In Zeile 2 war das bis zum Signal a stromlose System ohne Pulsation, welche sogleich auftrat, als zwischen $a \rightarrow b$ und zwischen $c \rightarrow d$ ein kathodischer intermittierender Gleichstrom von 2 Milliampere (immer je 2 Sekunden lang geschlossen und je 2 Sekunden lang geöffnet) angewandt wurde. Völlig stromlos auf der Strecke $b \rightarrow c$ und auf der Strecke $d \rightarrow e$ gab das System keine Pulsation, ebenso in Zeile 3 auf den stromlosen Strecken bis f und $g \rightarrow h$, während auf den Strecken $f \rightarrow g$ und $h \rightarrow i$ alle 10 Sekunden ein 10 Sekunden lang dauernder kathodischer Stromstoß von 3,2 Milliampere und von Signal i an Stromstöße mit doppelter Periodendauer angewandt wurden.

In (Tafel II) Blatt XXII wurde ebenfalls intermittierender kathodischer Gleichstrom von verschiedener Periodendauer angewandt, und zwar war das ohne Zusatz pulslose System in Zeile 5 bis zum Signal a stromlos, dann aber war die Dauer des Stromschlusses von je 1,7 Milliampere und auch die Dauer der Stromunterbrechung

	auf der Strecke	$a \rightarrow b$	je 1 Sekunden,
„	„	„	$b \rightarrow c$ „ 2 „
„	„	„	$c \rightarrow d$ „ 3 „
„	„	„	$d \rightarrow e$ „ 4 „
„	„	„	$e \rightarrow f$ „ 5 „

Ebenso war in Zeile 6 das System bis zum Signal g stromlos und pulslos, dann aber herrschte intermittierender, kathodischer Gleichstrom wie oben, aber mit 1,8 Milliampere und zwar war die Dauer von Stromschluß und von Stromunterbrechung

	auf der Strecke	$g \rightarrow h$	je 5 Sekunden,
„	„	„	$h \rightarrow i$ „ 6 „
„	„	„	$i \rightarrow k$ „ 7 „
„	„	„	$k \rightarrow l$ „ 8 „

Von l an war das System wieder strom- und pulslos. Die etwas größeren Striche in den Zeitmarken der Zeile 6 signalisieren (als ziemlich ungenaue Handmarken) Stromschließung und zeigen, daß die Stromschließung hier meistens mit einer Inaktivitätsphase der Pulsation koinzidierte. Wir sehen deutlich den

Einfluß der Periodendauer von Stromschließung- und -Öffnung auf die Art der Pulsation.

In Blatt XXIV (Tafel II) wurde über der untersten Linie, welche wie sonst die Zeitmarken des Sekundenpendels enthält, unterhalb der geraden Nulllinie der Druckkurve mit einem aus einem elektrischen Läutewerk improvisierten Deprez-Signal noch eine Linie geschrieben, welche durch Aufsteigen bzw. Absteigen die Momente der Stromschließung bzw. Öffnung registrierte und somit auch die Dauer des Stromes anzeigt. Hier wurde ein System ohne Zusatz, das wieder ohne Strom keinen Puls aber lebhaftere Katalyse zeigte und dessen Puls durch mechanische Erschütterung sehr leicht erregbar war, mit intermittierendem Gleichstrom von verschiedener Dichte behandelt. In Zeile 4 wurde bei stets nahezu gleicher Periodendauer des intermittierenden kathodischen Gleichstromes von ca. 4 Sekunden seine Stromdichte variiert. Diese betrug auf den Strecken $a \rightarrow b$ 0,5; $b \rightarrow c$ 1,0; $c \rightarrow d$ 1,5; $d \rightarrow e$ 2,0; $e \rightarrow f$ 2,5; $f \rightarrow g$ 3,0; $g \rightarrow h$ 2,0 und $h \rightarrow i$ 1 Milliampere pro 10 qcm. Als man bei i den Strom, wie man auch am Deprez-Signal in unserem Diagramm erkennt, ausschaltete, verschwand auch wieder die katalytische Pulsation, um bei neuer Stromeinschaltung wieder aufzutreten.

In Blatt XXIV, Zeile 5 wurde beim Signal k der bis dahin kathodische, nach den im Diagramm sichtbaren Angaben des Deprez-Signales intermittierende Gleichstrom von 1 Milliampere pro 10 qcm kommutiert, so daß die aktive Quecksilberelektrode jetzt auf der folgenden Strecke kl bei derselben Stromdichte Anode war. Wie man sieht, reicht dieselbe Stromdichte anodisch nicht aus, die katalytischen Pulsationen zu erregen, welche allmählich wieder auftraten, als nach neuem Kommutieren bei l dieselbe Stromdichte wieder kathodisch als intermittierender Gleichstrom einwirkte.

Versuche mit Wechselstrom.

Nach der oben nachgewiesenen Erregbarkeit der katalytischen Pulsation durch elektrischen Gleichstrom war es von Interesse, auch Wechselströme anzuwenden. Wir stellten denselben zunächst in der Weise her, daß wir auf die Achse eines mit Tourenzähler versehenen kleinen Elektromotors einen Kommu-

tator montierten und mit dessen Hilfe einen gemessenen Gleichstrom kommutierten. Da Selbstinduktionen hier nicht eingeschaltet waren, so erhielten wir natürlich keinen sinusähnlichen Wechselstrom, sondern solchen von der Form Fig. 2. Wir

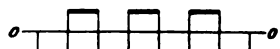


Fig. 2.

haben nun untersucht, ob die Pulserregung bei gleicher Stromdichte von der Wechselzahl abhängig ist. Das System war dasselbe wie in unserem ersten Gleichstromversuche (S. 72). In (Tafel II) Blatt XVI, Zeile 6 wurde vom Signal 1 an Wechselstrom von 2,5 Milliampere pro ca. 10 qcm eingeleitet mit 50 Wechseln in der Sekunde. Derselbe erregte, wie man sieht, alsbald katalytische Pulsation. Als die Wechselfrequenz aber von Signal 2 an auf 91 pro Sekunde gesteigert wurde, verschwanden im Diagramm die Pulsationen, während die katalytische Gasentwicklung stark bestehen blieb. Diese Pulsationen kehrten auch nicht wieder, als man von Signal 3 an die Wechselzahl wieder auf 50 herabsetzte. Als man nun von Signal 4 an den Strom überhaupt abschaltete, ging, wie man sieht, die Katalyse erheblich, und zwar ungefähr wieder auf den anfänglichen, ebenfalls stromlosen Betrag vor Signal 1 zurück. Bei Signal 5 wurde wieder der anfängliche Strom von 2,5 Milliampere mit 50 Wechseln pro Sekunde eingeschaltet und erregte jetzt, wie man sieht, in dem durch die stromlose Pause „erhalten“ Systeme wieder Pulsationen. Dasselbe Resultat gab eine Wiederholung in zwei folgenden Zeilen 7 und 8 des Blattes XVI, die wir deshalb nicht reproduzieren wollen.

Versuche mit Induktionsströmen.

Schließlich haben wir in Anlehnung an physiologische Methoden die sekundären Wechselströme eines großen Ruhmkorffschen Induktoriums (Funkenlänge zirka 40 cm) mit Foucaultschem Unterbrecher¹⁾ auf die katalysierende Quecksilberoberfläche als Elektrode einwirken lassen. Der Primärstrom des Induktoriums bewegte gleichzeitig das Deprezsche Stromsignal, dessen oscillierende Kurve in (Tafel II) Blatt XXIII hier wieder über der untersten Sekundenmarkenlinie sichtbar

¹⁾ Cfr. Verworn, Physiol. Praktikum S. 166.

ist. Das „reizbare“ System war ohne Zusätze hergestellt, zeigte lebhaftes Katalyse und keinen spontanen Puls. Wie wir aus Zeile 5 und 6 unseres Blattes XXIII (Tafel II) und anderen hier nicht mitgeteilten beim Vergleich mit der Kurve des Deprez-Signales ersehen, treten die Pulse bei „Reizung“ mit dem Induktorium deutlich auf bei geringen Wechselzahlen, nämlich bei Periodenlängen von ca. 2 bis 8 Sekunden, verschwinden aber wieder bei höheren Wechselzahlen.¹⁾ Wir haben uns auch überzeugt, daß die zur Erregung von Pulsationen nötige Stromstärke im primären Stromkreis um so größer sein muß, je höher die Wechselzahl des Stromes pro Sekunde ist, doch müssen wir die Ausarbeitung solcher Versuche verschieben, bis wir im Besitze von Apparaten zu exakterer Messung und zur besseren Regulierung der Induktionsströme sind.

5. Elektrische Beeinflussung bereits vorhandener, spontaner, katalytischer Pulsationen.

Nach dem, was wir bezüglich der Erregbarkeit katalytischer Pulsationen durch elektrische Ströme gesehen haben, wird es uns nicht wundernehmen, daß Systeme, welche bereits spontane Pulsation besitzen, sich in ihrer Pulsation elektrisch beeinflussen lassen.

Versuche mit Gleichstrom.

Ein System, welches nach Zusatz von 1,5 Tropfen normaler Natriumacetatlösung auf 50 ccm 10% H_2O_2 -Lösung im stromlosen Zustande bereits spontan sehr schöne rhythmische katalytische Pulsationen besaß, zeigte, wie man in Blatt XI, Zeile 3 (Tafel III) sieht, noch keine erheblichen Änderungen dieses Pulses, als man von den Signalen *a*, *b*, *c* an sukzessive 0,5; 1,0 und 1,5 Milliampere kathodischen Gleichstrom auf die (wie immer) 10 qcm große katalysierende Quecksilberoberfläche wirken ließ. Erst als man (XI Zeile 4) auf das

¹⁾ Ob die von A. Lebedeff mitgeteilten, noch sehr zweifelhaften und provisorischen Ergebnisse (Diese Zeitschr. 9, 392, 1908; Bull. d. l. Soc. chim. de France 1908, p. 55) über den Einfluß von Wechselströmen „hoher Frequenz“ auf die katalytische Wirkung von Fermenten und von kolloidalem Platin hiermit in Zusammenhang stehen, läßt sich zurzeit noch nicht beurteilen.

wieder stromlos gemachte System von Signal *d* an kathodischen Gleichstrom von der Stärke 2 Milliampere längs der Zeit *d*→*e* wirken ließ, trat bei dieser Stromschwelle Auslöschung der Pulsation und hohe katalytische Aktivität ein, welche bei Signal *e* sofort wieder in Pulsation umschlug, als man von hier an den Strom ausschaltete. Schaltete man nun bei Signal *f* wieder 1,5 Milliampere Kathodenstrom ein, so verschwanden die Pulsationen wieder.

Ein ganz ähnliches Resultat gab anodischer Gleichstrom in Blatt XII, Zeile 4 u. 5 (Tafel III), wo der bis zum Signal *a* normale stromlose spontane katalytische Puls auf den Strecken *a*→*b* bzw. *b*→*c* durch den Strom von 0,5 bzw. 1,0 Milliampere nicht erheblich geändert¹⁾, bei Erreichung des Schwellenwertes 1,5 Milliampere, von Signal *c* an aber erhebliche Störung und merkliche Depression der katalytischen Reaktion zeigt, bis von Signal *d* an der Puls durch die noch höhere Stromdichte 2 Milliampere pro 10 qcm nahezu ausgelöscht war. Der Puls trat aber von Signal *e* an, wo der Strom ganz ausgeschaltet wurde, wieder in ganz normaler Weise ein.

Versuche mit Wechselstrom.

Der Wechselstrom wurde hier (geradeso wie auf S. 75 u. 76 angegeben) mit Hilfe eines rotierenden Kommutators erzeugt und hatte daher auch wieder ungefähr die Form der Fig. 2. In Diagramm Blatt IX hatte sich in Vorversuchen das nach Zusatz von 2 Tropfen Natriumacetatzusatz in normaler Weise stromlos bereits spontan pulsierende System noch als unempfindlich gegen Wechselstrom von 12 Milliampere pro 10 qcm gezeigt. In Blatt IX, Zeile 4 (Tafel III) sehen wir zuerst die Pulsation des stromlosen Systemes, von Signal *a* an wurde ein Wechselstrom von 24 Milliampere mit einer ungefähren Wechselzahl 80 pro Sekunde angeschaltet, welcher nunmehr offenbar die „Reizschwelle“ überschritten hatte und eine erhebliche Beeinflussung des katalytischen Pulses auf der Strecke *a*→*b* (Zeile 4 bis 5) zeigt. Auf der Strecke *b*→*c* betrug die Wechselstromstärke 26 Milliampere. Als man nun bei nahezu konstanter Stromstärke von Signal *c* an die Wechselzahl sehr erheb-

¹⁾ Die beiden Pulse hinter *a* sind nur durch einen Fehler des Clichés etwas verzerrt.

lich steigerte, begann sich, wie man sieht, die katalytische Pulsform wieder der stromlosen Form deutlich zu nähern. Auch hier also scheint der Einfluß des Wechselstromes bei gleicher Stromdichte um so geringer zu sein, je höher die Wechselzahl ist.

Ähnliches ist besonders schön in Blatt XV, Zeile 3 (Tafel III) zu sehen, wo wir bis zum Signal *a* den stromlosen Puls haben. Wechselstrom von 5 bzw. 10 Milliampere pro 10 qcm Quecksilberfläche veränderte auf den Kurvenstrecken *a* → *b* bzw. *b* → *c* bei einer Wechselzahl von 9 pro Sekunde den Puls noch nicht, dagegen löschte er ihn aus unter starker katalytischer Reaktion auf der Kurvenstrecke *c* → *d*, bei welcher die höhere Stromstärke 15 Milliampere mit derselben Wechselzahl herrschte. Als man aber von Signal *d* an die Wechselzahl bei gleicher Stromdichte auf 57 pro Sekunde erhöhte, trat wieder ein nahezu normaler katalytischer Puls ein.

Diese Auslöschung des Pulses durch genügend starken Wechselstrom sehen wir auch in Blatt XIV, Zeile 5, (Tafel III) wo bis Signal *a* spontaner Puls ohne Strom herrschte. Dieser Puls wurde auf der Kurvenstrecke *a* → *b* durch einen Wechselstrom von 10 Milliampere pro 10 qcm mit 48 Wechseln pro Sekunde unter starker Erhöhung der Katalyse ausgelöscht, kehrte auf der stromlosen Kurvenstrecke *b* → *c* wieder, verschwand wieder auf der Kurvenstrecke *c* → *d* durch Wechselstrom von 8 Milliampere und 48 Wechseln pro Sekunde und kehrte bei *d* nach Abschaltung des Stromes wieder. Dieses Spiel konnte noch oft wiederholt werden, doch sind „Ermüdungserscheinungen“ vorhanden, die wohl auf spurenhafte Produkte der Elektrolyse (vermutlich OH'- oder H'-Ion) zurückzuführen sind.

6. Schlufs.

In den hier beschriebenen Versuchen hat sich also gezeigt:

I. Daß das zu pulsierenden katalytisch-chemischen Reaktionen fähige, aber noch in aperiodischem Stoffwechsel begriffene System durch anodischen und kathodischen Gleichstrom, durch intermittierenden Gleichstrom, durch Wechselstrom und durch Induktionsschläge zu periodischen, katalytischen Pulsationen „gereizt“ werden kann.

II. Daß eine bereits spontan pulsierende Katalyse

in ihrer Schwingungsform, ihrer Periode, ihrer Intensität usw. durch Gleichstrom und Wechselstrom erheblich beeinflusst und sogar ihrer gewöhnlichen Pulsation beraubt werden kann.

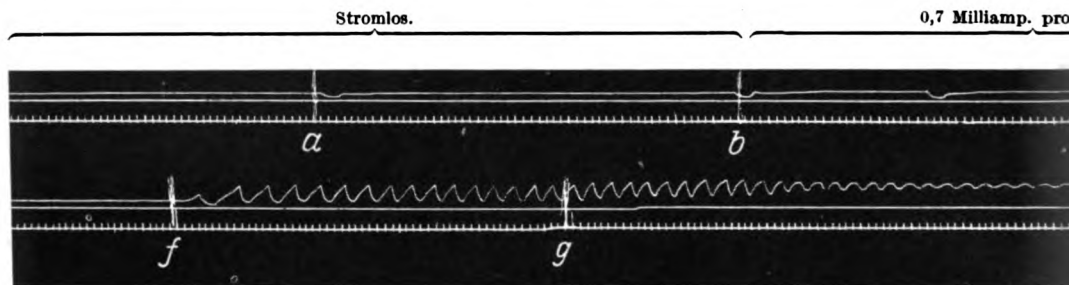
Es wäre verfrüht, eine ausführliche Theorie dieser Erscheinungen aufzustellen, bevor die Versuche in eine quantitativ genauer meßbare Form, speziell bezüglich der Abhängigkeit des Pulses und seiner eventl. Reizschwelle von Wechselzahl und Form des Stromes, Zusätzen usw. gebracht sind. Eine Erklärung derselben und ihrer Ähnlichkeit mit physiologischen Erscheinungen wird Anschluß zu nehmen haben einerseits an die Untersuchungen A. von Antropoffs¹⁾ im hiesigen Institute, welche gezeigt haben, wie die Pulsationen mit dem Auftreten und Verschwinden einer sehr instabilen sauerstoffhaltigen Zwischenverbindung und ihrer Elektrolyse durch die elektrische Potentialdifferenz zwischen blankem und hautbedecktem Quecksilber zusammenhängen, andererseits an die Theorie der Elektrolyse, Polarisation, Oberflächenspannungs- und Konzentrationsänderungen an Heterogenitätsflächen, wie sie in der Reststromtheorie, der Polarisationstheorie durch Wechselströme und der Theorie der Nervenreizung von W. Nernst²⁾, F. Krüger, P. G. Gundry, J. Bernstein, L. Hermann u. a. vorliegen. Es ist nicht ausgeschlossen, daß auch elektrocapillare Vorgänge³⁾, (ev. unter Zerreißung der chemisch instabilen Haut) hier mitspielen, wodurch sich unsere Versuche denjenigen von B. Danilewsky (l. c.) etwas nähern würden, von denen sie sich aber wohl noch durch den bei uns sehr stark hervortretenden Chemismus erheblich unterscheiden. Jeden-

¹⁾ A. v. Antropoff Zeitschr. f. physikal. Chem. 62, 513, 1908. Dasselbst zahlreiche Diagramme.

²⁾ W. Nernst, Nachr. d. kgl. Gesellsch. d. Wiss. zu Göttingen, math. phys. Kl. 1899, 104. — Sitzungsber. d. Kgl. Preuß. Akad. d. Wiss. Berlin 1908, 3. — E. Reiß, Pflügers Arch. f. d. ges. Physiol. 117, 578, 1907. — W. Nernst, ebenda 122, 275, 1908. — F. Krüger, Zeitschr. f. physikal. Chem. 45, 1, 1903. — Gundry, ebenda 53, 177, 1905. — J. Bernstein und A. Tschermak, Pflügers Arch. 112, 439, 1906. — J. Bernstein, ebenda 122, 129. — L. Hermann, Wied. Ann. IV, 12, 932, 1903; 17, 501, 1905.

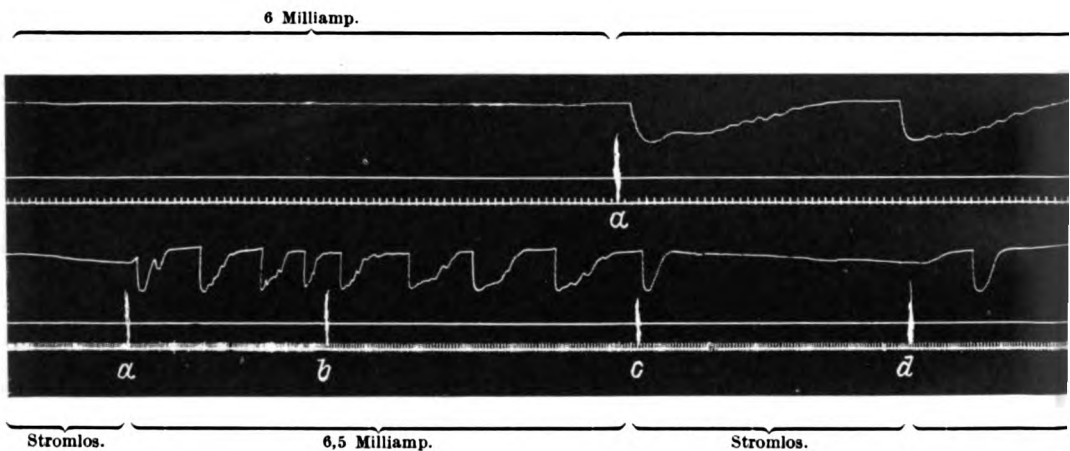
³⁾ J. Bernstein, Pflügers Arch. 85, 271. 1901. — Naturwiss. Rundschau 19, 197; 16, 413, 429, 441. — H. Freundlich, Capillarchemie u. Physiologie, Dresden 1907, S. 26.

Blatt XVI.
Zeile 5.
Zeile 4.



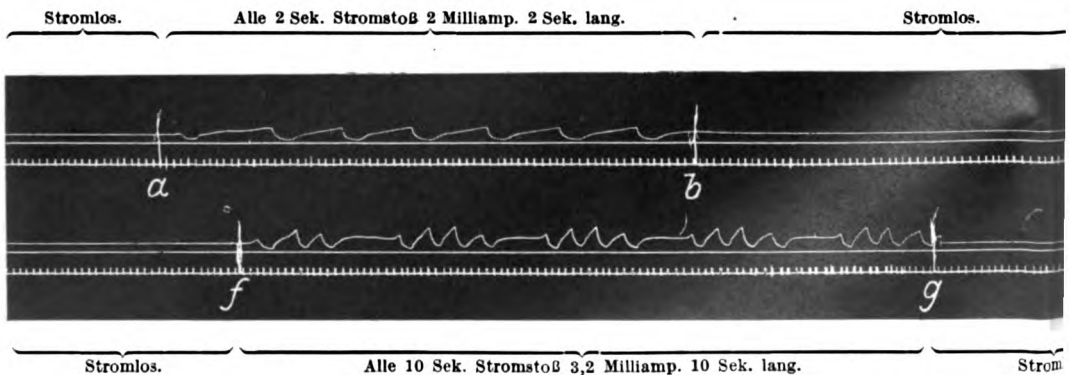
Blatt XVI Zeile 4 u. 5. Erreg

Blatt XVII.
Zeile 5.
Zeile 4.



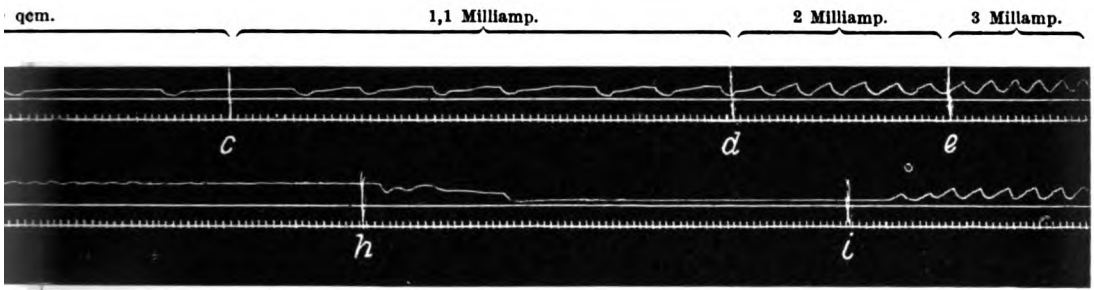
Blatt XVII Zeile 4 u. 5. Erre

Blatt XVI.
Zeile 3.
Zeile 2.

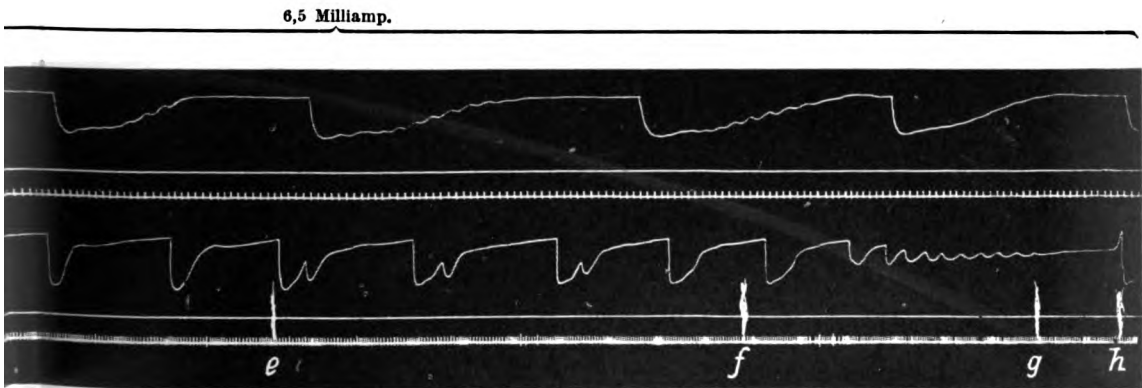


Blatt XVI Zeile 2 u. 3. Er

Tafel I.

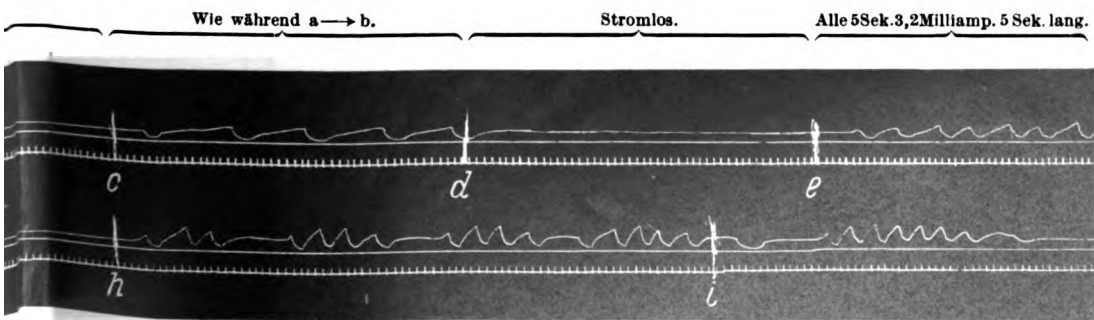


ig durch kathodischen Gleichstrom. Stromlos. 2,5 Milliamp.



3,5 Milliamp. 7 Milliamp. 7,5 Milliamp. 8 Milliamp.

gung durch anodischen Gleichstrom.



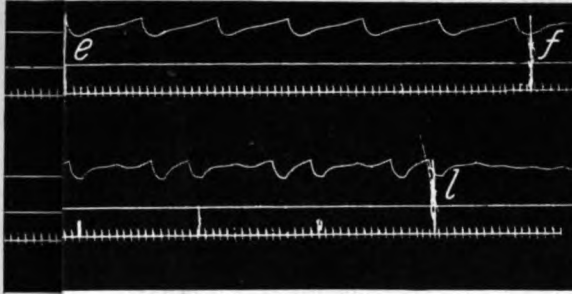
Wie während f → g. Wie während f → g aber je 20 Sek.

egung durch intermittierenden Kathodenstrom.

Tafel II.

Je 5 Sek. Pause u. Stromstoß 1,7 Milliamp.

Blatt XXII.
Zeile 5.
Zeile 6.



Suse u. Stromstoß 1,8 Milliamp.

Stromlos.

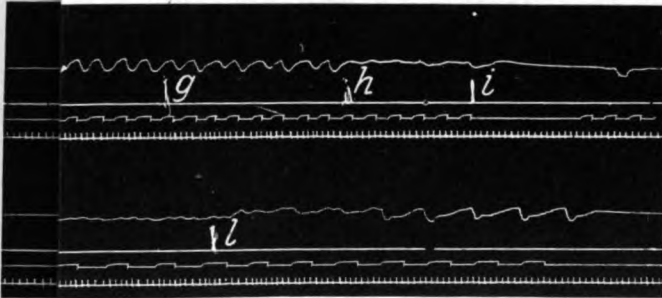
Stromp.

2,0 Milliamp.

1,0 Milliamp.

Stromlos.

Blatt XXIV.
Zeile 4.
Zeile 5.



Deprez-Signal
Zeitmarken.

Deprez-Signal.
Zeitmarken.

1 Milliamp. anod.

1 Milliamp. kathod.

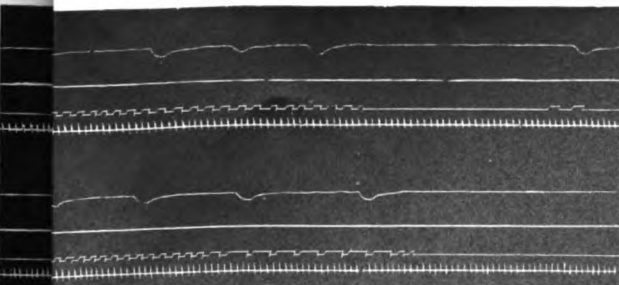
om.

50 Wechsel pro Sek.

Blatt XVI.
Zeile 6.



Blatt XXIII.
Zeile 5.
Zeile 6.



Deprez-Signal.
Zeitmarken.

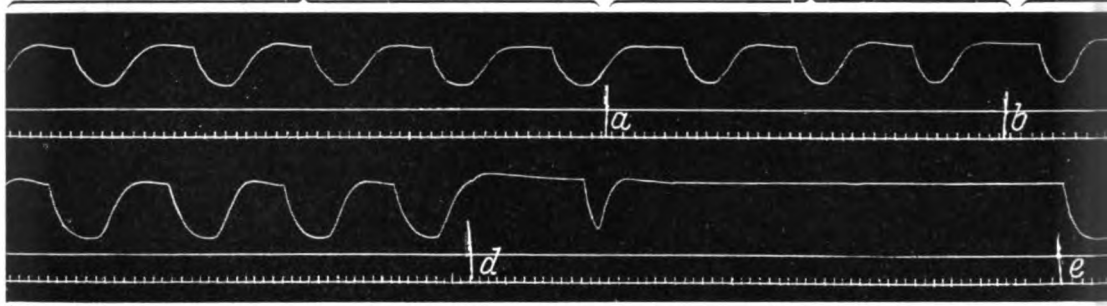
Deprez-Signal.
Zeitmarken.

Stromlos.

0,5 Milliamp.

Blatt XI.
Zeile 3.

Zeile 4.



Stromlos.

2 Milliamp.

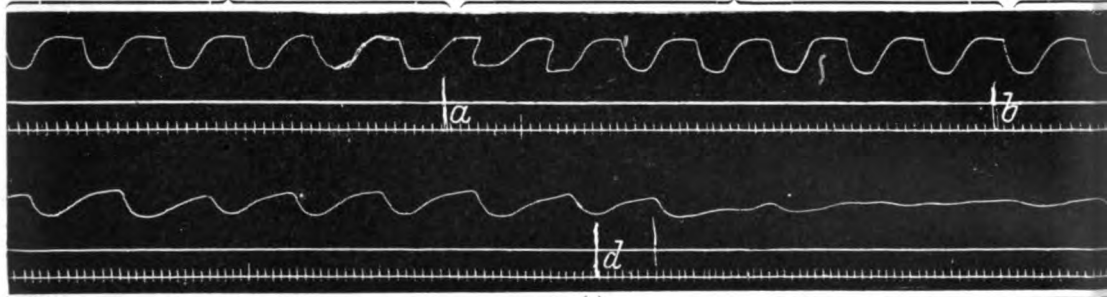
Blatt XI Zeile 3 u. 4. Beeinflussung des spontanen Pulses.

Stromlos.

0,5 Milliamp.

Blatt XII.
Zeile 4.

Zeile 5.



1,5 Milliamp.

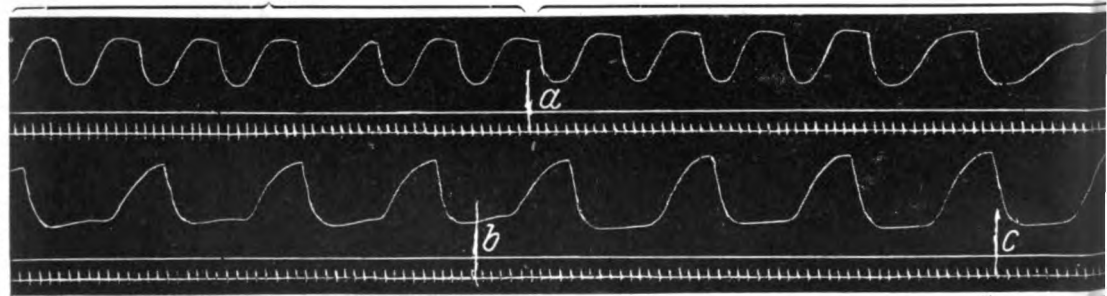
2 Milliamp.

Blatt XII Zeile 4 u. 5. Beeinflussung des spontanen Pulses.

Stromlos.

Blatt IX.
Zeile 4.

Zeile 5.



Fortsetzung von Zeile 4.

26 Milliamp. mit 80 Wechseln pro Sek.

Blatt IX Zeile 4 und 5. Beeinflussung des spontanen Pulses.

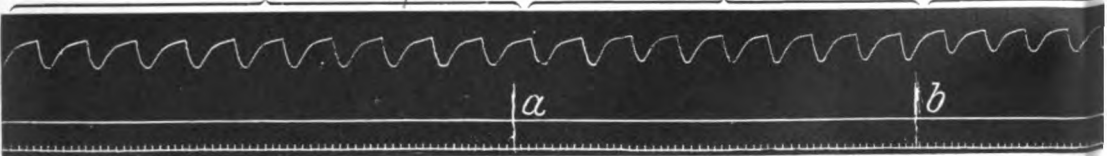
Stromlos.

5 Milliamp. mit 9 Wechseln pro Sek.

10 Milliamp.

Blatt XV.
Zeile 3.

Zeile 3.



Blatt XV Zeile 3. Beeinflussung des spontanen Pulses.

Stromlos.

10 Milliamp.

Stromlos.

Blatt XIV.
Zeile 5.

Zeile 5.

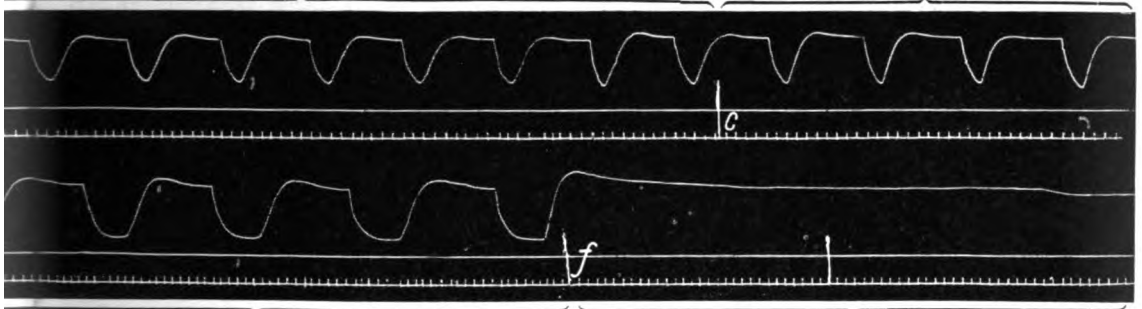


Blatt XIV Zeile 5. Auslöschung des spontanen Pulses.

Tafel III.

1,0 Milliamp.

1,5 Milliamp.



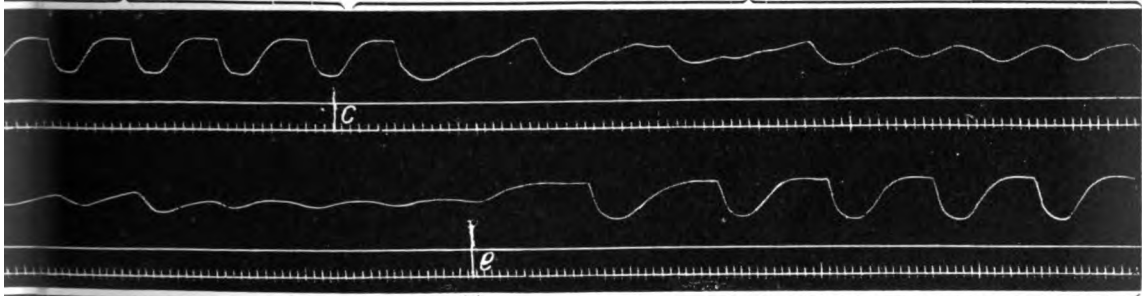
Stromlos.

1,5 Milliamp.

Spontanen Pulses mit kathodischem Gleichstrom.

1,0 Milliamp.

1,5 Milliamp.

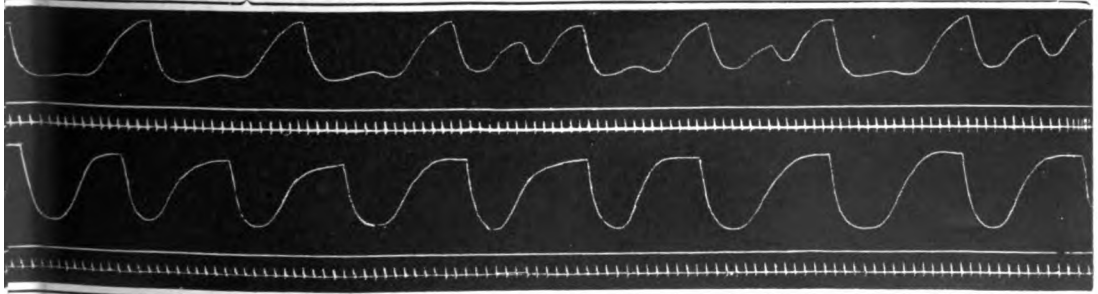


Sp.

Stromlos.

Spontanen Pulses mit anodischem Gleichstrom.

24 Milliamp. mit 80 Wechseln pro Sek.



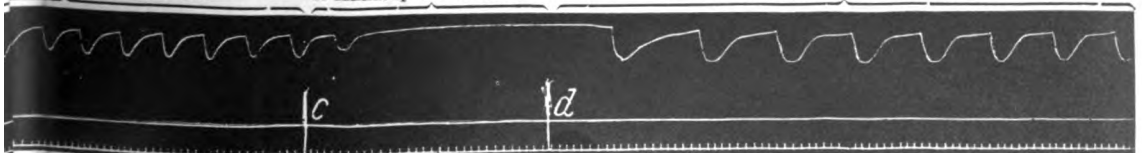
bei stark erhöhter Wechselzahl.

Spontanen Pulses mit Wechselstrom.

mit 9 Wechseln pro Sek.

15 Milliamp. mit 9 Wechseln.

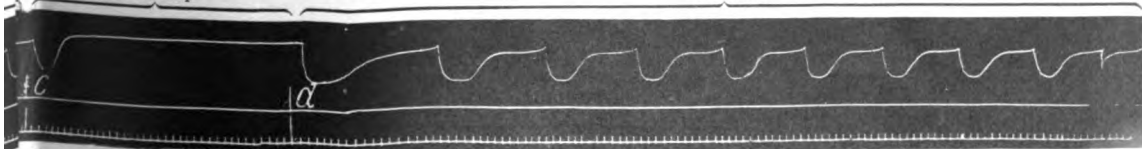
15 Milliamp. mit 57 Wechseln pro Sek.



mit Wechselstrom verschiedener Dichte und Frequenz.

8 Milliamp.

Stromlos.



mit starkem Wechselstrom von 48 Wechseln pro Sekunde.

falls ist das Ziel derartiger Versuche, „reizbare“ Chemismen zu konstruieren, so schwer berechenbar und unvergleichbar mit dem Organismus⁴⁾ sie zurzeit auch noch erscheinen mögen, wohl auch für den Physiologen nicht uninteressant, der es sich nicht nur zur Aufgabe setzen soll, die Stoffe des Organismus durch präparative Synthese herzustellen, sondern auch die Vorgänge und Funktionen des Organismus durch physikalisch-chemische Synthese so viel wie möglich, wenigstens in Modellen, nachzuahmen und sie dadurch ebenso wie durch die vorangegangene physiologische Analyse aufzuklären.

⁴⁾ Die Theorien von Du Bois-Reymond, Pflüger, Hermann, Hering, J. Loeb u. a. siehe bei Biedermann l. c. S. 713 und in den zitierten physiol. Werken. Vergl. auch P. Woltersen, Akad. Proefschrift Utrecht 1907. Quantitative Betrekking tuschen Vagusprikkeling en Hartswerking.

Ähnlichkeiten und Unterschiede zwischen Seifen und Komplementen.

Von

A. v. Korányi, Budapest.

Die hämolysierende Wirkung einer Seifenlösung wird nach L. v. Liebermann¹⁾ durch Albumin aufgehoben. Ein an sich nicht hämolysierendes Seifealbumingemisch zeigt nun eine Reihe von Eigenschaften, die an diejenigen des Komplementes eines Normalserums erinnern. Ein solches Gemisch löst Blutkörperchen, wenn demselben ganz geringe Ölsäuremengen zugesetzt werden, wie Komplement in Gegenwart eines entsprechenden Immunkörpers. In beiden Fällen bleibt die Hämolysen bei 0° und nach Inaktivierung durch Erwärmen auf 56 bis 60° aus. Sie wird in beiden durch CaCl₂ und MgCl₂ gehemmt. Gleiche Mengen von Komplement und von Seifealbumingemisch lösen nach v. Liebermann und v. Fenyvessy²⁾ mit steigender Konzentration abnehmende Hämoglobinmengen. Blutserum enthält beträchtliche Seifenmengen, deren hämolytische Wirkung durch Eiweißstoffe, CaCl₂ usw. aufgehoben wird. Nach Zusatz geringer Ölsäuremengen löst Serum Blutkörperchen wie ein Eiweißseifegemisch. Noguchi³⁾ gelangte unabhängig von v. Liebermann zu ähnlichen Resultaten. Nach ihm sind die Komplemente Seifen, deren hämolytische Wirkung durch andere Bestandteile des Plasmas aufgehoben ist. Er fand, daß mit Immunkörpern beladene Blutkörperchen durch Seife leichter gelöst werden als unveränderte. Nachdem Hecker⁴⁾ die Richtigkeit dieser Beobachtung bestritten hat, zeigten v. Dungern

¹⁾ Diese Zeitschr. 4, 25.

²⁾ Ibid. 5, 99.

³⁾ Ibid. 6, 327.

⁴⁾ Arbeiten aus d. Institut f. exp. Ther. zu Frankfurt 1907, S. 39.

und Coca¹⁾, daß sie unter gewissen Bedingungen zutreffen kann, u. a. jedoch die Anwesenheit von Immunkörpern die Seifenhämolyse im Sinne von Hecker erschwert. Ihre Versuche beweisen, daß von einer wirklichen Identität von Komplement und Seife nicht gesprochen werden kann. Trotzdem ist die Reihe der Analogien zwischen dem Verhalten beider eine so auffallende, daß ein weiteres Studium des Gegenstandes erwünscht ist.

1. Eine mit physiologischer Kochsalzlösung frisch bereitete Seifenlösung oder ein frisch bereitetes Seifealbumingemisch, welches Blutzellen eben noch löst, verliert innerhalb ein oder zwei Tagen seine hämolytische Kraft. Diese Tatsache erinnert an das ähnliche Verhalten des Komplementes eines frischen Serums. Worauf diese Veränderung des Serums zurückzuführen ist, ist unbekannt. Der Grund der analogen Erscheinung an Seifenlösungen kann dagegen leicht ermittelt werden. Die Oberflächenspannung einer Seifenlösung nimmt mit steigender Konzentration nach bekannten Gesetzen ab. Bei bekanntem Zusammenhang zwischen Konzentration und Oberflächenspannung kann aus letzterer auf die Konzentration geschlossen werden. In folgenden Versuchen benützte ich zur Bestimmung der Oberflächenspannung J. Traubes Stalagmometer. Die Oberflächenspannung einer frisch bereiteten hämolysierenden Lösung von ölsaurem Natrium war bei einer Konzentration von 0,05% 0,57, wenn die des Wassers als Einheit gilt. Nach 24 Stunden nahm die Tropfenzahl der Lösung so weit ab, daß sie die relative Oberflächenspannung 0,71 ergab. Diese Oberflächenspannung entsprach nach einer am vorigen Tage erhaltenen Kurve, welche den Zusammenhang zwischen Konzentration und Oberflächenspannung meiner Seifenlösung veranschaulichte, der Konzentration 0,018%. Innerhalb 24 Stunden hat also die Konzentration meiner Seifenlösung scheinbar um 0,032% abgenommen, eine Erscheinung, welche die gleichzeitige Abnahme der hämolytischen Wirkung vollkommen erklärt. Die scheinbare Abnahme der Konzentration von Seifenlösungen hängt mit der den hydrophylen Kolloiden gemeinsamen Eigenschaft, Häutchen an der Oberfläche der Flüssigkeit zu bilden, zusammen,

¹⁾ Berl. klin. Wochenschr. 1908, 347.

eine Tatsache, die dem Willard Gibbsschen Gesetze entspricht, nach welchem Körper, die die Oberflächenspannung erniedrigen, ihre Konzentration an der Oberfläche der Flüssigkeit erhöhen und in deren Inneren herabsetzen. Da die Komplementwirkung eines frischen Serums mit der Zeit genau so abnimmt wie die hämolysierende Wirkung einer Seifenlösung, liegt der Gedanke nahe, daß das Komplement den Seifen ähnlich zu denjenigen Körpern gehört, welche die Oberflächenspannung stark herabsetzen und demzufolge ein starkes Bestreben zeigen, sich an Oberflächen anzusammeln, während die große Konstanz inaktiver Immunsersa beweist, daß die Immunkörper ganz anderer Natur sind.

2. Bei 56 bis 60° wird ein Seifealbumingemisch innerhalb einer halben Stunde „inaktiviert“. Es fragt sich nun, ob diese Inaktivierung einer ähnlichen Erscheinung zuzuschreiben ist, wie die mit der Zeit spontan entstehende Inaktivität dieses Gemisches. Aus meinen Versuchen folgt, daß das Erwärmen die Oberflächenspannung des Seifealbumingemisches nicht verändert, daß es sich also bei der Inaktivierung durch Wärme um einen anderen Prozeß handelt, welcher der Annahme von v. Liebermann entsprechend zu einer festeren chemischen Verbindung zwischen Seife und Albumin führen dürfte.

3. Das mächtige Bestreben der Seife, sich an Oberflächen anzusammeln, führt zu ihrer Bindung durch Körper mit großer Oberflächenentwicklung. Daraus ist die Tatsache zu erklären, daß die Oberflächenspannung einer Seifenlösung durch Albumin herabgesetzt wird. Die Oberflächenspannung einer 1,5%igen Seifenlösung, welche 0,08% Albumin enthält, gleicht derjenigen einer 0,04%igen reinen Seifenlösung. Wie die durch Albuminzusatz erhöhte Oberflächenspannung einer Seifenlösung mit ihrer hämolytischen Wirkung zusammenhängt, zeigt folgende Versuchsreihe.

3% Seife	1% Albumin	0,85% NaCl	Oberflächen- spannung, die des Wassers = 1	gelöstes Hb in Graden einer Farbenskala
5 ccm	—	5,00 ccm	0,37	102
5 „	0,10 ccm	4,90 „	0,39	90
5 „	0,20 „	4,80 „	0,41	60
5 „	0,30 „	4,70 „	0,42	67
5 „	0,40 „	4,60 „	0,44	62

Zu ähnlichen Resultaten gelangt man, wenn man der Seifenlösung statt Albumin Serum zusetzt.

Landsteiner und Stankovic¹⁾ haben gezeigt, daß das Komplement durch Eiweißstoffe ebenfalls adsorbiert wird, eine Tatsache, welche ebenfalls als eine Analogie zwischen Seife und Komplement zu betrachten ist. Komplement binden jedoch außer Eiweiß viele kolloidale Lösungen und Suspensionen. Dasselbe gilt selbstverständlich auch für Seife. Folgende Versuche zeigen, daß in dieser Beziehung weitgehendste Übereinstimmung besteht.

a) 0,60 ccm Seifealbumingemisch, 0,10 ccm sehr verdünnte Ölsäure und 0,20 ccm phys. Kochsalzlösung lösten bei 37° die Blutzellen von 0,5 ccm einer 5%igen Blutkörperchensuspension innerhalb einer halben Stunde. Als entsprechende Mengen der Kochsalzlösung durch 0,20 ccm Typhusbouillon, 0,05 ccm Tuberkulin, 0,10 ccm Typhusimmunserum oder 0,10 ccm Maraglianos Tuberkuloseserum ersetzt wurden, wurde die Hämolyse vollständig gehemmt.

b) In gleichzeitig ausgeführten Versuchen von Kentzler und Királyfi mit denselben Antigenen und Seren, die im obenerwähnten Versuche verwendet wurden, sahen wir genau dasselbe bei der Verwendung von spezifischem Immunserum und Komplement als hämolysierendes System. 0,10 ccm frisches Schweineserum in 10facher Verdünnung, 0,10 ccm phys. Salzlösung und 0,10 ccm inaktiviertes rinderblutlösendes Serum lösten 1 ccm 5%ige Rinderblutkörperchensuspension vollständig. In einer Röhre, in welcher statt Kochsalz 0,10 ccm Typhusbouillon dem Hämolysin zugesetzt war, beobachteten wir vollkommene Hemmung der Hämolyse, in einer anderen mit 0,10 ccm Typhusserum eine wenn auch nicht vollkommene, so doch eine sehr ausgesprochene.

4. Nachdem so weitgehende Ähnlichkeiten zwischen Seife und Komplement festgestellt werden konnten, stellte ich mir zur Aufgabe, zu entscheiden, ob die Erscheinung der Komplementbindung bei spezifischen Reaktionen zwischen Antigenen und Antistoffen, die seit den Untersuchungen von Bordet, Gengou,

¹⁾ Centralbl. f. Bakt. 42, 353, 1906.

besonders aber von Wassermann und seinen Schülern eine so außerordentlich große Bedeutung erlangt hat, auch mit Seifealbumingemischen nachgeahmt werden kann. Meine ersten Versuche schienen dafür zu sprechen, daß dies in der Tat der Fall sei. Als Beispiel eines solchen Versuches sei der folgende angeführt.

	Tuberkulin	Maragliano	Typhusbouillon	Typhusserum	Seifealbumin	Ölsäure	Physiol. NaCl	5% Blutkörperchen		
1.	—	—	—	—	1,80	—	0,50	1,0	Thermostat	Keine Lösung
2.	—	—	—	—	—	0,10	2,30	1,0	Thermostat	Keine Lösung
3.	—	—	—	—	1,80	0,10	0,40	1,0	Thermostat	Vollständige Lösung
4.	0,10	0,10	—	—	1,80	0,10	0,20	1,0	Thermostat	Vollständige Hemmung
5.	0,10	—	—	—	1,80	0,10	0,30	1,0	Thermostat	Vollständige Lösung
6.	—	0,10	—	—	1,80	0,10	0,30	1,0	Thermostat	Schwache „
7.	0,10	—	—	0,20	1,80	0,10	0,10	1,0	Thermostat	Vollständige „
8.	—	0,10	0,20	—	1,80	0,10	0,10	1,0	Thermostat	Schwache „

Bei dieser Versuchsanordnung hemmten also Tuberkulin und Tuberkuloseserum die Hämolyse, wenn sie gleichzeitig zugegen waren, während weder das eine, noch das andere allein eine bedeutende Hemmung herbeiführten. Auch erschienen die übrigen Kontrollen für eine spezifische Seifenbindung zu sprechen, indem Typhusserum und Tuberkulin einerseits, Tuberkuloseserum und Typhusbouillon andererseits viel weniger hemmten als Tuberkulin und Tuberkuloseserum.

Zu genau demselben Resultate führt ein Versuch, in welchem Seifealbumin durch frisches und Ölsäure durch inaktiviertes hämolytisches Serum in entsprechenden Mengen ersetzt wird. Trotzdem kann man sich leicht davon überzeugen, daß zwischen Komplementbindung und Seifenbindung bei spezifischen Reaktionen ein sehr wesentlicher Unterschied besteht. Wie ich in zahlreichen Versuchen ermittelte, besteht dieser Unterschied darin, daß Bakterien und Bakterienextrakte mit ihnen entsprechenden Immunsereen höchstens so viel Seife binden, als der Summe derjenigen Seifenmengen entspricht, welche die

Antigene allein und die Seren allein binden können, und daß folglich die Reaktion ganz ähnlich verläuft, wenn zusammengehörige oder fremde Antigene und Immunkörper gleichzeitig zugegen sind, während bei der Komplementbindung zusammengehörige Antigene und Immunkörper bedeutend mehr Komplement binden als die Summe der von ihnen einzeln gebundenen Komplementmengen.

In einem Versuche hemmte z. B. 0,05 ccm eine filtrierten Tbcbouillon die Hämolyse von mehr als 0,100 ccm 0,1‰ und weniger als 0,150‰ Seife. Maraglianos Tbcserum hemmte in einer Menge von 0,025 ccm mehr als 0,200 und weniger als 0,25 ccm 1‰ Seife. Waren beide gleichzeitig an der Reaktion beteiligt, so hemmten sie in gleichen Mengen weniger als 0,30 derselben Seifenlösung in ihrer hämolytischen Wirkung.

Die Ähnlichkeit zwischen Komplement und Seife reicht also nur so weit, bis es sich um nicht spezifische Adsorptionsversuche handelt. Sobald spezifische Wirkungen zwischen Antigenen und Immunkörpern im Spiele sind, tritt der Unterschied zwischen beiden klar hervor. In diesem Falle scheint das Komplement nach der Adsorption chemisch gebunden zu werden, während die Seife in jedem Falle nur einfach adsorbiert zu bleiben scheint.

Seit den grundlegenden Untersuchungen von Overton muß angenommen werden, daß die Zellen im allgemeinen durch Plasmahäute umgeben sind, die aus Stoffen bestehen, welche die Eigenschaft haben, die Oberflächenspannung stark herabzusetzen und daher sich an Oberflächen in großer Konzentration ansammeln müssen. Wie zahlreiche Versuche der letzten Jahre außer Zweifel gesetzt haben, wird die Permeabilität der Zellen von diesen Plasmahäuten bestimmt. Da das Komplement nach allem zu denjenigen Körpern gehört, welche durch Oberflächen stark adsorbiert werden, muß es an der Oberfläche von Zellen in besonders großer Konzentration vorhanden sein. Erlangen nun die mit Immunkörpern beladenen Mikroorganismen die Fähigkeit, außerordentlich viel Komplement binden zu können, so dürfte diesem Umstande eine gewisse Bedeutung im Kampfe der Zellen gegen Mikroorganismen zukommen, da

die so beladenen Mikroorganismen an den Oberflächen zu einer Erhöhung der Spannung führen müssen. Es wäre sehr leicht möglich, daß diese physikalische Veränderung, die als Folge des Zusammentreffens von Antigen und Immunkörpern an der Grenze zwischen Flüssigkeit und Zelle zustande kommt, auf diese als Reiz wirken oder die Permeabilität ihrer Plasmahaut verändern könnte.

Die schweflige Säure in biochemischer Beziehung.

Von

L. Grünhut.

(Aus dem Chem. Laboratorium Fresenius in Wiesbaden.)

Mehrere chemische und pharmakologische Experimentalarbeiten, die in den letzten Jahren über die schweflige Säure ausgeführt wurden, beanspruchen neben ihrer praktischen Bedeutung noch deshalb ein besonderes Interesse, weil sie in ganz neuer Richtung die Wichtigkeit physikalisch-chemischer Betrachtungsweise für einige Probleme der angewandten Biochemie erkennen lassen. Es sind dies die Untersuchungen, die von W. Kerp, E. Rost und einigen anderen im Kaiserlichen Gesundheitsamte über die sogenannten komplexen schwefligen Säuren angestellt wurden.¹⁾ Fußend auf der hierdurch gewonnenen Erkenntnis haben dann C. Jacoby und H. Walbaum²⁾ es unternommen, das von den komplexen schwefligen Säuren abweichende Verhalten der wässerigen Lösungen von Schwefeldioxyd oder, wie sich ausdrücken, die Wirkungen der „freien schwefligen Säure“ gegenüber denjenigen der „Schwefligsäureionen“, zu studieren. So wichtig und einwandfrei nun auch die experimentellen Ergebnisse der zuletzt genannten beiden Autoren sind, so scheinen andererseits die von ihnen angeknüpften theoretischen Erwägungen und damit auch die praktischen Folgerungen in einzelnen Stücken auch eine abweichende Deutung zuzulassen. Eine erneute Diskussion dieser Ergebnisse vom Standpunkt der physikalischen Chemie erscheint

¹⁾ Arbeiten a. d. Kaiserl. Ges.-Amt 21, 141 bis 376, 1904; 26, 231 bis 300, 1907. — Zeitschr. f. Nahrungs- u. Genußmittel 6, 66, 1903; 8, 53, 1904. — Chem.-Zeitg. 31, 1059, 1907.

²⁾ Arch. f. experim. Pathol. u. Pharmakol. 54, 421, 1906. — Arch. f. Hygiene 57, 87, 1906.

mir deshalb nützlich, und ich erlaube mir, der ich andernorts¹⁾ einige kleine experimentelle Beiträge zu dem in Rede stehenden Arbeitsgebiet beigesteuert habe, das Wort hierzu zu ergreifen. Um des Zusammenhanges willen schicke ich eine kurze Darlegung der gesamten, bisher gewonnenen Ergebnisse voraus.

In der älteren Literatur finden wir nur vereinzelte Arbeiten von Bernatzik und Braun, sowie von Ogata über die physiologischen Wirkungen der schwefligen Säure; eine systematische Durchforschung des Gebietes beginnt erst, als die freie Vereinigung bayerischer Vertreter der angewandten Chemie²⁾ sich der Frage nach der Zulässigkeit und insbesondere der Begrenzung des Schwefels bei der Weinbereitung zuwandte. Damals ergab sich, daß der Gehalt des geschwefelten Weines an analytisch bestimmbarer schwefliger Säure erheblich größer war als die Menge, die man auf Grund der physiologischen Versuche, die L. Pfeiffer mit Lösungen schwefligsaurer Salze angestellt hatte, für unschädlich halten konnte. Dennoch waren Weine von derartiger Beschaffenheit seit Menschengedenken hergestellt und getrunken worden, ohne daß jemals Symptome beobachtet worden wären, die auf eine Schädigung durch schweflige Säure hinwiesen. Man mußte hieraus schließen, daß die toxische Wirkung der schwefligen Säure im Weine gegenüber derjenigen in Form der wässrigen Lösung der freien Säure oder ihrer Salze erheblich herabgesetzt ist. Es war eine willkommene Bestätigung dieser Folgerung, als M. Ripper³⁾ und C. Schmitt⁴⁾ bald darauf nachweisen konnten, daß die schweflige Säure bei ihrer Einverleibung in den Wein in der Tat eine Änderung insofern erfährt, als der größte Teil derselben, soweit nicht Oxydation zu Schwefelsäure eingetreten ist, in eine komplexe Verbindung übergeführt wird. Die genannten Autoren wiesen damals bereits darauf hin, daß die zweite Komponente dieser komplexen Verbindung Acetaldehyd sein

¹⁾ Zeitschr. f. anal. Chem. 42, 33, 1903. — Zeitschr. f. Nahrungs- u. Genußmittel 6, 927, 1903.

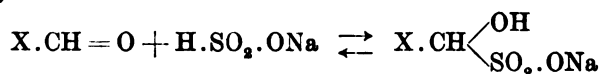
²⁾ Bericht über die siebente Versammlung in Speier 1888, 7 bis 35; desgl. über die neunte Versammlung in Erlangen 1890, 46 bis 62.

³⁾ Journ. f. praktische Chem. [N. F.] 46, 428 bis 473, 1892.

⁴⁾ Die Weine des herzoglich nassauischen Kabinettskellers 1892, S. 34, 57, 62 ff., 97.

dürfte: eine Vermutung, deren Richtigkeit dann durch Kerp in den zitierten Arbeiten exakt bestätigt wurde. Ein analoger Tatbestand ergab sich später beim geschwefelten Dörrobst; K. Farnsteiner¹⁾, W. Kerp²⁾ sowie W. Fresenius und ich³⁾ konnten gleichzeitig und unabhängig voneinander nachweisen, daß auch hier die schweflige Säure in komplexer Bindung, und zwar, wie sich herausstellte, an Glukose, vorhanden sein müsse. Endlich zeigte dann H. Schmidt⁴⁾, daß auch in fast allen anderen Fällen, in welchen schweflige Säure Nahrungs- oder Genußmitteln einverleibt wird, also bei Bier und Braumaterialien, bei Krachmandeln und Walnüssen, Dörrgemüsen, Büchsen- gemüsen, eingemachtem Obst, Stärkezucker und Stärkesirup, Honig und vielleicht auch im präservierten Hackfleisch, völlig entsprechende Verhältnisse herrschen.

Die Komplexverbindungen, die in den geschwefelten Nahrungs- und Genußmitteln vorkommen, sowie nahe verwandte andere Schwefligsäure-Komplexverbindungen hat dann W. Kerp in analysenreinem Zustande dargestellt und, teilweise in Gemeinschaft mit E. Baur, näher studiert.⁵⁾ Die zweite Komponente derselben ist immer ein Aldehyd oder ein Keton, und sie werden aus diesem glatt durch Addition von Natriumbisulfit an die Carbonylgruppe unter Aufrichtung der Sauerstoffwertigkeit erhalten. Das Reaktionsschema lautet also z. B. für Aldehyde:



Die entstehenden Verbindungen wären nach der in der organischen Chemie üblichen Nomenklatur als oxysulfosaure Salze zu bezeichnen; man hat jedoch vorgezogen — und es besitzt dieser Vorschlag den Vorzug der Übersichtlichkeit — ihnen den Namen aldehyd- bzw. ketonschwefligsaure Salze zu geben, und sie im einzelnen nach den betreffenden Aldehyden

¹⁾ Zeitschr. f. Nahrungs- u. Genußmittel 5, 1124, 1902; 7, 449 bis 470, 1904.

²⁾ Ebenda 6, 66, 1903.

³⁾ Zeitschr. f. anal. Chem. 42, 33 bis 41, 1903.

⁴⁾ Arbeiten a. d. Kaiserl. Ges.-Amt 21, 226 bis 284, 1904.

⁵⁾ Vgl. die oben zitierten Arbeiten.

und Ketonen, die in den Komplex eingetreten sind, näher zu benennen. Kerp sowie Kerp und Baur haben von solchen Verbindungen dargestellt: die Natronsalze der formaldehyd-, acetaldehyd-, chloral-, benzaldehyd-, glukose-, arabinose- und acetonschwefligen Säure.

Diese Salze erfahren in wässriger Lösung in zweifacher Beziehung eine Zustandsänderung, indem einmal ein Teil der Komplexverbindung in die organischen Komponente und in Natriumbisulfit zerfällt und zum anderen Male sowohl der ungespaltene Anteil des Komplexes als auch der abgespaltene Anteil des Bisulfits partiell der elektrolytischen Dissoziation anheimfällt. Eine wässrige Lösung des acetaldehydschwefligsauren Natrons enthält also neben der ungespaltenen und undissoziierten Verbindung, Acetaldehyd, und undissoziiertem Natriumbisulfit, noch das Anion der acetaldehydschwefligen Säure, ferner Bisulfition und Natriumion.

Komplexzerfall und elektrolytische Dissoziation sind Gleichgewichtsreaktionen, die dem Massenwirkungsgesetz gehorchen, deren quantitativer Betrag demzufolge — wenigstens im Grenzfalle — aus Gleichungen von der Form $ab = ck$ abgeleitet werden kann und von Konstanten, Komplexzerfallkonstanten und Dissoziationskonstanten, regiert wird. Während nun die letzteren für die Lösungen der genannten Salze alle von etwa gleicher Größenordnung sind, und zwar von solcher, daß der Dissoziationsgrad ein sehr erheblicher ist, sind andererseits die Komplexzerfallkonstanten von sehr wechselnder Größenordnung. Der Komplexzerfallgrad, mithin die Konzentration der Lösung an abgespaltenem Natriumbisulfit plus Bisulfition, ist hiernach

	Komplex- zerfall- konstante k	Menge des zerfallenen Salzes in Prozenten der gesamten gelösten Menge (Komplexzerfallgrad)
Formaldehydschweflgs. Natron . .	$0,12 \cdot 10^{-6}$	0,097
Acetaldehydschweflgs. „ . .	$2,26 \cdot 10^{-6}$	0,45
Benzaldehydschweflgs. „ . .	$1,00 \cdot 10^{-4}$	2,98
Acetonschweflgs. „ . .	$4,3 \cdot 10^{-4}$	14,58
Chloralschweflgs. „ . .	$3,54 \cdot 10^{-2}$	44,36
Arabinoseschweflgs. „ . .	$3,6 \cdot 10^{-2}$	44,5
Glukoseschweflgs. „ . .	$22 \cdot 10^{-2}$	74,61

für gleichmolare Lösungen der verschiedenen Komplexsalze ein sehr verschiedener; er kann für $\frac{1}{10}$ molare wässrige Lösungen (d. h. Lösungen, die $\frac{1}{10}$ Mol Salz im Liter aufgelöst enthalten) aus vorstehender Tabelle entnommen werden:

Die letzte Spalte gibt, ich wiederhole es nochmals, ein Maß für den Anteil der gesamten schwefligen Säure, der in Form von nicht elektrolytisch dissoziiertem Natriumbisulfit, sowie in Form von Bisulfition zugegen ist, d. h. also in derselben Form, wie er auch in Lösungen des Natriumbisulfites selbst sich findet. Dieser Anteil ist unmittelbar durch Jod titrierbar und kann, da ein weiteres Fortschreiten des Komplexzerfalles nach Störung des Gleichgewichtes verhältnismäßig langsam erfolgt, durch eine solche Titrierung analytisch ermittelt werden. Man hat sich daran gewöhnt, der von Schmitt und Ripper ursprünglich gewählten Benennung folgend, diesen Anteil als „freie schweflige Säure“ zu bezeichnen, im Gegensatz zu dem nicht direkt titrierbaren, noch in Komplexbindung sich befindenden, den man als „gebundene schweflige Säure“ zu bezeichnen pflegt. Die Menge der sogenannten freien schwefligen Säure ist hiernach lediglich von dem Gleichgewicht abhängig, das sich zwischen dem vorhandenen Salz und dem als Lösungsmittel dienenden Wasser herausbilden muß; sie hängt also, abgesehen von der Konzentration, *ceteris paribus* von der Komplexzerfallkonstante, und somit von der organischen Komponente des Komplexes ab und erreicht, im Gegensatz zu den zuerst genannten, für die in der Tabelle zuletzt aufgeführten Verbindungen eine recht beträchtliche Höhe.

Die toxische Wirkung einiger der genannten Komplexsalze in reiner wässriger Lösung ist von E. Rost und Fr. Franz¹⁾ im Vergleich mit äquivalenten Lösungen des Natriumsulfites, des Natriumbisulfites und zum Teil auch mit wässriger Schwefeldioxydlösung in mannigfacher Versuchsanordnung geprüft worden. Die Versuche bestätigen für die genannten anorganischen Verbindungen die bereits bekannte Giftigkeit derselben in vollem Umfange; sie lehrten aber andererseits, daß auch die organischen Komplexsalze keineswegs unwirksam sind. Freilich kommt ihnen keine spezifische Wirkung zu; es bestehen

¹⁾ Arbeiten a. d. Kaiserl. Ges.-Amt 21, 304 bis 371, 1904.

keine qualitativen Unterschiede zwischen ihnen und den anorganischen Verbindungen, sie alle wirken vielmehr ihrem Wesen nach gleich, und die Differenzen sind lediglich quantitativer Art. Über diese kann u. a. die folgende Tabelle Auskunft geben:

	Tödliche Dosis		Spezifische Giftigkeit	Relative Giftigkeit
	ccm	Min.		
Formaldehydschwefligsaures Natron	44	nach 42	$5,41 \cdot 10^{-4}$	1
Acetaldehydschwefligsaures Natron	11	nach 25	$36,4 \cdot 10^{-4}$	6,7
Natriumsulfit	8	nach 17	$73,5 \cdot 10^{-4}$	13,6
Acetonschwefligsaures Natron . .	7-8	nach 8-11	$140 \cdot 10^{-4}$	25,9
Glukoseschwefligsaures Natron . .	4-5	nach 10-11	$212 \cdot 10^{-4}$	37,3
Natriumbisulfit	3-4	nach 6-8	$408 \cdot 10^{-4}$	75,4
Schwefeldioxydlösung	3	nach $4\frac{1}{3}$	$769 \cdot 10^{-4}$	142

Die erste Spalte dieser Tabelle enthält Angaben über die Bedingungen unter denen Kaninchen von etwa $1\frac{1}{2}$ kg Körpergewicht bei Einführung von Lösungen mit 2,96 % Gesamt- SO_2 in die Blutbahn, bei einer Einlaufgeschwindigkeit von 1 ccm pro Minute, unter typischen Erscheinungen starben. Man findet Lösungsmenge und Zeit angegeben. In der zweiten Spalte habe ich einen Ausdruck für die spezifische Giftigkeit zu bilden gesucht, indem ich den reziproken Wert des Produktes aus Menge und Zeit der ersten Spalte ermittelte, und in der dritten Spalte endlich habe ich die relative Giftigkeit berechnet, indem ich die spezifische Giftigkeit des formaldehydschwefligsauren Natrons = 1 setzte. Durch Vergleich dieser Tabelle mit der vorhergehenden auf S. 92 erkennt man, daß sich für die Giftwirkung der Komplexsalze in wässriger Lösung dieselbe Reihenfolge ergibt wie für den Komplexzerfall, daß die Giftwirkung also parallel läuft der Menge von schwefliger Säure, die sich in Form von NaHSO_3 und HSO_3 in Lösung befindet. Ganz dementsprechend ist sie weiter bei dem Natriumbisulfit, bei dem alle schweflige Säure in dieser Form zugegen ist, größer als bei irgendeinem der Komplexsalze. Die Giftwirkung der letzteren wird hiernach lediglich durch den Gehalt ihrer Lösungen an sogenannter „freier schwefliger Säure“ bedingt. An und für sich sind also die Komplexverbindungen

ungiftig; sie werden erst in wässriger Lösung zum Gifte, und zwar um so mehr, je weiter sie zerfallen, je höher ihr Komplexzerfallgrad ist. Natriumsulfitlösung und Schwefeldioxydlösung sind, weil sie andere Ionen und andere Moleküle enthalten, als die übrigen Lösungen, nicht ohne weiteres vergleichbar.

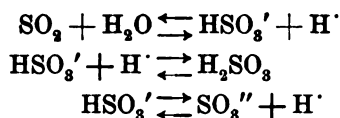
Von den untersuchten Komplexverbindungen sind für die praktische Nahrungsmittelchemie vor allem die mit Acetaldehyd und die mit Glukose von Bedeutung. Erstere findet sich, wie bereits oben erwähnt, im geschwefelten Wein, letztere in geschwefelten Obstprodukten. Gegenüber den Bedingungen der bisher besprochenen Versuche an wässrigen Lösungen der Natriumsalze besteht bei den erwähnten Nahrungsmitteln ein zweifacher Unterschied: einmal wird in vielen Fällen neben der Komplexverbindung ein Überschuß an der organischen Komplexkomponente, Acetaldehyd bzw. Glukose, sich finden; zum anderen wird fast ausnahmslos saure Reaktion in der Flüssigkeit herrschen, d. h. wir haben es nicht mit dem Komplexsalz, sondern mit der Komplexsäure zu tun, und werden neben dieser oft noch überschüssige Wasserstoffionen finden.

Der erstere Umstand, Auftreten überschüssigen organischen Komplexbildners, muß, wie das Massenwirkungsgesetz ohne weiteres voraussehen läßt, den Komplexzerfallgrad herabdrücken, demnach die Giftwirkung vermindern. Versuche von Kerp und Baur haben diese theoretische Voraussetzung bestätigt; sie trifft für acetaldehydschwefligsaures Natron in sehr erheblichem Maße, für das glukoseschwefligsaure Salz gleichfalls deutlich, aber minder erheblich zu. Von dem Einfluß der sauren Reaktion wird weiter unten, in anderem Zusammenhange, noch die Rede sein.

Ich wende mich nunmehr zu den Arbeiten von Jacobj und Walbaum. Sie haben sich vorwiegend mit den toxischen Wirkungen der wässrigen Lösungen des Schwefeldioxyds beschäftigt und festgestellt, daß diese viel größer sind als diejenige äquivalenter Lösungen von Natriumbisulfit. Einzelgaben von 40 mg Schwefeldioxyd in 0,04 prozentiger Lösung per os brachten bei der Katze noch objektiv deutlich nachweisbare Wirkungen hervor, Gaben von 20 mg in 0,04 prozentigen Lösungen ließen am Menschen subjektives Uebelbefinden er-

kennen, und 0,006 prozentige Lösungen brachten innerhalb merklicher Zeit die Flimmerbewegungen des Flimmerepithels aus dem Froschrachen zum Stillstand.

Will man versuchen, zu ergründen, auf welchen Bestandteil der Schwefeldioxydlösung die dem Natriumbisulfit gegenüber erhöhte Giftwirkung zurückzuführen ist, so kann man folgende Betrachtungen anstellen. Beim Einleiten von Schwefeldioxyd in Wasser spielen sich nacheinander bzw. nebeneinander folgende Reaktionen ab:



In der wässrigen Schwefeldioxydlösung sind demnach außer Wasser folgende Stoffarten vorhanden: SO_2 , H' , HSO_3' , SO_3'' und H_2SO_3 . Von diesen findet sich HSO_3' auch in den Bisulfitlösungen und kann deshalb nicht der Träger der besonderen Giftwirkung der Dioxydlösung sein. SO_3'' scheidet gleichfalls aus, weil es erfahrungsgemäß in der Dioxydlösung nur in verschwindender Menge sich findet. Somit bleiben nur noch SO_2 , H_2SO_3 und H' übrig. Aber auch Wasserstoffion kann im vorliegenden Falle nicht die toxischen Erscheinungen bedingen, denn zahlreiche Parallelversuche, auch von Walbaum, ergaben, daß Salzsäure von höherer Konzentration, also erheblich höherer Wasserstoffionenkonzentration, noch unschädlich war, wo Schwefeldioxydlösung schon Wirkungen erkennen ließ. Somit bleiben als Träger der Giftwirkung allein H_2SO_3 und SO_2 übrig.

Über ihre Konzentration kann man sich auf Grund folgender Überlegungen ein Bild machen. Die obenerwähnten drei Reaktionen werden durch die folgenden drei Massenwirkungsgleichungen beherrscht:

$$\frac{[\text{SO}_2]}{[\text{HSO}_3'] \cdot [\text{H}']} = k_1 \quad (1)$$

$$\frac{[\text{HSO}_3'] \cdot [\text{H}']}{\text{H}_2\text{SO}_3} = k_2 \quad (2)$$

$$\frac{[\text{SO}_3''] \cdot [\text{H}']}{[\text{HSO}_3'']} = k_3 \quad (3)$$

Die dritte Gleichung lassen wir, weil die Konzentration von SO_3'' wegen der verschwindend kleinen Größe von k_3

völlig unerheblich ist, aus dem Kreise unserer Betrachtungen. Dagegen haben wir noch eine vierte Beziehung heranzuziehen, die nicht ohne weiteres aus dem Massenwirkungsgesetz hervorgeht, die jedoch von K. Drucker¹⁾ sowie von Kerp und Baur²⁾ unabhängig voneinander und nach verschiedenen Untersuchungsmethoden empirisch aufgefunden ist, nämlich die Beziehung:

$$\frac{[\text{HSO}_3'] \cdot [\text{H}']}{[\text{H}_2\text{SO}_3] + [\text{SO}_2]} = k_4. \quad (4)$$

Durch Multiplikation der Gleichung (1) mit der Gleichung (2) findet man

$$\frac{[\text{SO}_2]}{[\text{H}_2\text{SO}_3]} = k_1 k_2 \quad (5)$$

und hieraus

$$[\text{SO}_2] = k_1 k_2 [\text{H}_2\text{SO}_3]$$

Setzt man diesen Wert in Gleichung (4) ein, so ergibt sich

$$\frac{[\text{HSO}_3'] \cdot [\text{H}']}{[\text{H}_2\text{SO}_3]} = k_4 (1 + k_1 k_2).$$

Da andererseits die linke Seite dieser Gleichung nach (2) $= k_2$ ist, so ergibt sich

$$k_2 = k_4 (1 + k_1 k_2)$$

und hieraus $k_1 = \frac{k_2 - k_4}{k_2 k_4}$ (6)

Wir können hiernach k_1 berechnen, wenn wir k_2 und k_4 kennen. k_4 entspricht den Werten für die Dissoziationskonstante, die Kerp und Baur, sowie Walden und Centnerszwer aus Gefrierpunkterniedrigungen, sowie Drucker auf Grund des Verteilungssatzes ableiteten. Alle diese Versuche lieferten in ausreichender Übereinstimmung $k_4 = 0,0164$. Andererseits haben Kerp und Baur aber auch Leitfähigkeitsbestimmungen an wässrigen Lösungen von Schwefeldioxyd vorgenommen und aus dem Verhältnis dieser Leitfähigkeitswerte zu dem Grenzwert bei unendlicher Verdünnung den Dissoziationsgrad und hieraus die Dissoziationskonstante berechnet. Es ist ohne weiteres klar, daß der so ermittelte Wert jener Größe entsprechen muß, die ich hier als k_2 bezeichnet habe. Dieser Wert ist $= 0,0174$. Aus den so gewonnenen Rechnungsgrundlagen ergibt sich mit

¹⁾ Zeitschr. f. physikal. Chem. 49, 581, 1904.

²⁾ Arbeiten a. d. Kaiserl. Ges.-Amt 26, 297, 1907.

Hilfe der Gleichung (6) $k_1 = 3,5$, und ferner findet man für das Produkt $k_1 k_2$, welches nach Gleichung (5) das Maß für das unabänderliche Verhältnis $\frac{[\text{SO}_2]}{[\text{H}_2\text{SO}_3]}$ ist, den Wert 0,06.

Unsere Betrachtung lehrt also, daß die Konzentration an SO_2 immer denselben unabänderlichen Bruchteil der H_2SO_3 -Konzentration betragen muß, daß das Verhältnis beider Konzentrationen unter allen Bedingungen, also bei jedem Verhältnis zwischen dem in Lösung gebrachten Schwefeldioxyd und dem Lösungsmittel, bei jedem Dissoziationsgrad der gebildeten schwefligen Säure, konstant sein muß, und zwar beträgt die SO_2 -Konzentration rund 6 Prozent von der H_2SO_3 -Konzentration. Ich lege hierbei einen viel größeren Wert auf das allgemeine Ergebnis und bin mir bewußt, daß das numerische Resultat wegen der, mehrere Prozent betragenden, Unsicherheit der Ausgangsgrößen der Rechnung mit erheblicher Unsicherheit behaftet ist. Doch kann in numerischer Beziehung immerhin noch so viel als sicher gelten, daß die Konzentration von SO_2 im Verhältnis zu derjenigen von H_2SO_3 klein sein muß, weil anderenfalls k_3 und k_4 voneinander erheblich abweichen müßten, was wiederum auf Grund der experimentellen Ergebnisse für ausgeschlossen gelten darf.

Stehen $[\text{H}_2\text{SO}_3]$ und $[\text{SO}_2]$ jederzeit in einem konstanten, unabänderlichen Verhältnis, so ist sonach die Summe $[\text{H}_2\text{SO}_3] + [\text{SO}_2]$, die wir leicht in bekannter Weise aus der Größe $k_4 = 0,0164$ berechnen können, das Maß für die besondere Giftwirkung der Schwefeldioxydlösungen. Denn wir hatten vorhin gesehen, daß diese besondere Giftwirkung nur von H_2SO_3 oder von SO_2 , oder schließlich von beiden abhängen kann. Ist letzteres der Fall, dann ist die Summe das direkte Maß der spezifischen Giftwirkung; gilt jedoch eine der erstgenannten beiden Eventualitäten, dann ist die Summe der Konzentration des giftigen Bestandteiles proportional und mithin gleichfalls ein Maß der besonderen Giftigkeit.

Üben wir, mit dieser Erkenntnis ausgerüstet, Kritik an den Versuchen Walbaums, die zur Feststellung der Schwellenwerte der Giftigkeit von Schwefeldioxydlösung dienten, so ergibt sich, daß ein Teil derselben, insbesondere jener, der zur Ermittlung der subjektiven Reizschwelle am Menschen dienen

sollte, nicht völlig einwandfrei ist. Für die meisten dieser Versuche benutzte Walbaum nicht eine rein wässrige Lösung, sondern eine solche in 0,2 prozentiger Salzsäure. Er tat dies in der Absicht, eine Neutralisation der verabreichten „schwefligen Säure“ durch verschluckten Speichel zu verhindern. Bedenkt man, daß die Alkalinität des gemischten menschlichen Speichels im Durchschnitt derjenigen einer 0,04 %igen Sodalösung gleicht,¹⁾ also einer Lösung von 7,5 mg-Äquivalent im Liter, während 0,2 %ige Salzsäure 55 mg-Äquivalent in 1 Liter enthält, so erkennt man, daß allein zur Abstumpfung der zugesetzten Salzsäure mehr als das siebenfache Volumen der dargereichten salzsäuren Schwefeldioxydlösung hätte an Speichel herabgeschluckt werden müssen. Das darf aber bei Mengen von 50 bis 100 ccm, die bei diesen Versuchen verabfolgt wurden, für ausgeschlossen gelten, und es ist hierdurch erwiesen, daß die Lösung in einem Zustande zur Wirkung kam, in dem sie sehr merkbare Mengen der stark dissoziierten Salzsäure, also sehr merkbare Mengen Wasserstoffion enthielt. Unter allen Umständen gilt die Massenwirkungsgleichung (4).

$$\frac{[\text{HSO}_3'] \cdot [\text{H}^+]}{[\text{H}_2\text{SO}_3] + [\text{SO}_2]} = k_4.$$

und aus dieser geht hervor, daß bei Hinzufügung von Wasserstoffionen zu einer wässrigen Schwefeldioxydlösung die Konzentration $[\text{H}_2\text{SO}_3] + [\text{SO}_2]$ und mithin die spezifische Giftigkeit ansteigen muß. Setzt man $k_4 = 0,0164$, so ergibt sich für eine 0,04 %ige Lösung in 0,2 %iger Salzsäure, d. i. für Walbaums Grenzlösung für subjektiv wahrnehmbare Reizwirkungen, die Konzentration $[\text{H}_2\text{SO}_3] + [\text{SO}_2] = 0,0048$ Mol pro Liter. Die gleiche Konzentration würde man in rein wässriger Lösung erst bei 0,088 % gelöstem Dioxyd vorfinden. Auch hier lege ich auf das rein numerische Ergebnis keinen besonderen Wert, weil die Gültigkeit von $k_4 = 0,0164$ für solch dünne Lösungen nicht erwiesen, ja sogar unwahrscheinlich ist; immerhin gibt die Rechnung ein Bild davon, wie sehr sich die tatsächlichen Verhältnisse durch die gewählte Versuchsanordnung verschieben konnten und verschieben mußten. Dieser Umstand erklärt zweifellos viel mehr als der Einfluß etwa verschluckten Speichels,

¹⁾ S. Fränkel, Deskriptive Biochemie 1907, S. 535.

warum „die Versuche, soweit die SO_2 -Lösung ohne Salzsäure gegeben wurde, sehr verschiedenartig ausfielen“.¹⁾ Bei den Versuchen mit Salzsäurezugabe wurde, wie ich gezeigt zu haben glaube, die Giftwirkung wesentlich verstärkt und damit auch verdeutlicht; aber gerade deshalb sind sie nicht ohne weiteres geeignet, ein Bild von der quantitativen Giftwirkung des gelösten Schwefeldioxyds zu gewähren.

In einem andern Teil seiner Arbeit weist Walbaum darauf hin, daß sich die Wirkung eingeführten Sulfits und Bisulfits dadurch verstärken müsse, daß durch die saure Reaktion von Körperflüssigkeiten im Organismus aus ihnen freie schweflige Säure abgespalten wird, und mit ihrer besonderen höheren Giftwirkung zur Geltung kommt. Gemeint ist hier die wirklich freie schweflige Säure, nicht jene, die man im Gegensatz zur komplexen auch als freie zu bezeichnen pflegt (vgl. S. 93). Auch hier erweisen sich die Verhältnisse nicht als so einfach, wie Walbaum voraussetzt, und bedürfen einer näheren Besprechung.

Ich beginne mit dem Verhalten des Bisulfits. Ist die zur Wirkung gelangende Wasserstoffionenmenge der sauren Körperflüssigkeiten gerade äquivalent der Kationenkonzentration des zugeführten Bisulfits, dann wird die Wirkung des letzteren nahezu derjenigen einer wässrigen Lösung von Schwefeldioxyd gleichen. Ist sie größer, dann wird aus den eben auseinandergesetzten Gründen die spezifische Giftwirkung sogar noch erhöht werden. Anders liegen die Verhältnisse, wenn die wirksame Wasserstoffionenkonzentration hinter der Kationenkonzentration der Bisulfitdosis zurückbleibt. Eine solche Flüssigkeit wird sich verhalten wie eine wässrige Schwefeldioxydlösung, die überschüssige Bisulfitionen (HSO_3') enthält. Je größer der Überschuß an Bisulfitionen ist, eine um so größere Menge von H^+ -Ionen wird durch dieselben, wie man sich zuweilen auszudrücken pflegt, abgefangen und um einen um so größeren Betrag wird die Konzentration $[\text{H}_2\text{SO}_3] + [\text{SO}_2]$ ansteigen müssen, damit die Massenwirkungsgleichung (4) erfüllt ist. Je größer also die auf eine gegebene Menge Wasserstoffion kommende, in Form von Bisulfit zugeführte HSO_3' -Ionenmenge ist, um so stärker

¹⁾ Walbaum, Arch. f. Hygiene 57, 115, 1906.

wird sich die erhöhte spezifische Giftwirkung der Schwefeldioxydlösung neben des Bisulfites geltend machen. Man wird durch diese Betrachtung zu dem überraschenden Schluß geführt, daß unter Umständen, d. h. bei gleicher, wirksamer, absoluter Acidität etwa des Magensaftes, bei Vermehrung der Bisulfitdosis die Giftwirkung nicht proportional der Dosis, sondern in erhöhter Progression ansteigt. Wieweit diese theoretische Abstraktion in Wirklichkeit sich bestätigt, darüber fehlt noch jede experimentelle Erfahrung.

Noch anders liegen teilweise die Verhältnisse, wenn Sulfitlösungen im Körper saure Reaktion antreffen. Ist freilich die Wasserstoffionenkonzentration äquivalent der halben Kationenkonzentration oder größer, dann gilt das gleiche, was soeben für die entsprechenden Eventualitäten für die Bisulfite ausgeführt wurde. Ist jedoch die wirksame Wasserstoffionenmenge kleiner als die halbe Kationenkonzentration, dann muß die $[H_2SO_3] + [SO_2]$ -Konzentration praktisch immer Null bleiben, und von einer Steigerung der Giftwirkung bis zu derjenigen der wässrigen Schwefeldioxydlösungen kann nimmermehr die Rede sein. Wohl aber werden die schwächer giftigen SO_3^{--} -Ionen teilweise in HSO_3^- -Ionen übergeführt, denen ja, wie aus der Tabelle auf S. 94 hervorgeht, eine höhere Giftigkeit zukommt. So und nicht anders ist das Ergebnis eines Versuches zu deuten, den Walbaum¹⁾ beschreibt. Er gab einer Katze 250 mg SO_2 (= 7,8 mg-Äquivalent) in einer 0,5%₀ enthaltenden Sulfitlösung; außer etwas Zittern traten keinerlei Erscheinungen auf. Erhielt das Tier dann aber nachträglich noch 50 ccm einer 0,2%₀igen Salzsäurelösung (= 2,7 mg-Äquivalent), so traten bald nachher Schmerzen, Würgen, Erbrechen und heftige Durchfälle auf.

Jacobj und Walbaum haben endlich auch die Komplexverbindungen der schwefligen Säure in den Kreis ihrer Betrachtung gezogen. Auch für diese sind sie zu der Anschauung gelangt, daß saure Reaktion, die sich teilweise schon in den geschwefelten und zubereiteten Nahrungsmitteln findet, teilweise durch Zusammentreffen mit sauren Körperflüssigkeiten im Organismus bedingt wird, aus ihnen Schwefel-

¹⁾ Arch. f. Hygiene 57, 135, 1906.

dioxyd in Freiheit setzen könne. Sie glauben deshalb, daß den Komplexverbindungen unter Umständen dieselbe erhöhte Giftwirkung wie den Lösungen des Schwefeldioxyds zukommen könne, und daß sie deshalb vom Standpunkte des Hygienikers mit demselben strengen Maßstab gemessen werden müßten wie diese. Diese Ansicht stützen sie auf eine Reihe von Experimenten, bei denen sie Lösungen von Komplexsalzen oder wässrige Auszüge aus geschwefelten Aprikosen, nach Zusatz von Salzsäure in starkem Überschuß, im Wasserstoffstrom bei Körpertemperatur destillierten. In der Tat gingen hierbei fast immer erhebliche Mengen, in einzelnen Fällen sogar die ganze Menge der schwefligen Säure als Schwefeldioxyd in das Destillat über.

Diese Versuche beweisen durchaus nicht das, was ihre Autoren aus ihnen schließen, denn indem die Verfasser die geringe Menge Schwefeldioxyd, die aus dem durch Komplexzerfall abgespaltenen Bisulfition sich bildet, durch Destillation fortführen, stören sie das Gleichgewicht, rufen dadurch erneuten vermehrten Komplexzerfall und damit erneute Bildung von Schwefeldioxyd hervor, das sie wiederum abdestillieren. So geht der Vorgang weiter, bis alles als Schwefeldioxyd übergegangen ist. Das abdestillierte Schwefeldioxyd ist also keinesfalls das Maß dessen, das in der angesäuerten Lösung vorhanden ist, und nicht die Versuche sind auffallend, bei denen 100% Schwefeldioxyd im Destillat aufgefunden wurde, sondern diejenigen, bei denen diese Menge nicht erreicht wurde.

Das Verhalten der komplexschwefligsauren Salze in saurer Lösung ist durch eine große Reihe systematischer Versuche von Kerp und Baur aufgeklärt, denen sich einige wenige von A. Devarda¹⁾ mit gleichem Resultate anschließen. Diese Arbeiten ergeben, um es vor auszuschicken, gerade das Gegenteil dessen, was Jacoby und Walbaum voraussetzen bzw. aus den eben erwähnten Destillationsversuchen ableiten. Zwar hat sich gezeigt, daß die Hinzufügung von Wasserstoffionen zu den Lösungen der Komplexsalze, wie es theoretisch auch voraus-

¹⁾ Die Görzer Prünellenindustrie mit besonderer Rücksichtnahme auf das Schwefeln des Obstes. Zeitschr. f. d. landwirtschaftl. Versuchswesen in Österreich 1906, S. 74 des Sonderabdrucks.

zusehen war, die schließlich nach Erreichung des Gleichgewichts vorhandene Menge titrierbarer schwefliger Säure, d. h. also die sog. „freie“ im Sinne von Ripper und Schmitt, erhöht, und daß diese Zunahme des Komplexzerfalls sogar die entgegengesetzte Wirkung eines Überschusses der organischen Komplexkomponente (vgl. S. 93) kompensiert. Daneben hat sich aber noch das weitere Resultat ergeben, daß der Zerfall der Komplexverbindungen in saurer Lösung viel langsamer erfolgt als in neutraler. Während z. B. in einer $\frac{1}{10}$ -Lösung von glukoseschwefligsaurem Natron bei 19° C das Zerfallsgleichgewicht unter Zerfall von 74,6% der vorhandenen Verbindung nach $\frac{1}{2}$ bis 1 Stunde erreicht war, waren in einer Lösung, die neben $\frac{1}{10}$ Mol glukoseschwefligsaurem Natron noch $\frac{1}{30}$ Mol Salzsäure im Liter enthielt, bei 25° C in derselben Zeit erst 1,4% zerfallen, und das Gleichgewicht war nach 120 Stunden noch nicht erreicht. Wasserstoffionen spielen also für den Zerfall der Schwefligsäure-Komplexverbindungen die Rolle eines negativen Katalysators. Diese Wirkung überwiegt praktisch innerhalb der Zeiträume, die wir für ein Verweilen geschwefelter Nahrungsmittel im Organismus voraussetzen dürfen, bei weitem die auf eine quantitative Vermehrung des Zerfalls abzielende, aus dem Massenwirkungsgesetz sich ergebende. Da aber die Giftwirkung der in Rede stehenden Substanzen, wie wir früher sahen, dem Betrage ihres Zerfalls entspricht, so wird dieselbe praktisch durch das Vorhandensein oder den Eintritt saurer Reaktion wesentlich vermindert werden müssen. Diesen Schluß haben auch Kerp und Baur aus ihren Untersuchungen gezogen.

Schlußfolgerungen.

1. Für die Beurteilung der spezifischen Giftwirkungen wässriger Lösungen von Schwefeldioxyd gibt der Gehalt an $[H_2SO_3] + [SO_2]$ einen Maßstab.

2. Ein Teil der Versuche von Jacoby und Walbaum über die Giftigkeit der Schwefeldioxydlösungen ist in ihren quantitativen Ergebnissen mit Vorsicht zu deuten, weil bei ihnen mit salzsaurer Lösung gearbeitet und durch Massenwirkung der Wasserstoffionen die Giftigkeit geändert wurde.

3. Die Anschauung von Jacobj und Walbaum, daß infolge der sauren Reaktion von Körperflüssigkeiten die Komplexverbindungen der schwefligen Säure und die schwefligsauren Salze mit der erhöhten Giftigkeit der Schwefeldioxydlösung zur Wirkung gelangen müßten, ist nicht zutreffend. Die Destillationsversuche als experimentelle Grundlage dieser Anschauung sind nicht beweisend, weil bei ihnen dynamische Eingriffe in das reagierende System vorgenommen wurden, die die Gleichgewichtszustände verschoben. Andererseits muß die seitdem bekannt gewordene Eigenschaft der Wasserstoffionen, negative Katalysatoren des Komplexzerfalls zu sein, gerade das Gegenteil dessen bewirken, was Jacobj und Walbaum voraussetzen.

Beobachtungen über Farbstoffausscheidung durch die Nieren.

Von

Rudolf Höber und cand. med. Felicja Kempner.

(Aus dem physiologischen Institut der Universität Zürich.

Seit Heidenhains Studien über die Ausscheidung des indigschwefelsauren Natrons durch die Niere ist die Überzeugung von dem Wert ähnlicher Untersuchungen für die Erkenntnis der Nierenfunktion vor allem durch den Hinweis von Gurwitsch¹⁾ gestärkt worden, daß ungeachtet der Körperfremdheit des Farbstoffes seine Stapelung und sein Transport von seiten der Niere als ein Ausdruck von deren typischer sekretorischer Tätigkeit angesehen werden darf, weil das indigschwefelsaure Natron zu den lipoidunlöslichen Substanzen gehört, welche im allgemeinen nicht oder doch nur schwer die Zellgrenzen zu passieren vermögen, während die Nierenzellen es sich mit Leichtigkeit einverleiben. Diese besondere Importfähigkeit äußert nun die Niere, wie aus den Untersuchungen von Dreser²⁾, Gurwitsch³⁾, Höber und Königsberg⁴⁾, Basler⁵⁾ u. a. hervorgeht, auch gegenüber anderen „nicht vitalen“, weil lipoidunlöslichen Farben, wie z. B. dem Säurefuchsin, Kongorot, wasserlöslichen Anilinblau und Bordeaux. Daher können auch alle diese Körper dank ihrer Gefärbtheit dazu beitragen, über Art und Ort der Abscheidung auch der normalen Harnbestandteile Aufschluß zu erteilen. So zeigt sich vor allem

¹⁾ Pflügers Archiv 91, 71, 1902.

²⁾ Zeitschr. f. Biol. 21, 41, 1885.

³⁾ l. c.

⁴⁾ Pflügers Archiv 108, 323, 1905.

⁵⁾ Ebenda 112, 203, 1906.

sofort, daß in der Froschniere die Zellen im sog. zweiten Abschnitt und im Anfang des dritten Abschnittes der Harnkanälchen zur Abscheidung besonders befähigt sind; denn alle die genannten nicht vitalen Farben werden an diesen Orten in Vakuolen gestapelt und dann in die entsprechenden Lumenabschnitte weiterbefördert, während die vitalen Farben, wie wir neuerdings auch wieder beim Methylviolett, Brillantcresylblau und Dahlia gesehen haben, in ganz unspezifischer Weise zufolge ihrer Lipoidlöslichkeit in die Epithelien aller Abschnitte eindringen.

Es ist nun natürlich eine der wichtigsten Fragen der Nierenphysiologie, auf welche Weise gewisse Nierenepithelien, wie eben in der Froschniere diejenigen des zweiten Abschnittes, es fertig bekommen, Substanzen wie die lipoidunlöslichen Stoffe aufzunehmen, welche den anderen Zellen, wenigstens den nicht sekretorisch tätigen, unzugänglich bzw. relativ schwer zugänglich sind. Gurwitsch machte zur Erklärung dieser Tatsache die einfache Annahme, daß den betreffenden Nierenepithelien die Lipoidhaut fehle. Höber und Königsberg¹⁾ haben indessen gezeigt, daß dies nicht zutrifft. Die Frage ist also noch offen.

Wir haben nun zu ihrer Entscheidung neue Untersuchungen über Ausscheidung von Farbstoffen vorgenommen, für welche wir die früher von Höber und Königsberg gemachte Beobachtung zum Ausgangspunkt wählten, nach welcher Farbstoffe, die Fröschen in den Rückenlymphsack gebracht werden, von den Nieren ganz verschieden behandelt werden; die einen werden mit Leichtigkeit von den Epithelien aufgenommen und ausgeschieden, andere deutlich langsamer, dritte gar nicht. Die Entscheidung der Frage, wovon dies abhängt, muß zur Aufklärung über das Wesen der Importfähigkeiten der Nierenepithelien beitragen.

Versuche über Farbstoffausscheidung.

Mit folgenden Farbstoffen wurden Versuche gemacht: Violettsschwarz, Berliner Blau Ia, Kongorot, Indigkarmin der Firma Gröbler, Indulin, Nigrosin, wasserlösliches Anilinblau,

¹⁾ l. c. Siehe auch: Höber, Physikal. Chemie der Zelle u. d. Gewebe, 2. Aufl. 1906, S. 351 ff.

Ponceau B, Anilinorange II der Firma Bender & Hobein, Säurefuchsin, Alkaliblau 3B, indigschwefelsaures Natron, Bayrisch Blau der Firma Kahlbaum, und Benzoazurin von Bayer.

Alle diese Farben (natürlich mit Ausnahme des Berliner Blau) sind Sulfosäure-Farbstoffe und darum lipoidunlöslich.

1. Einbringung der Farbe in den Rückenlymphsack: Die Temporarien wurden ein bis vier Tage nach der Farbstoffzufuhr leben gelassen; bei mehrtägiger Versuchsdauer wurde meist täglich Farbstoff (trocken) in den Rückenlymphsack nachgefüllt. Die Nieren wurden frisch ein wenig zerzupft und in Ringerlösung untersucht.

Es ergab sich, daß gar nicht in den Epithelien zur Ausscheidung gelangten: Berliner Blau und Violett-schwarz. Nur die Glomeruli zeigten sich in einigen Versuchen ein wenig gefärbt. Auch Nigrosin färbte meist nur die Glomeruli, in einem Fall schienen auch die Epithelien nach dreitägiger Zufuhr etwas Farbe aufgenommen zu haben.

Dem Nigrosin am ähnlichsten ist das Indulin. Es gelangt zwar sicher durch die Epithelien des zweiten Abschnittes zur Ausscheidung, aber nur langsam und in kleinen Mengen.

Dagegen treten mit Leichtigkeit in die Epithelien über: Säurefuchsin, Anilinblau, Kongorot, Bayrisch Blau, Indigschwefelsaures Natron, Indigkarmin, Ponceau und Anilinorange. Die ersten vier Farben sind in intensiv gefärbten Vakuolen gestapelt in den Epithelien des 2. und 3. Abschnitts sichtbar. Indigschwefelsaures Natron und Indigkarmin erscheinen reichlich meist erst nach Oxydation mit Wasserstoffperoxyd und dann oft mehr diffus als granulär. Ponceau und Anilinorange färben diffus.

Man erhält also bei Verabreichung der Farben vom Rückenlymphsack aus eine deutliche Abstufung in der Ausscheidung. Diese kann jedoch mehr als einen Grund haben. Vor allem ist daran zu denken, daß die Resorption aus dem Lymphsack mit sehr verschiedener Geschwindigkeit vor sich gehen kann, wofür verschieden große Farbrückstände dort objektive Anhaltspunkte geben. Hierauf wurde schon früher von Höber und Königsberg hingewiesen und die verschiedene Resorbierbarkeit mit verschiedener Art der Löslichkeit in Zusammenhang gebracht; Benzoazurin und Benzopurpurin, welche, wie früher

gezeigt wurde, bei Verabfolgung in den Rückenlymphsack wie Berliner Blau und Violetttschwarz auch nicht in die Nieren übergehen, bilden kolloidale Lösungen, und das genügt offenbar als Grund dafür, daß sie nicht oder kaum aus dem Lymphsack in die Blutbahn übergehen. Beim Berliner Blau kann zur Erklärung seines eben beschriebenen Verhaltens ohne weiteres derselbe Grund angeführt werden, da die Suspensionsnatur der Berliner-Blau-Lösungen bekannt ist.

Um nun zunächst von den Differenzen in der Resorbierbarkeit unabhängig zu werden, war das Nächstliegende, die Farbstoffe direkt in die Blutbahn einzuführen.

2. Intravenöse Injektion der Farblösungen: 0,65%ige Kochsalzlösung wurde mit den verschiedenen genannten Farbstoffen gesättigt und von diesen Lösungen nach Filtration je nach der Größe der Temporarien 0,5 bis 2 ccm in die vena abdominalis injiziert. Die Tiere wurden danach 1 bis 2 Tage trocken gehalten, dann getötet und untersucht.

Es zeigte sich, daß auch bei dieser Art der Farbabplikation Berliner Blau und Violetttschwarz nicht von den Nierenzellen aufgenommen werden. Gerade so verhalten sich aber auch noch Benzoazurin und Alkaliblau 3 B. Beim Nigrosin ist es wiederum zweifelhaft, ob neben der intensiven Färbung der Glomeruli und übrigen Capillaren auch noch eine ganz schwache diffuse Färbung der Epithelien besteht.

Indulin nimmt wieder eine Mittelstellung zwischen den nicht und den leicht abscheidbaren Farbstoffen ein; manchmal bekommt man Anfänge von Ausscheidung in die Zellen, selten auch Ausscheidung ins Lumen zu sehen, in anderen Fällen sind bloß die Gefäße gefärbt.

Prompt treten dagegen in die Epithelien über: Säurefuchsin, Anilinblau, Kongorot, Bayrisch Blau, Indigschwefelsaures Natron, Indigkarmin, Ponceau und Anilinorange, und werden auch nach der intravenösen Injektion in der schon vorher beschriebenen Weise in der Niere sichtbar.

Zu bemerken ist noch, daß die konzentrierten Lösungen von Violetttschwarz und Alkaliblau 3 B, weniger von Benzoazurin, in 0,65%iger NaCl-Lösung im Vergleich zu manchen anderen der Farblösungen ziemlich hell gefärbt sind. Mit dieser ge-

ringen Färbekraft ist aber ihre Unsichtbarkeit in den Nierenzellen kaum zu erklären. Denn erstens bleiben, wie sie, auch Berliner Blau und Nigrosin unsichtbar, deren Lösungen tief gefärbt sind, zweitens erscheinen Säurefuchsin und Anilinblau auch nach Injektion verdünnter Lösungen von der Farbstärke der konzentrierten Violettschwarz- und Alkaliblau-Lösungen deutlich in den Zellen, drittens sind auch die gesättigten Lösungen von Kongorot, Anilinorange und Ponceau relativ schwach gefärbt und doch werden diese von den Nierenepithelien sichtlich aufgenommen. Die Sichtbarkeit der Farben in den Nierenzellen ist also offenbar nicht etwa bloß Funktion ihrer Löslichkeit.

Demnach kann man zunächst folgenden Schluß aus den beschriebenen Versuchen ziehen: Die untersuchten lipoidunlöslichen Farben stufen sich nach ihrem Vermögen, in die Nierenepithelien überzugehen, ungefähr in folgender Reihenfolge ab:

Berliner Blau, Violettschwarz, Benzoazurin, Alkaliblau.

Nigrosin.

Indulin.

Säurefuchsin, Anilinblau, Kongorot, Bayrisch Blau, Indigschwefelsaures Natron, Indigkarmin, Ponceau, Anilinorange.

Wie ist nun diese Abstufung zu erklären? Wovon hängt es ab, daß diese Farben, die sämtlich lipoidunlöslich sind, doch zum Teil und dann in so verschiedenem Maße von den Nierenepithelien importiert werden, zum anderen Teil nicht? Man könnte zur Erklärung die Verschiedenheit der chemischen Konstitution heranziehen, welche ja in sehr vielen Fällen für die Reaktionsfähigkeit der lebenden Substanz gegenüber dem gebotenen Körper das Maßgebende ist. Unsere Aufmerksamkeit wurde aber durch eine Untersuchung von Michaelis¹⁾ vor allem auf den physiko-chemischen Charakter der verschiedenen

¹⁾ Virchows Archiv 175, 195, 1905.

Farben gelenkt. Michaelis untersuchte, wie schon vor ihm Raehlmann¹⁾, Farbstofflösungen mit dem Ultramikroskop und erkannte, daß der Lichtkegel, den man durch sie hindurchwirft, je nach dem Farbstoff in sehr verschiedenem Maße in Teilchen auflösbar ist. Als leicht und völlig auflösbare Lösungen werden diejenigen von Indulin, Violettschwarz, Anilinblau und Bayrisch Blau angeführt, diese Farben bilden also Pseudolösungen. Auf diese Angaben wurden wir bald nach Beginn unserer Untersuchungen aufmerksam, und obgleich wir damals schon wußten, daß Indulin und Anilinblau in puncto Sekretion nicht in die gleiche Gruppe gehören, schien es uns doch lohnend, zumal da aus den Angaben von Michaelis nicht zu ersehen war, ob die von ihm und von uns benutzten Farbstoffmarken identisch sind, einen Vergleich zwischen dem Verhalten gegen die Nierenzellen und dem physiko-chemischen Charakter der Farblösungen durchzuführen. Über letzteren, d. h. speziell über den Grad des kolloidalen Verhaltens orientierten wir uns in dreifacher Weise.

Untersuchungen über die kolloidale Beschaffenheit der Farblösungen.

1. Die Elektrolyt-Fällbarkeit der Farbstoffe: Wenn die Sulfosäurefarbstoffe in Lösung allgemein kolloidalen Charakter haben, so sind sie nach den Versuchen von Linder und Picton²⁾ voraussichtlich negative Kolloide, also durch Kationen fällbar. Als Maß der kolloidalen Beschaffenheit haben wir daher, nach dem Vorgang von Teague und Buxton³⁾, die Ausfällbarkeit der Farbstoffe mit Salzen zweiwertiger Kationen gewählt. Von diesen Salzen verwendeten wir Calciumchlorid und Nickelchlorid. Die Versuche wurden so ausgeführt, daß von 0,1%igen Lösungen der Farben jeweiligen 2 ccm mit 2 ccm Salzlösung verschiedener Normalität versetzt wurden; die entstehenden Ausflockungen wurden nach 24 bis 48 Stunden miteinander verglichen und ihrer Quantität nach abgeschätzt. In

¹⁾ Physikal. Zeitschr. 4, 884, 1902 bis 1903.

²⁾ Journ. Chem. Soc. 67, 63, 1895.

³⁾ Zeitschr. f. physikal. Chem. 60, 469, 1907.

den folgenden Tabellen bedeuten Plus-Zeichen, daß und ungefähr wieviel Niederschlag sich gebildet hat, Minus-Zeichen, daß nichts ausgeflockt ist.

a) Fällung mit Calciumchlorid.

Norma- lität	Berliner Blau	Benzo- azurin	Kongorot	Violett- schwarz	Alkali- blau 3 B	Bayrisch Blau	Indulin
2	+++	+++	+++	+++	++	++	++
1	+++	+++	+++	+++	++	++	++
0,5	+++	+++	+++	+++	++	++	++
0,25	+++	+++	+++	+++	++	++	++
0,1	+++	+++	++	++	+	++	++
0,05	+++	++	++	++	+	++	++
0,02	+++	++	++	++	+	++	++
0,01	+++	+	++	+	+	+	+
0,005	++	+	++	+	+	+	+
0,002	+	+	+	+	+	+	+
0	-	-	-	-	-	-	-

(Fortsetzung.)

Norma- lität	Indig- karmin	Nigrosin	Anilin- blau	Säure- fuchsin	Indig- schwefels. Natron	Ponceau
2	+++	++	++	+	++	++
1	+++	+++	+++	++	++	+++
0,5	+++	+++	+++	++	++	+++
0,25	+++	+++	+++	++	++	+++
0,1	+++	+++	++	++	+	++
0,05	++	++	+	++	+	+
0,02	+	+	+	++	+	+
0,01	+	+	+	+	+	+
0,005	+	+	+	+	+	+
0,002	+	+	+	+	+	+
0	-	-	-	-	-	-

b) Fällung mit Nickelchlorid.

Norma- lität	Berliner Blau	Violett- schwarz	Benzo- azurin	Kongorot	Indulin	Bayrisch Blau
2	+++	+++	+++	++	++	++
1	+++	+++	+++	++	++	++
0,5	+++	++	++	++	++	++
0,25	+++	++	++	++	++	++
0,1	+++	++	++	++	++	++
0,05	+++	++	+	+	—	—
0,02	+++	+	+	—	—	—
0,01	+++	+	—	—	—	—
0,005	++	+	—	—	—	—
0,002	—	+	—	—	—	—
0	—	—	—	—	—	—

(Fortsetzung.)

Norma- lität	Nigrosin	Säure- fuchsin	Anilin- blau	Ponceau	Indig- schwefel- Natron	Indig- karmín
2	+++	+	+	+	+	?
1	+++	+	+	+	+	?
0,5	++	+	+	+	—	—
0,25	—	—	—	—	—	—
0,1	—	—	—	—	—	—
0,05	—	—	—	—	—	—
0,02	—	—	—	—	—	—
0,01	—	—	—	—	—	—
0,005	—	—	—	—	—	—
0,002	—	—	—	—	—	—
0	—	—	—	—	—	—

Anilinorange ist in die Tabellen nicht mit aufgenommen. Es fällt bei allen Ca- und Ni-Konzentrationen, aber nicht amorph, sondern kristallinisch. Dasselbe gilt für die Nickel-fällung des Indigkarmíns.

Überblickt man die beiden Tabellen, so sieht man, daß die Abstufung der Farbstoffe nach ihrer Fällbarkeit beide Male ziemlich die gleiche ist. Man erhält etwa folgende Reihenfolge:

Berliner Blau.

Violett-schwarz, Benzoazurin, Kongorot, Alkaliblau 3 B.

Indulin, Bayrisch Blau.

Nigrosin.

Anilinblau, Säurefuchsin, Indigkarmin, Indigschwefelsaures Natron, Ponceau.

2. Die Diffusibilität der Farbstoffe: Diese wurde, ebenfalls nach dem Beispiele von Teague und Buxton, in der Weise untersucht, daß 0,1%ige wässrige Lösungen der Farben in Diffusionshülsen von Schleicher und Schüll gefüllt und letztere in Wasser gehängt wurden. Die Differenzen der Diffusibilität ließen sich leicht, zum Teil unter Zuhilfenahme eines Krüsschen Colorimeters, beurteilen.

Wir fanden folgende Abstufung:

Berliner Blau, Kongorot, Alkaliblau 3 B.

Bayrisch Blau, Anilinblau.

Violett-schwarz.

Benzoazurin, Nigrosin.

Indulin.

Anilinorange, Ponceau, Indigcarmin, Säurefuchsin, indigschwefelsaures Natron.

Von den drei erstgenannten Farben diffundierte innerhalb 7 Tagen nicht eine Spur durch die Membran, auch von Bayrisch Blau, Anilinblau und Violett-schwarz nur sehr kleine Mengen. Aus der Benzoazurin- und der Nigrosinlösung war nach 24 Stunden so viel ins äußere Wasser übergegangen, daß hier etwa $\frac{1}{1000}$ der ursprünglichen Farbkonzentration vorhanden war; zur selben Zeit befand sich im Außenwasser beim Indulin etwa $\frac{1}{300}$, beim indigschwefelsauren Natron und Säurefuchsin etwa $\frac{1}{60}$ bzw. $\frac{1}{50}$ der Ausgangskonzentration. Zwischen den letzten zwei einerseits, den vorher genannten andererseits befindet sich also ein ziemlich großer Abstand.

3. Das Aussehen der Farblösungen im Ultramikroskop.

Mit dreifach destilliertem Wasser, das nur wenige ultramikroskopische Teilchen enthielt, wurde 0,65%ige Kochsalzlösung hergestellt und in dieser wurden die Farbstoffe aufgelöst. Die Lösungen wurden bei verschiedenem Farbstoffgehalt und mehrfach mit einem Zeißschen Apparat untersucht.

Jede Farbe gab ein charakteristisches ultramikroskopisches Bild, das wir mit wenigen Worten zu beschreiben versuchen:

Indulin. Hellviolette Lösung.

Zahllose kleine Ultramikronen auf dunklem Grund, die meisten violett, daneben blaue, gelbe, farblose.

Nigrosin. Hellviolette Lösung von genau dem gleichen Aussehen wie die Indulinlösung.

Hellbrauner, nicht auflösbarer Lichtkegel, darin in mäßiger Anzahl kleine bewegliche Teilchen.

Bayrisch Blau. Blaßhellblaue Lösung.

Massenhaft fein staubförmige, lebhaft bewegte Teilchen in allen Farben auf dunklem Grund.

Violetttschwarz. Blaurote Lösung.

Massenhaft rotgelbe bewegliche Teilchen auf dunkelblaugrauem Grunde.

Kongorot. Rosa Lösung.

Zahllose, fein staubförmige Ultramikronen, meist gelb, zum Teil rot, auf dunklem Grunde.

Säurefuchsin. Rote Lösung.

Auf grauem Grunde viele kleine orangefarbene Teilchen.

Ponceau. Kräftig gelbrote Lösung.

Mäßig viele, sehr bewegliche, gelbrote Teilchen auf dunklem Grunde.

Anilinorange. Gelblichrote Lösung.

Große goldgelbe Teilchen in recht mäßiger Zahl auf dunklem Grunde.

Berliner Blau. Hellblaue Lösung.

Unzählige violette, daneben wenige blaue und rote, ziemlich große Teilchen auf dunklem Grunde.

Anilinblau. Blaue Lösung.

Zahllose glänzend blaue, kleine Teilchen auf dunklem Grunde.

Indigcarmin. Dunkelblaue Lösung.

Mäßig viele, meist blaue und blaugüne Teilchen auf dunklem Grunde.

Indigschwefelsaures Natron. Dunkelblaue Lösung.

Ziemlich viele, sehr kleine, blaue, bewegliche Teilchen auf dunklem Grunde.

Die Betrachtung mit dem Ultramikroskop ergab also stets eine heterogene Struktur der Lösungen. Daß die Heterogenität von zufälligen Verunreinigungen der Farben herrührt, ist wohl auszuschließen. Denn bei mehrmaliger Untersuchung erwies sich das ultramikroskopische Bild häufig als so charakteristisch für die einzelne Farbe, daß sie auf Grund des Bildes diagnostiziert werden könnte. Eine Abstufung der Farbe nach

dem Grade der Heterogenität, d. h. des kolloidalen Charakters ihrer Lösungen, erscheint recht schwierig; aber einigermaßen sicher glauben wir doch eine Einteilung treffen zu können.

Einige der untersuchten Farben zeigen nämlich, wie aus dem Gesagten hervorgeht, auch bei außerordentlich großen Verdünnungen, wenn ihre Lösungen nur noch ganz blaß gefärbt sind, noch massenhaft Ultramikronen; hierher gehören Berliner Blau, Alkaliblau 3 B, Violett-schwarz, Bayrisch Blau, Anilinblau, Kongo und Indulin.

Andere Farben ergeben dagegen, selbst wenn die Lösungen kräftig gefärbt sind, nur mäßig viele und deutlich weniger Teilchen als die erstgenannten; zu diesen gehören: Ponceau, Anilinorange, Indigo-carmin, indigschwefelsaures Natron und Nigrosin. Hier darf man vielleicht, wie es in entsprechenden Fällen Michaelis getan hat, annehmen, daß ein Teil der Farbe echt gelöst und nur der Rest suspendiert in der Lösung enthalten ist, daß also das Verhalten etwa dem von Eiweiß, Glykogen u. a. nach den Feststellungen und Schlüssen von Michaelis, Zsigmondy¹⁾, Gatin-Gruzewska und Biltz²⁾ entspricht.

Ein besonderes Aussehen haben schließlich die Lösungen von Säurefuchsin und namentlich Nigrosin. Die Nigrosinlösungen geben einen hellen, ultramikroskopisch nicht auflösbaren braunen Lichtkegel, in dem wenige glänzende Teilchen flottieren; der helle Lichtkegel rührt wohl ähnlich wie beim Fluorescein nach Siedentopf und Zsigmondy, bei Toluidinblau, Methylenblau u. a. nach Michaelis von Fluoreszenzlicht her, welches von echt gelöstem Farbstoff ausgesendet wird. Einen weniger hellen, grauen Lichtkegel gibt auch Säurefuchsin, das also ebenfalls zum Teil wohl echt gelöst ist.

Nach diesem ultramikroskopischen Befund erscheint es uns einigermaßen gerechtfertigt, wenn wir die Farben in folgende zwei Gruppen von verschieden ausgeprägtem kolloidalen Charakter einteilen:

¹⁾ Zur Erkenntnis der Kolloide, Jena 1905, S. 146 ff.

²⁾ Pflügers Archiv 105, 115, 1904. Siehe auch: Raehlmann, Münch. med. Wochenschr. 1903, Nr. 48. Much, Roemer und Siebert. Zeitschr. f. diät. u. physikal. Ther. 8, 19 u. 94, 1904.

- I. Berliner Blau, Violett-schwarz, Kongorot, Bayrisch Blau, Anilinblau, Alkaliblau 3 B, Indulin.
 - II. Anilinorange, Ponceau, Indigcarmin, indigschwefelsaures Natron, Nigrosin, Säurefuchsin.
-

Überblicken wir nun im Zusammenhang die Ergebnisse der dreifachen Analyse des Lösungszustandes unserer Farblösungen, so zeigt sich, daß sich

in jedem Fall als hoch kolloidal erweisen:

Berliner Blau, Kongorot, Alkaliblau 3 B, Bayrisch Blau;

fast ebenso hoch kolloidal sind wohl:

Benzoazurin und Violett-schwarz.

Eine Mittelstellung nehmen Indulin und Nigrosin ein. Sie sind ziemlich fällbar und ziemlich schwer diffusibel. Nur ultramikroskopisch gehört Indulin weit mehr zu den hoch kolloidalen als Nigrosin.

Relativ wenig kolloidal verhalten sich schließlich:

Indigcarmin, indigschwefelsaures Natron, Ponceau, Säurefuchsin und Anilinorange.

Zweifelhaft ist die Stellung des Anilinblau. Seiner Fällbarkeit nach gehört es zu den wenig kolloidalen, seiner Diffusibilität nach zu den hoch kolloidalen, ebenso dem ultramikroskopischen Befund nach.

Es bleibt nun nur noch zu fragen, ob für diese Verschiedenheiten im Lösungszustand ein allgemeiner Grund angeführt werden kann, und ein solcher findet sich in der Tat leicht. Wie so oft, hängt auch hier, worauf schon von Krafft¹⁾ aufmerksam gemacht wurde, der kolloidale Charakter, wenigstens zum Teil, mit der Größe des Molekulargewichts zusammen. Das lehrt die folgende Tabelle, in welcher die ungefähren Molekulargewichte der meisten der von uns verwendeten Farbstoffe angegeben sind:

Man sieht, daß die wenig kolloidalen Farbstoffe am Ende der Reihe stehen.

¹⁾ Ber. d. Deutsch. chem. Ges. 32, 1608, 1899.

Farbstoff	Mol.-Gew.
Bayrisch Blau	755
Benzoazurin	690
Kongorot	652
Anilinblau	627
Alkaliblau	609
Indulin	533
Violett-schwarz	517
Ponceau	432
Säurefuchsin	429
Indigcarmin	370
Anilinorange	198

Die Abscheidbarkeit der Farbstoffe in der Niere und ihr kolloidaler Charakter.

Kehren wir nunmehr noch einmal zu der Frage nach dem Zusammenhang zwischen der Abscheidbarkeit der Farbstoffe in der Froschniere und ihren allgemeinen physikalischen oder chemischen Eigenschaften zurück, von denen aus dem früher angegebenen Grunde der Lösungszustand eingehender untersucht wurde. Der Vergleich der eben gewonnenen Abstufung in der kolloidalen Beschaffenheit der Farbstoffe in Lösung mit der physiologischen Stufenfolge auf Seite 109 lehrt dann folgendes:

Diejenigen lipoidunlöslichen Farbstoffe, welche von den Nierenepithelien nicht oder nur langsam aufgenommen werden können (Berliner Blau, Violett-schwarz, Benzoazurin, Alkaliblau 3 B, — Nigrosin, Indulin), gehören alle zu den recht ausgesprochen kolloidalen. Andererseits werden alle lipoidunlöslichen wenig kolloidalen bzw. halbkolloidalen (Indigcarmin, Indigschwefelsaures Natron, Ponceau, Anilinorange, Säurefuchsin) leicht von den Zellen aufgenommen. Aber unter den leicht ausscheidbaren finden sich auch hoch kolloidale, wie Kongorot und Bayrisch Blau. — Man kann also bis jetzt den Satz vertreten: Wenn ein Farbstoff von den Nierenepithelien im 2. Abschnitt nicht aufgenommen werden kann, dann ist er hoch kolloidal. Aber man darf

den Satz nicht umkehren. Auch der Satz ist nach unseren Versuchen richtig: Wenn ein Farbstoff wenig bzw. halb kolloidal ist, so wird er von den Nierenepithelien leicht aufgenommen.

Es wird nun die weitere Aufgabe sein, welche demnächst in Angriff genommen werden soll, 1. an einer größeren Zahl von Farbstoffen die gewonnenen Sätze zu prüfen, 2. zu sehen, ob die Sätze auf andere Drüsen übertragbar sind, und 3., ob der erste der beiden Sätze nicht doch umkehrbar ist, d. h., ob nicht vielleicht doch ein hoch kolloidales Verhalten in jedem Falle den Import in die Zellen unmöglich macht und Kongo-rot und Bayrisch Blau nur scheinbar dem widersprechen.

Zum Schluß sei nun noch kurz auf die bisherigen Erfahrungen über die Importfähigkeit der Zellen gegenüber nicht echt, sondern kolloidal gelösten Stoffen hingewiesen!

Was zunächst die natürlich vorkommenden Kolloide anlangt, so existieren keinerlei Beweise dafür, daß diese direkt von den Zellen importiert werden können; weder für Glykogen kann man das heute beweisen, noch für die Eiweißkörper, deren Wiederaufbau aus den Spaltprodukten man bis jetzt vergebens im Tierkörper zu lokalisieren versucht hat. Was speziell das Verhalten des Eiweißes gegenüber den Nierenzellen betrifft, so ist bekannt, daß nach parenteraler Zufuhr von artfremdem Eiweiß eine kleine Menge desselben im Harn erscheint, und entsprechend den heutigen Anschauungen über die Nierentätigkeit könnte man vielleicht annehmen, daß dieses Eiweiß von den Nierenzellen aufgenommen und weiterbefördert wurde, wenn nicht einzuwenden wäre, daß nach Ascoli¹⁾ neben dem artfremden Eiweiß auch Eiweiß des eigenen Körpers im Harn erscheint, offenbar als Ausdruck einer Nierenschädigung durch das artfremde Eiweiß.

Über das Verhalten künstlich zugeführter, körperfremder Kolloide speziell gegenüber der Niere ist bisher folgendes bekannt: Friedenthal²⁾ fand, daß nach Eingabe kolloidaler Kieselsäure per os an Kaninchen und Hunden etwas Kieselsäure im Harn erscheint; ob diese aber die Zellen passiert

¹⁾ Münch. med. Wochenschr. 1902, 1, 398 u. 1903, 1, 201.

²⁾ Engelmanns Archiv 1902, 150.

hat, ist nicht zu sagen. Mayer und Stodel¹⁾ stellten fest, daß bei Hunden einige Zeit nach der intravenösen Injektion von kolloidalem Silber in den Epithelien der Tubuli contorti und des aufsteigenden Astes der Henleschen Schleifen Silber nachweisbar ist und daß dieses nach längerer Zeit wieder aus der Niere verschwindet; aber die Untersuchung der Niere geschah nach deren Fixierung im Schnittpräparat, es ist darum unentschieden, ob das Silber in Suspensionsform in die Nierenzellen übergegangen ist, oder in gelöster. Foà und Aggazzotti²⁾ fanden nach intravenöser Injektion von kolloidalem Arsentrisulfid bei Hunden Krystalle von As_2S_3 in den Nierenzellen; aber gleichzeitig waren die Zellen fettig degeneriert und oft bestand hämorrhagische Nephritis. Die Verhältnisse waren also keine normalen mehr.

Aus all dem ist zusammen mit den Ergebnissen unserer Untersuchung der Schluß zu ziehen, daß bisher keine sicheren Beweise dafür existieren, daß die Zellen der Niere und so vielleicht überhaupt die Zellen der höheren Tiere Substanzen von ausgeprägt kolloidalem Charakter zu importieren vermögen.

Zusammenfassung.

1. Injiziert man Fröschen intravenös die Lösungen verschiedener lipoidunlöslicher Farbstoffe, so findet man, daß diese zum Teil von bestimmten Zellen der Niere aufgenommen werden, zum andern Teil nicht. Leicht aufgenommen werden: Säurefuchsin, Anilinblau, Kongorot, Bayrisch Blau, Indigschweifelsaures Natron, Ponceau, Anilinorange, Indigcarmin; nicht aufgenommen werden Berliner Blau, Violettschwarz, Benzoazurin und Alkaliblau 3 B; nicht oder kaum aufgenommen wird Nigrosin, schwer aufgenommen Indulin.

2. Die Differenzen in der Ausscheidbarkeit hängen mindestens zum Teil davon ab, wie weit die Farbstoffe kolloidal gelöst sind. Alle diejenigen der untersuchten Farbstoffe, welche von den Nierenzellen nicht aufgenommen werden, sind

¹⁾ Compt. rend. Soc. Biol. 58, 712, 1905. — Siehe auch: Gompel und Henri ebenda 61, 488, 1906.

²⁾ Giornale della R. Accad. di Torino 18, Heft 5, 1907.

hochkolloidal, wie sich aus ihrer Fällbarkeit, ihrer Diffusibilität und dem Aussehen ihrer Lösungen im Ultramikroskop ergibt. Die weniger stark kolloidalen bzw. halb kolloidalen, Indigcarmin, indigschwefelsaures Natron, Ponceau, Säurefuchsin und Anilinorange, werden leicht aufgenommen. Leicht aufgenommen werden aber auch trotz hoch kolloidaler Eigenschaften Kongorot und Bayrisch Blau. Nigrosin und Indulin nehmen wie physiologisch so auch physikochemisch eine Mittelstellung ein.

3. Es ist zweifelhaft, ob ausgesprochen kolloidale Stoffe direkt von den Zellen der höheren Tiere aufgenommen werden können.

Über die Ausscheidung von Aminosäuren während der Schwangerschaft und nach der Entbindung.

Von

E. C. van Leersum, Leiden.

Die so oft während der Schwangerschaft auftretenden und nach dem Partus meistens bald wieder verschwindenden abnormen Symptome, wie Kopfschmerz, Übelkeit, Erbrechen, Albuminurie, Glykosurie, Psychosen, Eklampsie usw. berechtigen uns zu der Vermutung, daß der Organismus während dieser Periode mehr noch als unter gewöhnlichen Verhältnissen von den giftigen Stoffwechselprodukten gefährdet ist, und daß an die Organe, deren Aufgabe es ist, die Autotoxine unschädlich zu machen und zu beseitigen, sehr hohe Forderungen gestellt werden.

Namentlich die Albuminurie hat begreiflicherweise die Aufmerksamkeit auf die Nieren gelenkt und die Erklärung der genannten Symptome auf eine Insuffizienz zurückgeführt. Es hat sich jedoch gezeigt, daß dies nicht immer zutrifft; es gibt Frauen, die sich in der Schwangerschaft sehr krank fühlen, ohne daß im Harn Eiweiß oder abnorme Formelemente angetroffen werden, und umgekehrt kommt es vor, daß Schwangere sich trotz Albuminurie des besten Wohlseins erfreuen. Den Nieren fällt im Entgiftungsprozeß wohl eine gewisse Bedeutung zu, jedoch spielen sie darin nicht die Hauptrolle. Ihre Aufgabe besteht u. a. in der Ausscheidung der Toxine, insofern diese den Destruktions- und Bindungsvorgängen in der Leber nicht anheimgefallen sind. Die Tätigkeit der Leber hat indessen ihre Grenzen. Bei der langen Dauer der Schwangerschaft und der vermehrten Tätigkeit während dieser Periode droht die Gefahr, daß dieses Organ im Kampfe gegen die Autotoxine unterliegt und die Überanstrengung kann auf die Dauer zu einer Insuffizienz und sogar zu einer Beschädigung des Parenchyms führen. Tatsächlich hat man in der Leber schwangerer

Frauen gewisse histologische Veränderungen beobachtet, nicht nur in komplizierten Fällen (foie eclamptique; Bouffe de St.-Blaise), sondern auch bei gesunden Gravidæ (P. Bar, Leçons de pathologie obstétricale Paris 1900).

Wenn aber der Schwangerschaftsleber wirklich die Gefahr der Insuffizienz droht, so muß dies merkbar sein in der Weise, wie sie sich ihrer physiologischen Aufgabe erledigt.

Zu den Funktionen der Leber wird auch die Bildung von Harnstoff gerechnet. Dafür spricht der Befund, daß nach künstlicher Verkleinerung des Organes sowie bei Krankheiten des Leberparenchyms der Harnstoffgehalt des Harns abnimmt. Salaskin¹⁾ lieferte dafür mit Hilfe von Durchblutungsversuchen den direkten Beweis: Leucin, Glykokoll und Asparaginsäure wurden von überlebenden (Hunde-) Lebern ganz oder zum größten Teil in Harnstoff umgesetzt. In Übereinstimmung hiermit fanden K. Glæßner²⁾ und E. Friedmann³⁾, daß normale, oder wenigstens nicht mit Leberkrankheiten behaftete Personen die dargereichten Aminosäuren (Alanin, Asparaginsäure, Glykokoll und Leucin) vollständig ausnützten, und daß diese Stoffe, welche als Vorstufe des Harnstoffs zu betrachten sind, bei Patienten mit degenerativen Leberprozessen dagegen größtenteils unverändert in den Harn übertraten.

Die quantitative Bestimmung der Aminosäuren im Harn wäre also als Mittel zur Beurteilung der Leberfunktion zu betrachten. Und wenn bei Schwangeren in der Tat von einer Überbürdung der Lebertätigkeit die Rede ist, so muß sich dies in einer größeren oder kleineren Anzahl von Fällen durch eine vermehrte Ausscheidung von Aminosäuren kundgeben.

Diese Betrachtung ließ es mir wünschenswert erscheinen, den Harn bei einigen Frauen vor und nach dem Partus auf ihren Aminosäuregehalt zu untersuchen.

Es gibt drei Methoden, die meines Erachtens für unseren Zweck am meisten in Betracht kommen, nämlich das Verfahren von Pfaundler-Schöndorff, das von K. Glæßner sowie das Neuberg-Manassesche. Bevor ich zur systematischen Analyse einer Reihe von Harnen schwangerer Frauen schritt,

¹⁾ Zeitschr. f. physiol. Chem. 25, 128.

²⁾ Zeitschr. f. experim. Pathol. u. Therap. 4, 336, 1907.

³⁾ Beiträge z. chem. Physiol. u. Pathol. 11, 151, 1908.

habe ich die genannten Methoden auf ihre Brauchbarkeit geprüft und miteinander verglichen.

Das Pfaundler-Schöndorffsche Verfahren¹⁾ beruht auf zwei Kennzeichen der Aminosäuren, und zwar auf ihrer festen Stickstoffbindung und ihrer Nichtfällbarkeit durch Phosphorwolframsäure.²⁾ Pfaundler verfährt folgenderweise:

Er mischt eine bestimmte Menge Harn (20 ccm) mit einer Lösung von Salzsäure-Phosphorwolframsäure (40 ccm),³⁾ filtriert nach 24stündigem Stehenlassen klar ab und bestimmt — außer dem Gesamtstickstoffgehalt nach Kjeldahl — im Filtrat sowie im Niederschlag den Ammoniak- sowie den leicht abspaltbaren Stickstoff einerseits und den durch Phosphorsäure nicht abspaltbaren Stickstoff anderseits.

Wie die stickstoffhaltenden Verbindungen nach Pfaundler sich über den Niederschlag bzw. dem Filtrate verteilen, geht aus folgendem Schema hervor:

Harn + Phosphorwolframsäure			
Niederschlag		Filtrat	
Fraktion n ¹ leicht abspaltbarer N.	Fraktion n ² schwer abspaltbarer N.	Fraktion f ¹ leicht abspaltbarer N.	Fraktion f ² schwer abspaltbarer N.
Gesamt-N des Ammoniaks der Carbonsäure des Rhodans Teil des N der Harnsäure der Purinbasen des Kreatinins des Harnmucoids der Eiweißkörper bzw. des Nuklealbumins.	Der Rest des N der bereits genannten Substanzen, welche wie Harnsäure nur einen Teil des N festgebunden enthalten. Ferner der N der Diamine der Diamidosäuren der Ptomaine.	Gesamt-N des Harnstoffs des Allantoins der Oxalsäure Teil des N der Kreatin.	N der Aminosäuren und ihrer Derivate und zwar für den norm. menschlichen Harn: das Glykokoll (Hippursäure) Taurin- und Cystusabkömmlinge und für den pathologischen menschlichen Harn: Leucin u. seine Homologen, Tyrosin und Cystin.

¹⁾ Zeitschr. f. physiol. Chem. 30, 75, 1900.

²⁾ Pflügers Archiv 62, 1.

³⁾ 100 g Phosphorwolframsäure-Merck + 100 ccm konzentrierte Salzsäure, s. G. 1,124 + 800 ccm Aqua.

Behufs Bestimmung der Fraktionen n^1 und f^1 , d. h. des durch Phosphorsäure abspaltbaren Stickstoffes im Niederschlag und im Filtrat, werden diese mit 10 g krist. Phosphorsäure (bzw. Metaphosphorsäure) im Trockenschrank während 18 bis 20 Stunden auf 150°C erhitzt, dann mit Natronlauge vorsichtig annähernd neutralisiert, hierauf mit einem großen Überschuß von geglühter Magnesia bis zur deutlich alkalischen Reaktion versetzt und in eine mit entsprechender Menge $n/_{10}$ -Säure beschickte Vorlage abdestilliert. Nach beendeter Destillation wird der Kolbenrückstand behufs Bestimmung des festgebundenen Stickstoffes nach Kjeldahl zersetzt. (Fraktionen n^2 und f^2 .)

Wenn es sich nur um die Bestimmung der Aminosäuren handelt, reicht eine Bestimmung des Gesamtstickstoffs im Filtrat nach Kjeldahl (also $f^2 + f^1$) und des leicht abspaltbaren Stickstoffes (f^1) aus. Die Differenz gibt den Gehalt des Aminosäurenstickstoffes.

Die Methode hat einen wichtigen Nachteil, und zwar ist es außerordentlich schwierig, die phosphorwolframsäurehaltige Flüssigkeit mittels konzentrierter Schwefelsäure zu destruieren, wie Pfaundler selbst zugibt. Er sagt, daß die Gegenwart einer größeren Menge Phosphorwolframsäure und Phosphorsäure die Zersetzung erschwert und durch Bildung von harten Beschlägen an der Kolbenwand zum Springen der Kolben Anlaß gibt. Deshalb ist man genötigt, größere Menge der zersetzenden Säure anzuwenden und die Kolben während der Zersetzung häufig zu drehen. „Meist bedarf es einer ständigen Überwachung.“ Auch bei sorgfältiger Überwachung erfuhr ich, daß die Kolben sehr häufig zerspringen, was nicht nur sehr kostspielig ist, sondern auch zum Mißlingen zahlreicher Analysen Anlaß gibt. Manchmal fand ich den Betrag $f^2 + f^1$ kleiner als f^1 ! Dagegen stößt die Bestimmung des leicht abspaltbaren Stickstoffes, obwohl sie mehr Zeit in Anspruch nimmt, als bei der Analyse einer größeren Reihe von Harnen wünschenswert ist, auf keine besonderen Schwierigkeiten.

Die zur Kontrolle angestellten Analysen stimmten meist bis auf ein oder zwei Milligramm.

Es fragt sich überhaupt, ob die im Harn vorhandenen Aminosäuren tatsächlich von Phosphorwolframsäure nicht nieder-

geschlagen werden, denn hiermit steht und fällt die Methode gänzlich. P. A. Levene und W. Beatty¹⁾ behaupten, daß die Aminosäuren von Phosphorwolframsäure nur dann quantitativ gefällt werden kann, wenn beide Lösungen in konzentrierter Form zur Verwendung kommen. Ich fand jedoch, daß das Säuregemisch auch in verdünnten wässerigen Lösungen von Aminosäuren einen stickstoffhaltigen Niederschlag liefert, z. B.:

1. 100 mg Glykokoll + 10 ccm Aq. + 40 ccm salzsaurer Phosphorwolframsäurelösung bleibt klar nach 2×24 Stunden.
2. 25 mg Leucin + 10 ccm Aq. + 40 ccm salzsaurer Phosphorwolframsäurelösung bleibt klar nach 2×24 Stunden.
3. 50 mg Leucin + 10 ccm Aq. + 40 ccm salzsaurer Phosphorwolframsäurelösung zeigt nach 24 Stunden eine Trübung, die nach weiterem Stehen zunimmt.
4. 100 mg Leucin + 10 ccm Aq. + 40 ccm salzsaurer Phosphorwolframsäurelösung zeigt nach 24 Stunden einen Niederschlag.

Ich will indessen gleich bemerken, daß die Aminosäuren in einer solchen Konzentration im Harn wohl nicht vorkommen und man also beträchtliche Verluste bei der Fällung wohl nicht zu fürchten braucht.

Die Nachteile der Pfaunderschen Methode veranlaßten Glaeßner²⁾, einen anderen Weg einzuschlagen. Sein Verfahren beruht auf der von ihm und Lippich³⁾ gefundenen Tatsache, daß Harnstoff, welcher sich wie die Aminosäuren der Phosphorwolframsäurefällung entzieht, in einem Gemisch von Alkohol-Amylalkohol auflöst, während dagegen die Aminosäuren darin nicht übergehen.

Glaeßner fällt also den Harn mittels Phosphorwolframsäure-Salzsäure (nach Pfaundler), filtriert nach 24 Stunden und engt das Filtrat im luftverdünnten Raume bei 40 bis 45° C bis zur Trockne ein. Der Trockenrückstand wird, nachdem er bei 50° C im Trockenschrank gänzlich wasserfrei gemacht worden ist, mit einem Gemenge von wasserfreiem Alkohol-Amylalkohol während 6 Stunden auf dem Wasserbad extrahiert und der

¹⁾ Zeitschr. f. physiol. Chem. 47, 149, 1906.

²⁾ Zeitschr. f. experim. Pathol. u. Therap. 4, 336, 1907.

³⁾ Zeitschr. f. physiol. Chem. 48, 160, 1906.

Rückstand, der nur noch Aminosäuren enthält, der Stickstoffbestimmung nach Kjeldahl unterzogen. Die so erhaltenen N-Werte entsprechen dem Aminosäuren-N.

Diese Methode, welche, nebenbei gesagt, nicht weniger umständlich und zeitraubend ist als die Pfaundersche, hat auch denselben Nachteil, daß nämlich sich der Rückstand wegen des Gehaltes an Phosphorwolframsäure außerordentlich schwierig zersetzen läßt, und da die von mir ausgeführten Kontrollbestimmungen fast niemals befriedigend waren, habe ich diese Methode verlassen.

Die direkte Bestimmung der Aminosäuren nach C. Neuberg und A. Manasse¹⁾ ist dem Anschein nach besonders verlockend. Sie beruht auf der Überführung der Aminosäuren in substituierte Harnstoffe. Der Harn wird, nachdem er mit Lauge stark alkalisch gemacht worden ist, mit α -Naphtylisocyanat während einiger Minuten geschüttelt und von dem unlöslichen Dinaphtylharnstoff, in den der Überschuß des α -Naphtylisocyanats sich vollständig verwandelt, abfiltriert. Das Filtrat wird angesäuert, wobei die Naphtylhydantoin-säuren z. T. quantitativ ausfallen. Man kann sich begnügen mit der einfachen Wägung des Niederschlages, aber genauer ist es, in Anbetracht des Vorhandenseins verschiedener Aminosäuren (mit ihrem ungleichen Molekulargewichte) im Harn, die Hydantoinverbindungen der Spaltung zu unterziehen und sie auf diesem Wege zu regenerieren. Das kann, wie Neuberg und Rosenberg angegeben haben, durch Kochen mit Barytwasser geschehen.

Ich verfuhr folgenderweise: Der Niederschlag samt dem Filter wurde während 6 Stunden mit Barytwasser gekocht, sodann wurde die Flüssigkeit mit Salzsäure angesäuert und das in Freiheit gesetzte α -Naphtylisocyanat durch Extraktion mittels Äther im Scheidetrichter entfernt. Der Rest wurde auf die gewöhnliche Weise nach Kjeldahl auf seinen Stickstoffgehalt untersucht. Glaebner, der diese Methode auf Harn angewendet hat, schreibt:

„Ich habe mitunter mit dieser Methode leidliche Resultate erhalten, jedoch keineswegs konstant. Es tritt sehr häufig gar keine Reaktion ein und selbst Einengen des Harnes, Fällung desselben

¹⁾ Ber. d. Deutsch. chem. Ges. 38, 2359, 1905.

mit Bleiessig oder Phosphorwolframsäure, ferner Entfernung des störenden Ammoniaks, war nicht imstande, die Reaktion gleichmäßig zu erzielen“. Auch C. Hirschsteins¹⁾ Urteil lautet nicht günstig. Er machte die Erfahrung, daß Asparaginsäure mit α -Naphthylisocyanat überhaupt nicht reagiert. Von Alanin fand er 80,2% zurück. Für das Glykokoll konnte eine auch nur annähernd quantitative Fällung überhaupt nicht erzielt werden. Das Verfahren lieferte nur eine Ausbeute von 4,22%. Eine von Neuberg und Manasse empfohlene Vorbehandlung des Harnes, Fällung mit Bleiessig oder Phosphorwolframsäure half ebensowenig wie vorherige Einengung. Demzufolge kommt Hirschstein zu dem Schluß, daß die Methode in der gegenwärtigen Form für die Klinik noch nicht empfohlen werden kann.

Nach Neuberg und Manasse²⁾ liegt die Erklärung dieser unbefriedigenden Resultate u. a. in dem Umstand, daß Hirschstein mit 1 bis 2 promill-Lösung gearbeitet hat, während ihre Angaben sich auf 1 bis 2prozentige rein wässrige Flüssigkeiten beziehen.

Daß die Methode in der Tat sich nicht ohne weiteres auf Harn anwenden läßt, habe auch ich erfahren. Öfters sah ich in genau auf dieselbe Weise behandeltem Harn entweder gar keinen oder erst nach längerer Zeit einen Niederschlag auftreten. Die Kontrollbestimmungen zeigten öfters bedenklich große Differenzen. Z. B.:³⁾

Urin A. B.	10 ccm	lieferten	keinen	Niederschlag,
	10 „	„	„	„
Urin P. V.	10 ccm	lieferten	0,0063 g	Aminosäurenstickstoff,
	10 „	„	0,0035 „	„
		Diff.	0,0028 g.	
Urin d. F.	10 ccm	lieferten	0,0035 g	Aminosäurenstickstoff,
	10 „	„	0,0021 „	„
		Diff.	0,0014 g.	

¹⁾ Berl. klin. Wochenschr. 1906, Nr. 19, 589.

²⁾ Berl. klin. Wochenschr. 1906, Nr. 22, 734.

³⁾ Zu diesen Analysen verwendete ich 2 bis 2,5 ccm α -Naphthylisocyanat und verfuhr im übrigen genau nach der Neuberg-Manasseschen Methode.

Urin B. 500 ccm bis auf 50 ccm
 eingeengt lieferten 0,1358 g Aminosäurenstickstoff,
 500 ccm bis auf 50 ccm
 eingeengt lieferten 0,0322 „ „
 Diff. 0,1036 g.

Urin J. C. Gravida. Spur Eiweiß. Eiweiß entfernt. Gesamtstickstoff 0,728%.

1. 10 ccm lieferten 0,007 g Aminosäurenstickstoff,
2. 10 „ „ 0,0076 „ „

Die von den Hydantoinverbindungen abgesaugte Flüssigkeit wurde aufs neue nach der von Neuberg-Manasse angegebenen Methode mit α -Naphthylisocyanat behandelt (2,5 ccm).

Das Filtrat von 1 enthielt noch 0,008 g Aminosäurenstickstoff,
 „ „ „ 2 „ „ 0,0063 „ „

Von demselben Harn lieferten, nachdem Glykokoll (0,5%) zugesetzt worden war:

10 ccm (+ 50 mg Glykokoll = 0,0093 N) 0,007 g Am.-N. Das Filtrat noch 0,009 g,

10 ccm (+ 50 mg Glykokoll = 0,0093 N) 0,0105 g Am.-N. Das Filtrat noch 0,0077 g.

Diese ungünstigen Resultate haben mich dazu veranlaßt, auch diese Methode aufzugeben.

Endlich lasse ich noch die Ergebnisse einiger Vergleichsanalysen der drei besprochenen Methoden folgen:

Aminosäurenstickstoff, ausgedrückt in Prozenten des Gesamtstickstoffs.

	nach Pfaundler	Glaeßner	Neuberg-Manasse
Urin d. F. (gesunder Mann)	3,35	8,5	3,4
Urin P. V. (gesunder Mann)	7,1	—	4,5
Urin B. (gesunder Mann)	13,1	6,7	—
Urin Z. H. (Gravida mit Albuminurie)	18,1	10,65	—
Urin A. B. (Gravida mit norm. Harn)	9,1	13,8	—

Man wird wohl zugeben, daß diese Zahlen nicht sehr ermutigend sind; ich stand deshalb schon im Begriff, das Studium der Aminosäurenausscheidung bei Schwangeren aus Mangel an einer zuverlässigen Bestimmungsmethode aufzugeben, als mir ein Mittel in den Sinn kam, das vielleicht zur Verbesserung des Pfaunderschen Verfahrens dienen könnte. Wie gesagt, liegt die Hauptschwierigkeit dieser Methode in den vorhandenen Phosphorwolframsalzen. Ich versuchte nun diese Salze zu entfernen, und zwar mit Hilfe von Kaliumchlorid. Wie Wörner¹⁾ angibt, wird Phosphorwolframsäure durch Kaliumsalze gefällt, und diese Reaktion soll so empfindlich sein, daß damit sogar ganz geringe Mengen Kalium in sehr verdünnter Lösung aufgefunden werden können. Dieses Verfahren erwies sich nun als durchaus zweckmäßig. Der im Filtrat zurückbleibende Überschuß der Phosphorwolframsäure läßt sich durch Zusatz von 10% KCl-Lösung fast ganz entfernen. Und wenn man nach dem Filtrieren gehörig mit gleich starker Lösung auswäscht, findet kein Verlust an Aminosäuren statt, wovon ich mich öfters habe überzeugen können. Auf diese einfache Weise wurde somit die Hauptschwierigkeit der Pfaunderschen Methode beseitigt, und war es mir jetzt möglich geworden, eine beträchtliche Zahl von Analysen (etwa 200) innerhalb kurzer Zeit auszuführen.

Die Resultate gebe ich in nachstehenden Tabellen.

Das von mir untersuchte Material stammt aus der geburts-hilflichen Klinik meines Freundes van der Hoeven, dem ich für die freundliche Überlassung der Fälle zu großem Danke verpflichtet bin.

Die innerhalb 24 Stunden gelassenen Harnportionen wurden sorgfältigst gesammelt. Da es für viele Frauen immerhin schwierig ist, Harn und Stuhl gesondert zu lassen, ist es sehr wohl möglich, daß kleine Quantitäten verloren gegangen sind. Der Harn wurde meistens ein- oder mehreremal vor und nach dem Partus untersucht. Eiweiß und Blut wurden nach dem gewöhnlichen Verfahren entfernt. Übrigens wurde genau so verfahren, wie Pfaundler angegeben hat. Selbstverständlich wurden nur N-freie Reagenzien benutzt. Die vom Phosphor-

¹⁾ Ber. d. Deutsch. pharm. Ges. 1900, 4.

wolframsäure-Niederschlag abfiltrierte Flüssigkeit wurde mit 20 cem 10%iger KCl-Lösung gemischt und wiederum abfiltriert, das Filter mit gleich starker KCl-Lösung ausgewaschen und das Filtrat in der von Pfaundler angegebenen Weise weiter verarbeitet.

Es wäre gewiß in Anbetracht des stark auseinandergehenden Aminosäuregehalts der verschiedenen Nahrungsmittel besser gewesen, in allen von mir untersuchten Fällen dieselben Speisen zu verabreichen; indessen war dies unter Umständen nicht durchführbar. Ich halte es deshalb für nicht überflüssig, mitzuteilen, daß die gewöhnliche Kost der Schwangeren in der hiesigen Klinik besteht in:

1. Frühstück: 3 Butterbrote, $\frac{1}{2}$ l Milch und 1 Ei.

2. „ 3 Butterbrote.

Mittagsessen: 100 g Fleisch nebst Kartoffeln und Gemüse.

Abendessen: 1 Teller Mehlspeise.

Während der drei ersten Tage nach der Entbindung wird den Frauen kein Fleisch, sondern nur flüssige Nahrung verabreicht, die aus Fleischbrühe, 3 Eiern und 1 l Milch täglich besteht.

Überblickt man die in der Tabelle I angeführten Zahlen und vergleicht man sie mit den Werten der Tabelle II, welche sich auf gesunde Männer beziehen, so fällt es auf, wie im allgemeinen die Werte bei Schwangeren sowohl vor als nach der Entbindung größer sind. Selbstverständlich darf man keine erhöhte Aminosäureausscheidung in allen Fällen erwarten, da doch die Schwangerschaft immerhin als ein physiologischer Vorgang zu betrachten ist.

Die von mir bei Gesunden gefundenen Werte des Aminosäurenstickstoffs schwanken zwischen 2,7 und 7,7% des Gesamtstickstoffs. Pfaundler nimmt den Gehalt der Aminosäuren im Harn Gesunder mit 4 bis 5% des Gesamt-N an. Landau¹⁾ fand mit Hilfe der Pfaunderschen Methode ca. 2,89%.

Einige der von mir untersuchten Frauen zeigten bedeutend höhere Werte. In fast 40% der Fälle betrugen sie mehr als 10% des Gesamtstickstoffs. In der Mehrzahl dieser Fälle kommen

¹⁾ Zeitschr. f. klin. Med. 79, 417.

die größten Werte vor dem Partus vor; in anderen Fällen dagegen findet man die hohen Zahlen nach der Entbindung. Inwiefern bei dieser letzten Kategorie der autolytische Zerfall des puerperalen Uterus mit im Spiele ist, wage ich nicht zu entscheiden; daß aber dieser Faktor nicht vernachlässigt werden darf, geht wohl aus denjenigen Fällen hervor, welche eine Vermehrung der Aminosäuren nach dem Partus zeigen (Nr. 6, 7, 12, 15).

In Übereinstimmung mit der im Anfang dieses Aufsatzes ausgesprochenen Hypothese ist weiter die deutliche Abnahme des Aminosäuregehaltes nach der Entbindung (Nr. 3, 5, 6, 16, 19).

Zum Schluß sei es mir gestattet, die Aufmerksamkeit auf die Tabelle III zu lenken, welche sich auf einige Fälle bezieht, in denen ich Aminosäuren verfüttert habe. Aus Glæßners Untersuchungen geht hervor, daß bei Gesunden dargereichtes Alanin, Glykokoll und Leucin in Mengen von 20 bis 25 g glatt zu Harnstoff verbrannt werden und nicht im Harn erscheinen.

Ich studierte die Aminosäurenausscheidung nach dem Darreichen dieser Substanzen in 10 Fällen, nämlich bei 8 Schwangeren und 2 Männern. Der eine von den zuletzt erwähnten Fällen zeigte eine beträchtliche Vermehrung des Aminosäuren-N nach einer Gabe von nur 5 g Glykokoll. Im zweiten Fall war die Vermehrung nach Darreichung von 10 g Glykokoll nicht auffallend, denn am nächsten Tage war der Gehalt sogar abgenommen, und erst am dritten Tage war eine Vermehrung merkbar.

Auch bei den Schwangeren zeigten sich bedeutende Unterschiede in der Toleranz. Die Fälle 18, 19, 23 und 25 ergaben eine Abnahme des Aminosäuren-N am ersten Tage nach der Darreichung. Das bemerkte ich wegen der langen Dauer der Analyse zu spät, sonst hätte ich hier auch den Harn des dritten Tages untersucht, wodurch vielleicht für den Fall 18, welcher merkwürdigerweise eine Abnahme des Gesamtstickstoffs trotz Darreichung von 5 g Leucin zeigt, eine Erklärung gefunden wäre.

Dagegen ist in den Fällen 12, 20 (zweimal) und 24 eine deutliche Vermehrung zu konstatieren. Hier scheint also in der Tat eine Abnahme der Toleranz vorhanden gewesen zu sein.

Tabelle I.
Harn von Schwangeren. Gehalt an Aminosäuren-Stickstoff, ausgedrückt in Prozenten des Gesamt-Stickstoffes.

Nr.	Name	Alter	Par- tus	Harn in 24 St. com	Sp. G. Reakt.	Eiweiß	9 Monat			10 Monat			kurz vor nach		1. 2. 3.			Bemer- kungen
							An- fang	Mitte	Ende	An- fang	Mitte	Ende	Entbind.	Woche nach Entbindung				
1	S. Han. . .	30	I.	2640	1,016	s	—	10,9										* Bestimm. nach Glaesner.
2	A. Bl. . .	25	I.	1490 540 390	1,014 1,017 1,022	s s amph.	— + Spur —	8,44				8,4*				9,3		
3	Si. Bl. . .	19	I.	2850 2800 2180	1,010 1,010 1,012	s s s	+ + + (weniger)								9,9*	7,4	0,84	* Bestimm. nach Glaesner.
4	Z. H. . . .	41	IX.	1645 710	1,012 1,018	s s	+ +			18,1		8,4			5,4	0,7		
5	D. d. V. . .	25	II.	1955 1025	1,014 1,017	s s	+ Spur —											Milchdiät.
6	D. Tim. . .	17	I.	1530 975 1550 875	1,015 1,018 1,018 1,021	amph. s s s	— — Blut —			10,8		6,3			10,1	5,4		
7	J. Con. . .	18	I.	1445 1425 1650 1900	1,020 1,022 1,019 1,016	s s s s	+ 1/2 p.M.* + Blut — —					11,2			10,6	3,1	11,1	* Bestimm. nach Essbach.

8	J. Vii.	. . . 25	I.	1625 1550 1975 2250 925	1,012 1,010 1,010 1,010 1,012	s s amph. s s	+ ¹ / ₂ p.M. + ¹ / ₄ p.M. + Blut + ¹ / ₄ p.M. + Spur
9	C. d. Gre.	. . . 24	I.	2100 910 710	1,013 1,019 1,013	s s s	+ Spur + Spur + Blut
10	B. See.	. . . 27	IV.	1970 2500 1810	1,012 1,009 1,018	amph. s s	— + Blut —
11	v. A.	. . . 18	I.	475 2200 1290	1,014 1,012 1,022	amph. amph. amph.	+ ¹ / ₂ p.M. — + Blut
12	Verstr.	. . . 21	II.	2125 2200 2510 950	1,012 1,011 1,012 1,022	s amph. amph. s	— — — + Blut
13	D. Jan.	. . . 24	I.	710	1,022	s	+ ¹ / ₈ p.M.
14	J. Ts.	. . . 19	I.	1120 1550 610	1,016 1,012 1,026	s s s	— — + Blut
15	R. Sta.	. . . 39	VIII.	1080 3900 2750 1925	1,015 1,010 1,008 1,015	s s amph. amph.	+ 1 p. M. + Blut + Blut + Blut

Tabelle I (Fortsetzung).

Nr.	Name	Alter	Par- tus	Harn in 24 St. ccm	Sp. G.	Reakt.	Eiweiß	9 Monate			10 Monate			kurz vor nach		1.	2.	3.	Bemer- kungen
								An- fang	Mitte	Ende	An- fang	Mitte	Ende	Entbind.					
16	M. Ma. . .	25	II.	1425 2530 3150	1,012 1,012 1,009	s alk. s	+ l p. M. + Blut —								1,8	1,7			
17	R. v. d. B.	17	I.	1490	1,010	s	—												
18	Lee. . . .	32	I.	940 1410 520	1,022 1,019 1,019	s s s	— — —				6,5				7,1				
19	L. Sch. . .	38	VIII	1360 1900 1160 2490	1,018 1,014 1,015 1,012	s amph. s s	— — — —									1,4	5,1		
20	Vog. . . .	18	I.	2955 1255 1880 1255	1,008 1,011 1,009 1,018	s s s s	— — — + Spur			5,2	0,3	4,4					4,3		
21	Hol. . . .	22	I.	1925 700 1080	1,019 1,023 1,014	s s s	— + Spur —									24	6,7	Queck- silber innerlich	
22	Hof. . . .	24	I.	980 1025 1920	1,022 1,021 1,009	amph. s s	— — —					5,4	11,2		7,3				

23	S. d. Zw. .	26	I.	1560	1,014	s	—	—	6	2,5	8,6	5,9	Gemelli
				1560	1,011	s	—	—					
24	d. H. d. V.	40	II.	2775	1,008	s	+ Spur			3,5			
				1280	1,009	s	+ Blut						
25	Dib. . . .	25	I.	980	1,020	amph.	—	—	10,2	13,1			
				685	1,027	alk.	—	—					
				810	1,022	s	—	—					
26	Ha. . . .	30	III.	2200	1,016	s	—	—	7,5				

Tabelle II.

Aminosäuren-Gehalt des Harns Gesunder. Ausgedrückt in Prozenten des Gesamt-Stickstoffes.

Nr.	Name	Harn in 24 St. ccm	Sp. G.	Reakt.	Be- schaffenheit	Tot. N in Prozenten	Aminos.-N in Prozenten	Aminos.N in Proz. d. Tot. N.	Bemerkungen
1	Bus. . . .	1350	1,019	s	Norm.	0,963	0,065	6,7	Bestimmt n. Glaesner.
2	Bus. . . .	2000	1,016	s	"	0,84	0,065	7,7	Bestimmt n. Pfandler.
3	Bus. . . .	1410	1,015	s	"	0,76	0,045	5,9	"
4	O'B. . . .	2500	1,009	amph.	"	0,553	0,033	5,9	"
5	Joe. . . .	1780	1,019	s	"	1,032	0,053	5,0	"
6	Verb. . . .	1320	1,019	s	"	1,109	0,031	2,7	"
7	Verb. . . .	1500	1,028	s	"	1,385	0,040	2,8	"
8	de F. . . .	1240	1,019	s	"	0,88	0,030	3,4	"

Tabelle III.

Nr.	Name	Harn in 24 St. ccm	Reakt.	Sp. G.	Eiweiß	Gravid.	Proz. Tot. Stick- stoff	Proz. Amin. Stick- stoff	Tot. N. 24 Stun- den	Aminos. N 24 Stun- den	Am. N in Proz. d. Tot. N.	Bemerkung	Datum
12	Verstr.	2510 1120 amph.	amph.	1,012 1,015	— —	4 T. v. Part. —	0,59 0,917	0,034 0,095	14,809 10,27	0,853 1,064	5,7 10,3	Am Ended. Tages 5 g Glyk.	28. Febr.
19	L. Sch.	1900 1710 amph.	amph.	1,014 1,014	— —	Ende 10 M. —	0,735 0,895	0,072 0,040	13,905 15,305	1,368 0,684	9,5 4,4	" " " 10 g "	1. März 2. März
20	Vog.	1225 2560 s s	s s	1,011 1,009	— —	— —	0,795 0,696	0,002 0,034	9,967 17,818	0,025 0,870	0,3 4,8	" " " 10 g "	6. März 7. März
		1880 2480 2060 s s s	s s s	1,009 1,010 1,010	— — —	— — —	0,68 0,693 0,64	0,03 0,063 0,045	12,784 17,186 13,184	0,564 1,562 0,927	4,4 9 7	" " " 15 g "	11. März 12. März 13. März
18	Lee	1410 1450 s s	s s	1,019 1,018	— —	Ende 10 M. —	1,106 0,994	0,098 0,038	15,595 14,413	1,382 0,551	8,8 3,7	" " " 5 g Leuc.	6. März 7. März
23	S. d. Zw.	1560 790 s s	s s	1,014 1,014	— —	— —	0,952 1,61	0,068 0,05	14,851 12,719	0,905 0,395	6 3,1	" " " 10 g Glyk.	9. März 10. März
24	d. H. d. V.	2775 2420 960 s s s	s s s	1,008 1,009 1,009	+ + +	Ende 10 M. — —	0,655 0,742 0,752	0,023 0,051 0,050	18,176 17,956 7,219	0,638 1,234 0,48	3,5 6,8 6,6	" " " 15 g "	11. März 12. März 13. März
25	Dib.	980 1780 amph. s	amph. s	1,020 1,015	— —	— —	1,315 0,88	0,135 0,085	12,887 15,664	1,323 1,513	10,2 9,6	" " " 15 g "	10. März 11. März
—	P. Verb.	1320 1490 s amph.	s amph.	1,019 1,025	— —	Mann. —	1,109 1,197	0,0305 0,070	14,639 17,835	0,403 1,043	2,7 5,8	" " " 6 g "	26. Febr. 27. Febr.
—	Bus.	1410 1525 1640 s s s	s s s	1,015 1,017 1,015	— — —	Mann. — —	0,76 0,85 0,705	0,045 0,033 0,053	10,716 12,963 11,562	0,635 0,503 0,869	5,9 3,8 7,5	" " " 10 g "	12. März 13. März 14. März

Über einige Ergebnisse physikalisch-chemischer Studien über den Wasserstoffwechsel.

Von

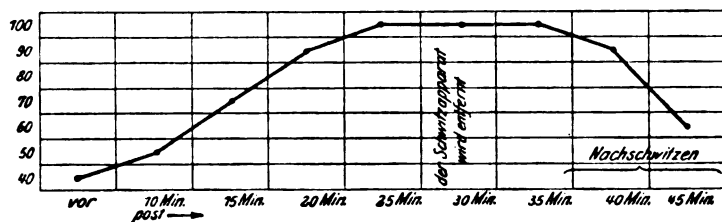
Professor Dr. H. Strauß, Berlin.

Mit 3 Figuren im Text.

Von der Einführung physikalisch-chemischer Arbeitsmethoden und Fragestellungen in die Medizin ist das Studium des Wasser- und Salzstoffwechsels in besonderem Grade gefördert worden. Diese Förderung bestand nicht bloß in den wertvollen Anregungen, welche die rein chemische Forschung auf den vorliegenden Gebieten erfuhr, sondern auch in der Feststellung von positiven Tatsachen, welche z. T. der Therapie zugute gekommen sind. Es zeigte sich auch hier, wie sehr auch rein theoretische Studien der medizinischen Praxis zugute kommen können, und es dürften vielleicht gerade deshalb hier einige Bemerkungen über den Wasserstoffwechsel im Zusammenhang mit physikalisch-chemischen Forschungen Platz finden. Hat doch der Jubilar, dem dieser Band gewidmet ist, gerade auch der medizinischen Praxis sowohl durch seine Spezialarbeiten, als auch durch seine meisterhafte Darstellung der physikalischen Chemie in der Medizin besondere Dienste geleistet.

In klinischer Beziehung haben uns die physikalisch-chemischen Forschungen über den Wasserstoffwechsel vor allem nach drei Richtungen hin eine Förderung gebracht. Sie haben uns einerseits neues Material zur Beurteilung der ausgezeichneten Fähigkeit des Organismus geliefert, den Wassergehalt des Blutserums konstant zu erhalten, andererseits unsere Kenntnisse über die Störungen der wasserabscheidenden Funktion der Nieren erheblich erweitert, und schließlich haben sie unseren Einblick in die Vorgänge vertieft, die sich bei Störungen des Wasserstoffwechsels im Körper selbst abspielen.

Das zur Beurteilung der zuerst genannten Frage dienende Material ist in dem Buche des hier zu feiernden Jubilars kritisch zusammengetragen. Auch die neueren Untersuchungen, insbesondere diejenigen, welche an Fällen von Diabetes insipidus ausgeführt worden sind, sowie die refraktometrischen, am Blutserum ausgeführten, Untersuchungen haben neue Beweise für die Richtigkeit der Anschauung geliefert, daß der Wassergehalt des Blutserums nur unter ganz besonderen Umständen einer Änderung zugänglich ist. Insbesondere haben die refraktometrischen Untersuchungen, und zwar sowohl meine eigenen¹⁾, als diejenigen von Engel und Scharl²⁾, gezeigt, daß unter der Einwirkung einer stärkeren Flüssigkeitszufuhr nur ausnahmsweise ein nennenswertes Absinken des Refraktionswertes zu beobachten ist. Ich kann diesen Ergebnissen heute noch einige Resultate von Versuchen anfügen, die ich noch in der III. med. Klinik zusammen mit Dr. Brandenstein während eines etwa halbstündigen Schwitzversuches und nach demselben gewonnen hatte. Auch in diesen Versuchen trat nur ausnahmsweise eine Konzentrationsänderung auf, die stärker war als diejenige, welche man nach meinen Untersuchungen auch ohne speziellen Eingriff als Ausdruck physiologischer Schwankungen beobachten kann. Als Beispiele für die Art und Weise, wie sich die Mehrzahl der Versuchspersonen unter und nach einer $\frac{1}{2}$ stündigen Schwitzprozedur (Phénix à l'air chaud) verhielt, gebe ich folgende 3 Kurven, in welchen in der Abszisse die Zahlen für die Zeit und in der Ordinate die Zahlen für den Refraktionswert (nach der von mir befolgten Nomenklatur) angegeben sind. In Kurve I

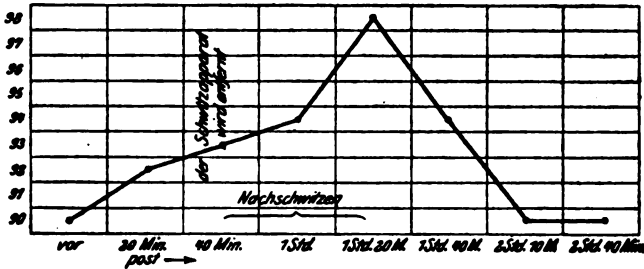


Kurve I.

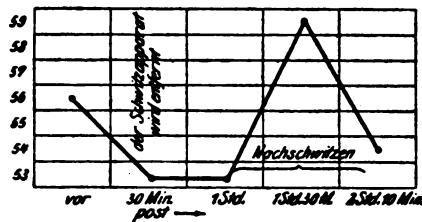
¹⁾ H. Strauß u. B. Chajes, Zeitschr. f. klin. Med. 52, H. 5 u. 6 und H. Strauß, ibid. 60, H. 5 u. 6.

²⁾ Engel u. Scharl, Zeitschr. f. klin. Med. 60, H. 3 u. 4.

handelt es sich um eine Person, welche keine Störung des Wasserstoffwechsels zeigte, in Kurve II um einen Diabetiker und in Kurve III um einen hydraemischen Nephritiker mit Hydropsien bzw. Hydropsietendenz. Diese Beispiele verdienen auch für die Frage der „bluteindickenden“ Wirkung von Schweißkuren Beachtung.



Kurve II.



Kurve III.

Auf dem Gebiete der Pathologie habe ich bei der refraktometrischen Untersuchung des Blutserums solcher Krankheiten bzw. Zustände, bei welchen das Verhalten des Urines auf eine Störung des Wasserstoffwechsels hinwies (Diabetes insipidus,¹⁾ Herz- und Nierenaaffektionen²⁾ im Stadium der Kompensationsstörung) in Serienuntersuchungen, in welchen täglich das Verhalten der Urinmenge und des Refraktionswertes des Blutserums untersucht wurde, nur bei gewissen Formen von Nephritis (chron. parenchymatöse Form) und auch da nur in gewissen Stadien (Hydrops oder Hydropsietendenz) eine Zunahme des Wassergehaltes des Blutserums feststellen können. Soweit die physikalisch-chemischen Untersuchungen des Blutserums von Fällen von Diabetes insipidus in Frage kommen,

¹⁾ H. Strauß, Zeitschr. f. exp. Pathol. u. Ther. 1.

²⁾ H. Strauß, Zeitschr. f. klin. Med. 60, H. 5 u. 6.

so verfügen wir außer meinen eigenen refraktometrischen Serienuntersuchungen, bei welchen sich absolut normale bzw. nahe der oberen Grenze des Normalen stehende Werte ergaben, über eine Reihe von Gefrierpunktsbestimmungen, bei welchen, wie die folgende Tabelle zeigt, gleichfalls fast durchweg normale Verhältnisse zutage traten:

Tabelle.

Gefrierpunktserniedrigung des Blutes	
ohne Dursten	nach Dursten
Hoke ¹⁾	0,47 °
	0,52 °
Loeper ²⁾	0,51 °
	0,59 °
	0,58 °
	nach 6 Stunden 0,61 °
H. Strauß ³⁾	0,57 °
E. Meyer ⁴⁾	0,56 °
Seiler ⁵⁾	0,56 °
(8 jähriges Kind)	4 Tage 0,58 °
	3 Tage 0,58 °
Winkelmann ⁶⁾	3 Tage 0,60 °
	0,57 °

Die Ergebnisse der bisherigen physikalisch-chemischen Untersuchungen des Blutserums bei Diabetes insipidus beweisen nicht nur, daß eine alte Theorie nicht richtig ist, nach welcher bei diesem Zustande eine Aufstapelung von Wasser im Körperinnern als Folge eines vermehrten Durstes stattfindet, sondern geben auch ein deutliches Zeugnis von der Zähigkeit ab, mit welcher der Organismus die Konstanz der Zusammensetzung seines Blutserums aufrechterhält. Die Befunde, welche bei Fällen von Diabetes insipidus erhoben sind, verdienen nach dieser Richtung hin weit mehr Beachtung als beispielsweise die bei Nephritikern und z. T. auch die bei Herzkranken erhobenen Befunde, weil bei diesen der Faktor der Retention von festen Bestandteilen (Reststickstoff usw.) den erhobenen Wert zu beeinflussen vermag.

¹⁾ Hoke, Münch. med. Wochenschr. 1902.

²⁾ Loeper, Du mécanisme régulateur de la composition du sang. Paris 1901.

³⁾ H. Strauß, l. c.

⁴⁾ E. Meyer, l. c.

⁵⁾ Seiler, Zeitschr. f. klin. Med. 61.

⁶⁾ Winkelmann, Med. Klinik 1907, Nr. 34.

Auch für die Beurteilung der Vorgänge der Wasserabscheidung in den Nieren hat uns die genauere Erforschung der physikalischen Chemie des Diabetes insipidus besonders wertvolles Material geliefert. Vor allem sind hier Erich Meyers¹⁾ Untersuchungen zu nennen, der gezeigt hat, daß die Polyurie in den betr. Fällen im wahrsten Sinne des Wortes eine Polyhydrurie ist, und daß sie einen kompensatorischen Zweck erfüllt, indem sie zur Ausschwemmung von Salzen und Schlacken des N-Stoffwechsels dient, die durch die aktive Eliminationskraft der Nieren nicht nach außen befördert werden können. Die Polyurie gleicht die mangelnde Akkommodationsfähigkeit des Nierenepithels an die quantitativ wechselnden Aufgaben aus und dient den Zwecken der Blutreinigung. Durch die Untersuchungen von E. Meyer, welchen sich meine eigenen Beobachtungen (l. c.) sowie Befunde von Finkelnburg²⁾, Seiler (l. c.) und Winkelmann (l. c.) anschließen, ist der Diabetes insipidus den Fällen von chronisch-interstitieller Nephritis mit Polyurie bzw. Polyhydrurie nahe gerückt, und es besteht zwischen beiden Gruppen nur insofern ein Unterschied, als der Antrieb der Polyurie beim Diabetes insipidus nicht auf dem Umwege des Herzens erfolgt, wie dies bei den Fällen von chronisch-interstitieller Nephritis meistens — wenn auch nicht immer — der Fall ist, sondern direkt durch die Nieren. Die am Urine bei Fällen von Diabetes insipidus ausgeführten physikalisch-chemischen Untersuchungen sind vor allem auch insofern wichtig geworden, als sie einerseits in besonderem Grade gezeigt haben, daß eine auf rein physikalisch-chemischer Grundlage aufgebaute Theorie der Harnabscheidung heutzutage nicht mehr möglich ist, andererseits für die Behandlung dieser Krankheit wertvolle Direktiven geliefert haben. Sie haben nämlich gezeigt, daß auf die Beschränkung der Salz- und — wenn auch in geringerem Grade — der Eiweißzufuhr der Schwerpunkt zu legen ist und daß eine Einschränkung der Flüssigkeitszufuhr bei Fällen von Diabetes insipidus nicht ohne weiteres zulässig ist. Wie stark zuweilen die Energie der Nieren bei der Abscheidung der für kompensatorische Zwecke nötigen großen

¹⁾ Erich Meyer, Arch. f. klin. Med. 82.

²⁾ Finkelnburg, Arch. f. klin. Med. 91.

Flüssigkeitsmengen sein kann, zeigte in besonders deutlichem Grade der von mir seinerzeit beschriebene Fall (l. c.), in welchem die Sekretionsenergie so groß war, daß eine ganz enorme Ausdehnung der Blase hierdurch erzeugt worden war.

Nicht so durchsichtig wie beim Diabetes insipidus lag bisher bei Nierenerkrankungen die Frage der Bedeutung der Polyurie. Durch die grundlegenden Untersuchungen von A. von Korányi wurde festgestellt, daß bei einer Reihe von Nierenerkrankungen, so speziell bei Schrumpfnieren, die Nieren die Fähigkeit verloren haben, einen konzentrierten Harn abzuscheiden, dagegen wurde es nicht von allen Seiten anerkannt, daß auch hier die Polyurie bzw. die Polyhydrurie kompensatorischen Zwecken im Sinne der Blutreinigung diene. In neuerer Zeit sind jedoch zur Stütze auch für diese Auffassung, für welche ich von Anfang an eingetreten bin, wertvolle Untersuchungen von Ekehorn¹⁾ mitgeteilt worden, der zeigen konnte, daß 2- bis 3tägiges Dürsten bei Gesunden nicht zu einer Erhöhung des osmotischen Druckes des Blutes führt, wenn parallel mit dem Sinken der Urinmenge das spezifische Gewicht des Urines in entsprechender Weise ansteigt, daß aber bei Nierenkranken mit Polyhydrurie unter den gleichen Bedingungen ein Ansteigen des osmotischen Druckes des Blutes zu finden ist, wenn die Urinmenge sinkt und das spezifische Gewicht des Urines dabei nicht in entsprechender Weise ansteigt. Es ist ohne weiteres einleuchtend, daß das Prinzipielle der Betrachtungsweise auch auf dem vorliegenden Gebiete für die therapeutische Frage der Wasserdarreichung von größter Bedeutung ist, so daß auch hier die Förderung einer a priori theoretischen Frage Früchte für das praktische Handeln gezeitigt hat. Daß die Polyhydrurie auch bei Nierenkranken nicht immer den Umweg über das Herz nehmen muß, haben uns spezielle Befunde gezeigt. Es ist nicht bloß beim Ureterenkatheterismus wiederholt eine einseitige (reflektorische) Polyhydrurie beobachtet (Steyrer²⁾, Kapsammer³⁾ u. a.) worden, sondern es haben auch Steyrer-Pfaundler⁴⁾ u. a. gezeigt, daß auch eine ein-

¹⁾ Ekehorn, Arch. f. klin. Chir. 79, 1906.

²⁾ Steyrer, Zeitschr. f. klin. Med. 55, 1904.

³⁾ Kapsammer, Wiener klin. Wochenschr. 1904.

⁴⁾ Steyrer-Pfaundler, Beiträge z. chem. Physiol. u. Pathol. 2, H. 7 bis 9.

seitig ausgeführte Steigerung des Druckes im Innern des Ureters bzw. Nierenbeckens die gleiche Folge haben kann. Die bei Prostatahypertrophie zuweilen zu beobachtende Polyhydrurie dürfte wohl ähnlich zu erklären sein. Auch die Polyhydrurie bei Pyelitis dürfte, wie ich schon früher ausführte,¹⁾ in dieses Kapitel gehören.

Es ist hier nicht der Ort breit zu erörtern, welchen Nutzen die hier besprochenen Feststellungen der Therapie gebracht haben, sondern es soll hier nur noch angedeutet werden, inwiefern die physikalisch-chemischen Studien unseren Einblick in die feineren Vorgänge bei Wasserretentionen vertieft haben. Neuere — speziell refraktometrische — Untersuchungen haben hier prinzipielle Unterschiede in den Folgen der kardiogenen und der nephrogenen Wasserretentionen nachgewiesen und gezeigt, daß bei kardiogenen Wasserretentionen das Wasser in erster Linie in den Geweben bzw. in den Gewebsspalten zurückgehalten wird, während bei den nephrogenen Wasserretentionen der Hydrops sanguinis bzw. die Wasserrückhaltung in den Säften selbst eine weit größere Rolle spielt. Diese Feststellung ist nicht bloß für einige Probleme der allgemeinen Pathologie, sondern auch der Klinik von Bedeutung geworden und läßt erkennen, daß auch auf diesem Gebiete der Klinik aus den physikalisch-chemischen Forschungen der letzten 10 Jahre eine Förderung erwachsen ist. Das ist aus dem Grunde besonders erfreulich, weil die rege Arbeit, welche sich in den letzten drei Dezennien auf dem Gebiete der Stoffwechselforschung bemerkbar gemacht hat, die Störungen des Wasserhaushaltes anfänglich nicht in dem Maße berücksichtigt hatte, wie die Störungen im Wechsel der anderen den Körper zusammensetzenden Stoffe.

¹⁾ H. Strauß, Zeitschr. f. klin. Med. 47.

Über den Unterschied zwischen isosmotischen und isotonischen Lösungen bei der künstlichen Parthenogenese.

Von

Jacques Loeb.

(From the Herzstein Research Laboratory of the University of California.)

I. Einleitung.

Vor drei Jahren veröffentlichte ich eine Methode der künstlichen Parthenogenese, welche es erlaubt, die Vorgänge der Samenbefruchtung des Seeigels bis in alle Einzelheiten nachzuahmen.¹⁾ Diese Methode besteht darin, daß man zuerst die Eier mit einer Mischung von Seewasser und einer einbasischen Fettsäure behandelt; es genügt beispielsweise die unbefruchteten Eier von *Strongylocentrotus purpuratus* etwa 2 Minuten bei 15° C in 50 ccm Seewasser + 3 ccm $\frac{n}{10}$ -Buttersäure zu bringen. Wenn die Eier darauf in normales Seewasser übertragen werden, so bilden sie alle die typische Befruchtungsmembran, welche auch nach dem Eindringen eines Spermatozoons im Ei entsteht. Diese Membranbildung kann als die eigentliche Entwicklungserregung angesehen werden, und bei den Eiern mancher Formen ist auch nichts weiter für die Entwicklungserregung nötig, z. B. bei dem Ei eines Seesterns *Asterina* in Pacific Grove und dem Ei eines Wurmes, *Polynoe*. Auch bei den unbefruchteten Eiern des Seeigels genügt die künstliche Hervorrufung des Membranbildungsprozesses durch Buttersäurebehandlung, um die Entwicklung in den Gang zu setzen; es kommt zur normalen Astrosphären- und Spindelbildung in jedem Ei und bei niedriger Temperatur auch zu

¹⁾ J. Loeb, Untersuchungen über künstliche Parthenogenese. Leipzig 1906, S. 329. Vorlesungen über die Dynamik der Lebenserscheinungen. Leipzig 1906, S. 243.

einer Reihe von Zellteilungen, ev. sogar zur Bildung von Larven, die umherschwimmen; aber die Entwicklung geht nicht über das Blastulastadium.¹⁾ Bei Zimmertemperatur dagegen fangen die Eier alsbald an zu zerfallen, und zwar um so rascher, je höher die Temperatur ist.

Über die Ursache des Zerfalls war es möglich, einige bestimmte Daten zu erlangen. Verhinderte man die Oxydationen im Ei durch Sauerstoffentziehung oder durch Zusatz von KCN, welches die Oxydationen hemmt, so trat der Zerfall des Eies nicht ein. Wenn man solche Eier, bei denen man die Entwicklung und den Zerfall durch die erwähnten Mittel eine Reihe von Stunden lang hemmt hinterher in normales Seewasser bringt, so findet man, daß sich nunmehr ein gewisser Prozentsatz derselben in völlig normaler Weise bei Zimmertemperatur zu entwickeln vermag, und zwar nicht nur zu Blastulen, sondern zu Gastrulen und Pluteen²⁾ (und wohl auch darüber hinaus, wenn man sich die Mühe des Aufzüchtens nehmen wollte). Man gewinnt im Zusammenhang mit diesen Beobachtungen den Eindruck, daß im Ei durch die Buttersäurebehandlung resp. Membranbildung zwar die Entwicklung eingeleitet wird, daß aber die Entwicklung in falschen Bahnen verläuft. Wird aber die Entwicklung im Ei nach der Membranbildung einige Stunden lang durch vollständige Sauerstoffentziehung oder durch Zusatz von KCN oder Chloralhydrat gehemmt, so werden im Ei Stoffe gebildet, welche ihm erlauben, sich normal zu entwickeln, sobald es wieder in normales Seewasser zurückgebracht wird. Man kann auf diese Weise 2 bis 10 % der Eier zur normalen Entwicklung zu Pluteen zwingen.

Was nun durch die Entwicklungshemmung im Ei im Laufe von 3 bis 8 Stunden erreicht wird kann in viel rascherer Weise erzielt werden, wenn man die Eier nach der künstlichen Membranbildung etwa 40 bis 60 Minuten lang in hypertonisches Seewasser bringt. Diese Methode hat auch noch den Vorteil, daß bei ihr alle Eier — bei richtiger Wahl der Expositionsdauer — zur Entwicklung zu normalen Pluteen gebracht werden können. Wir müssen nun die Frage aufwerfen, wie wirkt

¹⁾ J. Loeb, Untersuchungen über künstl. Parthenogenese, S. 490.

²⁾ J. Loeb, Untersuchungen über künstl. Parthenogenese, S. 483 u. ff.
 Biochemische Zeitschrift Band 11.

die hypertonische Lösung in diesem Falle auf das Ei? Im Anschluß an das eben Gesagte muß wohl die Antwort lauten, daß in Folge des Wasserverlustes, welchen das Ei in der hypertonischen Lösung erleidet, die chemischen Prozesse in demselben modifiziert werden und daß die hierdurch herbeigeführten chemischen Änderungen dem Ei nunmehr erlauben, sich auch bei Zimmertemperatur normal zu entwickeln.

Die Ansicht, daß die hypertonische Lösung durch Herbeiführung einer chemischen Änderung im Ei die Entwicklung desselben beeinflusst, wird durch folgende Daten unterstützt. Erstens fand ich, daß der Temperaturkoeffizient für die Wirksamkeit der hypertonischen Lösung ungemein hoch ist, nämlich 3 bis 5 für eine Temperaturzunahme von 10°C. ¹⁾ Zweitens ließ sich feststellen, daß die hypertonische Lösung nur dann die günstige Wirkung hat, wenn dieselbe freien Sauerstoff, enthält.²⁾ Entzieht man derselben allen freien Sauerstoff, so bleibt dieselbe völlig wirkungslos, und die Eier zerfallen nach der Übertragung in normales Seewasser ebenso, als ob sie überhaupt nicht mit hypertonischem Seewasser behandelt worden wären. Drittens ließ sich zeigen, daß mit der Konzentration der Hydroxylionen in der hypertonischen Lösung die Geschwindigkeit der Wirkung der hypertonischen Lösung zunimmt.³⁾ In einer schwachsauren hypertonischen Lösung müssen die Eier länger bleiben als in einer neutralen und in dieser länger als in einer alkalischen, um alle Eier zur Entwicklung zu bringen.

Es schien nun nötig, auch noch zu untersuchen, wie die Zeit, während welcher die Eier in der hypertonischen Lösung bleiben müssen, mit dem osmotischen Druck der hypertonischen Lösung variiert.

II. Versuche mit hypertonischem Seewasser.

Die unbefruchteten Eier eines Seeigels wurden mit buttersäurehaltigem Seewasser behandelt, und bei allen trat die Membranbildung ein. Zu je 50 ccm Seewasser wurden 0, 1, 2, 3, 4, 5, 6, 7, 8, 10, 12 und 14 ccm $2\frac{1}{2}$ m (grammolekulares)

¹⁾ J. Loeb, Untersuchungen, S. 494.

²⁾ J. Loeb, Untersuchungen S. 491. Diese Zeitschr. 1, 183, 1906. Pflügers Archiv 113, 487, 1906 u. 118, 30, 1907.

³⁾ J. Loeb, Pflügers Archiv 118, 181, 1907.

NaCl zugefügt und die Eier in diese Lösungen verteilt. Aus diesen Lösungen wurde nach 33, 45, 57, 68, 98 und 128 Minuten je eine Portion der Eier in normales Seewasser übertragen und der Prozentsatz derselben, welcher sich zu Larven entwickelte, für jede Portion festgestellt. Die folgende Tabelle gibt das Resultat. 0 bedeutet, daß kein Ei sich entwickelte, 30%, daß 30% aller Eier Larven bildeten. Die Temperatur der hypertonen Lösung war 16° C.

Tabelle I.

Natur der Lösung	Prozentsatz der Eier, welche sich zu Larven entwickelten, nach einem Aufenthalt in der Lösung von					
	33	45	57	68	98	128 Min.
50ccm Seewasser	0	0	0	0	0	0
50 „ „ + 4 ccm 2 ¹ / ₂ m NaCl	0	0	0	0	0	1 Larve
50 „ „ + 5 „ 2 ¹ / ₂ „ „	0	0	0	1%	30%	60%
50 „ „ + 6 „ 2 ¹ / ₂ „ „	0	0	2%	50%	100%	10%
50 „ „ + 7 „ 2 ¹ / ₂ „ „	0	1%	30%	70%	70%	0
50 „ „ + 8 „ 2 ¹ / ₂ „ „	0	1%	50%	80%	Wenige	0
50 „ „ + 10 „ 2 ¹ / ₂ „ „	0	0	10%	10%	1%	0
50 „ „ + 12 „ 2 ¹ / ₂ „ „	0	0	1 Larve	0	0	0
50 „ „ + 14 „ 2 ¹ / ₂ „ „	0	0	0	0	0	0

Zwei Tatsachen sind hier zu beachten; erstens, daß die Wirksamkeit der hypertonen Lösung enge Grenzen hat. Der Zusatz von 4 ccm ist praktisch zu gering, der Zusatz von 12 ccm 2¹/₂ m NaCl ist zuviel. Im letzteren Falle gehen die Eier an schwarzer Cytolyse zugrunde. Zweitens ist zu beachten, daß, wenn einmal die optimale Konzentration erreicht ist, d. h. die Konzentration, welche den größten Prozentsatz von Larven hervorbringt, nämlich bei 7 ccm 2¹/₂ m NaCl, eine weitere Konzentrationserhöhung die Zeit, während welcher das Ei in der hypertonen Lösung bleiben muß, nicht abkürzt. Das harmoniert mit der früher von mir ausgesprochenen Vermutung, daß der Aufenthalt des Eies in der hypertonen Lösung nur deshalb nötig ist, weil in dieser Lösung bestimmte Stoffe im Ei gebildet werden, welche die Entwicklung des Eies in normale Bahnen lenken und es vor dem Verfall retten, zu dem die künstliche Membranbildung es sonst führt. Um diese Stoffe in genügender Menge zu bilden, ist eine gewisse Zeit erforderlich.

Dieser Versuch ist sehr oft mit im wesentlichen gleichen Resultat wiederholt worden. Der Zusatz von nur 3 ccm $2\frac{1}{2}$ m NaCl zu 50 ccm Seewasser hat nie zur Entwicklung einer Larve nach der Membranbildung geführt, wie lange man auch die Eier in der Lösung ließ.

Es scheint nötig, ein Beispiel eines derartigen länger dauernden Versuches mitzuteilen. Die unbefruchteten Eier eines Weibchens wurden nach der künstlichen Membranbildung in 50 ccm Seewasser + 0, 1, 2, 3, 4 usw. ccm $2\frac{1}{2}$ m NaCl gebracht. Nach 37, 47, 57, 110, 150, 200, 280 und 340 Minuten wurde je eine Portion der Eier in normales Seewasser zurückgebracht. Temperatur $16\frac{1}{2}^{\circ}$ C bis $17\frac{1}{2}^{\circ}$ C.

Tabelle II.

		Prozentsatz der Eier, welche sich zu Larven entwickelten, nach einem Aufenthalt der Eier in der Lösung von							
Natur der Lösung		37	47	57	110	150	200	280	340
50ccmSeew.+ 2ccm $2\frac{1}{2}$ m NaCl		0	0	0	0	0	0	0	0
50 "	" + 3 "	0	0	0	0	0	0	0	0
50 "	" + 4 "	0	0	0	1%	5%	8%	—	30%
50 "	" + 5 "	0	0	30%	50%	80%	90%	90%	40%
50 "	" + 6 "	—	—	80%	95%	—	—	—	—
50 "	" + 8 "	0	10%	100%	—	—	—	—	—
50 "	" + 10 "	0	2Larv. 8%	30%	—	—	—	—	—
50 "	" + 12 "	0	1%	2%	0	0	0	0	0
50 "	" + 14 "	0	0	0	Ein paar Larven	0	0	0	0

Der Versuch bestätigt wieder, daß der Zusatz von weniger als 4 ccm $2\frac{1}{2}$ m NaCl zu 50 ccm Seewasser auch bei einer lange fortgesetzten Einwirkung nicht ausreicht, die Eier vor dem Zerfall zu schützen und die Entwicklung hervorzurufen. Es ist ferner deutlich, daß, wenn einmal das Optimum erreicht ist, die Expositionsdauer durch eine weitere Erhöhung der Konzentration des Seewassers nicht verringert werden kann. Bei dem Zusatz von 8 ccm $2\frac{1}{2}$ m NaCl ist die minimale Expositionsdauer 47 Minuten, und dasselbe ist der Fall für den Zusatz von 12 ccm $2\frac{1}{2}$ m NaCl.

Vielleicht erklärt die folgende Tatsache, warum es nicht gelingt, mit dem Zusatz von weniger als 4 ccm $2\frac{1}{2}$ m NaCl zu 50 ccm Seewasser die Eier nach der künstlichen Membranbildung vor dem Zerfall zu retten. Bringt man mit Samen

befruchtete Eier in je 50 ccm Seewasser, dem zunehmende Mengen von $2\frac{1}{2}$ m NaCl zugesetzt sind, so bemerkt man, daß der Zusatz von 1 ccm $2\frac{1}{2}$ m NaCl zu 50 ccm Seewasser keinen Einfluß auf die Entwicklung hat, daß der Zusatz von 2 ccm $2\frac{1}{2}$ m NaCl zu 50 ccm Seewasser die erste Furchung kaum merkbar verzögert, daß der Zusatz von 3 ccm die Furchung um etwa 12% der gewöhnlichen Dauer verzögert, daß aber in einer solchen Lösung die Entwicklung aller Eier in fast normaler Weise stattfindet. Erst der Zusatz von 4 ccm $2\frac{1}{2}$ m NaCl zu 50 ccm Seewasser verzögert die erste Furchung um eine Reihe von Stunden (über 100% der normalen Dauer); in dieser Lösung können sich die Eier zwar noch langsam entwickeln, aber die Entwicklung tritt nicht mehr bei allen ein. Es stellt sich also auch hier heraus, daß der Zusatz von 4 ccm NaCl eine kritische Bedeutung hat. In 50 ccm Seewasser + 5 ccm $2\frac{1}{2}$ m NaCl entwickelten sich die Eier nicht mehr über das 32. bis 64. Zellstadium hinaus. Es müssen aber wohl in einer Lösung von 50 ccm Seewasser + 4 oder 4 ccm $2\frac{1}{2}$ m NaCl erhebliche Änderungen in den chemischen Reaktionen im Ei eintreten. Diese Änderungen führen zur Bildung derjenigen Stoffe, welche dem Ei nach der künstlichen Membranbildung gestatten, sich nach der Übertragung in normales Seewasser normal zu entwickeln. Bleiben die Eier zu lange in der hypertonen Lösung, so bilden sich die betreffenden Stoffe in zu großen Mengen, oder das Ei leidet aus anderen Gründen.

III. Versuche mit einer reinen hypertonen NaCl-Lösung.

Die Versuche mit reinen hypertonen NaCl-Lösungen ergaben das auf den ersten Blick paradoxe Resultat, daß die Eier höhere Konzentrationen von NaCl-Lösungen ertragen können als von hypertonischem Seewasser. Wir werden aber sehen, daß dieses Paradoxon eine einfache Erklärung findet. Die unbefruchteten Eier eines Weibchens wurden der Membranbildung durch Buttersäurebehandlung unterworfen und dann (etwa 10 Minuten später) in 50 ccm $\frac{1}{2}$ m NaCl + 3, 4, 5, 6, 7, 8, 10, 12, 14, 16 $2\frac{1}{2}$ m NaCl verteilt, und nach 55, 90 und 120 Minuten wurde je eine Portion der Eier in normales Seewasser zurückgebracht. Die Temperatur war 13° C.

Tabelle III.

Natur der Lösung				Prozentsatz der Eier, welche sich zu Larven entwickelten, nach einer Expositionsdauer von		
				55	90	120 Min.
50 ccm $\frac{1}{2}$ m NaCl +	3 ccm $2\frac{1}{2}$ m NaCl			0	0	0
50 " $\frac{1}{2}$ " " +	4 " $2\frac{1}{2}$ " " "			0	0	0
50 " $\frac{1}{2}$ " " +	5 " $2\frac{1}{2}$ " " "			0	0	1%
50 " $\frac{1}{2}$ " " +	6 " $2\frac{1}{2}$ " " "			0	1%	5%
50 " $\frac{1}{2}$ " " +	7 " $2\frac{1}{2}$ " " "			2%	50%	70%
50 " $\frac{1}{2}$ " " +	8 " $2\frac{1}{2}$ " " "			30%	80%	90%
50 " $\frac{1}{2}$ " " +	10 " $2\frac{1}{2}$ " " "			80%	90%	—
50 " $\frac{1}{2}$ " " +	12 " $2\frac{1}{2}$ " " "			80%	—	—
50 " $\frac{1}{2}$ " " +	14 " $2\frac{1}{2}$ " " "			80%	—	—
50 " $\frac{1}{2}$ " " +	16 " $2\frac{1}{2}$ " " "			80%	—	—

Durch empirische Versuche habe ich festgestellt, daß eine halbgrammolekulare Lösung von NaCl nahezu oder praktisch isotonisch ist für das Seeigeelei. Diese Erfahrung hat sich seit einer Reihe von Jahren dadurch bewährt, daß wir für die Herstellung von künstlichem Seewasser halbgrammolekulare Lösungen von NaCl, KCl, CaCl_2 , MgCl_2 und MgSO_4 in den bekannten Verhältnissen mit dem besten Erfolg benutzen. Dieser Mischung wird noch eine Spur von NaHCO_3 zugesetzt.

Vergleichen wir nunmehr Tabelle III mit Tabelle I, so finden wir, dass 50 ccm $\frac{1}{2}$ m NaCl + 5 ccm $2\frac{1}{2}$ m NaCl in Tabelle III die gleiche Wirkung hat wie 50 ccm Seewasser + 4 ccm $2\frac{1}{2}$ m NaCl in Tabelle I; mit anderen Worten, daß eine Mischung von 50 ccm $\frac{1}{2}$ m NaCl + 1 ccm $2\frac{1}{2}$ m NaCl ungefähr isotonisch ist mit Seewasser.

Während nun eine Mischung von 50 ccm Seewasser + 10 ccm $2\frac{1}{2}$ m NaCl schon die Eier in 60 Minuten so stark schädigt, daß nunmehr eine kleine Zahl sich entwickelt, und während eine Mischung von 50 ccm Seewasser + 12 ccm $2\frac{1}{2}$ m NaCl praktisch alle Eier mit künstlicher Membran in 60 Minuten bei 16°C tötet, entwickelten sich noch 80% der Eier, nachdem sie 60 Minuten in einer Mischung von 50 ccm $\frac{1}{2}$ m NaCl + 16 ccm $2\frac{1}{2}$ m NaCl gewesen waren. Die Erklärung dieses Paradoxons liegt in dem Umstand, daß die NaCl-Lösung praktisch neutral war, während das Seewasser schwach alkalisch ist. Ich habe nun schon früher gezeigt, daß die schädliche Wirkung hyper-

tonischer Lösungen auf das Ei viel größer ist, wenn diese Lösungen schwach alkalisch oder wenn sie neutral sind; schwach saure hypertonische Lösungen sind noch unschädlicher als neutrale; mit anderen Worten, die schädliche Wirkung der hypertonischen Lösungen auf das Ei nimmt innerhalb der in Betracht kommenden Grenzen mit der Konzentration der Hydroxylionen zu. Da ich ferner zeigen konnte, daß in einer Lösung, welche frei von Sauerstoff ist, die schädliche Wirkung dieser hypertonischen Lösungen ausbleibt, so ist es möglich, daß zwischen beiden Tatsachen ein Zusammenhang besteht, mit andern Worten, daß die Oxydationsvorgänge im Ei mit wachsender Konzentration der HO-Ionen innerhalb gewisser Grenzen beschleunigt werden.

IV. Versuche mit Rohrzucker, Traubenzucker, Glycerin und Harnstoff.

Die Versuche, in welchen reine Rohrzuckerlösungen als hypertonische Lösungen benutzt werden, bieten eine große Überraschung. Nach Gefrierpunktsbestimmungen, welche Herr Dr. W. E. Garrey ausführte, hat das Seewasser in Pacific Grove dieselbe Gefrierpunktserniedrigung wie eine 0,54 m NaCl-Lösung. Das stimmt ziemlich nahe mit den Erfahrungen überein, welche ich mit künstlichem Seewasser gemacht habe. Da nach Kohlrausch und Holborn bei dieser Konzentration etwa 74% der NaCl-Moleküle dissoziiert sind, so ist eine 0,94 m Rohrzuckerlösung mit dem Seewasser isosmotisch. Stellt man aber mit reinen Rohrzuckerlösungen Versuche am Seeigeli an, so findet man, daß eine solche Lösung nicht isotonisch, sondern stark hypertonisch wirkt. Zu je 50 ccm $\frac{6}{8}$ m Rohrzuckerlösung wurden 0, 1, 2, 3, 4, 5, 6, 7, 8 ccm $2\frac{1}{2}$ m Rohrzucker zugefügt und die unbefruchteten Eier eines Seeigels nach der künstlichen Membranbildung in derselben verteilt. Temperatur 12° C. Die Eier bleiben 58 Minuten in der Lösung. Die Prozentzahl der gebildeten Larven gibt Tabelle IV.

Es wirkt also eine Mischung von 50 ccm $\frac{6}{8}$ m Rohrzucker + 6 ccm $2\frac{1}{2}$ m Rohrzucker ebenso günstig wie eine Mischung von 50 ccm Seewasser + 8 ccm $2\frac{1}{2}$ NaCl oder 50 ccm $\frac{1}{2}$ m NaCl + 8 oder 10 ccm $2\frac{1}{2}$ m NaCl. Eine Mischung von 50 ccm $\frac{6}{8}$ m Rohrzucker + 6 ccm $2\frac{1}{2}$ m Rohrzucker ist aber 0,94 m

Tabelle IV.

Natur der Lösung						Prozentsatz der Eier, welche sich zu Larven entwickeln
50ccm $\frac{6}{8}$ m Rohrzucker	+	0ccm $2\frac{1}{2}$ m Rohrzucker				0
50 „ $\frac{6}{8}$ „	„	+ 2 „ $2\frac{1}{2}$ „	„			0
50 „ $\frac{6}{8}$ „	„	+ 3 „ $2\frac{1}{2}$ „	„			Einige Larven
50 „ $\frac{6}{8}$ „	„	+ 4 „ $2\frac{1}{2}$ „	„			20%
50 „ $\frac{6}{8}$ „	„	+ 5 „ $2\frac{1}{2}$ „	„			20%
50 „ $\frac{6}{8}$ „	„	+ 6 „ $2\frac{1}{2}$ „	„			60%
50 „ $\frac{6}{8}$ „	„	+ 7 „ $2\frac{1}{2}$ „	„			98%
50 „ $\frac{6}{8}$ „	„	+ 8 „ $2\frac{1}{2}$ „	„			98%

oder mit dem Seewasser isosmotisch. Diese Lösung wirkt aber ebenso hypertonisch auf das Seeigeei wie eine 0,80 m NaCl-Lösung, d. h. eine Lösung, deren osmotischer Druck ungefähr 50% höher ist als der einer 0,94 m Rohrzuckerlösung!

Die einfachste Erklärung ist diejenige, welche den Anschauungen von Hamburger sowohl wie meinen früheren Publikationen entspricht, welche aber bei Overton und Höber auf Widerspruch stoßen wird; nämlich daß die Salze des Eies rascher aus demselben herausdiffundieren als die Rohrzuckerlösung in das Eis diffundiert. Infolge dieses Unterschiedes der Diffusionsgeschwindigkeit muß der osmotische Druck des Eies abnehmen und eine mit dem Seewasser isosmotische Lösung von Rohrzucker muß stark hypertonisch wirken. Eine zweite Möglichkeit wäre die, daß eine Rohrzuckerlösung aus einem noch unbekannten Grunde einen erheblich höheren osmotischen Druck hat, als ihr theoretisch zukommt. Die direkten Messungen des osmotischen Druckes von Rohrzuckerlösungen zeigen, daß die letztere Möglichkeit nicht ganz von der Hand zu weisen ist; die osmotischen Drucke von Rohrzuckerlösungen fallen nämlich alle etwas höher aus als die theoretisch berechneten, aber der Unterschied reicht nicht aus, um die von uns gefundene Erscheinung zu erklären.

Daß in der Tat eine mit dem Seewasser isosmotische Lösung von Rohrzucker für das Seeigeei hypertonisch ist, läßt sich direkt zeigen. Die Eier schrumpfen nämlich in einer solchen Lösung; sie schrumpfen sogar schon in einer $\frac{7}{8}$ m Rohrzuckerlösung; in einer $\frac{6}{8}$ m Rohrzuckerlösung behalten sie ihr Volumen, und in einer $\frac{5}{8}$ m Rohrzuckerlösung nehmen sie an Vo-

lumen zu. Ich habe übrigens schon vor einigen Jahren beobachtet, daß Medusen (*Polyorchis*) in einer reinen mit dem Seewasser isosmotischen Rohrzuckerlösung erheblich schrumpfen.

Daß eine $\frac{6}{8}$ m Rohrzuckerlösung ungefähr die für das Seeigeelei isotonische Konzentration besitzt, läßt sich indirekt zeigen, wenn man mit Samen befruchtete Seeigeeleier unmittelbar nach der Befruchtung in reine Rohrzuckerlösungen verschiedener Konzentration bringt. Versuche dieser Art zeigten, daß die erste Furchung in einer $\frac{6}{8}$ m Rohrzuckerlösung bei allen Eiern eintrat, und zwar fast zur selben Zeit wie im normalen Seewasser; während sie in $\frac{5}{8}$ und $\frac{7}{8}$ m Lösungen verspätet eintrat und nur bei wenig Eiern. In Lösungen unter $\frac{5}{8}$ m und über $\frac{7}{8}$ m Rohrzucker furchte sich überhaupt kein Ei mehr. Auch in der $\frac{6}{8}$ m Rohrzuckerlösung ging die Furchung nicht über das 4 oder 8 Zellstadium hinaus; was der Ansicht entspricht, daß die Salze des Eies aus demselben herausdiffundieren, wenn es in eine Rohrzuckerlösung gebracht wird. Bringt man die Eier aber wieder in Seewasser zurück, so entwickeln sie sich normal. Dieses Verhalten des Eies in einer Rohrzuckerlösung entspricht dem Verhalten einer Meduse in derselben Lösung, in dem nämlich auch bei der Meduse sowohl wie beim Herzen alsbald die spontanen Kontraktionen in einer reinen Rohrzuckerlösung aufhören.¹⁾ Auch hier dürfte es sich darum handeln, daß infolge des Herausdiffundierens von Natriumsalzen die Erregbarkeit des Herzens und der Meduse rasch abnimmt. Auch Overton fand, daß die Erregbarkeit des Froschmuskels in einer Rohrzuckerlösung rasch abnimmt; was Hamburger wohl mit Recht so erklärt, daß der Muskel seine Erregbarkeit infolge der Herausdiffundierens von Natriumsalzen oder -ionen verliert.²⁾

Stellt man ähnliche Resultate wie mit Rohrzucker mit einer reinen Traubenzuckerlösung an, so erhält man ähnliche Resultate. Die unbefruchteten Eier eines Seeigels wurden (nach der künstlichen Membranbildung) in Lösungen von 50 ccm $\frac{6}{8}$ m Traubenzucker gebracht, denen verschiedene Mengen von 2 m Traubenzucker zugesetzt waren. Tabelle V gibt die Resul-

¹⁾ J. Loeb, *Am. Journ. of Physiol.* 3, 384, 1900.

²⁾ H. J. Hamburger, *Osmotischer Druck und Ionenlehre* 3, 147, Wiesbaden 1904.

tate eines Versuches. Expositionsdauer 58 Minuten, Temperatur $15\frac{1}{2}^{\circ}\text{C}$.

Tabelle V.

Natur der Lösung						Prozentsatz der sich entwickelnden Eier
50ccm	$\frac{6}{8}\text{m}$	Traubenzucker	+	10ccm	2m Traubenzucker	0
50	"	$\frac{6}{8}$ "	"	+ 12	" 2, "	0
50	"	$\frac{6}{8}$ "	"	+ 14	" 2, "	0
50	"	$\frac{6}{8}$ "	"	+ 16	" 2, "	0
50	"	$\frac{6}{8}$ "	"	+ 18	" 2, "	1 Larve
50	"	$\frac{6}{8}$ "	"	+ 20	" 2, "	30%
50	"	$\frac{6}{8}$ "	"	+ 24	" 2, "	50%
50	"	$\frac{6}{8}$ "	"	+ 28	" 2, "	40%

Das Optimum der Wirkung wird in diesem Falle erreicht mit einer Mischung von 50 ccm $\frac{6}{8}\text{m}$ Traubenzucker + 24 ccm 2m Traubenzucker. Berücksichtigt man das Kristallwasser, so ist die Konzentration dieser Lösung 1,04 m. Diese Lösung hat ebenfalls nur einen wenig höheren osmotischen Druck als Seewasser. Wir schließen, daß die Salze, wie im Falle von Rohrzucker, aus dem Ei herausdiffundieren, daß aber der Traubenzucker etwas rascher in das Ei diffundiert als Rohrzucker, aber nicht ganz so rasch, wie die Salze aus dem Ei diffundieren.

Versuche mit Glycerin und Harnstoff zeigten, daß reine Lösungen beider Stoffe wenig günstige Resultate geben, weil keine oder nur wenige Eier nach der Behandlung mit hypertonenischen Lösungen dieser Stoffe sich entwickeln. Im Falle von reinen Harnstofflösungen erhielt ich wenige (2—3%) Larven nach der Behandlung mit $\frac{12}{8}\text{m}$ Harnstoff. Glycerin ergab keine Larven nach der Behandlung mit 50 ccm $\frac{6}{8}\text{m}$ Glycerin + 20 ccm $2\frac{1}{2}\text{m}$ Glycerin oder schwächeren Lösungen.

V. Versuche mit den hypertonenischen Lösungen anderer Salze.

Ähnliche Versuche wie die beschriebenen wurden mit den hypertonenischen Lösungen einiger anderer Salze angestellt. Um das Zahlenmaterial nicht zu sehr zu häufen, will ich nur die Konzentrationen erwähnen, aus denen das optimale Resultat hervorgeht. Die Expositionsdauer war stets 58 oder 60 Minuten. Die Temperatur in der Nähe von 14°C .

Tabelle VI.

Natur der Lösung		Prozentsatz der Eier welche Larven bildeten
50 ccm $\frac{1}{2}$ m LiCl	+ 6 ccm $2\frac{1}{2}$ m LiCl	5%
50 „ $\frac{1}{2}$ „ „	+ 7 „ $2\frac{1}{2}$ „ „	70%
50 „ $\frac{1}{2}$ „ KCl	+ 7 „ $2\frac{1}{2}$ m KCl	1%
50 „ $\frac{1}{2}$ „ „	+ 8 „ $2\frac{1}{2}$ „ „	60%
50 „ $\frac{2}{8}$ „ MgCl ₂	+ 6 ccm $2\frac{1}{2}$ m MgCl ₂	50%
50 „ $\frac{2}{8}$ „ „	+ 7 „ $2\frac{1}{2}$ „ „	80%
50 „ $\frac{2}{8}$ „ CaCl ₂	+ 6 „ $2\frac{1}{2}$ „ CaCl ₂	20%
50 „ $\frac{2}{8}$ „ „	+ 7 „ $2\frac{1}{2}$ „ „	90%

VI. Vergleich der osmotischen Drucke gleich starkwirkender Lösungen verschiedener Stoffe.

Wir wollen nunmehr die optimalen Konzentrationen verschiedener Lösungen zusammenstellen und deren osmotische Drucke vergleichen. Das ist zulässig, weil die optimale Konzentration sich recht scharf bestimmen läßt. Wenn der Leser die verschiedenen Tabellen vergleicht, so findet er, daß für eine gewisse Expositionsdauer (z. B. 55 Minuten, Tabelle III), beim Zusatz von 6 ccm $2\frac{1}{2}$ m NaCl keine Larve gebildet wird, bei Zusatz von 7 ccm 2%, bei Zusatz von 8 ccm 30%, und daß bei 10 ccm das Maximum erreicht wird. Der Anstieg der Larve ist also sehr steil bis zum Maximum; bei den Versuchen in Tabelle IX ist das noch viel deutlicher. Meist ist der Verlauf so, daß bei Zusatz von n ccm $2\frac{1}{2}$ m Lösung keine Larve gebildet wird, bei Zusatz von n + 1 ccm ein kleiner Prozentsatz und bei n + 2 ccm bereits das Maximum erreicht wurde.

Die Größe der Dissoziation ist nach Kohlrausch und Holborn berechnet. Die Werte beziehen sich auf eine Expositionsdauer von nahezu 58 Minuten bei nahezu 15° C.

Tabelle VII.

Optimale Konzentration der Lösung verschiedener Stoffe für die künstliche Parthenogenese.

Natur der Lösung	Optimale Konzentration in Grammolekülen	Dissoziation der Lösung	Osmotischer Druck der Lösung in Atmosphären
Rohrzucker	0,96 m	—	21,53
Traubenzucker	1,04 „	—	23,33
NaCl	0,79 „	71%	30,28
KCl	0,78 „	77%	30,95
LiCl	0,74 „	66%	27,59
CaCl ₂	0,50 „	64%	25,57
MgCl ₂	0,49 „	70%	26,47
Harnstoff	1,50 „	—	33,64

Zur Diskussion der Resultate benutzen wir die letzte Reihe, nämlich den osmotischen Druck der verschiedenen Lösungen in Atmosphären. Nach der Natur der Versuche ist der mögliche Irrtum nicht größer als 0,5 Atmosphären. Die Lösungen waren mit den besten Kahlbaumschen Präparaten und mit Wasser, das in Glas destilliert war, sehr sorgfältig hergestellt und, wo dies möglich war, hinterher titriert. Die Versuche wurden verifiziert mit Lösungen verschiedener Herkunft; das war insbesondere bei den Rohrzuckerversuchen der Fall. Der hier gewählte Wert für Rohrzucker ist etwas zu hoch.

Wir sehen, daß die beiden Zuckerlösungen erheblich stärker wasserentziehend wirken als Salzlösungen (Chloride) von demselben osmotischen Druck. Die nächstliegende Erklärung für diese Erscheinung ist die, daß die Salze rascher aus dem Ei herausdiffundieren als die beiden Zuckerarten in das Ei diffundieren. Die Wirksamkeit von Rohrzuckerlösungen ist größer als die von Traubenzuckerlösungen, was der allgemeinen physiologischen Erfahrung entspricht, daß Traubenzucker leichter resorbiert wird als Rohrzucker.

Wie erwähnt, enthält die Tabelle VII die Konzentrationen, welche die höchste Zahl von Larven bei einer Expositionsdauer von 58 Minuten und 14° C gaben. Läßt man Eier länger in der Lösung und bestimmt man die Schwellenkonzentration, d. h. die Konzentration, bei der die ersten Larven erhalten werden, so erhält man geringere Werte. Man kann beispielsweise schon mit einer $\frac{7}{8}$ m Rohrzuckerlösung oder einer noch schwächeren, aber immerhin hypertonischen Lösung einen geringen Prozentsatz der Eier nach der Membranbildung zur Entwicklung bringen, wenn man die Eier nur lange genug in der Lösung läßt. Wir können hierauf nicht näher eingehen. Die nötigen Daten finden sich in den verschiedenen Tabellen dieser Arbeit, namentlich Tabelle IX.

Ich stellte ferner Versuche mit $\frac{6}{8}$ m Rohrzuckerlösungen an, denen verschiedene Mengen $2\frac{1}{2}$ m Lösungen verschiedener Stoffe zugesetzt wurden, und ermittelte die Konzentration, welche bei einer Expositionsdauer von 60 Minuten bei 14° C den größten Prozentsatz von Larven hervorrief. Ich sehe von der ausführlichen Mitteilung der gesamten Daten ab und gebe nur die gefundenen optimalen Konzentrationen.

Tabelle VIII.

Natur der Lösung				Disso- ziation	Osmotischer Druck der Lösung in Atmosphären
50 ccm $\frac{6}{8}$ m Rohrucker	+	7 ccm $2\frac{1}{2}$ m Rohrucker		0	21,53
50 " $\frac{6}{8}$ " "	+	14 " $2\frac{1}{2}$ " Glycerin		0	25,43
50 " $\frac{6}{8}$ " "	+	16 " 2 " Traubenzucker		0	22,43
50 " $\frac{6}{8}$ " "	+	7 " $2\frac{1}{2}$ " NaCl	78%		26,91
50 " $\frac{6}{8}$ " "	+	7 " $2\frac{1}{2}$ " KCl	81%		27,36
50 " $\frac{6}{8}$ " "	+	5 " $2\frac{1}{2}$ " LiCl	78%		24,44
50 " $\frac{6}{8}$ " "	+	3 " $2\frac{1}{2}$ " CaCl ₂	75%		23,78
50 " $\frac{6}{8}$ " "	+	> 24 ccm $2\frac{1}{2}$ m Harnstoff	0		> 29,61

Diese Lösungen sind mit den in Tabelle VII erwähnten isosmotisch. Alle Lösungen der Tabelle VIII haben einen geringeren osmotischen Druck als die korrespondierenden Lösungen in Tabelle VII (mit Ausnahme der Rohruckerlösungen, die identisch sind); was wir daraus erklären, daß die Lösungen der Tabelle VIII wesentlich Rohruckerlösungen sind und daß es deshalb in allen Lösungen zum Austritt von Salzen aus dem Ei kommt. Berücksichtigt man die Natur des Stoffes, der zur Erhöhung des osmotischen Drucks der $\frac{6}{8}$ m Rohruckerlösung angewendet wurde, so findet man genau dieselbe Reihenfolge in beiden Tabellen, nämlich nach abnehmender osmotischer Wirksamkeit geordnet. Rohrucker, Traubenzucker, CaCl₂, MgCl₂, LiCl, Glycerin, NaCl, KCl, Harnstoff.

VII. Weitere Versuche mit hypertonischem Seewasser.

Angesichts der im vorigen Abschnitt erhaltenen Resultate ist es nötig, noch durch besondere Versuche zu zeigen, daß die unbefruchteten Eier des Seeigels nach der künstlichen Membranbildung sich in Gegenwart von Sauerstoff und bei Zimmertemperatur nur dann entwickeln, wenn sie erst eine Zeitlang in eine hypertonische Lösung gebracht werden. Zu dem Zweck soll eine Versuchsreihe mitgeteilt werden, in der die Eier eines Seeigels 57 Minuten bei einer Temperatur von 13,8° C in je 50 ccm Seewasser gebracht wurden, dem wachsende Mengen von $2\frac{1}{2}$ m Lösungen verschiedener Stoffe zugesetzt wurden. Die Tabelle gibt den Prozentsatz der Larven in jeder Lösung bis zum Maximum.

Tabelle IX.

Natur der Lösung 50 ccm Seewasser	Prozentsatz der sich zu Larven entwickelnden Eier in					Rohrzucker
	KCl	LiCl	CaCl ₂	MgCl ₂	MgSO ₄	
+ 1 ccm 2 ¹ / ₂ m	0	0	0	0	0	0
+ 2 " 2 ¹ / ₂ "	0	0	0	0	0	0
+ 3 " 2 ¹ / ₂ "	0	0	Wenige Larven	50%	0	0
+ 4 " 2 ¹ / ₂ "	0	0	85%	100%	0	0
+ 5 " 2 ¹ / ₂ "	Wen. Larven	60%	100%	100%	0	0
+ 6 " 2 ¹ / ₂ "	40%	100%	—	—	0	0
+ 7 " 2 ¹ / ₂ "	60%	100%	—	—	1%	Wenige Larven
+ 8 " 2 ¹ / ₂ "	100%	—	—	—	5%	40%
+ 9 " 2 ¹ / ₂ "	—	—	—	—	—	80%
+ 10 " 2 ¹ / ₂ "	—	—	—	—	90%	100%
+ 12 " 2 ¹ / ₂ "	—	—	—	—	100%	—

Für Traubenzucker war der Schwellenwert 11,5 ccm 2¹/₂ m zu 50 ccm Seewasser und das Optimum 14,4 ccm 2¹/₂ m Traubenzucker zu 50 ccm Seewasser, wobei 95% der Eier sich zu normalen Larven entwickelten. Der Anstieg der Kurve der sich entwickelnden Larven ist ein sehr steiler, d. h. nachdem der Schwellenwert der wirksamen Konzentration erreicht ist, nimmt der Prozentsatz der sich entwickelnden Larven rasch zu, bis das Maximum erreicht ist.

Da sich der Dissoziationsgrad in diesen Lösungen nicht mit Sicherheit bestimmen lässt, so sehe ich von einer Vergleichung der Resultate in Tabelle IX mit denjenigen in Tabelle VII und VIII ab. Es ist vielleicht von Interesse, daß in diesen Versuchen 10 ccm 2¹/₂ m Rohrzucker zu 50 ccm Seewasser zugeführt werden müssen, um die optimale Wirkung zu erreichen, und daß deshalb in diesem Falle der Unterschied zwischen der Menge von Rohrzucker, welche zur Konzentrationserhöhung nötig ist, nicht so weit hinter der Menge von NaCl, welche für diesen Zweck erforderlich ist, zurücksteht, als im Falle der Anwendung reiner Rohrzucker- und NaCl-Lösungen. Ich glaube, daß diese Tatsache für die Ansicht spricht, daß in einer reinen Rohrzuckerlösung die Salze des Seewassers besonders NaCl und KCl rasch aus dem Ei herausdiffundieren und so dessen osmotischen Druck verringern; während im Seewasser, dessen Konzentration durch Zusatz von etwas Rohrzucker erhöht ist, diese Diffusion von Salzen aus dem Ei natürlich in sehr viel geringerem Maße stattfindet.

VIII. Schlußbemerkungen.

Die Arbeit behandelt zwei Themata; das erste ist ein Beitrag zur Lösung der Frage, wie die hypertonische Lösung bei der künstlichen Parthenogenese wirkt. Wir müssen hierbei im Auge behalten, daß die hypertonische Lösung nicht als das entwicklungserregende Agens, sondern nur als ein korrigierendes Mittel zu betrachten ist. Das entwicklungserregende Mittel ist die künstliche Membranbildung, und dieser Vorgang beruht anscheinend auf einer Lösung von Lipoiden an der Peripherie des Eies, insbesondere dem Lecithin. Dieser Prozeß genügt, um die Bildung der Astrosphären, die Kernteilung und, wenn das Ei in niedriger Temperatur gehalten wird, auch die Zellteilung und weitere Entwicklung anzuregen. Es ist also unrichtig, zu behaupten, daß die Behandlung des Eies mit hypertonischem Seewasser in diesem Falle nötig sei, die Astrosphärenbildung herbeizuführen. Die hypertonische Lösung dient nur dazu, gewisse chemische Prozesse, welche durch die künstliche Membranbildung angeregt werden, in die richtigen Bahnen zu lenken. Dazu ist es nötig, daß das Ei eine bestimmte Zeit in einem Medium bleibt, in dem ihm Wasser entzogen wird. Der Schwellenwert der Hypertonizität liegt bei der Konzentrationserhöhung des äußeren Mediums, die eben ausreicht, die Entwicklung von mit Samen befruchteten Eiern eine Reihe von Stunden zu hemmen; das Optimum der Konzentrationserhöhung ist nur wenig höher. Ist die optimale Konzentrationserhöhung einmal erreicht (d. h. die Konzentration bei der das Maximum normaler Larven erzielt wird), so wird durch eine weitere Konzentrationserhöhung der Lösung keine Abkürzung der Zeit erzielt, während welcher das Ei in der hypertonischen Lösung bleiben muß. Das unterstützt die Ansicht, daß die hypertonische Lösung nur deshalb günstig wirkt, weil im Ei nach der Membranbildung Stoffe gebildet werden müssen, welche die Entwicklung wieder in die richtigen Bahnen lenken. Dazu ist eine gewisse Zeit erforderlich, die für die Schwellenkonzentration höher ist als für die optimale Konzentration, die aber, wenn die letztere einmal erreicht ist, durch weitere Konzentrationserhöhung nicht verringert werden kann.

Die zweite hier behandelte Frage ergab den Nachweis,

daß isosmotische Lösungen für die Eizelle im allgemeinen nicht isotonisch sind. Der Umstand, daß die optimale Konzentration so scharf bestimmt ist, ermöglicht es, die gleich stark wasserentziehenden Konzentrationen verschiedener Lösungen zu bestimmen. Die Abweichungen der Isotonie von den berechneten Werten lassen sich leicht verstehen, wenn wir annehmen, daß das Ei für die Salze resp. Ionen des Seewassers durchgängig ist, daß aber die Salze erheblich langsamer durch das Protoplasma diffundieren als Wasser und daß erhebliche Unterschiede in der Diffusionsgeschwindigkeit verschiedener gelöster Stoffe bestehen. Nach zunehmender Geschwindigkeit geordnet ist die Reihenfolge der Diffusionsgeschwindigkeiten für das Seeigeelei: Rohrzucker, Traubenzucker, CaCl_2 , MgCl_2 , LiCl , Glycerin, NaCl , KCl , Harnstoff, wobei Rohrzucker der am langsamsten diffundierende Stoff ist.

Hämolytische Versuche.

Von

Svante Arrhenius.

Bei den experimentellen Untersuchungen in der Immunchemie nehmen die Versuche über die hämolytische Wirkung verschiedener Agenzien eine hervorragende Stellung ein. Dies hängt von zwei Umständen ab; teils lassen die betreffenden Versuche sich außerhalb des Tierkörpers in Versuchsgläschen mit relativ leicht zu beschaffendem Material anstellen, teils erlauben diese Versuche durch einfache colorimetrische Messungen die Ausführung von relativ genauen quantitativen Bestimmungen. Da noch sehr viele Fragen auf diesem Gebiete kaum angerührt sind und in recht einfacher Weise experimentell beleuchtet werden konnten, habe ich eine Anzahl von hämolytischen Versuchen zur Aufklärung einiger dieser Fragen im Institut von Dr. Madsen mit den da zugänglichen guten Hilfsmitteln im Sommer 1907 angestellt. Über die hauptsächlichsten Ergebnisse dieser Versuche will ich im folgenden Bericht erstatten.¹⁾

Das Versuchsmaterial war Pferdeblut. Aus diesem wurden die roten Blutkörperchen durch Zentrifugieren und zweimaliges Waschen mit 0,9%iger Kochsalzlösung abgeschieden und danach meistens in 1%iger Aufschwemmung in Salzlösung von der genannten Konzentration verwendet. Die Messungen betreffen wie gewöhnlich den Grad der Hämolyse, der in Prozent ausgedrückt ist, so daß totale Hämolyse durch 100 bezeichnet wird. Dabei wurden 7,5 ccm der Blutemulsion bei jedem Versuch benutzt.

Erst wurden einige Versuche über die gleichzeitige Ein-

¹⁾ Eine ausführlichere Mitteilung über diese Versuche liegt in: Meddelanden fr. K. Vetenskapsakademiens Nobelinstitut (Stockholm) 1, Nr. 10, 1908 vor.

wirkung von mehreren hämolytischen Agenzien, die nicht in merklichem Grade chemisch aufeinander einwirken, angestellt. Drei Lösungen von Natronlauge (0,02 norm.), Saponin (0,05%) und Ammoniak (0,04 norm.) wurden dargestellt. Es wurde festgestellt, daß bei Hervorbringung von etwa 20%iger Hämolyse die NaOH-Lösung 0,8 mal, die Saponinlösung 0,6 mal so stark wirkte wie die NH_3 -Lösung. Verschiedene Mengen von zwei der Lösungen wurden gemischt und die hämolytische Wirkung der Mischungen ermittelt. Als Beispiel möge ein Versuch angeführt werden. 0,15 ccm der Saponinlösung und 0,07 ccm der Ammoniaklösung wurden zu 7,5 ccm der Blutemulsion gesetzt. Der Grad der Hämolyse war 25. Da 0,15 ccm der Saponinlösung mit 0,09 ccm der Ammoniaklösung äquivalent sind, so könnte man mit dem erzielten Effekt denjenigen von $0,09 + 0,07 = 0,16$ ccm Ammoniak vergleichen. Dieser ist 28%ige Hämolyse, stimmt also ganz gut mit dem gefundenen überein. Im allgemeinen stimmt diese Berechnungsweise recht gut mit den Versuchsergebnissen überein, und jedenfalls viel besser als eine andere, wobei man annimmt, daß die Wirkung gleich der Summe der Einzelwirkungen der beiden Agenzien, jedes für sich genommen, wäre — diese Summe entspricht im vorliegenden Fall 11%iger Hämolyse.

Hämolyse durch Säuren. Während bei der Einwirkung von Basen und den meisten gewöhnlichen hämolytischen Agenzien, wie Saponin, Solanin, Tetanolysin und anderen Lysinen bakteriellen oder tierischen Ursprungs die hämolytische Blutemulsion schön blutfarben ist und der Grad der Hämolyse stetig mit der Menge des einwirkenden Körpers steigt, findet ein ganz anderes Verhalten bei der Einwirkung der Säuren statt, wie folgende Versuchsdaten betreffs der Einwirkung von den angegebenen Mengen von 0,04 normaler Essigsäure und 0,04 normalem Chlorwasserstoff andeuten. Die Zeit der Einwirkung war recht lang, 21 Stunden bei 37° C.

Essigsäure 0,04 normal.

Zusatz ccm	0,5	0,4	0,3	0,25	0,2	0,15
Grad der Hämolyse	100	77	14	18	26	12
Farbe	schwarz- braun	dunkel- braun	mittel- braun	hell- braun	rötlich	rötlich

Die zwei ersten Versuche geben eine starke Flockung von

ausgefällten Eiweißkörpern, bei den zwei mittleren Versuchen trat sehr deutliche, bei den zwei letzten eine unbedeutende Agglutination der zum Boden gesetzten Blutkörperchen hervor.

Chlorwasserstoff 0,04 normal.

Zusatz ccm	0,5	0,4	0,3	0,25	0,2	0,15
Grad der Hämolyse	100	100	60	27	48	52
Farbe	schwarzbraun		mittel- braun	gelb- braun	rötlich	

In allen diesen Versuchen trat Flockenbildung — sehr stark in den ersten, schwächer in den letzten — hervor. Die Agglutination machte sich im vierten Versuch besonders geltend, weniger in den beiden letzten.

Auffallend ist in diesen beiden Versuchsreihen das Minimum der Wirkung bei einem Zusatz von 0,25 bis 0,3 ccm, wonach ein Maximum bei noch geringeren Zusätzen folgt. Zum Vergleich mögen folgende Versuche mit 0,02 normaler Natronlauge dienen.

Natronlauge 0,02 normal.

Zusatz ccm	0,3	0,2	0,15	0,1	0,07	0,05
Grad der Hämolyse	100	87	57	34	16	13
Farbe	Alle Versuche geben schöne blutrote Farbe.					

Bei den Säuren tritt offenbar ein doppelter Effekt ein. Bei großen Zusätzen von Säure werden die Eiweißstoffe der Blutkörperchen heftig koaguliert mit darauf folgender Bildung von Eiweißflocken oder, wenn der Säurezusatz nicht so heftig wirkt, Agglutination. Die koagulierte Hülle der agglutinierten Blutkörperchen verhindert das Hinaustreten des Blutfarbstoffs (oder das Hineindringen der Wasserstoffionen). Bei starker Agglutination tritt deshalb die Hämolyse zurück und zeigt ein Minimum, sie nimmt wieder zu, wenn die Agglutination bei geringerem Zusatz wieder abnimmt. Natürlicherweise muß dann ein Maximum des Hämolysegrades zum Vorschein kommen, denn mit abnehmender Säuremenge muß zuletzt die Hämolyse auf Null sinken.

Ein ähnliches doppeltes Verhalten zeigt Quecksilberchlorid, wie aus den Beobachtungen von Hans Sachs¹⁾ und V. O. Gros²⁾

¹⁾ H. Sachs, Münch. med. Wochenschr. 1902, Nr. 5; vgl. Arrhenius, Immunochemie, S. 158.

²⁾ V. O. Gros, Arch. f. experim. Pathol. u. Pharmacol. 57, 73, 1907.

hervorgeht. Bei starkem Zusatz zeigt sich eine heftige Agglutination, welche die Hämolyse verhindert, bei mäßigem Zusatz tritt etwas Hämolyse neben der Agglutination ein, bei schwächerem Zusatz steigt die Hämolyse, bis sie vollständig wird, um nachher bei sehr geringen und abnehmenden Zusätzen gegen Null zu sinken.

Die Wirkung der Essigsäure ist etwas geringer als diejenige der Chlorwasserstoffsäure. Durch Zusatz von Acetaten kann die Wirkung der Essigsäure noch erheblich erniedrigt werden, ungefähr wie diejenige von Ammoniak durch Zusatz von Ammoniumsalzen.

Hämolyse von wechselnden Blutmengen. Wenn die Menge der aufgeschwemmten roten Blutkörperchen in einer gegebenen Menge Flüssigkeit zunimmt, so wächst auch damit die zur Erreichung eines bestimmten Grades der Hämolyse nötige Menge von hämolytischer Substanz. Als Beispiel können wir die Saponinmengen (y) anführen, welche zur vollständigen Hämolyse von 7,5 ccm einer Blutkörperchenemulsion nötig waren, deren Prozentgehalt (x) zwischen 0,1 und 5 wechselte. Diese Menge wird durch folgende kleine Tabelle gegeben:

$x = 0,1$	$0,3$	$0,8$	2	5%	Blutkörperchen,
$y = 2,0$	$2,5$	$3,5$	6	9	ccm von $0,05\%$ iger
					Saponinlösung,
$y_{\text{ber}} = 2x + 1,8 = 2,0$	$2,4$	$3,4$	$5,8$	$10,8$	

Die totale Menge der Flüssigkeit war 8 ccm. Die zugesetzte Saponinmenge ist der Bequemlichkeit halber in derselben Einheit (1 ccm von $0,05\%$ iger Lösung) ausgedrückt. Die Menge y wächst mit x , aber nicht dieser Quantität proportional. Dagegen findet man, daß y innerhalb der Versuchsfehler als eine lineare Funktion $y = a + bx$ dargestellt werden kann — im vorliegenden Falle ist $a = 1,8$, $b = 2$. Eine sehr große Anzahl von solchen Versuchen wurde mit Ammoniak, Natronlauge, Essigsäure und Saponin ausgeführt, wobei auch andere Graden der Hämolyse als die vollständige zu den Bestimmungen benutzt wurden. Das angegebene Verhältnis, daß die hämolyisierende Menge als eine lineare Funktion der Blutkonzentration dargestellt werden kann, zeigte sich überall zutreffend.

Es ist nicht schwer, das genannte Verhalten zu deuten. Bei 50% iger Hämolyse z. B. sind die Blutkörperchen in einer

bestimmten Weise von dem hämolytischen Körper angegriffen, d. h. sie enthalten eine bestimmte Menge Saponin pro Kubikzentimeter der Blutkörperchen. Nimmt die Menge der Blutkörperchen auf das Doppelte zu, so steigt die in ihnen aufgenommene Menge des Saponins in demselben Verhältnis. Diese Menge, die y_1 genannt werden möge, kann folglich als $y_1 = kx$ dargestellt werden. Der Saponingehalt der Blutkörperchen steht in einem bestimmten Verhältnis zum Saponingehalt der umgebenden Flüssigkeit. Folglich, da in allen den betrachteten Fällen (bei 50%iger Hämolyse) die Konzentration des Saponins in den Blutkörperchen dieselbe ist, muß auch eine ganz bestimmte andere Konzentration (l) der umgebenden Flüssigkeit, deren Menge $\left(8 - \frac{7,5x}{100}\right)$ ccm ist,¹⁾ in allen diesen Fällen herrschen. Die darin befindliche Saponinmenge sei y_2 , so ist nach dem eben Gesagten $y_2 = l\left(8 - \frac{7,5x}{100}\right)$. Die Totalmenge des Saponins beim Versuch ist demnach:

$$y = y_2 + y_1 = l\left(8 - \frac{7,5x}{100}\right) + kx = a + bx.$$

Aus diesen Versuchen kann man offenbar berechnen, wie die Konzentration, k , des Saponins in den Blutkörperchen mit derjenigen, l , in der umgebenden Flüssigkeit zunimmt. Man findet, daß die beiden Konzentrationen einander nahezu proportional wachsen, und zwar ist die Konzentration des Saponins in den Blutkörperchen etwa 120mal größer als in der umgebenden Flüssigkeit. Noch größere Zahlen findet man für die anderen hämolytischen Körper, nämlich: für Ammoniak 880, für Natronlauge 780 und für Essigsäure 590.

Aus diesen Daten ersieht man, wie unerhört kräftig die hämolytischen Gifte von den Blutkörperchen aufgenommen werden. Dieser Umstand ist von großer Bedeutung für das Verständnis der Wirkung der Antitoxine auf die hämolytischen Gifte. In diesem Falle herrscht nämlich ein Gleichgewichtsverhältnis zwischen Toxin und Antitoxin auf der einen Seite und deren Umwandlungsprodukte auf der anderen. Da das

¹⁾ Das Volumen der Blutemulsion ist 7,5 ccm, dasjenige der Zusätze 0,5 ccm, also zusammen 8 ccm.

Gift von den Blutkörperchen zum größten Teil aufgenommen wird, wird das ausschlaggebende Gleichgewichtsverhältnis sich in den Blutkörperchen ausbilden. Die Antitoxine gegen die Lysine werden folglich ebenfalls von den Blutkörperchen in sehr hohem Grade aufgenommen. Es gilt also hier ungefähr dasselbe wie für die Reaktion zwischen Immunkörper und Alexin, welche, wie ich früher zu zeigen versucht habe,¹⁾ sich im Innern der Erythrozyten vollzieht.

Die Einwirkung von Lecithin. Es ist in vielen Fällen gefunden worden, daß die hämolytische Wirkung von einigen Körpern durch die Anwesenheit von Lecithin begünstigt wird. Am bekanntesten ist wohl die durch Kyes²⁾ näher untersuchte hämolytische Wirkung des Cobragiftes, welche in außerordentlich hohem Grade durch Zusatz von Lecithin verstärkt wird. Dabei hat das Lecithin selbst eine hämolytische Wirkung, welche jedoch durch Verdünnung sehr unbedeutend gemacht werden kann, so daß sie die Beobachtungsergebnisse nicht in nennenswertem Grade stört.

Diese Einwirkung des Lecithins tritt bei der Hämolyse durch Säuren sehr stark hervor.³⁾ Als Beispiel mögen folgende Daten für Chlorwasserstoff und Essigsäure dienen. Einige Versuche sind mit gewöhnlichen Blutkörperchen in 1%iger Aufschwemmung ausgeführt — sie sind unten mit norm. Bl. bezeichnet. Andere wurden mit einer 1%igen Aufschwemmung von Blutkörperchen ausgeführt, zu welcher pro Liter 7,5 ccm einer 1%igen Lecithinemulsion 2 $\frac{1}{2}$ Stunden vor dem Versuch gesetzt worden waren — sie sind unten mit Lec.-Bl. bezeichnet. H.-Gr. gibt den Grad der Hämolyse an. Die Versuchsmischungen standen während einer Stunde bei 37° C und wurden nachher kalt gestellt.

Chlorwasserstoff (0,04 normal).

Zusatz ccm . .	0,4	0,3	0,25	0,2	0,1	0,05	0
H.-Gr. norm. Bl.	100	60	12	4	0	0	0
H.-Gr. Lec.-Bl.	100	100	100	100	75	20	5

¹⁾ Arrhenius, Immunochemie S. 151.

²⁾ P. Kyes, Berl. klin. Wochenschr. 1903, Nr. 42 u. 43.

³⁾ Landsteiner und Jagić beschreiben Hämolyse durch Kieselsäure bei Anwesenheit von Lecithin. Wien. klin. Wochenschr. 1904, Nr. 3; Münch. med. Wochenschr. 1904, Nr. 27.

Essigsäure (0,04 normal).

Zusatz ccm . .	0,4	0,3	0,25	0,2	0,1	0,05	0
H.-Gr. norm. Bl.	35	10	4	2	0	0	0
H.-Gr. Lec.-Bl.	100	100	100	100	75	15	5

Die Einwirkung des Lecithins allein wird durch die Ziffer 5 dargestellt, sie kann in erster Annäherung vernachlässigt werden. Wie aus diesen Daten ersichtlich, wirkt 0,1 ccm der Säuren nach Lecithinzusatz ungefähr ebenso kräftig hämolytisch wie 0,4 ccm ohne Zusatz von Lecithin.

Die Hämolyse durch Säuren bei Lecithinzusatz hat denselben Charakter wie die von Basen hervorgerufene, die hämolytierte Flüssigkeit ist blutrot und nicht braun, die Koagulation und Agglutination treten stark zurück.

Die Ursache der Lecithinwirkung ist aus Versuchen ersichtlich, bei welchen das Lecithin verschieden lange Zeit auf die Blutkörperchen eingewirkt hatte, bevor die Säure zugesetzt wurde. War diese Zeit Null, d. h. wurden Säure (0,2 ccm 0,04 norm. HCl oder Essigsäure) und Lecithin unmittelbar nacheinander zu den 7,5 ccm der 1 % igen Blutemulsion zugesetzt, war der Grad der Hämolyse 4, wurde das Lecithin 16,5 bzw. 33 Minuten vor der Säure (bei Zimmertemperatur) zugesetzt, stieg der Grad der Hämolyse auf 12 bzw. 30 Prozent. Das Lecithin sensibilisiert offenbar allmählich die Blutkörperchen in bezug auf die hämolytische Wirkung der Säuren, dagegen nicht in bezug auf ihre koagulierende oder agglutinierende Eigenschaft.

Auf die hämolytische Wirkung der Alkalien hat das Lecithin keinen merklichen Einfluß. Dagegen setzt es die Wirkung des Saponins recht stark herab, wie folgende Daten (Mittel aus zwei Versuchsreihen) ergeben. Das Lecithin hatte, wie bei den Säuren, 2 $\frac{1}{2}$ Stunden bei 20° C auf das Blut eingewirkt.

Saponin 0,05 % ige Lösung.

Zusatz ccm	0,3	0,2	0,15	0	0
H.-Gr. norm. Bl.	100	42	9	3	0
H.-Gr. Lec.-Bl.	33	14	9	6	5

Da das Lecithin sowohl als Sensibilisator wie in entgegengesetzter Richtung wirken kann, läßt sich dies am einfachsten so deuten, daß man annimmt, daß es auf die Löslichkeitsverhältnisse einwirkt. Der Eintritt der Säuren in die Blutkörperchen wird vermutlich beschleunigt, so daß die Hämolyse

stattfinden kann, bevor die Koagulation zu stark vorgeschritten ist. Dagegen verlangsamt das Lecithin den Eintritt des Saponins in die Blutkörperchen oder vermindert seine Löslichkeit darin.

Auch sehr schwache Säuren, wie Borsäure, die kaum merklich oder sehr schwach hämolytisch wirken, werden nach Lecithinzusatz sehr deutlich hämolytisch wirksam.

Sensibilisierende Wirkung von Alkoholen und Äthyläther sowie Seifen.

Das es als wahrscheinlich erschien, daß die Wirkung des Lecithins auf den Löslichkeitsverhältnissen beruht, so lag es nahe, zu prüfen, ob nicht andere Körper, welche die Löslichkeit beeinflussen könnten, eine der des Lecithins ähnliche Wirkung ausüben könnten. Ich versuchte zu diesem Zwecke Methyl- und Äthylalkohol, die in 10%igen Lösungen verwendet wurden, und eine 6,5%ige Äthylätherlösung. Zuerst wurde eine „Lecithinblutprobe“ (7,5 ccm 1%ige Aufschwemmung) mit 0,3 ccm einer 0,01%igen Emulsion von Cobragift untersucht und gab folgende Resultate nach einstündiger Einwirkung bei 37° C:

Zusatz von 10%igem Äthylalkohol ccm	1	0,4	0,15	0,05	0
Grad der Hämolyse	100	37	25	20	18
Zusatz von 10%igem Methylalkohol ccm	1	0,4	0,15	0,05	0
Grad der Hämolyse	100	40	30	20	18
Zusatz von 6,5%igem Äthyläther ccm		0,5	0,17	0,05	0
Grad der Hämolyse		100	50	30	18

Am kräftigsten wirkt der Äther, welcher die größte Lösungsfähigkeit für Fette besitzt. Die Alkohole sind ungefähr gleich kräftig in ihrer Wirkung, die etwa vier- bis fünfmal geringer als diejenige des Äthers ist. Die Wirkung des Saponins wird durch diese Körper merklich erniedrigt.

Bekanntlich hat Noguchi gezeigt, daß Natriumoleat ebenso wie Lecithin auf die Blutkörperchen einwirkt, wenn diese von Cobragift angegriffen werden.

Ebenso wie für das Lecithin wurde es erwiesen, daß die Wirkung mit der Berührungszeit von Blut und Natriumoleatlösung vor dem Zusatz des Cobragiftes zunimmt. Folgende Resultate wurden bei Zusatz von 0,15 ccm einer 1%igen Oleatlösung und 0,4 ccm 0,01%iges Cobragift, erhalten.

¹⁾ Hideyo Noguchi, Journ. of experimental medicine 9, 449, 1907.

Wirkungszeit des Oleats in Minuten	0	6	22	68
Grad der Hämolyse	25	30	70	100

Eine ähnliche Wirkung, die aber etwa 10mal schwächer war, wurde mit einer Lösung von gewöhnlicher Seife nachgewiesen.

Um die Wirkung des Natriumoleats mit derjenigen von Lecithin zu vergleichen, habe ich verschiedene Mengen von einer 0,02%igen Oleatlösung und einer 0,01%igen Cobragiftlösung gemischt und 7,5 ccm einer 1%igen Blutemulsion zugesetzt, die nachher während einer Stunde auf 37° C gehalten wurde.¹⁾ Das Resultat war folgendes (bez. des Grades der Hämolyse):

→				
Na-Oleat ccm	1,5	1,1	0,8	0,6
↓ Cobragift ccm				
0,5	100	50	20	8
0,4	90	32	18	10
0,3	75	20	12	9
0,2	40	20	8	—
0,1	27	10	8	—
0	25	8	5	2

Ähnliche Versuche wurden mit einer 0,05%igen Saponinlösung mit folgendem Resultat ausgeführt.

→				
Na-Oleat, ccm	0,4	0,2	0,1	0
↓ Saponin ccm				
0,25	50	70	100	100
0,2	35	40	50	50
0,15	15	12	18	18
0	2	0	0	0

Die Wirkung ist nicht besonders kräftig, aber deutlich schwächend, ganz wie beim Lecithin.

Noguchi hat (l. c.) gefunden, daß Chlorcalcium die Wirkung des Oleates auf Cobragift stark herabsetzt. Da er das Oleat, nach der Auffassung der Frankfurter Schule bezüglich der Wirkung des Lecithins, als ein Komplement bezeichnet, so folgt daraus, daß er Calciumchlorid als „a powerful anticomple-

¹⁾ Vgl. Arrhenius, Immunochemie S. 156. Bei den alten Versuchen ließ man das Cobragift und das Lecithin eine halbe Stunde aufeinander vor dem Zusatz des Blutes einwirken, weil man eine Verbindung zwischen Gift und Lecithin annahm.

mentary haemolytic substance“ kennzeichnen muß. Offenbar beruht die Wirkung des Calciumsalzes auf einer Ausfällung der Oleationen als schwerlösliches Calciumoleat. Ich habe die Wirkung des Calciumsalzes (in 0,1 äqu.-norm. Lösung) auf die Hämolyse durch Natriumoleat (0,1 % ige Lösung, Zusatz 0,5 ccm) untersucht. Ich fand folgende Daten:

Zusatz von 0,1 norm. CaCl_2 ccm	0	0,1	0,2	0,3	0,4	0,5
Grad der Hämolyse	100	71	36	24	16	9

Die Natriumoleatmenge ist mit etwa 0,05 ccm der normalen CaCl_2 -Lösung äquivalent. Die Einwirkung ist demnach eine ganz deutliche Massenwirkung. Der größte angewandte Zusatz erniedrigt die Wirkung des Oleats, so daß sie ungefähr gleich derjenigen der halben Menge (0,25 ccm) ausfällt.

Ähnliche Versuche mit ähnlichem Erfolg habe ich mit gewöhnlicher Seifenlösung ausgeführt. Da auch andere Salze, z. B. das Bariumsalz der Oel-Säure, schwerlöslich sind, habe ich Versuche mit Chlorbarium ausgeführt. Es wirkt etwas schwächer als das Calciumsalz. Dagegen fand ich keine merkliche Einwirkung des Magnesiumchlorids.¹⁾

Schluß. Nach dem oben Gesagten kann es wohl kaum zweifelhaft erscheinen, daß die Wirkung des Lecithins bei Säuren auf einer erhöhten Löslichkeit beruht — beim Saponin ist die Wirkung umgekehrt. Bei der Berechnung meiner Versuche über gleichzeitige Wirkung von Cobragift und Lecithin fand ich auch im Gegensatz zu den Verhältnissen bei der Bildung von zusammengesetzten Hämolysinen aus Immunkörpern und Alexinen — daß kein Verschwinden des Lecithins oder des Cobragiftes bei dem Entstehen in sehr verdünnter wässriger Lösung der hypothetischen Verbindung von diesen beiden Körpern — dem sog. Cobralecithid — wahrzunehmen ist. Da aber die vornehmsten Autoritäten auf diesem Gebiet die Lecithinwirkung als zweifellos auf einer Bindung des Cobragiftes beruhend darstellten, habe ich damals die Sache als unentschieden hingestellt.²⁾ Jetzt ist diese Stellung aber unhaltbar. Es muß wohl auch hervorgehoben werden, daß die Neutralisation des von Kyes dar-

¹⁾ Inzwischen hat Noguchi (l. o. S. 340—347) ein ähnliches „antikomplementäres“ Verhalten von BaCl_2 bei der Einwirkung von Cobragift und Natriumoleat auf Blutkörperchen nachgewiesen.

²⁾ Arrhenius, Immunochemie S. 156 und 159.

gestellten Cobralecithids durch sein Antitoxin durch eine ganz andere Kurve dargestellt wird als diejenige nach welcher die Neutralisation von Cobragift durch sein Antitoxin bei Anwesenheit von Lecithin verläuft. Die Gleichgewichtskonstanten der beiden Verbindungen sind etwa 0,25 und 0,0014.¹⁾ Zwar ist es nicht ganz undenkbar, daß der Tierkörper anders reagiert gegen Cobragift bei Anwesenheit von Lecithin als bei Abwesenheit desselben — nach der Darstellungsweise von Ehrlich kann man sich aber diese Tatsache schwer zurechtlegen. Es möge auch hervorgehoben werden, daß Lecithin häufig in dem Blut der injizierten Tiere vorkommt.

Auch für die Wirkung eines „antikomplementären“ Körpers, nämlich Chlorcalcium, haben wir eine sehr einfache und durchsichtige Erklärung gefunden, indem dieser Körper mit dem „Komplement“ Natriumoleat eine schwerlösliche Verbindung eingeht.

¹⁾ Vgl. Arrhenius, Immunochemie, S. 138 und 141.

Über die Diffusion von Kolloiden. II

Von

R. O. Herzog und H. Kasarnowski.

(Aus dem Chemischen Institut der Technischen Hochschule in Karlsruhe.)

Vor einiger Zeit¹⁾ wurde über Diffusionsversuche mit kolloidalen Lösungen berichtet, deren weitere Ergebnisse hier mitgeteilt werden sollen.²⁾

1. In erster Linie war gezeigt worden, daß die Diffusionskoeffizienten der untersuchten Proteine Ovalbumin, Ovomukoid, Clupeinsulfat sowie der Fermente Pepsin, Lab, Invertin, Emulsin, Trypsin-Pankreatin der Messung zugängliche physikalische Konstanten der Stoffe darstellen. Als unsicher waren nur die Werte für Clupeinsulfat und Trypsin-Pankreatin bezeichnet worden.

Die Wiederholung der fraglichen Versuche hat nun zunächst für Clupeinsulfat³⁾ mit Sicherheit gezeigt, daß in dem untersuchten Präparat ein Gemisch ähnlicher Stoffe vorlag, die sich einzeln nebeneinander nicht quantitativ bestimmen ließen. Die Analyse wurde für das Stoffgemisch durch Polarisation, N-Bestimmung nach Kjeldahl und Sulfatbestimmung vorgenommen: jedesmal wurden andere Resultate für die Verteilung erzielt. Die Werte waren für die einzelnen Diffusionsschichten:⁴⁾

¹⁾ Hauptvers. d. Deutschen Bunsenges. zu Hamburg 1907. Zeitschr. f. Elektrochem. 1907, 538. Vgl. auch Zeitschr. f. Chem. u. Ind. d. Koll. 1.

²⁾ Die Versuche werden fortgesetzt.

³⁾ In der ersten Mitteilung hatten wir den damaligen Versuch „mit allem Vorbehalt“ und „nur wegen der schweren Erreichbarkeit der Substanz“ reproduziert.

⁴⁾ Auf die genaue Reproduktion der Zahlen, die ohne eingehende Beschreibung der Versuche zwecklos wäre, sei verzichtet, da ihre absoluten Werte für die hier mitgeteilten Ergebnisse keine Bedeutung haben.

Polarisation:	N-Bestimmung:	Sulfatbestimmung:
55,9	51,0	51,8
31,6	29,0	31,0
9,3	14,9	12,6
<u>3,2</u>	<u>5,1</u>	<u>3,7</u>
100	100	100

Man erhielt also — abgesehen davon, daß auch die Verteilung in den Diffusionschichten nicht gesetzmäßig war — dasselbe Ergebnis, das wir auch für ein Glykogenpräparat durch Polarisation vor und nach der Inversion gefunden haben.

Von besonderem Interesse war die weitere Untersuchung der „Trypsin“-Präparate. Die ersten Versuche hatten bereits gänzlich verschiedene Werte für Trypsin-Grübler und Pankreatin-Rhenania ergeben; die Deutung, daß hier gemäß den Erfahrungen E. Fischers und E. Abderhaldens¹⁾ ein nach Herkunft verschiedenartiges Fermentgemisch vorliege, wurde auch bereits gegeben. Die Fortsetzung unserer Versuche mit Trypsin-Grübler, Trypsin-Merck und Pankreatin-Rhenania brachte den sicheren Beleg für unsere Annahme. So erhielten wir als K-Werte²⁾ (die für eine einheitliche Substanz in jedem Versuch konstant sein müssen):

Trypsin-Grübler:

54 Tage, 16° C.	40,1 Tage, 12,9° C.
0,137	0,058
—	0,045
0,099	0,056
0,108	0,097

Trypsin-Merck:

40,1 Tage, 12,9° C.
0,062
0,039
0,070
0,082

Übrigens wird die Dissertation Herrn Kasarnowskis alle Daten enthalten.

¹⁾ Zeitschr. f. physiol. Chem. 46, 52, 1902.

²⁾ Vgl. die erste Mitteilung l. c.

Pankreatin-Rhenania:

40,1 Tage, 12,9° C.	68 Tage, 7,75° C.
0,054	0,047
0,034	—
0,060	0,050
0,094	—

Man sieht, daß die K-Werte, die zu einem Präparat gehören, nicht nur nicht konstant sind, sondern auch bei verschiedenen Versuchen einen ähnlichen „Gang“ zeigen und daß das Präparat Trypsin-Merck der Zusammensetzung nach Ähnlichkeit mit Pankreatin-Rhenania aufweist.

Jedenfalls geht aus den Versuchen hervor, daß man mit Hilfe der Diffusionsbestimmung erstens erkennen kann, ob ein Gemisch ähnlicher Stoffe mit ähnlichen Diffusionskoeffizienten (also wohl auch ähnlichem Molekulargewicht) vorliegt, und zweitens, ob man es mit einem Gemisch ähnlicher Stoffe mit verschiedenen Diffusionskoeffizienten (also verschiedenem Molekulargewicht) zu tun hat. Der erste Fall liegt wahrscheinlich bei Clupeinsulfat, der zweite bei Trypsin¹⁾ vor. Ein Gemisch von Stoffen gleicher Molekulargröße mit nur je einer charakteristischen Eigenschaft, wie der Fall z. B. bei Pepsin-Lab liegen könnte, läßt sich natürlich nicht als solches erkennen.

2. Bei unseren ersten Versuchen war ein Einfluß der Vorgeschichte des Kolloids sowie ein solcher fremder Stoffe nicht beobachtet worden. Später haben wir ein Invertinpräparat (Merck) gefunden, das im Diffusionsgefäß gegenüber der ursprünglichen Lösung eine starke Einbuße an Wirksamkeit (50%) erlitt, natürlich nicht etwa durch Infektion oder ähnliche Versuchsfehler veranlaßt. Die wahrscheinlichste Erklärung ist wohl, daß die Verdünnung Hysteresis, die Erscheinung des Alterns der Kolloide zur Folge hatte. Da wir bei anderen Versuchen und „hydrophilen“ Kolloiden, die auch zumeist mit konzentrierten Lösungen angestellt waren, solche Erfahrungen noch nicht gemacht haben, wird man wohl in einer Reinigung des Präparates, bei der „Schutzkolloide“ abgetrennt wurden, die

¹⁾ Es ist also wohl hoffnungsvoll, mit der Ultrafiltrationsmethode Bechholds einen Versuch nach dieser Richtung zu unternehmen.

Ursache der beobachteten Erscheinung sehen. Der oben aufgestellte Satz muß also wohl eine Einschränkung erleiden und man wird sagen müssen: Der Diffusionskoeffizient der Kolloide stellt eine physikalische Konstante dar, wenn die Lösung als stabil betrachtet werden kann.

Des weiteren soll hier noch als Ergänzung mitgeteilt sein, daß wir bis jetzt nur bei hydrophilen Kolloiden Diffusion beobachten konnten. Über die negativen Resultate bei kolloidalem Platin ist berichtet worden. Von Interesse ist vielleicht auch ein Versuch mit Berlinerblau. Nach drei Monaten war keine Diffusion wahrzunehmen, nach weiteren sechs Wochen Ausflockung eingetreten. Übrigens konnte bisher auch weder eine genügend stabile Lösung von Casein noch von Oxyhämoglobin erhalten werden.

3. Es ist naheliegend, die festgelegten Diffusionskoeffizienten zur Berechnung des Molekulargewichtes der Stoffe zu verwenden. Dafür, daß man in der Tat berechtigt ist, den osmotischen Druck — nach Nernst — als treibende Kraft der Diffusion auch der kolloidalen Lösungen anzusehen, spricht der beobachtete Temperaturkoeffizient, der dem für Kristalloide ganz nahe liegt.

Die Berechnung des Molekulargewichtes erfolgt wohl am einfachsten nach der Formel

$$M = \frac{59 \cdot 2}{K^2},$$

die aus den Versuchen Thoverts¹⁾ abgeleitet ist. Die Voraussetzung wäre — wenn man z. B. von der kinetischen Theorie Rieckes ausginge, — daß die mittleren Weglängen der Moleküle verschiedener Stoffe in demselben Lösungsmittel nicht wesentlich von einander abwichen, ohne Zweifel eine etwas kühne Annahme besonders bei der extremen Molekulargröße der Kolloide.

Übrigens hat auch Sutherland²⁾ aus dem Stockesschen Satz eine Formel abgeleitet, die etwas höhere Werte ergibt.

Jedenfalls zeigt sich, daß die Größenordnung der mit Hilfe der Diffusionskoeffizienten berechneten Molekulargewichte³⁾ mit

¹⁾ C. R. 133, 1197, 1901; 134, 504, 1902.

²⁾ Philos. Mag. [6], 9, 781, 1906.

³⁾ Freilich weiß man eigentlich nicht, ob man bei den Kolloiden überhaupt das „Molekulargewicht“, wie es im allgemeinen definiert wird, bestimmt oder die mittlere Teilchengröße. Vgl. R. O. Herzog, Zeitschr. f. Chem. und Ind. d. Koll. 1907, 1.

den auf ganz anderen Wegen gewonnenen Werten übereinstimmt. Man hat also die Möglichkeit, sich mit Hilfe der Diffusion über das Molekulargewicht z. B. von Fermenten zu orientieren, wie sich Arrhenius¹⁾ bereits dieser Methode bedient hat, um über die Molekulargröße der Toxine und Antitoxine Aufschlüsse zu gewinnen.

Es ergeben sich die folgenden Molekulargewichte:

Ovalbumin:	17 000
Ovomukoid:	30 000
Pepsin = Lab:	13 000
Invertin:	54 000
Emulsin:	45 000

Zusammenfassung.

1. Es wird gezeigt, wie mit Hilfe der Diffusionsbestimmung Gemische ähnlicher Stoffe als solche erkannt werden können. So ergibt sich, daß Trypsin ein Fermentgemisch darstellt.

2. Der Diffusionskoeffizient der Kolloide erweist sich als physikalische Konstante, solange die Lösung stabil ist.

Diffusion der Suspensionskolloide konnte bisher nicht beobachtet werden.

3. Die mit Hilfe der Diffusionskoeffizienten berechneten Molekulargewichte stimmen der Größenordnung nach mit den auf anderen Wegen gewonnenen Resultaten überein.

¹⁾ Immunochemie 1907, 16.

Ein Beitrag zur Verwendung von citronensaurem Natron im Dienste von Untersuchungen über Phagocytose.

Von

E. Hekma.

(Aus dem Physiologischen Institut der Universität Groningen.)

Citronensaures Natron hat, namentlich in den letzten Jahren, eine vielfache Verwendung gefunden bei Untersuchungen über Phagocytose und bei Blutuntersuchungen überhaupt. Citras natricus ist bekanntlich einer derjenigen Stoffe, die, in gewissen Konzentrationen mit dem Blute gemischt, die Eigenschaft besitzen, das Blut während einer gewissen Zeit flüssig zu erhalten, die Gerinnung hinauszuschieben. Aus dem flüssig erhaltenen Blute lassen sich dann, mittels geeigneter Manipulationen, die Leukocyten sammeln und u. a. für Phagocytenuntersuchungen verwenden.

Es sind namentlich englische Forscher gewesen, die von dem citronensauren Natron zur Gewinnung von Leukocyten bzw. Phagocyten einen ausgiebigen Gebrauch gemacht haben.¹⁾ Wright hat sich früher auch schon darüber geäußert, inwieweit von dem zitronensauren Natron etwa ein schädlicher Einfluß auf das phagocytäre Vermögen der Leukocyten ausgeübt werden könnte. Dieser Forscher gelangt zum Schluß, daß ein für praktische Zwecke in Betracht kommender schädigender Einfluß auf Menschenblutphagocyten erst zur Geltung kommen könne in einer Konzentration von 3⁰/₀. Konzentrationen von 1,5 bis 1⁰/₀ sollen nach Wright auf das phagocytäre Vermögen der Menschen-Leukocyten überhaupt nicht oder kaum nachteilig wirken. Eben in dieser Konzentration ist ja auch das zitronen-

¹⁾ Wright und seine Schüler. Man vergleiche u. a. Wright and Douglas: Proc. Roy. Soc. 72, 357, 1903 und 78, 128, 1904.

saure Natron für gewöhnlich zur Verwendung gekommen. Nichtsdestoweniger hat man doch später schwächere Konzentrationen (0,5% Citronatlösung z. B.) verwendet.¹⁾

Inzwischen hat sich herausgestellt, daß nicht die Leukocyten aus allen Blutsorten sich dem citronensauren Natron in Konzentrationen, wie sie von Wright und anderen gebraucht werden, gegenüber in ähnlicher Weise verhalten, wie es von Wright für Menschenblutzellen konstatiert wurde. Es konnte nämlich festgestellt werden, daß eine 1- bis 2% ige Lösung von citronensaurem Natron in physiologischer NaCl-Lösung gelöst auf das phagocytäre Vermögen von Pferdeblutleukocyten einen bleibenden schädlichen Einfluß ausübt. Indem sich herausgestellt hat, daß das phagocytäre Vermögen von Pferdeblutleukocyten ganz lahmgelegt wird, wenn die Leukocyten in diesem Medium auf ihr phagocytäres Vermögen untersucht werden, konnte weiter konstatiert werden, daß eine Anzahl von Phagocyten unter den Einfluß solcher Lösungen eine bleibende Schädigung erfahren. Es zeigte sich nämlich, daß eine Anzahl von Leukocyten ihr phagocytäres Vermögen eingebüßt hatte, nachdem die Zellen während einer gewissen Zeit in einer 1- bis 2% igen Lösung von citronensaurem Natron in physiologischer Kochsalzlösung verweilt hatten und dann, nach mehrmaligem Auswaschen in eine 0,9% ige NaCl-Lösung, in letzteres Medium auf ihr phagocytäres Vermögen geprüft wurden.²⁾

Die eben erwähnten Untersuchungen wurden angestellt u. a. mit dem Zwecke, zu prüfen, ob man in einer 1- bis 2% igen Lösung von Citras natricus in physiologischer NaCl-Lösung ein geeignetes Mittel erblicken dürfte zur Sammlung von Leukocyten, bzw. Phagocyten, aus Pferdeblut. Es wurde nämlich von uns nicht verkannt, daß die Citratmethode gewisse Vorteile bietet gegenüber der von uns bis jetzt immer befolgte Methode. Bei unseren bis jetzt vorliegenden Untersuchungen über die physiologische Phagocytose wurden immer die Leukocyten bzw. Phagocyten gesammelt aus defibriniertem Pferdeblut mittels fraktionierter Sedimentation, eine Methode

¹⁾ Man vergleiche u. a.: Sauerbeck, Lubarsch-Ostertags Ergebnisse 11, sowie auch J. G. Sleeswijk: Phagocytose en Opsoninen. Doktordissertation, Amsterdam 1908.

²⁾ Hamburger und Hekma, diese Zeitschr. 9, 289, 1908.

von Leukocyten Sammlung, die von Hamburger schon früher ausgearbeitet und verwendet worden ist.¹⁾

Die Vorteile, welche die Citratmethode bietet, sind u. a. folgende:

1. Man bekommt aus einer gewissen Quantität Blut viel mehr Leukocyten, als man erhalten kann aus defibriniertem Blut, weil beim Prozeß der Defibrinierung bekanntlich eine Anzahl von Leukocyten zugrunde gehen.

2. Die roten Blutzellen sinken sich in einem Gemisch von Citrat-NaCl-Lösung und Blut schneller und namentlich vollständiger als in einer Blutzellen-Serum Suspension.

Überläßt man nämlich das Blut-Citrat-NaCl-Gemisch sich selbst während einer gewissen Zeit, dann sammeln sich die roten Blutzellen in einer unteren Schicht, während die Formelemente in der oberen Schicht fast ausschließlich weiße Blutzellen (und Blutplättchen!) sind.

Aus letzter Schicht lassen sich dann die Leukocyten mittels Zentrifugierens schnell und fast rein gewinnen. Aus defibriniertem Pferdeblut erhält man zwar ebenfalls schließlich die Leukocyten mittels fraktionierten Zentrifugierens bzw. Sedimentierens genügend rein (d. h. ohne daß allzuviel rote Zellen vorhanden sind), es nimmt jedoch die Gewinnung der Leukocyten nach dieser Methode ziemlich viel Mühe und namentlich Zeit in Anspruch.

Indem also die Citratmethode prinzipiell zweifellos Vorteile bietet, stehen infolge des Umstandes, daß die Pferdeblutphagocyten von der gebräuchlichen Citratlösung nicht unbedeutend geschädigt werden, einer allgemeinen praktischen Verwendung dieser Methode für phagocytäre Untersuchungen Schwierigkeiten in dem Weg.

Es schien mir, angesichts der Tatsache, daß die Citratmethode im Prinzip gewisse Vorteile bietet und daß diese Methode bei Untersuchungen über die „bakterielle“ Phagocytose eine so ausgedehnte Verwendung findet, der Mühe wert den Einfluß von Citratlösungen auf das phagocytäre Vermögen einer systematischen Untersuchung zu unterwerfen. — Es wurde dabei vor allem das Ziel gestellt, zu prüfen, ob sich eine Citratkonzentration auffinden lassen würde, von welcher einerseits

¹⁾ H. J. Hamburger, Osmot. Druck- und Ionenlehre 1, 401:

das phagocytäre Vermögen der Leukocyten nicht bleibend geschädigt werden würde, während andererseits die Blutgerinnung sich von einer solchen Konzentration genügend lange Zeit hinauschieben lassen würde.

In den folgenden Zeilen wird über solche, mit Erfolg angestellte Versuche, Pferdeblutleukocyten betreffend, berichtet werden.

Es sei vorausgesetzt daß, wo in den folgenden Zeilen von einer Citratlösung die Rede sein wird, immer eine Lösung von citronensaurem Natron in physiologischer Kochsalzlösung gemeint ist. Die Verwendung von reiner Citratlösung (d. h. also ohne daß das Citrat in physiologischer NaCl-Lösung gelöst sein würde) ist für die Sammlung von Leukocyten ungeeignet. Würde man z. B. das Blut auffangen in einer reinen, niedrig konzentrierten Citratlösung, dann würden die Blutzellen, und zwar sowohl, die weißen als die roten Zellen, geschädigt bzw. zerstört werden. Die Zerstörung der roten Blutzelle würde sich bekanntlich anzeigen durch eine auftretende Hämolyse. Die weißen Zellen würden ebenfalls stark geschädigt werden, Es würden die Leukocyten eine Schädigung bzw. Aufhebung ihres phagocetären Vermögens erfahren. Die Grade der Schädigungen, welche das phagocetäre Vermögen der Leukocyten erfährt unter dem Einfluß von Wasserzusatz bzw. Zusatz von niedrig konzentrierten Salzlösungen an der Blutflüssigkeit lassen sich eben sehr schön studieren unter Zuhilfenahme von der physiologischen Phagacytose.¹⁾

Zur Lösung der gestellten Aufgabe wurde an erster Stelle die Minimumkonzentration der Citratlösung bestimmt, von welcher die Gerinnung des Blutes genügend lange Zeit hinausgeschoben wurde, um die Leukocyten in leichter Weise sammeln zu können. Für diesen Zweck wurde eine Serie von Citratlösungen in physiologischem NaCl angefertigt, in welchem 0,2 bis 1% citronsaures Natron vorhanden war. In 50 ccm jeder dieser Lösungen wurden 50 ccm Blut aus der Halsvene eines Pferdes spritzend, aufgefangen. Die Citrat-NaCl-Blutgemische usw. wurden sämtlich an einen kühlen Ort gestellt und von Zeit zu Zeit kontrolliert, ob in den Flüssigkeiten Gerinnung auftrat

¹⁾ Man vergleiche hierzu: Hamburger und Hekma, Quantitative Studien über Phagocytose. I. u. II. Diese Zeitschr. 3, 88, 1907 und 7, 102, 1908.

oder nicht.¹⁾ Das Resultat einer solchen Versuchsreihe findet man in der Tabelle I zusammengestellt.

Tabelle I.

Gemische	Gerinnung
1. 50 ccm Pferdeblut + 50 ccm 0,1% Natriumcitrat in 0,9% NaCl	In kurzer Zeit.
2. 50 ccm Pferdeblut + 50 ccm 0,2% Natriumcitrat in 0,9% NaCl	Nach einigen Stunden.
3. 50 ccm Pferdeblut + 50 ccm 0,3% Natriumcitrat in 0,9% NaCl	Nach einigen Stunden.
4. 50 ccm Pferdeblut + 50 ccm 0,4% Natriumcitrat in 0,9% NaCl	Nach 12 Stunden noch keine Gerinnung, in 24 Stunden Gerinnung.
5-10. 50 ccm Pferdeblut + 50 ccm 0,5% bis 1% Natriumcitrat in 0,9% NaCl	
	Nach 24 Stunden noch keine Gerinnung.

Es stellte sich also heraus, daß eine Citratlösung von 0,4% in NaCl 0,9% mit einem gleichen Teile Blut gemischt, genügte, um das Blut während 12 Stunden flüssig zu erhalten. In dem Gemische, in welchem 0,1 bis 0,3% NaCl-Lösung einer gleichen Menge Blut zugefügt wurde, trat innerhalb 12 Stunden Gerinnung ein. Obwohl auch schon in den Gemischen 2 und 3 (Tab. I) starke Gerinnung, während ein bis mehreren Stunden ausblieb, werde ich diese Mischungen außer Betracht lassen, weil sich bei den mikroskopischen Untersuchungen zeigte, daß schon bald in diesen feine Fädchen aufgetreten waren. Und wo solche feine Fädchen sich finden, macht es Schwierigkeiten, die Leukocyten einzeln zu gewinnen, die Fädchen sind nämlich oft sehr schwer auszuwaschen und sind die Ursache, daß die Leukocyten zusammenballen, was für die später mit den Zellen beabsichtigten Unter-

¹⁾ Es sei hier beiläufig bemerkt, daß man die ersten Spuren des Eintretens der Gerinnung in solchen Citratmischungen mikroskopisch feststellen und verfolgen kann: lange bevor die Gerinnung in dem Maße stattgefunden hat, daß sie ohne weiteres deutlich ist. Man hat zu diesem Zweck bloß von Zeit zu Zeit einen Tropfen aus der obenstehenden weißen Schicht (wie schon hervorgehoben, teilt sich die Pferdeblut-Citrat-NaCl-Mischung bald in eine untere rote, und in eine obere weiße Schicht) auf einen Objektträger zu bringen und unter dem Mikroskop zu besichtigen, Man sieht dann äußerst feine Fädchen als die ersten Anzeichen des Anfangs der Gerinnung.

suchungen, mit Namen für die Zählung der Phagocyten, unerwünscht ist.

In einer 0,4 %igen Citrat-NaCl-Lösung. gemischt mit der gleichen Quantität Blut, bleibt die Bildung solcher Fädchen während mehrerer Stunden aus. Dadurch hat man reichlich Gelegenheit, die obere weiße leukocytenreiche Schicht abzupipettieren, bevor eine Spur von Gerinnung eingetreten ist. Überläßt man diese Mischung länger als 12 Stunden sich selbst, dann tritt schließlich doch Gerinnung ein. Das Citrat hat eben nur die Eigenschaft, der Gerinnung während einer gewissen Zeit vorzubeugen, nach längerem Stehen tritt schließlich doch Gerinnung ein.

Aus der eben erwähnten abgehobenen weißen Suspension lassen sich nun die Leukocyten mittels Zentrifugierens leicht in reinem Zustande sammeln. Man hat nur dafür Sorge zu tragen, daß man jemals kurz zentifugiert, weil sonst zuviel Blutplättchen mit nach dem Boden geschleudert werden. Beim erstmaligen Zentifugieren werden freilich immer eine Anzahl von Blutplättchen zu gleicher Zeit sedimentiert, diese lassen sich jedoch durch nachfolgendes Auswaschen leicht entfernen.

In dem Gemisch von 0,4 % Citras natricus in 0,9 % NaCl mit einem gleichen Teile Blut war also das citronsäure Natron vorhanden in einer Konzentration von 0,2 %.

Es mußte nunmehr des weiteren untersucht werden, in wieweit eine 0,2 %ige Lösung von citronsäurem Natron in physiologischer NaCl-Lösung für das phagocytäre Vermögen von Pferdeblutleukocyten indifferent sein würde.

Um diese Frage zu lösen, wurde erstens das phagocytäre Vermögen solcher Leukocyten untersucht, in dem Medium einer 0,2 % Citratlösung in 0,9 % NaCl selbst.

Und zweitens wurde das nämliche Vermögen geprüft, nachdem die Leukocyten, indem sie während einer gewissen Zeit in einer 0,2 % Citrat-NaCl-Lösung verweilt hatten, mit einer physiologischen Kochsalzlösung mehrmals ausgewaschen und in letzterer Lösung weiterhin belassen worden war.

Zur Kontrolle wurde zu gleicher Zeit auch das phagocytäre Vermögen solcher Leukocyten untersucht, welche von Anfang an mit einer physiologischen Kochsalzlösung versetzt worden waren. Es wurde dafür Sorge getragen, daß in allen drei Fällen

die Leukocyten übrigens unter genau denselben Umständen gebracht wurden, wie ja auch aus den folgenden Zeilen hervorgeht.

Selbstredend dürften für diese Versuche nicht solche Leukocyten verwendet werden, welche aus Citratblut gesammelt worden waren. Die für diese Experimente gebrauchten Leukocyten waren aus defibriniertem Pferdeblut gewonnen und in der gewöhnlichen Weise mittels fraktionierter Sedimentation gesammelt. Es wurde dafür gesorgt, daß für jede Probe die Leukocyten gesammelt wurden aus einer gleichen Menge Blut, bzw. Leukocyten-Serum-Suspension.

Es wurde dann weiter in folgender Weiser experimentiert: Die Leukocyten wurden zusammengebracht mit:

1. Eine 0,2^o/_oige Lösung von citronensaurem Natron in physiologischer Kochsalzlösung (Suspension A).
2. Ebendieselbe Lösung (Suspension B).
3. Eine physiologische Kochsalzlösung (Suspension C).

Alle 3 Suspensionen wurden an einen kühlen Ort gestellt. Nach einer gewissen Zeit (Tabelle II bezieht sich auf eine Probenreihe, in welcher die Suspensionen 17 Stunden aufbewahrt wurden) wurden sämtliche Suspensionen zentrifugiert.

An die Leukocyten aus der Suspension A wurde wie früher eine 0,2^o/_oige Citratlösung in 0,9^o/_o NaCl hinzugefügt.

An die Leukocyten aus der Suspension B wurde anstatt der Citrat-NaCl-Lösung eine physiologische NaCl-Lösung hinzugefügt.

An die Leukocyten aus der Suspension C wurde wie früher eine physiologische NaCl-Lösung hinzugefügt.

Nachdem die Leukocyten mit den zuletzt erwähnten Flüssigkeiten zweimal ausgewaschen worden waren, wurden sie in diesen auf ihr phagocytäres Vermögen untersucht. In der Tabelle II (S. 184) wird eine solche Versuchsserie durchgeführt.

Aus dieser Tabelle geht hervor, daß das phagocytäre Vermögen derjenigen Leukocyten, welche in einer 0,2^o/_oigen citronensauren Natronlösung in 0,9^o/_o NaCl (1) sich befanden, gegenüber dem phagocytären Vermögen der Leukocyten der Kontrollflüssigkeit (3) nicht unbedeutend zurückgeblieben war. Dem entgegen war zwischen dem phagocytären Vermögen der Leukocyten die, nachdem sie während 17 Stunden in einer 0,2^o/_oigen citronen-

Tabelle II.

Die Leukocyten waren während 17 Stunden belassen worden in:	Nach 12 Stunden wurden die Leukocyten in 1, 2 u. 3 ausgewaschen mit und untersucht resp. in:	Kohle enthaltende Leukocyten
1. Eine 0,2%ige citronensaure Natronlösung in 0,9% NaCl	Eine 0,2ige zitronensaure Natronlösung in 0,9% NaCl	$\frac{297}{792} = 37,5\%$
2. Eine 0,2%ige citronensaure Natronlösung in 0,9% NaCl	Eine 0,9%ige NaCl-Lösung.	$\frac{348}{726} = 48\%$
3. Eine 0,9%ige NaCl-Lösung (Kontrolle)	Eine 0,9%ige NaCl-Lösung.	$\frac{344}{700} = 49\%$

sauren Natronlösung in 0,9% NaCl verweilt hatten, ausgewaschen worden waren mit und untersucht in einer 0,9%igen NaCl-Lösung (2), und das phagocytäre Vermögen derjenigen Leukocyten, die von Anfang an in eine 0,9%ige NaCl-Lösung (3) gebracht worden waren, kein Unterschied zu konstatieren.¹⁾ Daraus ergibt sich also, daß das phagocytäre Vermögen einer Anzahl von Leukocyten unter dem Einflusse einer 0,2%igen Citratlösung in physiologischem Kochsalz lahmgelegt wird, daß jedoch die Zellen dieses Vermögen vollständig zurück bekommen, wenn sie in eine physiologischen NaCl-Lösung übergeführt werden.

Es ist mit anderen Worten der schädigende Einfluß einer 0,2%igen Citrat-NaCl-Lösung ein vorübergehender, kein bleibender.

Ich habe dieses Experiment mehrmals wiederholt mit Abänderung der Dauer der Einwirkung der Citratlösung, das Resultat war immer ein ähnliches. Ich kann noch hinzufügen, daß ich die Experimente auch in der Weise variiert angestellt habe, daß das Verhältnis der Blutmenge und der Menge der Citratlösung eine andere war. Dabei hat sich u. a. herausgestellt, daß das Pferdeblut auch schon von niedrigeren Citrat-

¹⁾ Unterschiede von 1% fallen innerhalb der Grenzen der Versuchsfehler.

NaCl-Lösungen als die in Rede stehende flüssig erhalten werden kann, wenn man der Citratlösung nur weniger Blut hinzufügt.

Weil jedoch eine Konzentration von 0,2% Citrat praktisch für alle Fälle genügt, dürfte die Mitteilung von den erwähnten Experimenten überflüssig sein.

Es scheint mir, daß man in dem beschriebenen Verfahren gewissermaßen eine ideale Methode besitzt für die Sammlung von Leukocyten aus Pferdeblut, sei es für Untersuchungen über die „physiologische“ oder die „bakterielle“ Phagocytose oder für andere Zwecke.

Es würde sich zweifellos auch für andere Blutsorten eine ähnliche ideale Methode für die Leukocytensammlung auffinden lassen. Nur müßte die Technik der Methode in einigen Punkten etwas abgeändert werden, weil die Schichtung der Formelemente in anderen Blutsorten bekanntlich nicht so leicht zustande kommt, wie es im Pferdeblut der Fall ist.

Das Hauptresultat dieser Untersuchung läßt sich folgendermaßen zusammenfassen:

1. Das Pferdeblut läßt sich während einer für die Leukocytensammlung genügend langen Zeit flüssig erhalten, wenn das Blut aufgefangen wird in einer gleichen Menge einer 0,4%igen Lösung von citronensaurem Natron in physiologischer Kochsalzlösung, so daß also das Citrat in dem Gemisch in einer Konzentration von 0,2% vorhanden ist.

2. Das phagocytäre Vermögen der Pferdeblutleukocyten bleibt ganz intakt, wenn die Leukocyten, nachdem sie, indem während einer gewissen Zeit eine 0,2%ige Citratkochsalzlösung auf sie eingewirkt hat, in physiologischer Kochsalzlösung ausgewaschen werden und in letzterer Lösung zur Verwendung kommen.

Es ist mir eine Freude, unserm Jubilar, meinem hochverehrten langjährigen Chef, diesen kleinen Beitrag widmen zu dürfen.

Die Abschwächung der Antigene durch Erwärmung. **(Vibriolysin, Tetanolysin, Ziegenserum-Hämolysin.)**

Von

L. W. Famulener und Thorvald Madsen.

Mit 1 Figur im Text.

(Aus Statens Seruminstitut in Kopenhagen.)

Eine der charakteristischen Eigentümlichkeiten der Antigene ist ihre große Empfindlichkeit gegen Erwärmung.

In Lösung verlieren die meisten ihre spezifischen Eigenschaften durch Erwärmung auf Temperaturen zwischen 50° und 80°.

Trotzdem, daß diese Thermolabilität eine der wenigen bisher bekannten positiven Kennzeichen der Antigene ist, ist sie doch bisher niemals rationell untersucht worden.

Bisweilen wird angegeben, daß die Destruktionstemperatur eines Antigens eine gewisse Höhe hat, oder daß ein Antigen durch halbstündige Erwärmung auf eine gewisse Temperatur abgeschwächt wird.

Es ist doch klar, daß es sich hier um eine Reaktionsgeschwindigkeit handelt, indem die Abschwächung eine Funktion der Temperatur und der Zeit ist, und außerdem von einer ganzen Reihe anderer Faktoren abhängig ist.

Wir haben uns vorgenommen, diese Reaktionsgeschwindigkeit in der in der physikalischen Chemie üblichen Weise näher zu untersuchen und haben dazu 3 Hämolysine gewählt, das Vibriolysin, das Tetanolysin und das Ziegenserum, das auf Kaninchenblutkörperchen kräftig auflösend wirkt.¹⁾

¹⁾ Einige von unseren Resultaten sind schon gelegentlich der 72nd Annual Meeting of The British Medical Association, Oxford, Juli 1904 (Discussion on immunity) und in der Dänisch. Biol. Ges. zu Kopenhagen, Mai 1905, veröffentlicht.

Das Vibriolysin ist zuerst von Kraus aufgefunden und in einer Reihe von Abhandlungen¹⁾ näher studiert worden. Unser Präparat ist mittels einer uns von Herrn Prof. Dr. R. Kraus freundlichst überlassenen Kultur von *Vibrio Nasik* dargestellt worden. Als Nährboden diente gewöhnliche Bouillon (500 g Ochsenfleisch, 1000 gr Wasser, 10 g Wittepepton und 5 g NaCl) mit Zusatz von 22—25 ccm Normalnatron pro Liter.

In diesem Substrat produziert der Vb. Nasik nach dreiwöchigem Stehen bei 37° kräftiges Hämolysin. Die Kultur wird dann mit Toluol gründlich geschüttelt und bewahrt bei 2—4° lange Zeit hindurch seine blutlösende Fähigkeit ungeändert.

Die Messung wurde in der im hiesigen Institut üblichen Weise an einer 1% Aufschwemmung von Pferdeblutkörperchen in 1% NaCl-Lösung angestellt. Soll die Wirkung von einer Reihe von Vibriolysinlösungen untereinander verglichen werden, so wird zu jeder eine Reihe Reagensgläser verwendet. In diesen werden abnehmende Mengen Vibriolysinlösung und so viel physiologischer Kochsalzlösung abgemessen, daß das Volumen in allen Röhrchen konstant wird;²⁾ endlich werden mit einer genau kalibrierten Spritze 8 ccm der 1% Pferdeblutaufschwemmung in kräftigem Strahl schnell zugefügt. Die Röhrchen werden sodann energisch durchgeschüttelt und dann alle in ein Wasserbad bei 36—37° gebracht; nach 2½ Stunden ist die Reaktion zwischen Blutkörperchen und Vibriolysin beendet, wonach die Röhrchen nachtsüber bei niedriger Temperatur gehalten werden. Am nächsten Tag, wenn die nicht gelösten Blutkörperchen sich zu Boden gesetzt haben, wird colosimetrisch gemessen, in welchem Grade die verschiedenen Vibriolysinlösungen hämolysierend gewirkt haben.³⁾

Die ersten orientierenden Versuche über die Bedeutung

¹⁾ Kraus, Über Hämolsine und Antihämolsine. Wiener klin. Wochenschrift 1900, 1901. Kraus und Lipschütz. Zeitschr. f. Hygiene, 46, 1904.

²⁾ Es ist praktischer, diese Manipulationen in umgekehrter Reihenfolge auszuführen; erst NaCl-Lösung, dann Vibriolysinlösung.

³⁾ Näheres über die hämolytische Technik s. Madsen, Allgemeines über bakterielle Antigene-Toxine, deren Antikörper antitoxische Eigenschaften aufweisen, in Kraus-Levaditi, Handb. d. Technik u. Methodik d. Immunitätsforschung 1, 57.

der Erwärmung lehrten, daß unterhalb 43—44° keine merkbare Abschwächung hervorgebracht wurde, während schon bei 50° beinahe momentan jeder hämolytische Effekt verloren gegangen war.

Sodann wurde die Abschwächung bei einer Reihe von Temperaturen zwischen 45° und 50° untersucht. Das Verfahren war folgendes:

100 ccm Vibriolysin wurden in einem großen, alkalifreien Reagensglas abgemessen, das mit einem 3mal durchbohrten Stopfen geschlossen war. In der einen Durchbohrung findet sich eine Pipette, deren Spitze in die Flüssigkeit taucht und deren anderes Ende mit einem mittels eines Quetschhahns geschlossenen Gummischlauchs versehen ist. Hierdurch kann man schnell und ohne Fehler (durch Abkühlung und Verdampfung) dem Reagensrohre Proben der Flüssigkeit entnehmen.

In die andere Durchbohrung ist ein Rührer angebracht, wodurch die Temperatur der Flüssigkeit überall gleichartig gehalten werden kann, und in der dritten Öffnung befindet sich ein Beckmannsches Thermometer, dessen Stand bei jeder Probenentnahme abgelesen wird.

Das Reagensglas wird in ein mit Toluolregulator versehenes Wasserbad gestellt; die Temperaturen der zu untersuchenden Flüssigkeit schwanken nicht mehr als $\frac{1}{100}$ Grade.

Wenn das Vibriolysin die Versuchstemperatur erreicht hatte, wurden Proben herausgenommen, die schnell in Eiswasser abgekühlt wurden. Hierdurch wird, wie aus dem Folgenden hervorgeht, die Reaktionsgeschwindigkeit auf einen verschwindend kleinen Betrag herabgesetzt.

Die Proben wurden im Kühlraum (+ 2°) aufgehoben; später wurde dann gleichzeitig die hämolytische Fähigkeit sämtlicher Proben miteinander verglichen.

Als Beispiel sei folgender Versuch bei 48,15° angeführt. Es wurden 8 Proben genommen, die erste kurz nachdem das in der Vibriolysinlösung eingetauchte Thermometer 48,15° zeigte. Dieser Zeitpunkt diente als Ausgangspunkt der Zeit, $t, = 0$. Die folgenden Proben wurden dem Reagensrohr mit 10 Minuten Interval, bis 70 Minuten entnommen. Nach einem Vorversuch wurde der Vergleich von der hämolytischen Fähigkeit dieser Proben in der Weise vorgenommen, daß man für jede Probe

eine Reihe Reagenströhrchen mit Blutaufschwemmung benutzte, wozu die in Tabelle 1 angegebenen Dosen gefügt wurden.¹⁾

Tabelle I.

Schwächung des Vibriolysins bei 48.15°.

Dosis in ccm	0	10	20	30	40	50	60	70 Min.
0,60								○
0,50							>×	
0,40								
0,35								
0,30								□
0,25						≥×	≥○	
0,20							≥□	
0,17						○		
0,15					×	□		
0,13								
0,10			≥×	×	○			
0,08					>×			
0,06				○				
0,05			×					
0,04			○	□				
0,035		≥×						
0,030		○						
0,025			≥□					
0,020	≥×							
0,017		≥□						
0,015								
0,013	≥○							
0,010	□							

Es wurde dann gefunden, daß die hämolytische Wirkung für alle mit × bezeichneten Dosen dieselbe war. In diesen Röhrchen war also die Farbennuance des gelösten Hämoglobins dieselbe. In solchen Fällen, wo diese nicht gleich jener der Röhrchen, aber zwischen zwei solchen gefunden wurde, bestimmte man die entsprechende Dosis durch Schätzung. In ähnlicher Weise wurde ein Vergleich zwischen 2 schwächeren Farbennuancen ○ und □ durchgeführt.

¹⁾ Madsen: l. c.

Tabelle 2.

Zusammenstellung von Tabelle 1.

t (Zeit) Min.	\times (ccm)	Toxicität	\bigcirc (ccm)	Toxicität	\square (ccm)	Toxicität	Mittel von allen Toxicitäten
0	0,0175	57	0,0135	74	0,01	100	100
10	0,034	29	0,03	33	0,016	63	53
20	0,050	20	0,04	25	0,027	37	35
30	0,095	10,5	0,06	16,7	0,04	25	22
40	0,15	6,7	0,10	10	0,09	11,1	12,1
50	0,23	4,4	0,17	5,9	0,15	6,7	7,4
60	0,45	2,2	0,23	4,4	0,19	5,3	5,0
70			0,60	1,7	0,30	3,3	2,7

Die Resultate sind in Tab. 2 zusammengestellt. Die reziproken Werte geben in übersichtlicher Weise die Toxicitäten (die hämolytischen Fähigkeiten) in willkürlichen Einheiten ausgedrückt an.

Aus diesen drei Beobachtungsreihen ist dann eine mittlere Toxicität gebildet, indem die Bestimmung für $t=0$ auf 100 umgerechnet ist.¹⁾

In dieser Weise kann die prozentuale Abschwächung mit der Zeit verfolgt werden.

Diese Reaktionsgeschwindigkeit läßt sich mit guter Annäherung durch die Gleichung $-\frac{dp}{dt} = Kp$ ausdrücken, wo p die Toxicität zur Zeit t ist, und wo die Konstante K die Reaktionsgeschwindigkeit angibt.

In Tabelle 3 sind unter p calc. die nach der erwähnten Gleichung und mit $K=0,0225$ berechneten Werten angegeben.

Tabelle 3.

t (Min.)	p obs.	p calc.
0	100	100
10	53	59,6
20	35	35,7
30	22	21,1
40	12,1	12,6
50	7,4	7,5
60	5,0	4,5
70	2,7	2,7

$$K = 0,0225$$

¹⁾ Ein Mittel aus drei solchen Ablesungen darf selbstverständlich nur dann gebildet werden, wenn, wie hier, Proportionalität zwischen Dosis und

Eine sehr große Anzahl von Versuchen, unter verschiedenen Verhältnissen ausgeführt, zeigte, daß die Abschwächung des Vibriolysins durch Erwärmen immer diesem Gesetze folgte. Die Abweichungen waren niemals über 25%; sie waren durchschnittlich zwischen 6% und 7%.

Diese Gleichung ist dieselbe, die für die sog. monomolekularen Reaktionen charakteristisch ist, wo nur ein Molekül reagiert, oder wo — wie bei der Rohrzuckerinversion, wo der Rohrzucker unter Aufnahme von Wasser in Lävulose und Dextrose gespalten wird — das eine reagierende Molekül, das Wasserstoffion, so schnell zurückgebildet wird, daß seine Konzentration als unabhängig vom Fortschritt der Reaktion angesehen werden kann.

Es ist selbstverständlich noch ganz unmöglich zu entscheiden, ob es sich bei der Vibriolysinabschwächung um einen hydrolytischen Prozeß handelt. Was hierauf deuten könnte, ist die Tatsache, daß die Toxine ebenso wie die Fermente in trockenem Zustande bedeutend besser als im feuchten eine Erhitzung ertragen.

Um den Einfluß verschiedener Temperaturen zu eruieren, wurden die in Tabelle 4 wiedergegebenen Versuche angestellt. Höhere Temperaturen als 49,975° kamen nicht in Betracht, da die Abschwächung zu schnell vollendet wurde. Der niedrigste Wärmegrad war 45,145°.

Tabelle 4.

Abschwächung des Vibriolysins bei verschiedener Temperatur.

49,975°			49,75°			49°		
<i>t</i>	<i>p</i>	<i>p</i>	<i>t</i>	<i>p</i>	<i>p</i>	<i>t</i>	<i>p</i>	<i>p</i>
(Min.)	obs.	calc.	(Min.)	obs.	calc.	(Min.)	obs.	calc.
0	100	98,6	0	100	100	0	100	106
5	39,4	39,6	10	23	22	10	53	43,3
10	13,8	16	20	4,3	4,9	20	17,6	17,6
15	7,1	6,6	$K = 0,066$			30	7,0	7,1
20	2,2	2,7				40	3,1	2,9
$K = 0,0778$						50	1,2	1,2
						$K = 0,0891$		

hämolytischer Wirkung existiert. Andernfalls ist die Hämolyse bisweilen annäherungsweise dem Quadrat der Vibriolysinkonzentration proportional.

48,15°			48,08°			47,085°		
<i>t</i> (Min.)	<i>p</i> obs.	<i>p</i> calc.	<i>t</i> (Min.)	<i>p</i> obs.	<i>p</i> calc.	<i>t</i> (Min.)	<i>p</i> obs.	<i>p</i> calc.
0	100	100	0	100	85	0	100	89,7
10	53	59,6	5	68	64,7	10	74	65,8
20	35	35,7	10	43	49,3	20	48	48,4
30	22	21,1	15	37	37,2	30	35	35,5
40	12,1	12,6	20	29	28,5	40	27	26,1
50	7,4	7,5	25	20	21,7	50	17,4	19,1
60	5,0	4,5	30	17,3	16,5	60	12,5	12,9
70	2,7	2,7	35	12,5	12,6	70	8,7	10,3
$K = 0,0225$			40	10	9,6	80	7,0	7,6
			50	5	5,5	90	4,8	5,6
			55	4	4,2	100	3,5	4,1
			60	3,3	3,2	110	2,9	3,0
			65	2,8	2,4	120	2,5	2,2
			70	1,6	1,8	135	1,7	1,4
			$K = 0,0286$			150	1,1	0,9
						$K = 0,0184$		

46,4°			45,97°			45,97°		
<i>t</i> (Min.)	<i>p</i> obs.	<i>p</i> calc.	<i>t</i> (Min.)	<i>p</i> obs.	<i>p</i> calc.	<i>t</i> (Min.)	<i>p</i> obs.	<i>p</i> calc.
0	100	100	0	100	100	180	6,5	7,5
10	78	83,2	15	77	80,4	195	5,4	6,1
20	68	69,5	30	73	64,9	225	3,6	4,0
30	59	57,9	45	54	52,2	240	3,3	3,2
40	49	48,3	60	41	42,2	255	2,6	2,6
50	41	40,4	75	34	33,9	270	2,2	2,1
60	34	33,6	90	27	27,4	285	1,9	1,7
70	25	28,1	105	22	22,1	300	1,6	1,3
80	23	23,3	120	17,6	17,8	315	1,1	1,1
$K = 0,0079$			135	12,6	14,4	330	0,8	0,88
			150	10,9	11,6	345	0,7	0,71
			165	8,2	9,3	360	0,65	0,57
						$K = 0,00625$		

45,65°			45,145°		
<i>t</i> (Min.)	<i>p</i> obs.	<i>p</i> calc.	<i>t</i> (Min.)	<i>p</i> obs.	<i>p</i> calc.
0	100	100	0	100	100
10	87	87,5	15	92	88,1
20	66	76,7	30	75	77,8
30	59	67,1	45	67	68,7
40	55	58,9	60	60	60,7
50	51	51,5	75	54	53,6
60	45	45,2	90	46	47,2

45,65°			45,145°		
<i>t</i> (Min.)	<i>p</i> obs.	<i>p</i> calc.	<i>t</i> (Min.)	<i>p</i> obs.	<i>p</i> calc.
70	40	39,6	105	40	41,7
80	34	34,7	120	37	36,9
90	30,6	30,4	135	33	32,5
100	26,6	26,6	150	27	28,7
115	23,7	21,8	165	25	25,4
130	22,1	17,9	180	24	22,4
$K = 0,00575$			195	22	19,8
			210	17,2	17,5
			225	17,2	15,5
			240	16	13,7
			$K = 0,0086$		

Alle diese Reaktionsgeschwindigkeiten lassen sich, mit einer Abweichung von durchschnittlich 6 bis 7%, nach der monomolekularen Formel berechnen.

Die Werte sind unter *p* calc. angeführt. In einigen Versuchen finden sich bei den höchsten Werten der Lysinstärke Abweichungen zwischen den beobachteten und berechneten Zahlen, was man ja in der physikalischen Chemie nicht selten findet, wo es sich um Reaktionsgeschwindigkeiten handelt.

In einigen Fällen ist die Erklärung wahrscheinlich die, daß das Lysin nicht durch und durch die Reaktionstemperatur hatte in dem Augenblick, wo die ersten Proben dem Rohre entnommen wurden.

Selbst wenn die Abschwächung bis unter 1% fortgesetzt wird, folgt die Reaktionsgeschwindigkeit doch durchweg demselben Gesetze. Die Reaktionsprodukte scheinen somit keinen Einfluß auf die Geschwindigkeit auszuüben.

Aus der Tabelle geht hervor, wie kolossal die Reaktionsgeschwindigkeit *K* mit der Temperatur ansteigt, indem sie von 0,0036 bei 45,145° auf 0,0778 bei 49,975° erhöht wird.

Für die Abhängigkeit der Reaktionsgeschwindigkeit von der Temperatur hat Arrhenius folgende Formel angegeben:

$$\frac{K_1}{K_2} = e^{\frac{\mu}{2} \left(\frac{T_1 - T_2}{T_1 T_2} \right)}.$$

Hier bedeuten K_1 und K_2 die Reaktionsgeschwindigkeiten bei den Temperaturen T_1 und T_2 ; T_1 und T_2 die absoluten Temperaturen, und μ eine Konstante.

In Tabelle 5 sind die Versuchstemperaturen und die entsprechenden Reaktionsgeschwindigkeiten aus Tabelle 4 zusammengestellt.

Tabelle 5.

Zusammenfassung von Tabelle 4.

Temp.	K (obs.)	K (calc.)
49,975°	0,0778	0,0741
49,75°	0,086	0,0856
49°	0,0391	0,041
48,15°	0,0225	0,024
48,08°	0,0236	0,023
47,035°	0,0134	0,0128
46,4°	0,0079	0,00811
45,97°	0,00625	0,00618
45,65°	0,00575	0,00505
45,145°	0,0036	0,0036

$$\mu = 128570$$

Diese Werte folgen mit großer Annäherung der erwähnten Gleichung. In der dritten Kolonne sind unter K (calc.) die berechneten Werte wiedergegeben. Die hieraus abgeleitete Konstante μ ist 128570. Diese Zahl ist sehr groß. Als Vergleich sei angeführt, daß für die Verseifung von Äthylacetat die Reaktionsgeschwindigkeit ungefähr verdoppelt wird, bei einer Temperaturerhöhung von 10° ($\mu = 11\,160$ Cal. pro g Molekül). Bei der Rohrzuckerinversion ist $\mu = 25\,640$ Cal. pro g Molekül. Um die Reaktionsgeschwindigkeit zu verdoppeln, ist hier 5° Temperaturerhöhung erforderlich. Bei dem Vibriolysin ist der Temperatureinfluß noch viel bedeutender, μ ist fünfmal größer als bei der Rohrzuckerinversion und für die Verdoppelung der Reaktionsgeschwindigkeit ist nur etwas über 1° notwendig.

Nach unseren Erfahrungen bewahrt das Vibriolysin bei Zimmertemperatur und niedrigeren Wärmegraden Jahre hindurch seine hämolytische Fähigkeit ungeändert. Selbst nach Stehenlassen bei 37° läßt sich nach mehreren Monaten keine merkbare Abschwächung beobachten. Auf der anderen Seite genügt eine momentane Erwärmung auf 55° um vollständig jede Wirkung zu vernichten.

Der hohe Wert von μ erlaubt uns, diese Beobachtungen unter einem gemeinsamen Gesichtspunkte zusammenzufassen.

Dieses geht vielleicht mehr anschaulich aus Tabelle 6 her-

vor, wo die Reaktionsgeschwindigkeiten bei verschiedenen Temperaturen nach obenstehender Formel berechnet sind.

Tabelle 6.

Reaktionsgeschwindigkeit der Vibriolysinabschwächung bei verschiedenen Temperaturen, nach Tabelle 5 berechnet.

Temp.	K
54°	0,87
49°	0,041
48°	0,022
47°	0,0118
46°	0,00628
45°	0,00334
37°	0,000018
18°	0,0000000000238

Eine Abschwächung zu 1%, die bei 49° in ungefähr 1 Stunde verläuft, fordert bei 54° nur ein paar Minuten. Auf der anderen Seite sinkt nach der Gleichung die Reaktionsgeschwindigkeit ganz außerordentlich stark, wenn die Temperatur erniedrigt wird. Eine ähnliche Abschwächung würde bei 37° zwischen 5 und 6 Monaten fordern und bei 18° mehrere hunderttausend Jahre.

Zwischen den Faktoren, die für die Reaktionsgeschwindigkeit von Bedeutung sind, haben wir besonders die Reaktion des Mediums untersucht. Unsere Vibriolysinlösung reagierte auf Lackmuspapier deutlich alkalisch, gab aber keine Rotfärbung mit Phenolphthalein. Hierzu mußte zu 10 ccm Lysinlösung 0,1 ccm 0,1 n₁-NaOH zugesetzt werden.

Alle die folgenden Versuche über die Einwirkung der Säuren und Alkalien wurden bei konstanter Temperatur 46,2° angestellt. In 90 ccm Lysinlösung wurden die in den Tabellen angegebenen Mengen Säure oder Alkali abgemessen, nachdem so viel einer 1% NaCl-Lösung zugesetzt war, daß das Volumen in allen Fällen konstant 100 ccm wurde. Die Flüssigkeiten wurden vorher auf die Reaktionstemperatur 46,2° erwärmt.

Zu den Zeiten *T* wurden genau 10 ccm auspipettiert, die in Röhrchen gegeben wurden, in die vorher so viel Normalsalzsäure resp. Normalnatron abgemessen war, daß diese Menge der in 100 ccm befindenden Menge Alkali oder Säure entsprach. Alle Röhrchen, die dasselbe Volumen enthielten, wurden schnell abgekühlt, und die Messung der hämolytischen Wirkung wie früher vorgenommen.

Tabelle 7.

Vibriolysin, 100 ccm nach Zusatz der unterstehenden Mengen NaOH.
Temperatur 46,2°.

0 NaOH I			0 NaOH II			0,85 n ₁ -NaOH I			0,85 n ₁ -NaOH II		
T	p	p	T	p	p	T	p	p	T	p	p
(Min.)	obs.	calc.	(Min.)	obs.	calc.	(Min.)	obs.	calc.	(Min.)	obs.	calc.
0	100	100,5	0	100	100	0	100	63	0	100	100
10	87	87,5	15	79	78,3	10	48	43,5	10	67	64,7
20	80	76	45	46	47,6	20	32	29,9	20	40	41,8
30	67	66,1	60	37	37,2	30	18,5	20,5	30	25	26,9
40	56	57,5	75	29	29	40	13,9	14,1	40	15,2	17,4
50	50	49,9	90	20	22,7	50	9,7	7,4	50	10,5	11,3
60	40	43,5	105	17,7	17,7	60	6,3	6,7	60	6,7	7,3
70	36	37,7	120	14,4	13,8	70	4,6	4,6	70	5	4,7
80	33	34	$K = 0,00717$			80	2,8	3,2	80	3	3,0
90	28,5	28,5				90	2,1	2,2	90	2	1,75
100	26,3	24,8				100	1,7	1,5	100	1,5	1,3
$K = 0,0061$						110	1,06	1,04	110	1,0	0,82
						120	0,85	0,72	$K = 0,01895$		
						$K = 0,0162$					

1,7 ccm n ₁ -NaOH			2,55 ccm n ₁ -NaOH			3,4 ccm n ₁ -NaOH I			II		
T	p	p	T	p	p	T	p	p	T	p	p
(Min.)	obs.	calc.	(Min.)	obs.	calc.	(Min.)	obs.	calc.	(Min.)	obs.	calc.
0	100	101	0	100	()	0	100	100,5	0	100	100
5	77	64	5	46	47,3	5	36	38,1	2,5	58	64
10	40	40,6	10	22	21,9	10	13,1	14,3	5	40	41,1
15	26	25,7	15	9,21	1,0	15	7,1	5,4	7,5	25	26,3
20	15,7	16,3	20	4,1	4,65	20	3,4	2	10	18,4	17
25	10,4	10,4	25	2,2	2,13	$K = 0,0847$			12,5	11,6	11
30	6,5	6,6	$K = 0,069$						15	7,4	7,1
35	4,0	4,2							17,5	4,5	4,6
40	3,0	2,7							20	2,9	2,9
45	2,3	1,7							$K = 0,0767$		
50	1,6	1,1									
$K = 0,0896$											

4,25 ccm n ₁ -NaOH		
T	p	p
(Min.)	obs.	calc.
0	100	100
2,5	51	50,4
5	26	26,2
7,5	13	13
10	6,7	6,7
12,5	3,1	3,4
$K = 0,1177$		

Nach den in Tabelle 7 dargestellten Versuchen beschleunigt der Zusatz von kleinen Mengen NaOH in hohem Maße die Reaktionsgeschwindigkeit; die Reaktionsformel bleibt aber ungeändert. In der Tabelle finden sich drei Doppelversuche, zwei ohne Zusatz von NaOH mit den Konstanten 0,0061 und 0,00717, zwei mit 0,85 ccm $n_{1/1}$ -NaOH mit $K = 0,0162$ und 0,01895 und zwei mit 3,4 ccm $n_{1/1}$ -NaOH und $K = 0,0847$ und 0,0767. Die Abweichungen sind resp. 17,6%, 17% und 10,4%; hierdurch hat man eine Vorstellung über die Versuchsfehler.

Bei Zusatz von kleinen Mengen HCl (Tabelle 8) kommt die Eigentümlichkeit zum Vorschein, daß die Reaktionsgeschwindigkeit sehr merkbar heruntergeht. Eine naheliegende Erklärung

Tabelle 8.

Vibriolysin, 100 ccm, nach Zusatz der unterstehenden Mengen von HCl.
Temp. 46,2°.

1 ccm $n_{1/1}$ -HCl			2 ccm $n_{1/1}$ -HCl			4 ccm $n_{1/1}$ -HCl			4,25 $n_{1/1}$ -HCl		
<i>T</i>	<i>p</i>	<i>p</i>	<i>T</i>	<i>p</i>	<i>p</i>	<i>T</i>	<i>p</i>	<i>p</i>	<i>T</i>	<i>p</i>	<i>p</i>
(Min.)	obs.	calc.	(Min.)	obs.	calc.	(Min.)	obs.	calc.	(Min.)	obs.	calc.
0	100	100	0	100	—	0	100	96,6	0	100	98,4
30	77	77	30	81	81,1	30	92	91,8	15	97	96,8
60	59	58,7	60	77	76,9	60	87	87,5	30	95	95,2
90	44	44,9	90	73	73	90	82	84,9	45	95	93,3
120	34	34,3	120	70	69,2	120	77	78,7	60	95	91,6
150	26	26,2	160	65	64,1	150	71	74,8	75	97	90,2
210	16	15,3	180	63	62,1	180	75	71	90	86	88,7
270	12	8,9	210	60	58,8	210	69	67,5	105	80	87,1
$K = 0,0039$			240	57	55,7	240	68	64	120	86	86,5
			$K = 0,00076$			$K = 0,00074$			135	80	84
									150	80	81,7
									180	80	79,4
									$K = 0,00052$		
5,0 $n_{1/1}$ -HCl			5,74 ccm $n_{1/1}$ -HCl			6 ccm $n_{1/1}$ -HCl			6,25 ccm $n_{1/1}$ -HCl		
<i>T</i>	<i>p</i>	<i>p</i>	<i>T</i>	<i>p</i>	<i>p</i>	<i>T</i>	<i>p</i>	<i>p</i>	<i>T</i>	<i>p</i>	<i>p</i>
(Min.)	obs.	calc.	(Min.)	obs.	calc.	(Min.)	obs.	calc.	(Min.)	obs.	calc.
0	100	100	0	100	79,4	0	100	100	0	100	100
30	89	88,4	30	37	40,3	15	47	47	5	61	63,2
60	74	78	60	20	20,3	30	22	21,9	10	40	40
90	68	68,8	90	10,4	10,3	45	8,9	10,2	15	23	25,1
120	59	60,7	120	5,2	5,2	60	4,7	4,73	20	17	15,9
150	55	53,6	150	2,8	2,7	75	2,0	2,21	25	10	10
180	46	47,2	180	1,35	1,35	$K = 0,0221$			30	7,3	6,4
210	42	41,9	$K = 0,00983$						$K = 0,04$		
$K = 0,0018$											

6,5 ccm $n/1$ -HCl			6,75 ccm $n/1$ -HCl		
T	p	p	T	p	p
(Min.)	obs.	calc.	(Min.)	obs.	calc.
0	100	100	0	100	100
5	43	47,2	2,5	46	56,2
10	20	22,2	5	33	31,6
15	11,1	10,5	7,5	14,8	17,8
20	6,3	4,9	10	10,1	10,0
$K = 0,0658$			12,5	6,8	5,6
			$K = 0,1$		

ist, daß das ursprünglich vorhandene Alkali die Reaktionsgeschwindigkeit 0,0061 bis 0,00717 bedingt. Wird diese Alkalimenge neutralisiert, so sinkt die Reaktionsgeschwindigkeit. Wie aus der Tabelle ersichtlich ist, hält sie sich ungefähr ungeändert bei Zusatz von 2 ccm bis 4,25 ccm $n/1$ -HCl, um dann bei weiter vermehrten Mengen Säure stark zu steigen. Vielleicht beruht dieses darauf, daß die Vibriolysinlösung kohlensaure Alkalien enthält, und das Phänomen ist in guter Übereinstimmung mit der Erfahrung, daß es unmöglich ist, den Neutralisationspunkt eines aus Bouillon gewonnenen Kulturfiltrates genau anzugeben.

Die Resultate der Tabelle 7 und 8 sind an der Tabelle 11 zusammengefaßt und graphisch in der Fig. 1 dargestellt.

Tabelle 9.

Vibriolysin, 100 ccm nach Zusatz der unterstehenden Mengen von CH_3COOH .
Temp. $46,2^\circ$

8,5 ccm $n/1$ - CH_3COOH			9 ccm $n/1$ - CH_3COOH		
T	p	p	T	p	p
(Min.)	obs.	calc.	(Min.)	obs.	calc.
0	100	113,5	0	100	100
2,5	96	96,3	2,5	74	69,5
5	83	81,3	5	49	47,9
7,5	69	68,9	7,5	33	33,2
10	54	58,5	10	21	22,9
12,5	47	48,2	12,5	14,5	15,9
15	42	41,7	15	8,2	11,2
$K = 0,029$			17,5	7,5	7,5
			$K = 0,064$		

Tabelle 10.

Vibriolysin, 100 ccm nach Zusatz der unterstehenden Mengen von NH_4OH .
Temp. $46,2^\circ$.

0,05 ccm $\text{n}/_1\text{-NH}_4\text{OH}$			1 ccm $\text{n}/_1\text{-NH}_4\text{OH}$			3 ccm $\text{n}/_1\text{-NH}_4\text{OH}$		
(Min.)	p	p	(Min.)	p	p	(Min.)	p	p
T	obs.	calc.	T	obs.	calc.	T	obs.	calc.
0	100	100	0	100	100	0	100	100
5	91	87,7	5	71	74,1	4	59	59,4
10	69	76,9	10	57	55,1	9	31	30,9
15	65	67,5	15	41	41	14	14,6	16,0
20	54	59,2	20	29	30,5	19	8,2	8,3
25	51	52	25	26	22,7	24	5,0	4,4
30	37	45,5	$K = 0,0258$			29	4,0	2,3
35	43	39,9				$K = 0,0565$		
60	29	20,8						
$K = 0,0114$								

3,5 ccm $\text{n}/_1\text{-NH}_4\text{OH}$			4 ccm $\text{n}/_1\text{-NH}_4\text{OH}$		
(Min.)	p	p	(Min.)	p	p
T	obs.	calc.	T	obs.	calc.
0	100	100	0	100	100
2,5	71	71,9	2,5	58	58,3
5	51	51,4	5	32	35
7,5	37	36,7	7,5	20	20
10	28	26,2	10	9,4	11,6
12,5	18,7	18,7	12,5	6,8	6,8
15	13,9	13,3	15	5,4	4,0
$K = 0,0582$			$K = 0,0933$		

Tabelle 11.

Zusammenfassung der Tabellen 7, 8, 9 und 10

		K		K	
4,25 ccm $\text{n}/_1\text{-NaOH}$		0,1177	4 ccm $\text{n}/_1\text{-NH}_4\text{OH}$	0,0933	
3,4	"	I. 0,0847	3,5	"	0,0582
		II. 0,0767	3,0	"	0,0565
2,55	"		1,0	"	0,0258
1,7	"		0,5	"	0,0114
0,85	"	I. 0,0162			
		II. 0,01895			
0	"	I. 0,0061			
		II. 0,00717			
1	" $\text{n}/_1\text{-HCl}$	0,0039			
2	"	0,00076			
4	"	0,00074			

Zusammenfassung der Tabellen 7, 8, 9 und 10 (Fortsetzung).

	K
4,25 ccm $n_{1/1}$ -HCl	0,00052
5 " "	0,0018
5,74 " "	0,00983
6 " "	0,0221
6,25 " "	0,04
6,5 " "	0,0653
6,75 " "	0,1
8,5 ccm $n_{1/1}$ -CH ₃ COOH	0,029
9 " " "	0,064

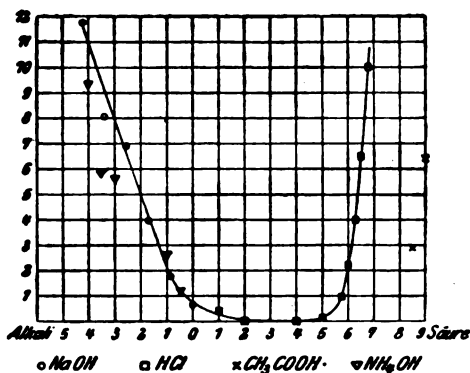


Fig. 1.

An der Abszissenachse sind die Alkalimengen (pr. 10 ccm Vibriolysin gerechnet) links für die O-Punkte (kein Zusatz), die Säuremengen rechts angeführt. Die Ordinaten stellen die entsprechenden Reaktionsgeschwindigkeiten, K, (mit 100 multipliziert) dar.

○	bedeutet die Reaktionsgeschwindigkeit nach Zusatz von NaOH
□	" " " " " " " HCl
×	" " " " " " " CH ₃ COOH
▽	" " " " " " " NH ₄ OH.

Sobald die Alkalinität 0,01 n, und die Acidität 0,06 n überschreitet, wachsen die Reaktionsgeschwindigkeiten nahezu proportional den Alkali- und Säurezusätzen, am stärksten mit den letzten.

Auch schwache Säuren, wie Essigsäure (Tabelle 9), beschleunigten die Reaktionsgeschwindigkeit, doch bedeutend geringer als Salzsäure.

Ammoniak (Tabelle 10) wirkt etwas weniger stark als äquivalente Quantitäten Natronhydrat, doch ist der Unterschied gar nicht so groß, daß es sich hier um eine Wirkung der OH-Ionen handeln kann. Vielleicht besteht die Wirkung der beiden

Basen, Natronlauge und Ammoniak, darin, daß sie eine alkalische Substanz der Vibriolysinlösung, schwache organische Basen, frei machen.

Eine besondere Versuchsreihe wurde zur Aufklärung der Frage angestellt, um den Einfluß der Temperatur bei geänderter Alkalescens zu studieren. Zu 90 ccm Vibriolysin wurden 0,5 ccm $\frac{1}{1}$ -NaOH und 9,5 ccm 1% NaCl-Lösung gegeben und die Reaktionskonstanten bei den Temperaturen 48°, 47,5°, 47° und 46,5° untersucht. (Tabelle 12.)

Tabelle 12.

Vibriolysin mit konstanten Mengen von Alkali (0,5 ccm $\frac{1}{1}$ -NaOH).
Temperatur variierend.

Temp. 48°			Temp. 47,5°			Temp. 47°			Temp. 46,5°		
T	p	p	T	p	p	T	p	p	T	p	p
(Min.)	obs.	calc.	(Min.)	obs.	calc.	(Min.)	obs.	calc.	(Min.)	obs.	calc.
0	100	100	0	100	100	0	100	100	0	(100)	—
2,5	83	83,6	5	74	75,7	10	64	63,5	15	52	48,6
5	69	69,7	10	52	57,3	20	47	40,2	30	32	32,2
7,5	60	58,2	15	39	43,2	30	30	25,4	45	21	21,2
10	50	48,6	20	33	32,7	40	17,8	16,1	60	14,1	14,1
12,5	37	40,6	25	25	24,7	50	10	10,2	75	8,6	9,3
15	32	33,2	30	17,5	18,6	60	6	5,5	90	6,2	6,1
17,5	28	28,2	35	14	14,1	70	4,1	4,1	105	4,4	4,1
K = 0.0313			40	10	10,6	K = 0.0199			K = 0.012		
			K = 0.0243								

Es ergab sich, daß μ genau so groß war wie bei Vibriolysin ohne Alkalizusatz, 128000. (Tabelle 13.)

Tabelle 13.

Zusammenfassung von Tabelle 12.

Temp.	K. abs.	K. calc.
48°	0,0313	0,0313
47,5°	0,0243	0,0229
47°	0,0199	0,0168
46,5°	0,012	0,0123

$$\mu = 128000$$

Diese Beobachtung bietet ein gewisses Interesse, da die Abschwächung von Vibriolysin ohne Alkalizusätze wahrscheinlich von einer schwachen organischen Basis bedingt ist.

Auch die Anfangskonzentration der Lysinlösung hat eine große Bedeutung für die Reaktionsgeschwindigkeit. Ein Beispiel findet sich in Tabelle 14.

Tabelle 14.

Vibriolysin. Einfluß der Verdünnung.
Temp. 47,8°.

Conc. 1			Conc. 0,5			Conc. 0,25		
<i>T</i>	<i>p</i>	<i>p</i>	<i>T</i>	<i>p</i>	<i>p</i>	<i>T</i>	<i>p</i>	<i>p</i>
(Min.)	obs.	calc.	(Min.)	obs.	calc.	(Min.)	obs.	calc.
0	100	100	0	100	100	0	100	100
10	59	59,6	10	92	84,7	10	90	91,6
20	38	39,3	20	73	71,9	20	84	83,6
30	17	20,7	30	59	61,1	30	84	76,6
40	6,8	12,2	40	52	51,9	40	71	70
50	6,8	7,2	50	37	43,9	50	69	64
70	2,5	2,5	60	37	37,3	60	58	58,5
80	1,7	1,5	70	32	31,6	70	47	53,5
100	1,0	0,9	80	27	26,9	80	47	49
$K = 0.0229$			90	24	22,7	90	47	44,7
			100	18,3	19,3	100	40	40,9
			115	18,3	15,1	115	36	35,9
			130	11	11,8	130	31	31,3
			150	8,5	8,5	150	24	26,2
			$K = 0.00715$			180	19,3	20
						$K = 0.00388$		

Bei konstanter Temperatur, 47,8°, wurde die Abschwächung von drei Lysinlösungen verglichen, die eine unverdünnte (conc. 1), die andere mit gleichen Teilen 1% NaCl-Lösung versetzt (conc. 0,5) und die dritte mit 3 Teilen (conc. 0,25). Man sieht, daß die Reaktionsgeschwindigkeit mit steigender Verdünnung sehr heruntergeht; dieses ist wohl der sinkenden Alkalikonzentration zuzuschreiben.

Um das Verhältnis zwischen Lysinkonzentration selbst und Reaktionsgeschwindigkeit aufzuklären, müßte man ganz alkali-freie Lösungen haben.

Ein anderes Hämolysin, das Tetanolysin, das auf Lackmuspapier neutral reagierte, wurde in ganz entsprechender Weise und mit derselben Technik wie das Vibriolysin untersucht.

Die Versuchsergebnisse waren ganz ähnliche.

Tabelle 15.

Abschwächung des Tetanolysins bei verschiedenen Temperaturen.

53,5°			52,95°			52,87°		
T	p	p	T	p	p	T	p	p
(Min.)	obs.	calc.	(Min.)	obs.	calc.	(Min.)	obs.	calc.
0	100	100	0	(100)	(74,1)	0	100	100
2	71	68,4	3	52	54,5	4	71	71,9
4	44	46,7	6	35	35,5	8	52	52,1
6	27	31,9	9	24	24,4	12	37	37,4
8	21	21,8	12	17	16,9	16	27	26,9
10	15	15,0	15	10,7	11,7	$K = 0.0355$		
12	10,8	10,2	18	8,1	8,1			
$K = 0.0825$			21	6,5	5,6			
			$K = 0.054$					

51,55°			50,95°			49,8°		
T	p	p	T	p	p	T	p	p
(Min.)	obs.	calc.	(Min.)	obs.	calc.	(Min.)	obs.	calc.
0	(100)	(87,5)	0	100	93	0	100	(82,6)
5	75	74,8	10	75	75	10	80	74,3
11	62	61,9	20	59	60,3	20	67	66,7
15	57	54,6	40	37	39,2	40	52	53,6
20	45	46,7	65	23	22,9	60	42	43,2
30	34	34,1	80	17,5	16,9	80	34	34,7
40	27	25	100	10	10,7	100	28	27,9
50	20	18,3	120	8	7,0	124	21	21,5
60	13,4	13,4	$K = 0.00938$			140	18,2	18,0
70	11,0	9,8				160	14,3	14,5
$K = 0.0136$						180	11,8	11,7
						200	9,5	9,4
						$K = 0.00473$		

Wie aus Tabelle 15 hervorgeht, folgte die Abschwächungsgeschwindigkeit ziemlich genau der Formel

$$-\frac{dp}{dt} = Kp.$$

Die Abhängigkeit der Reaktionsgeschwindigkeit von der Temperatur folgte (siehe Tabelle 16) innerhalb der Versuchsfehler nach der Gleichung

$$\frac{K_1}{K_2} = e^{\frac{\mu}{2} \frac{T_1 - T_2}{T_1 T_2}}$$

Der Einfluß der Temperatur ist hier noch größer, indem μ 173300 Cal. ist. Dementsprechend steigt die Reaktionsgeschwindigkeit ungefähr auf das 2—3fache pro Grad.

Tabelle 16.

Tetanolysin.

Zusammenfassung von Tabelle 15.

Temp.	K abs.	K calc.
53.5°	0.0825	0.0857
52.95°	0.054	0.054
52.37°	0.0355	0.0333
51.55°	0.0136	0.0166
50.95°	0.00938	0.0101
49.8°	0.00473	0.00409

$$\mu = 173300$$

Wie bei Vibriolysin wird die Reaktionsgeschwindigkeit bedeutend beschleunigt bei Zusatz von Alkali (Tabelle 17), und noch mehr in Gegenwart von Säure (Tabelle 18).

Tabelle 17.

Abschwächung des Tetanolysins in Gegenwart von Alkali.

Temperatur 49,88°.

90 ccm Tetanolysin
9,5 „ 0,9% NaCl
0,5 „ n-NaOH

90 ccm Tetanolysin
9 „ 0,9% NaCl
1 „ n-NaOH

90 ccm Tetanolysin
8 „ 0,9% NaCl
2 „ n-NaOH

T	p	p
(Min.)	obs.	calc.
0	100	71,6
5	71	65
10	59	59
20	50	48,4
40	36	32,7
60	21	22
83	14	14
100	10	10
120	7,6	6,7

$$K = 0,00855$$

T	p	p
(Min.)	obs.	calc.
0	100	94,4
5	81	84,3
10	76	75,5
15	64	67,5
20	62	60,4
30	51	48,3
40	39	38,7
50	28	31
60	25	24,8
70	19	19,9
80	16	15,9

$$K = 0,00968$$

T	p	p
(Min.)	obs.	calc.
0	100	71
5	66	62,4
10	51	55
16,5	47	46,6
20	41	42,5
30	31	32,8
41	24	24,8
50	20	19,6
60	14	15,2
70	11,8	11,7
80	10	9,1

$$K = 0,0112$$

Tabelle 18.

Abschwächung des Tetanolymins in Gegenwart von Säure,
Temperatur 49,88°.

90 ccm Tetanolymin			90 ccm Tetanolymin		
9	1%	NaCl	8	1%	NaCl
1	n-H ₂ SO ₄		2	n-H ₂ SO ₄	
<i>T</i>	<i>p</i>	<i>p</i>	<i>T</i>	<i>p</i>	<i>p</i>
(Min.)	obs.	calc.	(Min.)	obs.	calc.
0	100	69	0	100	97,5
5	75	63,5	5	57	59,2
10	59	58,6	10	37	36
20	52	49,9	15	20	21,7
30	42	42,3	20	14	13,2
40	36	35,9	$K = 0,0435$		
60	25	25,9			
80	19	18,7			
100	14	13,5			
120	9,8	9,8			
$K = 0,00708$					

Der Reaktionstypus ändert sich hierdurch nicht.

Nach den obenstehenden Untersuchungen muß man sich denken, daß den Toxinen und verwandten Körpern eine Tendenz zum spontanen Zerfall eigentümlich ist; daß diese Abschwächung bei niedriger Temperatur so langsam fortschreitet, daß sie kaum merkbar ist. Sie wird aber stark beschleunigt durch Erwärmen auf 45 bis 55° und durch eine Reihe von Faktoren, z. B. freie O- und OH-Ionen, die wahrscheinlich als Katalysatoren auftreten.

Für das Diphtheriegift machten Arrhenius und Madsen¹⁾ es wahrscheinlich, daß die spontane Abschwächung bei 2 bis 4° der monomolekularen Gleichung folgte. Bei dieser niedrigen Temperatur schwächen sich ja viele Toxine ab und es müssen wohl hier besondere Katalysatoren zugegen sein.

In den Fällen, wo die Lösung eine ausgeprägte saure oder alkalische Reaktion besitzt, könnte man vielleicht durch Abstumpfung der freien Säure oder des Alkali die Geschwindigkeit des spontanen Zerfalles bedeutend heruntersetzen. Die Bedeutung, die Toxine so kalt wie möglich aufzuheben, geht ja aus obenstehendem ohne weiteres hervor.

¹⁾ Le poison diphtérique. Oversigt Kgl. Danske Vidensk. Selskabs Forhandl. 1904, 4.

Der hohe Wert von μ stimmt mit dem Phänomen gut überein, daß das Tetanolysin und Vibriolysin längere Zeit bei Brutschranktemperatur, 37° , bestehen können und doch eine kurzdauernde Erwärmung bei 55° nicht ertragen. Es war dann naheliegend zu erwarten, daß man entsprechende Verhältnisse bei den Alexinen, Komplementen und ähnlichen Körpern finden könnte, die bei Körpertemperatur einigermaßen stabil sind, während sie gewöhnlich bei 55° ihre Wirkung momentan verlieren.

Ein gutes Objekt für diese Untersuchung war das normale Ziegen Serum, das bekanntlich auf Kaninchen-erythrocyten kräftig lösend wirkt. Die Abschwächung von unserem Ziegen Serum konnte bei 51 bis 53° bequem verfolgt werden, und folgte (Tabelle 19) auch der monomolekularen Gleichung.

Tabelle 19.

Hämolytisches Ziegen Serum.
Abschwächung bei verschiedenen Temperaturen.

53°			$52,5^\circ$			52°		
T (Min.)	p obs.	p calc.	T (Min.)	p obs.	p calc.	T (Min.)	p obs.	p calc.
0	100	100	0	100	100	0	100	100
2,5	58	58,2	2,5	64	70,8	5	63	65
5	44	33,4	5	49	50,1	10	39	42,4
7,5	18	19,3	7,5	37	35,5	15	27,5	27,5
$K = 0,0953$			10	25	25,1	20	18	17,8
			12,5	20	17,6	25	13	11,6
			$K = 0,06$			$K = 0,0374$		
$51,5^\circ$			51°					
T (Min.)	p obs.	p calc.	T (Min.)	p obs.	p calc.			
0	100	100	0	100	—			
5	85	74,8	5	74	73,4			
10	62	56,2	10	59	62,5			
15	37	42,2	15	49	53,3			
20	29	31,6	20	45	45,4			
25	26	23,7	25	40	38,7			
30	17	17,8	30	33	33			
$K = 0,025$			35	28	28,1			
			40	25	24			
			$K = 0,0139$					

In diesem Falle war der Einfluß der Temperatur noch größer als bei den obenerwähnten Bakteriolytinen, indem $\mu = 198500$ gefunden wurde (Tabelle 20).

Tabelle 20.

Zusammenfassung von Tabelle 19:

Temp.	K obs.	K calc.
53°	0,0953	0,0955
52,5°	0,06	0,0598
52°	0,0375	0,0375
51,5°	0,025	0,0235
51°	0,0139	0,0145

 $\mu = 198500$

Dieses entspricht einer Steigerung der Reaktionsgeschwindigkeit um das 2,6fache pro Grad, die größte Zunahme einer Reaktionsgeschwindigkeit mit der Temperatur, die je gefunden worden ist.¹⁾

Die Abhängigkeit der Reaktionsgeschwindigkeit von der Temperatur ist somit eine viel größere, als man sonst bei den gewöhnlichen chemischen Reaktionsgeschwindigkeiten findet. Vielleicht könnte man hieraus einige neue Gesichtspunkte für die Bedeutung der Temperaturerhöhung bei dem Fieber ableiten.

Bekanntlich sind es nur ganz einzelne Fälle, wo man sich denken könnte, daß die beim Fieber erreichte Temperatur an und für sich schädlich auf die Mikroben wirken könnte. Dagegen muß man in Betracht ziehen, daß die microbicide Wirkung der Körpersäfte mit steigender Temperatur erhöht wird.

Für die Desinfektion von Milzbrandsporen durch Sublimat zeigten Madsen und Nyman²⁾ eine Zunahme bis auf das 2,5fache mit 10° Temperatursteigerung. Für die mikrobiciden Körpersäfte ist die Zunahme bedeutend größer, um ungefähr das Doppelte.

Für die Bakteriengifte kann indessen eine kleine Temperaturerhöhung unter Umständen eine viel größere Bedeutung haben. Die Abschwächung des Tetanolysins z. B. steigt auf das 2,4fache pro Grad.

¹⁾ Arrhenius, Immunochemie. Leipzig 1907, S. 31.

²⁾ Contributions aux études théoriques sur la désinfection. Oversigt Kgl. Danske Vidensk. Selskabs Forh. 1907 Nr. 3.

Zu derselben Zeit vermehrt sich natürlich auch die schädliche Wirkung der Toxine auf die Körperelemente. Diese Zunahme ist nach den Untersuchungen von Madsen und Walbum eine viel kleinere, nur um das 1,2 fache pro Grad.

In der nachstehenden Tabelle (Tabelle 21) haben wir versucht, zusammenzustellen, wie diese verschiedenen Zunahmen sich verhalten.

Tabelle 21.

	I.	II.	III.	IV.
Temp.	Desinfektion von Milz- brandsporen durch Sublimat μ ca. 15000	Mikrobicide Wirkung von Alexinen μ ca. 30000	Schädliche Einwirkung der Toxine μ ca. 30000	Abschwächung des Tetanolysin durch Erwärmen μ ca. 173300
42 °	1,47	2,16	2,16	77,6
41 °	1,36	1,85	1,85	32,9
40 °	1,26	1,59	1,59	13,8
39 °	1,17	1,36	1,36	5,8
38 °	1,08	1,17	1,17	2,41
37 °	1,0	1,0	1,0	1,0

Die Wirkung bei 37 °, der normalen Körpertemperatur, ist in allen Fällen = 1 gesetzt und nach den oben angeführten Versuchsergebnissen ist nach der Formel

$$\frac{K_1}{K_2} = e^{\frac{\lambda}{2} \frac{T_1 - T_2}{T_1 T_2}}$$

die Wirkung bei den Temperaturen bis 42 ° berechnet. Die hier gegebenen Zahlen haben selbstverständlich nur orientierende Bedeutung. Man sieht, daß zur Verdoppelung der mikrobiciden Wirkung der Alexine eine Temperaturerhöhung um über 5 Grad erfordert wird. Die Toxinabschwächung (bei Tetanolysin) ist aber auf das 78fache gestiegen. Eine mäßige Temperatursteigerung bis 39 ° steigert die Toxinabschwächung bis auf das 6fache; gleichzeitig steigt die schädliche Wirkung des Toxins auf den Körper nur um das 1,36fache; der erste Prozeß überwiegt also, und somit sind die Bedingungen vorhanden, daß die Temperaturerhöhung für den infizierten Organismus nützlich sein könnte. Es braucht wohl nicht die Möglichkeit hervorgehoben zu werden, daß es auch umgekehrt sein könnte. Die Toxindestruktion bei 37 ° kann so ganz minimal sein, daß eine Erhöhung selbst um z. B. das 14fache

ohne Bedeutung ist, während der Organismus andererseits nicht die geringste Vermehrung, also auch nicht auf das 1,6fache der deletären Einwirkung der Toxine ertragen kann.

Diese Untersuchungen liefern ein neues Beispiel, wie viele Probleme, die Antigene und Antikörper betreffend, durch physico.-chemische Methoden aufgeklärt werden können, wie es von Hamburger, Arrhenius und Madsen betont wurde. Die Resultate können in folgender Weise resümiert werden:

1. Die Abschwächung des Vibriolysins, Tetanolysins und des hämolytischen Ziegenserums mit der Temperatur läßt sich durch die monomolekulare Formel ausdrücken.

2. Die Abhängigkeit der Reaktionsgeschwindigkeit von der Temperatur folgt der Arrheniusschen Gleichung

$$\frac{K_1}{K_2} = e^{\frac{\mu}{2} \frac{(T_1 - T_2)}{(T_1 T_2)}}$$

Bei den von uns untersuchten Präparaten war μ für

Vibriolysin 128570,

Tetanolysin 173300,

Ziegenserum 198500.

3. Die Reaktionsgeschwindigkeit wird von einer Reihe von „Katalysatoren“ beeinflusst; z. B. von Säure und Alkali, die gewöhnlich beschleunigend wirken, ohne jedoch die monomolekulare Formel zu ändern.

Über den Einfluß der Gerinnung des Blutes auf die Leitfähigkeit desselben.

**Nach gemeinschaftlich mit Frau Antonina Pheophilaktowa
angestellten Versuchen mitgeteilt**

von

A. Samojloff.

Mit 3 Figuren im Text.

**(Aus dem physiologischen Laboratorium der physiko-mathem. Fakultät
der Universität zu Kasan.)**

Es ist seit den Untersuchungen von Bugarsky und Tangl (1) bekannt, daß die im Serum enthaltenen Eiweißkörper die Leitfähigkeit desselben beeinträchtigen. Diese direkt festgestellte Tatsache illustriert an einem speziellen Fall die allgemein gefaßte Regel von Arrhenius (2), nach welcher alle Nicht-Elektrolyte das Leitvermögen der Elektrolyte verringern.

Die Frage, auf welche die zu beschreibenden Versuche Antwort geben sollen, besteht darin, ob der genannte Einfluß der Eiweißstoffe und speziell der Einfluß des Fibrinogens des Blutes auf die Leitfähigkeit desselben sich ändert, wenn das Fibrinogen in den koagulierten Zustand übergeht. Mit anderen Worten, es wird die Frage aufgeworfen, ob die Leitfähigkeit des flüssigen Blutes infolge der Blutgerinnung eine Änderung erfährt.

Diese Frage war bis jetzt bloß einmal geprüft, und zwar von Frank (3), der auf Grund mancher theoretischer Betrachtungen eine Änderung der Leitfähigkeit des Blutes im Momente der Gerinnung desselben erwarten zu dürfen glaubte und die ganze Untersuchung in der Hoffnung, darin ein neues Moment zur Bestimmung der Gerinnungsgeschwindigkeit des Blutes zu finden, unternahm. Die Hoffnung hat sich aber nicht erfüllt, Frank kam zum Resultat, daß ein konstanter

und namhafter Unterschied in der Leitungsfähigkeit des flüssigen und geronnenen Blutes nicht zu konstatieren sei.

Unter den Gründen, die für eine Änderung der Leitfähigkeit des Blutes durch Gerinnung desselben sprechen können, muß an erster Stelle die von Oker-Blom (4) mitgeteilte Tatsache, daß das aus dem Blutkuchen abgepreßte Serum den elektrischen Strom besser leitet wie das des defibrinierten Blutes, erwähnt werden. Es wird aber diese Tatsache nur durch einen einzigen Versuch bekräftigt: das Serum des defibrinierten Blutes ergab die Leitfähigkeit 109,8, während für solches vom koagulierten Blute 114,40 gefunden wurde. Dabei ist aus der betreffenden Stelle der Arbeit von Oker-Blom zu ersehen, daß man ein derartiges Verhältnis zwischen den beiden Sera eines und desselben Blutes in bezug auf die Leitfähigkeit nur in den meisten Fällen und nicht immer zu sehen bekommt.

Andererseits muß hier hervorgehoben werden, daß die eben erwähnte Angabe von Oker-Blom in vollem Widerspruch mit einer Äußerung von Stewart (5) steht. So hat dieser Verfasser bereits einige Jahre vor dem Erscheinen der Oker-Blomschen Arbeit folgendes gefunden: „Der Widerstand des Serums vom geronnenen Blute ist ungefähr derselbe wie der des defibrinierten Blutes von demselben Tiere, kann aber ein wenig größer sein.“

In Anbetracht dieser widersprechenden Angaben führten wir außer den Versuchen über die Beeinflussung der Leitungsfähigkeit des Blutes durch die Gerinnung noch einige, die den eben berührten Punkt zum Gegenstand hatten.

Der anfängliche Plan für die Ausführung der Versuche bestand in folgendem: Es sollte ein gerinnungsfähiges Blut resp. Plasma in einem Widerstandsgefäß unter möglichst sorgfältiger Einhaltung der Temperatur, im Wasserthermostaten vor, während und nach der Gerinnung auf seine Leitfähigkeit geprüft werden. Die Sache erwies sich bedeutend schwieriger und umständlicher, als man dachte. Am meisten störend war der Umstand, daß man keinen Anhaltspunkt für den Moment des Eintretens der Blutgerinnung finden konnte. Wurde nach dem Einführen der zu koagulierenden Flüssigkeit in das Widerstandsgefäß eine Reihe von Bestimmungen der Minima mittels des Telefons und des Schleifkontaktes ausgeführt, so war man immer im

ungewissen, ob das Blut bereits geronnen ist oder noch nicht. Nimmt man das Gefäß mit dem Blut aus dem Thermostaten heraus, um sich über das eventuelle Eintreten der Gerinnung zu informieren, so bleibt man in allen Fällen unbefriedigt. Ist das Blut schon geronnen, so kann man nicht sicher sein, ob nicht bereits die erste Minimumbestimmung am geronnenen Blute ausgeführt ist, denn die Gerinnung geschieht tatsächlich manchmal so rasch, daß man keine Zeit hat, das erste brauchbare Minimum festzustellen, um so mehr, als man sich dabei bemüht, gerade denjenigen R einzustöpseln, bei dem der Schleifkontakt ungefähr in der Mitte des Meßdrahtes zu liegen kommt; stellt sich heraus, daß das Blut noch flüssig ist, so hat man unnützerweise die Temperaturverhältnisse gestört und man befindet sich also ungefähr wiederum in derselben Lage wie zu Anfang des Versuches. Glücklicherweise gibt es eine Methode, die in ausgezeichneter und höchst anschaulicher Weise sehr genau den Zeitpunkt des Beginnes der Koagulation des Blutes im Widerstandsgefäß ohne unmittelbare Beobachtung zu bestimmen erlaubt. Ich meine die sehr zweckmäßige und sinnreiche Methode der Messung der Gerinnungsgeschwindigkeit des Blutes von Talianzeff (6). Die Methode besteht in folgendem: In dasselbe abgeschlossene Gefäß, in welchem das zu gerinnende Blut sich befindet, führen zwei Glasröhren; von diesen wird die eine, die oberhalb des Blutflüssigkeitsspiegels endet, mit einem Gebläse, wie es beispielsweise zur künstlichen Atmung gebraucht wird, durch Gummischläuche verbunden; die andere Röhre, die unterhalb des Flüssigkeitsspiegels endet, wird mit einer gewöhnlichen Mareyschen Kapsel verbunden. Führen wir nun mittels des Blasebalges rhythmische Einblasungen von entsprechender Stärke aus, so ist nun leicht begreiflich, daß, solange das Blut flüssig bleibt, jedes Einstromen der Luft in das Gefäß eine Erhebung des Hebels des Tambours zur Folge haben wird. Schreiben wir die Bewegungen des Hebels auf einer beruhten Trommel auf, so kennzeichnet sich der Moment des Eintritts der Gerinnung dadurch, daß die Reihe der Erhebungen auf einmal oder allmählich, jedoch in sehr kurzer Zeit, aufhört und der Hebel eine horizontale Linie schreibt. Das Kennzeichen, das uns hier über den Zustand des Blutes informiert, ist also genau dasselbe wie dasjenige,

welches uns bei einem Blutdruckversuch sagt, daß das Blut in der Kanüle geronnen ist: das Manometer schreibt nicht mehr. Die Anwendung der Talianzeffschen Methode brachte Ordnung und Sicherheit in unsere Versuche hinein, so daß wir das Material, welches vor der Registrierung der zeitlichen Verhältnisse der Gerinnung gewonnen war, ganz unberücksichtigt ließen.

Das Widerstandsgefäß in der von Arrhenius angegebenen Form wurde zum Zweck der Anwendung der mitgeteilten Methode etwas umgeändert (s. Fig. 1). Durch den gut schließenden Deckel des Gefäßes werden 2 Glasröhren hindurchgeführt, die eine *a* ist mit dem durch einen Elektromotor getriebenen Gebläse, die andere *b* mit einer Mareyschen Kapsel verbunden. Um die kalte Luft des Gebläses in das am meisten bis 25° C gehaltene Gefäß nicht hineinzutreiben, wurde das im Widerstandsgefäß oberhalb des Flüssigkeitsspiegels sich befindende Ende der Röhre *a* mit einem kleinen, aus feinstem Gummi bereiteten Beutelchen versehen. Es ist das dieselbe Maßregel, die H. J. Hamburger benutzt, um bei den Bewegungen des Rührers am Beckmannschen Apparate die Zimmerluft von der Luft des Gefriergefäßes zu trennen.

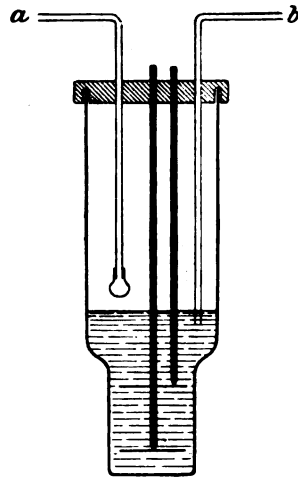


Fig. 1.

Gleichzeitig mit dem Aufzeichnen der Gerinnungskurve wurden an derselben Trommel auch diejenigen Momente markiert, in welchen die Minimumbestimmungen ausgeführt wurden. Zu diesem Zwecke befand sich unter der ersten Mareyschen Kapsel eine andere, die durch Gummischlauch mit einer Gummibirne verbunden war. War in einem gegebenen Falle die Stelle des Schleifkontaktes für ein Minimum festgestellt, so drückte der Beobachter die Birne und markierte den betreffenden Zeitpunkt.

Da außerdem noch die Zeit durch einen Chronographen notiert wurde, so konnten sämtliche in Betracht kommende zeitliche Verhältnisse genau bestimmt werden.

Um die Zuverlässigkeit der Methode von Talianzeff zu prüfen, haben wir gleiches Blut in zwei Gefäße hineingetan; die Gefäße waren in der angegebenen Weise einerseits durch

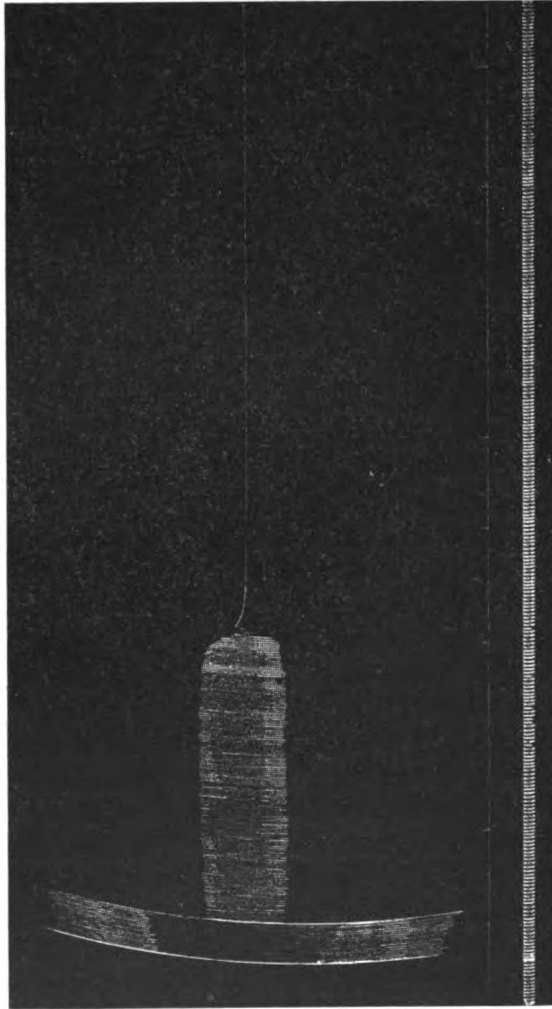


Fig. 2.

kommunizierende Röhren mit einem Gebläse, andererseits mit 2 Mareyschen Kapseln verbunden: die Bewegungen der beiden Hebel sistierten beständig zu gleicher Zeit. In einer ähnlichen

Weise, d. h. durch Benutzung zweier Gefäße, konnten wir uns überzeugen, daß das Durchleiten von Induktionsströmen, wie es bei der Anwendung der Kohlrauschschen Methode ge-

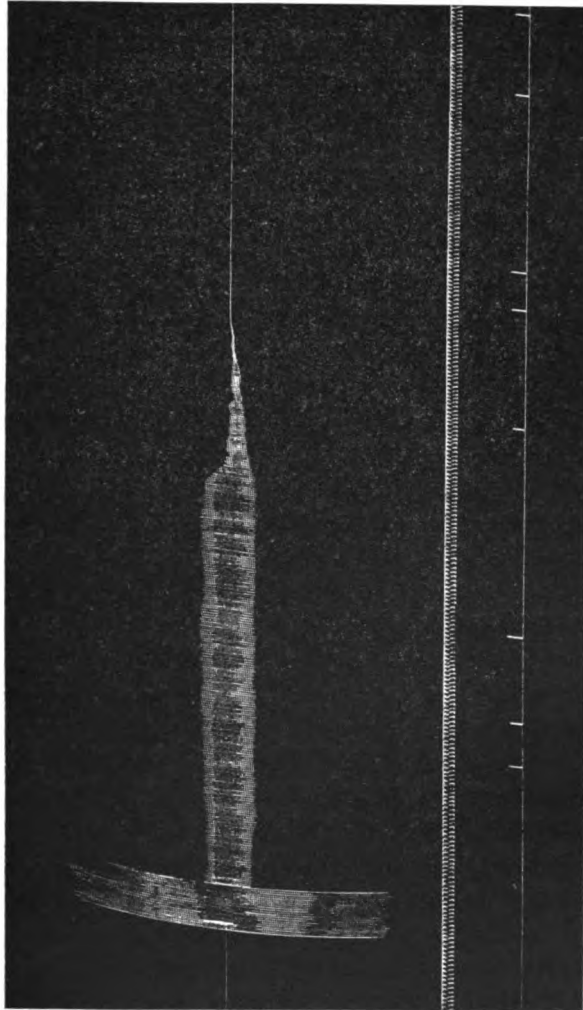


Fig 3.

schiebt, keinen Einfluß auf die Schnelligkeit des Eintretens der Blutgerinnung ausübt.

In Fig. 2 und 3 sehen wir zwei Beispiele graphischer Aufzeichnung der zeitlichen Verhältnisse der Gerinnung und

Leitfähigkeitsbestimmung. An beiden Kurven bedeuten die langen Linien die Ausschläge des Hebels vor dem Eintragen der Flüssigkeit, die kleineren die Ausschläge nach dem Einführen des Blutes resp. des Serums in das Widerstandsgefäß. Der Moment der Gerinnung ist meistens sehr scharf markiert, so daß man denselben beinahe in Sekunden angeben kann (s. Fig. 2); seltener tritt die Gerinnung langsamer ein (s. Fig. 3). Den Eintritt der Gerinnung im Falle Fig. 2 (s. Tabelle 10) bezeichnen wir mit den Worten: die Gerinnung tritt kurz nach der 2. Leitfähigkeitsbestimmung ein; im Falle Fig. 3 (s. Tabelle 7) sagen wir: der Gerinnungsvorgang beginnt vor der 4. und endet etwa zugleich mit der 5. Bestimmung.

Das zweite Moment, welches in methodischer Hinsicht berücksichtigt werden mußte, ist die Einhaltung einer und derselben T^0 vor, während und nach der Gerinnung. Die anfängliche Versuchsanordnung war die, daß wir direkt das Blut aus dem Tier (Katze) in das Widerstandsgefäß, welches im Wasserthermostaten bei $39,5^{\circ}$ sich befand, überführten und sofort mit der Leitfähigkeitsbestimmung begannen. Das Paraffinieren des Widerstandsgefäßes behufs Verlangsamung der Gerinnung, wie es Frank machte, der übrigens sein Versuchsverfahren sehr kurz angibt, würde nicht viel nützen, da doch die Elektroden frei bleiben müssen.

Die in der angegebenen Weise angestellten Versuche erwiesen sich nicht befriedigend. Erstens kann man keineswegs sicher sein, daß die T^0 den nötigen Grad der Konstanz behält; die zur Bestimmung nötige Blutmenge ist relativ groß und das Zeitintervall bis zum Eintreten der Gerinnung sehr kurz, man kann deshalb kaum auf den Ausgleich der allerdings geringen Differenz in der Temperatur des Tierblutes und des Wassers im Thermostaten in der kurzen Zeit rechnen. Andererseits ist das rasche Eintreten der Gerinnung des aufgefangenen Tierblutes bei Körpertemperatur selbstredend sehr hinderlich für die Bestimmung der Leitfähigkeit vor dem Gerinnen. Beiläufig sei bemerkt, daß bei Entnahme von Blut vom Tier aus einer Kanüle man immer bei graphischer Aufzeichnung des Zeitpunktes der Gerinnung zu beobachten Gelegenheit hat, daß diejenige Blutprobe früher gerinnt, die später dem Tiere entnommen ist.

Es seien hier die Zahlen von zwei Versuchen mit frischem Katzenblut bei Körpertemperatur angeführt.

Was die Methodik der Leitfähigkeitsbestimmung, das Platinieren der Elektroden, der Bestimmung der Kapazität des Widerstandsgefäßes u. dgl. m. anbetrifft, so hielten wir uns genau an die Vorschriften, wie sie in dem bekannten Werk von H. J. Hamburger „Osmotischer Druck und Ionenlehre“ angegeben sind. Die spezifische Leitfähigkeit

$$\lambda = \frac{c}{R} \cdot \frac{b}{a}$$

ist in sämtlichen Versuchen ausgedrückt in Größen, die bequemlichkeitshalber mit 10^4 multipliziert sind. In den weiter folgenden Tabellen bezieht sich immer die erste Zahl in der zweiten Kolumne (Zeitdistanz zwischen den einzelnen Bestimmungen) auf die Dauer zwischen dem Moment des Eintragens der zu koagulierenden Flüssigkeit in das Widerstandsgefäß und der ersten Bestimmung des Minimums.

Tabelle 1.

Katzenblut direkt vom Tier. T^0 im Thermostaten $38,9^0$ C.

Nr. der Bestimmung	Zeitdistanz zwischen den Bestimmungen in Sekunden	Leitfähigkeit	Eintritt der Gerinnung
1	43	83,1	Die Gerinnung tritt kurz nach der 1. Bestimmung ein.
2	66	83,4	
3	50	83,4	
4	66	82,0	
5	54	80,0	

Tabelle 2.

Katzenblut direkt vom Tier. T^0 $38,9^0$ C.

Nr. der Bestimmung	Zeitdistanz zwischen den Bestimmungen	Leitfähigkeit	Eintritt der Gerinnung
1	30 Sek.	78,6	Die Gerinnung tritt gleich nach der 2. Bestimmung ein.
2	21 „	79,0	
3	70 „	78,6	
4	128 „	75,3	
5	3 Min.	73,7	
6	3 „	72,1	
7	3 „	70,5	
8	3 „	67,6	

Sowohl in der 1. wie in der 2. Tabelle sehen wir eine Abnahme der Leitfähigkeit, die aber durchaus nicht an das Moment der Gerinnung gebunden ist, denn die Abnahme tritt auf und schreitet weiter nach der Gerinnung. Wie früher erwähnt wurde, kann hier die T^0 mitwirken. Andererseits ist auch daran zu denken, daß die beginnende Kontraktion des Gerinnsels eine Abnahme der Leitfähigkeit bewirken kann. Als Vermutung kann hier darauf hingewiesen werden, daß bei der Kontraktion der Fibrinfasern die roten Blutkörperchen, die praktisch an der Stromleitung sich fast gar nicht beteiligen, dichter aneinander gedrängt werden und hierdurch eine Zunahme des Widerstandes bewirken können. Das Phänomen der Leitungsabnahme nach der Gerinnung ist nicht immer gleich ausgeprägt, zuweilen ist es nur angedeutet; niemals ist aber eine Zunahme der Leitung zu beobachten. Wie es dem auch sei, die Erscheinung der Zunahme des Widerstandes des Gerinnsels und ihre Erklärung bilden eine selbständige Frage. Für uns ist das Resultat der Tabellen 1 und 2 bloß insofern wichtig, als wir keine auffallende Beziehung zwischen dem Momente der Gerinnung und der Leitungsänderung konstatieren können.

Verzögert man den Eintritt der Gerinnung dadurch, daß man das Blut vom Tier direkt in ein im Eis stehendes Widerstandsgefäß auffängt, um die Bestimmung der Leitungsfähigkeit bei 0^0 auszuführen, so bekommt man fortwährend abnehmende Größen; die Abnahme rührt in der ersten Zeit vom Sinken der Temperatur des Blutes her, außerdem kann hier eine Erscheinung mitwirken, die Oker-Blom (4) ausführlich geschildert und auseinandergesetzt hat, nämlich das Sinken der roten Blutkörperchen an die untere Elektrode, die ebenfalls eine Abnahme der Leitungsfähigkeit zur Folge hat. Wir haben beobachtet, daß die Abnahme auch nach erfolgter Koagulation fortschreitet, ohne daß im Momente der Gerinnung irgendeine stärkere Änderung der Leitungsfähigkeit sich bemerkbar machen würde.

Um die Konstanz der Temperatur möglichst einzuhalten, änderten wir die Versuchsanordnung insofern, als wir nicht aus der Arterie unmittelbar geronnenes Blut, sondern Blut mit oxalsaurem Ammon gemischt nahmen. Das auf diese Weise gerinnungsunfähig gemachte Blut war für eine längere Zeit im

Thermostaten bei 25° im Widerstandsgefäß und gleichzeitig im selben Thermostaten ein Gefäß mit Chlorcalciumlösung aufgestellt. Wenn der Versuch beginnen sollte, so wurde das Widerstandsgefäß im Wasser umgeschüttelt, vermittels einer Pipette eine bestimmte Menge der CaCl_2 -Lösung in das Blut übertragen und von diesem Moment die Zeit bis zum Eintritt der Gerinnung gemessen. Auch bei dieser Kombination, also bei konstanter T° , war meistens eine Abnahme der Leitungsfähigkeit zu beobachten, wofür beispielsweise der Versuch Tabelle 3 angeführt sei.

Tabelle 3.

Katzenblut, behandelt mit oxalsaurem Ammon; darauf Eintragen von CaCl_2 -Lösung. T° 25,1 C.

Nr. der Bestimmung	Zeitdistanz zwischen den Bestimmungen	Leitfähigkeit	Eintritt der Gerinnung
1	15 Sek.	81,4	Die Gerinnung tritt zwischen der 7. u. 8. Bestimmung ein.
2	33 „	80,4	
3	48 „	80,1	
4	60 „	80,1	
5	1,5 Min.	78,5	
6	2,0 „	77,9	
7	2,0 „	76,7	
8	3,0 „	76,7	
9	2,5 „	76,7	
10	2,5 „	75,1	
11	3,0 „	73,6	
12	3,0 „	72,4	

Das stetige Abnehmen der spezifischen Leitfähigkeit des Blutes vor und nach der Gerinnung rührt wahrscheinlich, wie oben auseinandergesetzt ist, von der Sedimentierung der Blutkörperchen des flüssigen Blutes und ihrer Näherung zueinander im sich kontrahierenden Gerinnsel. Um sämtliche hindernde Momente zu beseitigen, verzichteten wir deshalb auf die Versuche mit ganzem Blute und arbeiteten weiter ausschließlich mit Plasma, welches vom mit oxalsaurem Ammon versetzten Blute stammte. In der besprochenen Weise wurde das Plasma für längere Zeit im Thermostaten gelassen und darauf zu einem bestimmten Momente mit CaCl -Lösung von derselben T° ver-

menzt und der Versuch in Gang gesetzt. Diese Versuchsanordnung gab durchaus zufriedenstellende und brauchbare Resultate.

Tabelle 4.

Katzenoxalatplasma. Gerinnung nach Hinzufügen von CaCl_2 -Lösung. $T^\circ 25,0\text{ C.}$

Nr. der Bestimmung	Zeitdistanz zwischen den Bestimmungen	Spezifische Leitfähigkeit	Eintritt der Gerinnung
1	94 Sek.	121,9	Zwischen der 2. und 3. Bestimmung.
2	20 „	121,9	
3	54 „	121,9	
4	50 „	122,4	
5	60 „	122,4	

Tabelle 5.

Katzenoxalatplasma. Gerinnung nach Hinzufügen von CaCl_2 -Lösung. $T^\circ 25^\circ\text{ C.}$

Nr. der Bestimmung	Zeitdistanz zwischen den Bestimmungen	Spezifische Leitfähigkeit	Eintritt der Gerinnung
1	33 Sek.	124,3	Zwischen der 2. und der 3. Bestimmung.
2	60 „	123,8	
3	45 „	124,3	
4	66 „	124,3	
5	60 „	124,3	

Tabelle 6.

Katzenoxalatplasma. Gerinnung nach Hinzufügen von CaCl_2 -Lösung. $T^\circ 25,0^\circ\text{ C.}$

Nr. der Bestimmung	Zeitdistanz zwischen den Bestimmungen	Spezifische Leitfähigkeit	Eintritt der Gerinnung
1	36 Sek.	127,9	Zwischen der 2. und der 3. Bestimmung.
2	54 „	128,4	
3	51 „	128,4	
4	57 „	128,4	
5	57 „	128,4	

Tabelle 7 (s. Fig. 3).

Katzenoxalatplasma. Gerinnung nach Zusatz von CaCl_2 -Lösung.
 $T^\circ 25,0^\circ \text{C}$.

Nr. der Bestimmung	Zeitdistanz zwischen den Bestimmungen	Spezifische Leitfähigkeit	Eintritt der Gerinnung
1	45 Sek.	122,9	Der Gerinnungsvorgang beginnt vor der 4. und endet etwa zugleich mit der 5. Bestimmung.
2	18 „	122,9	
3	33 „	123,4	
4	84 „	123,9	
5	45 „	123,9	
6	45 „	123,9	
7	72 „	123,9	
8	30 „	123,9	

Tabelle 8.

Katzenoxalatplasma. Gerinnung nach Zusatz von CaCl_2 -Lösung.
 $T^\circ 25,0^\circ \text{C}$.

Nr. der Bestimmung	Zeitdistanz zwischen den Bestimmungen	Spezifische Leitfähigkeit	Eintritt der Gerinnung
1	36 Sek.	120,3	Die Gerinnung tritt zwischen der 4. u. 5. Bestimmung ein.
2	78 „	120,3	
3	72 „	120,3	
4	69 „	120,9	
5	30 „	121,5	
6	21 „	121,5	
7	78 „	121,5	
8	39 „	121,5	

Tabelle 9.

Hundeoxalatplasma. Gerinnung nach Zusatz von CaCl_2 -Lösung.
 $T^\circ 25,1^\circ \text{C}$.

Nr. der Bestimmung	Zeitdistanz zwischen den Bestimmungen	Spezifische Leitfähigkeit	Eintritt der Gerinnung
1	108 Sek.	161,7	Die Gerinnung tritt zwischen der 2. u. 3. Bestimmung ein.
2	120 „	161,7	
3	102 „	164,0	
4	99 „	163,3	
5	90 „	163,3	

Tabelle 10 (s. Fig. 2).

Hundeoxalatplasma. Gerinnung nach Zusatz von CaCl_2 -Lösung.
 $T^\circ 25,1^\circ \text{C.}$

Nr. der Bestimmung	Zeitdistanz zwischen den Bestimmungen	Leitfähigkeit	Eintritt der Gerinnung
1	33 Sek.	130,0	Kurz nach der 2. Bestimmung.
2	72 „	130,0	
3	48 „	130,0	
4	33 „	130,9	
5	102 „	130,9	
6	45 „	130,9	

Tabelle 11.

Hundeoxalatplasma. Gerinnung nach Zusatz von CaCl_2 -Lösung.
 $T^\circ 25,1^\circ \text{C.}$

Nr. der Bestimmung	Zeitdistanz zwischen den Bestimmungen	Leitfähigkeit	Eintritt der Gerinnung
1	39 Sek.	135,8	Kurz nach der 2. Bestimmung.
2	63 „	135,8	
3	93 „	136,3	
4	69 „	136,3	
5	147 „	136,3	

Aus den mitgeteilten Versuchen an Katzen- und Hundeoxalatplasma geht hervor, daß eine Abnahme der Leitungsfähigkeit, wie sie früher, bei Untersuchung des ganzen Blutes, beobachtet wurde, nicht zu konstatieren ist, und daß wahrscheinlich die Ursache derselben in den früheren Versuchen tatsächlich, wie vermutet war, der Anwesenheit der roten Blutkörper zuzuschreiben ist. In den zuletzt angegebenen Tabellen sehen wir im Gegenteil eher eine Tendenz zur Zunahme der Leitungsfähigkeit, die ebenfalls nicht immer scharf an den Zeitpunkt des Gerinnungseintrittes gebunden ist. Diese Zunahme, die meistens sehr unbedeutend ist, glauben wir nicht dem Einflusse der Gerinnung zuschreiben zu müssen, sondern vermuten, daß es die Wirkung der anfänglichen schwachen Temperaturerniedrigung ist, die während der Manipulation des Eintragens der CaCl_2 -Lösung in das Oxalatplasma zustande kommt. Nach unserem Dafürhalten sprechen die angeführten Zahlen dafür,

daß ein deutlich ausgesprochener Einfluß der Gerinnung auf die Leitfähigkeit des Blutes nicht zu konstatieren ist.

Wie eingangs erwähnt wurde, machten wir einige Versuche über die Leitfähigkeit des Serums des koagulierten und des des defibrinierten Blutes. Von 2 Portionen eines und desselben Blutes verschiedener Tiere war die eine in einem Gefäß zur Koagulation mit nachträglicher Kontraktion und Auspressen des Serums, die andere sofort nach der Entnahme aus dem Tier defibrinierte zum Absedimentieren der Blutkörperchen aufgestellt. Nach mehreren Stunden waren beide Sera auf ihre Leitfähigkeit bei 28,0° C untersucht.

Die Resultate tabellarisch zusammengestellt ergeben folgendes:

Tabelle 12.

Nr. des Versuches	Serumart	Spezifische Leitfähigkeit des Serums	
		des koagulierten Blutes	des defibrinierten Blutes
1	Katze	128,7	136,5
2	Katze	127,9	135,0
3	Katze	129,0	140,8
4	Katze	130,2	136,0
5	Katze	121,9	129,3
6	Hund	131,8	136,2
7	Rind	117,7	124,1
8	Rind	119,3	123,0

Es ist also in den 8 angestellten Versuchen ein ganz deutlicher Unterschied in der Leitfähigkeit des Serums eines und desselben Blutes abhängig von der Art und Weise, wie das Serum gewonnen ist, zu verzeichnen. Wir sahen oben, daß es für die Leitfähigkeit des Blutes ohne Bedeutung ist, ob das Fibrinogen im Blute gelöst oder zu Fibrin koaguliert sich befindet. Man kann sich deshalb vorstellen, daß der Unterschied in der Leitfähigkeit des Serums des koagulierten und defibrinierten Blutes nicht direkt vom Gerinnungsvorgang abhängig ist, sondern daß später, nachdem das Blut bereits geronnen ist, verschiedene Bedingungen beim Auspressen des Serum aus

dem Blutkuchen einerseits und beim Klarwerden der oberen Schicht des defibrinierten Blutes infolge der Sedimentierung andererseits, sich ausbilden können. Es ist möglich, daran zu denken, daß die Bedingungen für den Austritt der Substanzen der Blutkörperchen in das Serum beim Auspressen aus dem Blutkuchen weniger günstig sind wie die beim Senken der Blutkörperchen im flüssigen, vom Fibrin befreiten Blute. Im Einklang damit würde die Tatsache sein, daß das Serum des koagulierten Blutes *ceteris paribus* schlechter leitet wie das des defibrinierten Blutes.

Was die diskutierte Tatsache selbst anbetrifft, so müssen wir noch hinzufügen, daß Oker-Blom (4) zu einem direkt entgegengesetzten Resultate kam. Oker-Blom fand, daß das Serum des koagulierten Blutes meistens besser leitet wie das des defibrinierten Blutes. Bei genauerem Durchlesen der betreffenden Stelle bei Oker-Blom begegneten wir aber einigen Widersprüchen, die die Vermutung nahelegen können, daß hier ein Mißverständnis vorliegt. Auf Seite 134 der zitierten Arbeit lesen wir: „Es stellte sich dabei heraus, daß das Serum des defibrinierten Blutes meistens ein etwas schlechteres Leitvermögen besaß als das aus dem koagulierten Blute gewonnene. So ergab eine Probe Rinderblut für das Serum des defibrinierten Blutes die Leitfähigkeit 109,80, für solches des koagulierten Blutes 114,40. Hierzu ist allerdings zu bemerken, daß jenes gelb war, dieses dagegen eine deutlich rötliche Farbe hatte, wobei eventuell vorhandene Blutkörperchen zu dem relativ niedrigen Leitvermögen beigetragen haben können.“ Es ist klar, daß hier irgendeine Verwechslung vorgekommen ist. Denn „dieses“ Serum, welches rötlich war und deshalb schlechter leiten sollte und welches dem Sinne des Satzes zufolge das Serum des koagulierten Blutes war, hatte doch das Leitvermögen 114,4 und nicht 109,8. Berücksichtigt man noch dazu, daß das aus dem Blutkuchen ausgepreßte Serum meistens gelb aussieht, während das Serum des defibrinierten Blutes rötlich erscheint, so wäre es möglich, anzunehmen, daß hier eine Verwechslung der Benennungen der Sera stattfand, und daß das rötliche Serum des defibrinierten Blutes das Leitvermögen 114,4 und das gelbe des koagulierten 109,8 besaß. In unseren Versuchen war mit Ausnahme des Serums des Hundes

immer das rötliche Serum das besser, das gelbe das schlechter leitende. Wir müssen also sagen, daß trotz der Beimischung der roten Blutkörperchen das Serum des defibrinierten Blutes wenn nicht immer, so doch in vielen Fällen besser leitet als das blutkörperchenfreie Serum des koagulierten Blutes.

Literatur.

1. Bugarsky und Tangl, Physikalisch-chemische Untersuchungen über die molekularen Konzentrationsverhältnisse des Blutserums. Arch. f. d. ges. Physiol. 72, 540, 1898.
 2. Arrhenius, Über die Änderung des elektrischen Leitvermögens einer Lösung durch Zusatz von kleinen Mengen eines Nichtleiters. Zeitschr. f. physikal. Chem. 9, 1892.
 3. R. T. Frank, A Note on the Electric Conductivity of Blood during Coagulation. The American Journal of Physiology 14, 466, 1905.
 4. M. Oker-Blom. Tierische Säfte und Gewebe in physikalisch-chemischer Beziehung. Arch. f. d. ges. Physiol. 79, 111, 1900.
 5. G. Stewart, Elektrische Leitfähigkeit tierischer Flüssigkeiten; Centralbl. f. Physiol. 1897, 332.
 6. A. Talianzeff, Apparat zur Messung der Gerinnungsgeschwindigkeit des Blutes. Le physiologiste russe 1902. 42.
-

Über die Permeabilität der Froschhaut mit besonderer Berücksichtigung der Wirkung von Kaliumionen und der Frage der irreciproken Durchlässigkeit.

Von

W. M. Bayliss, D. Sc., F. R. S., London.

Mit 2 Figuren im Text.

Bei den verschiedenen Deutungen, die neuerdings zur Erklärung der in lebenden Organismen aufgefundenen Erscheinungen gemacht worden sind, spielen die Eigenschaften der semi-permeablen Membranen eine wichtige Rolle. Eine eingehende Untersuchung dieser Eigenschaften ist daher von Wichtigkeit.

Es muß bemerkt werden, daß, wenn eine bestimmte Reihe von Erscheinungen durch die Annahme mit gewissen Eigenschaften behafteter Membranen erklärt wird, dies an sich kein Beweis für das wirkliche Vorhandensein dieser Membrane ist. Ueberdies kann eine flüchtige Auslegung von Befunden, die auf solchen Annahmen beruhen, der Theorie einer physikalisch-chemischen Deutung der Tatsachen nur schaden, es müßte denn der Beweis gelingen, daß die fraglichen Strukturen wirklich vorhanden sind.

Die Froschhaut scheint von vornherein ein sehr günstiges Objekt zum Studium der Eigenschaften der semi-permeablen Membrane zu sein. Sie kann leicht frei von andern Elementen und in verhältnismäßig großen Stücken präpariert werden. Sie hält sich ziemlich normal nach Aufhören der Zirkulation und Aufbewahrung bei Zimmertemperatur. Andererseits hat freilich die Erfahrung gezeigt, daß einige ihrer Eigenschaften als semi-permeable Membran doch ziemlich schnell verloren gehen, so daß die Beobachtungen bei diesen Experimenten mit Frosch-

haut mit Vorsicht zu deuten sind. Wie die Mehrzahl der Membrane im lebenden Organismus, bietet sie ebenfalls den theoretischen Nachteil, nicht homogen zu sein, da sie aus einem Konglomerat von Zellen besteht, die durch eine zementartige Substanz verbunden sind. Diese zwei Bestandteile müssen nicht durchaus in Bezug auf die Permeabilität mit denselben Eigenschaften ausgestattet sein. Der Druck wird höchstwahrscheinlich in einer nicht-homogenen Membran größere Veränderungen bewirken als in einer homogenen. Ueberdies ist die Froschhaut auch noch in anderer Art heterogen: sie weist zahlreiche Drüsen auf, deren Epithel zweifellos von verschiedener Permeabilität gegenüber der übrigen Oberfläche ist.

Seit du Bois-Reymonds Beobachtungen weiß man, daß von der Froschhaut eine elektromotorische Kraft ausgeht, jedenfalls wenn sie durch die üblichen Kochsalz-Elektroden abgeleitet ist.

Galeotti¹⁾ erklärt die Ursache dieser „Hautströme“ durch eine einleuchtende Theorie, nach welcher die elektromotorischen Eigenschaften nicht vorher bestehen, sondern durch die Natrium-Ionen der Elektroden hervorgebracht werden. Während wir annehmen, daß die Haut für diese Ionen von innen nach außen impermeabel sei, ist sie es in umgekehrter Richtung. Wenn diese Ionen ungehindert von außen durch die Haut gelangen, ist es klar, daß sie positive Ladungen von der Außenseite verdrängen und so in bekannter Weise diese Oberfläche elektro-negativ machen. In dieser Theorie sind mehr oder weniger wichtige Punkte vorhanden, die durch Experimente geprüft werden müssen. Wir wollen sie der Reihe nach untersuchen. Die angenehme Einfachheit der Hypothese läßt es uns doppelt wünschenswert erscheinen, nachzusehen, inwiefern die experimentellen Resultate uns die besagten Eigenschaften der lebenden Gewebe erklären können, und auch zu verhüten, daß keiner derselben noch überhaupt einem bestehenden Gesetze Zwang angetan wird.

Die erste zu prüfende Frage ist die nach der allgemeinen Natur des elektrischen Zustandes der Haut in physikalischer oder

¹⁾ Zeitschr. f. physikal. Chem. 49, 542, 1904.

chemischer Hinsicht. Vorerst müssen wir daran erinnern, daß diese Eigenschaft nur so lange besteht, als die Haut lebend ist; diese Tatsache spricht allerdings weder für noch gegen ihren Ursprung in einer semi-permeablen Membran. Diese Membran könnte nur als solches vorhanden sein, solange die Zelle lebt.

In der Arbeit, die ich über diesen Punkt mit Bradford¹⁾ veröffentlicht habe, wurden Resultate erhalten, die auf die Wichtigkeit der osmotischen Phänomene hinwiesen, obschon zu jener Zeit die elektrische Theorie bei diesem Falle sehr wenig in Betracht kam.

Da man annimmt, die Haut sei so beschaffen, daß sich eine Konzentrationsbatterie im Sinne der Nernstschen Theorie darin befindet, dachte ich mir, daß die Messung der Umsetzung von elektromotorischer Kraft der Haut bei erhöhter Temperatur einige Aufklärung zum Stand der Dinge liefern würde. In der Konzentrationszelle ist die elektromotorische Kraft direkt proportional der absoluten Temperatur, so daß eine Steigerung um 10°, z. B. von 9° auf 19°, die elektromotorische Kraft nur im Verhältnis von $273+9$ zu $273+19$ gesteigert würde. Andererseits würde eine chemische Reaktion, wie sie diesem Phänomen zugrunde liegen könnte, verdoppelt oder verdreifacht werden, bei einer Temperaturerhöhung um 10, wenn sie von Umsetzungen im Protoplasma der Zellen herrührt, wie das bekannte Gesetz von van't Hoff besagt. In den zu diesem Zwecke vorgenommenen Versuchen begegnete man immerhin großen Schwierigkeiten, die durch das plötzliche Verschwinden der Hautströme entstanden. Ganz klar war, daß die Steigerung bei Temperaturerhöhung sehr klein war. Die Frage wurde nicht genügend weit verfolgt, um Zahlen angeben zu können. Nach Beendigung dieser Experimente entdeckte ich, daß das Thema eingehend durch Lesser²⁾ behandelt worden ist. Obschon sich dieselben Schwierigkeiten geltend machten, war doch bei gewissen Experimenten die Abnahme langsam genug, um den Vergleich zwischen den Beobachtungen und den theoretischen Werten zu ermöglichen, berechnet auf

¹⁾ Journ. of Physiol. 7, 27, 1886.

²⁾ Pflügers Archiv 110, 124, 1907.

Grund der Annahme ihrer Proportionalität zur absoluten Temperatur. Die Übereinstimmung war ausreichend.

In den verschiedenen Versuchen, die hier zur Sprache kommen, ergab sich, daß die Haut dadurch, daß man sie an das Ende einer Glasröhre band, leicht verletzt wird, so daß der Apparat wie nebenstehende Figur 1 wiedergibt, ausgeführt wurde und sich im Gebrauch als sehr praktisch erwies.

Die vertikale Höhe der Röhre bei *C* wurde so eingerichtet, daß sie derjenigen der Lösung im Becherglase gleichkam. Auf diese Weise konnten die osmotischen Eigenschaften der Haut geprüft werden, ohne sie einem Druck auszusetzen. Die Einfassungen der zwei Glasröhren werden mit Vaseline eingefettet und die Haut vorsichtig zwischen ihnen mit kleinen Klammern befestigt, die so angeordnet waren, daß sie die zwei Einfassungen und die Haut zwischen sich einschlossen. Vom Gebrauch des Elektroden wird später die Rede sein.

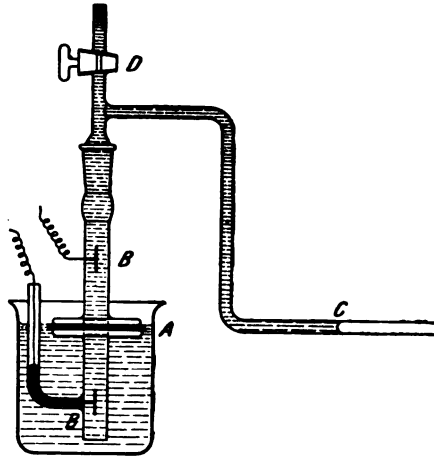


Fig. 1.

- A Stück Haut zwischen Glaseinfassung mit Vaseline eingefettet.
- B Platin-Elektroden, mit platin-schwarz plattiert.
- C Flüssigkeitsmeniscus in einer engen Glasröhre.
- D Hahn zum Einfüllen.

Was uns in der Annahme bestärkt, daß die elektromotorische Kraft der Haut nicht schon vorhanden ist, sondern durch die Natriumionen in den Elektroden hervorgerufen wird, ist die Tatsache, daß wenn ein Stück Haut vom Rücken des Frosches abgeschnitten, auf eine Kaolinmasse, die mit Ringerscher Lösung zu einer Paste verarbeitet wurde, gelegt wird und dann durch Ostwaldsche Kalomel-Elektroden, die mit Ringers Lösung versetzt waren, mit einem Galvanometer verbunden wird, so zeigt sich eine sehr geringe elektromotorische

Kraft. Dieser Vorgang geht in Verlauf von höchstens 5 oder 10 Minuten vor sich, hauptsächlich durch das Eindringen der Natriumionen.

Galeotti findet, daß bei Verwendung von Kaliumchlorid-Elektroden überhaupt keine elektromotorische Kraft entwickelt wird. Er sieht hierin einen Beweis dafür, daß die Haut von Natur aus gegen Kaliumionen weder in der einen noch der andern Richtung durchlässig ist, so daß keine Möglichkeit einer Konzentrationsbatterie vorhanden ist. Daß unter diesen Bedingungen die Haut keine elektromotorische Kraft besitzt, beweist uns, daß letztere keine natürliche schon vorhandene Eigenschaft ist. Es muß allerdings daran erinnert werden, daß unter natürlichen Umständen die äußere Oberfläche der Froschhaut mit Kaliumsalzlösungen nicht in Berührung kommt.

Was das Fehlen jeder elektromotorischen Kraft bei Verwendung von Chlorkalium-Elektroden anbetrifft, kann ich nur Galeotti beistimmen; doch scheint mir, daß einige Tatsachen bei der Deutung noch in Betracht gezogen werden müssen.

Kaliumionen sind bekanntlich für die Protoplasmatätigkeit im allgemeinen außerordentlich giftig, so daß es leicht möglich ist, daß unter ihrem Einfluß die semi-permeable Natur der Membran, mit der wir es zu tun haben, total vernichtet wird, so daß die Haut nicht nur gegenüber Kaliumionen permeabel wird, sondern auch für Natrium- und alle anderen Ionen. Um diese Möglichkeit zu prüfen, untersuchte ich die Wirkung einer Lösung von 0,562% NaCl plus 0,179% KCl und fand, daß diese Lösung denselben Effekt hatte wie eine, die nur Kaliumchlorid allein enthielt.

Nun ist es unerklärlich, warum bei der Annahme, daß unter der Wirkung von Kaliumionen die Haut für Natriumionen impermeabel bleibe, keine elektromotorische Kraft entwickelt werde. Die Anwesenheit von Kaliumionen an sich sollte das Resultat, das durch die Natriumionen zustande kommt, nicht beeinträchtigen. Mir scheint, es sei daraus zu folgern, daß Kaliumsalz die Membrane wegen seiner toxischen Wirkung für beide permeabel macht.

Eingedenk des physiologischen Gegensatzes von Kalium- und Kalziumionen, wie sie zuerst durch Ringer¹⁾ dargetan

¹⁾ Journ. of Physiol. 4, 32, 1883.

wurde, schien mir der Versuch lohnend, den Effekt von Kaliumsalzen durch Hinzufügen von Kalciumsalzen zu der Lösung aufzuheben; doch blieb der Versuch bis jetzt ohne Erfolg. Wegen Zeitmangel versuchte ich nicht viele verschiedene Salzkonzentrationen, und höchstwahrscheinlich war die Menge der Kaliumionen in meinen Lösungen zu groß.

Was die Semipermeabilität der Haut als Ganzes anbelangt, ist es vielleicht von Interesse, wenn ich auf einige dahingehende Experimente kurz hindeute. Nachdem die Haut sorgfältig vom Bein eines Frosches abgestreift war, wurde sie an das Ende einer Glasröhre gebunden, mit Ringerscher Lösung gefüllt und in destilliertes Wasser getaucht; es ergab sich, daß Wasser in die Salzlösung hineindiffundierte, so daß die Flüssigkeitssäule in der Röhre allmählich stieg; nach 24 Stunden stand die Säule etwa 10 oder 12 cm oberhalb der Wasseroberfläche im äußeren Gefäß. Bei Verwendung von Kaliumchlorid trat keine Erhöhung ein. Es ist schwierig zu erklären, warum die Erhöhung nicht größer war als diese wenigen Zentimeter, wie lange auch der Prozeß fortgesetzt wurde. Ich neige zu der Ansicht, daß die Ausdehnung des Sackes und die dadurch bewirkte Lockerung zwischen den Teilen, aus denen die Membrane besteht, die Schuld daran trägt. Das war tatsächlich der Grund, der mich zur Konstruktion des Apparates (Fig. 1) veranlaßte, so daß es möglich wurde, festzustellen, ob die Haut in jedem beliebigen Falle ihre normalen osmotischen Eigenschaften besaß, was durch Beobachtung der Bewegung des Meniscus in der Röhre möglich war, oder wenn notwendig, mit Hilfe einer mikroskopischen Messung. Selbstverständlich beugte ich einer Täuschung durch „initiale“ Osmose vor.

Bei einem anderen Experiment ähnlicher Art füllte ich zuerst Natriumchlorid von 0,9 % ins Innere des Hautsackes und tauchte ihn in destilliertes Wasser wie vorhin. Nachdem ich mich überzeugt hatte, daß das normale Steigen der Flüssigkeit eintrat, vertauschte ich das Wasser mit 1 % iger Kaliumchloridlösung. Es erfolgte kein Steigen der Flüssigkeit. Die Lösung von Kaliumchlorid wurde dann abermals durch destilliertes Wasser ersetzt; es trat kein Steigen in etwa 24 Stunden nach dem Wechseln der Lösung ein, doch erreichte die Flüssigkeit zuletzt beinahe dieselbe Höhe wie in der Norm.

Dieser Versuch beweist, daß die Haut sich wieder erholen kann, nachdem Kaliumsalz auf sie eingewirkt hat. Ebenso zeigt er, daß die geringe Erhebung der Flüssigkeit in der Röhre in den vorhergehenden Experimenten nicht auf Schädigung oder Absterben des Gewebes zurückzuführen ist, da eine beinahe normale Höhe nach 24 Stunden beobachtet wurde. Die Tatsache scheint zu zeigen, daß das Verschwinden der elektromotorischen Eigenschaften der Haut, wenn Natriumchlorid-elektroden angewendet werden, auf eine andere Ursache als auf den Stillstand der normalen Semipermeabilität des Gewebes selber zurückzuführen ist.

Es ist klar, daß Kaliumionen die Semipermeabilität im obigen Falle zerstört hatten; denn wenn die normale Impermeabilität gegenüber Natriumionen geblieben wäre, so hätte das Steigen der Flüssigkeitssäule normal sein müssen; da die Haut für Kaliumionen durchlässig ist, würde ihr Vorhandensein in bezug auf den osmotischen Druck gänzlich indifferent sein.

Der semipermeable Charakter der Froschhaut besteht nur partiell, da nur ein verhältnismäßig kleiner Druck ausgehalten werden kann. Damit übereinstimmende Resultate erhält man durch die Messung des elektrischen Widerstandes. Wenn eine Membran für die Elektrolyten jener Lösungen, welche sie voneinander trennt, total impermeabel ist, muß sie als Nichtleiter wirken. Die Ionen, welche durch ihre Wanderung den Strom von der Elektrode auf einer Seite eines solchen Diaphragmas zur andern tragen, können nicht durch die Membran hindurch und so ihre Ladungen nicht den Elektroden abgeben.

Diese Tatsache, daß eine Membran, die impermeabel für die Ionen der sie berührenden Lösungen ist, einen enormen Widerstand für den Durchgang des Stromes bildet, ist in der Arbeit von Berkeley und Hartley¹⁾ über den osmotischen Druck von konzentrierten Lösungen bewiesen. Eine bestimmte Kupferferrocyanidzelle hatte zu Anfang einen Widerstand von 2700 Ohm; als sie der elektrolytischen Wirkung ausgesetzt wurde, steigerte sich der Widerstand bis zu 300000 Ohm, um mehr als das Zehnfache. Wir neigten zu der An-

¹⁾ Phil. Trans. Roy. Soc. 206, 1906.

nahme, daß die Widerstandsfähigkeit im lebenden Zustande der Froschhaut weit größer als nach dem Kochen ist. Zu meiner Überraschung konnte ein Unterschied in der Widerstandsfähigkeit zwischen gekochter und lebender Haut nicht konstatiert werden. Im Apparat Fig. 1 stieg der tatsächliche Widerstand bei 15°, wobei die Haut in Kontakt mit 0,12 n-NaCl-Chlorid war, bis zu 2800 Ohm zwischen den Elektroden; praktisch übereinstimmende Werte wurden bei Anwendung von Filtrierpapier von der Dicke der Froschhaut gefunden. Diese Messung wurde mittels Wethams Modifikation der Kohlrauschschen Methode vorgenommen.¹⁾ Eine Erklärung für diese Erscheinungen vermag ich nicht zu geben.

Ich gehe über zur Betrachtung des interessanten Punktes über die irreziproke Permeabilität der Haut für Natriumionen. Nach Galeotti ist diese Membran permeabel für solche Ionen von außen nach innen, aber nicht in umgekehrtem Sinne.

Die Existenz einer solchen Membran ist vom physikalischen Gesichtspunkte aus schwer verständlich. Trouton und auch Bernstein²⁾ haben die Struktur trichterförmiger Löcher angenommen. Jedoch, wie dem auch sei, zeigt uns ein wenig Überlegung, daß die dauernde Existenz einer solchen Membran als eine physikalische Struktur ein Ding der Unmöglichkeit ist. Wie von Overton auseinandergesetzt wurde, würde sie ein Perpetuum mobile darstellen. Da die Konzentration des Natriumsalzes auf einer Seite auf Kosten der andern steigen wird, ist es klar, daß daraus eine osmotische Leistung resultieren würde, und zwar so lange, als ihre charakteristische Eigenschaft bestehen bliebe und ohne irgendwelche äußere Einwirkung.

Obwohl dies so ist, so schließt es doch nicht die Möglichkeit von Beziehungen solcher Membranen zu lebenden Zellen aus. Ihre dauernde Existenz könnte unter diesen Umständen ermöglicht werden durch die Zufuhr der erforderlichen Energie durch die chemischen Reaktionen des Zellstoffwechsels. Zugleich ist es von äußerster Wichtigkeit zu sehen, ob sich solche Membranen irgendwie nachweisen lassen.

Galeotti behauptet, daß, wenn Wasser mit der inneren

¹⁾ Phil. Trans. Roy. Soc. 194, 1900.

²⁾ Pflügers Archiv 109, 319, 1905.

Oberfläche der Haut und NaCl-Lösung mit der äußeren Oberfläche in Berührung tritt, daß dann das Wasser nach 1 oder 2 Stunden auf Silbernitrat reagiert; kehre man hingegen die Lage der beiden Flüssigkeiten um, so zeige sich in so kurzer Zeit keine Reaktion, eine schwache hingegen erscheine nach mehreren Stunden. Bei der Wiederholung dieses Versuches ist es mir nicht gelungen, mich von einem ausgesprochenen Unterschied zwischen beiden Fällen zu überzeugen. In der Annahme, daß vielleicht die mehr oder weniger ausgedehnte Berührung mit Wasser die Permeabilität der Haut ungünstig beeinflusst haben könnte, versuchte ich die Anwendung einer 7,4 %igen Rohrzuckerlösung (also isotonisch mit 0,12 normal NaCl) an Stelle des destillierten Wassers, doch blieben die Resultate die gleichen. Indessen lege ich kein Gewicht auf diese Versuche, da ihre Zahl nicht groß genug war. Zweifellos würde der Unterschied nur ein quantitativer sein, und es wäre zur Erreichung befriedigender Resultate sehr sorgfältiges Arbeiten erforderlich.

Das gleiche gilt von verschiedenen Versuchen meinerseits, einen Unterschied in der Steighöhe der Flüssigkeitssäule bei ähnlichen osmometrischen Experimenten zu entdecken, wie sie oben beschrieben sind. Es gelang mir nicht, irgend einen Unterschied in der Wirkung zu konstatieren, wenn das Natriumchlorid in Berührung mit der inneren oder der äußeren Fläche der Haut trat.

Andererseits erhielt ich bei gewissen elektrischen Versuchen, die jetzt beschrieben werden sollen, Resultate, die keine andre Deutung gestatten als die, daß tatsächlich ein Unterschied im Grade der Permeabilität für Natriumionen in beiden Richtungen besteht.

Bei Überlegung der Folgen solcher ungleichmäßiger Permeabilität kam ich auf den Gedanken, daß eine solche Membran, wenn ein Wechselstrom durch sie geschickt würde, wie ein Gleichrichter wirken würde, da ja die Natriumionen in der einen, nicht aber in der andern Richtung ihre Ladungen transportieren würden.

Die ersten Versuche wurden vorgenommen, um festzustellen, ob ein Unterschied gefunden werden könnte in der relativen Stärke der Ströme in einem Stromkreis, in den die Haut ein-

geschlossen war, wenn dieselbe elektromotorische Kraft in entgegengesetzten Richtungen angewandt wurde. Zu diesem Versuch wurde der in Fig. 2 dargestellte Apparat benutzt. Es stellte sich die Unmöglichkeit heraus, befriedigende Ablesungen zu machen, da der Strom infolge von Polarisation innerhalb der Haut rapide fiel.

Ich nahm deshalb meine Zuflucht zu schnellen und kurzen Wechselströmen. Wenn der rotierende Wetham-Kommutator angewandt wurde, so kam der in der Zeichnung Fig. 2 dargestellte Stromkreis zur Anwendung.

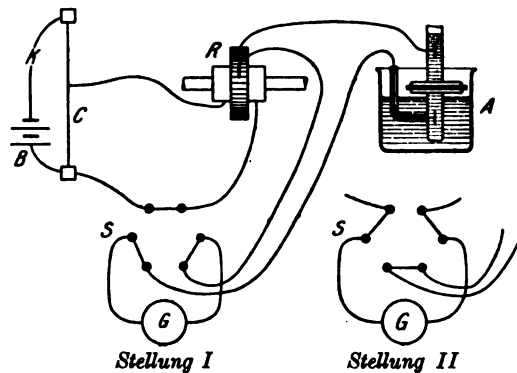


Fig. 2.

- A Apparat für die Haut
- B Batterie
- C Gleichdraht
- G Galvanometer
- K Schlüssel
- R rotierender Kommutator
- S Schaltung

Mit Hilfe der Schaltung (Stellung 2) konnte der Strom durch ein Galvanometer geschickt und so gemessen werden, ehe der Kommutator ihn in einen Wechselstrom verwandelte. Drehte man die Schaltung in Stellung 1, so wurde das Galvanometer in den Teil des Stromkreises eingeschaltet, in dem der Strom wechselte und der die präparierte Froschhaut einschloß. Ist die eingeschaltete Membran eine indifferente, wie z. B. tote Haut, so sollte das Galvanometer keine Ablenkung zeigen,

vorausgesetzt, daß die beiden Phasen des Wechselstromes gleichen Verlauf haben.

Befestigte man die Haut in dem Apparat und brachte Ringersche Lösung auf ihre beiden Seiten, so gestaltete sich der Versuch folgendermaßen:

Stand die Schaltung in Stellung 2, so wurde der Strom durch den Gleitdraht auf die richtige Stärke gebracht, während der Kommutator rotierte. Die Schaltung wurde dann so gedreht, daß das Galvanometer im Wechselstromteile des Kreises war, d. h. in Position 1. Nun zeigte sich, daß eine Ablenkung des Galvanometers eintrat. Stand z. B. die Schaltung in Stellung 2, so betrug der Ausschlag 16 Teile nach links, in Stellung 1 hingegen nur 7 Teile. Bei stärkerem Strom infolge Umkehrung der Verbindungen mit der Batterie betrug in Position 2 der Ausschlag 55 nach rechts, in Position 1 32 nach links, d. h. also in derselben Richtung wie vorhin, obwohl die Richtung des Gleichstromes die umgekehrte war. Prüfte man die Richtung dieses „rektifizierten“ Stromes, so ersah man aus seiner Richtung, daß ein Strom wohl von außen nach innen, nicht aber von innen nach außen passieren konnte. Das ist tatsächlich der Kern der Galeottischen Theorie.

Bei dieser Versuchsanordnung gibt es zwei Fehlerquellen. Erstens ist es möglich, daß zwei Phasen des Wechselstromes nicht ganz gleich sind infolge ungenauen Funktionierens des Kommutators. Bei der Prüfung dieses Punktes unter Anwendung von Filtrierpapier an Stelle der Haut zeigte es sich, daß eine kleine Abweichung der erwähnten Art vorhanden war. Diese wurde natürlich durch Wechseln der Verbindungen mit der Batterie umgekehrt. Da bei Verwendung der Haut die Richtung des Stromes ganz unabhängig von den Verbindungen mit der Batterie immer die gleiche war, so läßt sich diese Erklärung ausschließen. Eine andere Möglichkeit eines Irrtums ist die Erzeugung einer erregenden elektromotorischen Kraft infolge direkter Stimulierung der Drüsen durch den hindurch gesandten Strom. Dies ist aber deswegen ausgeschlossen, weil das benutzte Galvanometer nicht empfindlich genug war, um solche Vorgänge anzuzeigen. Der Reststrom erzeugte nur eine Ablenkung von ungefähr einem Teil der Skala, und es zeigte sich

bei dem Versuch, die elektromotorische Kraft zu messen, daß erforderlich wäre, einen Strom von ähnlicher Stärke wie die oben beobachteten durch denselben Stromkreis zu senden, der beinahe $\frac{1}{10}$ Volt betragen dürfte. Das ist erheblich mehr als bei irgendeinem bekannten Erregungsvorgange. Bei den schon erwähnten Versuchen von Bradford und hier betrug der erzielte Maximizeffekt ungefähr 0,025 Volt.

Soweit sich also feststellen läßt, wirkt die Haut als ein Gleichrichter und besitzt daher irreziproke Permeabilität. Bei Wiederholung dieser Versuche mit Strömen der sekundären Spule eines Du Bois-Reymondschen Apparates ergab sich, daß bei Strömen mit ähnlicher Stärke wie die für Nervenreizung verwendeten sich ein Ausschlag in der gleichen Richtung zeigte, einerlei ob die Verbindungen der primären oder sekundären Spule umgekehrt wurden. Bei Verwendung starker Ströme hingegen war die geringe Ablenkung in ihrer Richtung verändert, wenn der Strom in der primären Spule wechselte, wahrscheinlich war die Haut durch die starken Ströme abgetötet worden.

Diese Resultate, welche die Gleichrichtung eines Wechselstromes zeigen, lassen sich, soweit meine Erfahrung geht, nur erzielen, solange die Haut frisch ist. Nach 6 oder 7 Versuchen zeigte es sich, daß die Haut sich nicht mehr anders als eine indifferente Membran verhielt.

Im ganzen kann man sagen, daß meine Versuche die Galeottische Theorie stützen. Bezüglich der Wirkungsweise des Kaliumionen ist der einzige wesentliche Punkt, in dem wir verschiedener Meinung sind.

Die Eigenschaften der Froschhaut als einer halbdurchlässigen Membran sind nicht so klar definiert wie die der homogenen „Plasmahaut“ der roten Blutkörperchen im klassischen Werke von Hamburger oder die der Muskelfasern in Overtons Versuchen. Die Eigenschaften, welche die Haut besitzt, scheinen teilweise die einer halbdurchlässigen Membran zu sein. Ihre interessanteste Eigenschaft ist die der irreziproken Permeabilität gegenüber Natriumionen. Aus diesem Grunde erscheint es mir wünschenswert, daß die oben beschriebenen Resultate auf jede mögliche Weise nachgeprüft werden.

Die Wirkung der Totalexstirpation sämtlicher Speicheldrüsen auf die sekretorische Funktion des Magens beim Hunde.

Von

John C. Hemmeter, M.D. Ph.D.

(Aus dem Physiologischen Institut der Universität Maryland, Baltimore.)

Aus klinischen Erfahrungen ist bekannt, daß Erkrankungen der Speicheldrüsen von verminderter Sekretion des Magens begleitet werden. Experimente, welche von Klinikern und Physiologen zu dem Zwecke ausgeführt wurden, die Sekretion der Speicheldrüsen auszuschalten oder zu zerstören, haben ergeben, daß solchen Versuchen gewöhnlich eine verringerte proteolytische Wirkung des secernierten Magensafts folgte.¹⁾

Spätere Arbeiten über das interessante Verhältnis dieser beiden Organe zueinander wurden von E. Biernacki, Zeitschr. f. klin. Med., 21, Heft 1 und 2 veröffentlicht. Im „International Medical Magazine“ für August 1896 schrieb Julius Friedenwald eine Abhandlung über die Wichtigkeit des Speichels für die Magenverdauung.

Alle Forscher und Kliniker, die bisher über diese interessanten Beziehungen gearbeitet haben, suchten die Erklärung für den Einfluß des Speichels auf die Magensaftsekretion in

¹⁾ Siehe Wright, „Der Speichel“, Ecksteins Handbibliothek des Auslandes, Wien 1844. Auch Bidder und Schmidt, „Die Verdauungssäfte und der Stoffwechsel“, 1852. Siehe auch George Sticker, „Wechselbeziehungen zwischen Speichel und Magensaft“, Volkmanns Sammlung klin. Vorträge d. inn. Med., Nr. 100, 297, S. 2699; derselbe Autor, Georg Sticker, hat noch eine Arbeit geschrieben, welche Licht wirft auf die Beziehungen zwischen Speicheldrüsen und Magen, in der Münch. med. Wochenschr. 1886, Nr. 32 und 33, betitelt „Hyperacidität und Hypersekretion des Magensaftes“.

der chemischen Zusammensetzung des Speichels selbst. Durch eine große Anzahl von Experimenten, die ich selbst an gesunden Studenten machte, überzeugte ich mich von der Richtigkeit der hauptsächlichlichen Schlüsse der vorhergenannten Forscher und Beobachter, d. h., daß die proteolytische Wirksamkeit entschieden stärker war, wenn Speichel den Probespeisen beigemischt war und wenn normales Kauen und Verspeichelung stattgefunden hatte, als wenn die Nahrung direkt durch eine Sonde in den Magen geführt worden war, und so der Speichelintritt in den Magen verhindert war.

Daß diese durch das Fehlen des Speichels und Kauens verursachte Verminderung der Magenverdauung keine Folge des Verlusts an Ptyalin war, wurde durch Experimente an Hunden bewiesen, deren Speichel vorher als frei von Ptyalin befunden worden war. Bei zwei Hunden wurde die Speiseröhre durchgeschnitten und das obere und untere Ende dieser gespaltenen Röhre in die äußere Halshaut genäht.¹⁾ Auf diese Weise konnte man die Nahrung wieder zurück erhalten, die bereits vom Hunde gekaut und verspeichelt worden war. Zugleich erhielt man, wenn diesen Tieren eine einfache Magenfistel angelegt war, nach Scheinfütterung einen reinen und klaren Magensaft. Dieser Saft hatte im Durchschnitt dieselbe proteolytische und milchcoagulierende Kraft wie derjenige von Hunden mit einem künstlichen Magen. Man darf nicht vergessen, daß in jedem Falle der Saft von einer Magenschleimhaut gewonnen worden war, die mit der Nahrung nicht in wirkliche Berührung gekommen ist; denn selbst beim künstlichen Magen berührt die Nahrung nicht die secernierende Oberfläche. Es kann daher nicht der Einwand gemacht werden, daß die proteolytische Wirkung des gewonnenen Saftes durch im Speichel enthaltene peptogene Substanzen beeinflußt oder nicht beeinflußt worden war (oder daß die Nahrung mit Speichel vermischt war).

Wenn die Hunde gefüttert wurden, indem man ihnen Brot, Rindfleisch oder Milch direkt durch eine Sonde ohne Kauen oder Verspeicheln in den Magen führte, und die Nahrung dann wieder erhalten wurde, indem man sie entweder durch eine Magensonde ausheberte, wie es bei dem Probefrühstück geschieht,

¹⁾ Nach Pawlow; Ergebnisse d. Physiol. 1, 1. Abt., S. 256.

oder eine einfache Magenfistel anlegte, so ergab sich, daß man die Sekretion eines Magensaftes von beträchtlich verringerter proteolytischer und milchcoagulierender Kraft verursacht hatte — verglichen mit dem Magensaft desselben Hundes nach normalem Kauen und Schlucken seiner Nahrung —, oder verglichen mit dem Magensaft derselben Hunde nach „Scheinfütterung“, — oder selbst verglichen mit dem aus einem künstlichen Magen erhaltenen Magensaft. Man muß die Tatsache nicht übersehen, daß der aus einer filtrierten Probemahlzeit gewonnene Magensaft nicht dieselbe proteolytische Kraft haben kann wie der reine Magensaft, den man auf eine der beschriebenen operativen Arten erhält, da einige der aktiven Bestandteile des Magensaftes in solche chemische Verbindungen mit der Nahrung eingehen, daß sie ihre physiologische Aktivität nicht mehr ausüben können. Daher ist es nicht logisch, den Magensaft aus filtrierter Probenahrung mit dem Magensaft aus einem künstlichen Magen zu vergleichen oder mit demjenigen mit einfacher Magenfistel, nachdem die Zufuhr von Nahrung in dieses Organ durch Speiseröhrendurchschneidung verhindert worden ist.

Im Laufe dieser experimentellen Versuche ergab sich nun, daß die verminderte Magenverdauung — nach Mahlzeiten, die nicht gekaut oder verspeichelt waren — nicht dem Mangel an Ptyalin zuzuschreiben war; denn es war erwiesen, daß bei einigen der Hunde der Speichel normalerweise frei von Ptyalin war.

In den vorangegangenen Experimenten an normalen Studenten waren wir schon zu dem Schlusse gekommen, daß dieselbe Verminderung der Magenverdauung nicht der chemischen Reaktion (Alkalinität) des Speichels zuzuschreiben war, da einige der Versuchspersonen regelmäßig neutralen Speichel aufwiesen; bei einigen war der Speichel sauer und bei anderen amphoter.

Bei immer neuen Experimenten und klinischen Beobachtungen tauchte der Gedanke auf, daß vielleicht der Einfluß der Speicheldrüsen auf die Sekretion des Magensaftes durch irgend etwas sich besonders in den Speicheldrüsen Bildendes hervorgerufen würde, d. h. durch eine von der Speichelsekretion vollständig getrennte und verschiedene Funktion.

Diese Frage konnte bei Hunden nur durch chemische

Analyse ihres Magensaftes geprüft werden, indem man eine quantitative Bestimmung seiner physiologischen Wirkungen vor und nach vollständiger Exstirpation der Speicheldrüsen anstrebte. Bei dem Versuche zur Lösung dieser experimentellen Frage waren es hauptsächlich drei Punkte, die sich aufdrängten.

Der erste war: Welche Wirkung hat die vollständige Entfernung der Speicheldrüsen auf die Sekretion des Magensaftes?

Der zweite: Wenn die Menge der Sekretion sowohl hinsichtlich der proteolytischen als der milchcoagulierende Kraft vermindert ist, d. h., wenn die Menge von HCl und Fermenten verringert würde, kann sie dann wieder entweder durch Verfütterung von Speichel drüsen oder von ihren Extrakten direkt mit der Nahrung oder durch Injektion von Extrakten der Speicheldrüsen in die Zirkulation zu ihrer Norm zurückgeführt werden?

Der dritte Punkt betrifft die Methode, mittels welcher der Magensaft gewonnen werden sollte. Soll er gewonnen werden: a) durch Aushebern des Probefrühstücks durch eine Magensonde, b) durch einen künstlichen Magen, c) durch eine einfache Magenfistel?

Eine Gewinnung des Magensaftes nach der Spaltung der Speiseröhre durch „Scheinfütterung“ entsprach nicht unserem Zweck, da solche Tiere die Nahrung nicht mehr in der gewöhnlichen Weise schlucken können und das normale Kauen und Schlucken für das Studium gewisser aktueller Probleme wesentlich war.

Die Anlegung eines kleinen Magens nach Pawlow ist, meiner Erfahrung nach, immer eine sehr schwere Operation und bei persönlichen Erkundigungen in amerikanischen physiologischen Laboratorien habe ich gefunden, daß es anerkanntermaßen eine schwierige Sache ist, ein solches Tier über die Folgen einer derartigen Operation zur vollständigen Wiederherstellung zu bringen. Wenn jedoch die Operationen der Exstirpation der Speicheldrüsen schon vorangegangen sind, so wird die Operation des künstlichen Magens eine viel ernstere, und es gehen daran mehr Tiere zugrunde, als dieses ohne Entfernung der Speicheldrüsen der Fall gewesen wäre. Die Exstirpation der Speicheldrüsen hat durch mehrere Operationen zu erfolgen. Es hat sich als recht empfehlenswert herausgestellt, erst diejenigen auf der einen Seite zu entfernen, näm-

lich die Parotis orbitalis, Submaxillaris und Sublingualis, und dann einen Monat bis zur vollständigen Wiederherstellung zu warten. Alsdann werden die Drüsen auf der anderen Seite in derselben Weise entfernt, und wieder drei bis vier Wochen zur vollständigen Heilung gewartet, ehe die Operation des künstlichen oder Pawlowschen Magens unternommen wird. Es ist natürlich absolut notwendig, die Magensaftsekretion vor und nach dem Entfernen der Speicheldrüsen zu prüfen, auch muß die Operation der Anlegung eines künstlichen Magens derjenigen der Exstirpation der Speicheldrüsen vorangehen, — im Falle der Magensaft auf diese Weise studiert werden soll. Die sog. Pawlow-Operation ist, meiner Erfahrung nach, eine so schwere, daß ich vor mehreren Jahren begann, eine neue operative Methode auszuarbeiten, die in kürzerer Zeit und mit weniger Nähen ausgeführt werden konnte. Ich glaube diese neue, vereinfachte operative Prozedur gefunden zu haben; sie ist in dem amerikanischen Journal of Physiology 17, 321 veröffentlicht: „An improved operative Method of Forming an experimental accessory (Pawlow) stomach in the dog.“

Hunde, die nach Pawlow operiert sind, zeigen häufig eine pathologisch vermehrte oder verminderte Sekretion, wenn man die Menge und die Wirkung der Sekretion mit derjenigen desselben Tieres bei identischen Probespeisen vergleicht in Fällen, wo der Saft durch „Scheinfütterung“ gewonnen ist, nachdem die Tiere mit einer einfachen Magenfistel versehen worden sind. Pawlow spricht von diesen pathologischen Phänomenen, erwähnt aber bloß Weigerung der Nahrungsaufnahme, Erbrechen und Lähmungserscheinungen. Er erwähnt nicht besonders irgend welche Veränderungen der proteolytischen Wirksamkeit des Sekretes nach der Operation.¹⁾

Bei zweien meiner Tiere, an denen die Magensaftsekretion vor und nach der Pawlowschen Operation beobachtet wurde, war offenbar die Sekretion verändert; tatsächlich schwankten bei demselben Tiere die proteolytische und milchcoagulierende Kraft erheblich in den ersten zwei Wochen nach der Wiederherstellung. Pawlow nimmt an, daß die Störungen der Peristaltik und die Weigerung der Nahrungsaufnahme usw. reflek-

¹⁾ Ergebn. d. Physiol. 1, 260.

torisch durch Beeinflussung der Nervenfasern verursacht werden, die sich in dem Gewebe, das den kleinen mit dem großen Magen verbindet, hinziehen. Es ist wahrscheinlich, daß die Sekretionsstörungen, die ich beschreibe, eine Folge derselben Nervenbeeinträchtigung sind. Diese sekretorischen Störungen hören zwei bis drei Wochen nach der Operation auf. Für unseren Zweck ist es wichtig, zu berücksichtigen, daß die Sekretion des kleineren Magens nicht immer ein richtiger Nachweis für die sekretorische Tätigkeit ist, die der Tiermagen unter normalen Bedingungen zu leisten vermag; z. B. konnte man bei einigen unserer Experimente mit Pawlowschen Hunden nach Exstirpation der Speicheldrüsen absolut keinen Magensaft aus dem kleinen Magen erhalten, wenn aber das Tier längere Zeit beobachtet wurde, kehrte die Magensaftsekretion allmählich bis zu einem gewissen Grade zurück, erreichte aber nie mehr ihre normale proteolytische oder milchcoagulierende Kraft.

Obleich der künstliche Magen unentbehrlich ist, wenn das Objekt reiner Magensaft — unvermischt mit Nahrung — sein soll, so ist dies für unsern Zweck nicht absolut wesentlich. Wenn wir einen Begriff von der proteolytischen und milchcoagulierenden Kraft des Magensaftes vor Exstirpation der Speicheldrüsen durch Abfluß der Nahrung mittels einer einfachen Magenfistel gewinnen können und dann später diesen selben Magensaft nach Entfernen der Speicheldrüsen beobachten können, so ist das alles, was für das Primärobjekt des Experiments erforderlich ist.

Diese Methode wurde von Tarulli und Pascucci 1901 angewandt, als sie den Einfluß der Milzexstirpation auf die Verdauungskraft des secernierten Magensaftes beobachteten.¹⁾ Demgemäß werde ich in dieser Mitteilung nur über die an Hunden mit einfacher Magenfistel vor und nach Exstirpation sämtlicher Speicheldrüsen gemachten Beobachtungen berichten, und diejenigen, die an Hunden mit Pawlowschen Magen gemacht wurden, für eine spätere Veröffentlichung aufbewahren; denn sie sollten aus gewissen Gründen, die später anzugeben sind, in eine eigene Gruppe eingereiht werden.

¹⁾ Physiologie des Menschen von Luigi Luciani, deutsche Übersetzung von Baglioni und Winterstein, 2, 151.

Analytische Methoden.

In Anbetracht der Verwirrung, die noch besteht in bezug auf Wert, Genauigkeit und Anwendbarkeit der verschiedenen Methoden, die Menge freier und gebundener vom Magen secernierter HCl zu bestimmen¹⁾, hielt ich mich an keine der Methoden, um die Menge freier und gebundener HCl festzustellen. Wenn der Magensaft dem Anschein nach freie HCl enthielt — nach Günzbergs Reaktion (Phloroglucin, Vanillin) oder nach der Resorcinprobe von Boas —, so wurde die Menge freier und gebundener HCl nach Hoffmann-Ostwald bestimmt, wie dies in H. J. Hamburgers bekanntem Werk „Osmotischer Druck und Ionenlehre“ 2, 499 beschrieben ist. Wir wandten auch Töpfers Methode an, sie immer ergänzend durch die Phloroglucin-Vanillinprobe. Die milchcoagulierende Kraft wurde beurteilt nach der Zeit, die erforderlich war, um in 5 ccm Milch mittels $\frac{1}{2}$ ccm Magensaftfiltrats Coagulation zu verursachen. Die proteolytische Wirksamkeit wurde nach Mett gemessen und die Methode gewöhnlich durch die von Hammer-schlag kontrolliert²⁾, vorausgesetzt, daß genügend Magensaft gewonnen worden war, um beide Methoden auszuführen. Nierenstein und Schiff³⁾ haben Metts Methode sehr wesentlich vervollkommenet, und ihre Abänderung kam zur Anwendung. In sehr zweifelhaften Fällen, wenn keine Wirkung auf Mettsche Röhrchen erfolgte, verwendeten wir nach Chittenden präpariertes Blutfibrin⁴⁾; aber wir können diese Experimente mit Fibrin außer acht lassen, denn, wenn alle Proben für freie und gebundene HCl negativ waren und keine Einwirkung auf die Mettschen Röhrchen erfolgt war, so war auch gewöhnlich keine merkliche proteolytische Wirkung bei Blutfibrin als Substrat zu verzeichnen.

Im fünften Jahrgang der Ergebnisse der Physiologie, S. 622 u. ff., ist die ganze moderne Literatur über Eiweißverdauung im Magen kritisch von Edgar Zunz bearbeitet worden. Wir beziehen uns auf die von ihm auf Seite 640 und 641 angeführten

¹⁾ Siehe Magensäure des Menschen von Martius und Lüttke, siehe auch Hemmeters Diseases of the Stomach, third edition.

²⁾ Wiener klin. Rundschau 1895, Nr. 23.

³⁾ Arch. f. Verdauungskrankheiten 8.

⁴⁾ Americ. Journ. of Medical Sciences 3, 39.

Daten, um die Tatsache darzutun, daß die zur vollständigen Magenverdauung erforderliche Zeit je nach der Menge des verzehrten Eiweißes schwankt. Die Behauptung verschiedener Physiologen, es sei unwahrscheinlich, daß man freie HCl aus einem Hundemagen 2 bis 2 $\frac{1}{2}$ Stunden nach Fütterung mit Fleisch erhalten kann, ist unzutreffend, denn dieses hängt vollkommen von der Menge und der Beschaffenheit des Fleisches ab. Einige der angegebenen Ziffern zeigen eine vollständige Verdauung von 100 g rohen Rindfleisches innerhalb von 2 Stunden, während 100 g gebratenes oder geschmortes Rindfleisch 3 bis 4 Stunden erforderten. Bei Fütterung gesunder Hunde mit 50 bis 100 g rohem Rindfleisch war es immer möglich, Reaktion auf freie HCl in 2 $\frac{1}{2}$ Stunden zu erzielen.

Um den Einfluß der Speicheldrüsen auf die Magensaftsekretion oder die Wirkung der Exstirpation dieser Drüsen darzutun, wird es notwendig sein, die Experimente im Hinblick auf Beantwortung folgender vier verschiedener Punkte einzurichten:

1. Die normale Proteolyse- und Milch-Koagulationszeit nach bekannten Mahlzeiten von Brot, Fleisch und Milch:

- a) wenn der Chymus durch Ausheberung mittels der Magensonde gewonnen wird,
- b) wenn er mittels einer einfachen Magenfistel erhalten wird.

2. Proteolyse- und Milch-Koagulationszeit nach vollständiger Exstirpation sämtlicher Speicheldrüsen — bei denselben Tieren nach denselben Probemahlzeiten.

3. Proteolyse- und Milch-Koagulationszeit beim Füttern der Tiere mit Brot und Rindfleisch, das bereits von normalen Tieren mit unversehrten Speicheldrüsen gekaut und eingespeichelt worden ist. Dies ist notwendig, um die Frage zu beantworten, ob die Wirkung der Speicheldrüsenexstirpation auf die Magensaftsekretion, wenn überhaupt eine beobachtet wird, dem Mangel an Speichel zuzuschreiben ist oder nicht.

4. Proteolyse- und Milch-Koagulationszeit des Magensaftes eines speicheldrüsenlosen Hundes nach Injektion von SpeicheldrüSENSaft bei Tieren:

- a) mit unversehrten Vagi,

b) mit gespaltenen Vagi — rechter Vagus im Hals durchgeschnitten, linker Vagus subdiaphragmatikal.

Tabelle 1, Serie A zeigt die proteolytische Kraft und Milch-Coagulationszeit eines Brot-, Fleisch- und Milchsafte, gewonnen von drei Hunden vor der Entfernung der Speicheldrüsen. Serie B, Tabelle 2 gibt dieselben physiologischen Daten von Magensaftfiltraten nach mittels Magensonde vorgenommenen Probemahlzeiten. Tabelle C illustriert die Proteolyse- und Milch-Coagulationszeit der Hunde Nr. 1, 2 und 3 (derselben, auf die sich auch Tabelle 1, Serie A bezog), aber Serie C zeigt die Wirkung der Exstirpation der Speicheldrüsen. Beim Vergleich der physiologischen Wirkungen des Magensaftes der Hunde in den beiden Tabellen beobachtet man, daß beim Hund Nr. 1 in Serie A der Brotsaft eine proteolytische Kraft von 4,0 und 4,5 mm Mett ergab; aber nach Exstirpation der Speicheldrüsen wurde die proteolytische Kraft auf 0,5 und 0,8 mm Mett entsprechend reduziert. Alle Ziffern, die sowohl unter proteolytischer Kraft als unter Milch-Coagulationszeit angeführt sind, geben den Durchschnitt von 10 Untersuchungen wieder.

Wir kehren zu Hund 1, Serie A zurück; er zeigt eine Verminderung von 4 mm Mett bei normalen Speicheldrüsen auf 0,5 mm Mett, nachdem sämtliche Speicheldrüsen entfernt worden waren, ein Verlust von 3,5 mm Mett beim Brotsaft. Ähnlich war die Milch-Coagulationszeit bei diesem Hunde nur 2 Minuten und 30 Sekunden bei unversehrten Speicheldrüsen, er erforderte indes 3 Stunden und 10 Minuten, nachdem die Speicheldrüsen entfernt waren. Tabelle D zeigt die proteolytische und milchcoagulierende Wirkung von Brot, Fleisch und Milchsaff vor der Injektion von Speicheldrüsenextrakt, und dieselbe Tabelle enthält zum Vergleich die Erhöhung dieser physiologischen Tätigkeiten des Magensaftes desselben Hundes nach intravenöser Injektion von Speicheldrüsenextrakt. Die Tabellen D und E verzeichnen die Wirkungen intravenöser Injektion von Speicheldrüsenextrakt mit folgendem Unterschied: bei Tabelle D wurde der Chymus durch eine einfache Magen-fistel gewonnen, bei Tabelle E jedoch mittels einer Magensonde.

Bezüglich der vier Fragestellungen auf Seite 245 und 246

illustrieren die fünf angegebenen Tabellen die in den Nr. 1, 2 und 4 aufgeworfenen Fragen. Sie zeigen jedoch nicht die Wirkung der Zufuhr einer Nahrung, die bereits von normalen Tieren gekaut und eingespeichelt worden und von ihnen durch eine Ösophagusfistel gewonnen worden war. Dieses experimentelle Vorgehen war notwendig, um die Sicherheit zu gewinnen, ob die verringerte Magensaftsekretion nach Exstirpation der Speicheldrüsen dem Mangel an Speichel zuzuschreiben war oder nicht. Wenn die Magensaftsekretion wieder nach der Zufuhr von Nahrung eintrat, die von einem normalen Hunde gekaut und eingespeichelt worden war, so schien der Schluß gerechtfertigt, daß die verminderte Magensaftsekretion beim speicheldrüsenlosen Hunde dem Mangel an Speichel zuzuschreiben war und nicht dem Mangel einer inneren Sekretion der Speicheldrüsen.

Es ist wohl unnötig, noch eine Tabelle beizufügen, um die Wirkung der Ernährung mit bereits eingespeichelter Nahrung auf speicheldrüsenlose Hunde anzugeben; denn die Resultate dieser Versuche können in einem einzigen Satze zusammengefaßt werden. In keinem Falle, in dem die proteolytische Kraft und Milchcoagulation bei speicheldrüsenfreien Hunden entschieden verringert worden waren, konnten sie durch Fütterung mit bereits von normalen Hunden eingespeichelter Nahrung wieder erhöht werden.

Die intravenöse Injektion von Speicheldrüsenextrakt erwies sich als wirksam, um die verringerte proteolytische und milchcoagule Kraft wiederherzustellen, innerhalb einer Zeit, die je nach der Menge des injizierten Extraktes zwischen 6 und 10 Stunden schwankte; aber gewöhnlich konnte sie die physiologischen Fähigkeiten des Magensaftes nicht bis zum Normalstande wiederherstellen, der beobachtet worden war, ehe die Speicheldrüsen entfernt gewesen waren. So betrug beim Hund Nr. 1 die normale proteolytische Kraft vor Exstirpation der Speicheldrüsen 4,0 und 4,5 mm Mett. Sie fiel auf 0,5 und 0,8 mm Mett nach dem Entfernen der Speicheldrüsen, stieg aber wieder, nicht ganz bis zur Norm, indem sie 3,0 und 2,5 mm nach Injektion von Speicheldrüsenextrakt erreichte. Diese Ziffern beziehen sich nur auf den Brotsaft des Hundes Nr. 1.

Bezüglich der Wirkung des Schnittes durch die Vagi

auf das Resultat intravenöser Injektionen von Speicheldrüsenextrakt zeigt unsere experimentelle Arbeit, daß bei speicheldrüsenlosen Hunden, die von der Vagioperation sich erholt hatten (rechter Vagus im Halse durchschnitten, linker Vagus subdiaphragmatisch) die intravenöse Injektion von Speicheldrüsenextrakt noch die Kraft besitzt, die verminderte Magensaftsekretion vorübergehend wiederherzustellen, jedoch nicht bis zum normalen proteolytischen und Coagulationsstande.

Diese Experimente zeigen, daß die Wirkung der Injektion von Speicheldrüsenextrakt nicht durch Vermittlung von Vagusfasern, sondern direkt auf die Zellen der Pepsindrüsen ausgeübt wird.

Die psychische Sekretion des Magensaftes bei Hunden ohne Speicheldrüsen.

Bei speicheldrüsenlosen Hunden, denen eine einfache Magenfistel angelegt ist, kann die psychische Sekretion des Magensaftes ebenso wirksam hervorgebracht werden wie bei Hunden mit unversehrten Speicheldrüsen. Dies läßt vermuten, daß ein Teil des Magensaftes, der noch nach Entfernung der Speicheldrüsen secerniert wird, der Bildung durch eine psychische Sekretion zuzuschreiben ist, veranlaßt durch Eindrücke auf die Sinnesorgane des Hundes während er die Nahrung schmeckt, riecht und sieht. Da diese Eindrücke auf die Gesicht-, Geruchs-, Geschmacks- und sogar Gehörorgane während der normalen Fütterung der speicheldrüsenlosen Tiere unvermeidlich waren, so entstand die Frage, wieviel von der nach Exstirpation der Speicheldrüsen beobachteten Magensekretion dieser psychischen Sekretion zuzuschreiben ist? — Dies erforderte eine besondere Reihe von Experimenten, in denen die Tiere mittels einer Magensonde gefüttert wurden, nachdem ihnen Augen, Ohren und Nasenlöcher zugebunden worden waren. Speisen, die direkt durch eine Magensonde in den Magen eingeführt wurden und aus Brot, Fleisch und Milch bestanden, zeigten sich fähig, bei den speicheldrüsenlosen Hunden eine Magensaftsekretion hervorzubringen. In einigen Fällen wurden die Speisen, ohne Wissen des Hundes, durch eine Magenfistel eingeführt, und einmal hatte ich einen Hund mit einem künstlichen (Pawlowschen) Magen, bei dem die Scheidewand zwischen

dem größeren und den künstlich angelegten Teil des Magens derartig einriß, daß sie eine klappenartige Öffnung hinterließ, die es dem Beobachter ermöglichte, Nahrung durch den künstlichen Magen in den Hauptmagen des Tieres einzuführen. Diese Klappe wirkte jedoch derartig, daß Wasser vom Hunde in seinen Hauptmagen geschluckt werden konnte, und doch nichts von dem Wasser durch den künstlichen oder experimentellen Magen entwich. Bei diesem Tiere war es leicht, Nahrung einzuführen, ohne eine psychische Sekretion zu verursachen, und es ergab sich, daß bei speicheldrüsenlosen Hunden, bei denen psychische Sekretion erfolgreich verhindert wird, eine Magensaftsekretion nach gewissen Speisen eintritt. Diese Sekretion ist unzweifelhaft peptogenen Substanzen (den „Hormonen“ von Starling) zuzuschreiben, die in der Nahrung selbst enthalten sind, oder dem sogenannten Pylorus-„Sekretin“ oder Hormon von Edkins.¹⁾

Der Mechanismus der Magensaftsekretion

ist ein komplizierter. Pawlow hat im Anschluß an die Arbeit von Bidder und Schmidt die Existenz einer reinen und einfachen psychischen Sekretion auf physischer Basis, auf sicheren, experimentellen Wegen, festgestellt.

Tarulli und Pascucci haben in Luigi Lucianis Laboratorium²⁾ Beobachtungen gemacht, die das Vorhandensein peptogener Substanzen nachwiesen, die während der Zeit der Verdauung aus der Milz extrahiert werden können.

Die vorliegende Reihe von Experimenten spricht deutlich für das Vorhandensein eines Hormons, das fähig ist, die Magensaftsekretion anzuregen; es kommt in den Speicheldrüsen vor und wirkt auf dem Wege des Blutkreislaufes. Bei Beginn dieser Beobachtungen fand man, daß gelegentlich Tiere mit künstlichem Magen und exstirpierten Speicheldrüsen absolut keine Magensaftsekretion zeigten; und auf dieses Phänomen wurden irrige Schlüsse gebaut, die in einer vorläufigen Mitteilung dargelegt, und in Science, Oktober 11, 1907, S. 473, New-York veröffentlicht sind. Es wurde darin behauptet, daß bei Hunden mit künstlichem Magen die Entfernung der

¹⁾ Journ. of Physiol. 34, 133, 1906.

²⁾ Luciani, Physiologie des Menschen 2, 151.

Speicheldrüsen endgültig jede Magensaftsekretion aufhebe. Dies wurde als richtig bei drei Hunden beobachtet, die in der beschriebenen Weise operiert wurden, aber bei zweien dieser Tiere, die noch sechs Monate nach der Operation erhalten wurden, bemerkte man eine allmähliche Wiederkehr der Magensaftsekretion. Das vollständige Versagen der Magensaftsekretion, das manchmal nach irgend einer schweren Operation am Tiere beobachtet wird, ist die Folge einer direkten Schädigung des sekretorischen Apparates, verursacht durch die Operation selbst, oder die Einwirkung auf die Nerven, oder auch durch die Nervenreflexwirkungen; denn Pawlow behauptet, daß eine nur wenige Minuten andauernde Reizung des Sciaticus einen vielstündigen Stillstand der Magensaftsekretion verursachen kann.¹⁾ Es ist deshalb bei diesen Experimenten nötig, die Tiere lange zu beobachten und ihnen Zeit zur vollständigen Wiederherstellung zu lassen, ehe die chemische Untersuchung des Magensaftes unternommen werden kann. Im Gegensatz zu jenen Hunden, deren Magensaftsekretion unmittelbar nach einer Operation aufhört, haben wir gelegentlich ein Tier gefunden, dessen Magensaft nach Exstirpation der Speicheldrüsen weiter secerniert wurde. Wenn er auch nicht in normalen Mengen secerniert wurde, so war die Verminderung jedoch nicht derartig, wie wir sie durchschnittlich bei den anderen in den Tabellen verzeichneten Tieren finden. Wir sind der Ansicht, daß dieses Andauern der Magensaftsekretion einem abnormen Zustand des Drüsenapparates des Hundemagens vor Beginn der Operationen zuzuschreiben ist. Die pathologische Art der Sekretion, die in dieser Verbindung sehr verblüffend ist, besteht in Hyperacidität und Hypersekretion. Pawlow hat bereits einen Hund mit Hyperacidität beschrieben, und M. Pewsner²⁾ schildert einen Hund, der an Hypersekretion litt. Die auffallendste Abnormität ist jedoch ein Zustand, den ich zuerst beschrieben und „Heterochylie“ benannt habe. Dies ist ein abwechselnder Zustand, einerseits von Magensaftsekretion, die sich durch ausgesprochenen Überschuß aller Saftbestandteile kundgibt, und andererseits

¹⁾ Work of the Digestive Glands.

²⁾ Diese Zeitschr. 2, 344.

völligen Versagens der Sekretion nach ein und denselben Probepfeisen. Daß dieser Zustand vorkommt, ist von J. Boas, Berlin, bestätigt worden.¹⁾ Alle derartigen Abnormitäten der Sekretion machen das Tier ungeeignet für diese Art von Untersuchungen.

Verschiedenheiten in der peptogenen Kraft der Speicheldrüsenextrakte.

Bei Beginn dieser Versuche etwa vor 5 Jahren, beobachtete ich eine beträchtliche Verschiedenheit der peptogenen Kraft der aus Speicheldrüsen hergestellten Extrakte. Sie wurden damals in einer ähnlichen Weise präpariert, wie dies W. N. Bayliss und E. H. Starling in „Ergebnisse der Physiologie“, 5. Jahrgang, S. 672 angeben. Ich kann die Ursache der Verschiedenheiten in den physiologischen Wirkungen der Speicheldrüsenextrakte nicht erklären; aber man kann sie möglicherweise finden: a) in einer falschen Methode, den Extrakt zu bereiten, b) im nicht frischen Zustand der Drüsen zur Zeit der Extraktion, c) in der Herstellung des Extraktes aus Drüsen im Ruhezustand und nicht aus solchen, die gearbeitet haben. Kürzlich sind solche Extrakte von Dr. T. B. Aldrich, bei Parke, Davis & Co., Detroit, Michigan, für mich hergestellt worden.

Methode der Präparierung der Drüsenextrakte.

Das Bindegewebe wurde so weit wie möglich entfernt, und die Drüsen durch Zermahlen mit Quarzsand in einen Brei verwandelt. Dieser Brei wurde dann bei einer Temperatur von 45 bis 50° C mit schwach essigsaurem Wasser ausgezogen. Die Temperatur wurde gelegentlich auf 80 oder 90° C gesteigert, und der Extrakt durch Papier filtriert. Da das Filtrat trübe war, wurde ein gleiches Volumen Alkohol von 94% hinzugefügt und diese angenähert 50%ige alkoholische Lösung wiederum filtriert; dann war das Filtrat vollkommen klar. Es wurde dann im Vakuum bis zu einem kleinen Volumen verdampft und zu der zurückbleibenden Lösung das dreifache Volumen 94%igen Alkohols hinzugefügt und dann filtriert. Das Filtrat wurde im Vakuum verdampft, und wenn der

¹⁾ Archiv f. Verdauungskrankheiten 8, 75.

Alkohol entfernt war, die entstandene Lösung filtriert und mit Chloreton versetzt.

Andere Irrtumsquellen.

Drei Quellen eines möglichen Irrtums wurden geprüft, um das Verhältnis der Speicheldrüsen zur Speichelsekretion klarer zu stellen.

1. Haben andere Drüsenextrakte oder die Produkte von Ptyalin die gleiche Wirkung im Anwachsen der Magensaftsekretion? In diesem Zusammenhang fand man, daß Lymphdrüsenextrakt unwirksam war, aber Extrakt aus Milz, entnommen von Hunden auf der Höhe der Magenverdauung, eine ähnliche, aber weniger ausgesprochene Wirkung hatte, wenn er intravenös injiziert wurde. Die Einwirkungsprodukte von Ptyalin auf Kohlehydrate, Glucose, Dextrose, Maltose, übten keine solche Wirkung aus.

2. Kommen abnorme Speicheldrüsen bei Hunden vor? Zur Zeit als die erste Mitteilung über diesen Gegenstand veröffentlicht wurde, Juni 1907, waren wir nicht imstande, irgend welche anomalen Speicheldrüsen zu finden; aber am Schluß jener Reihe von Experimenten wurde zufällig bei einem in der Äthernarkose eingegangenen Hunde eine überzählige Speicheldrüse entdeckt. Diese Drüse hatte die Struktur der Parotis und wurde dort gefunden, wo gewöhnlich die Tonsille sitzt.

3. War die Magenschleimhaut bei den Hunden, deren Sekretion vermindert war, histologisch normal, oder war eine Entzündung hinzugekommen, welche die sekretorischen Zellen hätte zerstören können? Als Antwort hierauf habe ich mitzuteilen, daß bei einigen der Mägen nach dem Tode histologische Untersuchungen angestellt wurden und man keine Spur von Gastritis fand.

Es ist unsere Erfahrung gewesen, daß jedes lange Andauern einer normalen Magensaftsekretion bei Entfernung sämtlicher Speicheldrüsen einem der drei folgenden Faktoren zuzuschreiben war: a) daß die Lobulen der Parotisdrüsen nicht vollständig entfernt worden waren. Dies ist für die chirurgisch vollkommene Exstirpation die schwierigste Drüse; b) daß die psychische Sekretion nicht vollständig eliminiert worden war, die, wenn sie überhaupt einsetzt, in der Nahrung peptogene

Substanzen erzeugt, die fähig sind, die Bildung des Pylorus-Hormons oder Sekretins, wie es zuerst von Edkins beschrieben, anzuregen; c) daß Abnormitäten der Sekretion vorhanden waren, ähnlich den im vorangegangenen beschriebenen.

Die Komplexität des Mechanismus der Magensaftsekretion.

Wenn die Sekretion irgend eines Drüsenorganes von so vielen mitwirkenden Faktoren abhängt, wie jenen, mit denen wir bei der Magensaftsekretion vertraut geworden sind, so ist es nicht logisch, zu erwarten, daß die Elimination eines jeden einzelnen dieser mitwirkenden Faktoren das vollständige Aufhören der Sekretion in jenem Organ hervorbringt. Wir wissen jetzt, daß der Mechanismus der Magensaftsekretion von drei, möglicherweise von vier Erregungsquellen abhängig ist: 1. die Vagus- oder die psychische Sekretion, 2. das Pylorus-Sekretin oder Hormon von Edkins, 3. die milzpeptogene Substanz oder das Hormon von Tarulli und Pascucci, und es ist der Zweck dieser Mitteilung, die Aufmerksamkeit auf eine ähnliche Substanz zu ziehen, die in den Speicheldrüsen gebildet und nicht mit dem Speichel abgesondert wird, sondern den Magen durch den Blutlauf erreicht und hier einen der Anreize für die Magensaftsekretion bildet. Um die Größe der erregenden Kraft eines jeden dieser vier Faktoren mit Genauigkeit zu demonstrieren, wäre es notwendig, die anderen drei zu eliminieren; z. B., um die ausschließliche Wirkung der Speicheldrüsen auf die Magensaftsekretion zu beweisen, müßte der Versuch gemacht werden, einen Hund zu ernähren: erstens nach einem Schnitt durch beide Vagi, um die psychische Sekretion zu eliminieren, zweitens nach operativer Entfernung des Pylorus-Endes vom Magen, um die Wirkung der Pylorus-Sekretion von Edkins zu eliminieren, und drittens nach Exstirpation der Milz.

Wenn nach diesen Operationen der Magensaft noch immer abgesondert würde, und wenn nach Entfernen der Speicheldrüsen diese Sekretion vollständig nachließe, so würde der Einfluß der Speicheldrüsen auf die Erregung der Magensaftsekretion ohne Zweifel festgestellt sein; aber selbst wenn ein Tier glücklich alle diese schweren Operationen überstehen würde, bleibt es doch zweifelhaft, ob die Schlußfolgerung dann ein-

wandsfrei ist. Nach dem, was wir über die Empfindlichkeit des Magendrüsensapparates wissen, ist es höchstwahrscheinlich, daß das Tier eine Einbuße an der Sekretion durch die direkten und indirekten Einflüsse dieser verschiedenen Operationen aufweisen würde.

Übersicht und hauptsächliche Schlußfolgerungen.

1. Bei Hunden mit einfacher Magenfistel bewirkt die Exstirpation sämtlicher Speicheldrüsen eine ausgesprochene Verminderung der Magensaftsekretion. Dies geht auch aus der Analyse der Probenahrung hervor, die durch Ausheberung von Tieren mit intaktem Magen gewonnen ist. Es ist notwendig, die psychische Sekretion zu verhindern, um das beschriebene Phänomen hervorzubringen.

2. Selbst bei Tieren mit intakten Vagi kann es zuweilen vorkommen, daß die Entfernung sämtlicher Speicheldrüsen eine entschiedene Abnahme der Magensaftsekretion verursacht. Es scheint sogar in diesen Fällen ein ursächliches Verhältnis zwischen dem Verlust der Speicheldrüsen und der verminderten proteolytischen und milchbildenden Fähigkeit des Magensaftes zu bestehen.

3. Bei speicheldrüsenlosen Hunden, bei denen die Magensaftsekretion erheblich vermindert worden ist, wird diese durch Verabfolgung einer Nahrung, die von anderen normalen Hunden gut gekaut und eingespeichelt worden ist, nicht wieder bis zur Norm hergestellt.

4. Wenn die Magensaftsekretion vermindert ist, kann eine vorübergehende Wiederherstellung durch intravenöse oder peritoneale Injektion von Extrakten erzielt werden, die aus den Speicheldrüsen normaler Hunde hergestellt worden sind.

5. Diese vorübergehende Wiederherstellung der Magensaftsekretion findet sogar statt, wenn der Magen vom Zentralnervensystem isoliert ist.

6. Die chemische Koordination der Magensaftsekretion wird durch Hormone bewirkt, die verschiedenen Ursprunges sind; einige sind in der Nahrung selbst enthalten (Schiff, Bayliss und Starling); andere stammen aus der Pylorus-schleimhaut (Edkins), wieder andere haben ihre Herkunft in der Milz (Luciani), und die vorliegenden Experimente

weisen auf das Vorhandensein eines Magensaftsekretion erregenden, in den Speicheldrüsen gebildeten „Hormons“ hin. Speicheldrüsenextrakt wirkt nicht anregend auf die Magensaftsekretion, wenn er mit der Nahrung eingegeben oder direkt in den Magen eingeführt wird. Im frischen Zustand zermahlen, verursachen Speicheldrüsen annähernd die gleiche Magensaftsekretion wie eine äquivalente Menge Rindfleisch.

Es ist möglich, daß diese verschiedenen chemischen Mechanismen verschiedene Wirkungen auf die Magensaftsekretion ausüben.

Es wird unsere Aufgabe in einer künftigen Arbeit sein, auszuführen, daß die rein nervöse oder psychische Sekretion und die Magensaftsekretion, die durch chemische Erregung oder Hormone aufrecht gehalten wird, obwohl sie beim normalen Tiere gleichzeitig wirksam sind, verschiedene Zwecke haben; die psychische Sekretion bewirkt die primäre Phase der Sekretion, d. h., die Befreiung von prozymogenen Elementen und von Säure schon in den Sekretionszellen, und die chemischen Mechanismen beherrschen die sekundäre Phase oder die Wiederherstellung des Cytoplasmas.

Bei früheren Beobachtungen über Exstirpation der Speicheldrüsen wurde der Tatsache, daß Tiere ohne Speicheldrüsen ziemlich gut leben und verdauen können, zu viel Bedeutung beigelegt. Bei dieser Behauptung können wir uns darauf berufen, daß Tiere auch ziemlich gut leben und verdauen können, wenn ihnen die Milz, ja selbst wenn ihnen der ganze Magen herausgeschnitten worden ist. Wie in vorstehendem gezeigt worden ist, schließt die Mitwirkung der Speicheldrüsen bei Bildung von Pepsin und Salzsäure die Möglichkeit nicht aus, daß Pepsin und Salzsäure auch bei Abwesenheit der Speicheldrüsen gebildet werden können. Es ist z. B. bewiesen worden, daß die Milz eine wichtige Rolle bei der Bildung von Trypsin aus dem entsprechenden Zymogen spielt.¹⁾ Es war schon von M. Schiff 1862 angenommen worden, daß die Milz auf der Höhe der Verdauung eine Substanz in das Blut absondert, die von dem Pancreas zur Bildung von Trypsin verwendet wird, und, obgleich seine Resultate skeptisch aufgenommen worden sind, so wurden sie später von Herzen, Cachet

¹⁾ Luciani, l. c. 78;

und Pachon bestätigt. Noch später erzielten F. Bellamy, Mendel und Rettger Ergebnisse, welche die Lehre von Schiff bestätigten; so steht es heute fest, daß die Milz bei der Bildung von Trypsin aktiv beteiligt ist; aber dessenungeachtet hat man gefunden, daß die Pankreasdrüse von Tieren, denen die Milz vollständig ausgeschnitten worden war, Trypsin enthält. Dieser Streit über die Beziehung der Milz zur Bildung von Trypsin ist lehrreich; er wirft auch ein Licht auf die Beziehung der Speicheldrüsen zum Magen. Die Tatsache, daß Pepsin und HCl bei Abwesenheit der Speicheldrüsen gebildet werden können, darf nicht als Beweis dafür gelten, daß die Speicheldrüsen keine peptogene Substanz bilden. Die vorstehend beschriebenen Experimente sprechen zur Genüge für die Lehre, daß die Speicheldrüsen einen Einfluß auf die Bildung der Magensaftsekretion ausüben.

Es ist meine Pflicht, zum Schluß den Chirurgen der Universität Maryland für ihren geduldigen Beistand bei all diesen Operationen zu danken, die ohne eine vollkommene operative Technik nicht erfolgreich hätten durchgeführt werden können. Mein Dank gilt hauptsächlich den Professoren Frank Martin, St. Clair Spruill und J. Mason Hundley.

Tabelle A.

Durchschnitt von 10 Analysen von einem Hunde mit einfacher Magenfistel. Analysen des Magensaftes vor Entfernung der Speicheldrüsen.

Nr. des Tieres	Menge des Magensaftes, der zur Milch gesetzt wurde ccm	Brotsaft		Fleischsaft		Milchsaft	
		Verdauungsvermögen nach Mett mm	Koagulationszeit Min. Sek.	Verdauungsvermögen nach Mett mm	Koagulationszeit Min. Sek.	Verdauungsvermögen nach Mett mm	Koagulationszeit Min. Sek.
1	0,5	4,0	2 30	3,0	3 5	2,5	25 —
1	0,5	4,5	3 —	2,6	3 5	1,9	28 —
2	0,4	5,2	2 20	3,05	4 8	2,45	24 —
2	0,3	5,0	2 20	3,6	2 5	2,6	30 40
3	0,55	4,8	2 35	3,8	3 8	2,2	22 —
3	0,55	4,5	2 30	4,2	3 5	2,5	20 30

Diese Zahlen sind mit filtriertem Magensaft erhalten; sie weisen daher nicht die Verdauungskraft auf, die man gewöhnlich bei künstlichem oder Pawlowschen Magen erhält.

Durchschnittliche Acidität des Brotsaftes: 45 in 1000 } titrimetrisch
 „ „ „ Milchsafte: 48 in 1000 } als HCl
 „ „ „ Fleischsaftes: 50 in 1000 } berechnet.

Tabelle B.

Analyse des Verdauungs- und Milchoagulierungsvermögens eines filtrierten Magensaftes, der nach einer Probemahlzeit von Brot, Fleisch und Milch ausgehebert war. Das Gewicht der Hunde schwankte zwischen 7 und 8 kg. — Die zur Verdauung von 100 g rohem Fleisch erforderliche Zeit betrug im Durchschnitt 7—8 Stunden. Nach 8 Stunden wurde der Magen leer befunden. Die Speicheldrüsen waren vorhanden.

Nr. des Tieres	Menge des Magensaftes, der zur Milch gesetzt wurde ccm	Brotsaft		Fleischsaft		Milchsaft	
		Verdauungsvermögen nach Mett mm	Koagulationszeit Min. Sek.	Verdauungsvermögen nach Mett mm	Koagulationszeit Min. Sek.	Verdauungsvermögen nach Mett mm	Koagulationszeit Min. Sek.
4	0,5	5,0	3 —	3,5	4 —	2,45	20 —
4	0,4	5,2	3 30	3,6	4 30	2,4	25 —
5	0,5	4,5	3 40	3,6	4 6	2,6	22 —
5	0,4	4,8	3 30	3,8	3 50	2,6	22 30
6	0,4	4,6	2 30	4,—	3 8	1,9	24 —
6	0,5	4,8	2 40	3,8	4 —	2,0	25 —

Durchschnittliche Acidität des Brotsaftes: 42 in 1000 } titrimetrisch
 „ „ „ Milchsafte: 46 in 1000 } als HCl
 „ „ „ Fleischsaftes: 52 in 1000 } berechnet.

Tabelle C.

Magensaft vom Hund mit einfacher Magenfistel nach Entfernung der Speicheldrüsen. Analysen des Verdauungs- und Milchoagulierungsvermögens von filtriertem Magensaft, der nach einer Probemahlzeit aus Brot, Fleisch und Milch gewonnen war.

Nr. des Tieres	Menge des Magensaftes, der zur Milch gesetzt wurde ccm	Brotsaft		Fleischsaft		Milchsaft	
		Verdauungsvermögen nach Mett mm	Koagulationszeit Min. Sek.	Verdauungsvermögen nach Mett mm	Koagulationszeit Min. Sek.	Verdauungsvermögen nach Mett mm	Koagulationszeit Min. Sek.
1	0,5	0,5	3 10	0,5	3 50	0,3	4 20
1	0,6	0,8	2 50	0,6	2 50	0,5	3 50
2	0,6	1,0	2 25	0,8	3 10	0,5	4 30
2	0,5	1,0	2 25	0,9	3 5	0,3	4 35
3	0,4	0,8	3 —	0,5	3 10	0,4	4 50
3	0,5	0,8	3 30	0,5	3 5	0,5	4 35

Tabelle D.

Speicheldrüsenlose Hunde. Verdauungs- und Milchkogulationsvermögen nach Entfernung der Speicheldrüsen; einfache Magenfistel (s. Tabelle C. 1).

Vor Injektion des Speicheldrüsenextraktes.

Vergleich mit der Wirkung intravenös injizierten Speicheldrüsenextraktes.

Nach Injektion von Speicheldrüsenextrakt.

Nr. des Hundes	Brotsaft			Fleischsaft			Milchsaft			Zeit 1,30 nachm.		Zeit 1,30 nachm.		Zeit 1,30 nachm.	
	Verdauungs- mögen nach Mett mm	Koagulations- zeit M. S.	M. S.	Verdauungs- mögen nach Mett mm	Koagulations- zeit M. S.	M. S.	Verdauungs- mögen nach Mett mm	Koagulations- zeit M. S.	M. S.	Verdauungs- mögen nach Mett mm	M. S.	Verdauungs- mögen nach Mett mm	Koagulations- zeit M. S.	Verdauungs- mögen nach Mett mm	M. S.
1	0,5	3 10		0,5	3 50		0,3	4 20		3,0	5	2,0	10 5	1,2	1
1	0,8	2 50		0,5	2 50		0,5	3 50		2,5	6	1,5	10 5	0,8	45
2	1,0	2 25		0,8	3 10		0,5	4 30		3,5	4 30	1,8	12	0,9	40
2	1,0	2 25		0,9	3 5		0,3	4 35		3,5	4 30	3,0	11 5	1,0	1 5
3	0,8	3		0,5	3 10		0,4	4 50		3,2	5 10	3,2	8	1,5	1 5
3	0,8	3 30		0,5	3 5		0,5	4 35		3,4	6 20	2,5	9 5	0,8	40

Diese Daten zeigen in ausgesprochener Weise die zeitweilige Wiederherstellung der Verdauungskraft und des Labungsvermögens unter dem Einflusse intravenös injizierten Speicheldrüsenextraktes. Jedoch war dieser Auszug nicht instande, die in den verschiedenen früheren Versuchen zutage getretene normale Wirksamkeit des Magensaftes wiederherzustellen.

Tabelle E.

Wirkung der intravenösen Injektion von Speicheldrüsenextrakt auf die speicheldrüsenlosen Hunde der Serie B. Probemahlzeit aus 200 g Brot, 100 g Fleisch und 150 ccm Milch. Der Saft wurde durch Aushebern gewonnen. Exstirpation der Speicheldrüsen.

Vor Injektion des Speicheldrüsenextraktes:

Prüfung des Saftes nach einer Verdauungszeit von 1—2 Stunden.

Nach intravenöser Injektion von Speicheldrüsenextrakt:

Nr. des Hundes	Brotsaft			Fleischsaft			Milchsaft			Zeit der Injektion des Extraktes vormittags	Menge des in die Femoralis inji- zierten Speichel- drüsenextraktes	Brotsaft			Fleischsaft			Milchsaft		
	Ver- dauungs- ver- mögen nach Mett mm	Koagu- lations- zeit M. S.	M. S.	Ver- dauungs- ver- mögen nach Mett mm	Koagu- lations- zeit M. S.	M. S.	Ver- dauungs- ver- mögen nach Mett mm	Koagu- lations- zeit M. S.	M. S.			Ver- dauungs- ver- mögen nach Mett mm	Koagu- lations- zeit M. S.	M. S.	Ver- dauungs- ver- mögen nach Mett mm	Koagu- lations- zeit M. S.	M. S.	Ver- dauungs- ver- mögen nach Mett mm	Koagu- lations- zeit M. S.	M. S.
4	1	2 30		0,8	3 40		—	4 5		11,10	10 ccm in 10 ccm 7/1-Salzlösung	2,5	10		2,2	15 5		1,5	45	
5	0,8	2 30		0,5	2 55		0,2	4 10		10,45	do.	2	10 3		2,5	12 4		1,4	52	
5	0,8	2 25		0,6	2 55		—	3 60		10,45	do.	2,4	12 5		2,0	12 2		0,9	52	
8	1,5	3 10		0,9	3 10		0,1?	4 10		11,00	do.	3	15 5		1,5	20		1,8	56	
9	1,0	3 20		0,9	3 20		—	4 20		11,00	do.	2,5	10 3		1,6	20 2		1,9	58	
4	0,8	2 30		0,6	3 40		—	4 6		11,00	do.	2,4	10		2,3	15 2		1,5	1st 2 M.	

Physikalisch-chemische Veränderungen einiger normalen Flüssigkeiten während ihres Fäulnisprozesses.

Von

Osw. Polimanti, Rom.

Die physikalisch-chemischen Veränderungen, denen abgestorbene tierische Gewebe unterworfen sind, werden hauptsächlich durch den Fäulnisprozeß verursacht, der gleich nach dem Aufhören der Lebenstätigkeit einsetzt.

Dieselben Veränderungen erleiden auch die verschiedenen Flüssigkeiten des tierischen Organismus. Alle diese Prozesse werden hauptsächlich durch die Tätigkeit fast sämtlicher Arten der auf den Geweben und Flüssigkeiten sich ansiedelnden Schizomyceten verursacht, ganz besonders von Saprophyten. In jene Substrate eingedrungen, verursachen sie eine Gärung und verwandeln z. B. Zucker in Milchsäure, Harnstoff in Ammonmincarboxat usw., dabei CO_2 und H_2O entwickelnd; während andere, auf Eiweißsubstanzen sich ansetzende Fäulniserreger basische Körper ähnlich den Alkaloiden (von Beschaffenheit der Ptomaine) sowie organische Fettsäuren, wie Ameisensäure, Propionsäure, Valeriansäure, Milchsäure usw. und flüchtige Produkte wie NH_3 , H_2S produzieren.

Der Feuchtigkeitsgehalt und die Temperatur des Raumes wirken erheblich auf die Prozesse ein.

Die vorkommenden Veränderungen im physikalisch-chemischen Zustande der in Fäulnis befindlichen organischen Substanzen werden außer durch die Tätigkeit der Schizomyceten auch durch diejenige der Enzyme oder Fermente verursacht.

Diese Substanzen haben, wie man weiß, eine außergewöhnlich langdauernde Widerstandskraft; sie übertrifft diejenige der Schizomyceten; sie behalten ihre Lebensfähigkeit

noch bei 160° und haben vor allen Dingen die Eigenschaft, in kleinen Mengen auf größere Quantitäten wirken zu können.¹⁾

Galeotti²⁾ war der erste, welcher die verschiedenen physikalisch-chemischen Veränderungen, die in abgestorbenen tierischen Protoplasma eintreten, studierte und Untersuchungen über die elektrische Leitfähigkeit und den osmotischen Druck der tierischen Gewebe vornahm. Er hat folgendes festgestellt:

Beim Absterben der Gewebe geht die elektrische Leitfähigkeit auf ein Minimum herunter und steigt sofort wieder an, nachdem die Fäulnis eingetreten ist; dasselbe Verhältnis tritt ein bei Abtötung der Gewebe durch Hitze oder Gefrieren.

Beim langsam gerinnenden Blut vermindert sich (erstens durch die Verbindung der Elektrolyte mit Kolloiden, und zweitens durch Ansammlung von Fibrin und roten Blutkörperchen zwischen den Elektroden) die Leitfähigkeit, welche jedoch wieder bei starker, durch Hitze hervorgerachter Gerinnung normal wird. Die durch die Erwärmung des Blutes und des Serums erzeugte Gerinnung verursacht keine Veränderung in der elektrischen Leitfähigkeit.

Die Kurven, welche die Veränderung der elektrischen Leitfähigkeit der abgestorbenen Gewebe darstellen, sind, auf die Temperatur bezogen, einfach, kontinuierlich, regelmäßig, parabolisch, im Gegensatze zu den Kurven von lebenden Geweben, welche sehr kompliziert sind. Diese zeigen in dem Punkt, wo das Absterben der Gewebe eintritt, eine Schwankung und weisen nachher die gleichen regelmäßigen Kurven wie bei bereits abgestorbenen Geweben auf.

Sehr interessant ist der Befund von Galeotti, daß sich die elektrische Leitfähigkeit der Gewebe im Momente des Absterbens vermindert; er erklärt dies Phänomen, welches beim Absterben von Protoplasma eintritt, durch die Fixierung von freien Ionen mit den Molekülen der Eiweißcolloide, so daß sich durch eine Neutralisierung der gegenseitigen elektrischen

¹⁾ Brieger, *Microbes, ptomaines et maladies*. Traduit par Roussy et Winter, Paris 1886. — Ellinger, *Chemie der Eiweißfäulnis*. Ergebnisse von Asher und Spiro 6, 29, 1907.

²⁾ Galeotti, *Neue Untersuchungen über die elektrische Leitfähigkeit und den osmotischen Druck der tierischen Gewebe*. Zeitschr. f. Biol. 45, 65.

Schläge von den kolloidischen Teilchen die freien Ionen nicht mehr elektrolytisch dissoziieren können.

Die von ihm erhaltenen Resultate zeigen, daß bei dem Übergange vom Leben zum Absterben der Gewebe die elektrische Leitfähigkeit des Herzens, der Milz und der Muskelgewebe eine relative Verminderung von 30,98 %, 41,97 %, 44,93 % erfahren hat, während die molekulare Konzentration gleich geblieben ist.

Man schließt auch aus den Reaktionen, welche beim Absterben des Protoplasmas stattfinden, daß die Zahl der freien Ionen sich vermindert, während die Zahl der aktiven osmotischen Moleküle gleich bleibt oder sich ganz wenig verändert.

Aus den von Galeotti erzielten Resultaten läßt sich der Schluß ziehen, daß, sobald die Fäulnis eintritt, die elektrische Leitfähigkeit sowie die molekulare Konzentration sich vermindern, und er erklärt das dadurch, daß die Fäulnis eine große Zahl Ionen und elektrisch neutrale, aber osmotisch aktive Moleküle, hervorruft.

Galeotti¹⁾ studierte außerdem die elektrischen Phänomene des Herzens, und schließt aus den Unterschieden der elektromotorischen Kraft des OH auf die Herzgewebe der lebenden oder toten Schildkröten hypothetisch, daß die Konzentration der H-Ionen und der OH-Ionen, wie sie sich in lebendem Myoplasma vorfinden, kein festes System bilde, außerhalb dem Dissoziations-Isotherme des Wassers liege, aber gleich nach dem Absterben diese erreiche.

Alle diese Resultate sind von großer Bedeutung, was die einzelnen physikalisch-chemischen Prozesse anbelangt, die in lebenden oder abgestorbenen Eiweißsubstanzen vorkommen.

Um die kryoskopischen und viscosimetrischen Variationen einiger normaler tierischer Flüssigkeiten zu studieren, habe ich menschlichen Harn, Ochsenblut, menschliche Galle, Ochsen-galle, Blutserum von Ochsen und Hunden genommen und bei vollem Tageslicht in geschlossenen Gefäßen, welche die Verdunstung verhinderten, konserviert und bei Zimmertemperatur (10° bis 20°) stehen lassen.

¹⁾ G. Galeotti, Sui fenomeni elettrici del cuore. Nota I, II, III. Archivio di Fisiologia 1, 1903—04, 264, 512, 556.

Was die Untersuchungsmethode anbetrifft, um das Δ zu bestimmen, so habe ich den Beckmannschen Apparat und ein Baudin-Thermometer mit Zehntelgrad-Einteilung benutzt. Um die Viscositätsgrade zu bestimmen, gebrauchte ich das Ostwaldsche Viscosimeter, das ich außerdem noch in einen Glasbecher setzte, in dem die Wassertemperatur durch einen Glasrührer beständig auf 20° erhalten wurde. Als Vergleichseinheit für die viscosimetrischen Werte habe ich die Ausflußzeit des destillierten Wassers genommen.

Die Versuche für das Δ sowie auch die Viscosimetrie habe ich mindestens dreimal wiederholt und nachher die Durchschnittszahl der gefundenen Resultate genommen.

In tabellarischer Form stelle ich die gefundenen Resultate für die verschiedenen untersuchten Flüssigkeiten im folgenden zusammen.

I. Menschlicher Harn.

Tabelle I.

Harn 1.				
Datum 1905—1906	Alter in Tagen	Δ	Ausflußzeit ¹⁾	Spezifisches Gewicht
22—12	0	1,90	1' 39" ² / ₁₀	1,020
28—12	6	1,90		
4—1	13	1,89		
5—1	14	1,92	1' 48"	1,021
8—1	17	1,80		
9—1	18	1,72		
11—1	20	1,75	1' 41" ⁵ / ₁₀	1,0213
15—1	24	1,71		
18—1	27	1,78		
20—1	29	2,27	1' 41" ⁵ / ₁₀	1,0225
23—1	32	2,54		
26—1	35	2,29		
4—2	44	2,28	1' 42" ⁶ / ₁₀	1,023
12—2	52	2,28		
16—2	56	2,20		
18—2	58	2,19	1' 43"	1,0235
4—3	72	2,19		
14—3	82	2,19	1' 54"	1,0236
19—3	87	2,17		
1—4	100	2,12	1' 54" ⁷ / ₁₀	1,024

¹⁾ Viscosimeter 4. Wert für H₂O = 1' 36" ⁶/₁₀.

Tabelle II.

Harn 2.

Datum 1906	Alter in Tagen	Δ	Ausflußzeit ¹⁾	Spezifisches Gewicht
4—1	0	1,52	1' 46'' ³ / ₁₀	1,019
5—1	1	1,53		
6—1	2	1,53		
8—1	4	1,53	1' 47''	1,020
11—1	7	1,53		
15—1	11	1,58		
19—1	15	1,70		
21—1	17	2,00		
22—1	18	2,10	1' 47'' ⁴ / ₁₀	1,022
24—1	20	2,20		
25—1	21	2,22		
26—1	22	2,18		
4—2	31	2,18	1' 48'' ⁵ / ₁₀	1,0225
12—2	39	2,21		
18—2	45	2,18	1' 49''	1,0225
4—3	59	2,18		
19—3	74	2,14		
1—4	87	2,12	1' 58'' ⁵ / ₁₀	1,0235

¹⁾ Viscosimeter 6. Wert für H₂O = 1' 46'' ⁵/₁₀.

Tabelle III.

Harn 3.

Datum 1906	Alter in Tagen	Δ	Ausflußzeit ¹⁾	Spezifisches Gewicht
6—1	0	1,54	1' 55''	1,020
9—1	3	1,54		
10—1	4	1,52	2' 0''	1,020
11—1	5	1,52		
17—1	11	1,58	2' 10'' ⁴ / ₁₀	1,0205
20—1	14	1,56		
26—1	20	1,65	2' 20'' ⁴ / ₁₀	1,0205
12—2	37	1,82		
4—3	57	1,44	2' 44''	1,0215
19—3	72	1,28		
23—3	76	1,22	2' 26''	1,021
1—4	85	1,10		

¹⁾ Viscosimeter 2. Wert für H₂O = 1' 39'' ³/₁₀.

Tabelle IV.

Harn 4.

Datum 1906	Alter in Tagen	Δ	Ausflußzeit ¹⁾	Spezifisches Gewicht
13—1	0	1,58	1' 51" ¹ / ₁₀	1,0205
18—1	5	1,60		
21—1	8	1,69	1' 53" ³ / ₁₀	1,021
24—1	11	1,82		
4—2	22	2,24		
12—2	30	2,46	1' 54" ⁶ / ₁₀	1,0215
3—3	49	2,48		
4—3	50	2,48	1' 55" ⁴ / ₁₀	1,022
19—3	65	2,48		
1—4	78	2,42	1' 54" ³ / ₁₀	1,022

¹⁾ Viscosimeter 3. Wert für $H_2O = 1' 46" \frac{2}{10}$.

Bei Durchsicht meiner Tabellen, welche die Resultate der Experimente über den menschlichen Harn während des Fäulnisprozesses darstellen, sieht man deutlich, daß ungefähr in den ersten 14 Tagen eine bedeutende Schwankung des osmotischen Druckes statthet. Nach Verlauf dieser Periode schnellt die Kurve der Molekular-Konzentration rapid empor und bleibt auch noch nach 3 oder 4 Monaten vom Beginne des Prozesses an konstant. Nachher vermindert sich der osmotische Druck schnell und beständig, aber ohne den Anfangswert zu erreichen.

Dieses habe ich in der Periode von 4 Monaten, während welcher von mir diese Harne untersucht worden waren, festgestellt.

Was die Viscosimetrie betrifft, so kann man sagen, daß in der ersten Zeit (bis zu 1 oder 2 Monaten) die Ausflußzeit des Harnes beständig zunimmt; nachher sinkt diese sowie auch der osmotische Druck allmählich. Wir müssen uns diese Tatsachen durch die biochemische Phänomene, welche während der Fäulnis des Harnes stattfinden, erklären.

Tatsächlich sind, wie Galeotti konstatierte, die Fäulnisprozesse der Gewebe im Anfange nicht so lebhaft; aber ist diese erste Periode, welche als Schwankungs-Periode bezeichnet werden kann, einmal vorüber, so beginnen die Fäulnisprozesse in ihrer vollen Entwicklung. In diesem Stadium, in welchem die letzten Produkte des Eisweißstoffwechsels von den Mikro-

organismen angegriffen werden, findet man eine größere Steigerung der aktiven osmotischen Moleküle.

Nach Verlauf dieser ersten starken Entwicklung der Saprophyten fangen die Stickstoffprodukte, hauptsächlich aber der Harnstoff, an, sich in gasförmige Formen zu zersetzen, welche z. T. flüchtig sind.

Von den Gesetzen der physikalischen Chemie ausgehend, weiß man, daß eine Flüssigkeit, wenn sie von allen ihren Gasen befreit wird, eine sehr starke Verminderung ihres molekularen Druckes erleidet, und hieraus folgt, daß sich die aktiven osmotischen Moleküle stark vermindern.

Aus meinen Resultaten ergibt sich auch, daß eine enge Beziehung zwischen spezifischem Gewicht, Viscosimetrie und molekularem Druck besteht, was schon Arrhenius beim Studium der Viscosimetrie der Lösungen gefunden hat. Er stellte einen nahen Zusammenhang zwischen diesen drei Faktoren fest und konstatierte, daß die Viscosität eine Exponentialfunktion der molekularen Konzentration sei.

II. Blutserum.

Tabelle V.

Blutserum von Ochsen 1.

Datum 1906	Alter in Tagen	Δ	Ausflußzeit ¹⁾	Spezifisches Gewicht
10—1	0	0,55	2' 25'' ⁵ / ₁₀	1,0265
11—1	1	0,51		
17—1	7	0,50		
19—1	9	0,50	2' 30'' ⁶ / ₁₀	1,0268
21—1	11	0,50		
24—1	14	0,54	3' 2'' ⁷ / ₁₀	1,0268
11—2	32	0,90	4' 4'' ⁶ / ₁₀	1,0270
3—3	52	1,11		
17—3	66	1,20	5' 25''	1,0295
19—3	68	1,48		
28—3	77	1,60	5' 29'' ⁵ / ₁₀	
1—4	81	1,82		

¹⁾ Viscosimeter 1. Wert für H₂O = 1' 53'' ⁵/₁₀.

Tabelle VI.

Blutserum von Ochsen 2.

Datum 1906	Alter in Tagen	Δ	Ausflußzeit ¹⁾
12—1	0	0,54	2' 25" ⁴ / ₁₀
13—1	1	0,56	
15—1	3	0,57	
18—1	6	0,58	2' 30" ⁵ / ₁₀
21—1	9	0,60	
24—1	12	0,60	2' 32" ⁴ / ₁₀
11—2	30	0,70	2' 50" ⁵ / ₁₀
12—2	31	0,70	
19—2	38	0,79	3' 20"
3—3	50	0,79	
19—3	66	0,85	5' 24" ² / ₁₀
21—3	68	1,1	
30—3	77	1,3	5' 55"
1—4	79	1,4	

¹⁾ Viscosimeter 2. Wert für $H_2O = 1' 39" \frac{2}{10}$.

Tabelle VII.

Blutserum von Hund 1.

Datum 1906	Alter in Tagen	Δ	Ausflußzeit ¹⁾
6—2	0	0,58	2' 27" ² / ₁₀
16—2	10	0,58	2' 29" ² / ₁₀
5—3	27	0,76	2' 40" ² / ₁₀
21—3	43	0,86	
27—3	49	0,87	3' 2" ⁴ / ₁₀
30—3	52	0,90	4' 22"
1—4	54	0,98	5' 1" ² / ₁₀

¹⁾ Viscosimeter 0. Wert für $H_2O = 1' 22" \frac{2}{10}$.

III. Blut.

Tabelle VIII.

Defibriniertes Ochsenblut 1.

Datum 1906	Alter in Tagen	Δ
9—1	0	0,52
10—1	1	0,52
11—1	2	0,54
13—1	4	0,54
17—1	8	0,57
18—1	9	0,58
19—1	10	0,60

Datum 1906	Alter in Tagen	Δ
20—1	11	0,60
21—1	12	0,60
23—1	14	0,63
26—1	17	0,63
4—2	26	0,68
3—3	53	0,89
21—3	71	1,40
1—4	82	1,16

Tabelle IX.

Defibriniertes Ochsenblut 2.

Datum 1906	Alter in Tagen	Δ
26—1	0	0,54
12—2	17	0,68
21—3	54	0,72
1—4	65	0,78

Tabelle X.

Defibriniertes Ochsenblut 3.

Datum 1906	Alter in Tagen	Δ
16—2	0	0,58
4—3	16	0,60
1—4	44	0,74

Meine Resultate betr. des osmotischen Druckes von Serum des Ochsen- und Hundebutes sowie von defibriniertem Ochsenblut (siehe meine Tabellen) bestätigen, was wir bereits über den Harn gesagt haben.

In den ersten 14 Tagen haben wir jene Periode, die ich als schwankende bezeichnet habe: es steigt oder sinkt der osmotische Druck von Tag zu Tag; sobald sich aber der Fäulnisprozeß in voller Entwicklung befindet, erhöhen sich die Koeffizienten des osmotischen Druckes, bis sie einen ganz hohen Wert erreichen. Dieses gilt für die vier Monate, welche meine Versuchsperiode umfaßte.

Welchem Umstände ist nun diese beständige Vermehrung der aktiven osmotischen Moleküle zuzuschreiben?

Als ich vom Harne sprach, habe ich die Vermehrungen, welche in dieser Flüssigkeit vorkommen, der Kraft der Fäulnisprozesse zugeschrieben, besonders auch einigen seiner Komponenten, welche eine bedeutende Gasentwicklung verursachen.

Im Blute sind, seiner chemischen Beschaffenheit wegen, diese Vermehrungen verhältnismäßig größer als im Harn gewesen. Aus den viscosimetrischen Zahlen meiner Resultate mit Ochsenblutserum kann man den Schluß ziehen, daß sich die Ausflußzeit des Blutserums allmählich verlangsamt, während die Fäulnisprozesse intensiver werden; in diesem Falle gibt es auch eine sehr enge Beziehung zwischen osmotischem Drucke und Viscosimetrie, indem sie immer gleichen Schritt miteinander halten.

Buglia¹⁾ konstatierte auch, daß Pferdeblutserum beim Altwerden Variationen des Δ und der viscosimetrischen Koeffizienten zeigte. Meine Resultate über defibriniertes Blut betreffen nur die osmotischen Koeffizienten und diese stimmen mit denjenigen des Blutserums überein. Es war absolut unmöglich, mit defibriniertem Blute viscosimetrische Untersuchungen anzustellen, da das Kapillarrohr des Viscosimeters fast beständig von Fibrinflocken verstopft wurde.

IV. Galle.

Tabelle XI.

Menschliche Galle 1. (Mann)²⁾

Datum 1905	Alter in Tagen	Δ
26—6	0	0,590
19—7	23	0,660
19—8	54	0,645
12—10	120	0,640

Tabelle XII.

Menschliche Galle 2. (Mann)

Datum 1905	Alter in Tagen	Δ
28—6	0	0,580
19—7	21	0,650
15—8	48	0,650
20—8	53	0,650
24—10	118	0,610

¹⁾ G. Buglia, Variazioni fisico-chimiche del sangue durante l'invecchiamento. Archivio di Fisiologia 4, 56, 1906.

²⁾ Was die Krankengeschichte der Individuen betrifft, von denen die Galle entnommen wurde, siehe meine Arbeit: Influenza delle acque carboniche, bicarbonato-caliche ipotoniche sulla eliminazione e composizione della bile umana. Archivio di Farmacologia sperimentale 4, 1905.

Tabelle XIII.

Menschliche Galle 3. (Weib)

Datum 1906	Alter in Tagen	Δ
25—6	0	0,520
19—7	24	0,620
19—8	55	0,600
24—10	121	0,600

Tabelle XIV.

Ochsengalle 1.

Datum 1906	Alter in Tagen	Δ	Ausflußzeit ¹⁾	Spezifisches Gewicht
9—1	0	0,52	3' 0'' $\frac{4}{10}$	1,0257
10—1	1	0,52		
11—1	2	0,52	3' 0'' $\frac{2}{10}$	1,0257
13—1	4	0,52		
15—1	6	0,51	3' 10'' $\frac{4}{10}$	1,0259
19—1	10	0,52		
20—1	11	0,53	3' 20'' $\frac{2}{10}$	1,026
23—1	14	0,57		
26—1	17	0,59	4' 0'' $\frac{1}{10}$	1,0261
2—2	24	0,60	4' 18'' $\frac{2}{10}$	1,0262
4—2	26	0,60	4' 30'' $\frac{2}{10}$	1,0262
11—2	33	0,60	4' 51'' $\frac{2}{10}$	1,0265
12—2	34	0,60		
19—2	41	0,61	5' 17'' $\frac{2}{10}$	1,0268
3—3	53	0,62		
6—3	56	0,62	5' 43'' $\frac{4}{10}$	1,0268
1—4	82	0,64		

¹⁾ Viscosimeter 3. Wert für $H_2O = 1' 46'' \frac{2}{10}$.

Tabelle XV.

Ochsengalle 2.

Datum 1906	Alter in Tagen	Δ	Ausflußzeit ¹⁾	Spezifisches Gewicht
28—1	0	0,54	2' 50'' $\frac{2}{10}$	1,0250
29—1	1	0,54		
11—2	14	0,62	2' 53'' $\frac{2}{10}$	
12—2	15	0,68		
19—2	22	0,68	3' 18'' $\frac{2}{10}$	1,0258
23—3	54	0,73		
24—3	55	0,73	3' 24'' $\frac{7}{10}$	1,0258
1—4	63	0,78		

¹⁾ Viscosimeter 0. Wert für $H_2O = 1' 22'' \frac{2}{10}$.

Was die über die Galle angestellten Versuche anbelangt, so habe ich von der Ochsen-galle den osmotischen Druck und die Viscosimetrie geprüft; von der menschlichen Galle hingegen nur den osmotischen Druck.

In letzterer Zeit ist diese Flüssigkeit von verschiedenen Autoren auf den physikalisch-chemischen Zustand untersucht worden, und dieselben haben festgestellt, daß das Δ der menschlichen und der tierischen Galle fast das gleiche wie das des Blutes ist; also besteht eine große Analogie zwischen diesen beiden Substanzen.¹⁾

Aus den Versuchen von Messedaglia und Coletti²⁾ können wir einige Tatsachen erwähnen, die meine Schlußfolgerungen stützen. Diese Autoren haben nämlich für ihre Versuche die Galle menschlicher Leichen genommen und immer den osmotischen Druck viel höher als denjenigen des Blutes gefunden; diese Erhöhung ist von ihnen als normal betrachtet worden, doch müssen wir sie sicher den Fäulnisprozessen, welche in den Leichen stattfinden, zuschreiben.

Tatsächlich betrug bei den Versuchen mit der Galle von 23 Leichen der osmotische Druck zweimal zwischen 0,638 und 0,690, siebenmal 0,900, neunmal zwischen 0,908 und 1,008 und einmal 1,058.

Zur Bestätigung dieser Hypothese und in Übereinstimmung mit den Resultaten der mit andern Flüssigkeiten angestellten Versuche habe ich festgestellt, daß sowohl in der menschlichen als auch in der Ochsen-galle mit der Zeit eine Erhöhung des osmotischen Druckes und der Viscosimetrie gleichzeitig mit den Fäulnisprozessen eintritt. Die erste Zunahme müssen wir uns mit der Vermehrung der freien Ionen und der osmotisch-aktiven Moleküle erklären. Die zweite Zunahme deuten wir mit der Vermehrung der Saprophyten, welche sich bis zur reinen Kultur entwickeln, sobald die Fäulnisprozesse sich steigern und dadurch bewirken, daß diese Flüssigkeit mehr Zeit beansprucht, um durch das Viscosimerrohr zu fließen.

¹⁾ Für die Literatur s. meine oben zitierte Arbeit.

²⁾ Messedaglia e Coletti — Il Morgagni 1902.

Die Arbeiten dieses Heftes sind dem
Festband der Biochemischen Zeitschrift
für H. J. Hamburger entnommen.

(Vergleiche die ausführliche Anzeige auf der 3. Umschlagseite.)

Über die Wirkung schwacher Dosen auf physiologische Vorgänge und auf die Gärungen im besonderen.

Von

Charles Richet,

Professor an der Universität Paris.

Durch nachstehendes Experiment bin ich dazu gekommen, die Wirkung von schwachen Dosen auf Gärungen zu studieren.

An einer Menge von Radiumemanation, die ich von Frau Curie erhalten hatte, sah ich, daß sehr schwache Mengen derselben einen großen Einfluß auf den Verlauf der Milchsäuregärung ausübten. Nehmen wir an, daß 1 g Radium pro Stunde 0,001 g verliere — was immens übertrieben ist —, so wären die wirksamen Mengen der Emanation bei der Milchsäuregärung weniger als tausendstel Milligramme im Liter.

Darauf untersuchte ich, ob nicht Metalle, die mehr oder weniger dem Radium nahestehen, wie z. B. das Barium, in sehr schwachen Dosen ähnliche physiologische Wirkungen ausübten. Diese Vermutung bestätigte sich deutlich. Dann nahm ich verschiedene Metallsalze von Platin, Silber, Thallium Mangan, Nickel usw. und konstatierte, daß alle diese Salze, auch in außerordentlicher Verdünnung, auf den Ablauf der Milchsäuregärung einwirkten.

Experimentelle Methode. Um mit größerer Genauigkeit die Wirkung schwacher Dosen zu bestimmen, mußte eine neue Methode der Aciditätsermittlung gefunden werden, und dazu bin ich folgendermaßen vorgegangen: Haben wir 100 vollkommen gleiche Gläser mit je 100 ccm einer Milchflüssigkeit, die nach Zugabe von Phenolphthalein alkalisch reagiert, so wird, wenn man nach 24stündiger Gärung alle Flaschen mit ein und derselben Menge von Pottaschelösung

neutralisiert, die Rosafärbung bei allen Flaschen genau übereinstimmend eintreten, wenn die Gärung gleichmäßig in allen 100 Flaschen verlaufen ist. Wenn aber der Verlauf verschieden war, so werden einige Gläser blaß, andere sehr stark rosa gefärbt sein, und nach der Art der Färbung wird man die Flaschen in 4 oder 5 Gruppen, bald in mehr, bald in weniger, unterscheiden können. Dann nehme ich an, die Säuremenge der beinahe blassen Flaschen sei 1, die der dunkelsten sei 5 und die der dazwischenliegenden sei 2, 3 und 4. So erhalte ich Zahlen für die Säure, die mir die übliche Dosierung nicht hätte geben können, um so weniger, als während der Dauer der Bestimmung von 100 Gefäßen, die mindestens 1 Stunde dauert, die letzteren zu gären fortfahren und die Zunahme der Säure in diesen Gläsern beträchtlicher ist als in den zuerst dosierten Gefäßen. Man vermeidet diesen Fehler, indem man gleichzeitig die Rosa-Nuance der 100 Flaschen vergleicht.

Es sind noch verschiedene Vorsichtsmaßregeln zu beachten, auf die ich nicht weiter eingehe, da sie in 4 Mitteilungen in den „Archives internationales de physiologie“ (3, 130 bis 152, 203 bis 218, 1905; 3, 264 bis 282, 1906; 4, 18 bis 50) dargelegt sind.

Zur Vereinfachung nennen wir φ die Menge des Metallsalzes ($\varphi = 0,1$) in einem Liter der Milchflüssigkeit. Dann ist $\varphi^2 = 0,01$ pro Liter, $\varphi^3 = 0,001$ usw.

Auf einen wichtigen Punkt muß ich hier aufmerksam machen: für die minimalen Differenzen muß sich der Vergleich auf eine große Anzahl von Flaschen erstrecken; mit anderen Worten, es ist eine Durchschnittsbestimmung. Denn es können verschiedene Umstände den Säuregehalt der einzelnen Flaschen beeinflussen; aber trotz aller Vorsicht ist die Milchmenge nicht genau dieselbe, die Temperatur der verschiedenen Flaschen ist nicht absolut identisch, die Menge von Pottasche nicht vollkommen übereinstimmend usw.

Viele kleine Ursachen, die oft schwer zu ermitteln sind, werden den Säuregehalt der 100 Flaschen verändern.

Sind diese Ursachen α , β , γ , δ unmöglich zu bestimmen, so folgt daraus, daß, wenn die Flaschen vollständig vermischt sind, sie sich auf die 100 Flaschen gleichmäßig verteilen würden,

und für die 10 Gruppen von 10, die mir denselben Bedingungen unterlegen zu sein schienen, finde ich ungefähr dieselbe Durchschnittszahl. Wenn aber eine andere Ursache, die genau so schwach ist, z. B. eine Differenz von φ^6 und φ^7 an Silbernitrat hinzutritt, so wird die Durchschnittszahl für die Flaschen von φ^6 , φ^7 , φ^8 nicht mehr dieselbe sein, und hierdurch werden die Ursachen, die nur eine schwache Einwirkung angezeigt hätten, eliminiert, wenn ich keine Mittelwerte gebraucht hätte.

Ergebnis: Statt detaillierte Ausführung dieser Experimente zu geben, wähle ich nur zwei davon, da sie deutlicher als die übrigen sind.

I. Experiment mit Platinchlorür. Die Dosierung erstreckt sich auf Flaschen von 1000 ccm. Diejenige der Proben beträgt 100 nach der gewöhnlichen Methode und 100 nach dem Maß der Nuancen in der Färbung.

Acidimetrische Titration	Titration nach d. Nuancen	Mittel der 2
φ^3 92,6	33	63
φ^4 94,0	50	72
φ^5 105,8	116	112
φ^6 104,0	133	118
φ^7 94,4	50	72
φ^8 103,5	106	105
φ^9 107,1	143	136

Analysieren wir diese Tabelle, so finden wir mehrere Senkungen, die sich immer bei allen Experimenten zeigen.

1. Für die starken Metallsalzlösungen φ^3 , φ^5 , φ^6 ergibt sich eine Verzögerung (R). Das ist die bekannte Erscheinung der gärungshemmenden Wirkung der Salze des Platins, Silbers, Quecksilbers usw.

2. Für die mittleren Lösungen (φ^5 , φ^6) tritt eine Beschleunigung des Gärungsprozesses ein. Ich habe oben auf diese bemerkenswerte Erscheinung hingewiesen. Sie ist klassisch geworden. Jedes Antisepticum in schwachen Dosen beschleunigt die Gärung (A).

3. Eine noch schwächere Dosis erzeugt Verzögerung der Gärung (φ^7), eine konstante Erscheinung. Nach der Beschleunigung

nigung durch die mittleren Dosen folgt Verzögerung durch die schwachen Dosen, welche wir sekundäre Verzögerung R' nennen.

4. Wenn die Dosis außerordentlich schwach ist (φ^8, φ^9), entsteht eine sekundäre Beschleunigung A' .

So finden wir als die Wirkung eines Metallsalzes auf die Gärung, z. B. für das Platinchlorür folgende Formel:

$\varphi - \varphi^2$ sehr starke Dosen unter 0,1, Verzögerung 0,

$\varphi^2 - \varphi^4$ starke Dosen zwischen 0,001 und 0,0001, Verzögerung R ,

$\varphi^4 - \varphi^6$ mittlere Dosen zwischen 0,00001 und 0,000001, Beschleunigung A ,

φ^7 schwache Dosis 0,0000001, sekundäre Verzögerung R' ,

$\varphi^8 - \varphi^9$ sehr schwache Dosen zwischen 0,00000001 und 0,000000001, sekundäre Beschleunigung A' .

II. Um zu zeigen, daß es sich um ein allgemeines Gesetz handelt, wähle ich als Beispiel das Vanadinchlorid; denn mit diesem Vanadiumsalz wurden zahlreiche Versuche gemacht, die sich jedesmal auf 293 Dosierungen von 500 cem Milch erstrecken.

Probe = 100

$$\begin{array}{rcl}
 \varphi & = & 83 \\
 \varphi^2 & = & 96,2 \\
 \varphi^3 & = & 99,4 \\
 \varphi^4 & = & 100 \\
 \varphi^5 & = & 103,6 \\
 \varphi^6 & = & 101,4 \\
 \varphi^7 & = & 102,4 \\
 \varphi^8 & = & 104,4 \\
 \varphi^9 & = & 103,5 \\
 \varphi^{10} & = & 100,7
 \end{array}
 \left. \begin{array}{l} \\ \\ \\ \\ \\ \\ \\ \\ \\ \end{array} \right\} \begin{array}{l} R \\ \\ A \\ R' \\ A' \end{array}$$

Nun handelt es sich darum, diese Erscheinungen zu erklären. Ich wiederhole, daß sie konstant bei allen Metallsalzen sind, bei denen des Silbers Platins, Thoriums, Bariums, Kobalts, Vanadins, Mangans, Lithiums; nur das Tallium macht eine Ausnahme, das allein die Periode der sekundären Beschleunigungen nicht aufzuweisen schien, nicht einmal bei Dose φ^9 , wo die Periode der sekundären Verzögerung bei so schwacher Dose noch sehr ausgesprochen ist.

Immer sehen wir, sobald wir die toxische Dosis verringern, daß der primären Beschleunigung A 2 Perioden folgen, zuerst die der sekundären Verzögerung, dann die der sekundären Beschleunigung, als ob bei gewisser Verdünnung eine neue Erscheinung aufträte, die, wenn sie intensiv ist, eine Verzögerung, wenn sie schwach ist, eine Beschleunigung dieser Gärung bewirkt.

Das ereignet sich alles so, wie wenn bei den Dosen von ca. φ^5 die chemische Wirkung des Metallsalzes durch eine Wirkung anderer Art ersetzt würde, z. B. physikalischer Natur, die bei starker Dosis Verzögerung, bei schwacher erhöhte Wirksamkeit hervorruft.

Das ist ja offenbar nur eine Hypothese, doch führen die neuesten Arbeiten der Physiker und Chemiker zu der Ansicht, die Materie ließe sich in elektrische Kräfte oder Elektronen verwandeln, die alle identisch sind, wie verschieden auch die Materie war, aus welcher sie entstanden sind.

Meine Erfahrungen scheinen diese kühne Hypothese zu unterstützen. Es ist sehr leicht möglich, daß unter dem Einfluß einer außerordentlichen Verdünnung das Molekül genötigt wäre, sich auf die verschiedenen Teile der Lösung ungleich zu verteilen, was ziemlich unwahrscheinlich ist.

Offenbar ist z. B. eine begrenzte Menge Silbernitrat nicht ins Unendliche teilbar. So wird das Silber eher, als sich ungleich zu verteilen, sich spalten, und wenn die Moleküle genügend voneinander entfernt sind, daß die Anziehungskraft, die sie untereinander vereint, abgeschwächt ist, so entsteht eine Veränderung der Materie und eine Verwandlung in elektrische Kräfte oder Elektronen.

Um diese Hypothese durch direkte Experimente wahrscheinlich zu machen, bin ich folgendermaßen vorgegangen:

In große Gefäße, die 20 l destillierten Wassers enthielten, tat ich eine gewisse Menge Silbernitrat, z. B. 0,0085 g. Diese Menge ist in der Lösung bei dieser Verdünnung gar nicht zu bestimmen, und keine Reagenz ermöglicht, das Silber unter diesen Bedingungen nachzuweisen. Das Wasser mußte verdunstet werden, und diese Einengung ließ ich in einer großen Glasschale vor sich gehen, aus der mehr als 1 l pro Stunde verdampfen konnte.

Der Rest wurde auf 1 l eingengt und mit einer größeren Menge von Salpetersäure versetzt, um eine Reduktion

des Silbers zu verhüten, und schließlich in einer Schale mit flachem Boden auf ca. 15 cm konzentriert. Dann wurde das Silber nach den üblichen Methoden bestimmt.

Dabei stellte sich bei allen derartigen Experimenten heraus, daß das Silber verschwunden zu sein schien.

Da aber die Art der Bestimmung durch Titration einigen Ungenauigkeiten unterworfen ist, so bat ich Mr. Hanriot, den technischen Direktor der Münze, für mich die gewichtsanalytische Bestimmung des Silbers als AgCl vornehmen zu wollen. Folgendes waren die Resultate dieser Bestimmungen:

	Ag angewandt in mg	Ag wiedergefunden in mg	Absolut. Verlust an Silber in mg	Silberverlust in Prozenten
ohne Verdünnung	5,4	5,1	0,3	5,6
ohne Verdünnung in 20 Litern	5,5	5,0	0,4	7,4
1. sofort eingeengt	5,4	3,3	2,1	39
2. nach 24 Stunden eingeengt	5,4	1,3	4,1	76
3. nach 2 Tagen eingeengt	5,4	1,6	3,8	70
4. nach 4 Tagen eingeengt	5,4	3,3	2,1	21
5. nach 6 Tagen eingeengt	5,4	4,5	0,9	17
6. nach 10 Tagen eingeengt	5,4	4,1	1,3	24

Man kann nicht ganz sicher daraus den Schluß ziehen, daß das Silber verschwunden ist, und das aus verschiedenen Gründen. Ersteres, weil die Reihe von Manipulationen und Verdunstungen die Auflösung einer gewissen Menge von Kieselsäure und von Salzen mit sich gebracht hat, und weil die während der Einengung in die Schale gefallen atmosphärischen Stäubchen eine nicht unbeträchtliche Menge fester Materie ausmachen, was die Bestimmung von so kleinen Silbermengen nach Hanriots Angaben äußerst unsicher werden läßt. Andererseits ist nach 6 Tagen die Menge des in 20 Litern vorgefundenen Silbers beträchtlich größer als nach 24 Stunden, was offenbar der Hypothese eine allmähliche Umwandlung des Silberatoms in Elektronen widerspricht. Bevor wir aussprechen dürfen, daß die Materie bei außerordentlicher Verdünnung al

solche verschwindet und zu Elektronen wird, bedarf es absolut positiver Erfahrungen.

Immerhin hat mir ein anderer Versuch, der etwas abweichend vorgenommen wurde, ein sehr merkwürdiges Resultat ergeben, so daß ich glaube, behaupten zu dürfen, daß wirklich ein Verschwinden der Materie erfolgt, wenn die Verdünnung sehr groß ist.

In 60 l destillierten Wassers wurden 0,01513 g Silber gebracht. Anstatt sie aber gleichzeitig in diese 60 l zu tun, fügte ich sie nach und nach während 21 Tagen hinzu, d. h. also 0,00072 pro Tag, in einer sehr schwachen Konzentration, die 0,00001 pro Liter entspricht. Nach Verdunstung der 60 l wurde wieder auf das Silber gefahndet, wobei nur noch 0,005 g vorgefunden wurden. Folglich ist eine Silbermenge von 0,01013 g verschwunden. Denn es ist kaum anzunehmen, daß bei einer sorgfältigen chemischen Analyse solch ein Silberverlust von 0,01013 g, d. h. 67 % der hinzugefügten Menge, möglich ist.

Auf jeden Fall ist der Versuch, wenn auch das Experiment nicht als definitiv angesehen werden kann, doch sehr ermutigend, und ich hoffe, in absehbarer Zeit trotz der großen Schwierigkeiten, die sich einer einwandfreien Analyse entgegenstellen, andere Zahlen anführen zu können, die in diesem oder jenem Sinne zu einem definitiven Abschluß führen.

Über die Wirkung der schwachen Dosen in der Physiologie im allgemeinen.

Welches Los auch unsrer Hypothese über die Umwandlung der materiellen Moleküle unter Einfluß äußerster Verdünnung beschieden sei, das bleibt doch deshalb nicht weniger fest bestehen, daß unglaublich schwache Dosen eine offenbare Wirkung ausüben. Das kann in keiner Weise bezweifelt werden.

Von Experimenten, die sich auf Vanadinoxchlorid erstrecken, sind 28 versuchsweise gemacht worden, wovon jede Serie die Durchschnittsziffer von 5 Bestimmungen aufweist und sich jede Dosierung auf 500 ccm Milch bezog. Folglich repräsentieren diese 28 Serien 140 Dosierungen und 70 l Milch. Wie bei den Kontrollversuchen umfaßt die Dosierung gleiche Mengen. In Wirklichkeit sind es 280 Bestimmungen und 140 l Milch.

Die Resultate waren von außerordentlicher Deutlichkeit. Die Verdünnung betrug φ^8 , φ^9 , φ^{10} ; d. h. auf 1 Liter Milch kamen 0,00000001 g bis 0,0000000001 g Vanadin. 24 mal war die Säure in den Milchproben mit Vanadin stärker, 3 mal war sie sich gleich und 1 mal war sie in der Kontrollprobe stärker.

Wenn man sich vorstellen will, wie viel Dosis φ^{10} bedeutet, genügt es, wenn ich sage, daß man bei einer Totalmenge von 0,2 g φ^{10} (im Liter) unter alle Menschen auf der Erdoberfläche verteilen könnte.

In der allgemeinen Physiologie aber sind diese schwachen Dosen in vielen Fällen bestimmt sehr wirksam. Die berühmten Experimente von Raulin bewiesen, daß minimale Silbermengen das Wachstum von *Aspergillus niger* beeinflussen. Berthelot hat gezeigt, daß 1 g Jodoform pro Stunde nur ein Billionstel seines Gewichtes einbüßt, und trotzdem riecht es sehr stark. Nach Ewert (Zeitschr. für Pflanzenkrankheiten 14, 134 bis 138, 1904) verlangsamt eine Dosis von 0,0000005 Kupfersulfat merklich die Wirkung der Diastase auf Stärke. Das Gewicht eines Bacillus ist kleiner als 0,0000000001 g. Engelmann hat noch kleinere Mengen von Sauerstoff chemotactisch die Wirksamkeit gewisser Infusorien beschleunigen sehen. Die Menge der wirksamen chemischen Substanz, die sich in einem Spermatozoon befindet, ist vielleicht nur $\frac{1}{100}$ seines Gesamtgewichts. Und eine Zelle vom Gewicht eines Millionsten eines Milligramms kann ein lebendes Wesen hervorbringen. Welches sind die chemischen Reaktionen, denen das intellektuelle Vorgehen der roten Ameisen entspricht? Sicherlich sind die Veränderungen, die sich im Zellinnern abspielen, wenn das Tier zur Bewegung angetrieben wird, von einer Größe oder vielmehr einer Winzigkeit, die uns verwirren würden, kennten wir sie.

Man muß daran denken, daß die Quantitäten, die wir in unsern Experimenten anwenden, vielfach zu groß sind. Vielleicht findet man mit viel schwächeren Dosen ganz andere Eigenschaften an der Materie, ganz verschieden von denen, die man ihr bis jetzt beigelegt hat.

Der Einfluß der Nahrung auf die chemische Zusammensetzung des Tierkörpers.¹⁾

Von

Lafayette B. Mendel.

(Aus dem Sheffield Laboratory of Physiological Chemistry, Yale University in New Haven, U. S. A.)

Bei den während der letzten Jahre angewandten Methoden der Prüfung der Ernährung von Tieren war die statistische Feststellung der Einnahme und Ausscheidung vorherrschend. Die bei erhaltenen Daten gaben wertvolle Aufschlüsse betreffs des jeweiligen Körpergleichgewichts.

Es bedarf aber großer Vorsicht bei irgendwelchen Schlüssen bezüglich der dauernden Wirkungen der diätetischen Beeinflussung des Organismus. Eine Stickstoffretention während einer kurzen Zeit bedingt keineswegs eine beständige Veränderung in der chemischen Zusammensetzung der Gewebe, und es ist augenblicklich ganz unmöglich, ein vollständiges Bild von der Umwandlung der Körperkomponenten aus den Daten zu geben, die uns nach den eben angeführten Vergleichsmethoden zur Verfügung stehen.

Es ist deshalb nicht auffallend, daß noch auf anderem Wege das Ernährungsproblem in Angriff genommen worden ist.

Wie weit kann der wesentliche chemische Aufbau eines Organismus durch Nahrungsveränderungen oder abweichende Ernährungsbedingungen umgewandelt werden? Die Lösung dieser

¹⁾ Diese Arbeit ist eine aus einer Reihe von chemischen Versuchen über das Wachstum, die mit Bewilligung des Carnegie-Instituts in Washington ausgeführt wurde. Die Versuche wurden im Jahre 1905 bis 1906 unter Mitarbeit der Herren P. H. Mitchell und C. S. Leavenworth begonnen, welche die meisten analytischen Arbeiten ausgeführt haben.

Frage ist von hervorragender Bedeutung und ist für eine große Reihe biologischer Betrachtungen wichtig. Wenn Veränderungen in der Eiweißaufnahme, z. B. die Anwendung von Weizenproteinen an Stelle von Fleischproteinen, den Aufbau des Blutes oder der Muskelproteine merkbar beeinflussen, ist die Gelegenheit zugleich für Veränderungen in den Eigentümlichkeiten der Arten gegeben.

Verschiedene Physiologen haben sich kürzlich mit dieser Frage befaßt. So haben Abderhalden und Samuely¹⁾ gezeigt, daß die Serumproteine anscheinend eine konstante chemische Zusammensetzung haben, unabhängig von dem Charakter der zugeführten Eiweiße. Dies trifft auch dann zu, wenn die letzteren in dem quantitativen Verhältnis ihrer Aminosäuremengen bedeutend abweichen. Große Quantitäten von verarbeiteterm Gliadins, das über 36% Glutaminsäure enthält, veränderten nicht einmal den Gehalt der Serumproteine daran, die ungefähr 8% ergaben, unter Bedingungen, wo eine Synthese von Blutproteinen praktisch unvermeidlich war.

In ähnlicher Weise hat man schon gezeigt, daß der Eiweißaufbau im Pflanzenreiche unabhängig von dem Charakter der zugeführten Stickstoffnahrungsmenge ist, da das analysierte Produkt stets typisch in bezug auf seine chemische Zusammensetzung ist.²⁾ Selbst unter ungewöhnlichen physiologischen Bedingungen, wie sie bei Tieren mit Eckscher Fistel bestehen, ist es unmöglich gewesen, irgend einen spezifischen Einfluß der Nahrungsproteine auf das Eiweiß des Plasmas zu entdecken.³⁾

Ernährungsbedingungen, bei denen charakteristische Aminosäuremengen deutlich fehlen, wie in der Zusammensetzung von Gelatine (Mangel an Tyrosin, Cystin und der Tryptophangruppe) oder Zein (Mangel an Tryptophan und Lysin) führen bei dieser ungewöhnlichen Zusammensetzung der Stickstoffnahrung unvermeidlich zu pathologischen Zuständen und zum Tode. Der

¹⁾ Abderhalden u. Samuely, Zeitschr. f. physiol. Chem. 46, 193, 1905.

²⁾ Abderhalden u. Rona, Zeitschr. f. physiol. Chem. 46, 179, 1905.

³⁾ Abderhalden, Funk u. London, Zeitschr. f. physiol. Chem. 51, 269, 1907.

Organismus ist augenscheinlich nicht imstande, sein eigentümliches Protein zu synthetisieren, um das im Stoffwechsel verbrauchte zu ersetzen. Aber ob die zurückbleibenden Gewebe dadurch außer den Veränderungen an Wasser-, Fett- oder Glykogengehalt eine chemische Veränderung erfahren, muß experimentell bewiesen werden.

Daß typische chemische Veränderungen im Aufbau während der Wachstumsperiode bei Tieren möglich sind, ist wiederholt gezeigt worden. Als Beweis dafür kann man die Synthese der Purin- und Pentosegruppen ansehen, die erst kürzlich wieder für das sich entwickelnde Ei¹⁾ nachgewiesen wurde. Man hat den Veränderungen in den individuellen Organen verschiedentlich Aufmerksamkeit geschenkt. Es treten oft ausgleichende Faktoren hervor, so daß entscheidende Schlüsse nur aus einer Betrachtung des Organismus im ganzen gezogen werden können. Daher unternahmen die früheren Forscher es nur, einige der mehr hervorstechenden Eigenschaften, die man den Nahrungselementen zuschreibt, zu bestimmen.

Bei schlechter Ernährung wird der ganze Körper wässriger; ein wohlgenährter Organismus enthält dagegen mehr Trockensubstanz, da in ihm mehr Fettgewebe mit geringem Wassergehalt ist, und auch die übrigen Organe die Muskeln usw. weniger Wasser einschließen²⁾. Wenn, wie Voit lehrte, Wasser und Fett im umgekehrten Verhältnis zueinander im Organismus stehen, so daß der Wassergehalt praktisch von dem Fettreichtum der Gewebe abhängig ist, so könnte man annehmen, daß das fettfrei berechnete Gewebe eine merkliche Beständigkeit im Wassergehalt zeigte. Dies ist aber keineswegs von allen späteren Forschern bestätigt.³⁾ Man stimmt im allgemeinen darin überein, daß der Wasserhalt bei Tieren von ihrem Alter und ihrer Ernährungsweise abhängt, da junge und im Wachsen begriffene Wesen reicher an Wasser sind als erwachsene. Der Charakter der Veränderungen bei den letzteren ist noch nicht unzweifelhaft festgesetzt worden. Weigert schloß

¹⁾ Vgl. Mendel u. Leavenworth, American Journal of Physiology 21, 77. 1908.

²⁾ Voit, Hermanns Handbuch der Physiologie 6 (1), 347, 1881.

³⁾ Vgl. Weigert, Jahrb. f. Kinderheilk. 61, 178, 1905, wo die Literatur durchgesehen ist; auch Steinitz, ibid. 59, 447, 1904.

aus einer Durchsicht der Literatur und eigener Untersuchungen über die Zusammensetzung einiger Tiere, die bei sehr verschiedener Diät gehalten wurden, folgendes: „Die Schwankungen des Wassergehalts sind nicht allein bedingt durch die Zunahme oder Abnahme des Fettgehaltes des Tierkörpers, sie sind auch begründet in einem verschieden großen Gehalt an fettfreier Trockensubstanz.“¹⁾

Die Bedeutung des Wassergehalts steht beim lebenden Protoplasma für seine richtige Funktion außer Zweifel. Als eine möglicherweise bedeutsame Folge von solchen Veränderungen werden Eigenschaften wie ein veränderter Widerstand gegen Infektionen angesehen, und diese Beziehung ist wiederholt hervorgehoben worden. Es schien daher wichtig, weitere und eindeutigere Punkte in dieser Frage festzustellen. Hierbei wurde noch der Versuch gemacht, den Einfluß einer fortgesetzten Nahrung von ganz verschiedenen Eigenschaften auf die dauernde Körperzusammensetzung festzustellen und zu bestimmen, ob eine einseitige Ernährung irgendwelche tiefere wahrnehmbare chemische Veränderungen hervorrufen kann. Wenn man eine Veränderung im Fettgehalt, an Glykogen, anorganischen Salzen und Wasser zuläßt, muß man prüfen, ob die Gewebsgrundsubstanz eine konstante Zusammensetzung beibehält, wie es z. B. durch einen unveränderten Stickstoffgehalt angezeigt wird. Wenn diese Unveränderlichkeit sicher festgestellt sein sollte, sind wir berechtigt, anzunehmen, daß, wenn ein Gewebe richtig wächst, alle spezifisch chemischen Eigenschaften des Aufbaues unvermeidlich beibehalten werden. Die Zellen sind bereichert oder vermindert (wenigstens soweit, wie die Stickstoffbestandteile betroffen sind) durch Hinzufügung oder Zersetzung einer typischen Körperkomponente, mehr als heterogene Bestandteile von wechselnder chemischer Zusammensetzung. Wenn der grobe chemische Aufbau des Körpers (neben seinem Fettgehalt) unverändert bleibt, sind die Folgen des Fehlens eines solchen normalen Nahrungsmechanismus um so beachtenswerter.

¹⁾ Weigert, loc. cit. 195.

Angewandte Methoden.

Bei dem Versuch, die Veränderungen in dem ganzen Organismus, der recht verschiedenen Ernährungsarten unterworfen war, feststellen, war es aus gewissen Gründen vorteilhaft, mit kleinen Tieren zu experimentieren. Es konnte eine große Anzahl von Individuen leichter beobachtet werden, und die Möglichkeit, den ganzen Körper zu analysieren, bot gewisse Vorteile. Es wurden weiße Mäuse für diesen Versuch gewählt, bevor der Mißerfolg Weigerts¹⁾, solche Tiere bei einer außergewöhnlichen Ernährungsweise zu erhalten, zu unserer Kenntnis gekommen war. Wir fanden gleich ihm, daß die Mäuse außerordentlich empfindlich für gewisse Nahrungsstoffe waren; wir bekamen erst eine größere Erfahrung, die Tiere bei bestimmter Ernährung lebend und gesund zu erhalten, auf Kosten vieler vorhergegangener Fehlversuche. Falta und Noeggerath²⁾ waren nicht imstande, Ratten mit Mischungen von isolierten Nahrungsstoffen längere Zeit am Leben zu halten, obgleich Röhm ann³⁾ mitgeteilt hat, daß es ihm gelungen sei, Mäuse bis in die zweite Generation mit Mischungen von Casein, Eiereiweiß, Vitellin, Fetten und organischen Salzen zu erhalten. Wir haben oft gefunden, daß nach einer längeren Fütterung mit derselben Nahrung, besonders mit „ungewogenen Mengen“ wie Reis und Bananen, die Mäuse nur gesund erhalten werden konnten, wenn ihren täglichen Portionen wenigstens zeitweise kleine Mengen Fleisch oder andere Substanzen hinzugefügt wurden. Als Beweis der wiederholt angeführten Schwierigkeiten erwähnen wir nur den Tod vieler unserer Tiere nach längerer Fütterung mit präserviertem Stockfisch (als einer proteinreichen Nahrung), bevor man herausgefunden hatte, daß eine übermäßige Salzmenge in der Nahrung hieran schuld war. Es mag darauf hingewiesen werden, daß die außergewöhnliche Empfindlichkeit dieser kleinen Tiere gegen diätetische Einflüsse sie desto wertvoller für gewisse Studienzweige über Ernährung macht. Wenn frisches mageres Rindfleisch dem Stockfisch hinzugefügt wurde, gediehen die überlebenden Mäuse bei der ge-

¹⁾ Weigert, *Jahrb. f. Kinderheilk.* 61, 184, 1906.

²⁾ Falta und Noeggerath, *Beiträge z. chem. Physiol. u. Pathol.* 7, 313, 1906.

³⁾ Röhm ann, *Allgemeine med. Central-Zeitg.* 1903, Nr. 1.

wählten Nahrung. Vielleicht sind solche Faktoren, die das Gleichgewicht von säurebildenden und basenerzeugenden Elementen in der Nahrung beeinflussen, wie von Sherman und Sinclair¹⁾ kürzlich hervorgehoben wurde, hierbei wirksam.

Die Mäuse wurden in kleinen, speziell konstruierten Drahtkäfigen gehalten, wovon jeder eine Schicht reinen Sandes auf dem Boden und eine Menge Watte enthielt. Wasser und Nahrung wurden in getrennten Trögen eingeführt. Besondere Sorgfalt wurde darauf gelegt, daß die Käfige täglich gereinigt und frische Nahrungsmengen verabfolgt wurden. Die Tiere wurden in einem warmen Raume gehalten und von Zeit zu Zeit gewogen. Unterschiede in der Lebendigkeit der Mäuse, die bei verschiedenen Diätformen gehalten wurden, waren oft bald bemerkbar.

Man beabsichtigte mit den gewählten Diäten ein Beispiel von proteinreicher Nahrung (P) durchzuführen, in der geronnenes Eiereiweiß, frisches oder getrocknetes Rindfleisch verabfolgt wurde, ein Beispiel von fettreicher Nahrung (F), in der Eidotter, Speck, fetter Käse die Hauptbestandteile bildeten; einer Nahrung die wenig Protein und überwiegende Kohlehydrate (C) enthielt, zu welchem Zwecke Bananen, gekochter Reis, Zucker, Brot und Schiffszwieback besonders gewählt wurden (mit gelegentlicher Beigabe von Stückchen frischen Fleisches, wenn es nötig war), einer Nahrung, die viel Gelatine enthielt (G) neben der Kohlehydratnahrung und ein wenig Fleisch; und zum Vergleich, das Beispiel einer „normalen“ gemischten Nahrung (N), die alle diese Nahrungsstoffe enthielt.

Die Versuchstiere waren in ihrem Anfangsgewicht und Alter sehr verschieden und wurden zu ganz verschiedenen Zeiten auf die verschiedenen Diäten gesetzt. Gewisse zufällige äußere Faktoren wurden auf diese Weise gänzlich ausgeschlossen. Im allgemeinen gediehen die Mäuse bei der gemischten (normalen) Diät gut; die größte Sterblichkeit war bei der Gelatine- und bei der Bananenreisfütterung zu verzeichnen, bis ein wenig Fleisch gelegentlich der Nahrung zugefügt wurde. Diese Tiere nahmen nicht beständig an Gewicht zu und waren weit weniger lebhaft als die der Eiweiß- und Fettproteingruppen.

¹⁾ Sherman und Sinclair, Journ. of Biolog. Chem. 1907, 307.

Einige der gestorbenen Tiere wurden analysiert; aber die daraus gezogenen Schlüsse werden extra behandelt werden. Die wesentlichen zu berichtenden Daten kamen bei Mäusen vor, die zur bestimmten Zeit mit Äther getötet waren. Alle Unterleibseingeweide, außer der Leber, wurden entfernt, das Tier schnell gewogen, die Leber dann extra gewogen und wieder in den Körper getan. Die ganze Masse (außer den oben erwähnten anderen Eingeweiden) wurde fein gemahlen und in einer sehr kleinen, besonders konstruierten Hackmaschine gemischt, die schnell fast quantitativ geleert werden konnte. Das Material wurde auf tarierte Bleifolie gebracht und zu einem konstanten Gewicht bei 105° getrocknet. Der Wasserverlust wurde auf diese Weise bestimmt. Darauf wurde der Rückstand mittels Äther in einem Soxhletapparat (mit einer Knorr'schen Flasche und Hopkinschen Kondensator) ungefähr 10 Stunden extrahiert. Der Inhalt wurde dann von der Unterlage entfernt, so gut wie möglich zerkleinert und in dem Extraktionsapparat zurückgebracht. Die ganze Extraktionszeit betrug niemals weniger als 18 Stunden. Das zurückbleibende Gewebspulver wurde für Aschenanalysen und Stickstoffbestimmungen nach dem Kjeldahl-Gunningschen Verfahren benutzt.

Die Unvollkommenheiten der eben angegebenen Technik sind dem Schreiber wohl bekannt; die möglichen Ungenauigkeiten bei der Bestimmung des Wassers werden zum Teil durch die Trocknung der ganzen Körper ausgeglichen. Vorhergehende Versuche mit kleineren Proben der gemahlenen Gewebemasse zeigten keinen Vorteil gegen die obige Methode. Die Verwendung der ganzen getrockneten Körper zur Extraktion mit Äther bereitete das Material für eine gleichmäßigere Probeentnahme zu den notwendigen Stickstoffbestimmungen vor. Die Entfernung der ganzen Eingeweide schien unumgänglich, wenn grobe Irrtümer ausgeschlossen werden sollten, die aus den sehr verschiedenen Mengen von Nahrungsrückständen herrührten.

Mit der unvermeidlichen Begrenzung durch die Methodik sind die Ergebnisse in Tabellenform gebracht und in Gruppen nach den charakteristischen Nahrungsarten geordnet. Sie lohnen keiner detaillierten Betrachtung an dieser Stelle. Nur solche Daten sind aufgeführt, die ganze Reihen von Analysen enthalten. Die Daten sind nach Gruppen geordnet. Bei einigen war die

Dauer der speziellen Fütterung dieselbe und die Diäten ungleich; bei andern wurden Tiere desselben Wurfes verglichen; bei wieder andern bilden Tiere, die eine Gewichtszunahme zeigen, den Gegensatz zu Tieren, die eine Abnahme erfahren haben, und endlich wird eine Gruppe von Mäusen hinzugefügt, die, außer was die Nahrungsbedingungen anbetrifft, unklassifiziert sind.

Diskussion der Ergebnisse.

Trotz der großen Abweichungen, die der Gehalt an Wasser und Fett (Ätherextrakt) bei allen getöteten Mäusen aufweist, zeigen diese Bestandteile eine sehr konstante Beziehung, ganz im Einklang mit den von Rubner¹⁾ folgendermaßen formulierten Sätzen:

„Diese Tatsache, daß Fettreichtum und kleiner Wassergehalt, sowie Fettarmut und Wasserreichtum korrespondieren, gibt zu unrichtigen Deutungen der ursächlichen Beziehungen Anlaß. Der scheinbare Einfluß des Fettes auf den Wassergehalt ist nichts weiter als eine rechnerische Wirkung Wenn in ein normales, fettarmes Gewebe Fett eingelagert wird, so muß, weil letztere Substanz wasserfrei ist, der prozentige Wassergehalt sinken, ohne daß der Organismus selbst auch nur die geringste Wassermenge verloren zu haben braucht. Wenn man also von den Beziehungen des Wassers zu den Organen eine richtige Vorstellung haben will, so lasse man bei Vergleich verschiedener Organismen hinsichtlich des Wassergehaltes jedesmal das Fett ganz außer Berechnung. Dann findet man eine ungemein nahe Übereinstimmung, z. B. der Zusammensetzung des Muskels verschiedenartiger Tiere. . . . Das Eiweiß der Organe oder die lebende Substanz hat offenbar eine sehr gleichmäßige Zusammensetzung, was ihr Verhältnis zum Wasser anlangt.“

Das konstante Verhältnis, das hier betont wird, wird durch eine Prüfung des Wassergehalts, der auf das fettfreie Gewebe bezogen ist, deutlicher gemacht. Die Stärke der Veränderung ist besonders klein (70 bis 74% Wasser), wenn die Versuchsanordnung und die Methoden der Analysen in Betracht gezogen werden. Die Ergebnisse von Weigert, der einen Wasser-

¹⁾ Rubner, v. Leydens Handbuch der Ernährungstherapie, S. 52, 1903.

gehalt (für fettfreie Substanz berechnet) von 65 bis 80% in sieben Experimenten an Hunden bekam, können möglicherweise durch die Tatsache erklärt werden, daß einige der Tiere noch in der Wachstumsperiode waren, wo ganz verschiedene Bedingungen bekanntlich vorhanden sind. Tatsächlich hob der Autor selbst die unsichere Deutung seiner Versuche hervor, obgleich er nicht zögerte, aus ihnen den ziemlich eigenartigen Schluß zu ziehen, der oben schon erwähnt wurde. Von anderen Forschern erhaltene Resultate an wachsenden Tieren können hier nicht zum Vergleich herangezogen werden.

Der Gehalt an Körperfett in der Trokensubstanz der Tiere, die beständig einen großen Überschuß an Nahrungsfett erhalten hatten, war gleichmäßig hoch, obgleich höhere individuelle Daten in einigen der anderen Gruppen erhalten waren.¹⁾

Die Tiere dreier verschiedener Würfe, die im Laboratorium geboren waren, wurden mit verschiedenen Diätformen ernährt, wie die Tabelle zeigt. Bei jedem Wurf gediehen die „Kohlehydratmäuse“ weniger gut, als die „Fettnahrungstiere“, nach dem Körpergewicht zu urteilen. Wie schon erwähnt wurde, verloren die „Kohlehydratmäuse“, die von Bananen, Reis und Zucker lebten, rasch an Gewicht, zeigten eine geringere Lebhaftigkeit und nahmen ab, bis ihrer Nahrung eine kleine Fleischzumischung beigelegt wurde. Auf diese Weise verlor die Maus C₁₀ bedeutend an Gewicht und bei C₁₂ und C₁₁ wurde diese Abnahme in der Weise ausgeglichen, wie die Übersicht anzeigt. Trotzdem ist der Wassergehalt des fettfreien Gewebes bei ihnen ähnlich und der Stickstoffgehalt des fettfreien organischen Materials zeigt keine auffallende Abweichung von dem des „Normaldiättieres“. Von einigen der Tiere, die während des Futtersversuches starben, wurden Analysen vorgenommen.

In den meisten Fällen verloren die Mäuse infolge der schlechten Ernährung schnell an Gewicht. Der verminderte Fettgehalt ist auffallend (vgl. P₁₄, P₁₅, F₉, C₁₅). Trotzdem bleibt der Wassergehalt des fettfreien Gewebes innerhalb der Grenzen wie bei normalen Tieren.

¹⁾ Siehe die Analysen der Tiere, die in der Tabelle mit F bezeichnet sind, also die Mäuse mit einer reichlichen Fettnahrung.

Übersicht über die Analysen von Mäusen, die unter verschiedenen Nahrungsbedingungen gehalten waren.

Die Art der Nahrung ist durch folgende Buchstaben gekennzeichnet: N = normale gemischte Nahrung. F = eiweißreiche Nahrung. G = gelatinehaltige Nahrung.
C = eiweißarme, kohlehydratreiche Nahrung. F = fettreiche Nahrung.

Bezeichnung der Tiere	Dauer des Ernährungs- versuches Tage	Körper- gewicht beim Tode g	Trocken- gewicht %	Wasser %	Ätherextrakt %	Wasser im fettfreien Gewebe %	Asche des fett- freien Trocken- rückstandes %	Stickstoffgehalt der wasser-, fett- u. asche'freien Substanz %	Gewicht der Leber g	Bemerkungen über die Nahrung etc.
Beginn der Fütterung 30 Tage nach der Geburt:										
P 8	28	15,2	32,6	67,4	26,1	73,5	12,7	16,0	2,2	Fleisch, Eier, Brot.
F 6	28	19,4	36,3	63,7	33,1	72,4	12,3	15,3	1,8	Käse, Speck, Eigelb, fettes Fleisch.
C 11	28	15,0	36,0	64,0	33,6	72,8	11,2	16,1	1,6	Bananen, Reis, Zucker, ein wenig Brot und Fleisch.
Beginn der Fütterung 40 Tage nach der Geburt:										
P 9	127	18,7	35,3	64,7	30,1	71,8	14,5	16,8	1,4	Fleisch, Eier, Brot.
F 7	127	19,9	37,2	62,8	33,2	71,9	14,1	16,7	1,7	Käse, fettes Fleisch, Eigelb, Speck. Die Mäuse verlieren nach zwei Monaten den Appetit. Zugabe von Brot und Hafer. Die Tiere erholen sich.
C 12	127	16,6	36,2	63,8	33,6	72,6	10,5	16,0	0,9	Reis, Bananen, Zucker, wenig Brot und Fleisch.
Beginn der Fütterung 60 Tage nach der Geburt:										
N 8	39	20,5	34,3	65,7	19,1	70,4	13,7	16,0	1,9	Fleisch, Eier und wenig Brot.
P 7	39	14,4	31,7	68,3	20,0	69,8	16,1	16,3	1,8	Käse, Eigelb, Speck, fettes Fleisch.
F 5	39	22,1	39,4	60,6	41,4	72,4	16,0	15,8	2,0	Reis, Bananen, Zucker. Die Mäuse verlieren beständig an Gewicht.
C 10	39	18,8	31,5	68,5	17,6	72,5	19,0	16,0	1,3	
137 Tage künstliche Ernährung:										
P 4	137	15,6	37,7	62,3	34,6	73,1	—	—	1,9	Bananen, Zucker, Reis, sehr wenig Fleisch und Brot.
F 8	137	15,2	35,5	64,5	30,5	72,7	13,1	14,2	1,8	Die Tiere werden krank, erholen sich aber bei Fleisch-
C 9	137	17,0	41,0	59,0	47,8	73,4	16,1	15,8	0,9	nahrung.
G 2	137	18,3	33,0	67,0	39,1	76,9	14,0	15,1	1,8	Gemischte Nahrung und wenig Gelatine.

37 tägige künstliche Ernährung:

N 3	37	17,4	34,7	65,3	30,9	73,8	13,9	16,2	1,7	Fleisch, Eier und wenig Brot.
P 3	37	20,2	38,2	61,8	37,1	72,1	10,7	16,1	2,3	Käse, Speck, Eigelb, fettes Fleisch.
F 4	37	20,8	36,4	63,6	33,4	72,9	12,7	16,3	1,9	Bananen, Zucker, Brot, Zwieback und Reis.
C 6	37	19,7	34,1	65,9	29,4	73,1	13,8	16,7	2,1	Nur wenig Gelatine als Nahrung.
G 1	37	16,3	31,8	65,2	25,8	73,5	13,8	15,2	2,2	

Mäuse, die an Gewicht zunehmen:

N 4	—	24,4	40,8	59,2	45,1	73,0	12,5	16,4	1,4	Reichlich Rindfleisch und Eier.
P 3	53	22,6	33,6	66,4	28,0	72,9	15,0	16,7	3,2	
F 3	91	21,5	37,9	62,1	39,5	73,5	15,7	16,9	1,8	Bananen, Zucker, Brot, Zwieback und Reis.
C 7	37	15,0	35,0	65,0	37,2	74,7	12,9	15,5	1,6	

Mäuse, die an Gewicht abnehmen.

C 2	50	14,8	30,2	69,8	14,9	73,1	16,3	15,0	1,0	Reisflocken und Bananen. Starker Gewichtsverlust.
C 3	54	11,0	28,6	70,4	14,0	73,6	16,1	15,9	1,6	Reis, Bananen, wenig Zwieback. Starker Gewichtsverlust.

Gemischte Gruppe:

N 1	—	23,4	33,8	63,2	24,6	72,6	—	—	2,2	Frisches Fleisch und Eiweiß.
N 5	—	17,7	39,9	60,1	42,8	72,5	14,1	16,6	1,1	Reichlich Rindfleisch und Eier.
N 7	—	26,4	46,1	53,9	52,0	70,9	14,5	16,7	2,2	Mageres rohes Fleisch, Eiweiß und wenig Brot.
P 1	28	21,1	32,2	67,8	21,6	72,9	13,1	16,3	1,7	Käse, fettes Fleisch und Speck.
P 2	58	22,6	33,6	66,4	28,0	72,9	15,0	15,7	3,2	Reis, Bananen und Zwieback.
P 6	73	21,8	39,3	60,7	37,0	71,0	11,7	16,8	1,8	" "
F 2	91	24,4	37,6	62,4	39,9	73,3	15,7	15,9	2,0	" "
C 4	54	15,2	31,8	68,7	22,7	73,9	16,3	15,6	2,1	Kohlhydratnahrung; die Tiere werden krank und er-
C 5	65	11,4	32,8	67,2	27,9	74,0	13,8	16,7	1,5	holen sich bei wenig Fleischkost.
C 8	137	20,2	41,0	59,0	45,8	72,7	—	—	1,1	

19*

Gestorbene Mäuse:

P 14	19	9,0	29,3	70,7	7,6	72,2	17,7	16,6	0,9	Fleisch und Eier.
P 15	28	—	27,1	72,9	7,7	73,9	15,9	16,5	—	Fleisch und Eier; Gichtsymptome.
F 9	43	15,8	30,3	69,7	7,3	71,4	22,4	16,4	—	Erschöpfung und Entkräftung.
C 15	54	8,8	28,8	71,2	14,8	74,4	16,2	15,4	1,0	Reis und Bananen.

Sehr abweichende Analysenzahlen:

N 6	—	18,2	40,2	59,8	40,5	71,4	13,1	14,8	1,8	
P 5	73	15,2	35,6	64,4	22,6	70,0	13,9	14,4	1,7	
F 8	137	15,2	35,5	64,5	30,5	72,7	13,1	14,2	1,9	
C 1	26	16,5	33,5	63,5	14,4	69,9	17,3	14,5	1,0	Reisflocken. Starker Gewichtsverlust.

Um eine direkte Basis für den Vergleich der Gewebesubstanz neben dem Wasser und Fett und dem anorganischen Gerüstsubstanz zu haben, wurde der Stickstoffgehalt der ganzen Tiere auf wasser-, fett- und aschefreies Material berechnet. Mit wenigen Ausnahmen zeigten die getöteten Tiere einen Gehalt innerhalb einer engen Grenze über oder unter 16% Stickstoff.¹⁾ Wir neigen zu der Ansicht, hierin einen weiteren Beweis zu sehen, daß die tierischen Gewebe immer das Bestreben besitzen, eine konstante Zusammensetzung ihrer Proteine aufrecht zu erhalten, trotz großer Veränderungen in dem chemischen Charakter der zugeführten Stickstoffnahrung. Selbst bei Tieren, die anscheinend infolge von Nahrungsstörungen starben, blieb dieses Charakteristikum in den meisten Fällen bestehen.²⁾ Die Versuche zeigen keine Berechtigung zu der Annahme eines beträchtlichen Vorrats an nicht eiweißartigem Stickstoffmaterial, weder von stickstoffreichen noch (wie es wirklich bei manchen der hier in Betracht kommenden Aminosäuren der Fall ist) von stickstoffärmeren als Gewebseiweiß. Solche kleinere Veränderungen, wie sie oben erwähnt sind, können sehr gut mit Abweichungen im Glykogengehalt in Zusammenhang gebracht werden, die bei den Berechnungen nicht in Betracht gezogen sind, im Verein mit den unvermeidlichen Fehlern der benutzten Analysenmethoden.

Die Schlüsse, zu denen diese Arbeit, so unvollständig sie offenbar ist, führt, sind gut in einem andern Zusammenhang von Steinitz³⁾ ausgedrückt worden: „Die Konstanz der Zusammensetzung des Organismus, die sich in meinen Analysen gezeigt hat, spricht nicht dafür, daß es auf rein alimentärem Wege möglich ist, den Körper, abgesehen vom Fett, irgend eines für seine Funktion wichtigen Bestandteiles zu berauben. Es scheint vielmehr sicher zu sein, daß der Organismus an

¹⁾ Einige deutliche Ausnahmen sind hervorgehoben.

²⁾ Es ist bereits bemerkt worden, daß der Stickstoffgehalt bei einigen analysierten Tieren deutlich vermindert gefunden wurde. Es scheint unnötig, dies zu betonen, da solche Beobachtungen auf sehr wenige Fälle beschränkt waren. Die unvollständige Entfernung der ätherlöslichen Komponenten ist vermutlich an großen analytischen Verschiedenheiten in einigen oder allen diesen Fällen schuld gewesen.

³⁾ Steinitz, Jahrb. f. Kinderheilk. 1904, 460.

seiner relativen Zusammensetzung festhält. Ein Manko in der Ernährung, zu geringe Zufuhr einer Nahrungskomponente, beantwortet er nicht mit Verarmung an dieser, während im übrigen Wachstum weiter stattfindet, sondern seine Zusammensetzung bleibt unverändert. Ein normales Wachstum kann nur erfolgen bei Assimilation aller wichtigen Bestandteile in dem Verhältnis, wie sein Körper zusammengesetzt ist, und einen Verlust erleidet er nur durch gleichmäßiges Einschmelzen von Gewebe, während seine relative Zusammensetzung unverändert bleibt.“

Physikalisch-chemische Betrachtungen über die pharmakologische und toxische Wirkung von Quecksilber.

Von

L. Sabbatani.

(Aus dem pharmakologischen Institut der k. Universität Parma.)

Es existiert vielleicht kein Arzneimittel, dessen Verwendung schon seit uralten Zeit eine so häufige und mannigfaltige gewesen wäre, wie die des Quecksilbers, und kein anderes hat je Anlaß zu so vielen und genauen chemischen, pharmakologischen, therapeutischen, toxikologischen und anatomisch-pathologischen Untersuchungen gegeben.

Die Menge der mit Bezug auf die physikalischen, chemischen und biologischen Eigenschaften des Quecksilbers zusammengetragenen Fakta ist sehr groß und recht umfangreich und die Literatur ist fast endlos. Dennoch liegt bis jetzt, soviel wie ich weiß, noch keine Arbeit vor, die den Zweck verfolgt, eine Zusammenstellung aller wesentlichen sicher erwiesenen chemischen und biologischen, Tatsachen zu liefern. Es fehlt noch eine Betrachtung, die zu einer klaren Erkenntnis der chemischen als auch der biologischen Tatsachen führt und imstande ist, die in vitro und die beim lebenden Tier gemachten Beobachtungen, die therapeutische und toxische Wirkung, sowie die besonderen anatomischen Lokalisationen bei der Vergiftung durch Quecksilber zu erklären.

Seit einigen Jahren beschäftige ich mich mit pharmakologischen Untersuchungen über die Eigenschaften und Wirkungen des Quecksilbers. Dabei dienten stets die physikalisch-chemischen Gesetze der Lösungen zur Richtschnur; auf diese Weise habe ich viele Resultate erhalten, die es mir erlauben, die Abfassung der vorhin erwähnten synthetischen Arbeit, und

zwar, wie ich glaube, mit Erfolg zu versuchen. Wie mir scheint, können jetzt viele Erscheinungen miteinander in Zusammenhang gebracht werden, die man früher als gänzlich unabhängig voneinander betrachtete. Meines Erachtens läßt sich jetzt mit hinlänglicher Sicherheit eine physikalisch-chemische Lehre von der pharmakologischen und toxischen Wirkung des Quecksilbers formulieren; während sie uns eine gute Erklärung aller besonders wichtigen Erscheinungen gibt, welche in das Gebiet der Pharmakologie und der Toxikologie gehören, steht sie auch in Übereinstimmung mit unseren chemischen Kenntnissen bezüglich der Lösungen der Quecksilberverbindungen.

Antiseptische Wirkung.

Es ist schon etliche Jahre her, seit Krönig und Paul¹⁾ die strenge Abhängigkeit nachwiesen, die zwischen dem physikalisch-chemischen Zustande der Lösungen der Quecksilberpräparate und ihrer antiseptischen Wirksamkeit existiert, und vor allem die enge Beziehung, die zwischen der Konzentration der Quecksilberionen und der antiseptischen Kraft besteht. Noch heutzutage zweifelt, in Übereinstimmung mit diesen Autoren, niemand mehr daran, daß die toxische Wirkung auf die Mikroorganismen fast ausschließlich von den freien Ionen, dagegen wenig von den anderen zusammengesetzten Ionen des Quecksilbers abhängt; bewirken doch alle physikalischen oder chemischen Ursachen, die eine Zunahme der Konzentration der Quecksilberionen herbeiführen, ebenfalls eine Zunahme des antiseptischen Vermögens und alle eine Abnahme der Konzentration veranlassenden auch eine Abnahme des antiseptischen Vermögens.

Es schien jedoch, als ob die Beziehungen zwischen dem physikalisch-chemischen Zustand und der toxischen Wirkung nur für die Mikroorganismen beständen, oder als ob sie sich höchstens auf wenige sehr einfache Organismen erstrecken könnten. Obschon die Untersuchungen von Krönig und Paul vor 11 Jahren veröffentlicht wurden, hat meines Wissens niemand seit dieser Zeit versucht, die physikalisch-chemischen

¹⁾ Krönig und Paul, Die chemischen Grundlagen der Lehre von der Giftwirkung und Desinfektion. Zeitschr. f. Hygiene u. Infektion. 25, 1897.

Forschungen bei pharmakologischen Untersuchungen an höheren Tieren zu verwerten, und wenn auch die Beziehungen zwischen der elektrolytischen Dissoziation und der biologischen Wirkung hinsichtlich anderer Metalle, der Säuren und Basen einigermaßen verallgemeinert worden waren, so sah man sich doch immer bei solchen Untersuchungen auf einzellige oder sehr einfache Individuen¹⁾ beschränkt. Es hatte den Anschein, als ob die Erforschung der pharmakologischen Wirkung der Ionen bei den höheren Tieren keine leichte Aufgabe sein würde; dieser Ansicht war auch Maillard, der zu den ersten gehörte, die sich erfolgreich mit derartigen Untersuchungen beschäftigten.

Heutzutage jedoch liegt eine Reihe von Arbeiten über Versuche vor, die an höheren Tieren²⁾ angestellt wurden; sie gestatten uns, auf dem ganzen Felde der biologischen Wirkungen des Quecksilbers die Anwendung der physikalisch-chemischen Gesetze seiner Lösungen allgemein durchzuführen.

Präcipitierende Wirkung bei der Albuminfixiation der Gewebe.

Nach den schönen Untersuchungen von Galeotti über die Fällung der Eiweißkörper in vitro mit Salzen von Schwermetallen ist kein Zweifel mehr möglich, daß die Erscheinung der Präcipitation in diesen Fällen direkt an den physikalisch-chemischen Zustand der Lösungen gebunden ist; ferner ergibt sich aus meinen Experimenten mit Ätzsublimat, daß

¹⁾ Bezüglich der Literatur vergleiche man die in meiner früheren Arbeiten über das Quecksilber angegebene; die betreffenden Arbeiten werden in dieser Abhandlung zitiert.

²⁾ Sabbatani, L., *La dissociazione elettrolitica e la tossicologia dell'argento, rame e mercurio*. Arch. di Psich. Med. leg., ecc., 25, 1904.

Sabbatani, L., *Dissociazione elettrolitica ed azione farmacologica dei sali doppi alogenati del mercurio*. Arch. di Fisiologia, 3, 1903.

Sabbatani, L., *L'acido solfidrico come antidoto generale del mercurio dal punto di vista fisico-chimico*. Arch. internation. de Pharmacodyn. et de Thérapie, 3, 1907.

Sabbatani, L., *Cura dell'avvelenamento acuto da mercurio*, Rif. Med., 23, 1907.

Simon, J., *Studio fisico-chimico dell'antidotismo fra albumine e cloruro mercurico*. Comunicazione fatta al Congresso della Società per il progresso delle Scienze in Parma, settembre 1907.

die Fällung von einem bestimmten kritischen Wert in der Konzentration der Quecksilberionen abhängt. Das gleiche läßt sich über die fixierende Wirkung des Sublimats auf die Gewebe sagen, die so oft in der Histologie verwertet wird.

Lokale Wirkung.

Was die lokale adstringierende und kaustische Wirkung der Quecksilberpräparate betrifft, so hängt sie unzweifelhaft wie die Fällung der Eiweißkörper *in vitro* von den Kationen ab; die von mir in dieser Hinsicht gemachten Experimente sind sehr überzeugend.

Allgemeine Wirkung.

Die allgemeine akute toxische Wirkung des Quecksilbers bei den Säugetieren hängt gleichfalls vom Quecksilberion ab und ist enge an die Bedingungen der Dissociabilität gebunden, die es in den zirkulierenden Flüssigkeiten und in den Protoplasmen antrifft. Die tödliche Dosis hängt durchaus nicht von einer bestimmten Menge Quecksilber ab, sondern von einer bestimmten Konzentration seiner Ionen, wie bei der antiseptischen Wirkung, wie bei der präzipitierenden Wirkung auf die Eiweißkörper *in vitro* und wie bei der adstringierenden und lokalen kaustischen Wirkung auf die Gewebe.

Die Giftigkeit des in die Venen injizierten Ätzsublimats nimmt ab, und die minimalste tödliche Dosis wird bedeutend größer, wenn man bewirkt, daß die elektrolytische Dissoziation des zirkulierenden Quecksilbers eine geringe bleibt; sie nimmt um so mehr ab, je kleiner die Konzentration der Ionen wird. Injiziert man vorher in die Venen der Tiere Natriumchlorid, das bei der Gleichheit des Anions mit dem Quecksilberchlorid seine Dissoziation zurückdrängt, so werden sie gegen intravenöse Injektionen von Ätzsublimat widerstandsfähiger; injiziert man vorher Natriumbromid, so wird die Toleranz viel größer, weil das Quecksilberbromid (das sich im Organismus bildet) weniger dissoziiert ist als die Chlorverbindung; injiziert man vorher Jodnatrium, so wächst die Widerstandsfähigkeit der Tiere gegen das Sublimat noch mehr, weil die Tendenz vorhanden ist, Jodquecksilber zu bilden, nach dessen Entstehung das Quecksilber noch weniger dissoziiert ist.

Ferner wird nach vorhergegangener Injektion von Natriumthiosulfat die Toleranz der Tiere sehr groß, weil das Quecksilber die Tendenz hat, als Doppelsalz ein Gesamtion zu bilden: Quecksilberthiosulfat plus Natriumchlorid. Die Resistenz kann ebenfalls sehr groß werden, wenn man Schwefelwasserstoff verwendet, der Quecksilbersulfid bildet, die am wenigstens dissoziierte Quecksilberverbindung, welche man kennt; hier wird aber das Experiment wegen der dem Schwefelwasserstoff eigenen Toxizität schwierig.

**Zusammenstellung der an Kaninchen mit Gegengiften
gegen Quecksilber gemachten Versuche.**

Intravenöse Injektion von HgCl_2 in g pro Kilogramm	Gegengift		Unmittelbare Folge bei den Tieren
	Substanz	Art der Verwendung	
0,000092	—	—	stirbt
0,000147	NaCl	vorausgehende intravenöse In- jektion gleich g 0,026000 pro Kilo	„
0,000185	NaBr	„	„
0,000316	NaJ	„	„
0,001090	H_2S	gleichzeitige oder abwechselnde intravenöse In- jektion gleich g 0,001090 pro Kilo	lebt
0,001083	H_2S	pro 0,001083	stirbt
0,000740	Na_2S	pro 0,000830	lebt
0,000649	Na_2S	pro 0,000649	„
0,001600	$\text{Na}_2\text{S}_2\text{O}_3$	vorausgehende intravenöse In- jektion gleich g 0,026000 pro Kilo	stirbt

Mit diesen Reagenzien kann man also eine Präventivbehandlung durchführen, gewissermaßen die Tiere gegen die toxische Wirkung der intravenösen Injektionen von Sublimat schützen; aber man kann eine direkte Behandlung der tat-

sächlichen Vergiftung vornehmen, eine Kur, die nicht symptomatisch, sondern hinsichtlich des wahren toxischen Erregers, des Quecksilberions pathogenetisch wird. Diese Kur gelingt um so besser, je unschädlicher an und für sich das verwendete antitoxische Agens, und je weniger aktiv das sich bildende Gesamtanion des Quecksilbers ist. Das vom Thiosulfat herstammende ist das am wenigsten schädliche von allen; unter denjenigen, welche sich mit den Halogensalzen des Quecksilbers bilden:



ist das schädlichste von allen das dritte, dasjenige, welches sich aus alkalischen Jodquecksilberverbindungen bildet. Zu bedenken ist jedoch, daß man mit diesen chemischen Agenzien eine lokale und allgemeine, durch Ätzsublimat verursachte Erscheinung zum Stillstand bringen und bekämpfen kann, aber nicht ihre anatomischen Folgen; ferner beachte man, daß, um vom praktischen Gesichtspunkte aus diese Mittel mit Nutzen zu verwenden, besondere Vorsichtsmaßregeln nötig sind, die ich schon in einer der oben angeführten Arbeiten angegeben habe.

Wirkung der verschiedenen Quecksilberpräparate.

Was die allgemeine Wirkung der verschiedenen Quecksilberpräparate betrifft, so ist zu bemerken, daß sie nur dann nützen, wenn sie sich zu trennbarem Salz, wahrscheinlich Mercurisalze, umbilden im Verhältnis zu den Mercurionen, die sie direkt oder indirekt in den Kreislauf bringen. Ihre Endwirkung ist stets die gleiche, wie dies die klinische Erfahrung schon längst erkannt hat. Dies hatte zu dem Glauben geführt, das eingeführte Quecksilberpräparat, ganz gleich welches, zirkuliere dann im Organismus unter einer einzigen Form, nämlich als Quecksilberoxyd-Albuminat, und diesem Präparat allein sei in jedem Falle den Eintritt der allgemeinen, pharmakologischen, therapeutischen und toxischen Wirkungen zuzuschreiben.

Wollte man jedoch heutzutage die einzige chemische Form der Quecksilberverbindung genau bestimmen, die immer im Organismus zirkulieren sollte, so wäre dies, wenigstens vom theoretischen Gesichtspunkte aus, absurd, da die vom Quecksilber im Organismus gebildeten Verbindungen sehr zahlreich,

ja zahllos sein können. Nur das ist sehr wahrscheinlich, daß die vorwiegende mineralische Form, die das Quecksilber annimmt, die des Quecksilberchlorids ist. Und zwar folgert man dies aus der Stabilität der Halogenverbindungen des Quecksilbers, aus dem bedeutenden Überwiegen der Chloride über alle anderen löslichen Salze des Organismus, aus dem Gesetz der Massenwirkung aus den Beobachtungen von Buglia bezüglich der antikoagulierenden Wirkung der Kationen auf das Blut¹⁾ und zum Teil auch aus meinen Untersuchungen über die Gegengifte.

Heutzutage müssen wir, statt zu sagen, das aktive im Organismus zirkulierende Quecksilber sei stets in einer einzigen Form einer chemischen Verbindung vorhanden, vielmehr uns so ausdrücken; es findet sich stets in einer konstanten, physikalisch-chemischen Form, der des Ions. Durch diese Auffassung lassen sich leicht und vollständig alle Erscheinungen erklären, welche die lokale und allgemeine pharmakologische Wirkung der verschiedenen Quecksilberpräparate betreffen, sowie die toxische Wirkung und die vorhin erwähnten Untersuchungen über die Gegengifte.

Die verschiedenen Quecksilberpräparate zeigen in ihrer Wirkung Verschiedenheit hauptsächlich hinsichtlich der lokalen Wirkung oder der Geschwindigkeit, mit der sie resorbiert werden, sowie der Leichtigkeit, mit der sich aus ihnen Mercuriionen entwickeln können.

Was sodann die Art und Weise betrifft, wie die letzteren dem Protoplasma gegenüber aktiv werden, so glaube ich, daß sie von Reaktionen der Ionen abhängig ist, die sie mit einigen Bestandteilen des Protoplasma selbst bilden können. Meines Erachtens ist die toxische Erscheinung eine direkte Folge von bestimmten Verbindungen der Ionen und Eiweißkörper, wie Loeb sagt; er faßt sie jedoch im Sinne von Galeotti auf, d. h. als labile Verbindungen von verschiedener Zusammensetzung und als reversibel; ihre chemische Zusammensetzung

¹⁾ Buglia, G., (Azione anticoagulante dei cationi in rapporto alla diluzione del sangue. Arch. di Fisiologia Vol. 3, 1906) konnte in der Tat indirekt konstatieren, einen wie starken Einfluß die vorher im Blute vorhandenen Chloride auf den physikalisch-chemischen Zustand des dem Blute hinzugefügten Quecksilberchlorids ausüben.

hängt von der physikalisch-chemischen Zusammensetzung der umgebenden Lösung ab, die mit ihr in Berührung ist, nach dem thermodynamischen Gesetz der chemischen Gleichgewichte. Danach werden wir annehmen können, daß in den Protoplasmen der durch Quecksilber vergifteten Tiere neben den Verbindungen der Ionen und Eiweißkörper sich stets Metall im Zustand eines freien Ions findet in einem besonderen Gleichgewichtszustande mit jenem, und daß, wenn die Konzentration des Ions schwankt, auch die Menge und die Zusammensetzung des Metalls schwanken muß. Danach würde man es also verstehen, daß die oben erwähnten Verbindungen, welche Vergiftungserscheinungen und den Tod zur Folge haben, sich nur bei bestimmten Konzentrationen der Ionen bilden (toxische Dosis, tödliche Dosis); daß die Vergiftungserscheinung konstant fortdauert, solange die Konzentration des toxischen Ions konstant die gleiche bleibt, daß sie mit der Abnahme der letzteren wächst und abnimmt und verschwindet, wenn die Konzentration der Quecksilberionen unter einen kritischen Wert hinabsinkt, bei dem die Verbindungen der Ionen und Eiweißkörper, welche die Ursache der Vergiftungserscheinungen waren, zurücktreten und verschwinden.

Anatomische Lokalisationen bei Vergiftung durch Quecksilber.

Auf den ersten Blick scheint es schwer, nach der soeben dargelegten physikalisch-chemischen Theorie auch die ganz eigentümlichen anatomisch-pathologischen Lokalisationen zu erklären, die bei der Vergiftung durch Quecksilber beim Menschen und bei den höheren Tieren angetroffen werden; gerade diesen Teil gedenke ich jetzt zum erstenmal zur Ergänzung der vorgetragenen Anschauungen zu entwickeln.

Um die Stomatitis, Colitis und Nephritis zu erklären, hat man viele Hypothesen aufgestellt und daran viele Erörterungen geknüpft. Die einschlägige sehr umfangreiche Literatur findet sich zusammengestellt in zwei Arbeiten von Elbe und Almkvist, mit denen wir uns gleich beschäftigen müssen. Deshalb halte ich es für vollkommen überflüssig, das hier zu wiederholen, was diese Autoren schon sehr gut dargelegt haben; ich will hier nur die verschiedenen Hypothesen zusammenstellen, die sich auf acht beschränken lassen.

a) Eine erste Hypothese nimmt an, daß eine direkte Reizung und ein darauffolgender primärer Entzündungsprozeß der Teile stattfindet, zu denen das Quecksilber gelangt.

b) Nach einer anderen Hypothese soll das Quecksilber die Reizung gerade in dem Augenblicke verursachen, wenn es ausgeschieden wird.

c) Eine dritte Hypothese von Meyer und Steinfeld nimmt an, daß die Wirkung des Quecksilbers im Verdauungskanal „als Symptom der gestörten Ausscheidung“ zu betrachten sei.

d) Eine vierte Hypothese von Grawitz behauptet, die Läsionen des Darmrohrs seien durch eine krampfartige Zusammenziehung der Muskeltunica sowie eine durch das Quecksilber verursachte starke Hyperämie zu erklären.

e) Eine fünfte Hypothese meint, eine Abnahme des Blutdruckes könne das Auftreten der anatomischen Läsionen wenigstens begünstigen.

f) Eine sechste Hypothese erklärt die Entstehung der Läsionen durch eine lokale Änderung der Ernährung, die von Gerinnung des Blutes in den Capillaren herrühre.

g) Eine siebente Hypothese, die Elbe aufgestellt hat, führt die durch Quecksilber hervorgerufene Colitis und Nephritis auf eine Reizung der vasomotorischen Nerven der Niere und des Darmrohrs zurück, die eine Verengung der Gefäße mit darauf folgender Nekrose verursachen soll.

h) Endlich erklärt eine achte Hypothese von Almkvist die Colitis und Stomatitis durch Bildung von Schwefelquecksilber.

Auch bei einer einfachen Aufzählung dieser Hypothesen empfindet man gleich, wie unvollständig, unsicher und unbegründet die meisten von ihnen sind, weil sie nicht alle die Lokalisationen der Vergiftung in Erwägung ziehen, weil einige von ihnen sich fast ausschließlich auf anatomische Befunde stützen, und weil sie fast immer das chemische pathogenetische Element und die physiologischen Fragen unberücksichtigt lassen. Deshalb halte ich es nicht für der Mühe wert, sie alle einzeln zu erörtern, um so mehr, da dies schon zum großen Teil durch Elbe und Almkvist geschehen ist.

Bei allen diesen Hypothesen zeigt sich ganz klar und deutlich eine sehr enge Beziehung zwischen den Ausscheidungswegen

(Speichel, Mucosa des Darmrohrs, Nieren) und den anatomischen Lokalisationen der Vergiftung durch Quecksilber. Diese Beziehung war der scharfsinnigen Beobachtung Schmiedebergs nicht entgangen und wurde durch einige Experimente Elbes direkt nachgewiesen. Dieser Autor beobachtete, daß, wenn man einen Harnleiter unterbindet und dann das Tier durch Quecksilber vergiftet, die Veränderungen der Niere fast ausschließlich an der normalen Niere erscheinen.¹⁾

Wenn wir jedoch diese Beziehung zwischen Ausscheidungs- wegen und anatomischen Lokalisationen annehmen, so geben wir a priori zu, daß das Quecksilber sich hier in einem physikalisch-chemischen Zustande befindet, der imstande ist, so schwere toxische Veränderungen zu verursachen, daß alsdann die wohlbekannten anatomischen Läsionen die Folge sind. Wir geben dies zu, ohne untersucht zu haben, ob wirklich an diesen Stellen besondere chemische und physikalische Bedingungen vorhanden sind, welche die erheblichen toxischen Wirkungen des Quecksilbers rechtfertigen können. Um so interessanter erscheint es dann, diese Seite der Frage zu untersuchen, da nach allem, was wir bis jetzt dargelegt haben, es nunmehr ganz sicher ist, daß zur Hervorbringung irgendeiner beliebigen Wirkung des Quecksilbers die Anwesenheit einer Quecksilberverbindung nicht genügt, sondern es erforderlich ist, daß sie eine bestimmte Ionenform und eine bestimmte Konzentration annehmen kann. Dies führt uns zu der Annahme, daß das Quecksilber an den obenerwähnten Ausscheidungsstellen wegen der besonderen chemischen Bedingungen, die es dort antrifft, höhere Ionenkonzentrationen als in jedem anderen Teile des Organismus erreichen und mithin hier ausschließlich die ersten und schwersten toxischen Erscheinungen hervorrufen kann.

¹⁾ Elbe gibt jedoch eine ganz andere Erklärung dieser Tatsache. In Übereinstimmung mit seiner Hypothese behauptet er, in der hydro-nephrotischen Niere trete eine starke und andauernde mechanische Reizung ein, welche die Erregbarkeit der vasomotorischen Nerven der Nieren herabsetze; so könnten, wie er meint, die Gefäße der Niere sich wegen der Einwirkung des Quecksilbers nicht mehr stark zusammenziehen und sekundär trete Veränderungen in der Ernährung und die anatomischen Veränderungen verursachen, die zur Nephritis mercurialis führen.

Den physikalisch-chemischen Zustand des Quecksilbers berücksichtigt nur Almkvist bei seiner oben angeführten Hypothese; da er aber die chemischen und physikalisch-chemischen Fragen, die das Quecksilber betreffen, nicht genau erwogen hat, so hat er irrtümlicherweise dem Quecksilbersulfid eine pathogenetische Bedeutung beigelegt, die es absolut nicht hat und nicht haben kann. Als Almkvist von der Untersuchung histochemischer Reaktionen ausging,¹⁾ die er durch Schwefelwasserstoff hervorrief, um die Lokalisierung des Quecksilbers in den Geweben zu bestimmen, gelangte er zu der Ansicht, daß die Ursache der Colitis und Stomatitis mercurialis durch die Bildung von Quecksilbersulfid zu erklären sei.²⁾ Auf S. 860 stellt er seine Hypothese folgendermaßen auf: „Sind in der „Mundhöhle und im Dickdarm absehbare Fäulnisprozesse vorhanden, so wird hierdurch die Schleimhaut etwas aufgelockert „oder erodiert. Durch diese veränderte Schleimhaut wird das „von den Fäulnisprozessen gebildet H_2S -Gas teilweise resorbiert. „Enthält das Blut des Tieres Quecksilber, so entsteht dabei „in den oberflächlichen Capillarschlingen ein Niederschlag von „Schwefelquecksilber, welcher sich in den Endothelzellen der „Gefäßwand niederschlägt. — Hierdurch wird die physiologische „Rolle der Gefäßwand für die Zirkulation gestört, und infolgedessen leidet die Nutrition des Gewebes.“ —

Diese Hypothese ist vom toxikologischen Gesichtspunkte aus insofern unvollständig, als sie nur die Pathogenese der Stomatitis und der Colitis zu erklären befähigt ist, und die Nephritis vollständig unberücksichtigt läßt; wenn man aber auch davon absieht, so ist sie doch nicht annehmbar, da sie in offenem Widerspruche zu vielen sicheren chemischen, physikalisch-chemischen und pharmakologischen Tatsachen steht. Sie stützt sich vor allem auf die Bildung eines „Niederschlags von Schwefelquecksilber“, dessen Vorhandensein durch die histologischen Untersuchungen von Elbe³⁾ ernstlich in Zweifel ge-

¹⁾ Almkvist, J., Experimentelle Studien über die Lokalisation des Quecksilbers bei Quecksilbervergiftung. Nord. med. Arch. 1903, Abt. 2, Nr. 6.

²⁾ Almkvist, J., Über die Pathogenese der merkuriellen Colitis und Stomatitis. Dermatologische Zeitschr. 13, 827—862, 1906.

³⁾ Elbe, Die Nieren- und Darmveränderungen bei der Sublimat-

zogen worden ist; sodann müßte sich dieser Niederschlag im Innern der Gewebe bilden, noch genauer ausgedrückt „in den oberflächlichen Capillarschlingen“, d. h. in einer kolloidalen Umgebung. Durch Lobry de Bruyns¹⁾ Untersuchungen aber wissen wir, daß amorphe Niederschläge (und amorph ist das einzige stabile Quecksilbersulfid, das bekannt ist), wenn sie sich in kolloidaler Umgebung bilden sollen, nicht eintreten, sondern selbst im kolloidalen Zustande bleiben. Alle Experimente, die ich in vitro und in Anwesenheit von Gummi arabicum, Gelatine, Eialbumin und Blutsrum gemacht habe, bewiesen in der Tat, daß das Schwefelquecksilber sich in Anwesenheit von Kolloiden bildet und stabil im kolloidalen Zustande bleibt. Wenn es sich daher bei den Experimenten von Almkvist wirklich um Schwefelquecksilber, und zwar in Gestalt eines Niederschlags, handelt, so ist anzunehmen, daß die Fällung während und infolge der histologischen Behandlung der Präparate eingetreten ist. Wenn wirklich Schwefelquecksilber im Zustande eines Niederschlags in den lebenden Geweben vorhanden wäre, so würde man nicht verstehen, warum er so schwere Schäden verursacht, ja sogar die bei der mercuriellen Stomatitis anzutreffenden tiefgehenden Veränderungen hervorruft. Hier ist nur eines möglich: entweder könnte dieses Präparat durch seine bloße mechanische Anwesenheit oder durch seine chemischen Eigenschaften schädlich wirken. Bezüglich der ersten Annahme ist zu bemerken, daß wir im Argyrismus ein klassisches Beispiel von sehr feinen und ausgedehnten Niederschlägen haben, die während des ganzen Lebens fortbestehen und, da sie chemisch unwirksam sind (körniges metallisches Silber), nie irgend einen Schaden verursachen. In der Pathologie gibt es kein Beispiel einer so lebhaften, durch untätige Fremdkörper hervorgerufenen Reaktion wie beim Mercurialismus.

Was die zweite Annahme betrifft, so ist zu erwidern, daß, wenn der Niederschlag aus Quecksilbersulfid besteht, das sich im Gewebe selbst vor der Schwefelverbindung gerade an der

vergiftung des Kaninchens in ihrer Abhängigkeit vom Gefäßnervensystem. Virchows Archiv 182, 445—498, 1905.

¹⁾ C. A. Lobry de Bruyn, L'état physique des substances insolubles dans l'eau, formées dans un milieu de gélatine. Réc. Trav. chim. Pays-Bas-T. 14, 236—249, 1900.

Stelle, wo sie sich befindet, gebildet hatte, ein anderes Quecksilberpräparat in einer mit dem Schwefelquecksilber stöchiometrisch identischen Menge vorhanden sein mußte; ein auf elektrolytischem Wege eher zerlegbares Präparat als das Schwefelquecksilber, da sonst die Schwefelverbindung selbst sich nicht hätte bilden können; ein Quecksilberpräparat, dem sicherlich eine Ionenkonzentration von freiem Quecksilber entsprechen mußte, die größer war als diejenige, welche aus einer Schwefelverbindung stammen kann.

Nun wird es aber jedermann klar sein, daß es widersinnig wäre, ausschließlich dem Schwefelquecksilber eine schädliche chemische Wirkung zuzuschreiben, und die des Quecksilberpräparates, die in jenem Augenblick der Bildung der Schwefelverbindung vorausgegangen war, völlig unberücksichtigt zu lassen. Es wäre widersinnig, der am wenigsten dissoziierten und unlöslichsten, der am wenigsten chemisch aktiven und am geringsten toxischen Verbindung, welche die Pharmakologie kennt, eine schädlichere Wirkung zuzuschreiben, während in der Niere, wo nicht mehr von einer Schwefelverbindung die Rede sein kann, sicherlich durch die Wirkung eines anderen Quecksilberpräparates noch sehr schwere anatomische Läsionen hervorgerufen werden.

Es ist vielmehr sehr wahrscheinlich, um nicht zu sagen sicher, daß jenes Quecksilberpräparat, das im Blute zirkuliert und zur Niere gelangt, gleichzeitig auch zu den Schleimhäuten des Mundes und des Dickdarmes gelangt und wirklich das Präparat ist, das auch diese toxischen Lokalisationen verursacht, und das in jedem Falle, auch wenn man Almkvists Hypothese annimmt, stets an jener bestimmten Stelle des Gewebes vor der Bildung des Niederschlages der Schwefelverbindung hätte vorhanden sein müssen.

Dieser Hypothese widerspricht die Toxikologie, die schon längst den Schwefelwasserstoff für eines der besten Gegengifte bei Quecksilbervergiftungen hält, die auf gastrischem Wege stattgefunden haben; ihr widersprechen meine Versuche mit Schwefelwasserstoff als Gegengift bei allgemeiner akuter Sublimatvergiftung. Ferner widerspricht ihr die absolute Unschädlichkeit des in die Muskelmasse oder ins Peritoneum von Hunden injizierten Quecksilbersulfids, das sich dort noch

viele Monate später nicht resorbiert vorfindet, ohne daß je eine Erscheinung von lokaler Reizung oder auch nur die geringste allgemeine Störung eingetreten wäre. Gegen diese Hypothese sprechen ferner einige klinische Beobachtungen aus früherer und neuerer Zeit (Respighi, Desmolière u. a.), die den Nachweis führen, daß der Gebrauch von Schwefelwasserstoff haltigem Wasser die Quecksilberpräparate besser vertragen läßt.

Aus allen diesen Gründen scheint es mir, um es nochmals zu betonen, wahrlich nicht logisch, wenn man gerade dem Quecksilbersulfid, und zwar in diesem einzigen Falle, eine so schädliche Wirkung zuschreibt und gleichzeitig die unzweifelhaft stärkere Wirkung des Quecksilberpräparates unberücksichtigt läßt, das vor der Schwefelverbindung vorhanden war. Meiner Ansicht nach muß das Quecksilbersulfid, wenn es wirklich, in Übereinstimmung mit der Theorie Elbes, vorhanden ist, sich sekundär nach der lokalen toxischen Erscheinung bilden. In dieser Ansicht bestärken uns einige Beobachtungen Galeottis, unsere eigenen und die von anderen Autoren, aus denen hervorgeht, daß die Diffusion der Salze durch die tierischen Membranen viel schneller und intensiver stattfindet, wenn letztere tot, als wenn sie lebendig sind. Auf diese Weise könnten wir uns sogar die Entstehung einer Schwefelverbindung an sehr begrenzten Stellen erklären, an denen vorher Tod der Zellelemente eingetreten war.

Endlich kann die Hypothese Almkvists, wenn man auch zugäbe, daß sie die Lokalisationen der Stomatitis und der Colitis deuten könnte, die Erscheinung der Nephritis durchaus nicht erklären; und wir wären deshalb gezwungen, bei einem und demselben toxischen Agens (Quecksilber), das auf einen einzigen Organismus einwirkt, verschiedene pathogenetische Momente für verschiedene Organe anzunehmen. Dies erscheint jedoch bei genauer kritischer Untersuchung sehr wenig wahrscheinlich, um nicht zu sagen, unmöglich, wenn es auch auf den ersten Blick denkbar zu sein scheint. Das Quecksilber ist kein Gift von elektiver Wirkung, kein Gift für nur einige Protoplasmen, sondern ein universelles Gift für alle; dies will sagen, daß es nicht einige von den spezialisierten vitalen Wirkungen und Tätigkeiten der differenzierten Protoplasmen an-

greift, sondern ein gewisses universelles, gemeinsames und sehr wesentliches Etwas im Leben der Protoplasmen ist. Dieses Etwas finden wir gerade bei den Veränderungen, die es bei den Eiweißstoffen herbeiführt. Damit aber diese Wirkungen (deren Grenze die Präcipitation ist) eintreten, damit die toxische Wirkung auf ein Infusorium oder ein höheres Tier sich kundgeben, damit eine lokale oder allgemeine Wirkung zustande kommen kann oder die therapeutische Beeinflussung möglich ist; dazu ist stets die Anwesenheit von Hg-Ionen in einer bestimmten Konzentration erforderlich, und diese Konzentration muß auch unzweifelhaft die physikalisch-chemische Grundlage der anatomischen Lokalisationen der Quecksilbervergiftung beim Menschen und bei den höheren Tieren sein.

Nehmen wir also jetzt unseren Gedanken wieder auf, wie wir ihn weiter oben ausgesprochen haben. Wir werden nun erwägen müssen, ob an den gewöhnlichen Ausscheidungsstellen des Quecksilbers besondere physikalisch-chemische Bedingungen vorhanden sind, die ihm gestatten, höhere Ionenkonzentrationen als in den übrigen Teilen des Organismus zu erreichen.

Zwei allgemeine Bedingungen tragen mächtig dazu bei, die Konzentration der Quecksilberionen im Organismus auf einem sehr tiefen Stande zu erhalten: die Anwesenheit der Eiweißkörper und die der Chloride. Der Speichel enthält kein Eiweiß und ist bekanntlich die an Chloriden ärmste Flüssigkeit, die im ganzen Körper der Säugetiere enthalten ist; deshalb muß bei Gleichheit aller anderen Bedingungen das Quecksilber im Speichel eine höhere Ionenkonzentration erlangen als irgendwo anders, und die vom Speichel benetzte Mundschleimhaut¹⁾ ist die erste, welche erkrankt.

In der Speiseröhre findet keine Hemmung des Speichels oder der Sekrete statt, also auch keine Läsion. Im Magen finden wir eine hohe Konzentration von Chloriden und die Salzsäure, die einen starken Rückgang in der Dissoziation des Quecksilbers bewirken; wir finden die Chloride und die Eiweißstoffe der Nahrungszufuhr, welche die Ionenkonzentration noch mehr herabsetzen. Deshalb tritt im Magen keine Störung ein.

¹⁾ Dazu tragen noch die im Speichel vorhandenen Mikroorganismen, organischer Detritus, Fäulnisvorgänge, cariöse Zähne bei, lauter klinische Erfahrungen.

Im Dünndarm ist die Menge der Chloride und der Peptone noch eine große, und die Konzentration der Quecksilberionen bleibt infolgedessen immer eine sehr schwache. Dann aber werden allmählich infolge des Resorptionsvorganges im Darmrohr die Chloride und Albumosen usw. resorbiert, bis sie beinahe vollständig in den Faeces verschwinden; alsdann kann die Konzentration der Quecksilberionen wieder eine hohe werden, und in der Tat treten die toxischen Erscheinungen des Verdauungsrohres wieder im Kolon auf.

Aber — wird man sagen — wie steht es denn mit der mercuriellen Nephritis?

Sie ist gleichfalls an die normale Absonderungsfunktion der Niere gebunden, denn in der infolge Unterbindung des Harnleiters hydronephrotisch gewordenen Niere findet man (nach Elbe) fast gar keine Läsionen. Auch hier kann — wie beim Speichel, — da der normale Harn kein Eiweiß enthält, das Quecksilber eine hohe Konzentration seiner Ionen erreichen und eine schwere Verletzung der Niere selbst verursachen. Sodann beschränkt sich die Verletzung nicht allein auf die Niere, da Nierenbecken, Harnleiter, Harnblase und Harnröhre vollständig intakt bleiben, sondern in der Niere selbst werden fast ausschließlich die gewundenen Kanälchen ergriffen (Elbe). Diese ganz eigentümliche Lokalisation der Läsionen allen Harnwegen entlang ließe sich ebenfalls wieder durch eine physikalisch-chemische Auffassung erklären, wenn man mit Ludwig annimmt, daß der Harn ursprünglich in sehr verdünntem Zustande abgesondert wird und sich dann allmählich längs der gewundenen Kanälchen und der Henleschen Schleifen konzentriert. Auf diese Weise könnte die Dissoziation des Quecksilbers dort vollständiger sein, wo der Harn, weil er sehr verdünnt ist, eine schwache Konzentration der Chloride hat, während später, in dem Maße wie er immer konzentrierter wird, die Chloride des Harns ebenfalls immer konzentrierter werden. Sie verursachen dann einen stetig größeren Rückgang in der Dissoziation des Quecksilbers, und zwar bis zu dem Grade, daß sie seine Wirkung völlig aufheben; doch glaube ich, daß hier nicht der Ort ist, allzu lange dabei zu verweilen.

Aus allen meinen bisherigen Darlegungen ergibt sich, daß durch die physikalisch-chemische Betrachtung eine vollständige Erklärung der pharmakologischen und toxischen Wirkung des Quecksilbers gegeben werden kann, und zwar nicht nur hinsichtlich der wichtigsten Tatsachen, sondern auch was kleine Einzelheiten betrifft. Mir hat es Freude gemacht, diese Ansicht an dieser Stelle zu entwickeln, die, wenn sie begründet ist, wie ich glaube, gewiß eine fruchtbare Basis für neue und mannigfaltige Untersuchungen über das Quecksilber bilden wird.

Veränderungen der Oberflächenspannung des Blutserums unter dem Einfluß von verschiedenen Elektrolyten.

Von

G. Buglia.

(Physiologisches Institut der Kgl. Universität Neapel unter Leitung von
Prof. Fil. Bottazzi.)

Mit 6 Figuren im Text.

Heutzutage ist allgemein bekannt, welche Bedeutung das Studium der Oberflächenspannung für die Kenntnis und Erklärung vieler im Innern der kolloidalen Lösungen eintretenden Erscheinungen hat. So z. B. unterliegt es keinem Zweifel, daß Veränderungen der Oberflächenspannung auf die Verwandlung eines Kolloids aus dem Sol-Zustande in den Gel-Zustand einen großen Einfluß ausüben müssen. Jenes Studium erweist sich deshalb auch bei den Erscheinungen der Fällung der Eiweißstoffe durch die Elektrolyte als interessant. Zur Aufklärung dieser Erscheinungen hielt ich es für angezeigt, eine Reihe von Untersuchungen durchzuführen, bei denen ich zunächst mit dem Studium der präcipitierenden Wirkung der Säuren auf das Blutserum beginnen will.

Diese Wirkung ist zum Teil schon bekannt sowohl durch die für das Auge sichtbare Erscheinung der Präcipitation selbst, als auch durch einige schon von anderen Autoren betonte physikalisch-chemische Veränderungen. Welche Unterschiede und welche Veränderungen aber bei Untersuchung der Oberflächenspannung infolge der fortschreitenden Konzentration der Wasserstoffionen oder den verschiedenen chemischen Eigenschaften der anorganischen und organischen Säuren entsprechend eintreten, das hat bis jetzt, soviel ich weiß, noch kein Autor auch nur angedeutet.

Die von mir bei diesen Untersuchungen über die Oberflächenspannung befolgte Methode ist die von Fano und Mayer¹⁾

¹⁾ G. Fano und M. Mayer, „Sulla tensione superficiale del siero di sangue“, Archivio di Fisiol. Ve, IV. 1907, 165, 177.

beschriebene. Meines Erachtens bestätigen die Resultate, die ich jetzt auseinandersetzen werde, ebenfalls die Überlegenheit dieser Methode über alle anderen bisher bei ähnlichen biologischen Untersuchungen verwendeten.

Bei meinen Experimenten benutzte ich das klare und kurz zuvor entnommene Blutserum vom Rinde. Bei jedem Experiment fügte ich einem konstanten Volumen von Blutserum ein konstantes Volumen der Lösung der Säure in verschiedenen Konzentrationen hinzu, die ich stets durch Verdünnung derselben mit Hilfe einer normalen NaOH-Lösung titrierten Säurelösung erhalten hatte. Ich verwendete reines Serum und mit Wasser verdünntes Serum. Ferner machte ich bei einigen Versuchen die Mischungen derart, daß ich, während ich auf einer Seite die Menge des Serums verminderte, auf der anderen die Menge $\frac{1}{10}$ -Säurelösung entsprechend erhöhte. Die Mischungen von Blutserum und Säure ließ ich sodann eine Stunde lang bei 37°C im Thermostaten und filtrierte sie jedesmal, ehe ich die Bestimmungen vornahm. Bei meinem Bericht über die Resultate gebe ich einfach die Verschiebung in mm der Flüssigkeit an, die in dem mit dem Apparat verbundenen Manometer enthalten ist, nicht den absoluten Wert der Oberflächenspannung. Die Beziehung zwischen den Zahlen würde bei Anwendung der bekannten Formel $\pi r^2 h Dg = 2\pi r T$ sich nicht ändern, da ich stets genau dieselben experimentellen Bedingungen beibehielt (die konstante Temperatur von $37,5^{\circ}\text{C}$, die nämliche Capillare für alle Bestimmungen), wie dies ja bei vergleichenden Bestimmungen der Viskosität von Flüssigkeiten gewöhnlich geschieht, die bequem durch die Ausflußzeit wiedergegeben werden können.

Von den vielen mit Säuren gemachten Experimenten führe ich nun, in Tabellen geordnet, nur diejenigen an, welche die Wirkung von H_2SO_4 , HCl , $\text{C}_2\text{H}_4\text{O}_2$ und $\text{C}_2\text{H}_2\text{O}_4$ betreffen.

Es folgen dann noch einige andere Experimente über den Einfluß der molekularen Konzentration (NaCl), der Verdünnung sowohl mit H_2O als mit $\frac{1}{10}$ NaCl , sowie über die Wirkung der Alkalien (NaOH) sowohl auf das Serum des normalen Blutes als auf das 30' vorher mit HCl oder $\text{C}_2\text{H}_4\text{O}_2$ angesäuerte Serum.

Tabelle I.

(15. IV. 08.) Temper. 16° C.

Serum + H₂SO₄. (1. Experiment.)10 ccm der verwendeten Lösung von H₂SO₄ werden neutralisiert durch
10 ccm einer normalen Lösung von NaOH (Indikator: Rosolsäure).

Serum ccm	H ₂ SO ₄ -Lösung		Ungleichheit des Niveaus im Manometer in mm	Bemerkungen
	ccm	in der Kon- zentration		
8,0	2,0	—	37,2	nicht vollkommen klar. Alka- lische Reaktion gegen Lack- muspapier.
8,0	2,0	1/50 normal	37,0	idem.
8,0	2,0	1/30 „	36,8	idem.
8,0	2,0	1/20 „	36,6	idem.
8,0	2,0	1/10 „	36,8	klar. Leicht saure Reaktion mit Lackmuspapier.
8,0	2,0	1/8 „	36,8	idem.
8,0	2,0	1/6 „	35,2	trüb. Saure Reaktion. Das Filtrat ist klar.
8,0	2,0	1/5 „	34,0	idem.
8,0	2,0	1/4 „	35,2	trüb. Stark saure Reaktion. Das Filtrat ist opalescent.
8,0	2,0	1/3 „	33,4	idem.
8,0	2,0	1/2 „	—	gelatineartiges Aussehen.
8,0	2,0	1 „	—	idem.

Tabelle II.

(17. IV. 08.) Temper. 16° C.

Serum + H₂SO₄. (2. Experiment.)

Serum ccm	H ₂ O ccm	H ₂ SO ₄ -Lösung		Ungleichheit des Niveaus im Manometer in mm	Bemerkungen
		ccm	in der Kon- zentration		
5,0	3,0	2,0	—	37,5	das Filtrat ist klar. Alka- lische Reaktion.
5,0	3,0	2,0	1/50 normal	37,2	idem.
5,0	3,0	2,0	1/30 „	37,0	idem.
5,0	3,0	2,0	1/20 „	37,5	klar. Leicht saure Reak- tion.
5,0	3,0	2,0	1/10 „	36,6	trüb mit Flocken. Das Fil- trat ist klar. Saure Re- aktion.
5,0	3,0	2,0	1/8 „	34,3	reichlicher flockiger Nieder- schlag. Das Filtrat ist klar.

Tabelle II (Fortsetzung).

Serum ccm	H ₂ O ccm	H ₂ SO ₄ -Lösung		Ungleichheit des Niveaus im Manometer in mm	Bemerkungen
		ccm	in der Kon- zentration		
5,0	3,0	2,0	1/8 normal	34,0	idem.
5,0	3,0	2,0	1/4 „	35,7	opalescent. Das Filtrat ist opalescent.
5,0	3,0	2,0	1/3 „	35,7	idem.
5,0	3,0	2,0	1/2 „	35,2	idem.
5,0	3,0	2,0	1 „	36,1	mehr opalescent als das vorige. Sehr viskös. Nach einigen Stunden hat es gelatineartige Konsistenz.
5,0	3,0	2,0	1 „	36,1	opalescent.
5,0	3,0	2,0	1 „	—	
5,0	3,0	3,0	1 „	—	das Gemisch ist sehr viskös: es filtriert nicht. Nach vielen Stunden hat es gelatineartige Konsistenz.

Tabelle III.

(18. IV. 08.) Temper. 15° C.

Serum + H₂SO₄. (3. Experiment.)

Serum ccm	H ₂ O ccm	H ₂ SO ₄ -Lösung		Ungleichheit des Niveaus im Manometer in mm	Bemerkungen
		ccm	in der Kon- zentration		
2,0	6,0	2,0	—	37,7	einige kleine Flocken. Das Filtrat ist klar. Leicht alkalische Reaktion.
2,0	6,0	2,0	1/100 normal	37,5	idem.
2,0	6,0	2,0	1/50 „	37,5	idem.
2,0	6,0	2,0	1/30 „	37,7	reichlicher flockiger Niederschlag. Leicht saure Reaktion.
2,0	6,0	2,0	1/20 „	35,2	idem. Saure Reaktion.
2,0	6,0	2,0	1/10 „	35,7	klar.
2,0	6,0	2,0	1/8 „	36,4	idem.
2,0	6,0	2,0	1/6 „	37,0	idem.
2,0	6,0	2,0	1/4 „	36,6	idem.
2,0	6,0	2,0	1/2 „	36,4	idem.
2,0	6,0	2,0	1 „	36,6	idem.
2,0	4,0	4,0	1 „	36,6	leicht opalescent.
2,0	—	8,0	1 „	36,4	opalescent.

Tabelle IV.

(1. III. 08.) Temper. 14° C.

Serum + H₂SO₄. (4. Experiment.)10 ccm der verwendeten H₂SO₄-Lösung werden neutralisiert durch 10 ccm einer n/10 NaOH-Lösung (Indikator: Rosolsäure).

Serum ccm	H ₂ SO ₄ - Lösung ccm	Ungleichheit des Niveaus im Manometer in mm	Bemerkungen
10,0	—	38,0	klar. Leicht opaleszierende Reaktion.
9,5	0,5	37,5	leicht opaleszierend.
9,0	1,0	38,0	idem.
8,0	2,0	37,0	klar.
7,0	3,0	35,2	idem.
6,0	4,0	35,2	trüb. Es entwickeln sich zahlreiche Gasbläschen.
5,0	5,0	36,3	leicht getrübt.
3,0	7,0	37,7	klar.
1,0	9,0	38,0	idem.
—	10,0	53,5	

Tabelle V.

(10. IV. 08.) Temper. 14° C.

Serum + HCl. (1. Experiment.)

10 ccm der verwendeten HCl-Lösung werden neutralisiert durch 10 ccm einer n-Lösung von NaOH (Indikator: Rosolsäure).

Serum ccm	HCl-Lösung		Ungleichheit des Niveaus im Manometer in mm	Bemerkungen
	ccm	in der Kon- zentration		
8,0	2,0	—	37,0	klar. Leicht alkalische Reaktion gegen Lackmuspapier;
8,0	2,0	1/30 normal	36,6	idem.
8,0	2,0	1/30 „	36,6	idem.
8,0	2,0	1/15 „	36,8	idem.
8,0	2,0	1/10 „	37,2	leicht trüb. Leicht saure Reaktion.
8,0	2,0	1/8 „	37,0	idem.
8,0	2,0	1/6 „	33,4	trüb. Saure Reaktion.
8,0	2,0	1/4 „	33,4	idem.
8,0	2,0	1/3 „	34,6	leicht opalescent.
8,0	2,0	1/2 „	34,8	klar.
8,0	2,0	1 „	34,8	leicht opalescent.

Tabelle VI.
(25. IV. 1908.) Temper. 15,5° C.
Serum + HCl (2. Experiment.)

Serum ccm	H ₂ O ccm	HCl-Lösung		Ungleichheit des Niveaus im Manometer in mm	Bemerkungen
		ccm	in der Kon- zentration		
5,0	3,0	2,0	—	37,3	klar. Alkalische Reaktion.
5,0	3,0	2,0	1/50 normal	37,0	idem.
5,0	3,0	2,0	1/30 „	37,0	leicht trüb. Das Filtrat ist klar.
5,0	3,0	2,0	1/20 „	37,0	idem. Leicht saure Re- aktion.
5,0	3,0	2,0	1/10 „	36,3	reichlicher flockiger Nieder- schlag. Klares Filtrat. Saure Reaktion.
5,0	3,0	2,0	1/8 „	34,3	idem.
5,0	3,0	2,0	1/6 „	34,1	idem.
5,0	3,0	2,0	1/4 „	35,2	leicht trüb.
5,0	3,0	2,0	1/3 „	35,4	klar.
5,0	3,0	2,0	1/2 „	36,3	idem.
5,0	3,0	2,0	1 „	—	opalescent, gelatineartiges Aussehen.
5,0	—	5,0	1 „	—	idem. Aussehen wie in der Wärme geronnenes Serum

Tabelle VII.

(21. II. 1908.) Temper. 13° C.
Serum + HCl (3. Experiment.)
10 ccm der verwendeten HCl-Lösung werden neutralisiert durch 10 ccm
einer n/10-NaOH-Lösung (Indikator: Rosolsäure).

Serum ccm	HCl-Lösung ccm	Ungleichheit des Niveaus im Manometer in mm	Bemerkungen
10,0	—	38,0	leicht blutig.
9,5	0,5	37,0	idem.
9,0	1,0	37,5	idem.
8,0	2,0	37,7	idem.
7,0	3,0	36,1	idem. Es entwickeln sich Gas- bläschen.
6,0	4,0	34,5	leicht trüb.
5,0	5,0	35,0	klar.
4,0	6,0	37,0	idem.
2,0	8,0	38,2	idem.
1,0	9,0	38,4	idem.
—	10,0	54,2	

Tabelle VIII.

(26. IV. 1908.) Temper. 15,5° C. Serum + C₂H₄O₂. (1. Experiment.)
 10 ccm der verwendeten C₂H₄O₂-Lösung werden neutralisiert durch
 10 ccm einer n-Lösung von NaOH (Indikator: Phenolphthalein).

Serum ccm	Lösungen von C ₂ H ₄ O ₂		Ungleichheit des Niveaus im Manometer in mm	Bemerkungen
	ccm	in der Kon- zentration		
8,0	2,0	—	37,0	klar. Alkalische Reaktion.
8,0	2,0	1/50 normal	37,0	idem.
8,0	2,0	1/30 „	36,8	idem.
8,0	2,0	1/20 „	36,8	idem.
8,0	2,0	1/10 „	37,0	idem. Leicht saure Reaktion.
8,0	2,0	1/8 „	37,0	leicht trüb. Wird bei 37° C. klar. Leicht saure Reaktion.
8,0	2,0	1/6 „	36,0	idem.
8,0	2,0	1/4 „	34,0	leicht trüb. Das Filtrat ist klar. Saure Reaktion.
8,0	2,0	1/3 „	34,0	trüb. Das Filtrat ist klar.
8,0	2,0	1/2 „	34,3	idem.
8,0	2,0	1 „	34,3	klar: wird bei 37° C. leicht opalescent.

Tabelle IX.

(27. IV. 1908.) Temper. 15° C. Serum + C₂H₄O₂. (2. Experiment.)

Serum ccm	H ₂ O ccm	C ₂ H ₄ O ₂ -Lösung		Ungleichheit des Niveaus im Manometer in mm	Bemerkungen
		ccm	in der Kon- zentration		
5,0	3,0	2,0	—	36,8	klar. Alkalische Reaktion.
5,0	3,0	2,0	1/30 normal	36,8	leicht opalescent. Leicht alkalische Reaktion.
5,0	3,0	2,0	1/20 „	37,0	klar.
5,0	3,0	2,0	1/10 „	37,0	trüb. Das Filtrat ist klar. Saure Reaktion.
5,0	3,0	2,0	1/8 „	36,3	reichlicher flockiger Nieder- schlag.
5,0	3,0	2,0	1/6 „	35,2	idem.
5,0	3,0	2,0	1/4 „	34,0	idem.
5,0	3,0	2,0	1/3 „	34,2	weniger reichlicher Nieder- schlag als bei dem vo- rigen.
5,0	3,0	2,0	1/2 „	34,0	trüb: kein Sediment.
5,0	3,0	2,0	1 „	34,0	leicht opalescent.
5,0	2,0	3,0	1 „	34,3	klar.
5,0	1,0	4,0	1 „	34,0	idem.
5,0	—	5,0	1 „	34,0	idem.

Tabelle X.
(28. IV. 1908.) Temper. 15° C. Serum + C₂H₄O₂. (3. Experiment.)

Serum ccm	H ₂ O ccm	C ₂ H ₄ O ₂ -Lösung		Ungleichheit des Niveaus im Manometer in mm	Bemerkungen
		ccm	in der Kon- zentration		
2,0	6,0	2,0	—	36,5	klar. Leicht alkalische Re- aktion.
2,0	6,0	2,0	1/100 normal	36,8	etwas trübe. Das Filtrat ist leicht opalescent.
2,0	6,0	2,0	1/40 „	37,0	flockiger Niederschlag. Das Filtrat ist klar. Leicht saurere Reaktion.
2,0	6,0	2,0	1/20 „	36,8	reichlicher Niederschlag. Das Filtrat ist klar. Saurere Reaktion.
2,0	6,0	2,0	1/10 „	34,8	idem.
2,0	6,0	2,0	1/8 „	34,3	Niederschlag weniger reich- lich wie beim vorigen.
2,0	6,0	2,0	1/6 „	34,3	idem.
2,0	6,0	2,0	1/4 „	34,3	trüb. Kein Sediment.
2,0	6,0	2,0	1/3 „	34,3	opalescent.
2,0	6,0	2,0	1/2 „	34,3	leicht opalescent.
2,0	6,0	2,0	1 „	34,3	klar.
2,0	4,0	4,0	1 „	34,3	idem.
2,0	—	8,0	1 „	34,5	idem.

Tabelle XI.
(5. III. 1908.) Temper. 14° C. Serum + C₂H₄O₂. (4. Experiment.)
10 ccm der verwendeten C₂H₄O₂-Lösung werden neutralisiert durch
10 ccm einer n/10 NaOH-Lösung (Indikator: Phenolphthalein).

Serum ccm	Lösungen von C ₂ H ₄ O ₂ ccm	Ungleichheit des Niveaus im Manometer in mm	Bemerkungen
10,0	—	38,0	klar.
9,5	0,5	37,5	idem.
9,0	1,0	37,7	idem.
8,0	2,0	37,0	idem. Nach Hinzufügen der Säure entwickeln sich Gasbläschen.
6,0	4,0	35,4	trüb. Flockiges Sediment. Das Filtrat ist klar.
4,0	6,0	35,4	idem.
2,0	8,0	35,7	leicht opalescent. Kein Sediment. Wird bei 37° C klar.
1,0	9,0	36,6	idem.
—	10,0	52,6	

Tabelle XII.

(29. IV. 1908.) Temper. 15,5° C.

Serum + $C_2H_3O_4$. (1. Experiment.)10 ccm der verwendeten $C_2H_3O_4$ -Lösung werden neutralisiert durch 10 ccm einer n-Lösung von NaOH (Indikator: Phenolphthalein).

Serum ccm	$C_2H_3O_4$ -Lösung		Ungleichheit des Niveaus im Manometer in mm	Bemerkungen
	ccm	in der Kon- zentration		
8,0	2,0	—	37,2	klar. Leicht alkalische Reaktion.
8,0	2,0	$\frac{1}{30}$ normal	37,2	leicht opalescent.
8,0	2,0	$\frac{1}{30}$ „	37,2	idem.
8,0	2,0	$\frac{1}{30}$ „	37,2	idem.
8,0	2,0	$\frac{1}{10}$ „	37,2	feiner Niederschlag, bestehend aus kleinen feinen Anhäufungen von Kristallen. Leicht saure Reaktion.
8,0	2,0	$\frac{1}{6}$ „	37,2	idem.
8,0	2,0	$\frac{1}{6}$ „	37,2	idem. Saure Reaktion.
8,0	2,0	$\frac{1}{4}$ „	34,5	Niederschlag reichlicher als beim vorigen. Auch werden Flocken beobachtet. Das Filtrat ist klar.
8,0	2,0	$\frac{1}{3}$ „	34,0	trüb. Kein Sediment, Bodensatz. Das Filtrat bleibt trüb.
8,0	2,0	$\frac{1}{2}$ „	34,0	trüber als das vorige; sehr viskös. Das Filtrat bleibt trüb.
8,0	2,0	1 „	34,8	idem; weniger viskös.

Tabelle XIII.

(30. IV. 1908.) Temper. 16° C.

Serum + $C_2H_3O_4$. (2. Experiment.)

Serum ccm	H_2O ccm	$C_2H_3O_4$ -Lösung		Ungleichheit des Niveaus im Manometer in mm	Bemerkungen
		ccm	in der Kon- zentration		
5,0	3,0	2,0	—	37,5	klar. Leicht alkalische Reaktion.
5,0	3,0	2,0	$\frac{1}{30}$ normal	37,5	leicht opalescent. Das Filtrat ist nicht klar.
5,0	3,0	2,0	$\frac{1}{20}$ „	37,5	idem. Leicht saure Reaktion.
5,0	3,0	2,0	$\frac{1}{10}$ „	37,0	kleine Flocken. Das Filtrat ist klar. Saure Reaktion.
5,0	3,0	2,0	$\frac{1}{6}$ „	36,1	reichlicher flockiger Niederschlag. Das Filtrat ist klar.

Tabelle XIII (Fortsetzung).

Serum ccm	H ₂ O ccm	C ₂ H ₂ O ₄ -Lösung		Ungleichheit des Niveaus im Manometer in mm	Bemerkungen
		ccm	in der Kon- zentration		
5,0	3,0	2,0	1/6 normal	34,0	idem.
5,0	3,0	2,0	1/4 „	34,0	trüb. Gibt kein flockiges Sediment. Das Filtrat ist etwas trüb.
5,0	3,0	2,0	1/3 „	34,0	idem.
5,0	3,0	2,0	1/2 „	34,5	idem.
5,0	3,0	2,0	1 „	35,0	idem. Das Filtrat ist leicht opalescent.
5,0	—	5,0	1 „	35,0	idem.

Tabelle XIV.

(12. III. 08.) Temper. 14° C.

Serum + C₂H₂O₄. (3. Experiment.)

10 ccm der verwendeten C₂H₂O₄-Lösung werden neutralisiert durch
10 ccm einer n/10-Lösung von NaOH (Indikator: Phenolphthalein).

Serum ccm	C ₂ H ₂ O ₄ - Lösung ccm	Ungleichheit des Niveaus im Manometer in mm	Bemerkungen
10,0	—	37,8	klar. Leicht alkalische Reaktion.
9,5	0,5	37,0	leicht trüb.
9,0	1,0	37,0	idem.
8,0	2,0	35,6	etwas trüb. Das Filtrat ist etwas trüb. Leicht saure Reaktion.
7,0	3,0	34,7	idem. Saure Reaktion.
6,0	4,0	34,3	idem.
4,0	6,0	34,5	idem.
2,0	8,0	36,1	klar.
1,0	9,0	36,6	idem.
—	10,0	34,2	

Tabelle XV.
(22. IV. 08.) Temper. 15° C. Serum + NaCl

Serum ccm	NaCl-Lösung		Ungleichheit des Niveaus im Manometer in mm	Bemerkungen
	ccm	in der Kon- zentration		
8,0	2,0	—	37,3	klar.
"	"	1/30-normal	37,3	idem.
"	"	1/10 "	37,3	idem.
"	"	1/8 "	37,3	idem.
"	"	1/6 "	37,3	idem.
"	"	1/4 "	37,0	idem.
"	"	1/2 "	37,3	idem.
"	"	1 "	37,0	idem.
"	"	2 "	37,0	idem.
"	"	4 "	37,3	idem.

Tabelle XVI.
(23. III. 08.) Temper. 14° C. Serum + H₂O.

Serum ccm	H ₂ O ccm	Ungleichheit des Niveaus im Manometer in mm	Bemerkungen
10,0	—	37,0	klar.
9,5	0,5	37,0	idem.
8,0	2,0	37,0	idem.
7,0	3,0	37,0	idem.
5,0	5,0	36,6	idem.
4,0	6,0	36,6	leicht opalescent.
2,0	8,0	37,7	idem.
1,0	9,0	38,2	idem.
—	10,0	53,5	

Tabelle XVII.
(2. III. 08.) Temper. 13,5° C. Serum + NaCl in n/10-Lösung.

Serum ccm	NaCl- Lösungen ccm	Ungleichheit des Niveaus im Manometer in mm	Bemerkungen
10,0	—	37,5	klar.
9,0	1,0	37,5	idem.
8,0	2,0	37,5	idem.
6,0	4,0	37,9	idem.
4,0	6,0	38,3	idem.
2,0	8,0	38,8	idem.
1,0	9,0	40,6	idem.
—	10,0	54,2	idem.

Tabelle XVIII.

(11. IV. 08.) Temper. 14,5° C.

Serum + NaOH. (1. Experiment.)

10 ccm der verwendeten NaOH-Lösung werden neutralisiert durch

10 ccm einer n-Lösung von $C_2H_2O_4$ (Indikator: Phenolphthalein).

Serum ccm	NaOH-Lösung		Ungleichheit des Niveaus im Manometer in mm	Bemerkungen
	ccm	in der Konzentration		
8,0	2,0	—	37,2	klar. Leicht alkalische Reaktion.
8,0	2,0	$\frac{1}{50}$ normal	37,0	idem.
8,0	2,0	$\frac{1}{50}$ "	37,0	idem.
8,0	2,0	$\frac{1}{15}$ "	37,0	idem.
8,0	2,0	$\frac{1}{10}$ "	37,2	idem. Alkalische Reaktion.
8,0	2,0	$\frac{1}{8}$ "	36,5	idem.
8,0	2,0	$\frac{1}{6}$ "	36,0	idem.
8,0	2,0	$\frac{1}{4}$ "	36,0	leichter flockiger Niederschlag.
8,0	2,0	$\frac{1}{3}$ "	36,5	idem.
8,0	2,0	$\frac{1}{2}$ "	36,0	idem.
8,0	2,0	1 "	34,0	opalescent, sehr viskös.

Tabelle XIX.

(24. II. 08.) Temper. 13,5° C.

Serum + NaOH. (2. Experiment.)

10 ccm der verwendeten NaOH-Lösung werden neutralisiert durch

10 ccm einer $n/10$ -Lösung von $C_2H_2O_4$ (Indikator: Phenolphthalein).

Serum ccm	Lösungen von NaOH ccm	Ungleichheit des Niveaus im Manometer in mm	Bemerkungen
10,0	—	37,5	leicht blutig.
9,5	0,5	37,5	idem.
9,0	1,0	37,5	idem.
8,0	2,0	37,5	idem.
7,0	3,0	36,1	idem.
6,0	4,0	35,2	leichte Trübung.
5,0	5,0	35,7	flockiger Niederschlag. Das Filtrat ist klar.
4,0	6,0	36,6	idem.
3,0	7,0	37,5	idem.
1,5	8,5	37,5	klar.
—	10,0	52,4	

Tabelle XX.

(14. III. 1908.) Temper. 15° C.

Serum + HCl + NaOH.

10 ccm der verwendeten HCl-Lösung werden neutralisiert durch 10 ccm
einer n_{10} -NaCl-Lösung (Indikator: Rosolsäure).

10 ccm der verwendeten NaOH-Lösung werden neutralisiert durch 10 ccm
einer n_{10} - $C_2H_3O_4$ -Lösung (Indikator: Phenolphthaleïn).

Serum ccm	HCl- Lösung ccm	NaOH- Lösung ccm	Ungleichheit des Niveaus im Manometer in mm	Bemerkungen
10,0	—	—	37,5	Klar.
9,0	0,5	0,5	37,5	Nach Hinzufügung der Säure und des Alkali bleibt die Mischung klar. Leicht al- kalische Reaktion.
8,0	1,0	1,0	37,5	idem.
7,0	1,5	1,5	37,7	idem.
6,0	2,0	2,0	37,7	idem. Es entwickeln sich Gas- bläschen.
5,0	2,5	2,5	37,5	Nach Hinzufügung der Säure wird das Serum trüb. Bei Hinzufügung des Alkali wird es wieder klar. Alkalische Reaktion.
4,0	3,0	3,0	37,2	idem.
3,0	3,5	3,5	37,5	Nach Hinzufügung der Säure und des Alkali bleibt die Mischung klar. Alkalische Reaktion.
2,0	4,0	4,0	38,0	Nach Hinzufügung der Säure ist die Mischung klar; nach Hinzufügung des Alkali ent- steht ein flockiger Nieder- schlag, der sich gleich wieder auflöst. Die filtrierte Flüssig- keit ist opalescent.
1,0	4,5	4,5	38,0	
0,5	4,75	4,75	39,3	Klar. Leicht alkalische Reak- tion.
—	5,0	5,0	54,2	

Tabelle XXI.

(20. III. 1908.) Temper. 14° C.

Serum + C₂H₄O₂ + NaOH.

10 ccm der verwendeten C₂H₄O₂-Lösung werden neutralisiert durch 10 ccm einer n/10-NaOH-Lösung (Indikator: Phenolphthalein).

10 ccm der verwendeten NaOH-Lösung werden neutralisiert durch 10 ccm einer n/10-C₂H₄O₂-Lösung (Indikator: Phenolphthalein).

Serum ccm	C ₂ H ₄ O ₂ - Lösungen ccm	NaOH- Lösungen ccm	Ungleichheit des Niveaus im Manometer in mm	Bemerkungen
10,0	—	—	37,5	Leicht opalescent.
9,0	0,5	0,5	37,5	Nach Hinzufügung der Säure und der Soda ist die Mischung klar. Leicht alkalische Reaktion.
8,0	1,0	1,0	37,7	idem.
6,0	2,0	2,0	37,5	idem.
4,0	3,0	3,0	37,2	Nach Hinzufügung der Säure ist die Flüssigkeit trüb. Durch Hinzufügung des Alkali wird sie wieder klar. Es entwickeln sich Gasbläschen. Alkalische Reaktion.
2,0	4,0	4,0	38,0	
1,0	4,5	4,5	38,4	Nach Hinzufügung der Säure und des Alkali ist die Mischung klar. Leicht alkalische Reaktion.
—	5,0	5,0	53,5	

Die Resultate werden durch die am Schluß der vorliegenden Abhandlung beigegebenen Kurven ganz deutlich wiedergegeben. Bei den die Säuren betreffenden liest man auf den Ordinaten in mm den Unterschied im Niveau der im Manometer enthaltenen Flüssigkeit, auf den Abszissen die Konzentration der dem Blutserum hinzugefügten Flüssigkeit ab; bei den die Verdünnung und Neutralisierung der Säure durch das Alkali betreffenden ist auf den Abszissen in ccm das Volumen der Flüssigkeit und des Serums angegeben, die in jeder Mischung vorhanden sind.

Die bei den drei ersten mit H₂SO₄ angestellten Versuchen erhaltenen Kurven erscheinen unregelmäßig. Bei einer jeden

von ihnen bemerkt man zwei Senkungen, entsprechend zwei ganz verschiedenen Konzentrationen; die erste ganz geringe, wenn die Menge der dem Blutserum hinzugefügten Säure verhältnismäßig klein ist, die zweite deutlicher ausgeprägte bei einer viel größeren Konzentration der Säure. Nach dieser zweiten Senkung zeigen die Kurven die Tendenz, wieder zum

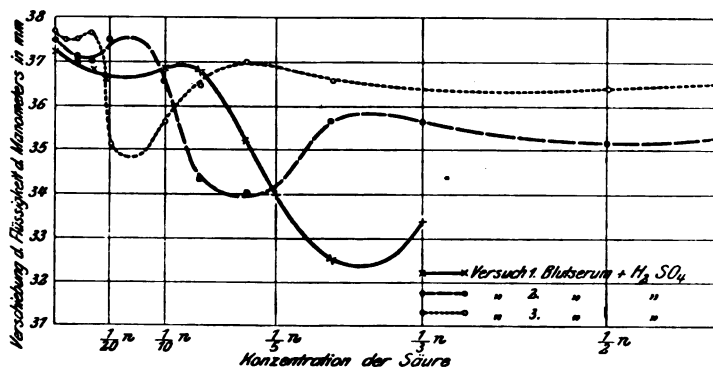


Fig. 1.

Anfangsniveau emporzusteigen; ehe sie es aber erreichen, nehmen sie eine zur Achse der Abszisse fast parallele Richtung an und laufen so auf einer sehr langen Strecke weiter. Diesen letzten Teil bemerkt man nicht bei der Kurve des ersten Experiments, weil das Serum bei einer Konzentration von $\frac{1}{3}$ der Säure in der ganzen Masse erstarrt, weshalb bei ihm unmöglich eine Bestimmung vorgenommen werden kann. Aus den drei Kurven ersieht man ferner, daß sie, je mehr das Serum verdünnt ist, um so mehr nach oben verschoben sind und um so weniger scharf ausgeprägte Krümmungen haben, die näher der Achse der Ordinaten liegen. Nun können wir aber aus den in den entsprechenden Tabellen angeführten Bemerkungen ersehen, daß die Senkungen einer jeden Kurve einem im Serum erfolgenden flockigen Niederschlag entsprechen, die Rückkehr zum Niveau des Anfangswertes der Wiederauflösung des Niederschlags und die letzte Strecke der Kurve dem Beginn der Erscheinungen des Erstarrens der ganzen Flüssigkeit. Die erste kaum merkliche Senkung jedoch entspricht nur einer ganz leichten Trübung, die man durch einen aufmerksamen Vergleich mit dem klaren normalen Serum erkennt.

Stellt man die Werte des letzten mit H_2SO_4 gemachten Experiments (4%) durch eine Kurve dar, in welcher der Faktor „Verdünnung“ dem Faktor „Acidität“ hinzugesellt ist, so würde man eine Kurve mit Einzelheiten erhalten, die von denen der eben beschriebenen Kurve nicht sehr verschieden wäre; im letzten Stück würde sie aber rasch in fast senkrechter Richtung zur Abszisse ansteigen bis zum Werte der reinen $\frac{1}{10}\text{H}_2\text{SO}_4$ -Lösung, die zur Ansäuerung des Serums bei diesem Experimente diene.

Ähnlich den Kurven der Schwefelsäure sind die beim Experimentieren mit HCl erhaltenen. Auch hier finden wir

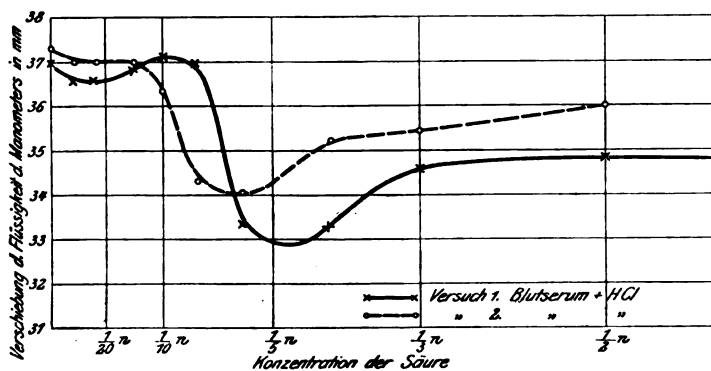


Fig. 2.

die beiden zwei verschiedenen Konzentrationen entsprechen den Senkungen, und zwar die zweite stärker ausgeprägt als die erste; wir finden die Beziehung zwischen dem Sinken oder Ansteigen der Kurve und der Bildung oder Wiederauflösung des Niederschlags; auch finden wir, daß die das verdünntere Serum betreffende Kurve nach oben und gegen die Achse der Ordinaten hin verschoben ist. Da sich aber die fallende Wirkung der Salzsäure auf das normale Serum als geringer erweist als die der Schwefelsäure, und da die Salzsäure nur bei hohen Konzentrationen zu Erstarrungserscheinungen in toto Veranlassung gibt, so gleicht die Kurve, die man hier erhält, mehr der durch Einwirkung von Schwefelsäure auf das zur Hälfte verdünnte Serum erhaltenen Kurve als der durch Einwirkung dieser Säure auf das normale Serum erhaltenen.

Etwas anders zeigen sich die Kurven von Essigsäure. Obschon man auch hier in der Mehrzahl der Fälle zwei Senkungen wahrnimmt, die ungefähr den bei der Schwefel- und Salzsäure beobachteten entsprechen, so sind sie doch nicht so scharf ausgeprägt, und die zweite bildet fast die ganze Kurve. Eine weitere Eigentümlichkeit, welche diese Kurven

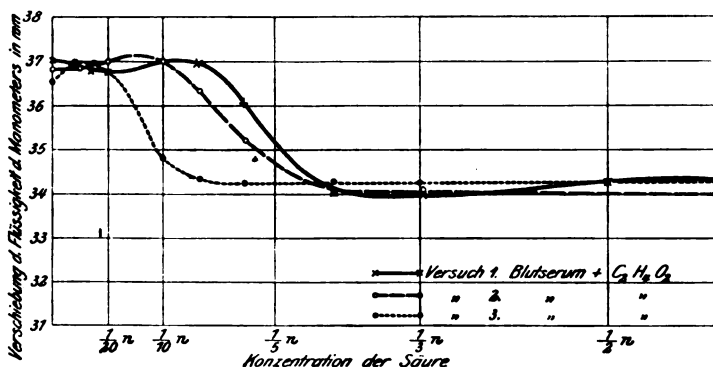


Fig. 3.

von den vorigen unterscheidet, besteht darin, daß sie nach der zweiten Senkung nicht wieder zum Anfangswert emporsteigen, sondern auf einer sehr weiten Strecke fast in gerader, zur Abszisse paralleler Linie fortlaufen. Diese Eigentümlichkeit der Kurve hat ihr Seitenstück im Verhalten des Niederschlags (cf. Experiment 2 und 3 mit dem verdünnten Blut), der sich nach und nach wieder auflöst, wenn die Konzentration der Säure sehr stark ist und wahrscheinlich auch dann, wenn die Erscheinungen des Erstarrens der ganzen flüssigen Masse schon begonnen haben, die bei anorganischen Säuren so deutlich zutage treten, bei der dem Serum in den angegebenen Verhältnissen hinzugefügten $C_2H_4O_2$, dagegen wenig hervortreten.

Auch die Kurven der Oxalsäure sind verschieden von denen der anorganischen Säuren: sie können als identisch mit denen der Essigsäure betrachtet werden, mit Ausnahme des ersten Stückes, in dem sie vollkommen wagerecht verlaufen. Dies hat sein Seitenstück in der Bildung des sehr feinen krystallinen Niederschlags, der sich, wie die mikroskopische Unter-

suchung beweist, im Blutserum bildet, wenn diese Säure in bestimmten Verhältnissen hinzugefügt wird.

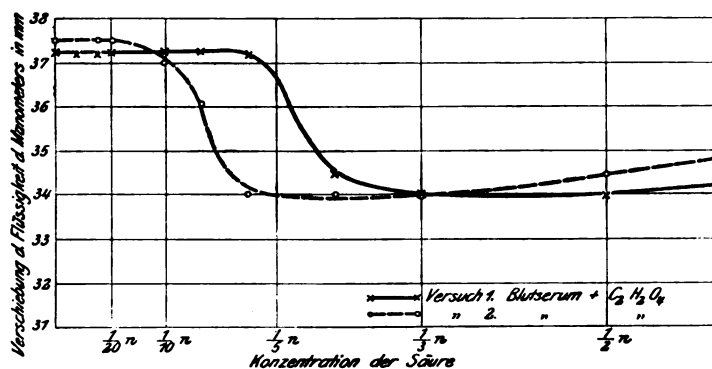


Fig. 4.

Die Werte der 15. Tabelle, die sich auf die mit NaCl in verschiedener Konzentration gemachten Bestimmungen beziehen, würden, in graphischer Kurve dargestellt, eine fast gerade Linie

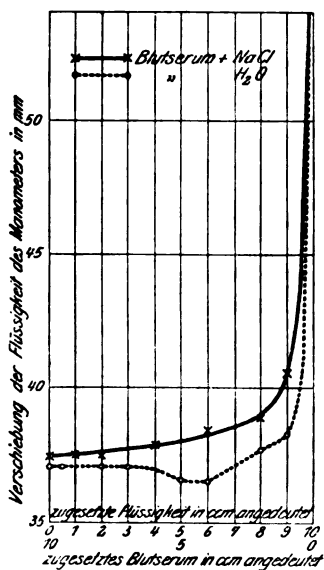


Fig. 5.

bilden, aus der ganz klar hervorgehen würde, daß die Veränderungen der molekularen Konzentration keinen bestimmten Einfluß auf die Oberflächenspannung des Serums ausüben.

Auf der letzten Tafel findet man die bei Verdünnung des Serums mit einer $n/10$ -Lösung von NaCl und H_2O erhaltenen graphischen Kurven, sowie diejenigen, welche die Wirkung der NaOH auf das mit HCl angesäuerte Serum betreffen. Die beiden ersten beweisen nicht nur den Einfluß der Verdünnung, sondern auch, daß bei den wenn auch leichten Erscheinungen

der Präcipitation der Eiweißstoffe eine Abnahme der Oberflächenspannung eintritt. In der Tat ist die Kurve des Na-

triumchlorids regelmäßig, weil es nie eine Trübung verursacht, wenn es dem Serum in der erwähnten Konzentration hinzugefügt wird, während die Kurve des destillierten Wassers entsprechend dem Grade der Verdünnung, bei dem das Serum opaleszent wird, eine ganz leichte Senkung zeigt.

Endlich beweist die letzte Kurve, daß die durch Salzsäure bei dem Blutserum bewirkten Veränderungen der Oberflächenspannung nach Hinzufügung des Alkaljs ganz unbedeutend werden; ebenso ergibt sich aus den entsprechenden Tabellen, daß die dem Auge sichtbaren Veränderungen verschwinden, die in der flockigen Fällung der Eiweißstoffe bestehen.

Genau die gleiche Kurve würde man erhalten, wenn man auf den Ordinaten und Abszissen die Werte der letzten Tabelle einsetzen wollte, bei denen die Ansäuerung des Serums mit Essigsäure vorgenommen wurde. In beiden Fällen erhält man den Beweis, daß die Erscheinung reversibel ist.

Von dem beim Experimentieren mit anderen Säuren erhaltenen Kurven zeigen einige einen ähnlichen Verlauf wie bei der Schwefel- und Salzsäure, andere wie bei der Essigsäure und der Oxalsäure. Es gibt aber auch solche, die sich sowohl von den ersteren als auch von den letzteren unterscheiden. Dies erklärt sich wahrscheinlich aus der verschiedenen chemischen Beschaffenheit der Säuren (Säureradikal, Stärke, elektrolitische Dissoziation usw.). Denn obschon die Krümmungen der Kurven uns größtenteils die den Wasserstoffionen eigene Wirkung auf die Eiweißsubstanz, d. h. die Erscheinung der Fällung, darstellen, so kennen wir doch die anderen Reaktionen nicht, die ev. die erwähnte Erscheinung begleiten, die in Wirklichkeit die wichtigste zu sein scheint. Noch weniger ist uns

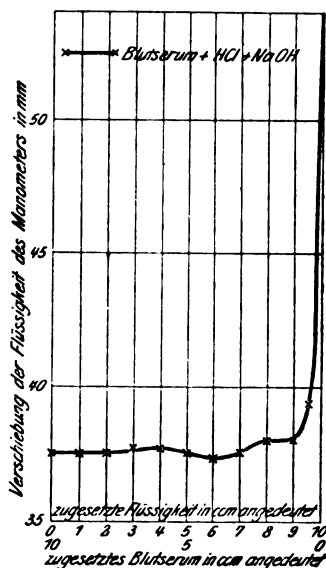


Fig. 6.

bekannt, welchen Einfluß auf die Oberflächenspannung die Produkte der Reaktionen mit Salzen haben können, die ev. eintreten, wenn man einer Elektrolyten enthaltenden kolloidalen Flüssigkeit eine Säure hinzufügt.

Außerdem muß ich noch bemerken, daß in einigen Fällen der allgemeine Verlauf der Kurve durch die Lösung der Säure beeinflußt wird insofern, als diese selbst eine sehr niedrige Oberflächenspannung im Vergleiche zu der des Wassers (Buttersäure, Oxybuttersäure) zeigt.

Welche Beziehung zwischen der Erniedrigung der Oberflächenspannung des Serums besteht, wenn letzterem in bestimmten Verhältnissen eine Säure hinzugefügt wird, und der Ausflockung des Kolloids, d. h. ob wirklich mit der Veränderung der Oberflächenspannung die Bildung des Hydrosols oder die Ausflockung zusammenfällt usw., darüber werden vielleicht Beobachtungen mit dem Ultramikroskop Aufklärung verschaffen können. Welchen Einfluß die verschiedenen im Blutserum enthaltenen Eiweißstoffe auf die zufällige Gestaltung der besprochenen Kurven haben können, wird sich beim Experimentieren mit dem Serum herausstellen, dem der eine oder andere seiner wichtigsten Eiweißbestandteile genommen ist, oder vielleicht noch besser mit den vorher getrennten und gereinigten Kolloiden des Serums.

Physiko-chemische Eigenschaften des Blutes und der Lymphe nach Transfusion homogenen Blutes.

Von

Fil. Bottazzi und A. Japelli.

(Aus dem Physiologischen Institut der Kgl. Universität Neapel unter
Leitung von Prof. Fil. Bottazzi.)

Mit 2 Figuren im Text.

I. Einleitung.

Zu einem besonderen Zweck, den wir in einer demnächst zu veröffentlichenden Arbeit angeben werden, haben wir die vorliegenden Untersuchungen über einige physikalisch-chemische Eigenschaften des Blutes und der Lymphe von Hunden angestellt, an denen Transfusion des Blutes anderer Hunde vorgenommen wurde.

Bei den der Transfusion unterzogenen Hunden untersuchten wir:

1. Die Schwankungen des relativen Blutkörperchenvolumens, und zwar mittels des Hämatokrits, indem wir Proben von normalem Blut und hierauf Blutproben nach der Transfusion in bekannten Zeitabständen entnahmen; das Blut der letzteren Proben wurde in geschlossenen Gefäßen mittels Schlagens mit kleinen Glaskugeln defibriniert.

2. Die Erniedrigung des Gefrierpunktes (Δ) desselben defibrinierten Blutes und der Lymphe.

3. Die elektrische Leitfähigkeit des durch spontane Gerinnung in geschlossenem Gefäß erhaltenen Blutserums und der Lymphe, wobei die Bestimmungen der elektrischen Widerstandsfähigkeit stets bei einer Temperatur von ca. 37°C vorgenommen wurden.

4. Die „Ausflußzeit“ des Serums und der Lymphe, stets

mit demselben Ostwaldschen Viscosimeter und immer bei derselben Temperatur von ca. 37° C.

Die Lymphe wurde einer Fistel des Ductus thoracicus entnommen; dabei wurde die Geschwindigkeit des Ausflusses vermittels Dividieren der Volumina durch die Zeiten bestimmt, innerhalb deren erstere aufgefangen wurden.

Die Transfusion wurde stets direkt vorgenommen, und zwar auf folgende Weise. Die Hunde, welche das Blut hergaben, wurden zuerst genau gewogen, nachdem die Carotis oder die A. femoralis bloßgelegt worden war. Hierauf wurde die Arterie mit der V. femoralis des Hundes, der das Blut empfing, durch einen Schlauch aus Kautschuk in Verbindung gesetzt, und wir ließen das Arterienblut in die Vene fließen, bis kein Blut mehr durch den verbindenden Schlauch floß. Der Hund, dem das Blut entzogen worden war, wurde endlich genau gewogen, um die Menge des übergeleiteten Blutes aus der Gewichts Differenz zu ersehen. In einen Hund wurde das ganze Blut eines anderen Hundes oder das von zwei anderen Hunden übergeleitet. Nachdem zuerst der Hund, dem das Blut eingespritzt wurde, gewogen und das Gewicht des übergeleiteten Blutes durch das Gewicht des zum Experiment dienenden Hundes geteilt worden war, berechneten wir, wieviel Gramm Blut pro Kilogramm Körpergewicht übergeleitet worden waren.

Obwohl die Transfusionen auf diese Weise, d. h. direkt und mit homogenem, nicht defibriniertem Blut vorgenommen wurde, so waren niemals bemerkenswerte Unannehmlichkeiten zu beobachten: es trat nie der Tod ein bei dem Tiere, an dem die Transfusion ausgeführt worden war; auch wurde nie intravasale Gerinnung beobachtet, obschon weder die Kanülen noch der Kautschukschlauch paraffiniert oder mit Vaselineöl eingeschmiert worden waren. Die Transfusion wurde stets mit derselben Geschwindigkeit ausgeführt; diese Geschwindigkeit war diejenige, mit welcher das Blut spontan aus der Arterie eines Hundes in die Vene des anderen überging.

II. Versuche.

Im ganzen wurden acht Experimente angestellt. Wir berichten hier über die Resultate, die wir bei den sechs am voll-

ständigsten gelungenen erhielten. Bei den drei ersten Experimenten wurde nur das Blut untersucht, bei den drei anderen untersuchten wir sowohl das Blut als auch die Lymphe des Hundes, an dem wir die Transfusion vornahmen.

Wir nennen „Hund A“ den, der das Blut erhielt, „Hund B“ und „Hund C“ diejenigen, welche das Blut hergaben.

I. Experiment (27. November 1907):

Gewicht des Hundes A: 8,455 kg.

„ „ „ B: 9,760 kg.

3^h 5' nachm.: Bei A Injektion von 40 ccm einer ca. 7%igen Wittschen Peptonlösung in physiol. Lösung.

Bei B Injektion von 50 ccm do.

3^h 15' nachm.: Der A. cruralis von A wird die Probe normalen Blutes (1) entnommen.

3^h 15'—3^h 26' nachm.: Transfusion aus der A. Carotis von B in die V. cruralis von A, 320 g Blut (37,82 g pro 1 kg des Tieres).

3^h 41' nachm.: Blutprobe (2) von A.

3^h 56' nachm.: Blutprobe (3) von A.

4^h 11' nachm.: Blutprobe (4) von A.

Die Resultate sind in Tabelle I verzeichnet.

Tabelle I.

Laufende Nummer der Blutproben	Volumen der Blutkörperchen %	Elektrische Leitfähigkeit des Serums K 37° C	Ausflußzeit des Serums t 37° C
1	54	157×10^{-4}	1' 36'' $\frac{1}{5}$
2	61	152×10^{-4}	1' 42'' $\frac{1}{5}$
3	62	150×10^{-4}	1' 48''
4	60,5	151×10^{-4}	1' 47'' $\frac{1}{5}$

II. Experiment (17. Dezember 1907):

Gewicht des Hundes A: 7,000 kg.

„ „ „ B: 22,100 kg.

5^h 25' nachm.: Probe von normalem Blut des Hundes A (1).

5^h 29'—5^h 35' nachm.: Direkte Transfusion aus der A. cruralis von B in die V. jugularis von A von 400 g Blut (37,14 g pro 1 kg Gewicht des Tieres).

5^h 45' nachm.: Blutprobe von A (2).

6^h nachm.: Blutprobe von A (3).

6^h 15' nachm.: Blutprobe von A (4).

6^h 30' nachm.: Blutprobe von A (5).

Die Resultate sind in Tabelle II zusammengestellt.

Tabelle II.

Laufende Nummer der Proben	Volumen der Körperchen ‰	Gefrierpunkt Δ	Elektrische Leitfähigkeit des Serums K 39° C	Ausflußzeit des Serums t 37° C
1	43	0,600°	155×10^{-4}	1' 21'' $\frac{4}{5}$
2	56	0,575°	153×10^{-4}	1' 33'' $\frac{2}{5}$
3	64	0,635°	154×10^{-4}	1' 34'' $\frac{2}{5}$
4	55	0,610°	157×10^{-4}	1' 32'' $\frac{2}{5}$
5	56	0,625°	157×10^{-4}	1' 28'' $\frac{2}{5}$

III. Experiment (20. Dezember 1907).

Gewicht des Hundes A: 6,070 kg.

„ „ „ B: 21,200 kg.

4^h 10' nachm.: Probe von normalem Blut des Hundes A (1).

4^h 14'—4^h 20' nachm.: Direkte Transfusion aus der A. Carotis von B in die V. cruralis von A, von 400 g Blut (65,89 g pro 1 kg Gewicht des Tieres.)

4^h 40' nachm.: Blutprobe von A (2).

4^h 55' nachm.: Blutprobe von A (3).

5^h 10' nachm.: Blutprobe von A (4).

5^h 25' nachm.: Blutprobe von A (5).

Die Resultate sind in Tabelle III zusammengestellt.

Tabelle III.

Laufende Nummer der Blutproben	Volumen der Blutkörperchen ‰	Gefrierpunkt Δ	Elektrische Leitfähigkeit des Blutserums K 37° C	Ausflußzeit des Blutserums t 37° C
1	46,5	0,595°	156×10^{-4}	1' 22'' $\frac{2}{5}$
2	53,5	0,570°	153×10^{-4}	1' 31'' $\frac{1}{5}$
3	60,0	0,580°	158×10^{-4}	1' 35'' $\frac{1}{5}$
4	54,0	0,620°	156×10^{-4}	1' 32'' $\frac{2}{5}$
5	56,5	0,610°	154×10^{-4}	1' 29'' $\frac{2}{5}$

IV. Experiment (3. Januar 1908).

Gewicht des Hundes A: 19,000 kg.

„ „ „ B: 6,700 kg.

„ „ „ C: 17,200 kg.

2^h 45' nachm.: Beendigung der Operation; direkte Fistel des Ductus thoracicus.

2^h 45'—3^h 15' nachm.: Probe von normaler Lymphe (1).

3^h nachm.: Probe von normalem Blut (1).

3^h 15'—3^h 20' nachm.: Direkte Transfusion, aus der A. Carotis von B in die V. cruralis von A, von 220 g Blut (11,57 g pro 1 kg Gewicht des Tieres).

3^h 15'—3^h 40' nachm.: Probe von Lymphe (2).

3^h 28' nachm.: Blutprobe (2).

3^h 50' nachm.: Blutprobe (3).

3^h 40'—4^h nachm.: Probe von Lymphe (3).

4^h—4^h 7' nachm.: Vornahme einer zweiten Transfusion unter Beobachtung desselben Verfahrens wie bei der ersten — von Hund C in Hund A — von 370 g Blut (19,47 g pro 1 kg Gewicht des Tieres).

4^h—4^h 24' nachm.: Probe von Lymphe (4).

4^h 15' nachm.: Blutprobe (4).

4^h 24'—4^h 36' nachm.: Probe von Lymphe (5).

4^h 32' nachm.: Blutprobe (5).

4^h 36'—4^h 55' nachm.: Probe von Lymphe (6).

4^h 50' nachm.: Blutprobe (6).

4^h 55'—5^h 15' nachm.: Probe von Lymphe (7).

5^h 15' nachm.: Blutprobe (7).

Die Resultate sind in Tabelle IV zusammengestellt.

Tabelle IV.

Laufende Nummer der Proben	Blut				Lymphe			
	Volumen der Blutkörper- chen %	Gefrier- punkt Δ	Elektrisches Leitvermögen des Blutserums K 37° C	Ausflußzeit des Blutserums t 37° C	Geschwindigkeit des Ausflusses in ccm pro 1'	Gefrier- punkt Δ	Elektrische Leitfähigkeit K 37° C	Ausflußzeit t 37° C
1	43	0,600°	156 × 10 ⁻⁴	1' 22"	1,023	0°,550	154 × 10 ⁻⁴	1' 5" ¹ / ₅
2	44	0,580°	149 × 10 ⁻⁴	1' 23" ² / ₅	0,828	0°,535	151 × 10 ⁻⁴	1' 9" ² / ₅
3	45,5	0,580°	150 × 10 ⁻⁴	1' 24"	0,715	0°,565	150 × 10 ⁻⁴	1' 9" ⁴ / ₅
4	47	0,540°	150 × 10 ⁻⁴	1' 25" ¹ / ₅	0,708	0°,625	149 × 10 ⁻⁴	1' 13" ⁴ / ₅
5	49	0,535°	150 × 10 ⁻⁴	1' 28" ³ / ₅	1,191	0°,610	147 × 10 ⁻⁴	1' 25"
6	48	0,555°	150 × 10 ⁻⁴	1' 24" ¹ / ₅	0,973	0°,615	148 × 10 ⁻⁴	1' 12" ⁴ / ₅
7	47	0,590°	150 × 10 ⁻⁴	1' 23" ¹ / ₅	0,840	0°,600	148 × 10 ⁻⁴	1' 12" ⁴ / ₅

V. Experiment (25. Januar 1908).

Gewicht des Hundes A: 30,150 kg.

" " " B: 15,750 kg.

" " " C: 18,400 kg.

10^h vorm.: Beendigung der Operation: direkte Fistel des Ductus thoracicus.10^h—11^h 13' vorm.: Probe von normaler Lymphe (1).10^h 30' vorm.: Probe von normalem Blut (1).11^h 10'—11^h 15' vorm.: Direkte Transfusion, aus der A. Carotis von B in die V. cruralis von A, von 350 g Blut (11,60 g pro 1 kg Gewicht des Tieres).11^h 13'—11^h 47' vorm.: Probe von Lymphe (2), blutig.11^h 22' vorm.: Blutprobe (2).11^h 47'—11^h 55' vorm.: Vornahme einer zweiten Transfusion unter Beobachtung desselben Verfahrens wie bei der ersten, aus der A. Carotis von B in die V. cruralis von A, 350 g Blut (11,60 g pro 1 kg Gewicht des Tieres).11^h 47' vorm.—12^h 2' nachm.: Probe von Lymphe (3), stark blutig.12^h mittags: Blutprobe (3).12^h 12'—12^h 17' nachm.: Probe von Lymphe (4), blutig.12^h 15' nachm.: Blutprobe (4).12^h 36'—12^h 45' nachm.: Probe von Lymphe (5), blutig.12^h 40' nachm.: Blutprobe (5).

Tabelle V.

Laufende Nummer der Proben	Blut				Lymphe			
	Volumen der Blutkörper- chen %	Gefrier- punkt Δ	Elektr. Leitf. des Blutserums K 37° C	Ausflußzeit des Blutserums t 37° C	Geschwindigkeit des Ausflusses in cem pro l' des Ausflusses	Gefrier- punkt Δ	Elektrische Leitfähigkeit K 37° C	Ausflußzeit t 37° C
1	52,5	0,550°	150 × 10—4	1' 24" ² / ₅	0,555	0°,605	162 × 10—4	1' 4"
2	54,5	0,570°	150 × 10—4	1' 24" ⁴ / ₅	0,588	0°,600	158 × 10—4	1' 5" ⁴ / ₅
3	59	0,600°	—	1' 25" ¹ / ₅	1,720	0°,600	153 × 10—4	1' 9" ² / ₅
4	60	0,600°	150 × 10—4	1' 27"	5,400	0°,595	145 × 10—4	1' 24" ¹ / ₅
5	62,5	0,600°	—	1' 31" ¹ / ₅	2,777	0°,595	148 × 10—4	1' 25" ² / ₅
6	62	0,605°	150 × 10—4	1' 25" ¹ / ₅	1,026	0°,600	153 × 10—4	1' 12" ⁴ / ₅
7	60	0,600°	—	1' 25" ¹ / ₅	1,200	0°,610	155 × 10—4	1' 12" ¹ / ₅
8	57	0,600°	—	1' 24" ⁴ / ₅	1,200	0°,620	158 × 10—4	—
9	56	0,595°	150 × 10—4	1' 24" ⁴ / ₅	0,310	0°,640	158 × 10—4	1' 7"

1^h 5'—1^h 40' nachm.: Probe von Lymphe (6), blutig.

1^h 25' nachm.: Blutprobe (6).

2^h—2^h 20' nachm.: Probe von Lymphe (7), blutig.

2^h 10' nachm.: Blutprobe (7).

3^h—3^h 20' nachm.: Probe von Lymphe (8), blutig.

3^h 10' nachm.: Blutprobe (8).

3^h 20'—4^h 25' nachm.: Probe von Lymphe (9), blutig.

3^h 50' nachm.: Blutprobe (8).

Die Resultate sind in Tabelle V zusammengestellt.

VI. Experiment (6. März 1908):

Gewicht des Hundes A: 15,500 kg.

„ „ „ B: 20,000 kg.

„ „ „ C: 14,650 kg.

3^h 30' nachm.: Beendigung der Operation: direkte Fistel des Ductus thoracicus.

3^h 30'—4^h nachm.: Probe normaler Lymphe (1).

3^h 45' nachm.: Probe normalen Blutes (1).

4^h—4^h 7' nachm.: Direkte Transfusion aus der Carotis von B in die V. cruralis von A, 460 g Blut (29,67 g pro 1 kg Gewicht des Tieres).

4^h 40'—4^h 47' nachm.: Probe von Lymphe (2); sie ist stärker gefärbt als Probe (1).

(NB. Die Verzögerung beim Auffangen der Lymphe (2) erklärt sich daraus, daß zuerst aus dem Schlauch ein Koagulum, das ihn verstopfte, entfernt werden mußte.)

4^h 45' nachm.: Blutprobe (2).

4^h 47'—5^h 20' nachm.: Probe von Lymphe (3), dunkelgelb, mit einigen Blutspuren.

4^h 51'—5^h 3' nachm.: Vornahme einer zweiten Transfusion, unter Beobachtung desselben Verfahrens wie bei der ersten, aus der Carotis von C in die V. cruralis von A, 300 g Blut (19,35 g pro 1 kg Gewicht des Tieres).

5^h 3' nachm.: Blutprobe (3).

5^h 3'—5^h 34' nachm.: Probe von Lymphe (4); dunkelgelb, etwas blutig.

5^h 20' nachm.: Blutprobe (4).

6^h 20' nachm.: Blutprobe (5).

8^h früh, 7. März: Blutprobe (6).

Die Resultate sind in Tabelle VI zusammengestellt.

Tabelle VI.

Laufende Nummer der Proben	Blut				Lym p h e			
	Volumen der Blutkörper- chen %	Gefrier- punkt Δ	Elektrische Leitfähigkeit des Blutserums K 37° C	Ausflußzeit des Blutserums t 37° C	Geschwindigkeit des Ausflusses in cem pro 1'	Gefrier- punkt Δ	Elektrische Leitfähigkeit K 37° C	Ausflußzeit t 37° C
1	49	0,570 ⁰	147 \times 10 ⁻⁴	1' 24'' ² / ₅	0,317	0 ⁰ ,580	158 \times 10 ⁻⁴	1' 10''
2	53	0,620 ⁰	149 \times 10 ⁻⁴	1' 26''	2,000	0 ⁰ ,590	156 \times 10 ⁻⁴	1' 14''
3	55	0,655 ⁰	149 \times 10 ⁻⁴	1' 27'' ⁴ / ₅	0,742	0 ⁰ ,580	155 \times 10 ⁻⁴	1' 15''
4	60,5	0,600 ⁰	150 \times 10 ⁻⁴	1' 25'' ¹ / ₅	0,535	0 ⁰ ,580	155 \times 10 ⁻⁴	1' 14''
5	64	0,555 ⁰	150 \times 10 ⁻⁴	1' 24'' ³ / ₅	—	—	—	—
6	56,5	0,560 ⁰	150 \times 10 ⁻⁴	1' 24'' ⁴ / ₅	—	—	—	—

III. Allgemeine Überlegungen und Schlußfolgerungen.

Die Wirkungen der Transfusion homogenen Blutes können betreffen: 1. die Mechanik der Blutzirkulation (Tätigkeit des Herzens, Kaliber der Gefäße, Blutdruck in ihrem Innern usw.); 2. die Bildung der Lymphe und anderer Exsudate; 3. die eventuellen Änderungen der Funktion besonderer Organe (z. B. der Drüsenorgane usw.); 4. endlich die eventuellen Veränderungen der physiko-chemischen Eigenschaften des Blutes, der Lymphe und anderer Flüssigkeiten des Tieres, an dem die Transfusion vorgenommen wird. Einige von diesen Wirkungen sind vor kurzem von R. Tigerstedt¹⁾ zusammengestellt worden; wir führen aus dieser Arbeit nur die Punkte an, die mit unseren Resultaten im engsten Zusammenhang stehen.

Aus den Untersuchungen von Worm-Müller²⁾ ergibt sich unter anderem als allgemeine Regel, „daß der Blutdruck bei vermehrter Füllung der Gefäßhöhle seine Grenzen bei normaler Blutfüllung nicht überschreitet“. „Dagegen erschien eine nicht unbedeutende Transsudation bei den Tieren mit vermehrter Blutmenge. In der Bauch- und Brusthöhle wurden Ansammlungen von Transsudat getroffen, hin und wieder auch Ödeme. Auch war die Geschwindigkeit des Lymphstromes vergrößert³⁾.“ „Die Sektion ergab keine merkliche

¹⁾ Ergebn. d. Physiol. 6, 303, 1907.

²⁾ J. Worm-Müller, Transfusion und Plethora. Christiania 1875.

³⁾ Von uns gesperrt.

Überfüllung der Arterien und nur im Unterleib eine merkbare Überfüllung der größeren Venen¹⁾, sonst so gut wie keine oder nur in geringem Grade.“ „Auf Grund dessen blieb nach Worm-Müller nur die Annahme übrig, daß das Blut den Capillaren anhaftete²⁾, und er stellte sich daher vor, daß die vermehrte Blutmenge hauptsächlich dadurch im Gefäßsystem Platz gefunden hatte, daß eine größere Anzahl Capillaren als unter normalen Verhältnissen gefüllt worden war ...“

Andere Untersuchungen stellte von Regëczy³⁾ an, dem das Verdienst gebührt, „die Bedeutung des Flüssigkeitsaustritts aus dem Blute schärfer als seine Vorgänger, denen indessen die Kenntnis davon nicht ermangelte, hervorgehoben zu haben ...“⁴⁾ Er beobachtete, daß „das Blut nach der Transfusion konzentrierter wurde“. Bei Zählung der roten Blutkörperchen nach Überleitung von Blut beobachtete Worm-Müller, daß „ein paar Stunden nach der Transfusion bereits etwa die Hälfte des eingespritzten Blutplasma durch die Gefäße ausgetreten war, andererseits war es aber durch den Befund, daß ungefähr die Hälfte der eingespritzten Blutmenge den ganzen ersten Tag nach der Transfusion im Gefäßraume geblieben, womöglich noch evidenter festgestellt, daß die im Gefäßsystem enthaltene Blutmenge durch die Transfusion bedeutend vermehrt werden kann. Diese Vermehrung geht aber allmählich zurück, und nach etwa 2 bis 5 Tagen ist die Blutmenge höchst wahrscheinlich zur Norm zurückgekehrt.“

Mit den sekretorischen Wirkungen der Überleitung von Blut wollen wir uns einstweilen nicht beschäftigen; sie sollen in einer weiteren Abhandlung besprochen werden.

Wir wollen lieber einige Ergebnisse der letzten über die Transfusion angestellten Untersuchungen anführen, und zwar die von C. Tigerstedt.⁵⁾ Nachdem er bemerkt hat, „die

¹⁾ Von uns gesperrt.

²⁾ J. Worm-Müller, Transfusion und Plethora. Christiania 1875.

³⁾ E. N. von Regëczy, Die Ursache der Stabilität des Blutdruckes. Pflügers Arch. 37, 73, 1885.

⁴⁾ R. Tigerstedt, loc. cit., 305.

⁵⁾ C. Tigerstedt, Zur Kenntnis des Kreislaufs bei vermehrter Blutmenge. Skandin. Arch. f. Physiol., 20, 3—4, 197, 1908.

von Johansson und R. Tigerstedt¹⁾ erwähnte Tatsache, daß die Transfusion von defibriertem Blute auf das Kaninchen eine schädlichere Wirkung als die von physiologischer Kochsalzlösung ausübt, ist von der verschiedenen Viscosität dieser Flüssigkeit bedingt,“ fügt der Autor hinzu: „wird eine Flüssigkeit von hoher Viscosität, z. B. Blut, transfundiert, so bewirkt jede Zunahme des Sekundenvolumens eine Drucksteigerung, und infolgedessen wird das Herz leicht überanstrengt“; und ferner: „Nebst der vermehrten Transsudation und Sekretion macht diese Erweiterung (der Gefäße) es dem Herzen möglich, bei vermehrter Füllung der Gefäßhöhle, in welcher Weise diese auch zustande gebracht wird, die vermehrten Anforderungen zu erfüllen.“

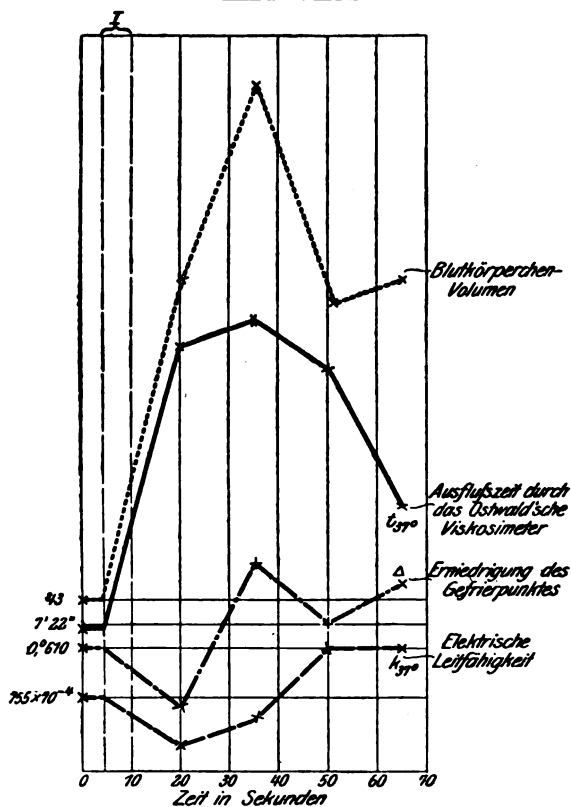


Fig. 1.

I—II. Experiment. (I = Dauer der Bluttransfusion.)

¹⁾ Skandin. Arch. f. Physiol., 1, 330, 1889; 2, 409, 1891.

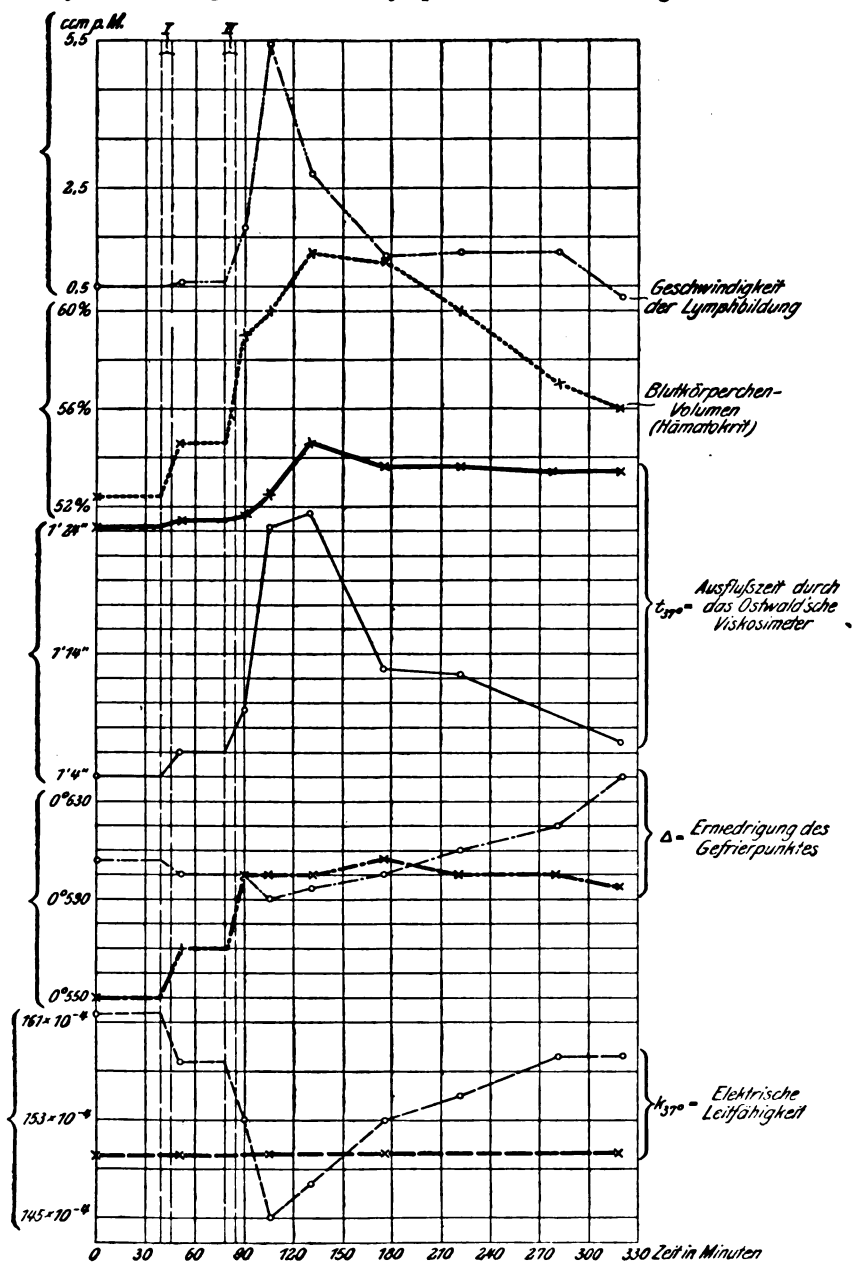


Fig. 2.

II—V. Experiment. (I=erste Bluttransfusion; II=zweite Bluttransfusion.)

 — — — — — Elektrische Leitfähigkeit (k_{370}).

 - - - - - Erniedrigung des Gefrierpunktes (Δ).

 ————— Ausflußzeit durch das Ostwald'sche Viskosimeter (t_{370}).

..... Blutkörperchenfolium (Hämatokrit).

..... Geschwindigkeit der Lymphbildung.

Die fetten Strichelchen und Pünktchen beziehen sich auf die Blutwerte, die dünneren auf die Lymphwerte.

Aus unseren Untersuchungen ergeben sich die folgenden Tatsachen:

1. Nach direkter Transfusion von homogenem, nicht defibriniertem Blut nimmt in den ersten Stunden nach der Transfusion sowohl die Zahl der roten Blutkörperchen oder das Volumen der Körperchen in der Volumeinheit des defibrinierten Arterienblutes als auch die Lymphbildung zu. Die Zunahme ist je nach den einzelnen Fällen mehr oder weniger groß, verläuft aber parallel. In der Tat ist die schon von den oben zitierten Autoren bei verschiedener Methode beobachtete Konzentration des Blutes eine Wirkung der Transsudation von Blutplasma, d. h. der Zunahme der Lymphbildung.

2. Diese Lymphe muß durch die Capillaren der Baucheingeweide durchsickern. In der Tat beobachtete Worm-Müller Blutstasis in diesen Organen. Die Zunahme der Transsudation der Lymphe ist offenbar eine Wirkung der Zunahme des Druckes in den Blutcapillaren. Die Schwankungen der Viscosität des Blutplasmas und der Lymphe bekräftigen diese Anschauung. Wirklich ergibt sich aus unseren Untersuchungen, daß die Viscosität des Blutserums zunimmt, aber nicht so sehr wie die Viscosität der Lymphe, die in gewissen Fällen mit dem Blutserum isoviscös wird. Folglich müssen wir annehmen, daß das Transsudat aus den Capillaren nicht nur reichlich, sondern auch sehr reich an Serumproteinen ist, so daß es der aus dem Ductus thoracicus herausfließenden Lymphe, die unter normalen Bedingungen viel weniger viscös als das Blutserum ist, eine Viscosität verleiht, die der dieses Serums gleich ist. Auf diese Weise entäußert sich das Blut der Kolloide, indem es seine eigene Viscosität erniedrigt, was seine Zirkulation nur erleichtern kann. Denn letztere würde gewiß nicht so leicht vonstatten gehen, wenn die unter derartigen Bedingungen durchgesickerte Lymphe nicht so reich an Proteinen wäre. Dies macht auch eine andere der von Worm-Müller beobachteten Wirkungen verständlich, nämlich die auf die Transfusion folgende Zunahme der Erzeugung von Harnstoff. Wenn der in größerer Menge erzeugte Harnstoff wirklich von den transfundierten Proteinen stammt, da seine Bildung nur in den Geweben (Leber usw.) stattfinden kann,

so ist dazu nötig, daß die Proteine zu den Zellen der Gewebe gelangen: die Lymphe ist es, die sie hinträgt.

3. Unsere Untersuchungen beweisen ferner, daß, während der osmotische Druck und die elektrische Leitfähigkeit des Blutserums gar nicht oder wenig schwanken, die Lymphe dagegen stets eine Erhöhung des osmotischen Druckes sowie eine Abnahme der elektrischen Leitfähigkeit zeigt.

Die erste Erscheinung ist leicht zu erklären, wenn man bedenkt, daß bei unseren Experimenten stets homogenes Blut transfundiert wurde, dessen Serum deshalb einen osmotischen Druck und eine elektrische Leitfähigkeit hatte, die denen des Blutserums des der Transfusion unterzogenen Tieres annähernd gleich waren. Auch konnte die gesteigerte Transsudation des Plasmas keine beträchtlichen Veränderungen des osmotischen Druckes und der elektrischen Leitfähigkeit hervorrufen; das durchgesickerte Plasma war ja in geringer Menge im Vergleich zu der Gesamtmasse des Residualblutes vorhanden, und letzteres riß eine große Menge von Proteinen mit sich fort, d. h. es war ein Plasma vorhanden, das in seiner prozentualen Zusammensetzung wenig verändert war. Die Erhöhung des osmotischen Druckes der Lymphe kann zum Teil von ihrem größeren Gehalt an Proteinen herrühren, zum größeren Teil von nicht elektrolytischen Körpern, die sich in den Geweben bilden, wahrscheinlich vom Harnstoff.

Endlich kann die Abnahme der elektrischen Leitfähigkeit der Lymphe einfach als Wirkung ihres relativen größeren Gehaltes an Kolloiden und an nicht elektrolytischen Körpern betrachtet werden.

4. Die Bedingungen, unter denen die drei ersten Versuche gemacht wurden, unterscheiden sich bedeutend von denen der drei letzten; denn während bei den ersteren die Zirkulation der Lymphe keine Störung erlitten hatte, gestattete bei den letzteren die Fistel des Ductus thoracicus, daß die Lymphe aus dem Organismus ausschied. Deshalb sollte man erwarten, bedeutende Unterschiede in den Resultaten zu finden, die das Blut der der Transfusion unterzogenen Tiere betreffen; diese Unterschiede existieren aber nicht, oder, besser gesagt, sie sind nicht konstant und geeignet, die Vermutung zu erregen, daß sie die Wirkung der verschiedenen experimentellen Be-

dingungen seien. Dies kann uns übrigens nicht wundern, wenn wir bedenken, daß die durch den Ductus thoracicus fließende Lymphe nur ein kleiner Teil des ganzen Plasmatrassudates der verschiedenen Capillargebiete ist.

Nur ein Unterschied scheint der Erwägung wert zu sein; vergleicht man den Abstand zwischen dem minimalen und dem maximalen Wert der Ausflußzeit des Blutserums bei den einzelnen Experimenten, so bemerkt man, daß er in den Fällen, in denen die Lymphe des Ductus thoracicus sich nach außen ergoß, geringer ist als in den Fällen, in denen bei dem Tier keine Fistel angelegt worden war. In der Tat beträgt der Unterschied zwischen dem maximalen und dem minimalen Wert von t in den drei ersten Fällen 12", 13" und 13", während er in den drei letzten Fällen 4", 7" und 3" beträgt. In diesen letzten Fällen wurde das Blutserum arm an Kolloiden, an den Kolloiden, die mit der Lymphe nach außen abflossen; und das ist vielleicht die Ursache des beobachteten Unterschiedes.

5. Von Wichtigkeit ist die Betrachtung des zeitlichen Verlaufes der nachgewiesenen Schwankungen. Wir wollen ein jedes der sechs Experimente der Reihe nach besprechen.

I. Experiment. Das Volumen der Körperchen erreicht nach und nach ein Maximum (62), dann nimmt es ab. Ähnlich verhält es sich mit der Ausflußzeit des Blutserums. Die elektrische Leitfähigkeit des letzteren nimmt ab und erreicht ein Minimum; dann beginnt sie wieder in die Höhe zu gehen. Das Maximum des Volumens der Körperchen fällt mit dem Maximum der Ausflußzeit des Blutserums zusammen und die beiden Maxima mit dem Minimum der elektrischen Leitfähigkeit.

II. Experiment. Auch beim II. Experiment fällt das Maximum des Volumens der Blutkörperchen mit dem Maximum der Ausflußzeit des Blutserums und mit dem des osmotischen Druckes des defibrinierten Blutes zusammen; das Minimum der elektrischen Leitfähigkeit des Blutserums scheint in diesem Falle den genannten Maximalwerten etwas vorauszugehen.

III. Experiment. Das Maximum des Volumens der Blutkörperchen fällt wieder mit dem der Ausflußzeit des Blutserums zusammen.

IV. Experiment. Dieselbe Beobachtung wurde beim IV. Ex-

periment gemacht; auffallenderweise fällt hier mit diesen Maxima des Volumens der Blutkörperchen und der Ausflußzeit des Blutserums das Minimum des osmotischen Druckes zusammen.

V. Experiment. Das Maximum des Volumens der Blutkörperchen (62,5) und das Maximum der Ausflußzeit des Blutserums ($1' 31'' \frac{1}{5}$) fallen zusammen; gleich darauf folgt das Maximum des osmotischen Druckes.

VI. Experiment. Das Maximum des Volumens der Blutkörperchen (64) fällt nicht mit dem Maximum der Ausflußzeit des Blutserums zusammen; letzteres fällt mit dem Maximum des osmotischen Druckes zusammen.

Mit Ausnahme des VI. Experimentes wurde also bei allen anderen beobachtet, daß die größte Konzentration des Blutes (Vermehrung der roten Blutkörperchen dem Plasma gegenüber) und die größte Konzentration in Kolloiden des Blutserums gleichzeitig nach und nach erreicht wurden. Sie nahmen dann im allgemeinen ab, ohne jedoch während der Dauer der einzelnen Experimente zu den (normalen) Anfangswerten zurückzukehren. In der Mehrzahl der Fälle fiel das Maximum des osmotischen Druckes des Blutserums mit dem des Volumens der Blutkörperchen und mit dem Maximum der Ausflußzeit zusammen.

6. Wenn wir bezüglich der Lymphe dieselbe vergleichende Untersuchung anstellen, so beobachten wir, daß das Maximum ihrer Ausflußzeit annähernd mit dem Maximum der Geschwindigkeit ihrer Erzeugung (Geschwindigkeit des Ausflusses durch den Ductus thoracicus) zusammenfällt. Der osmotische Druck und die elektrische Leitfähigkeit der Lymphe zeigen keinen regelmäßigen Verlauf; zuweilen gehen ihre Maxima denen der Geschwindigkeit und der Zeit des Ausflusses voraus, zuweilen folgen sie ihnen.

7. Vergleichen wir endlich die Lymphe mit dem Blutserum, so sehen wir, daß die Maxima ihrer Viscosität (Ausflußzeit) zusammenfallen. Nur in einem Falle (V. Experiment) wird die maximale Viscosität der Lymphe fast gleich der des Blutserums. In den anderen Fällen ist, wie wir bereits erwähnten, die relative Zunahme der Viscosität der Lymphe größer als die der Viscosität des Blutserums.

Ein Kryoskop.

Von

M. C. Dekhuijzen, Utrecht.

Mit 5 Figuren im Text.

Namentlich für den Physiologen wäre ein Apparat, welcher schnelle und genaue Gefrierpunktsbestimmungen an verhältnismäßig kleinen Flüssigkeitsmengen zu machen erlaubt, sehr erwünscht. Sein Material fließt ihm in geringen Quantitäten, vielfach unregelmäßig zu und verdirbt schnell. Man denke an das Arbeiten an Küstenstationen und an Bord von zum Fischfang ausgerüsteten Dampfern. Für die Kautelen der sogenannten Präzisionskryoskopie (Raoult u. a.) ist dort keine Gelegenheit.

Vom Beckmannschen Kryoskop ausgehend, gelang es, einen Apparat zu bauen, der sich auf einer kleinen Expedition auf der Zuidersee im Sommer 1905 gut bewährte. Derselbe ist in der Patentschrift Nr. 193077 beschrieben und abgebildet. Bei der Bearbeitung der Ergebnisse dieser Expedition mußten die physikalischen Konstanten des Kryoskops bestimmt werden. Dabei stellte sich heraus, daß die Wärmeisolierung des Kühlbades gegen die äußere Umgebung und gegen das Gefrierbad verbessert werden mußte, und es wurden zu diesem Zweck noch zwei Außengefäße herumgelegt, während der einfache Luftmantel durch ein Dewarsches Gefäß ersetzt wurde.

Theoretisches.

Benutzt wird das Rüdorffsche Prinzip der Unterkühlung und Impfung. Wir verdanken bekanntlich die Theorie des Vorgangs, der sich im Gefrierbad vor und nach dem Impfen abspielt, den Betrachtungen Nernsts in einer mit Abegg zusammen veröffentlichten Abhandlung: Zeitschr. f. physikal. Chem. 15, 682, 1894. Dieselben führen zu einer Formel¹⁾, welche ich

$$^1) \quad t' = T_0 - \frac{k}{K} (t' - t_0)$$

in etwas abgeänderter Gestalt und mit leichter ins Gedächtnis einzuprägenden Buchstaben wiedergeben möchte:

$$t_w = t_s + \frac{k_a}{K_E} (t_s - t_c). \quad (1)$$

Hierin bezeichnet t immer die Temperatur, und zwar wird der Nullpunkt weit unterhalb der Gefrierpunkte der betrachteten Lösung und des Kühlbades gelegt. Man könnte die absoluten Temperaturen nehmen. Der Zweck ist aber nur, Irrtümern vorzubeugen, welche sich leicht einschleichen, wenn der Gefrierpunkt des Wassers, d. h. der Nullpunkt der Temperatur allerlei Stellungen zu t_c , t_w und t_s einnehmen kann. Wir wählen

$$t_w > t_s > t_c > 0,$$

wo 0 nicht 0° C, sondern irgendeine niedrigere Temperatur bedeutet.

Mit t_w ist nämlich der wahre Gefrierpunkt bezeichnet, d. h. diejenige Temperatur, bei der das unendlich feine und gleichmäßig durch die Flüssigkeit verteilte Eis mit derselben im Gleichgewichte ist, t_s ist der scheinbare (abgelesene) Gefrierpunkt, t_c die „Konvergenztemperatur“, d. h. diejenige, der die Lösung zustreben würde, wenn kein Gefrieren stattfände, k_a ist eine Konstante, und zwar in der Hauptsache eine Apparatskonstante, welche die Geschwindigkeit zu berechnen gestattet, mit der ein Temperaturgleichgewicht zwischen Gefrierbad (im Luftmantel) und Kühlbad angestrebt wird, K_E endlich ist eine Größe, welche die Geschwindigkeit zu berechnen gestattet, mit der sich das Eis in der unterkühlten Lösung bildet, bzw. wieder gelöst wird.

Nernst schließt folgenderweise. Die Geschwindigkeit der Temperaturänderung des im Luftmantel befindlichen Gefrierbades ist, wenn z die Zeit, t die Temperatur im betrachteten Augenblick bezeichnet:

$$-\frac{dt}{dz} = k_a (t - t_c). \quad (2)$$

Wir schreiben $-\frac{dt}{dz}$, indem wir das Sinken als eine Bewegung in negativer Richtung betrachten, das Ansteigen als eine Bewegung in positiver Richtung.

Das ist die Newtonsche Gleichung. Dieselbe läßt sich experimentell leicht bestätigen, indem man etwa jede Minute

den Stand des Thermometers abliest. Im neuen Apparat ist t_c die praktisch genügend konstant zu haltende Temperatur des Kühlbades. Rührt man, etwa 2 bis 4 Schläge pro Minute, die 50 ccm Flüssigkeit des Gefrierbades, so erfolgt das Sinken des Thermometers ziemlich regelmäßig nach dem Newtonschen Gesetz. Man führt aber in dieser Weise eine nicht zu vernachlässigende Menge Wärme zu, weil man Luft von Zimmertemperatur in das Gefriergefäß einpumpt. Rührt man nicht so ist der Gang des Thermometers unregelmäßiger, und muß man größere Intervalle studieren. Zur Berechnung von k_a muß man die unten zu besprechende Gleichung

$$k_a = \frac{1}{z_2 - z_1} \log \text{nat} \frac{t_1 - t_c}{t_2 - t_c}$$

benutzen.

Ich habe einige Zeit bezweifelt, ob die Beziehung (2) auch bei einer unterkühlten, gefrierenden und ohne Zufuhr und Erzeugung von Wärme stark gerührten Flüssigkeit gelte. Ich möchte diese Bedenken nicht verschweigen, obgleich ich von vornherein zugebe, daß die ideellen Umstände, für welche die theoretischen Betrachtungen gelten würden, experimentell nicht zu verwirklichen sind.

Die Newtonsche Gleichung (2) beschreibt die Geschwindigkeit der Temperaturänderung in dem Fall, daß der Wärmeverlust dem Sinken der Temperatur direkt proportional ist, und daß die Temperatur in der Flüssigkeit durch Rühren ohne Zufuhr und Erzeugung von Wärme absolut gleichmäßig gehalten wird. Eigentlich sollte sie heißen:

$$-\frac{dQ}{dt} = k_a (t - t_c), \quad (3)$$

wo dQ die in dem Zeitdifferential transportierte Quantität Wärme bezeichnen soll.

Unendlich fein verteiltes Eis in Wasser von 0° , welches ohne Zufuhr und Erzeugung von Wärme genügend stark gerührt wird, ist aber das ideale Mittel, um die Temperatur konstant auf 0° zu halten. Das ist eben die Definition von 0°C .

Fig. 1 zeigt den langsamen Gang des Thermometers AA_1BD in einem Gefrierbad aus reinem Wasser bei einem, nicht einmal ganz guten, Dewarschen Luftmantel, wenn keine Eisbildung eintritt. Es ist dies eine logarithmische Kurve, die

sich der Konvergenztemperatur asymptotisch nähert. In der Figur steht irrtümlich mehrere Male t_w (des Kühlbades), dies soll t_c heißen. Impft man aber, oder gefriert das Wasser spontan, so ist der Verlauf AA_1BCE , und man hat mit dem Teil BD der

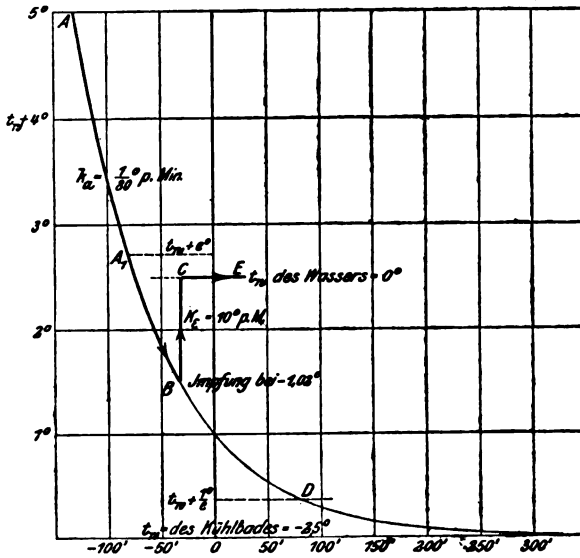


Fig. 1.

Kurve theoretisch nur dann etwas zu tun, wenn man berechnen will, wieviel Eis sich bilden muß, um die Temperatur des Gefrierbades auf 0°C zu bringen und zu halten. Bei unterkühlten wässerigen Lösungen aber, deren Gefrierpunkt sich während des Gefrierens, wegen der Steigerung der Konzentration, verändert, ist dies von Interesse. Impft man das destillierte Wasser bei 0°, so wird die logarithmische Kurve durch eine gerade Linie ersetzt: das Gefrierbad gefriert ganz bei 0°, und erst wenn dieser Vorgang beendet ist, kühlt sich die Eismasse nach Gleichung (2) ab und nähert sich t_c asymptotisch.

Dies ist aber, wie gesagt, nicht zu verwirklichen: um die logarithmische Kurve einigermaßen, um die Gerade aber nicht. So fein können wir das Eis nicht im Wasser verteilen, daß die Mischung nicht zu unterkühlen und nicht zu überhitzen wäre. Rührt man nicht und verhindert man möglichst Schwingungen in der Flüssigkeit, so läßt sich ein mit feinsten Eiskristallen durch-

setztes Wasser recht gut unterkühlen: ich beobachtete z. B. bei $k_a = 0,008^\circ$ pro Grad pro Minute und $t_c = -3^\circ$ ein Sinken bis $t_s = -0,055^\circ$, dann stieg das Thermometer spontan auf $t_s = -0,01^\circ$ und fing dann wieder zu sinken an.¹⁾ Daß ein mit feinsten Eiskrystallen durchsetztes Wasser leicht $1/_{80}$ zu überhitzen ist, wird sich aus den unten mitgeteilten Beobachtungen ergeben.

Ich muß also der Schlußfolgerung Nernsts beistimmen, daß unter den experimentell zu verwirklichenden Umständen die Gleichung (2) auch während des Gefrierens zutrifft.

Nernst setzt die Temperaturänderung nach dem Impfen in jedem Augenblick der Entfernung von der wahren Gefrier-temperatur proportional:

$$\frac{dt}{dz} = K_E(t_w - t). \quad (4)$$

K_E ist der Gesamtoberfläche des Eises direkt proportional, ebenso der Schmelzwärme. Je mehr Wärme bei der Ausscheidung der Gewichtseinheit Eis produziert wird, um so rascher wird die Temperatur der Flüssigkeit ansteigen. K_E strebt vielleicht einem konstanten Werte zu. Nach dem Impfen steigt sie zuerst ganz langsam, dann sehr schnell an (eine „latente“ Periode sehr variabler Dauer ist immer zu beobachten), dann geht sie, wahrscheinlich aber größtenteils nur scheinbar, herunter: Fig. 5. Es dürfte dies dem Mangel an Rühren zuzuschreiben sein, rührt man aber, so führt man Wärme zu.

Man darf daher, strenge genommen, nicht integrieren, als ob K_E eine Konstante wäre. Sieht man hiervon, in erster Annäherung, ab, so kommt man zu einer logarithmischen Kurve von der Gleichung

$$-t' = e - K_E z \quad (5)$$

d. h. irgendeine der Kurven, wie in Fig. 2 mehrere gezeichnet sind.

¹⁾ Ein Beweis, daß unterkühltes Wasser mit Eis in Berührung sein kann, ohne daß es gleich zur allgemeinen Eisbildung kommt, ist folgenderweise zu liefern. Man nehme ein Gefriergefäß mit flachem Boden und einen Rührer, dessen Platinring sich genau dem Glase anschmiegt. Bei langsamer Abkühlung kommt vor, daß die allgemeine Eisbildung erst im Augenblick eintritt, wo man den Rührer zu heben sucht: derselbe ist dann aber bereits am Boden festgefroren.

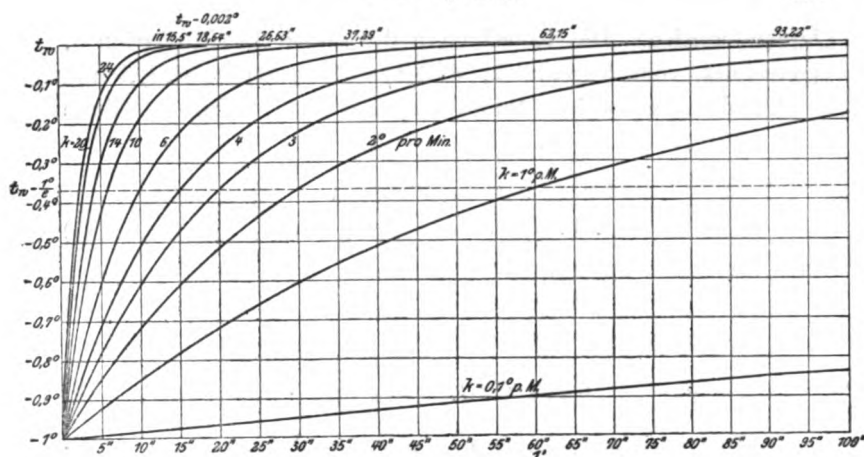


Fig. 2.

Nennt man $t_w - t = -t'$ (—, weil wir auf der negativen Seite der Y-Achse sind), so ist

$$\frac{dt'}{dz} = -K_E t'$$

$$-\frac{dt'}{t'} = K_E dz,$$

oder bei $K_E = \text{Konstante}$

$$-\int \frac{dt'}{t'} = K_E \int dz$$

$$-\log \text{nat } t' = K_E z + C$$

$$-e^{-K_E z - C} = t',$$

da doch dem t' jetzt wieder das — Zeichen vorgesetzt werden muß. Wir legen den Nullpunkt der Zeit an den Punkt, wo $t' = -1$ wird. C ist dann $= 0$.

Der Gang des Thermometers nach dem Impfen ist eine Kurve, welche in erster Annäherung als eine Kombination von logarithmischen Kurven $-t' = e^{-K_E z}$ mit stetig sich änderndem Werte für K_E betrachtet werden kann. Hierbei ist die Wirkung des Kühlbades noch nicht in Betracht gezogen.

Man integriert dann faktisch über einen kleinen Teil der Kurve, auf dem man K_E in erster Annäherung als eine Konstante betrachten darf.

Experimentell wird K_E gemessen, indem man die Zeitpunkte bestimmt, an denen gewisse Punkte der Skala durch-

laufen werden. Die Koordinaten des ersten Punktes seien z_1 (gerechnet vom Augenblick, daß $t_w - 1^0$ passiert wird), und $-t_1'$, die des zweiten Punktes z_2 und $-t_2'$. Man hat dann

$$-t_1' = e^{-K_E z_1}$$

$$\text{oder } t_w - t_1 = e^{-K_E z_1},$$

$$\text{d. h. } K_E z_1 = -\log(t_w - t_1) \quad (6)$$

und für den zweiten Punkt

$$K_E z_2 = -\log(t_w - t_2). \quad (7)$$

Subtrahierend (6) von (7) (weil $z_2 > z_1$)

$$K_E(z_2 - z_1) = \log \frac{t_w - t_1}{t_w - t_2}. \quad (8)$$

Diese Gleichung kann man praktisch benutzen zur Ableitung von K_E aus der beobachteten Kurve. Allein ist dabei nicht in Betracht gezogen, daß die Abkühlung nach der Gleichung (2) während des Gefrierens fortfährt.

Der wirkliche Gang der Temperatur beim Gefrieren einer begrenzten Menge ergibt sich nach Nernst durch die Superposition von (2) und (4).

$$\frac{dt}{dz} = K_E(t_w - t) - k_a(t - t_c). \quad (9)$$

Nennen wir $K_E + k_a = S$ und $K_E t_w + k_a t_c = A$, so ist

$$\frac{dt}{A - St} = dz$$

und, weil

$$\frac{1}{A - St} = \frac{dl(A - St)}{d(A - St)} = \frac{dl(A - St)}{-Sdt}$$

oder

$$-\frac{Sdt}{A - St} = -Sdz = dl(A - St),$$

integrierend:

$$l(A - St_1) = -Sz_1 + C \quad (10)$$

$$l(A - St_2) = -Sz_2 + C \quad (11)$$

und subtrahierend (10) von (11), erhält man

$$S(z_2 - z_1) = l(A - St_1) - l(A - St_2)$$

oder

$$\begin{aligned} (K_E + k_a)(z_2 - z_1) &= \log \text{ nat } \frac{K_E t_w + k_a t_c - (K_E + k_a) t_1}{K_E t_w + k_a t_c - (K_E + k_a) t_2} \\ &= \log \text{ nat } \frac{K_E(t_w - t_1) - k_a(t_1 - t_c)}{K_E(t_w - t_2) - k_a(t_2 - t_c)} \end{aligned} \quad (12)$$

Mit dieser Gleichung ist praktisch kaum zu arbeiten, weil dieselbe die zu bestimmende Größe K_E zweimal enthält: als solche, und unter dem Logarithmenzeichen. Man wünscht ja die Veränderungen von K_E kennen zu lernen, muß also zwei Werte t_1 und t_2 wählen, welche so dicht beeinander liegen, daß K_E während der Zeit $z_2 - z_1$ sich nicht geändert hat, und welche doch noch weit genug auseinander liegen, um t_w mit genügender Genauigkeit berechnen zu können.

Man benutze die Gleichung (9), indem man die beobachteten Geschwindigkeiten der Temperaturänderung pro Minute als $\frac{dt}{dz}$ betrachtet. Es ist dies erlaubt, solange die Steigung gleichmäßig verläuft. Etwa 20" nach dem Impfen steigt das Thermometer rasch und gleichmäßig, $t_w - t$ ist dann noch relativ groß, das Glied $K_E(t_w - t)$ überwiegt, weil K_E etwa 1 bis 10, k_a etwa 0,01 ist. Nahe beim (scheinbaren) Nullpunkt verzögert sich der Gang des Thermometers immer mehr: $t_w - t$ ist klein, $t - t_c$ groß, beide Glieder sind von der nämlichen Ordnung geworden, $\frac{dt}{dz}$ ändert sich jeden Augenblick: dann müßte (12) benutzt werden.

Nernst leitet nun die Formel (1) ab, indem er die Gleichung (9) auf die Endtemperatur t_s bezieht.

$\frac{dt}{dz}$ muß beim scheinbaren Gefrierpunkt $= 0$ sein, also:

$$\frac{dt}{dz} = K_E(t_w - t_s) - k_a(t_s - t_c) = 0$$

oder

$$t_w = t_s + \frac{k_a}{K_E}(t_s - t_c). \quad (1)$$

Hier ist für K_E der Wert zu nehmen, welcher am Ende des Gefrierens erreicht wird.

Jedenfalls läßt sich hieraus entnehmen, daß die Bestimmung des Nullpunktes mittels Unterkühlung und Impfung immer auf einen scheinbaren Nullpunkt führt, der um so viel unter 0°C liegt, als das Korrektionsglied $\frac{k_a}{K_E}(t_s - t_c)$ beträgt.

Es gilt nun erstens, den Wert dieses Gliedes in jedem

einzelnen Fall zu bestimmen, und zweitens, diesen Wert auf ein Minimum zu reduzieren.

Zur Prüfung der Zuverlässigkeit unserer kryoskopischen Methoden und der Kryoskope selbst gibt es, soviel ich sehe, kaum ein besseres Mittel als die Bestimmung der Lage des scheinbaren Nullpunktes unter verschiedenen Umständen. Wir haben dann als festen Punkt t_w . Man soll eine große Flasche mit Luft geschütteltes destilliertes Wasser vorrätig halten, damit man vom wechselnden Gehalt an Gasen (CO_2 !) unabhängig ist. Ich ziehe dies dem jemaligen Auskochen vor, weil es während der Messungen doch mehr oder weniger Luft aufnimmt.

k_a ist leicht zu messen, t_c im neuen Kryoskop praktisch genügend konstant zu halten. Ich habe eine große Zahl von Messungen ausgeführt, um die Veränderungen von K_E nach dem Impfen kennen zu lernen, indem der Gang des Thermometers nach Donders indirekt registriert wurde. Benutzt man immer Wasser, so ergibt jede Bestimmung des scheinbaren Nullpunktes eine Gleichung (1), in der K_E die einzige Unbekannte darstellt.

Es besteht die Neigung, das Korrektionsglied möglichst klein zu machen, indem man $t_s - t_c$ auf ein Minimum reduziert (Nernst und Abegg, Raoult u. a.). Wenn aber das Kühlbad nicht viel kälter als 0° gemacht wird, so kann man nur wenig unterkühlen, es bildet sich also wenig Eis, K_E wird sehr klein. Nernst und Abegg haben diesem Übelstande vorgebeugt, indem sie die Salzlösung in eine größere Quantität Wasser einpipettierten, in dem eine große Menge feines Eis vorher erzeugt war.

Wenn man schnelle und genaue Gefrierpunktsbestimmungen machen will, muß man ziemlich stark unterkühlen, sonst bekommt man nicht genug Eis, und das Temperaturgleichgewicht bei t_s wird viel zu wenig stabil gegen die schädlichen Einflüsse des Rührens und die Mängel der Wärmeisolierung. Ich unterkühle etwas mehr als 1° und benutze Kühlbäder von $-2,5$ bis -3° für die meist vorkommenden Bestimmungen (Blut, Milch usw.) wo Δ ungefähr $-0,6^\circ$ ist. Wir haben dann für k_a etwa den Wert $0,01^\circ$ pro Grad pro Minute (d. h. wenn das Kühlbad 1° kälter ist als das Gefrierbad, so sinkt die Tempe-

ratur des letzteren um $0,01^{\circ}$ pro Minute, also bei Gefrierbad 0° und Kühlbad $-2,5:0,025$ pro Minute). Diese geringen Werte für k_a (der bis $0,008$ herabgehen kann) verdanken wir dem Dewar-Gefäß. K_F hat Werte von der Ordnung 4 bis 8° pro Grad pro Minute, das Korrektionsglied ist mithin etwa $0,004^{\circ}$. Dabei ist aber jede Gefrierpunktsbestimmung zu verwerfen, bei der das Thermometer abnorm langsam gestiegen ist: wenn zwischen Impfung und Erreichung des scheinbaren Gefrierpunktes viel mehr als zwei Minuten liegen, so tut man besser, die Messung zu wiederholen. K_F kann nämlich auf Werten unterhalb 1 heruntergehen. In der Praxis kann man doch nicht immer die Apparate zur Hand haben, zur Bestimmung von K_F durch Registration.

K_F ist der $2/3$ -Potenz der Unterkühlung ungefähr proportional. K_F ist verhältnismäßig am größten, wenn es gelingt, das Impfeis bis an den Boden des Gefrierrohres zu bringen, ohne daß es sich vom Platinring des kleinen Rührers ablöst. Dazu ist erforderlich, daß die Stelle, wo das Impfeis an dem Platinring gerieben wird, also die innere Mündung des seitlichen Impfstutzens des Gefrierrohres möglichst kalt gehalten wird. Sonst impft man mit einem halbgeschmolzenen Eisbrei, welcher sich gleich vom Platinring ablöst und an der Oberfläche des Gefrierpunktes schwimmen bleibt. Dann dauert die latente Periode lange, und das Thermometer steigt sehr langsam, zuweilen dreimal so langsam als bei gelungenen Impfungen, K_F ist dann abnorm klein. Zum Kühlhalten der Impfstelle ist eine Luftkammer mit Eisbehältern angebracht.

Das Prinzip zur Herstellung Kühlbäder praktisch konstanter Temperatur.

Wir haben K_F ganz in der Hand, weil diese Größe der Gesamtoberfläche des Eises direkt proportional ist.

Das praktisch konstante Kühlbad beruht auf dem Prinzip, daß Eis und Salzlösung sich mit überraschend geringer Geschwindigkeit im Temperaturgleichgewicht setzen, wenn die Oberfläche des Eises möglichst reduziert und das Rühren auf das Notwendige eingeschränkt wird.

Man kann die Apparatskonstante k_a eines Kühlbades leicht auf einen sehr niedrigen Wert bringen, indem man dasselbe vorzüglich von der Wärme der Umgebung isoliert. Für den gewöhnlichen Gebrauch benutze ich nur ein Außengefäß, für physikalische Messungen deren drei. Bedeckt man die oberen Teile des Kryoskops mit Watte und bindet man irgendeine Hülse um dieselben herum, so kann man k_a auf $0,00004^\circ$ pro Grad pro Minute bringen. Ein sehr wichtiges Element ist eine trockene Atmosphäre im Laboratorium. Ein gut verpacktes Kryoskop kann 12 Stunden auf -3° erhalten werden. Freilich beeinträchtigt diese sorgfältige Wärmeisolierung die Arbeitsfähigkeit des Instruments. Für gewöhnliches Arbeiten muß man sich mit viel größeren Werten von k_a des Kühlbades begnügen.

Wenn wir nun in einem gut isolierten Gefäß eine konzentrierte Kochsalzlösung mit ganz groben Eisstücken (von etwa 150 g) zusammenbringen und dieselben vorher unter dem Strahl der Wasserleitung abspülen, so daß sie sich abglätten, dann bekommt K_E einen so geringen Wert, daß der Gang der Temperatur im Kühlbade nicht länger durch die Geschwindigkeit der Eislösung beherrscht wird, sondern durch die Wärmezufuhr aus der Umgebung. Obgleich Eis und Salzlösung bei einer Temperatur in Berührung sind, welche $0,4^\circ$ und mehr oberhalb des Gefrierpunktes der betreffenden Lösung liegt, sinkt die Temperatur nicht, sondern steigt allmählich.

Beispiel: Das Kühlbad war folgenderweise bereitet: 3 Liter NaCl-Lösung von 1,057 spez. Gew. $^{16}/_{18}$ (also je 8,4375 g NaCl auf je 100 g H_2O) und $9,9^\circ$ wurden mit 1,8 kg groben Eisstücken und 0,430 feingeklopftes Eis gerührt. Um 11,12' war die Temperatur, nachdem 6 Schläge mit dem großen Rührer dieselbe gleichmäßig gemacht hatten, $-3,68$.

11,14' wurden 100 ccm Flüssigkeit auspipettiert, auf 15° erwärmt und das spez. Gew. mittels einer genau ajustierten hydrostatischen Wage auf 1,0450 oder 1,0452 bestimmt: es sind mithin 6,625 g NaCl auf je 100 g H_2O vorhanden: eine Lösung, deren Gefrierpunkt ungefähr bei $-3,90$ liegt.

11,29' war die Temperatur unten im Bade $-3,68^\circ$; (der große Rührer hält die groben Eisstücke in der Tiefe); oben, wo beim Pipettieren die Wattebekleidung gelockert werden mußte,

— 3,55°, nach einem Schlag mit dem großen Rührer ist die Temperatur unten — 3,48, nach einem zweiten Schlage — 3,50°. Dies genügte wohl zur Vermischung der Flüssigkeitsschichten, mehrmaliges Rühren würde Eis schmelzen lassen und die Temperatur unnötig erniedrigen.

11,58' zeigt das Thermometer unten — 3,38, oben — 3,28; 1 Schlag mit dem großen Rührer: — 3,38, noch 1 Schlag: — 3,39, — 3,44, — 3,46, — 3,48, — 3,52; noch 1 Schlag: — 3,48. Die Zimmertemperatur war 14°. In 29° ist das Kühlbad also von — 3,50° auf — 3,48° gestiegen. Das Kühlgefäß war von 3 Außengefäßen, also von 3 Glaswänden und 3 Luftmänteln umgeben, die oberen Teile des Kryoskops waren mit Watte bedeckt, und diese wurden durch eine Papierhülse zusammengehalten.

Man berechnet also:

$$k_a = \frac{1}{29} \log \text{nat} \frac{17,50}{17,48} = \frac{2,3}{29} \log_{10} \frac{17,50}{17,48} = \frac{2,3}{29} \times 0,0005 \\ = 0,00004^\circ \text{ pro Grad pro Minute.}$$

Die Anfangstemperatur des Kühlbades hängt ab: von der Konzentration und der Temperatur der Stammlösung, von der Menge und namentlich von der Gesamtoberfläche des Eises und schließlich vom Rühren. Der Verlauf der Temperatur hängt ab: von der Wärmeisolation, dem Rühren und der 1:1 Apparat auferlegten Arbeit. Man muß es nun so einrichten, daß man vom Kühlbade viel weniger fordert, als es zu leisten imstande wäre. Man bewahre die Stammflüssigkeit, eine 8%ige Kochsalzlösung, möglichst kühl auf, sonst muß man zu viel Eis schmelzen, bevor die verlangte Temperatur erreicht wird, und das Bad ist zu schnell erschöpft. Ich benutze immer eine 8°P_{0D} NaCl-Lösung (für die Bedeutung dieser Zeichen siehe unten), welche bei 15° ein spez. Gew. von 1,0542, verglichen mit Wasser von 15°, hat und genau 8,000 g reines NaCl auf 100,00 g H₂O enthält (die Gewichte auf das Vakuum reduziert).

3 Liter dieser Stammflüssigkeit werden mit 1,8 kg grobes Eis gerührt, dann noch 0,5 kg feines Eis hinzugesetzt und vorsichtig gerührt, bis — 2,5° erreicht wird. Die Lösung ist dann meistens etwa 6,55°P_{0D} NaCl geworden, was einem Gefrierpunkt von ungefähr — 3,86° entsprechen würde.

Rührt man stärker, oder sorgt man für eine bessere Wärmeisolation, so sinkt die Temperatur dieses Bades tiefer: $-3,14^{\circ}$, ja $-3,43^{\circ}$ können erzielt werden. Je tiefer man die Temperatur hinunterrührt, um so schwieriger ist es, dieselbe konstant zu halten.

Man kann nun das Kryoskop in zweierlei Form anwenden: die einfache, wie sie von Franz Hegershoff in Leipzig und Marius in Utrecht in den Handel gebracht wird, hat nur ein Außengefäß. Mit einiger Übung kann man die Temperatur des Kühlbades durch passendes Rühren leicht auf $-2,5^{\circ}$ konstant halten.

Das ist für die meisten Zwecke: Blut und Milch, nicht zu konzentrierte Harne, die geeignetste Temperatur des Bades. Man kann bequem einen Grad unterkühlen. Hat man Seewasser, Leibesflüssigkeiten von Meerestieren, konzentriertere Harne, so ist auf etwa $-3,1^{\circ}$ zu rühren. Dann ist die Verwendung von noch 2 Außengefäßen und eventuell die Verwendung konzentrierterer Stammlösungen (9 bis 12°P_{0D}) praktisch.

Beschreibung des Apparats (Fig. 3 u. 4).

In einem äußeren Kühlgefäß aus starkem Glas ist ein Innengefäß aus gleichem Material und von etwas mehr als 5 Liter Inhalt derart eingesetzt, daß die Gefäße oben mit ihren geschliffenen Tragrändern aufeinander passen unter Bildung einer isolierenden Schicht trockener, aber unverdünnter Luft. Als Deckel dient eine dicke Ebonitplatte, in welche zwei Reagensglasrohre eingesetzt sind, von denen das weitere einen Luftmantel, das engere den Schnellkühler bildet, der zur Ableitung der Wärme aus dem in denselben eingetauchten Gefrierrohre mit etwas Quecksilber gefüllt ist. Der Luftmantel besteht aus zwei zusammengeschmolzenen Reagensgläsern. Die Luft zwischen denselben ist möglichst vollständig evakuiert: Dewar-Gefäß. Die Versilberung der Außenseite des inneren Rohres ist unterlassen, weil das Ganze durchsichtig sein soll, damit man beurteilen kann, ob das Gefrierrohr in richtiger Haltung (ohne den Dewar-Mantel zu berühren) sich befindet.

Die Rührvorrichtung besteht aus einem in das Innengefäß passenden Metallgitter aus vernickeltem Messing, das durch

einen Nickelstab mit Ebonitgriff auf und ab bewegt werden kann, wobei eine Stellschraube die Einstellung in beliebiger Höhe ermöglicht.

Zwei dünne, im Gitter bewegliche Metallzylinder umgeben den Schnellkühler und das Dewar-Gefäß. Dieselben gleiten in

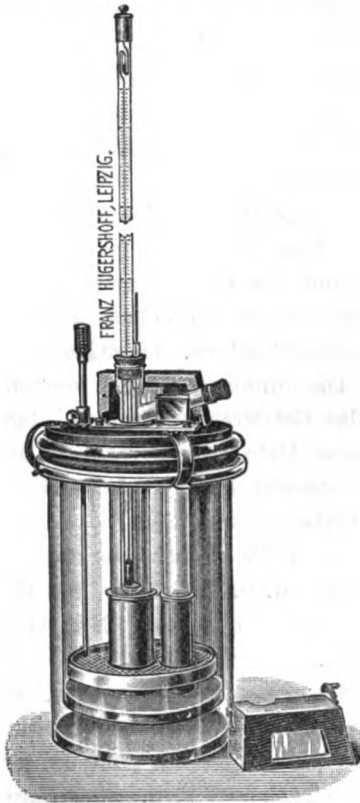


Fig. 3.

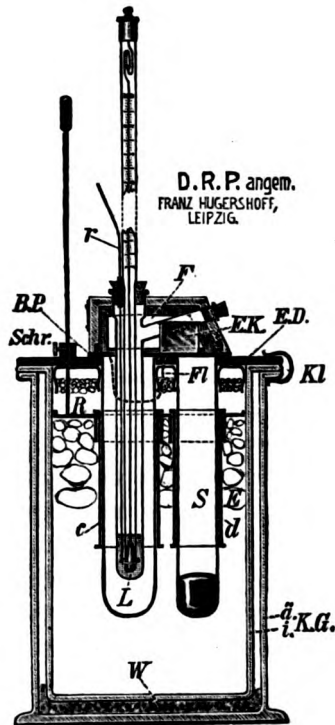


Fig. 4.

Steigerung des Thermometers bei $1,18^\circ$ unterkühlter 5°P_D NaCl-Lösung (40 ccm, ohne Rühren, Gefrieröhre im Dewarschen Gefäß als Luftmantel, $k_a = 0,012^\circ \text{ p. Min.}$ Versuch vom 22. II. 08.)

zwei etwas weitere, kürzere Metallzylinder, welche am Gitter befestigt sind. Diese Ausbildung des Rührers dient der Verteilung der in der Lösung schwimmenden Eisstückchen: die feinen schwimmen oben, die stärkeren durch das Gitter zurückgehaltenen sind durch die Metallzylinder am Hindurchtreten durch die Öffnungen für Schnellkühler und Dewar-Gefäß ver-

hindert, während das Gitter zu gleichem Zweck am Rand genügend genau in das Außengefäß paßt. Die Zylinder sind so lang, daß beim tiefsten Stand des Rührers die beiden Glasrohre noch am unteren Ende in den Zylindern stecken. Vernickelte Federn am Deckel halten die Rohre in richtiger Lage gegen diesen. Klammern halten den Deckel am Tragrand der Gläser, dabei aber eine Drehung um 180° gestattend.

Oben am Deckel ist eine Kupferplatte angeordnet, die mit Lappen oder Flügeln am Kupfer in das Kühlbad taucht und auf der zwei Eisbehälter mit federndem Deckel befestigt sind. Dieselben werden mit Kochsalz und zerstoßenem Eis gefüllt.

Das Gefrierrohr mit seitlichem Impfstutzen (wie beim Beckmann, aber länger (24 cm) und mit kugligem Boden) paßt genau in eine zweiteilige, durch Haken und Ösen mit ihren Hälften zusammengehaltene hölzerne Luftkammer mit einer geraden und einer schrägen Wand und seitlichen Fenstern. Diese Kammer ist innen mit Kupfer ausgekleidet. Die Öffnungen für den Schnellkühler, den Dewar-Mantel und das Gefrierrohr liegen so, daß, wenn man die Luftkammer mit dem Gefrierrohr hebt und um 180° dreht, man das Gefrierrohr entweder in den Schnellkühler oder in das Dewar-Gefäß hinabtauchen lassen kann.

Die Fenster der Luftkammer und die Eisbehälter sind so angeordnet, daß man die Impfstelle, d. h. die Stelle, wo der hochgezogene kleine Rührer mit einem kleinsten Eiskrystall infiziert wird, gut beobachten kann.

Der kleine Rührer besteht aus einem Fischbeinstab, an den unten in geeigneter Weise ein Ring aus starkem Platindraht befestigt ist. Das Fischbein muß nach ein paar Jahren erneuert werden: es zerfällt in die einzelnen Fäden. Glasrührer zerbrechen jeden Augenblick.

Für den praktischen Gebrauch des Kryoskopikers möchte ich eine kleine Modifikation am Thermometer vorschlagen. Er benutzt das Instrument immer nur im kleinen Meßbereich von, sagen wir $+0,2$ bis etwa $-3,3$. Man ersetze also das umgebogene Reservoir durch ein gerades. Der Nullpunkt ist also, bis auf kleine tägliche Veränderungen durch die Wirkung des Glases, konstant. Die Schale sei in $\frac{1}{100}^\circ$ eingeteilt. Der Gefrierpunkt des lufthaltigen destillierten Wassers befinde sich nahe der oben befindlichen Ziffer 4 (aber nicht — wie mir schon

vorgekommen ist, gerade oberhalb der Skala). Die untere Ziffer sei also 1: eine 0 gibt immer zu Irrtümern mit — und + Veranlassung.

Der Reif zum Impfen wird an der Außenfläche eines weithalsigen Glasgefäßes von etwa 100 ccm Inhalt, in dem feinerstoßenes Eis, Kochsalz und gesättigte Kochsalzlösung vermischt werden. Der Rührer ist ein starkes kurzes Reagensrohr, in welchem der spitze gläserne Impfstab aufbewahrt wird.

Die Stammflüssigkeiten für das Kühlbad.

Ich benutze jetzt immer reines NaCl , weil in diesem Falle die Bestimmung des Gehaltes der Lösungen durch eine Messung des spez. Gew. bei 15° leicht und schnell ausführbar ist. Das Kochsalz des Handels kann mitunter hohe Prozentsätze an CaCl_2 , Wasser, MgCl_2 usw. aufweisen. Man reinigt es am besten durch $\text{Ba}(\text{OH})_2$ und $(\text{NH}_4)_2\text{C}_2\text{O}_4$. Ein Beispiel: 4,6 kg Handelskochsalz ergaben eine Lösung von 11,4 Liter spez. Gew. $^{15}/_{15}$ 1,197. Diese wurde filtriert und brauchten 1,3 Liter kalt gesättigte Lösung von $\text{Ba}(\text{OH})_2$. Das Präcipitat wurde abfiltriert. In das Filtrat erzeugte Barytwasser keinen Niederschlag mehr, es mußte aber 0,8 Liter 5%ige Lösung von oxalsaurem Ammonium zugesetzt werden. Das Filtrat blieb auf neuen Zusatz von letztgenanntem Reagens klar, trübte sich mit CaCl_2 schwach. Diese Lösung wird auf freier Flamme eingedampft, zuerst entweicht NH_3 , dann scheidet sich das genügend reine Chlornatrium ab. Dieses wird abgesaugt, zum Teil getrocknet, zum Teil in Wasser gelöst. Ich halte mir immer eine gesättigte Lösung und eine 8%ige in Vorrat (8°P_D). Es häufen sich die benutzten Kühlbäder bald an. Dieselben werden zu 8% NaCl regeneriert durch Zusatz geeigneter Mengen gesättigter Lösung. Eine Tabelle wird diese Arbeit sehr erleichtern.

Die Gerlachschen Bestimmungen des spez. Gew. reiner Kochsalzlösungen sind nicht ganz genau. Ich habe dieselben mit sorgfältig gereinigtem NaCl wiederholt und gebe die Zahlen in einer Tabelle. Die spez. Gew. beziehen sich auf destilliertes Wasser von 15° , wurden pyknometrisch bestimmt und beziehen sich auf absolute (aufs Vakuum reduzierte) Gewichte. Die Gewichtssätze sind nach einem von der physisch-techn. Reichsanstalt geeichten Quarzgewicht aufs sorgfältigste kontrolliert.

In der Tabelle wird eine Bezeichnungsweise für die drei im Gebrauch seienden Prozentsätze eingeführt, welche sich seit 8 Jahren in meinem Laboratorium bestens bewährt.

8 $^{\circ}\text{P}_{\text{D}}$ NaCl heißt 8 g NaCl in 100 g H_2O gelöst: P (pondus) sagt aus, daß es sich um Gewichtsprozente handelt, D (dissolventis) bezeichnet, daß es sich um das Gewicht des Lösungsmittels handelt. Dies sind die von Raoult benutzten Prozentsätze. Die 108 g dieser Lösung enthalten 8 g NaCl, also $100 \text{ g} : \frac{800}{108} = 7,4075 \text{ g}$. Diese Prozente bezeichnen wir als 9 $^{\circ}\text{P}_{\text{OS}}$ (pondus solutionis). Das sind die gebräuchlichsten Prozente. Die Beziehung zwischen die $^{\circ}\text{P}_{\text{D}}$ und $^{\circ}\text{P}_{\text{S}}$ ist für alle Lösungsmittel und sämtliche gelöste Stoffe die gleiche: wenn $p^{\circ}\text{P}_{\text{D}} = p'^{\circ}\text{P}_{\text{S}}$ ist, so ist $p' = \frac{100 p}{100 + p}$.

Trägt man auf die Abszisse die $^{\circ}\text{P}_{\text{D}}$ -Prozente, auf die Ordinate die $^{\circ}\text{P}_{\text{D}}$ und die $^{\circ}\text{P}_{\text{S}}$ -Prozente in gleichem Maßstabe auf, so bekommt man für die $^{\circ}\text{P}_{\text{D}}$ -Prozente eine Gerade, welche einen Winkel von 45° mit beiden Ordinaten bildet, für die $^{\circ}\text{P}_{\text{S}}$ -Prozente ein Stück einer gleichseitigen Hyperbel.

Die Volumprozente $^{\circ}\text{V}_{\text{S}}$ (volumen solutionis) können auch auf die Ordinate abgesetzt werden. Man bekommt für jede Substanz dann eine individuelle Kurve. Die Beziehung zwischen $p'^{\circ}\text{P}_{\text{OS}}$ und $p''^{\circ}\text{V}_{\text{OS}}$ ist einfach: $p'' = p'^{\text{D}}$ wo D das spez. Gew. der Lösung bezeichnet.

100 ccm einer 8 $^{\circ}\text{P}_{\text{D}} = 7,4075^{\circ}\text{P}_{\text{S}}$ NaCl-Lösung haben ein Gewicht von 105,42 g (1,0542 ist spez. Gew. $^{15^{\circ}}_{15^{\circ}}$, man muß von dem geringen Unterschied zwischen den Dichten des Wassers bei 4° und 15° : 0,999126 absehen). Diese 105,42 g enthalten $1,0542 \times 7,4075 \text{ g}$ NaCl.

Das spez. Gew. einer NaCl-Lösung wird in der Praxis von einer hydrostatischen Wage mit Reimannschem Schwimmkörper von 5 g mit genügender Genauigkeit gemessen. Man muß aber zuerst die Laufgewichte eichen und genau auf die Temperatur achten.

Es sind drei Tabellen beigegeben: zwei vergleichende der spezifischen Gewichte und Prozentsätze mit $^{\circ}\text{P}_{\text{D}}$, bzw. $^{\circ}\text{P}_{\text{S}}$ als Eingangskolonne, und eine dritte, welche die Zahl der ccm gesättigte NaCl-Lösung angibt, welche 3 Liter der meist vorkom-

menden gebrauchten Kühlbäder zu einer 8 °P_D NaCl-Lösung regenerieren.

Tabelle I.

Wässrige Kochsalzlösungen: die drei Prozentsätze: °P_D (p g NaCl + 100 g H₂O), °P_s (p' g NaCl auf 100 g Lösung), ¹⁵/₁₅°V_s (p'' g NaCl auf 100 ccm bei 15°), die spezifischen Gewichte bei 15° in Vergleich zum Wasser von 15°.

$p^{\circ}P_D = p^{\circ}P_S = p''^{15/15^{\circ}V_S}$	Spez. Gew. $\frac{15}{15}$	Differenz der spez. Gew. für $1^{\circ}P_D$	Eigene Bestimmung des spez. Gew.		
1,000	0,9901	0,9972	1,0072	—	—
2,000	1,9608	1,9886	1,0142	0,0070	1,01417
3,000	2,9126	2,9741	1,0211	0,0069	—
4,000	3,8462	3,9534	1,0279	0,0068	1,02788
5,000	4,7619	4,9267	1,0346	0,0067	—
6,000	5,6604	5,8937	1,0412	0,0066	1,0411
7,000	6,5421	6,8548	1,0478	0,0066	1,04782
8,000	7,4075	7,8090	1,0542	0,0064	1,05409
9,000	8,2569	8,7573	1,0606	0,0064	—
10,000	9,0909	9,6991	1,0669	0,0063	1,06692
11,000	9,9099	10,634	1,0731	0,0062	—
12,000	10,7143	11,562	1,0791	0,0060	—
13,000	11,5045	12,482	1,0850	0,0059	—
14,000	12,2807	13,397	1,0909	0,0059	—
15,000	13,0435	14,305	1,0967	0,0058	1,09672
16,000	13,7931	15,206	1,1024	0,0057	—
17,000	14,5299	16,099	1,1080	0,0056	—
18,000	15,2542	16,986	1,1135	0,0055	—
19,000	15,9664	17,866	1,1190	0,0055	—
20,000	16,6667	18,742	1,1245	0,0055	1,12452
21,000	17,3554	19,610	1,1299	0,0054	—
22,000	18,0328	20,473	1,1353	0,0054	—
23,000	18,6992	21,328	1,1406	0,0053	—
24,000	19,3548	22,179	1,1459	0,0053	—
25,000	20,0000	23,024	1,1512	0,0053	1,151205
26,000	20,6349	23,862	1,1564	0,0052	—
27,000	21,2598	24,693	1,1615	0,0051	—
28,000	21,8750	25,517	1,1665	0,0050	—
29,000	22,4806	26,334	1,1714	0,0049	—
30,000	23,0769	27,145	1,1763	0,0049	1,17634
31,000	23,6641	27,952	1,1812	0,0049	—
32,000	24,2424	28,751	1,1860	0,0048	—
33,000	24,8120	29,544	1,1907	0,0047	—
34,000	25,3731	30,334	1,1955	0,0048	—
35,000	25,9259	31,115	1,2001	0,0046	1,20014
35,861	26,3954	31,7875	1,2043	—	—

Interpoliert man hieraus die Zahlen für die einzelnen $^{\circ}\text{P}_{\text{S}}$, so findet man, daß dieselben von den Gerlach'schen höchstens 3 Einheiten der 4. Dezimalstelle verschieden sind (9 und $10^{\circ}\text{P}_{\text{S}}$), 10 Gerlach'sche Zahlen weichen 2 Einheiten der 4. Dezimale, 8 eine Einheit ab, 7 stimmen ganz überein:

Tabelle II.

$1,000^{\circ}\text{P}_{\text{S}} = 1,0101^{\circ}\text{P}_{\text{D}} = 1,0073^{\circ}\text{V}_{\text{S}} \cdot \text{Sp. G.}^{15}_{15} : 1,0073$				Differenz
2,000	2,0408	2,0289	1,01445	0,00715
3,000	3,0928	3,0651	1,0217	0,00725
4,000	4,1667	4,1160	1,0290	0,0073
5,000	5,2632	5,1820	1,0364	0,0074
6,000	6,3830	6,2628	1,0438	0,0074
7,000	7,5269	7,3584	1,0512	0,0074
8,000	8,69565	8,4696	1,0587	0,0075
9,000	9,8901	9,5958	1,0662	0,0075
10,000	11,1111	10,7370	1,0737	0,0075
11,000	12,3595	11,8932	1,0812	0,0075
12,000	13,6363	13,0656	1,0888	0,0076
13,000	14,9425	14,2532	1,0964	0,0076
14,000	16,2791	15,4560	1,1040	0,0076
15,000	17,6471	16,6740	1,1116	0,0076
16,000	19,0476	17,9088	1,1193	0,0077
17,000	20,4819	19,1607	1,1271	0,0078
18,000	21,9511	20,4300	1,1350	0,0079
19,000	23,4568	21,7170	1,1430	0,0080
20,000	25,0000	23,0240	1,1512	0,0082
21,000	26,5823	24,3474	1,1594	0,0082
22,000	28,2051	25,6850	1,1675	0,0081
23,000	29,8701	27,0411	1,1757	0,0082
24,000	31,5789	28,4160	1,1840	0,0083
25,000	33,3333	29,8075	1,1923	0,0083
26,000	35,1351	31,2208	1,2008	0,0085
26,395	35,8610	31,7875	1,2043	—

Tabelle III.

Zahl der Kubikzentimeter gesättigte Kochsalzlösung, welche 3 Liter der nachstehenden NaCl-Lösungen zu einer $8^{\circ}\text{P}_{\text{D}}$ NaCl regenerieren.

Sp. Gew. $^{15}/_{18}$ des ge- brauchten Kühlbades	Differenz	Gehalt derselben in			Zur Regeneration der 8 °P _D -Stammlösung erforderliche com gesättigte NaCl-Lösung	
		°P _D	°P _S	$^{15}/_{18}$ °V _S	pro 3 Liter	Differenz
1,0346	—	5,00	4,7619	4,9267	359,08 com	—
1,0363	0,0017	5,25	4,9881	5,1692	328,91	„ 30,17
1,0380	0,0017	5,50	5,2133	5,4114	298,79	„ 30,12
1,0397	0,0017	5,75	5,4374	5,6532	269,72	„ 30,07
1,0413	0,0016	6,00	5,6603	5,8941	238,50	„ 30,02
1,0430	0,0017	6,25	5,8824	6,1353	208,68	„ 29,92
1,0446	0,0016	6,50	6,1033	6,3755	178,72	„ 29,96
1,0462	0,0016	6,75	6,3232	6,6153	148,81	„ 29,91
1,0478	0,0016	7,00	6,5421	6,8555	118,86	„ 29,95
1,0494	0,0016	7,25	6,7599	7,0938	89,15	„ 29,71
1,0510	0,0016	7,50	6,9767	7,3326	59,37	„ 29,78
1,0526	0,0016	7,75	7,1926	7,5709	29,66	„ 29,71
1,0542	0,0016	8,00	7,4075	7,8090	0,00	„ 29,96

Berechnung dieser und ähnlicher Tabellen:

3 Liter 7,75 °P_D NaCl haben ein Gewicht von $3 \times 1,0526 = 3,1578$ KG und enthalten $30 \times 7,5709 = 227,127$ g NaCl, mithin 2930,67 g H₂O. Die gesättigte NaCl-Lösung enthält pro 1 ccm = 1,2043 g : 0,317875 g NaCl und 0,886425 g H₂O. Davon müssen nun x ccm eine 8 °P_D ergeben. Also bekommt man die Gleichungen: $2930,67 + 0,886425 x = 100 y$

$$227,127 + 0,317875 x = 8 y.$$

Eliminiert man y, so bekommt man $2930,67 - 2839,09 = 91,58 = 3,0870125 x$.

Zur Berechnung von x hat man also jedesmal die Differenz der Gramme Wasser, welche in den 3 Litern der zu regenerierenden Lösung vorhanden sind, und 12,5 mal die darin enthaltene Quantität NaCl in Gramm, durch die Konstante 3,087 zu dividieren.

1 Liter gesätt. Kochsalzlösung + 3087 ccm H₂O = 4070,7 ccm 8 °P_D NaCl.

Die Bestimmung von k_a und K_E .

Die Dewarschen Gefäße sind von etwas verschiedener Güte, es scheint, daß in der Evakuierung kleine Unterschiede vorkommen. Man bestimme k_a , und zwar mittels eines von der physikalisch technischen Reichsanstalt in Charlottenburg geeichten Beckmann-Thermometers. Man lese jede Minute den Stand des Thermometers ab, während das Gefrierbad im Dewar-

schen Gefäße als Luftmantel der Wirkung des Kühlbades ausgesetzt ist.

Beispiel. Benutzt wird das Beckmannsche Thermometer P.T.R. 30496. Gradwert der Teilung bei 0° bis 5° : 0,997. Kalibrierkorrekturen bei den Skalenstellen 4. und 5.: $0,000^\circ$, bei 3. $+0,005^\circ$. Die Trägheitskonstante k_a dieses Thermometers ist von der Ordnung: $23,8^\circ$ pro Grad pro Minute. Der Nullpunkt am Versuchstage war folgenderweise bestimmt: in einem Gefrierbade von 200 ccm destill. Wasser und feinem Eis, welches sich in einem Kühlbade von 5 Liter und gleicher Beschaffenheit befand, zeigte das Thermometer $4,801$. Letzteres war in einem doppelwandigen Glaszylinder aufgestellt. Temperatur des Laboratoriums $16,7^\circ$. Das Thermometer wurde bei der Bestimmung des Nullpunktes geklopft, das Kühlbad kräftig gerührt; das Eis war nicht sehr fein, aber in großer Menge vorhanden. Wir wollen t_w auf $4,800$ annehmen, was aber noch $0,001$ zu hoch gegriffen sein dürfte.

Es werden nun 40 ccm nicht ausgekochtes destilliertes Wasser ins Gefrierrohr gebracht, dieses zuerst in den Schnellkühler gestellt, bis das Thermometer $5,000$ zeigte. Das Kühlbad war anfangs $-5,5^\circ$ gewesen, jetzt erwärmt es sich allmählich: war am Ende der Messungen auf $-5,1$ gestiegen (etwa nach $3\frac{1}{2}$ Stunde). Dasselbe war von drei Luftmänteln umgeben, der Deckel war nicht in Watte eingepackt. Das Gefrierbad wird 2 mal pro Minute gerührt, bei $20''$ und bei $40''$.

Zeit	Skalenstelle	Differenz	Kühlbad	$k_a = \frac{1}{z_2 - z_1} \log \text{nat} \frac{t_1 - t_c}{t_2 - t_c}$
4,39'	4,890		$-5,35^\circ$	$-t_c \quad t_w \quad t_1 \text{ bzw. } t_2$
4,40'	4,835	0,055°	$-5,35^\circ$	$k_a = \frac{1}{1} \log \frac{5,35 - 4,80 + 4,89}{5,35 - 4,80 + 4,835}$
			4 Schläge mit dem großen Rührer	$= 0,01015^\circ$ pro Grad und pro Minute
4,41'	4,783	0,052°	$-5,35^\circ$	$= 0,01027$
			4 Schläge mit dem großen Rührer	} wegen der Temperaturveränderung des Kühlbades ist die Formel nicht anwendbar.
4,42'	4,720	0,063°		
4,43'	4,665	0,055°	$-5,4^\circ$	
4,44'	4,610	0,055°		$k_a = 0,01059$
4,45'	4,550	0,060°		0,01158
4,46'	4,495	0,055°		0,01075
4,47'	4,440	0,055°		0,01085
4,48'	4,385	0,055°		0,01096
4,49'	4,330	0,055°	$-5,4^\circ$	0,01110

Im Mittel finden wir $k_a = 0,01^\circ$ pro Grad und pro Minute, d. h. bei einer konstanten Kühlbadtemperatur t_c von $-2,50^\circ$ sinkt das Thermometer in 40 ccm, auf $-1,5^\circ$ unterkühltes destilliertes Wasser im betreffenden Apparat und unter den obwaltenden Umständen (Dimensionen des Gefrierrohres, Temperatur im Luftkästchen, zwei Schläge mit dem kleinen Rührer usw.) $0,01^\circ$ jede Minute, so der Temperaturunterschied zwischen Kühlbad und Gefrierbad 1° beträgt.

Andere Male wurde für das nämliche Dewargefäß $0,008^\circ$ gefunden, bei anderer Quantität ap. dest. im Gefrierbade.

Die Messung von K_E ist bedeutend schwieriger. Man muß solche Versuche wählen, bei denen die Steigung des Thermometers, durch weniger gelungene Impfung, langsam genug erfolgte, um den Zeitpunkt, an den jeder $0,01^\circ$ Strich der Skala passiert wurde, registrieren zu können. Oder aber muß man sich auf die Registration der Zeiten beschränken, an denen die $0,05^\circ$ -Striche passiert wurden.

Ich habe eine Zahl solcher Messungen angeführt, bei denen der Gang des Thermometers nach Donders indirekt registriert wurde: auf berußtem Papier wird die Zeit in $\frac{1}{10}$ Sekunden aufgezeichnet, und jedesmal, daß ein Strich der Skala passiert wird, drücke ich auf einen Stromschlüssel. Zu gleicher Zeit nenne ich die Zahl, welche von einem Gehilfen aufgeschrieben wird, damit man später weiß, was die Signale bedeuten. Ist K_E etwa $= 1^\circ$ pro Minute und pro Grad, so gelingt es, jeden Zeitpunkt, wo ein $0,01^\circ$ -Strich passiert wird, mit genügender Genauigkeit zu registrieren. Man muß aber stets den Mittelwert von je drei aufeinanderfolgenden Zeiten nehmen: nicht so sehr, weil die indirekte Registrierung, wegen des Zeitverlusts des psychophysischen Prozesses und wegen der psychologischen Erscheinungen bei zu schnellem Verlauf, eine unvollkommene Methode ist, als vielmehr weil der Gang des Thermometers, wenn nicht gerührt wird, immer erfolgt etwas stoßweise.

Fig. 5 zeigt den Gang des Thermometers und die daraus abgeleitete K_E -Kurve. Letztere diene ausschließlich zur Illustration des Verlaufs solcher Kurven, macht aber auf Genauigkeit keinen Anspruch, weil hier u. a. die Änderung des Gefrierpunktes während des Gefrierens der 5 proz. NaCl-Lösung nicht

in Rechnung gezogen ist. Man müßte dazu die spez. Wärme derselben bei der betreffenden Temperatur, den Wasserwert des Thermometers und des Gefrierrohrs kennen. Als die K_E -Kurve konstruiert wurde, fehlten mir diese Daten.

Konstant beobachtet man gleich nach der Impfung eine Art „latente Periode“ von ziemlich verschiedener Dauer, während welcher die Temperatur fast nicht steigt. Die Trägheit des Thermometers spielt hier eine (kleine) Rolle. Dann fängt das Thermometer mit zuerst anwachsender Geschwindigkeit zu steigen an, und auch K_E nimmt sehr rasch zu, aber

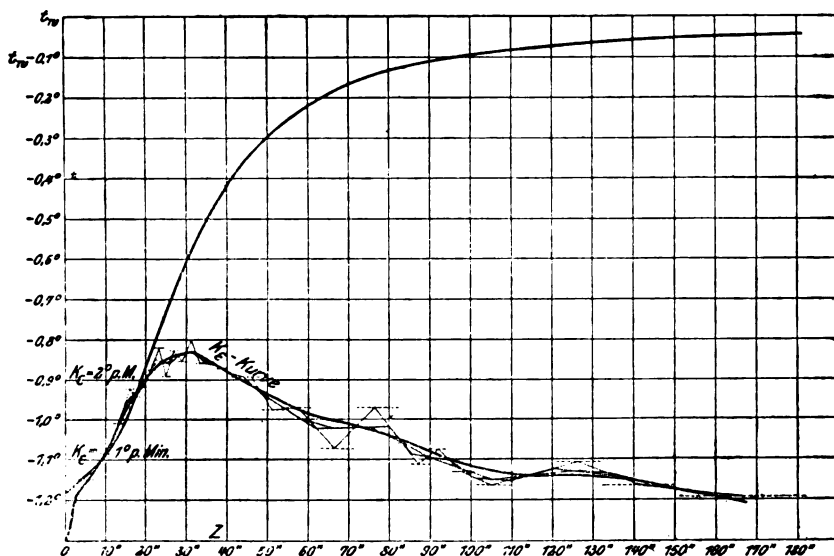


Fig. 5.

bald verlangsamt sich der Gang merklich. Die K_E -Kurve nähert sich dann schon längst der Abszisse.

Dieses Sinken von K_E dürfte zum guten Teil dem Mangel an Bewegung in der gefrierenden Flüssigkeit sein. Im Anfang des Gefrierens entstehen durch die Eisbildung keineswegs unbedeutende Strömungen, wie die Schlieren zeigen. Am Ende des Gefrierens aber macht sich die Schwierigkeit, ohne Zufuhr von Wärme zu rühren, peinlich bemerkbar. Ich konnte bis jetzt keinen praktischen Rührer für die vorliegenden Verhältnisse konstruieren. Man kann doch nicht zwei Rührer einsetzen: einen zum Impfen und einen zum rotierenden Rühren!

Ich stelle das Kryoskop und das Chronoskop, welches 10 Schwingungen pro Sekunde ausführt, auf den nämlichen Tisch, dessen Platte nicht in die Mauer eingelassen ist, sondern einfach auf vier Füßen steht und mitschwingt. Hierdurch und durch das Beklopfen des Thermometers wird ein Rühren ohne Wärmezufuhr einigermaßen ersetzt.

Es folgen hier die Zahlen, welche mit 40 ccm destilliertem Wasser, kurz nach der oben erwähnten k_a -Bestimmung, für K_E registriert wurden. Zur Berechnung dient die Formel (9).

Skalen- stelle	Zeit in Se- kunden, in der das Intervall durchl. wurde	Korrigierter Zeitwert: $\frac{1}{3}$ der Summe je drei aufeinander- folgender Zahlen	$\frac{dt}{dz}$ in Grad pro Minute	$k_a(t-t_c)$ $t_c = -5,15^\circ$ $k_a = 0,01$ Nach Ablauf der Registration wurde $t_c = 5,10$ gefunden	$K_E(t_w - t)$ $= \frac{dt}{dz}$ $+ k_a(t-t_c)$ $t_w = 4,800$	K_E
3,57	geimpft	} latente Periode				
3,58	4,9"					
3,59	0,6"		1,	0,039	1,039	0,855
3,60	0,65		0,924	0,039	0,963	0,800
3,65	3,10		0,966	0,040	1,006	0,856
3,70	0,9		(3,333)	0,040	(3,373)	3,000
3,75	1,35	1,117	2,690	0,041	2,731	2,540
3,80	1,1	1,150	2,610	0,041	2,651	2,585
3,85	1,0	0,967	3,101	0,042	3,143	3,225
3,90	0,8	0,883	3,380	0,042	3,422	3,702
3,95	0,85	0,850	3,530	0,043	3,573	4,080
4,00	0,9	0,388	3,380	0,043	3,423	4,150
4,05	0,9	0,900	3,333	0,044	3,377	4,350
4,10	0,9	0,933	3,219	0,044	3,263	4,505
4,15	1,0	0,983	3,052	0,045	3,097	4,588
4,20	1,5	1,150	2,605	0,045	2,650	4,245
4,25	1,4	1,250	2,400	0,046	2,446	4,251
4,30	1,3	1,367	2,200	0,046	2,246	4,280
4,35	1,4	1,467	2,046	0,047	2,093	4,405
4,40	1,7	1,717	1,750	0,047	1,797	4,230
4,45	2,05	2,033	1,479	0,448	1,527	4,070
4,50	2,35	2,367	1,269	0,048	1,317	4,061
4,55	2,7	2,867	1,048	0,049	1,097	3,995
4,60	3,55	3,667	0,818	0,049	0,867	3,855
4,65	4,75	4,75	0,632	0,050	0,682	3,900
4,66	1,45	1,10	0,545	0,050	0,595	4,103
4,67	0,9	1,467	0,410	0,050	0,460	3,410
4,68	2,05	1,667	0,372	0,050	0,422	3,380
4,69	1,9	1,900	0,316	0,050	0,366	3,180
4,70	1,75	1,967	0,305	0,050	0,355	3,380

Skalen- stelle	Zeit in Se- kunden, in der das Intervall durchl. wurde	Korrigierter Zeitwert: $\frac{1}{3}$ der Summe je drei aufeinander- folgender Zahlen	$\frac{dt}{ds}$ in Grad pro Minute	$k_a(t-t_c)$ $t_c = -5,15^\circ$ $k_a = 0,01$ Nach Ablauf der Registration wurde $t_c = 5,10$ gefunden	$K_E(t_n - t)$ $= \frac{dt}{dz}$ $+ k_a(t - t_c)$ $t_n = 4,800$	K_E
4,71	2,25	2,367	0,253	0,050	0,303	3,190
4,72	3,1	3,017	0,199	0,050	0,249	2,930
4,73	3,7	3,700	0,162	0,0505	0,213	2,841
4,74	4,3	4,667	0,1285	0,0505	0,179	2,755
4,75	6,0	6,467	0,093	0,051	0,144	2,620
4,76	9,1	9,1	0,066	0,051	0,117	2,604
2 Schläge mit dem kleinen Rührer.						
4,77	2,3					
4,78	3,7					
4,707 nach mehreren Minuten.						

Als am Schluß des Versuches zweimal gerührt wurde, fing das Thermometer fast viermal schneller zu steigen an. Auf den letzten Intervallen lastet also eine Verzögerung, weil nicht gerührt wurde.

Die Formel (1) gibt hier:

$$t_w = t_s + \frac{k_a}{K_E} (t_s - t_c)$$

$$= =$$

$$4,801 - \delta = 4,787 + \frac{0,01}{K_E} (4,787 - (-0,3)).$$

Auf dem benutzten Thermometer würde $-5,1^\circ$ nämlich an der Skalentabelle $-0,3$ liegen; δ ist der kleine Wert, um die der scheinbare Nullpunkt der direkten Bestimmung 4,801 von den wahren verschieden ist.

$$0,014 - \delta = \frac{0,05087}{K_E}$$

für $\delta = 0,001^\circ$ wird $K_E = 3,91$
 „ $\delta = 0,002^\circ$ „ $K_E = 424$
 „ $\delta = 0,003^\circ$ „ $K_E = 4,62$:

der wahrscheinlichste Wert,

$$,, \delta = 0,004^\circ \text{ wird } K_E = 5,087.$$

Es wird dann $t_w = 4,798$.

Es dürfte dies eine Bestätigung der Nernstschen Formel sein und eine Methode zur Bestimmung des Nullpunktes mittels des Kryoskops und des Registrierapparats ergeben. Man müßte den Maximalwert für K_E und annehmen, daß das Sinken von K_E ein scheinbares ist, wegen der mangelhaften Bewegung der

gefrierenden Flüssigkeit. Es ist auch nicht abzusehen, warum die Gesamtoberfläche des Eises so sehr abnehmen soll. Die Schmelzwärme des Eises ist bei $-0,65^{\circ}$, wo K_E ein Minimum aufweist, auch nicht viel kleiner: $80 - \frac{0,65}{2}$ nach Pettersson, statt 80. Es ist noch zu bemerken, daß die Geschwindigkeit der Temperaturänderung, nachdem K_E den Maximalwert erreicht hat, nicht länger gleichmäßig genug ist, als das erlaubt wäre, $\frac{dt}{dz}$ in der gefolgten Weise abzuleiten.

Ein zweites Beispiel der Bestimmung von K_E mit 50 ccm destilliertes Wasser, $k_a = 0,008$, sonst aber ganz wie beim soeben beschriebenen Versuch, ergab sehr viel geringen Wert für K_E . Die Impfung war nicht gut gelungen, ich hatte nämlich etwas nassen Hagelschnee in den Impfstutzen geschoben, der an der Oberfläche des nur $0,607^{\circ}$ unterkühlten Wassers schwimmen blieb.

Die Registration gelang gut, wie aus den geringen Unterschieden zwischen den beobachteten und registrierten Zeiten ersichtlich. Wir fanden als Maximalwert von K_E 1,7. Es ist kein Grund vorhanden, an der Richtigkeit dieses Ergebnisses zu zweifeln. In einem anderen, ähnlichen Fall gelang die Impfung noch weniger gut, und dauerte die latente Periode $10,9''$, der Maximalwert von K_E war nur 0,73.

Skalen- stelle	Zeit in Se- kunden, in der das Intervall durchlaufen wurde	Korrigierte Zeit: $\frac{z_1 + z_2 + z_3}{3} = z$	$\frac{dt}{dz}$ in Grad pro Minute aus der korrig. Zeit- best.	$k_a(t - t_c)$ wenn der Null- punkt an der Skalenstelle 4,00 angenommen wird. $t_c = -2,65^{\circ}$ $k_a = 0,008$	$K_E(t_w - t)$ beim näm- lichen Null- punkt	K_E
3,39						
3,40	6					
3,41	0,9					
3,42	1,55	1,30	0,462	0,0165	0,4785	0,819
3,43	1,45	1,43	0,420	0,0166	0,4366	0,761
3,44	1,3	1,32	0,455	0,0167	0,4717	0,835
3,45	1,2	1,23	0,486	0,0168	0,5028	0,906
3,46	1,2	1,17	0,515	0,0168	0,5310	0,976
3,47	1,1	1,17	0,515	0,0169	0,5319	0,995
3,48	1,2	1,15	0,522	0,0170	0,5398	1,027
3,49	1,15	1,08	0,555	0,0171	0,5721	1,110
3,50	0,9	1,00	0,600	0,0172	0,6172	1,221
3,51	0,95	1,02	0,588	0,0172	0,6052	1,222
3,52	1,2	1,02	0,588	0,0173	0,6053	1,250
3,53	0,9	1,10	0,545	0,0174	0,5624	1,182

Skalen- stelle	Zeit in Se- kunden, in der das Intervall durchlaufen wurde	Korrigierte Zeit: $\frac{z_1 + z_2 + z_3}{3} = z$	$\frac{dt}{dz}$ in Grad pro Minute aus der korrig. Zeit- best.	$k_a(t-t_c)$ wenn der Null- punkt an der Skalenstelle 4,00 angenommen wird. $t_c = -2,65^0$ $k_a = 0,008$	$K_E(t_s-t)$ beim näm- lichen Null- punkt	K_E
3,54	1,2	1,03	0,500	0,0175	0,5975	1,284
3,55	1,0	1,07	0,563	0,0176	0,5806	1,278
3,56	1,0	1,00	0,600	0,0176	0,6176	1,388
3,57	1,0	1,02	0,588	0,0177	0,6057	1,394
3,58	1,05	1,03	0,580	0,0178	0,5978	1,404
3,59	1,05	1,03	0,580	0,0179	0,5879	1,416
3,60	1,9	1,00	0,600	0,0180	0,6180	1,525
3,61	0,95	0,92	0,654	0,0180	0,6720	1,700
3,62	0,8	0,95	0,632	0,0181	0,6501	1,690
3,63	1,1	1,12	0,537	0,0182	0,5552	1,481
3,64	1,45	1,33	0,450	0,0183	0,4683	1,281
3,65	1,45	1,32	0,456	0,0184	0,4744	1,333
3,66	1,05	1,27	0,475	0,0184	0,4934	1,428
3,67	1,3	1,27	0,475	0,0185	0,4935	1,470
3,68	1,45	1,33	0,450	0,0186	0,4686	1,440
3,69	1,25	1,37	0,440	0,0187	0,4587	1,453
3,70	1,40	1,35	0,445	0,0188	0,4638	1,520
3,71	1,40	1,45	0,414	0,0188	0,4328	1,468
3,72	1,55	1,55	0,388	0,0189	0,4069	1,429
3,73	1,7	1,68	0,357	0,0190	0,3760	1,366
3,74	1,8	1,63	0,367	0,0191	0,3871	1,460
3,75	1,4	1,70	0,353	0,0292	0,3722	1,460
3,76	1,9	1,90	0,316	0,0192	0,3352	1,367
3,77	2,4	2,20	0,273	0,0193	0,2923	1,245
3,78	2,3	2,30	0,261	0,0194	0,2804	1,246
3,79	2,2	2,38	0,252	0,0195	0,2715	1,261
3,80	2,65	2,58	0,232	0,0196	0,2516	1,227
3,81	2,9	2,83	0,212	0,0196	0,2316	1,187
3,82	2,95	3,13	0,192	0,0197	0,2117	1,143
3,83	3,55	3,62	0,166	0,0198	0,1858	1,061
3,84	4,35	3,95	0,152	0,0199	0,1719	1,040
3,85	3,95	4,48	0,134	0,0200	0,1540	0,994
3,86	5,15	4,75	0,126	0,0200	0,1460	1,008
3,87	5,15	5,88	0,102	0,0201	0,1221	0,906
3,88	7,35	6,83	0,088	0,0202	0,1082	0,866
3,89	8	8,70	0,069	0,0203	0,0893	0,777
3,90	10,75	10,07	0,0596	0,0204	0,0800	0,762
3,91	11,45	12,17	0,0494	0,0204	0,0698	0,736
3,92	14,3	14,73	0,0407	0,0205	0,0612	0,720
3,93	18,45	19,02	0,0315	0,0206	0,0521	0,695
3,94	24,03	24,3	0,0246	0,0207	0,0453	0,697

Ein Schlag mit dem Rührer.

3,95 4,55

Ein Schlag mit dem Rührer.

3,96 5,85

3,97 13,4

3,985 nach mehreren Minuten = t_e

Für $K_E = 1,7$ kommt man auf $t_w = 3,997$,

„ $K_E = 1,6$ „ „ „ = 3,998,

 = 1,5 „ „ „ = 3,999.

Nachdem das Gefrierbad längere Zeit auf 3,905 gestanden hatte, wurde versucht, es durch Rühren auf 4,000 zu bringen. Je ein Schlag des kleinen Rührers pumpt 1,8 ccm Luft von Zimmertemperatur ins Gefrierrohr, weil beim Heben des Rührers der lange und nicht ganz dünne Fischbeinstiel aus dem Wasser gehoben wird, und das Niveau 8 mm sinkt (14,5 bis 13,7 cm, Durchmesser des Gefrierrohrs 24 mm). Nach 140 Schlägen war das Thermometer aber erst auf 3,990. Offenbar hatte sich so viel Eis gebildet, daß die Erwärmung durch Schmelzen größtenteils kompensiert wurde. Und, nachdem die Luft im Gefrierrohr auf Zimmertemperatur gekommen ist, führt jeder Schlag des Rührers weniger Wärme zu.

Drei Stunden vor der registrierten Beobachtung, bei $-3,1^{\circ}$ im Kühlbade, gefror die nämliche Portion aq. dest. spontan bei 2,6, stieg schnell bis 3,981, wurde dann durch 15 Schläge mit dem kleinen Rührer bis 4,000 erhitzt; nach 2' war das Thermometer auf 3,990 gesunken. In diesen 2' wäre die Temperatur, falls kein Eis sich im Gefrierbade befände, $0,048^{\circ}$ gesunken,

$$\left(\text{denn } 0,008 = \frac{1}{2} \log \frac{3100}{3052} \right).$$

Nach 5' 30" stand das Thermometer 3,989; ein Schlag mit dem Rührer brachte es nach 2' 30" auf 3,988, wo es 13' blieb, dann veranlaßten drei Schläge von dem Rührer ein Sinken bis 3,987, wo es 1 Stunde lang unverändert blieb.

Es wurde nun das Eis durch Ermärmen mit der Hand geschmolzen, dann wurde bis 3,5 unterkühlt, geimpft; sehr langsam stieg das Thermometer bis 3,980, dann wurde das Gefrierbad durch 24 Schläge mit dem Rührer schnell auf 4,000 gebracht; in 100" ging es auf 3,990 zurück, nach 280" auf 3,988.

Die Bestimmung des scheinbaren Nullpunkts.

Wieviel darf man rühren, um den richtigen scheinbaren Nullpunkt zu finden?

Versuch vom 13. März 1808. Ich wollte einen Schneefall benutzen zur Beantwortung der Frage, ob man beim Impfen mit Schnee genau den nämlichen Gefrierpunkt bekomme, wie beim Impfen mit künstlichem Eis, und außerdem eine möglichst genaue Bestimmung des wahren Nullpunkts machen.

Die Möglichkeit, daß mehrere dicht beieinander gelegene Schmelzpunkte vorliegen, ist beim Wasser nicht ganz ausgeschlossen, weil dasselbe in mehreren festen Formen auftritt.¹⁾ 9,3' 30" Kühlbad: — 3,43°, k_a des Dewar-Gefäßes 0,0125° pro Grad und pro Minute. Zimmertemperatur 12°.

9,5' 30" 50 ccm aq. dest. von 11,25° ins Gefrierbad in den Schnellkühler gestellt. Thermometer: P. T. R. 30496. 9,16'. Das Thermometer ist auf 5,000 (= 0,98° C, wie wir sehen werden). Ein paar Schläge mit dem kleinen Rührer.

9,10'. Das Thermometer ist auf 4,25 gekommen und

9,20' auf 3,605 und

9,22' auf 3,1. Kühlbad: — 3,37°. Das Gefrierbad wird in den Schnellkühler gestellt und bei 2,95 mit einem großen Stück, etwa 200 mg, „Hagelschnee“ geimpft.

Das Thermometer steigt viel zu schnell für Registration: ich würde K_E auf mindestens 14° pro Grad pro Minute abschätzen. Bei 4,000 werden zwei Schläge mit dem kleinen Rührer gemacht. Das Thermometer steigt auf 4,020.

Der Stiel des Rührers hatte viel Reibung mit den (zwei) Korkstopfen.

Wieder 3 Schläge mit dem kleinen Rührer, das Thermometer steigt auf 4,028, noch 2 Schläge: 4,030, noch 2: 4,032, noch 2: 4,033.

Es ist jetzt 9,27'. Um 9,28' fängt das Quecksilber zu sinken an: 1 Schlag: 4,031, 4,0305. Das Gefrierrohr wurde jetzt aus dem Dewar genommen: die ganze Oberfläche des Glases ist mit äußerst zahlreichen feinsten Eisnadeln bedeckt, auch das Thermometer, dies jedoch weniger als das Gefrierrohr selbst.

¹⁾ Bakhuis Roozeboom, Die heterogenen Gleichgewichte. 1901, 27.

Das Eis wird bei etwa 2° geschmolzen, 9,33 wird das Gefrierrohr wieder in den Schnellkühler gesetzt. 3 Schläge mit dem großen Rührer: Kühlbad $-3,38^{\circ}$.

9,41' nach Überbringung in den Dewar bei 2,95 mit einem Stückchen grobes Eis mit glatter Oberfläche, etwa 100 mg Kunsteis, geimpft.

Das Thermometer steigt schnell bis 4,0, 2 Schläge gerührt: 4,020, 3 Schläge: 4,025, 3 Schläge: 4,027, 3 Schläge: 4,029, sinkt auf 4,028, 3 Schläge: 4,029. Es ist jetzt 9,44'30". Wieder 3 Schläge: 4,030; sinkt 9,47' auf 4,0295; 3 Schläge, sinkt auf 4,029, 2 Schläge: 4,029: 9,48'20". Steigt ohne Rühren: 9,50' auf 4,030, fängt 9,51' zu sinken an: 4,0295. 9,54' 1 Schlag: 4,030. Dann 60 Schläge in 1': nicht höher als 4,033 zu bringen: bleibt bis 10,14 (nur ein Schlag um 10,10') auf diesem Punkt stehen. Um 10,14' wird das Gefrierrohr in 4 l frischen, schmelzenden Schnee gestellt, welcher in einem anderen Exemplar des Kryoskops aufbewahrt wurde. Stand um 11,5': 4,021, um 11,23': 4,021.

„Hagelschnee“ und Kunsteis ergaben (auch in anderen Versuchen) den nämlichen scheinbaren Gefrierpunkt, wenn gegen Ende des Steigens zwei Schläge mit dem kleinen Rührer gemacht wurden.

Es ist sehr schade, daß eine Bestimmung von K_E nicht geschehen ist. Für unmöglich darf ich eine Registration bei so schnellem Steigen nicht erklären; bei anderen Bestimmungen sind Werte von $K_E = 12$ als Maximalwert herausgekommen. Man muß dann das Passieren der $0,1^{\circ}$ -Striche registrieren; dieses Intervall wird in etwa 1" durchlaufen. Eine photographische Registrierung ist mir noch nicht gelungen.

Der scheinbare Nullpunkt dürfte bei 4,018 gelegen haben.

$$t_w = 4,020 = 4,018 + \frac{0,0125}{14} (3,37).$$

Man muß sehr vorsichtig sein mit dem Rühren, so viel ergibt sich doch wohl sicher aus den mitgeteilten Zahlen. Die zwei Schläge am Ende des Steigens dürften den scheinbaren Nullpunkt doch schon $0,003^{\circ}$ zu hoch gebracht haben.

Jetzt wird das Thermometer einen Moment unter dem Strahl der Wasserleitung gehalten und dann in das, in den Dewar gebrachte, Gefrierbad zurückgestellt. Es wird nicht ge-

rührt: die Trägheit des Thermometers ist darum nicht aus diesen Zahlen zu berechnen.

11,25'20": 5,000		11,28'30": 4,062
26'20": 4,590	Die Zahlen sind unsicher wegen Ver- wischung des Protokolls.	40": 4,059
50": 4,380		29'10": 4,050
27'10": 4,260		30' : 4,040
20": 4,220		34' : 4,034
40": 4,1		11,36' : 4,031
28'10": 4,075		

12 Uhr 2 Schläge mit dem kleinen Rührer: 4,030. Kühlbad — 3.
1,12' 2 " " " " " : 4,030.

Das Gefrierbad wird jetzt in den Schnee gebracht: Nach 4 $\frac{1}{2}$ Stunden wird das Thermometer wieder abgelesen: 4,020, abends um 8,32': 4,018.

Abends um 8,32' Temperatur des (ohne Watte-Einpackung usw. aufbewahrten) Kühlbades — 2,13°.

Ich möchte hier gleich das weitere Betragen dieses Thermometers am Abend desselben Tages und am nächsten Morgen mitteilen.

9 Uhr abends 13. März 1908 wird eine neue Portion von 50 ccm aq. dest. bei 3,02 mit Schnee geimpft: das Thermometer steigt langsam, ohne daß gerührt wird (außer dem einen Schlag beim Impfen) bis 4,030 (9,2'), 4,034 (9,3'), 4,037 (9,4'15"), 4,036 (9,7"), 4,037 (9,12'). Kühlbad — 2,13. Zimmertemperatur 10,83°. Der Nullpunkt hat sich verändert. 9,14': 1 Schlag mit dem Rührer, das Thermometer wird geklopft: 9,15': 4,039.

Ich stelle das Thermometer in den nassen Schnee: 4,040 (9,27'), sinkt aber bis 4,037, wenn dasselbe gehoben wird, so daß sein Gewicht die „Kugel“ nicht länger drückt.

14. März. Das Thermometer zeigt in dem Hagelschnee 4,039. 50 ccm aq. dest. bis 2,8 unterkühlt, gefrieren spontan, nur im Anfang des Steigens wurden ein paar Schläge mit dem Rührer gemacht; steigt bis 4,036, ist nach 1 Stunde 4,036: Klopfen bringt keine Veränderung, ebensowenig 2 Schläge mit dem Rührer.

Das Eis wird geschmolzen. Das nämliche Wasser wird

bei 3,39 mit dem Schnee geimpft ohne Rühren, nach sehr langer Zeit, $\frac{3}{4}$ Stunde ungefähr, wird 4,037 erreicht.

Ich bestimme den Nullpunkt jetzt zweimal: die erste Messung ist eine orientierende. Bei der zweiten wird etwas mehr als 1° unterkühlt (im Schnellkühler, beim Gefrierrohr mit kugligem Boden, damit nicht so leicht spontanes Gefrieren eintrete, was bei flachem Boden in dem Capillarraum zwischen Platinring des Rührers und Glas sonst leicht geschieht). Dann wird das Gefrierbad in den Dewar gebracht, und etwas gerührt, bis das Thermometer ganz langsam sinkt: etwa $0,012^\circ$ oder $0,016^\circ$ pro Minute bei Kühlbadtemperatur von $-2,5$ bzw. -3 . Die Temperatur wird notiert, der Rührer hochgehoben, der Ring mit einem Glasstab, der an Reif gerieben war, berührt und der Rührer gleich kräftig bis auf den Boden des Gefrierbades geführt. Die Temperatur an der Impfstelle ist bei meinem Apparat 2° oder etwas darunter, die Impfung gelingt fast immer beim ersten Versuch. Etwa 2 Minuten nach dem Impfen werden zwei Schläge mit dem Rührer gemacht: dann wird in wenigen Sekunden der Nullpunkt erreicht. Das Thermometer wird geklopft!

Jedenfalls muß bei den Gefrierpunktsbestimmungen der Lösungen und Körperflüssigkeiten in derselben Weise gerührt werden als beim Bestimmen des Nullpunkts. Dann wird in beiden Fällen der scheinbare Gleichgewichtspunkt in gleichem Maße heraufgerührt!

Praktische Regeln für die Kryoskopie.

Die Tatsache, daß man bei jeder kryoskopischen Messung immer nur den scheinbaren Gleichgewichtspunkt erhält, und daß an einer jemaligen Messung von K_E in der Praxis nicht zu denken ist, nötigt uns zu einigen Kautelen:

1. Damit K_E möglichst groß sei, unterkühle man so viel, als aus anderen Gründen (Korrektion wegen Zunahme der Konzentration durch die Eisbildung, Anwachsen von $t_s - t_c$) zulässig ist. Eine Unterkühlung von etwas mehr als 1° scheint mir die praktischste Lösung.

2. Damit K_E möglichst gleich sei bei den einzelnen Versuchen, verwende man nur solche, bei denen die Impfung gut gelungen, das Thermometer etwa in $2'$ seinen Stand t_c erreicht

hat. K_E hat dann ungefähr den Wert 4° pro Grad pro Minute. (Vgl. Fig. 2.)

3. Man Sorge, daß die Mischung von Eis und Kochsalzkrystallen im Eiskästchen häufig erneuert wird, damit die Temperatur an der Impfstelle möglichst niedrig sei.

4. Beim Impfen muß der kleine Rührer rasch auf den Boden des Gefrierbades gebracht werden, damit die Eiskeime möglichst in die unterkühlte Flüssigkeit zerstreut werden.

5. Man mache nicht mehr als zwei Schläge mit dem kleinen Rührer, am Ende des Steigens, etwa nach 1 bis $1\frac{1}{2}$ Minute, damit man den scheinbaren Gleichgewichtspunkt nicht erhöhe.

6. Man arbeite mit nicht zu kleinen Quantitäten Flüssigkeit, weil der Wasserwert von Thermometer und Gefrierrohr keineswegs zu vernachlässigen ist. Derselbe beträgt rund 10 g Calorien. Hat man also 20 ccm 1 % NaCl, deren spezifische Wärme wir auf 0,986 schätzen, auf $-1,6^\circ$ unterkühlt, so muß so viel Eis gebildet werden, daß nicht nur die 20 ccm selbst, sondern auch Thermometer und Gefrierrohr um etwas mehr als 1° erwärmt werden. Nimmt man für die latente Schmelzwärme des Eises in erster Annäherung 80, so wird sich durch die Eisbildung behufs Erwärmung der Flüssigkeit die Konzentration um $\frac{0,986}{80}$ erhöhen, die Gefrierpunktsdepression des Lösungsmittels also um $\frac{0,986}{80}$ zu groß gefunden werden. Wegen des Thermometers und des Gefrierrohrs ist dieses Korrektionsglied $1\frac{1}{2}$ mal größer. Bei 40 ccm Flüssigkeit ist er nur $1\frac{1}{4}$ mal so groß. Der Wasserwert des Thermometers und des Gefrierrohrs ist nicht so ganz genau zu bestimmen und ist auch nicht immer gleich. Die Temperatur im Luftkästchen ist nicht genau zu regulieren, so daß die oberen Teile des Gefrierrohrs bei den einzelnen Versuchen etwas ungleich warm sind.

Die Korrekturen.

Wenn wt_w und wt_s den wahren, bzw. den scheinbaren Gefrierpunkt des lufthaltigen destillierten Wassers bezeichnen, Lt_w und Lt_s die nämlichen Punkte für die untersuchte Lösung, abgesehen von der Erhöhung der Konzentration durch die Eisbildung, so erhält man durch Subtraktion der Gleichungen

$$w_{t_m} = w_{t_s} + \frac{k_a}{K_E} (w_{t_s} - t_c)$$

$$\text{und } L_{t_w} = L_{t_s} + \frac{k_a}{K_E} (L_{t_s} - t_c)$$

$$\Delta = w_{t_w} - L_{t_w} = w_{t_s} - L_{t_s} + \frac{k_a}{K_E} (w_{t_s} - L_{t_s}),$$

wenn K_E in beiden Versuchen gleich ist.

Für die meist vorkommenden Flüssigkeiten ist Δ unweit $0,6^\circ$, also wird das Korrektionsglied $\frac{0,008}{4} \times 0,6 = 0,0012^\circ$. Diese Korrektion fällt also unter den gegebenen Versuchsbedingungen aus; man ist doch nicht von $1/1000$ Grad sicher, wegen des Rührens.

Man kann bei den meisten Gefrierpunktsbestimmungen (unweit $0,6^\circ$), wenn man nur Wasser und Lösung ganz gleich behandelt, die scheinbaren Gefrierpunkte anstatt der wahren nehmen. Das Thermometer muß aber gleich schnell gestiegen sein, die Temperatur des Kühlbades muß konstant sein, und es muß gleich unterkühlt sein.

Eine zweite Korrektion, welche bei diesen Gefrierpunktsbestimmungen nicht angebracht zu werden braucht, ist die für die Eisbildung wegen der abkühlenden Wirkung des Kühlbades während des Gefrierens. Hier schützt das Dewargefäß.

Bei $K_E = 4$ und Unterkühlung auf etwas mehr als $-1,6^\circ$ ist die mittlere Temperatur während der ersten 15" nach dem Passieren von $-1,6^\circ$: $-1,284^\circ$ (die $-t' = e^{-K_E t}$ -Kurve schneidet die Horizontale $\left[t_w - \frac{1}{e}\right]$ nach $\frac{1}{K_E}$ Minuten, also hier nach 15"), während der nächsten 15": $-0,854^\circ$, dann 15" lang: $-0,695^\circ$, für den Rest $-0,625^\circ$. Die Abkühlung würde, wenn keine Eisbildung stattfände und bei $k_a = 0,008^\circ$ und $t_c = -2,5^\circ$ $0,028^\circ$ betragen in den 2°, welche der Versuch dauert. Die Eisbildung ist also auf $(1 + \delta + 0,028^\circ)$ zu berechnen, statt auf die Unterkühlung $(1 + \delta)^\circ$.

Man kann nicht impfen, ohne den Kork des Impfstutzens zu lösen und etwas warme Luft ins Gefrierrohr eintreten zu lassen.

Man meine nicht, daß der Stand des Thermometers gleich vor dem Impfen die wahre Impftemperatur angibt. Wenn der

erste Impfversuch mißlingt, stellt sich immer heraus, daß die Temperatur des Gefrierbades etwas gestiegen ist, und diese Steigung ist von der Ordnung $0,028^{\circ}$.

Die Beckmannsche Korrektur für die Erhöhung der Konzentration durch die Eisbildung muß aber stets angebracht werden. Unterkühlt man Wasser 1° , so bildet sich $\frac{1}{80}$ seines Gewichts an Eis während des Gefrierens. Unterkühlt man eine wässrige Lösung von einer spezifischen Wärme $= 0,986$ bis $-1,6^{\circ}$, und steigt das Thermometer beim Gefrieren auf $-0,6^{\circ}$, so ist die Quantität Eis nicht genau $\frac{0,986}{80}$ des Gewichts des in der Flüssigkeit enthaltenen Wassers, sondern man muß bedenken, daß die Schmelzwärme des Eises bei $-t^{\circ} = 80 - \frac{t}{1}$ Calorien ist (Pettersson, zitiert nach Chwolson, Lehrb. d. Physik, 3, 617, 1905).

Bei einer Unterkühlung auf $-1,6^{\circ}$ bildet sich das Eis zwischen $-1,6$ und $-1,5$ im Mittel bei $-1,55^{\circ}$, also Schmelzwärme $79,225$, so daß $\frac{1}{79,255}$ des Wassers ausfriert. Zwischen $-1,6$ und $-0,6^{\circ}$ friert $\frac{1}{79,45}$ aus. Wäre der Wasserwert von Thermometer und Gefrierrohr zu vernachlässigen, so müßte man jede ermittelte Gefrierpunktserniedrigung um $\frac{1}{79,45}$ vermindern. Der Wasserwert eines Beckmann-Thermometers ist $3,22$ g-Calorien: Volum der Kugel: 3 ccm, Volum des Schutzrohrs darf auf 4 ccm angeschlagen werden: also $7 \times 0,46 = 3,22$ g-Calorien. Mein Gefrierrohr ist ziemlich dickwandig: bei 50 ccm Füllung ist das Volum der Glaswand 14 ccm. So kommt man auf einen Gesamtwasserwert von $9,66$ g-C. bei 50 ccm Füllung. Bei 40 ccm kommt man auf 8 g-C., also auf $\frac{1}{5}$ des Wasserwerts der Füllung.

Bei 40 ccm Gefrierbad friert also zwischen $-1,6$ und $-0,6^{\circ}$ $\frac{1,2}{79,45}$ aus, bei 50 ccm $\frac{1,193}{79,45}$. In beiden Fällen ist die Korrektur $0,009^{\circ}$ anzubringen bei $\Delta = 0,600$, denn man hat im ersten Fall das Ergebnis durch $66,21$ zu dividieren, im zweiten Fall durch $66,60$.

Der wahre Gefrierpunkt: $\Delta \left(1 - \frac{1}{66,2}\right)$ bzw. $\Delta \left(1 - \frac{1}{66,6}\right)$
 (wo $\Delta = t_s - t_f$) ist also um $0,002^\circ$ unsicher zu bestimmen:
 wegen des Rührens. Für die Praxis dürfte dies genügen.

Das Kühlbad arbeitet mehrere Stunden. Bei Serienbestimmungen kann man sich viel Zeit ersparen, wenn man die Flüssigkeiten im Eisschrank vorkühlt. Am Anfang und am Schluß muß man immer den Nullpunkt bestimmen. Eine Messung nimmt etwa 7' in Anspruch.

Zusammenfassung: Findet man in der beschriebenen Weise den Gefrierpunkt von 40 bis 50 ccm Milch oder Blutserum bei $-0,560^\circ$, so ist dies ein scheinbarer Gefrierpunkt, weil die Flüssigkeit durch die Eisbildung bei 1° Unterkühlung konzentrierter geworden ist; der wahre Gefrierpunkt war $\frac{1}{66,9}$ höher: $-0,552^\circ$, und die Möglichkeit liegt vor, daß dieser durch die zwei Schläge mit dem kleinen Rührer am Ende des Steigens noch um $0,002^\circ$ zu hoch getrieben wurde, so daß faktisch $-0,554^\circ$ die genaue Zahl wäre.

Es ist mir eine angenehme Pflicht, Herrn Prof. Wind in Utrecht meinen besten Dank für seinen Rat bei der Behandlung des theoretischen Teiles der Aufgabe auszusprechen.

Eine Methode graphischer Registrierung einiger Gärungsvorgänge.

Von

Carlo Foà

Privatdozent und Assistent.

(Kgl. Physiologisches Institut zu Turin unter Leitung von Prof. A. Mosso.)

Mit 9 Figuren im Text.

Um die Geschwindigkeit und den Verlauf der katalytischen und fermentativen Reaktionen zu erforschen, pflegt man im allgemeinen, nach Entnahme der Proben in mehr oder weniger langen Zeitintervallen eines oder mehrere Produkte der Reaktion quantitativ zu bestimmen; auf diese Weise kann man die Konstante der Geschwindigkeit ermitteln, den Einfluß der Konzentration des Substrats, des Enzyms, der Produkte der Reaktion selbst usw. Vermittels dieser Methode hat man z. B. die Wasserstoffsuperoxydkatalyse durch kolloidale Metalle oder organische Katalasen studiert, die Invertierung der Saccharose durch Säuren oder Invertin, die Emulsin-Amygdalin- und die Maltosewirkung usw. Den Verlauf einiger speziellen Reaktionen konnte man vermittels physikalisch-chemischer Methoden untersuchen, welche eine Entnahme von Proben nicht erfordern und den ungestörten Fortgang der Reaktion gestatten. So z. B. wurde die Wirkung des Trypsins auf Gelatine von V. Henri, Larguiers des Barcels und Bayliss durch die Leitfähigkeitsmethode und die Pepsinverdauung der Eiweißstoffe vermittels der viscosimetrischen Methode untersucht. Im allgemeinen jedoch erweist es sich als nicht möglich, einen Fermentprozeß in seinem vollständigen Verlauf, d. h. ununterbrochen, zu verfolgen; es werden vielmehr nur einige seiner Momente analysiert, was in der Mehrzahl der Fälle die Gesamtanalyse der Erscheinung nicht beeinträchtigt.

Es gibt aber einige katalytische Vorgänge oder Gärungsprozesse, bei denen es sich als in hohem Grade schwierig herausstellt, die Komponenten der Reaktion selbst quantitativ zu bestimmen oder die sich bildenden Mischungen, sei es nun, daß es an passenden analytischen Methoden fehlt, oder daß es nicht gelingt, dem Gemisch Proben zu entnehmen, ohne den Verlauf der Reaktion zu ändern. So z. B. ist es sehr schwer, die Wirkung einer Oxydase auf das Hydrochinon oder auf das Tyrosin zu verfolgen, weil weder diese Körper noch die durch ihre Oxydation entstehenden quantitativ genau bestimmt werden können. Allerdings hat man verschiedene Methoden angewendet, um die Einwirkung der Oxydasen quantitativ zu bestimmen, aber keine von ihnen ist unbedingt genau. So hat Slowtsoff¹⁾ die Oxydation des Röhmannschen Reagens unter Einwirkung der Lakkase mittels einer colorimetrischen Methode studiert; letztere kann aber, wenn sie vielleicht auch in bezug auf das von diesem Autor untersuchte Reagens von Wert ist, in vielen anderen Fällen unbrauchbar sein. Wir wissen ja nicht, ob die Farbenveränderung dem Grade der Oxydation proportional verläuft; dagegen wissen wir, daß viele Substanzen, z. B. das Guajakharz, eine Färbung annehmen, die allmählich bis zu einem gewissen Grade der Oxydation immer intensiver wird, um bei weiterer Oxydation sich wieder zu entfärben.

Aus diesem Grunde sind die Untersuchungen von Laborde²⁾ nicht genau, der die Oxydation des Guajakharzes mittels der colorimetrischen Methode verfolgt hat. Medweden³⁾ studierte die Einwirkung der Aldehydase auf den Salicylaldehyd, wobei es die Mengen der gebildeten Salicylsäure colorimetrisch bestimmte; diese Methode läßt sich aber nur bei dieser speziellen Oxydase anwenden.

¹⁾ Slowtsoff, Zur Kenntnis der pflanzlichen Oxydasen. Zeitschr. f. physiol. Chem. 31, 227, 1900—1901.

²⁾ Laborde, Oxydase de Botritis cinerea. C. R. Acc. Scien. 126, 1898, 536.

³⁾ Medweden, Über die Oxydationskraft der Gewebe. Pflügers Archiv 65, 249, 1897. — Ders., Über die oxydativen Leistungen der tierischen Gewebe. — Ders., Pflügers Archiv 74, 193. — Ders., Pflügers Archiv 81, 540. — Ders., Pflügers Archiv 183, 1405.

O. v. Fürth und E. Jerusalem¹⁾ untersuchten die Wirkung der Tyrosinase der Pilze auf das Tyrosin nach zwei Methoden. Durch die Sedimentierungsmethode bestimmten sie das Volum des dunklen Niederschlages von oxydiertem Tyrosin, indem sie die Mischung in graduierten Röhren zentrifugierten; durch die spektrophotometrische Methode bestimmten sie den Extinktionskoeffizienten des Gemisches bei verschiedenen Graden der Oxydation.

Die Autoren weisen darauf hin, daß die Fällung der oxydierten Substanz nicht immer vollständig ist, daß man sie aber leicht erhält, wenn man das Gemisch mit Calciumchlorid kocht. Nun scheint mir aber, wenn der Niederschlag sich bei einem gewissen Grad der Oxydation bildet, während die Flüssigkeit bei einer geringeren Oxydation nur eine braune Färbung annimmt, ohne daß sich ein Niederschlag bildet, es sei die Annahme gestattet, das das Kochen mit Calciumchlorid, wenn es die Fällung vervollständigt, auch den Zustand der in der Umbildung begriffenen Substanz verändert und die Oxydation weiter vorgeschritten erscheinen läßt, als sie es in Wirklichkeit ist. Hinsichtlich der spektrophotometrischen Methode sagen v. Fürth u. Jerusalem selbst, sie könne nur relative Werte ergeben, da keine Melaninlösung von bekannter Konzentration vorhanden sei, die zum Vergleich dienen könne. Meines Erachtens aber ist außer diesem Übelstande noch folgendes in Erwägung zu ziehen: Wenn die Oxydation einen solchen Grad erreicht hat, daß ein Teil der oxydierten Substanz sich in Lösung befindet, während sich auch ein Niederschlag gebildet hat, so wird es nicht anders möglich sein, als den präzipitierten Teil bei der Bestimmung des Extinktionskoeffizienten zu vernachlässigen.

Genauer ist die von Bach und Chodat²⁾ angewandte Methode. Sie titrierten das bei der Oxydation des Jodkaliums frei gewordene Jod; diese Methode ist aber nur bei den Oxydasen anwendbar, die auf Jodkalium einwirken.

¹⁾ O. v. Fürth u. E. Jerusalem, Zur Kenntnis der melanotischen Pigmente und der fermentativen Malaninbildung. Beiträge z. chem. Physiol. u. Pathol. 1907, 131.

²⁾ Bach und Chodat, Ber. d. Deutsch. chem. Ges. 35, 1902; 36, 1903; 37, 1904; 38, 1905; 39, 1906; 40, 1907.

Bach und Chodat suchten auch das Gewicht des Purpurgallins zu bestimmen, das bei der Oxydation des Pyrogallols entsteht; aber diese Methode kann ebensowenig wie die von v. Fürth und Jerusalem beim Tyrosin verwendete eine streng genaue sein, und zwar aus den schon früher in bezug auf die letzte angeführten Gründe. Kastle und Shedd¹⁾ bestimmten quantitativ das aus der Oxydation des Phenolphthalins stammende Phenolphthalein, aber v. Czylarz und v. Fürth²⁾ bemerken, daß, obgleich das Phenolphthalein spektrophotometrisch wohl quantitativ bestimmt werden könne, so sei diese Methode nicht genau, weil die farblose alkalische Lösung des Phenolphthalins sich leicht an der Luft auch ohne Anwesenheit irgend eines Ferments oxydiere. v. Czylarz und v. Fürth (loc. cit.) wählten zur quantitativen Erforschung der Wirkung der Peroxydasen die Leukobase des Malachitgrüns, das sich bei der Oxydation in Malachitgrün verwandelt und sich im Spektrophotometer leicht quantitativ bestimmen läßt. Unter allen vorgeschlagenen Methoden ist diese vielleicht die genaueste; wir dürfen aber nicht vergessen, daß die Oxydasen und Peroxydasen zu den nicht streng spezifischen Fermenten gehören, die ihre Wirkung bei einer großen Zahl von Körpern, sei es derselben, sei es verschiedener chemischer Gruppen entfalten. Deshalb genügt es nicht, an einem dieser Körper die Reaktion zu studieren, um dann die Resultate ohne weiteres auf alle anderen zu übertragen, und es war wünschenswert, eine beim Studium jeder beliebigen Oxydasewirkung anwendbare Methode zu finden. Eine derartige Methode könnte nur auf derjenigen Grundlage aufgebaut werden, die allen diesen Reaktionen gemeinsam ist, nämlich auf der Fixierung eines Teiles des atmosphärischen Sauerstoffs. Mir schien es indessen nicht unnütz, nachzuforschen, ob es nicht möglich wäre, diese Absorption von Sauerstoff quantitativ und fortlaufend zu bestimmen, indem ich den Grad der Druckverminderung feststellte, der in einem geschlossenen Gefäß eintritt, in welchem die Oxydation erfolgt, und diese Verminderung des Druckes

¹⁾ Kastle und Shedd, Phenolphthalin as a reagent for the oxydising ferments. Amer. Chem. Journal 26, 26, 1901.

²⁾ v. Czylarz und v. Fürth, Über tierische Peroxydasen. Beiträge z. chem. Physiol. u. Pathol. 10, 359, 1907.

während der ganzen Reaktion graphisch registrierte. Die Untersuchung chemischer Reaktionen vermittels graphischer Methoden ist nichts Neues; viele mit periodischem Charakter eintretende Reaktionen sind nach der Methode der graphischen Registrierung studiert worden, wobei je nach Beschaffenheit der Fälle verschiedene Hilfsmittel angewendet worden sind.

So fand Ostwald¹⁾, daß die bei Auflösung des Chroms in Säuren stattfindende Entwicklung von Wasserstoff in Perioden auftritt, und es gelang ihm mit Hilfe einer Mareyschen Formel, die Schwankungen des Druckes zu verzeichnen, die in dem geschlossenen Gefäß eintreten, in welchem das Gas sich periodisch entwickelt. Vermittels einer der Ostwaldschen sehr ähnlichen Methode registrierten Bredig und seine Mitarbeiter²⁾ graphisch den Verlauf der Spaltung des Wasserstoffsuperoxyds über metallischem Quecksilber. Die Sauerstoffentwicklung vollzieht sich periodisch, weshalb Bredig dieser Erscheinung den Namen „pulsierende Katalyse“ beilegte und mittels einer Huertleschen Formel die Druckschwankungen registrierte, die in dem geschlossenen Gefäß eintreten, in welchem der Sauerstoff sich mit pulsierendem Charakter entwickelte; er erhielt Kurven, die sehr an die Sphygmogramme der Physiologen erinnerten.

Küster³⁾ erhielt Kurven von Schwankungen der Intensität des Stromes während der Elektrolyse der Polysulfiden, Thile und Windeschmidt⁴⁾ Kurven der bei der Elektrolyse von Nickelsalzen eintretenden Schwankungen.

H. Schulz⁵⁾ untersuchte vermittels der graphischen Methode die alkoholische Gärung. Das bei der Reaktion sich ent-

¹⁾ W. Ostwald, Periodische Erscheinungen bei der Auflösung des Chroms in Säuren. Zeitschr. f. physikal. Chem. 35, 33 u. 204. — Vgl. auch E. Braner. Zeitschr. f. physikal. Chem. 38, 441.

²⁾ Bredig und Weinmayr, Eine periodische Kontaktkatalyse. Werk d. Naturhist. Med. Vereins zu Heidelberg. Jahrg. 7 u. 8. — Ernst Wilke, Periodische Erscheinungen bei der Quecksilberkatalyse des Wasserstoffsuperoxyds. Inaug.-Diss. Heidelberg 1904.

³⁾ Küster, Zeitschr. f. Elektrochem. 8, 496.

⁴⁾ Thile und Windeschmidt, Periodische Erscheinungen bei der Elektrolyse von Nickelsalzen. Zeitschr. f. Elektrochem. 13, 317, 1907.

⁵⁾ H. Schulz, Ein Apparat zur graphischen Darstellung von Gärungsvorgängen. Pflügers Archiv 120, 51.

wickelnde Kohlensäureanhydrid häuft sich in dem geschlossenen Gefäß an, bis es einen durch ein besonderes Ventil bestimmten Druck erreicht hat, und dann erfolgt zugleich die Registrierung und das Entweichen des Gases; eine neue Registrierung findet nur dann statt, wenn das Kohlensäureanhydrid wieder jenen bestimmten Druck erreicht hat. Auf diese Weise war es dem Autor möglich, den Verlauf der Reaktion nicht fortwährend, sondern periodisch zu registrieren.

Untersuchungsmethode. In allen bis jetzt vermittelst der graphischen Methode untersuchten Fällen fand die Reaktion unter Entwicklung eines Gases statt, das einen bestimmten Druck erzeugen und registrierende Apparate in Bewegung setzen konnte. Die von uns noch zu beschreibende Methode eignet sich auch für das Studium solcher Reaktionen, außerdem aber für die Untersuchung der Einwirkung der Oxydasen, wo statt Gasentwicklung Absorption von Gas und mithin Abnahme des Druckes in dem geschlossenen Gefäß erfolgt, in welchem die Oxydation stattfindet.

Die Methode besteht in folgendem:

Das Gefäß hat an seinem oberen Teile vier Öffnungen *a*, *b*, *c*, *d*, die durch durchlöcherten Gummistopfen verschlossen werden. Durch die Öffnung *a* geht eine Glasröhre mit einem Hahn, die dazu bestimmt ist, den Sauerstoff in den Apparat zu leiten. Durch die Öffnung *b* geht eine Glasröhre, die an ihrem oberen Ende durch einen Glashahn geschlossen ist; über diesem ist die Röhre trichterförmig erweitert. Durch die Öffnung *c* geht eine weite Glasröhre, die bis auf den Boden des Gefäßes reicht. Durch diese geht ein Glasstab, der unten frei in die Flüssigkeit ragt und oben an einem Glasstopfen, der die Glasröhre schließt, befestigt ist. Am unteren Ende des Stabes sind einige quergerichtete Glasvorsprünge angebracht, die dazu dienen sollen, die Flüssigkeit im Gefäß 1 in Bewegung zu versetzen, wenn der obere Glasstopfen gedreht wird. Durch die Öffnung *d* geht eine Glasröhre, die das Gefäß 1 mit dem Gefäß 2 in Verbindung setzt; letzteres hat oben drei Öffnungen *e*, *f* und *g*. Durch eine Glasröhre, die durch die Öffnung *f* geht, kann der Sauerstoff austreten; durch die Öffnung *g* geht eine Glasröhre, die bis zum Boden des Gefäßes 2 reicht. Letzteres ist zur Hälfte mit Wasser gefüllt, auf dem eine Schicht von

Vaselinöl schwimmt, um die Gasabsorption seitens des Wassers und die Verdunstung des letzteren zu verhindern. Die beiden miteinander verbundenen Gefäße werden in einen Thermostaten gebracht, dessen Wasser bei der Temperatur, bei der die Reaktion eintreten soll, erhalten wird; sie werden bis zu dem durch die Linie *l* bezeichneten Niveau hineingebracht. Die beiden Hähne *m* und *n* werden offen gelassen, damit die Luft bei der

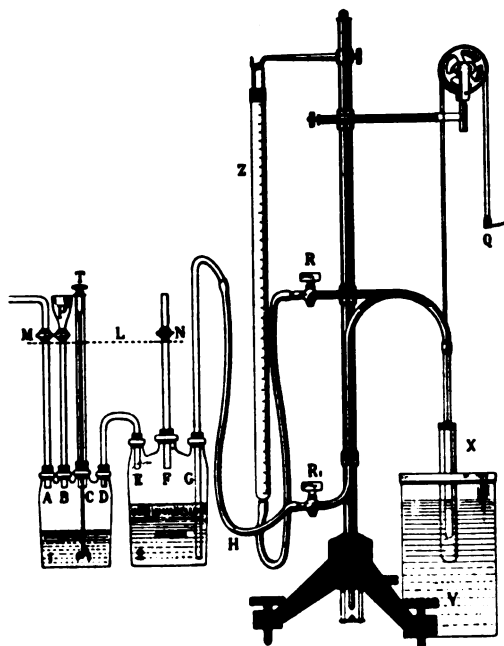


Fig. 1.

Erwärmung austreten kann. Hierauf gießt man in den Trichter *p* die zu oxydierende Lösung und diejenige des Fermentes, wobei der Hahn *m* offen bleibt. Dann hebt man den Stopfen *t*, dreht ihn nach rechts und nach links, so daß die hineingegossene Flüssigkeit tüchtig durchgerührt wird, und verschließt den Stopfen wieder. Die Hähne und der Stopfen sind sorgfältig abgeschliffen und mit Fett luftdicht beschmiert. Will man, daß die Reaktion in einer Atmosphäre von reinem Sauerstoff eintritt, so läßt man das Gas durch die Röhre *a* einströmen und durch die Röhre *f* entweichen. Wenn das ganze System mit

Sauerstoff gefüllt ist, was nach Hindurchgehen von 25 Litern der Fall ist, so müssen die Hähne *m* und *n* geschlossen werden.

Es bleibt nur noch übrig, die Gefäße mit dem Registrierapparat in Verbindung zu setzen. Wir wollen die im Innern des Apparates eintretende Abnahme des Volums registrieren, müssen dies aber so durchführen, daß die Abnahme des Druckes gleichzeitig kompensiert wird, damit nicht eine fortschreitende Druckverminderung des Sauerstoffs den Verlauf der Oxydation ändert. Zur Erreichung dieses doppelten Zieles eignet sich vortrefflich der Mossosche Plethysmograph, der, während er die Änderungen des Volums registriert, den Druck im Innern des Systems konstant erhält, indem er den Ein- oder Austritt von Wasser aus dem Gefäß 2 verursacht. Hinsichtlich der Beschreibung des Plethysmographen verweisen wir den Leser auf die wohlbekannten Arbeiten von Mosso; wir wollen nun sehen, wie er in unserem Falle funktioniert. Wenn man eine Absorption von Sauerstoff und folglich eine Volumverminderung im System verursacht, so wird Wasser aus dem Plethysmographen in das Gefäß 2 eintreten, und während die Feder sich senkt, wird der atmosphärische Druck im System wiederhergestellt werden. Der Pletysmograph registriert und korrigiert also zu gleicher Zeit jede minimale Änderung des Druckes, die in den beiden Gefäßen eintritt. Um das Wasser des Gefäßes 2 mit dem des Plethysmographen in ununterbrochenen Zusammenhang zu bringen, genügt es, den Sauerstoff unter Druck aus der Röhre *a* eintreten zu lassen, während man den Hahn *m* geöffnet und den Hahn *n* geschlossen hält.

Das Wasser des Gefäßes 2 wird alsdann in der Röhre *g* aufsteigen; wenn diese voll ist, hört man auf, Sauerstoff zuleiten, und schließt den Hahn *m*. Auch füllt man mit Wasser das Gummirohr *h* des Plethysmographen, wobei der Hahn *z* geschlossen, der Hahn *r* offen bleibt und die mit Wasser gefüllte Bürette *z* in die Höhe hebt. Dann öffnet man den Hahn *z*, worauf die beiden Gefäße mit dem Plethysmographen in Verbindung stehen. Das Reagensglas *x* des letzteren und mithin auch die Feder *q* werden eine bestimmte Lage annehmen, und zwar dieselbe Lage wie zu Anfang. Während des Experimentes wird sich die Feder senken und es wird Absorption vom Sauerstoff stattfinden; die Feder wird

steigen, wenn Ausströmung von Gas im Gefäß 1 erfolgt. Wenn dagegen statt des Sauerstoffs die Anwesenheit von Luft genügte, so wären die Operationen selbstverständlich sehr vereinfacht; man muß aber damit rechnen, daß in diesem Falle, wenn der Gesamtdruck im System durch den Plethysmographen unverändert bleibt, der Partialdruck des Sauerstoffs dagegen, da es sich um eine Oxydation handelt, abnehmen wird.

Es ist auch absolut notwendig, die Flüssigkeit im Gefäß 2 und den Alkohol im Gefäß V auf demselben Niveau zu halten, da eine Ungleichheit im Niveau das Gas in den Gefäßen 1 und 2 komprimieren oder dessen Druck vermindern würde. Damit keine bedeutenden Schwankungen im Niveau der Flüssigkeit im Gefäß 2 stattfinden, wenn das Wasser des Plethysmographen aus- oder eintritt, wird es einen ziemlich weiten Durchschnitt haben müssen. Für die Erklärung der Kurve, d. h. um für jeden einzelnen Punkt der Kurve die Menge des absorbierten Sauerstoffs bestimmen zu können, ist es nötig, den Apparat zu eichen, d. h. das Volum des in das Reagensglas eingeströmten Wassers, welches eine gewisse Erhöhung der Feder bewirkt, zu bestimmen. Ich habe ein für allemal bei meinem Apparat bestimmt, daß der Ein- oder Austritt von 10 ccm Wasser aus dem Reagensglas ein Sinken resp. eine Erhebung der Feder von 56 mm verursacht.

Da nun die Oxydation ziemlich langsam verläuft, so muß natürlich die Registriertrommel sehr langsam rotieren. Die von mir verwendete Trommel hatte 64 cm im Umkreis und machte in 24 Stunden eine vollständige Umdrehung. Eine Strecke von 2,25 cm entspricht also einer Stunde.

Da Veränderungen des Volums einer gashaltigen Atmosphäre zu registrieren sind; so ist es von der größten Wichtigkeit, daß keine Veränderungen der Temperatur und des atmosphärischen Druckes eintreten. Unser Apparat kann in der Tat als Thermograph oder Luftdruckmesser fungieren. Deshalb muß er in Tätigkeit treten, wenn der barometrische Druck konstant ist; auch muß die Temperatur des Thermostaten auf konstanter Höhe erhalten werden. Um dieses zweite Ziel zu erreichen, umwickelte ich nicht nur den Thermostaten mit sehr dichtem Filz und unterhielt eine konstante und regelmäßige Durchrührung des Wassers mittelst eines Schaufelrades, das

durch einen kleinen elektrischen Motor bewegt wurde, sondern ich mußte auch einen außerordentlich empfindlichen Wärmeregulator verwenden.

Vermittels der gewöhnlichen Ostwaldschen Wärmeregulatoren mit Toluoldämpfen erreicht man im allgemeinen, daß

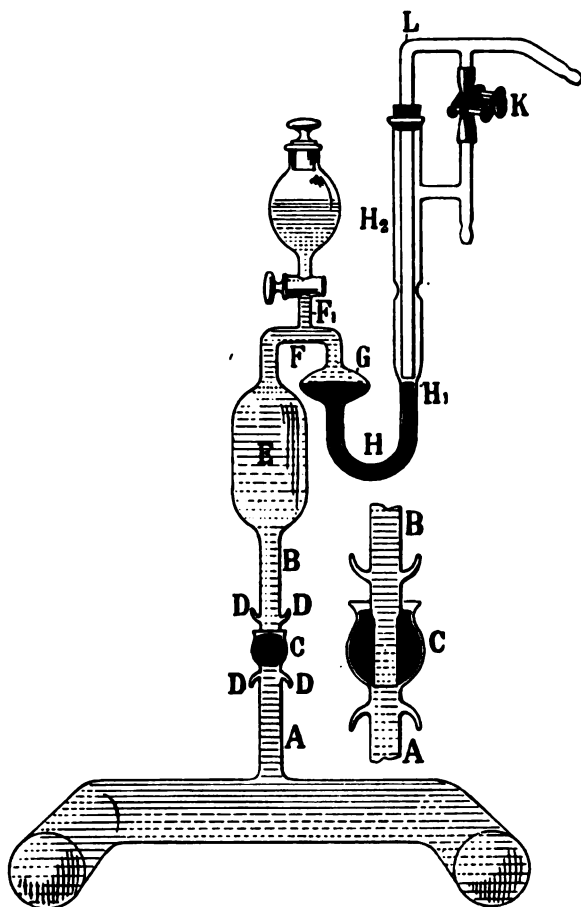


Fig. 2.

die Temperatur nur Schwankungen von Dezigraden erfährt, aber diese Schwankungen hätte mein Apparat noch zu deutlich wahrgenommen, und sie hätten sich durch ziemlich weite Schwankungen der Kurve kundgegeben. Deshalb mußte ich eine größere Beständigkeit dadurch erreichen, daß ich einigen Übelständen abhalf, die der Ostwaldsche Wärmeregulator zeigt.

Deshalb ließ ich einen Regulator konstruieren nach dem von Kenzo Suto ersonnenen Typus. Dieser Autor hatte beobachtet, daß die Dampfregulatoren zu empfindlich gegen Änderungen des atmosphärischen Druckes sind. Ich wollte einen Flüssigkeitsregulator verwenden und wählte das Petroleum als die Flüssigkeit, welche gleichzeitig einen großen Ausdehnungskoeffizienten und eine geringe spezifische Wärme hat. Der Wärmeregulator, den ich konstruieren ließ (Fig. 2), besteht aus einer sehr breiten, umfassenden, wagerechten Grundlage horizontaler Basis, die durch eine hufeisenförmige Röhre gebildet wird, deren drei Seiten eine Länge von 20 cm und einen inneren Durchmesser von 4 cm haben. Aus dem mittleren Schenkel steigt senkrecht eine Röhre *a* empor, die mit der Röhre *b* luftdicht verbunden ist. Um die Verbindung der beiden Röhren zu sichern und um zu verhüten, daß das Wasser des Thermostaten eindringt, ist die Verbindungsstelle mit einer Quecksilberschicht umgeben; außerdem kann ein Gummiband an den Haken *d* befestigt werden. Die Röhre *b* trägt eine Erweiterung *c*, die einen inneren Durchmesser von 5 cm hat und 10 cm hoch ist; über die Erweiterung biegt sich die Röhre. An der Biegung zweigt sich vertikal eine Röhre *ab*, die durch einen Hahn *f* geschlossen wird; oberhalb des letzteren erweitert sie sich trichterförmig und kann an dieser Stelle durch einen Glasstopfen verschlossen werden. Die Röhre *f* erweitert sich zu einem Querdurchmesser von 4 cm mit einem Längendurchmesser von $1\frac{1}{2}$ cm. Diese Erweiterung ist zur Aufnahme des Quecksilbers bestimmt, das in der Röhre *h* enthalten ist, wenn bei Erlöschen der Flamme des Thermostaten das Quecksilber nach dem inneren des Regulators fließen sollte. Die Röhre *h* wird bei *h* capillar, erweitert sich wieder und bildet die Röhre *k*, die an einer Stelle, um Verschiebungen der Röhre *l*, durch die das Gas eindringt, zu verhindern, verjüngt ist. Der Zweck der Verbindung *a—b* besteht darin, den Umtausch des das Petroleum enthaltenden Gefäßes *a* zu ermöglichen, so daß letzteres entsprechend der Form des Thermostaten durch ein anderes ersetzt werden kann. Die Erweiterung *e* ist angebracht, damit der Apparat die Temperatur der hoch gelegenen Stellen des Thermostaten annimmt. Die Röhre *e* reicht bis zur Öffnung der Capillare *h*; sie hat unten eine Öffnung von

2 mm Durchmesser, die horizontal wagerecht, nicht flotenartig geformt ist. Um den Apparat mit Petroleum zu füllen, gießt man es zuerst in die Röhre *a*; dann nimmt man den oberen Teil des Regulators, hält ihn etwas geneigt und füllt die Erweiterung *e*, indem man eine geeignete, mit Petroleum gefüllte Pipette bis zum Hahn *f* einführt. Auf diese Weise führt man das Petroleum in die Erweiterung *g* ein, in die man schon vorher durch salpetersaures Quecksilber wohl gereinigtes Quecksilber gebracht hat. Wenn der ganze Apparat gut gefüllt ist und in den Thermostaten gebracht wird, dehnt sich das Petroleum aus und sammelt sich im Trichter *h*; wenn die gewünschte Temperatur erreicht ist, schließt man den Hahn *f* und stellt die kleinste erforderliche Flamme ein, indem man den Schraubenklemmer *k* richtig stellt.

Mit diesem Wärmeregulator ist es mir gelungen, die Temperatur des Bades konstant zu erhalten, die höchstens um $0,02^{\circ}$ bis $0,03^{\circ}$ innerhalb 24 Stunden schwankt und sich mehrere Wochen lang unverändert erhielt. Indem ich den Apparat für die graphische Registrierung auf die schon beschriebene Weise einrichtete, selbstverständlich ohne etwas in das Gefäß zu bringen (Fig. 3), erhielt ich eine horizontale Linie, die sich 12 Tage hintereinander so erhielt, abgesehen von einigen unmerklichen Zickzacklinien, die von Temperaturschwankungen herrührten, die $0,01^{\circ}$ bis $0,03^{\circ}$ nicht überstiegen. Dies war eine unerläßliche Bedingung, wenn eine genaue Auslegung der Oxydationskurven ermöglicht werden sollte. Ein Gefäß (*b*), in das das Wasser in kleinem Überschuß einströmte und welches mit dem Thermostaten durch einen Heber *a* in Verbindung war, diente als Reservoir, um das Wasserniveau in dem Thermostaten konstant zu erhalten.

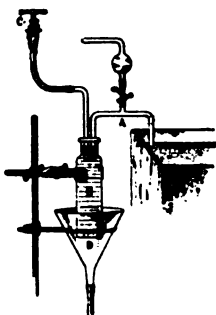


Fig. 3.

Einleitende Versuche.

Wenn man die beschriebene Methode beim Studium der durch Oxydasen bewirkten Oxydationen verwenden will, so muß

man sich vor allem zuerst vergewissern, daß bei der Reaktion keine anderen Gase gleichzeitig bei der Absorption von Sauerstoff entstehen, weil man sonst die erhaltene Kurve nicht richtig erklären könnte. Nun tritt aber gerade bei der Oxydation einiger Substanzen Bildung von Kohlensäure ein.

Bertrand¹⁾ fand, daß eine starke Erzeugung von Kohlensäureanhydrid bei der Oxydation des Pyrogallols unter Einwirkung der Laccase zu konstatieren ist; Berthelot²⁾ fand,

daß, wenn die Oxydation nicht vollständig ist, außer der Kohlensäure auch Kohlenoxyd erzeugt wird. Abelous und Biarnès³⁾ konstatierten, daß bei Oxydation des Salicylaldehyds unter Einwirkung der Leberoxydase auch Kohlensäure entsteht.

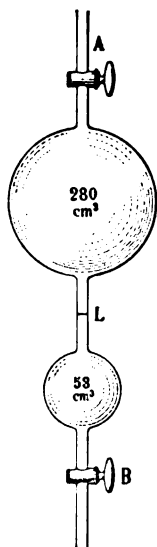


Fig. 4.

Es war also notwendig, sich davon zu überzeugen, ob dies auch bei den anderen Substanzen geschieht, die allgemein beim Studium der Oxydationswirkungen verwendet werden. Zu diesem Zweck benutzte ich ein Gefäß, wie es in Fig. 4 dargestellt ist, von dem eine Kugel 280 ccm und die andere 53 ccm faßt. Die zwei Kugeln werden durch zwei Glashähne *a* und *b* an den beiden Enden geschlossen. Zunächst wird das Gefäß mit Wasser gefüllt, dann wird dieses durch reinen Sauerstoff oder durch kohlensäurefreie Luft ersetzt; man hält dabei das Gefäß senkrecht

und läßt das Gas durch den Hahn *a* einströmen, während das Wasser aus dem unteren Hahn *b* abfließt, der sich unter Wasser befindet. Man schließt hierauf beide Hähne, bringt den oberen *a* in Verbindung mit einer Saugpumpe, die schon vor Öffnung des Hahnes selbst in Tätigkeit gesetzt worden ist. Dann läßt man in die kleine Kugel die eben zubereitete Mischung der Oxydase und der zu oxydierenden Substanz bis zum Strich *f* steigen. Daraufhin werden die Hähne zugedreht und das Gefäß

¹⁾ G. Bertrand.

²⁾ Berthelot, C. R. Acc. Sciences 126, 1459, 1898.

³⁾ Abelous und Biarnès, Nouvelles recherches sur le mécanisme des oxydations organiques. C. R. Soc. Biol. 1896, 94.

wird in den Thermostaten gesetzt, wo es einer stetigen Rührung unterworfen wird.

Wenn die Oxydation genügend vorgeschritten ist, bringt man das Gefäß wieder in eine vertikale Lage, und während man Wasser in den unteren Hahn hineinläßt, läßt man langsam das darüber befindliche Gas durch eine Waschflasche, die Bariumhydrat enthält, strömen, um die Anwesenheit von Kohlensäure nachzuweisen. Zur quantitativen Bestimmung der Kohlensäure verwendete ich den Grandisschen Apparat.¹⁾ Um zu sehen, ob sich Kohlenoxyd gebildet hat, läßt man eine gewisse Menge Luft durch eine Lösung von Oxyhämoglobin, die man dann spektroskopisch untersucht, strömen.

Bei diesen Manipulationen muß man daran denken, daß, wenn die Oxydation weit vorgeschritten ist, im Innern des Gefäßes eine ziemlich starke Druckverminderung stattgefunden haben kann.

Ich lasse hier die für die verschiedenen Substanzen erhaltenen Resultate folgen.

Pyrogallol.

1. 70 ccm Pyrogallol in 2% wässriger Lösung + 5 ccm Laccaselösung²⁾. Bleibt 16 Stunden bei 35° im Thermostaten. Anfangsvolumen der Luft 280 ccm. Nach Beendigung des Experiments finde ich:

absorbiert 6,0469 ccm O₂
gebildet 3,37 ccm CO₂.

CO hat sich nicht gebildet.

2. 70 ccm einer 2%igen Pyrogallollösung + 5 ccm NaOHⁿ/₁₀ + 5 ccm Laccaselösung. Volumen der Luft 280 ccm. Nach 16 Stunden bei 35° finde ich:

absorbiert 13,2417 ccm O₂
gebildet 3,3070 ccm CO₂.

Kein CO vorhanden.

3. 70 ccm einer 2%igen wässrigen Pyrogallollösung + 5 ccm NaOHⁿ/₁₀ (ohne Laccase). Volumen der Luft 280 ccm. Nach 17 Stunden bei 35° finde ich:

¹⁾ V. Grandia.

²⁾ Aus der „*Russula delica*“ extrahierte Laccase.

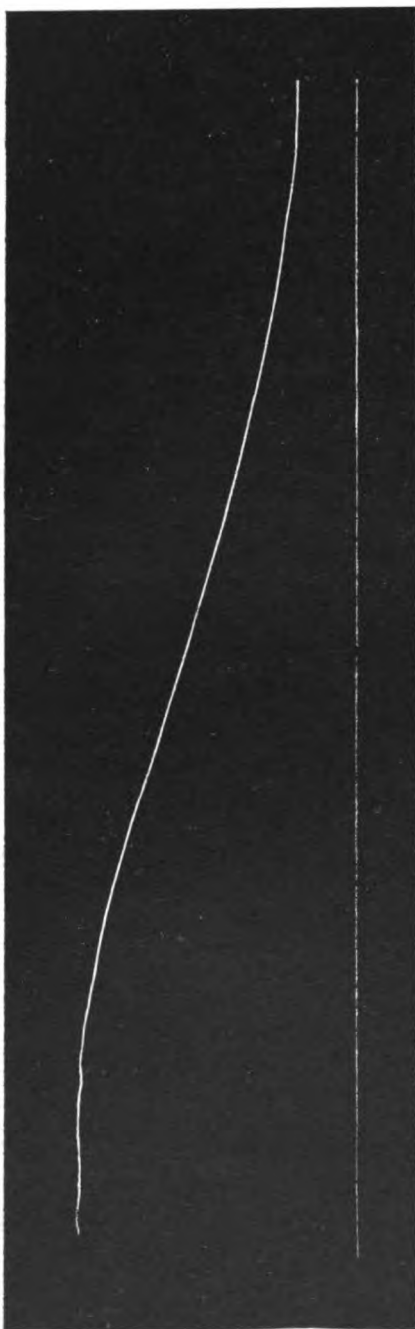


Fig. 5.
Oxydation von 200 ccm 10% Hydrochinon-
lösung mit Laccase. T. 29°,97.

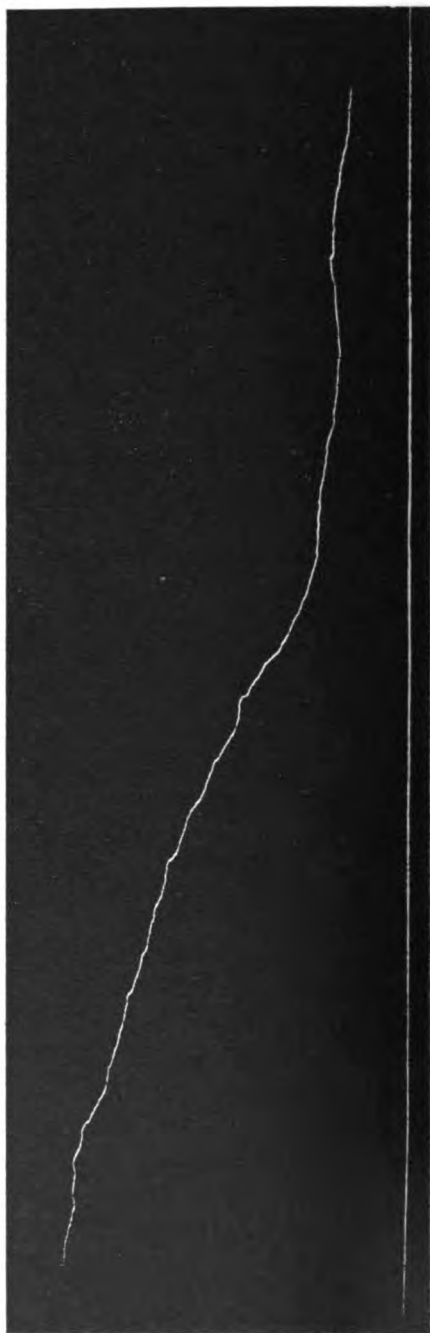


Fig. 6.
Oxydation von Guajak tinktur mit Laccase.
T. 32°,66.



Fig. 7.
Oxydation von 200 cem 1%iger
Paraphenyldiamin-Lösung mit
Laccase. T. 38°, 11.

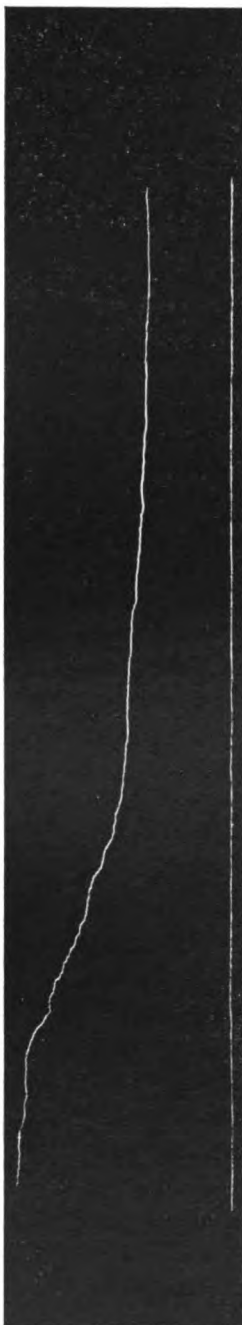


Fig. 8.
Oxydation von Guajacol (ge-
sättigte wässrige Lösung) mit
Laccase.



Fig. 9.
Oxydation von 200 cem gesättigter Tyrosin-
lösung mit 2 cem Glycerinextrakt von
„Russula Delica“. T. 32°, 58.

absorbiert 12,4262 O₂
 gebildet 0,4762 CO₂.

4. 70 ccm einer 6%igen Pyrogallollösung (ohne Natronlauge oder Laccase). Volumen der Luft 280 ccm. Nach 17 Stunden bei 35° ist die Lösung leicht gelb gefärbt:

absorbiert 2,3888 O₂
 gebildet 0,5043 CO₂.

Bei der Oxydation des Pyrogallols findet also, mag sie nun in Anwesenheit oder in Abwesenheit von Natriumhydrat und Laccase erfolgen, eine konstante Erzeugung von Kohlensäure statt, eine Bestätigung der Experimente von G. Bertrand.

Die anderen Substanzen.

Bei der Oxydation des Tyrosins (gesättigte Lösung) mit der Tyrosinase eines Glycerinextrakts von *Russula delica*, bei der Oxydation des Guajakols (wässrige gesättigte Lösung), des Paraphenylendiamins (1%ige Lösung), des Hydrochinons (10%ige Lösung) und des Guajakharzes (5 ccm alkoholische Lösung in 100 ccm Wasser) mit der Laccase entstanden nie auch nur Spuren von Kohlensäure oder Kohlenoxyd. In allen Fällen ergab die Analyse der Luft eine starke Absorption von Sauerstoff, und die Substanz hatte die für die eingetretene Oxydation charakteristische Farbe angenommen.

Bisherige Versuche.

Nachdem so bewiesen ist, das außer dem Pyrogallol und dem Salicylaldehyd (Abelous und Biarnès) die anderen Substanzen ohne Entstehung von Kohlensäureanhydrid oder Kohlenoxyd oxydiert werden, wendete ich die beschriebene Methode zum Studium der Wirkung der Laccase auf Hydrochinon, Paraphenylendiamin, Guajaharz und Guajakol und der Tyrosinase auf Tyrosin an. Diese ersten Experimente wurden mit willkürlicher Wahl der Konzentration des Ferments und des Substrats sowie der Temperatur ausgeführt.

Einstweilen beschränke ich mich auf die Wiedergabe der erhaltenen Kurven, bei denen ein Absteigen der Kurve wahrzunehmen ist, welche die Abnahme des Druckes und mithin des Volumens ausdrückt, die in dem Gefäß eingetreten ist, in

dem die Oxydation infolge der Absorption von Sauerstoff¹⁾ erfolgte. Schon aus diesen Kurven ersieht man, daß im allgemeinen auf einen ersten Zeitabschnitt, während dessen die Reaktion langsam eintritt, ein anderer folgt, in dem sie ergiebiger fortschreitet, um von neuem gegen Ende der Reaktion selbst langsamer zu werden, da sich die Kurve alsdann der Horizontalen nähert.

Mit Hilfe dieser Methode wird es ferner möglich sein, den Einfluß der Temperatur, der Konzentration des Ferments und des Substrats auf den Verlauf der Reaktion zu studieren.

Und wenn man überall, wo es möglich ist, diese Methode anwendet, die uns gestattet, den Sauerstoff als einen bei der Reaktion beteiligten Faktor quantitativ zu ermitteln und vermittlems anderer Methoden die gebildeten Körper (z. B. des Malachitgrüns) bestimmen wird, so wird es vielleicht möglich sein, die Gesamterscheinung der Wirkung der Oxydasen vom Gesichtspunkte der Phasenregel aus zu studieren. Wir müssen bedenken, daß es sich um ein triphasisches System handelt, zu dessen Bildung eine flüssige Phase, eine gashaltige Phase (Sauerstoff) und eine feste Phase (kolloidale Granula des Ferments) beitragen.

Ferner wird es interessant sein, das Aktionsgesetz der organischen Oxydasen mit dem der kolloidalen Metalle zu vergleichen, welche auch die Eigenschaft besitzen, einige Phenole²⁾ zu oxydieren; vermittlems derselben Methode wird man die Peroxydase und die Katalase studieren können.

Man muß jedoch immer bedenken, daß, wenn bei der Reaktion eine Gasphase eintritt, die Oberfläche, mit der die Flüssigkeit mit dem Gas in Berührung kommt, von großer Wichtigkeit ist, und daß es schwerlich gelingen wird, ein Wirkungsgesetz mit absoluter Genauigkeit zu bestimmen; man wird nur die Experimente zu Vergleichen berücksichtigen können, die mit denselben Gefäßen und unter denselben Verhältnissen der Oberfläche angestellt worden sind.

¹⁾ Die Kurven sind in natürlicher Größe wiedergegeben und 225 mm lang, wie schon oben erwähnt, einer Stunde entsprechend.

²⁾ C. Foà e A. Aggazzotti, *Sull'azione ossidativa dei metalli colloidali da soli ed in presenza di ossidasi*. Atti della R. accad. di Medicina. Torino.

Lipolyse, Agglutination und Hämolyse.

IV. Mitteilung.

Von

C. Neuberg.

(Aus der chemischen Abteilung des Pathologischen Instituts
der Universität Berlin.)

Vor einiger Zeit haben C. Neuberg und E. Rosenberg¹⁾ beobachtet, daß eine Reihe natürlich vorkommender Hämolyse- und Agglutinine (Crotalus-, Mocassin-, Cobra- und vielleicht auch das Bienengift von Morgenroth und Carpi sowie Crotin- und Ricin) ein deutliches enzymatisches Spaltungsvermögen gegenüber Fetten und Lipoiden (z. B. Olivenöl, Ricinusöl, Lecithin) besitzen. Diese Befunde sind sodann von C. Neuberg und K. Reicher²⁾ erweitert, indem sie für bactericide und antitoxische Sera sowie für Magen- und Pankreasfermente einen Parallelismus zwischen Hämolyse und Fettspaltung konstatierten; das gleiche beobachteten dieselben Autoren³⁾ bei einigen cytolytischen und bakteriolytischen Seris.

Von großer Wichtigkeit ist nun, wie schon früher betont, die Frage: Ist die Lipolyse irgendwie am Zustandekommen von Hämolyse bzw. Agglutination beteiligt oder ist die Fettspaltung lediglich eine zufällige Begleiterscheinung? Die Beantwortung dieser Frage ist, wie auch schon früher hervorgehoben wurde, mit außerordentlichen Schwierigkeiten verknüpft.

¹⁾ C. Neuberg u. E. Rosenberg, Lipolyse, Agglutination und Hämolyse I. Berl. klin. Wochenschr. 1907, Nr. 2.

²⁾ C. Neuberg u. K. Reicher, Lipolyse, Agglutination und Hämolyse II. Diese Zeitschr. 4, 281, 1907.

³⁾ C. Neuberg u. K. Reicher, Lipolyse, Agglutination und Hämolyse III. Münch. med. Wochenschr. 1907, Nr. 35.

Die Befunde von U. Friedemann¹⁾ und J. Wohlgemuth²⁾, welche die bereits von Delezenne³⁾ entdeckte hämolytische Eigenschaft des Pankreassaftes näher studierten, weisen auf einen inneren Zusammenhang zwischen beiden Erscheinungen hin, speziell hat sich Wohlgemuth (l. c.) für einen solchen ausgesprochen, allerdings auch außerdem eine gleichzeitige Mitwirkung des proteolytischen Fermentes in Betracht gezogen. Einen unzweifelhaft durch Fettspaltung zustande kommenden Fall von Hämolyse hat Hideyo Noguchi⁴⁾ beschrieben.

Eine prinzipielle Entscheidung wäre nun gegeben, wenn eine glatte Trennung der lipolytischen und hämolytischen bzw. agglutinierenden Funktion gelänge, derart, daß eine Fraktion nur auf Fette, die andere allein auf Blutkörperchen wirkte. Dabei darf man sich nicht damit begnügen, eine der Komponenten zum Verschwinden zu bringen; denn die Verhältnisse könnten ähnlich wie bei Lab-Pepsin liegen, d. h. durch geeignete Milieuänderung könnte der unwirksam gewordene Anteil wieder aktiv werden.

Ich habe nun mit Ricin einerseits und Pankreassaft andererseits eine Reihe von Trennungen versucht. Dieselben sind sämtlich negativ verlaufen, so daß vorläufig auf die Wiedergabe der Einzelheiten verzichtet werden kann.

Folgende Scheidungsprinzipien kamen zur Anwendung:

a) Rote Blutkörperchen (vom Kaninchen) absorbieren nach M. Jacoby⁵⁾ (vergl. auch F. Müller⁶⁾, aus einer Ricinlösung das Agglutinin, wenn sie im Überschuß vorhanden sind. Nach 12stündigem Stehen ist das Filtrat der agglutinierten Blutkörperchen nur noch schwach agglutinierend; aber auch das Fettspaltungsvermögen gegen Lecithin und Olivenöl ist fast vollkommen verschwunden.

b) Nach Cushny⁷⁾ und M. Jacoby⁵⁾ fixieren Fibrinflocken

¹⁾ U. Friedemann, Deutsche med. Wochenschr. 1907, Nr. 15.

²⁾ J. Wohlgemuth, Diese Zeitschr. 4, 271, 1907.

³⁾ Delezenne, Compt. rend. 55, 171, 1903.

⁴⁾ H. Noguchi, Über eine lipolytische Form der Hämolyse. Diese Zeitschr. 6, 185, 1907.

⁵⁾ M. Jacoby, Über Ricinimmunität I und II. Beiträge z. chem. Physiol. u. Pathol. 1, 51, 1902 und 2, 535, 1902.

⁶⁾ F. Müller, Arch. f. experim. Pathol. u. Pharmakol. 42, 302, 1899.

⁷⁾ Cushny, Arch. f. experim. Pathol. u. Pharmakol. 41, 439, 1898.

aus einer Ricinlösung das Agglutinin; in dem Maße, als dieses absorbiert wird, vermindert sich auch die lipolytische Wirkung.

c) Wie L. Michaelis und P. Rona¹⁾ sowie L. Michaelis²⁾ gezeigt haben, können Fermente durch verschiedene Absorptionen häufig quantitativ ihren Lösungen entzogen werden, und zwar dann, wenn das Vorzeichen ihrer eigenen elektrischen Ladung dem des Absorptionsmittels entgegengesetzt ist. Versuche mit Ricinlösungen und Kaolin sowie Kohle zeigten, daß bei Anwendung von Kohle Agglutinin und Lipase bei jeder Reaktion absorbiert werden. Bei den Kaolinproben wurden gleichfalls bei saurer, alkalischer wie neutraler Reaktion beide Prinzipien absorbiert, es blieb jedoch in jedem Falle von beiden ein deutlicher Rest.

d) Bei Versuchen, aus Pankreassaft mit Fibrinflocken die Lipase oder das Hämolysin zu absorbieren, wurden vorläufig wechselnde Resultate erhalten. In einigen Fällen gelang die Fixation des fettspaltenden Fermentes, jedoch nie vollständig, so daß die abfiltrierte Lösung beide Wirkungen aufwies.

e) Nach der Kaolinmethode wurden Lipase u. Hämolysin bei neutraler und alkalischer Reaktion vollständig, bei saurer nur zum Teil absorbiert, und das Filtrat zeigt beide Wirkungen.

Die Frage, ob die Lipolyse ein Teilvorgang der Hämolyse bzw. Agglutination oder eine zufällige Begleiterscheinung ist, bleibt nach wie vor offen. Wie aber auch ihre Beantwortung schließlich ausfallen mag, selbst einem zufälligen Zusammengehen beider Vorgänge wird man in Zukunft erhöhte Bedeutung beimessen müssen. Denn die Erfahrungen der letzten Jahre haben gezeigt, daß an den Immunitätserscheinungen Fette, Lipoid und Seifen einen unverkennbaren Anteil nehmen. Zu diesem Schlusse sind fast alle Autoren gelangt, so verschieden auch ihre sonstigen Voraussetzungen sind. Es sei nur an die Arbeiten von Kyes, Sachs, Morgenroth, Korschun, Carpi, Wassermann, Porges, v. Liebermann, Noguchi, Bayer, Landsteiner, Pick, Bang, Forssman, Gottlieb u. Leff-

¹⁾ L. Michaelis u. P. Rona, Diese Zeitschr. 4, 11, 1907.

²⁾ L. Michaelis, Diese Zeitschr. 7, 488, 1908; vgl. auch L. Michaelis u. M. Ehrenreich, Diese Zeitschr. 10, 283, 1908.

mann, v. Baumgarten, Hamburger, Pascucci, Traube und von vielen anderen erinnert.

Bei dieser Sachlage ist es selbstverständlich, daß die spezifischen Fermente der Fett- und Lipoidsubstanzen, die Lipasen, welche zugleich typische Seifenbildner sind, bei den Immunitätserscheinungen eine wichtige Rolle spielen können. Dieselbe wird von den auf diesem Gebiete arbeitenden Autoren nicht länger vernachlässigt werden dürfen.

Benachrichtigung.

Nach einem von Herrn Prof. F. Hofmeister in Straßburg i. E. angeregten Übereinkommen verschmelzen die bisher von ihm herausgegebenen, im Verlag von Fr. Vieweg & Sohn, Braunschweig, erschienenen „Beiträge zur chemischen Physiologie und Pathologie“ nach Abschluß des XI. Bandes (Anfang Juli) mit der „**Biochemischen Zeitschrift**“.

Die „Biochemische Zeitschrift“ beendet gleichzeitig ihren XI. Band, so daß in der Bandzahl der Journale keine Unterbrechung eintritt.

Herr Prof. F. Hofmeister tritt in das Herausgeberkollegium der „Biochemischen Zeitschrift“ ein, die weiter von C. Neuberg, Berlin, redigiert und von Julius Springer, Berlin, verlegt wird. Die bisherigen Mitarbeiter der „Beiträge“ haben größtenteils ihre Mitwirkung der „Biochem. Zeitschr.“ zugesichert.

**Redaktion und Verlag
der Biochemischen Zeitschrift.**

Können Antigene Amboceptoren binden?

Von

L. v. Liebermann, Budapest.

(Eine Kritik der Arbeiten von I. Bang und J. Forssman.)

(Eingegangen am 29. Mai 1908.)

Vor kurzem hat J. Forssman in dieser Zeitschrift eine sehr wichtige Abhandlung unter dem Titel: Sind das Antigen und die amboceptorfixierende Substanz der Blutkörperchen identisch oder verschieden?¹⁾ veröffentlicht, welche nicht verfehlen wird, das Interesse der Fachgenossen zu erwecken. Sie verdient es in der Tat, da sie unsere Einsicht in die Beschaffenheit der Antigene wesentlich gefördert hat. Nichtsdestoweniger bin ich der Ansicht, daß die Schlußfolgerungen des Verfassers, soweit sie sich auf die Ehrlichsche Theorie beziehen, durchaus nicht zwingend sind, und da eine wissenschaftliche Streitfrage von solcher Bedeutung nicht einfach Parteisache ist, dürfte man es gerechtfertigt finden, wenn ich meine Bedenken gegen die erwähnten Schlußfolgerungen mitteile.

Es ist nicht meine Absicht, für oder gegen die Ehrlichsche Theorie Stellung zu nehmen, auch liegt es nicht in meinem Plan, mich mit der Sache eingehend zu befassen und alle Details der Arbeiten von Forssman und Bang und Forssman experimentell zu untersuchen. Ich stelle mich einfach auf den Standpunkt des Kritikers, dessen Aufgabe es ist, zu prüfen, ob irgendeine Arbeit zu Schlüssen berechtigt, die der Autor aus ihr gezogen hat. Ich ersuche also die geehrten Leser, die nachfolgenden Zeilen nur von diesem Gesichtspunkte zu beurteilen.

¹⁾ Diese Zeitschr. 9, 330, 1908.

Herr Forssman hat uns gezeigt, daß in Collodiumkapseln eingeschlossene Stromata von Blutkörperchen nach verschieden langem Aufenthalte in der Peritonealhöhle eines Tieres und unter dem Einfluß von Bakterien oder Fermenten eine Substanz abgeben, die die Collodiumkapseln durchdringt und imstande ist, Hämolysinbildung hervorzurufen. (Das Serum der kapseltragenden Tiere erwies sich für die betreffende Blutart hämolytisch.) In mehreren Fällen gelang es nun, die Dialyse in der Peritonealhöhle so weit zu treiben, daß alle hämolysinbildende Substanz entfernt war. Der Kapselrückstand erwies sich, Tieren injiziert, nicht mehr hämolysinbildend. Trotzdem war aber dieser Rückstand wie ein richtiges Antigen imstande, Amboceptoren zu binden, woraus nun der Schluß gezogen wird, daß Antigen und amboceptorfixierende Substanz nicht identisch sind. Da aber die Identität ein wesentliches Postulat der Ehrlichschen Theorie ist, so kann letztere, wenigstens soweit sie die Hämolysinbildung betrifft, nicht richtig sein.

Der Schluß ist, wie schon oben bemerkt, nicht zwingend, denn ich sehe verschiedene Möglichkeiten, dieses Verhalten anders zu erklären.

1. Es ist ganz gut möglich, ja gerade nach dem Versuche von Forssman nicht unwahrscheinlich, daß die Stromata zweierlei amboceptorfixierende Substanzen enthalten, von denen nur die eine als Antigen wirkt, die andere aber wie irgendein Nahrungsmittelbestandteil von den Zellreceptoren fixiert wird, ohne einen zur Amboceptorproduktion führenden Reiz auszuüben. Diese beiden Substanzen können durch Fermente oder Bakterien voneinander getrennt werden.

2. Man kann sich ohne alle Schwierigkeit auch vorstellen, daß das Antigen eine komplexe Verbindung ist, die durch Fermente, Bakterien oder auch durch Autolyse derart gespalten werden kann, daß wohl beide Spaltungsprodukte (oder auch mehrere) Affinitäten („haptophore Gruppen“) für die Amboceptoren (Receptoren) besitzen, aber nur eines oder einige so beschaffen sind, daß sie auf den Leistungskern auch jenen Reiz ausüben, der zur Abstoßung von Receptoren (Produktion von Amboceptoren) führt. Man weiß ja, daß nicht jede Substanz, welche vom Zellprotoplasma fixiert wird, ein sog. Antigen ist.

Ich kann mir also denken, daß das in unzersetztem Zustande als Antigen wirkende Stroma z. B. aus einem Protein und einem Lipoid besteht (Landsteiner und v. Eisler), und daß diese Verbindung derart zerstört wird, daß einerseits ein Eiweißkörper abgespalten wird, der, nehmen wir an, mit Hilfe seiner Aminogruppen an Receptoren — also auch an Amboceptoren — fixiert werden kann, ohne als Antigen zu wirken, daß aber andererseits ein Lipoid, verbunden mit irgend einem anderen Proteinkörper oder einer bei der Zersetzung des Stromes abgespaltenen Aminosäure entsteht, welche Lipoidverbindung von den Receptoren ebenso fixiert werden kann (etwa auch mit Hilfe ihrer Aminogruppen) wie das andere Spaltungsprodukt, aber als Antigen wirkt, und vom Nichtantigen auch sonst, etwa in seinem Diffusionsvermögen durch Collodium verschieden ist.

Kurz gesagt: der Umstand, daß ein ungespaltenen Komplex ein Antigen ist, eines seiner noch immer bindungsfähiger Spaltungsprodukte aber nicht, beweist nur so viel, daß der antigene Reiz nur einer bestimmten Gruppe der ungespaltenen Verbindung zukommt (und das ist die Einsicht, die wir Forssman zu verdanken haben!), nicht aber daß die Ehrlichsche Seitenkettentheorie, weil sie bisher das Antigen als ganze, ungespaltene Verbindung aufgefaßt hat, falsch wäre.

Das, was ich sagen will, wird vielleicht noch klarer, wenn ich als Beispiel irgend ein aus verschiedenen Aminosäureradikalen bestehendes Polypeptid heranziehe, bei dessen Spaltung verschiedene Aminosäuren von ähnlichem Verhalten gegen Basen und Säuren wie das ungespaltene Molekül selbst, aber doch von sonst untereinander verschiedenen Eigenschaften und Wirkungen entstehen können.

Daß Spaltungsvorgänge bei den Versuchen Forssmans möglich waren, ja wahrscheinlich stattgefunden haben, dürfte jedem einleuchten, der die Beschreibungen der entscheidenden Versuche auf S. 346 und 348 von diesem Gesichtspunkte betrachtet, denn der Inhalt der Kapseln war teils absichtlich, teils unfreiwillig mit Bakterien infiziert, Nr. 49 bis 63 überdies noch mit Steapsinlösung versetzt. Die Kapseln blieben 13 Tage bis 6 Monate in der Peritonealhöhle, so daß ihrem Inhalt zu ausgiebiger Zersetzung reichlich Zeit gelassen wurde. Auf S. 341

erklärt übrigens Forssman selbst, daß das Antigen der Blutstromata nicht durch die Collodiummembran herausdialysiert, wenn der Kapselinhalt steril bleibt, doch zieht er hieraus nicht den obigen, naheliegenden Schluß — der ja auch durch seinen Fermentversuch (Steapsin) gestützt wird —, sondern spricht nur von einem weiter unerklärten „Herauslösen“ des Antigens, was um so auffallender ist, da Forssman unter solchen Umständen sogar eine völlige Zerstörung des Antigens für möglich hält (S. 341).

3. Eine andere Möglichkeit, die Forssmanschen Versuche zu erklären, wäre die, daß jener Kapselinhalt, welcher sich in Bezug auf Hämolysinbildung negativ verhielt, aber doch imstande war, die Amboceptoren eines inaktivierten hämolytischen Immunserums unwirksam zu machen, vom ursprünglich vorhanden gewesenen Antigen überhaupt nichts mehr, also auch kein Spaltungsprodukt derselben enthielt, sondern einen durch Zersetzung aus irgend einem Bestandteil des Stromas neu entstandenen Körper. Dieses konnte etwa eine Fäulnisbase, aber auch eine Säure sein. Beide Arten von Verbindungen können bekanntlich aktive Sera inaktivieren. Es konnten auch Körper entstanden sein, die mit dem Amboceptor Präcipitate geben, welche sofort ausfielen, oder durch das Zentrifugieren entfernt wurden, welches, vor der Zugabe der Hammelblutaufschwemmung, von Forssman vorgenommen wurde. Ebenso können die Bakterien des Kapselinhaltes die Hämolyse gehemmt haben, denn es ist bekannt, daß Bakterienaufschwemmungen eine solche Wirkung in hohem Grade zeigen. Zur Prüfung dieser Vermutungen findet man in der Arbeit keine Anhaltspunkte, aber auch nichts, was ihre Unhaltbarkeit beweisen würde. Sollten sie bei genauer Prüfung zu Recht bestehen, so bliebe als unanfechtbares Resultat der Forssmanschen Arbeit nur die Tatsache bestehen, daß das Antigen unter Umständen, die den Forssmanschen Versuchsbedingungen entsprechen, vom Stroma in Form einer Collodiumhäutchen passierenden Verbindung abgespalten werden kann.

Man könnte nun meinen, daß die Schlußfolgerungen Forssmans, soweit sie die Ehrlichsche Seitenkettentheorie betreffen, durch diese Überlegungen als nicht zwingend erwiesen sind, denn diese Überlegungen haben ja ergeben, daß

Forssman aus der übrigens nicht auffälligen Tatsache, daß Amboceptoren von Nichtantigenen gebunden werden, geschlossen hat, daß sie nur von Nichtantigenen gebunden werden. Nun ist aber noch auf die schon vor mehreren Jahren erschienene Arbeit von Bang und Forssman¹⁾ Rücksicht zu nehmen, die es andererseits als erwiesen erachtet, daß die eigentliche hämolysinbildende Substanz kein Bindungsvermögen für Amboceptoren (Zellreceptoren) besitzt, also unmöglich in der Weise wirken könnte, wie man sich das nach der Theorie Ehrlichs vorstellen mußte.

Um hier klar zu sehen, wird es notwendig sein, sowohl die Voraussetzungen als die Methoden der Arbeit von Bang und Forssman eingehend zu besprechen. Die genannten Forscher setzen voraus, daß eine durch Amboceptor und Komplement bewirkte Hämolysen durch Zusatz des betreffenden Antigens, also desjenigen Körpers, unter deren Einwirkung der Amboceptor entstanden war, aufgehoben werden müßte, wenn dieses Antigen wirklich einen Receptor für den Amboceptor besäße, und gründen ihre Methode auf diese Voraussetzung.

Diese Voraussetzung ist aber nur für den Fall richtig, wenn das Antigen, bzw. der Amboceptor, der das zugesetzte Antigen binden soll, nicht im Reaktionsgemische bleiben, sondern daraus entfernt werden, sei es durch Zentrifugieren oder Abfiltrieren eines etwa entstehenden, die Verbindung enthaltenden Präcipitats, oder sonstwie. — Bleiben aber alle diese Körper im Reaktionsgemisch, so kann eine Nichtbindung an das Antigen durch das Eintreten der Hämolysen der entsprechenden Blutkörperchen nicht nachgewiesen werden, denn Hämolysen muß, soweit nicht etwa Komplementablenkung eine Rolle spielt, unter allen Umständen eintreten.

Hier liegt ein prinzipieller Fehler der Methodik von Bang und Forssman. In allen ihren Versuchen bis auf jene, welche man am Schlusse der Abhandlung auf S. 271 und 272 (Versuchsserie 5) findet und die, weil sie von den übrigen durchaus verschieden sind, besonders besprochen werden müssen, haben sie alles beisammen gelassen (eine Tren-

¹⁾ Beiträge z. chem. Physiol. u. Pathol. 8, 238, 1906.

nung war vielleicht nicht möglich) und den Umstand übersehen, daß ihre Antigene (die in Aceton unlöslichen Anteile der Benzolauszüge der Blutkörperchenstromata) nichts anderes sind, als eben die amboceptorbildenden Bestandteile jener Blutkörperchen, auf welche sie den Amboceptor wirken lassen wollten, daß also zunächst gar kein Grund dazu vorlag, anzunehmen, daß der Amboceptor sich lieber mit dem von den Blutkörperchen abgespaltenen, als mit den an ihnen haftenden Antigenen verbinden sollte.

Wenn man also Amboceptoren (id est: Immunserum) mit Blutkörperchenextrakt, welcher Antigen enthält, und mit Blutkörperchen, aus denen dieser Extrakt gewonnen wurde, versetzt, so werden die Amboceptoren sich entweder mit beiden vereinigen, in welchem Falle also die Hämolyse nicht ausbleiben, sondern höchstens schwächer werden wird, weil eine Verteilung des Amboceptors auf Extrakt und Blutkörperchen stattgefunden hat und für letztere weniger von der wirksamen Substanz übriggeblieben ist; oder die Hämolyse wird nach Ablauf einer gewissen Zeit praktisch ungefähr gleich stark sein, wenn der Amboceptor für die antigene Substanz der Blutkörperchen, solange sie noch an letzteren haftet, eine viel stärkere Affinität besitzen sollte, als für die künstlich abgespaltene und mannigfach veränderte. Hierüber können nur quantitative Bestimmungen Aufschluß geben. Keinesfalls ist aber ein Ausbleiben der Hämolyse durch Amboceptorbindung zu erwarten.

Die Tatsache, daß Bang und Forssman Antigen und Amboceptor (Immunserum, inaktiviert) vorerst bei 37° stehen ließen, um die Fixation sicher zu bewirken, kann an dem Vorgang nur insoweit etwas ändern, daß die Hämolyse zeitlich vielleicht etwas verzögert wird, weil die Blutkörperchen vielleicht mehr Zeit dazu brauchen, von Antigenen fixierte Amboceptoren (oder einen Teil davon) als freie Amboceptoren an sich zu reißen.

Demgemäß beweisen also alle jene Versuche von Bang und Forssman, die einfach so gemacht waren, daß das Antigen mit inaktiviertem Immunserum, Normalserum und Blutauflschwemmung gemischt und dann das Eintreten oder Ausbleiben

der Hämolyse beobachtet wurde, für die vorliegende Frage nichts, denn der Amboceptor konnte das Antigen ganz wohl fixiert, es aber nach Zusatz von Blutkörperchen ganz oder teilweise an diese wieder abgegeben haben, ähnlich wie z. B. Quecksilberchlorid die Hälfte seines gebundenen Chlors abgibt, wenn metallisches Quecksilber zugesetzt wird. —

Der Beweis, daß das Antigen vom Amboceptor überhaupt nicht gebunden wird, also die entsprechende, von der Theorie geforderte haptophore Gruppe gar nicht besitzt, könnte nur dann erbracht werden, wenn es gelänge, Versuchsbedingungen zu schaffen, unter denen mit Sicherheit angenommen werden könnte, daß das Antigen aus dem Reaktionsgemisch, vor dem Zusatz von Blutkörperchen und Normalserum, auch sicher entfernt worden und in der Lösung wirklich nur der freie Amboceptor zurückgeblieben ist, nicht aber vielleicht eine lösliche Verbindung des letzteren mit dem Antigen.

Um die Stichhaltigkeit dieser Überlegung zu prüfen, habe ich mehrere Versuche mit dem von vornherein erwarteten Erfolge angestellt, und zwar nach folgendem Prinzip:

Blutkörperchenstroma ist eine Substanz, von der angenommen werden darf, daß sie Amboceptoren, die gegen Blutkörperchen gerichtet sind, aus denen die Stromata hergestellt wurden, sicher fixieren wird. Findet man nun, daß in einem Gemisch von mit phys. NaCl-Lösung bereiteter Stromalösung und inaktiviertem Immuns serum, welches vorher eine Stunde bei 37° gestanden war, nach Zusatz von Normalserum und Blutkörperchen die Hämolyse nicht ausbleibt, so ist die Unhaltbarkeit der Voraussetzungen von Bang und Forssman erwiesen.

Ich habe mir also aus 50 ccm Rinderblut eine Stromaauflösung — man kann sie eher eine kolloidale Lösung nennen — in phys. Kochsalzlösung hergestellt, deren schließliches Volum 10 ccm betrug. Diese Auflösung (St.) enthielt nur wenig Gerinnsel oder weiße Blutkörperchen. Ich benutzte ferner bei 56° inaktiviertes Kaninchen-Immuns serum (gegen Rinderblut) (Is.) und eine 10%ige Auflösung von gewaschenen Rinderblutkörperchen (Bl.), als Komplement Kaninchen-normalserum (Ns.).

Versuche:

- | | | |
|-----------------------------|----------------------|-----------------------|
| 1. 1 ccm St. + 0,05 ccm Is. | } 1 Stunde bei 37° { | + 0,2 Ns. + 2 ccm Bl. |
| 2. 1 ccm NaCl + „ „ „ | | + „ „ + „ „ |
| 3. 1,05 NaCl | | + „ „ + „ „ |
- gestanden, dann

Nach $\frac{1}{2}$ stündigem Verweilen im Thermostaten und Zentrifugieren war in 1 und 3 keine Spur von Hämolyse — es war also kein Überschuß an Amboceptor zugegen —, in 2 (ohne Stroma) starke Hämolyse.

Nun mußte nachgesehen werden, ob die Hämolyse in 1 nicht wegen Komplementfixierung verhindert war. Ich habe also zu jeder Mischung noch 0,5 ccm Ns. zugesetzt, durchgeschüttelt und wieder $\frac{1}{2}$ Stunde stehen lassen. Nun war schon entschiedene Hämolyse auch in 1 zu konstatieren; nach weiterem Zusatz von 0,5 ccm Ns. war sie schon sehr stark (in der Kontrollmischung 3 keine Spur).

In 1 und 2 wurde das gelöste Hämoglobin nach Fleischl-Miescher in den 10fach verdünnten Lösungen bestimmt:

1. 23, 2. 46, ausgedrückt in Skalenteilen des Apparates.

Die stromahaltige Mischung war also halb so stark hämolysiert als die andere. In beiden Mischungen war noch viel ungelöstes Blut. Ein Überschuß an Amboceptor war nicht vorhanden.

In einem anderen, ganz ähnlichen Versuch habe ich sofort eine größere Menge, 2 ccm Normalserum zugesetzt; dementsprechend habe ich hier sofort, auch in der stromahaltigen Mischung, starke Hämolyse erhalten. Das Verhältnis des Hämoglobingehaltes der beiden Lösungen war dem obigen ähnlich.

In einem dritten Versuch habe ich (mit denselben Materialien) die Verhältnisse insofern geändert, daß ich nur halb soviel Blutaufschwemmung (1 ccm) und 0,2 ccm Normalserum verwendet habe. Schon nach einer halben Stunde habe ich auch in der stromahaltigen Mischung schwache Hämolyse erhalten. Die Lösung wurde nun abgegossen und zum Zentrifugenrückstand noch 0,2 ccm Ns. und 1 ccm phys. NaCl zugefügt. Es trat komplette Hämolyse ein.

Ich habe solche Versuche auch mit anderen Kombinationen — Pferde- und Schweineblut — ausgeführt und ebensolche Resultate erhalten. Auch Agglutination durch agglutinierende Sera wird durch die Gegenwart entsprechender Stromata nicht verhindert.

In einem Versuche mit Pferdeblutkörperchen habe ich bei Anwendung eines inaktivierten Kaninchen-Immunserums, welches in einer Menge von 0,05 ccm nach Zusatz von 1 ccm Normal-Pferdeserum nur sehr schwache Hämolyse bewirkte, nur 1 ccm 5%iger gewaschener Pferdeblutkörperchen-Emulsion und 1 ccm einer Pferdeblutkörperchen-Stroma-aufschwemmung benutzt, welche der 120fachen Menge Blutkörperchen entsprach, die als solche im Gemisch zugegen waren. Trotzdem konnte ich, obwohl Stroma-Immunserummischung eine Stunde bei 37° gestanden hatte, konstatieren, daß zwischen dem Verhalten einer solchen Mischung und einer, die kein Stroma zugesetzt erhielt, kaum ein Unterschied zu merken ist. Hämolyse war in beiden Mischungen gleich (nämlich gleich schwach), Agglutination in beiden gleich stark.

Ähnliches habe ich auch bei Schweineblutkörperchen, resp. gegen solche gerichtetem Immunserum, bei Anwendung von großen Mengen von Stromata aus Schweineblutkörperchen gesehen. Ich konnte nirgends eine

wesentliche Verhinderung der Hämolyse durch die Anwesenheit der Stromata beobachten.

Aber ich habe noch etwas anderes gesehen. Ließ ich 0,05 ccm gegen Schweineblut gerichteten, inaktivierten Immunserrums, die bei Komplementzusatz 1 ccm 5%iger Schweineblutkörperchen-Aufschwemmung erst in einer halben Stunde hämolysierten, also nicht übermäßig viel Amboceptoren enthielten, mit 2 ccm Schweineblutkörperchen-Stroma-aufschwemmung (bereitet aus 50 ccm Schweineblut durch Aufnahme der gewaschenen Stromata in 10 ccm phys. NaCl-Lösung) 1 Stunde bei 37° unter öfterem Aufschütteln stehen, zentrifugierte dann scharf und mischte die abgegossene Flüssigkeit mit 1 ccm Normal-Schweineserum und 1 ccm 5%iger Blutkörperchen-Aufschwemmung, so trat die Hämolyse ebenso rasch ein, wie in einer Mischung, die daneben gestanden war, die aber nicht zentrifugiert wurde, aus der die Stromata also vorher gewiß nicht entfernt wurden.

Es scheint also, daß die Verbindungen gewisser Stromata mit Amboceptoren in phys. NaCl-Lösung so stark löslich sind (resp. zu colloidalen Lösungen quellen), daß sie gar nicht ordentlich abzentrifugiert werden können. Dieses Verhalten stimmt übrigens mit der Erfahrung, daß man behufs Herstellung der Stromata zum Auswaschen derselben destilliertes Wasser verwenden muß, nicht aber phys. NaCl-Lösung, da sie aus letzterer nur sehr schwer, wenn überhaupt, abzentrifugiert werden können.

Es folgt also aus diesen Versuchen, daß selbst große Mengen amboceptorfixierender Substanz, in diesen Versuchen Stromata selbst (sie betrug das 25-, resp. 50- und 120fache der zugefügten Blutkörperchen, wenn man annimmt, daß von ihrem Stroma nichts verloren war, was allerdings erst bewiesen werden müßte), die Hämolyse wohl verzögern, aber nicht zu verhindern imstande sind. Dort, wo scheinbar eine Verhinderung auftritt, handelt es sich um Komplementfixierung. Gewisse, bisher nicht näher bekannte Bestandteile der Stroma-aufschwemmungen scheinen eben ein sehr starkes Komplementfixierungsvermögen zu besitzen. In den Rückständen der Benzol-auszüge von Bang und Forssman sind diese Substanzen vielleicht nicht mehr vorhanden, und so könnte die Tatsache erklärt werden, daß die genannten Autoren in Versuchen, wo sie solche Auszüge verwendeten, keinen Unterschied in der Hämolyse im Vergleich mit antigenfreien Mischungen beobachtet haben. Vielleicht hätte man aber bei quantitativen Bestimmungen und Beobachtungen der Reaktionsgeschwindigkeit doch Unterschiede zu ungunsten der antigenhaltigen Mischungen ge-

funden, die sich dann mit einer Verteilung der Amboceptoren auf Antigen und Blutkörperchen ungezwungen erklären ließen. Solche Unterschiede müssen aber nicht eintreten, wie ich das schon früher auseinandergesetzt habe.

Nun muß ich aber erwähnen, daß meine soeben mitgeteilten Versuche mit solchen in Widerspruch stehen, die Bang und Forssman, sowie Forssman allein, übrigens zu anderen Zwecken als ich, mit Stromata, nicht mit Benzolauszügen der Blutkörperchen angestellt haben, und ich muß eine Erklärung für diesen Widerspruch finden.

In der Abhandlung von Bang und Forssman finden wir auf S. 272 in der Versuchsserie 6 eine Mischung aus 0,5 ccm Stromaufschwemmung (ungekochtes Stroma) und 0,01 ccm inaktiviertes Immunserum, die nach 1stündigem Stehen, mit 0,4 ccm Normalserum und Blut versetzt, keine Hämolyse erkennen ließ. Hier fehlt aber der Beweis, daß es sich nicht um Komplementfixation gehandelt hat. Ich glaube, die zugesetzten 0,4 ccm Normalserums waren zu wenig; auch weiß ich nicht, wie lange die Proben gestanden hatten und ob bei längerem Stehen nicht doch Hämolyse aufgetreten wäre.

Auch auf S. 271 (Versuchsserie 5) findet man einen Versuch mit Stroma (ungekocht), wo 0,02 ccm inaktiviertes Immunserum mit 1 ccm Stromaufschwemmung (20 ccm erhalten aus 100 ccm Blut) gemischt, aber nach 1stündigem Stehen zentrifugiert werden. Auch hier blieb die Hämolyse nach Zusatz von 0,4 ccm Normalserum aus, aber auch hier fehlt die Kontrolle, ob Komplementfixierung stattgefunden hat.

Dieser Versuch kann mit dem Obigen darum als gleichwertig angesehen werden, weil, wie ich gesehen habe, durch Zentrifugieren einer solchen Mischung aus klarer Stromalösung und Immunserum kaum etwas abzentrifugiert werden kann; zentrifugierte und nichtzentrifugierte Mischungen sind gleich hämolytisch, wenn sie mit Normalserum gemischt werden.

Ein ähnliches Resultat finden wir auch in der Arbeit von Forssman (l. c. S. 348 Versuchsschema 2), mit dem Unterschiede, daß hier die Möglichkeit einer Komplementablenkung nicht unbeachtet geblieben ist. Der abzentrifugierte Rückstand löste sich auch nach neuerlichem Zusatz von Normalserum nicht (die

Mischung hatte schon früher solches enthalten), wohl aber nach Zusatz von inaktiviertem Immuns serum. Zur Erklärung dieses Verhaltens kann man an verschiedenes denken. Es ist möglich, daß Stromalösungen (Aufschwemmungen) aus Hammelblut, mit denen Forssman gearbeitet hat, sich anders verhalten als die von mir geprüften Stromata anderer Blutarten, d. h., daß ihre Verbindungen mit Amboceptoren abzentrifugiert werden können, so daß in der abzentrifugierten Lösung für die Blutkörperchen nichts mehr übrig bleibt. Es wäre auch möglich, daß die Stromata in der abzentrifugierten Flüssigkeit in solchem Überschuß vorhanden waren, daß die Verteilung der Amboceptoren auf Stroma und Blutkörperchen für die letzteren derart ungünstig war, daß eine Hämolyse erst nach einer viel längeren Zeit hätte beobachtet werden können. Forssman ließ die Mischungen 1 Stunde stehen.

Ich wende mich nun zu den Versuchen von Bang und Forssman mit gekochten Stromaaufschwemmungen. Auf den ersten Blick scheinen sie überzeugender, doch findet man bei näherem Zusehen, daß auch gegen diese ähnliche Einwendungen zu erheben sind wie gegen die vorhergehenden.

Es wurden Aufschwemmungen gewaschener Stromata verwendet. Eine Portion einer solchen Aufschwemmung nach 2 Minuten langem Kochen — denn die Autoren hatten gefunden, daß die Stromata ein so kurzes Kochen vertragen, ohne ihre lysinogene Wirkung einzubüßen —, die andere Portion ungekocht. Je 1 ccm wurde nun mit je 0,02 inaktivem Immuns serum vermischt und nach 1 stündigem Stehen bei 37° zentrifugiert. Die Flüssigkeiten wurden abpipettiert — sie waren nach der Angabe der Autoren „hell“ — und mit 0,4 ccm Normalserum und Ochsenblut gemischt. Es zeigte sich, daß die Mischung, welche die vom ungekochten Stroma abzentrifugierte Flüssigkeit enthielt, keine Hämolyse bewirkt hatte, hingegen die andere eine anscheinend ebenso starke wie die Kontrollmischung ohne Stroma.

Hieraus schließen Bang und Forssman, daß die gekochten Stromata trotz ihrer erwiesenermaßen antigenen Wirkung keine Amboceptoren gebunden hatten.

Um diesen Schluß auf seine Richtigkeit zu prüfen, wollen wir zunächst die Voraussetzungen der Autoren näher betrachten.

Sie setzen voraus, daß aus einer ungekochten Stromalösung die Stromata mit den Amboceptoren (Immunserum) durch Zentrifugieren entfernt werden können, und so erklären sie es sich offenbar, daß die zentrifugierte Mischung (abpipettierte Lösung) nach Zusatz von 0,4 ccm Normalserum nicht hämolytisch war. Sie setzen also voraus, daß sich eine Stromalösung ebenso verhielte, wie eine Blutkörperchen-Aufschwemmung.

Diese Voraussetzung ist, wie ich glaube, unrichtig, zum mindesten aber nicht bewiesen. Ich habe wenigstens zwischen zentrifugierten und nichtzentrifugierten Mischungen keinen Unterschied gesehen. Beide sind hämolytisch wirksam, wenn genügend Normalserum zugefügt wird. Im Versuche von Bang und Forssman scheinen die 0,4 ccm Normalserum nicht genügt zu haben.

Ferner setzen die Autoren voraus, daß die gekochten Stromata, mit Beibehaltung ihrer antigenen Wirksamkeit, trotz Gegenwart von Amboceptoren unverändert abzentrifugiert werden können. In der abpipettierten Flüssigkeit finden sich nun die freien Amboceptoren, und so erklären sie das Eintreten der Hämolyse nach Zusatz von Normalserum und Blut.

Da aber, so schließen wohl Bang und Forssman, die notorisch antigenen Stromata durch Zentrifugieren entfernt wurden, in der abpipettierten Flüssigkeit aber freie Amboceptoren waren, so ist es evident, daß das Antigen sich nicht mit Amboceptoren verbindet.

Nun haben aber die Autoren durch nichts bewiesen, daß das was, sie aus dem Gemische: gekochtes Stroma-Immunserum abzentrifugiert hatten, der Zentrifugenrückstand, wirklich antigene (lysinogene) Eigenschaften besessen hätte; ebensowenig haben sie bewiesen, oder zu beweisen versucht, daß die abzentrifugierte, hämolytisch wirksame Lösung keine lysinogenen Eigenschaft besessen hätte. Ohne diese Beweise sind aber ihre Versuche nicht eindeutig, ihre Schlüsse nicht bindend, denn wie ich das im Verlaufe dieser kritischen Besprechung schon so oft betont habe: es ist ganz gut möglich, daß sich das Antigen in Verbindung mit Amboceptor in Lösung befindet, ohne daß darum die Hämolyse ausbleiben müßte.

Ich glaube, die Resultate der Versuchsserien 5 und 6 lassen sich ganz gut so erklären, daß gekochte Stromlösungen viel weniger Komplement fixieren dürften als ungekochte.

Daß die Injektionsversuche von Bang und Forssman mit gekochten, bzw. ungekochten Stromalösungen (keine dieser Lösungen wurde zentrifugiert) nichts anderes aussagen, als daß ein 2 Minuten langes Kochen die antigene (lysinogene) Wirkung nicht aufhebt, scheint mir selbstverständlich, sie sind also für die uns zunächst beschäftigende Frage irrelevant. Sie wären es nur dann nicht, wenn nachgewiesen worden wäre, daß gekochte Stromata die Fähigkeit verlieren, Amboceptoren zu binden. Dieser Nachweis wurde aber, wie ich oben auseinanderzusetzen habe, nicht erbracht.

Ich kann es übrigens nicht unerwähnt lassen, daß die Versuche von Bang und Forssman mit Stromalösungen schon aus dem Grunde zweifelhaften Wert haben, weil diese Lösungen (Aufschwemmungen) nicht so dargestellt wurden, wie sie mit Berücksichtigung der Eigenschaften der sog. Stromata dargestellt werden sollten. Die Verfasser haben nämlich (s. Anmerkung auf S. 271) Blut mit dest. Wasser im Verhältnis von 5:50 hämolysiert, die Lösungen mit Kochsalz auf 0,8 % gebracht, dann zentrifugiert und den Rückstand 4- bis 5 mal mit großen Quantitäten 0,8 % iger Kochsalzlösung gewaschen. Bei dieser Darstellung mußte ein ungeheurer Verlust an Stroma stattgefunden haben, da das Globin in verdünnten Salzlösungen zum größten Teil löslich ist.

Die Arbeiten von Bang und Forssman, so verdienstvoll sie auch sonst sein mögen, bedürfen also einer Erweiterung durch eine Anzahl von Kontrollversuchen. So, wie sie jetzt vor uns liegen, sind sie nicht geeignet, die Ehrlichsche Seitenkettentheorie zu stürzen, wie das ja auch schon Hans Sachs auf Grund anderer Erwägungen ausgesprochen hat.

Beiträge zur Kenntnis ätherempfindlicher und ätherlöslicher Substanzen des Blutserums und ihr Einfluß auf einige Immunitäts-Reaktionen.

Von

Priv.-Doz. Dr. E. P. Pick, Adjunkt, und Dr. E. Pribram, Assistent des Instituts.

(Aus dem k. k. serotherapeutischen Institut in Wien.

Vorstand: Prof. Dr. R. Paltauf.)

(Eingegangen am 27. Mai 1908.)

Die alkohol- und ätherlöslichen Substanzen des Blutserums sind bisher nur einer spärlichen chemischen Bearbeitung unterzogen worden; erst in jüngster Zeit hat Letsche (1), ein Schüler Hüfners, in einer äußerst gründlichen Untersuchungsreihe wohl den ersten ernsteren Versuch unternommen, die in den Äther-Alkoholextrakten des Pferdeserums enthaltenen zahlreichen Substanzen chemisch genauer zu charakterisieren. Trotzdem müssen wir vorläufig einen großen Teil dieser Substanzen, welche in ihrer Gesamtheit als Lipoide bezeichnet werden, zu den chemisch noch unbekannten Körpern zählen. Aber auch biologisch ist uns nur wenig über die Bedeutung dieser Substanzen des Serums für verschiedene Serumreaktionen bekannt, während die analoge Körpergruppe der roten Blutkörperchen durch die Untersuchungen von Ransom (2), Kyes und Sachs (3), M. Hahn (4), Landsteiner und v. Eisler (5), Bang und Forssman (6), Dautwitz und Landsteiner (7) und neuerdings Gottlieb und Lefmann (8), Lefmann (9) und Takaki (10) in ihrer Bedeutung für die spezifische Gift- und Antigenwirkung erkannt worden ist.

Im Verlaufe von Untersuchungen über ätherlösliche Substanzen des Blutserums und ihre Bedeutung für seine verschiedenen physiologischen Wirkungen gelangten wir bei dem vergleichenden Studium tierischer sowie menschlicher Sera,

und zwar von Normalen und von Luetikern, zu einigen Ergebnissen, welche sowohl die Beteiligung ätherlöslicher Substanzen an manchen Immunreaktionen wahrscheinlich machen, als auch für die nähere Charakterisierung der bei den modernen Lues-Reaktionen beteiligten Substanzen verwertet werden können.

A. Einfluß der Atherextraktion tierischer und menschlicher Sera auf deren Immunreaktionen.

Als Immunreaktionen kamen für uns hier zunächst die Präzipitinreaktion und die Komplementablenkung in Betracht; über das Verhalten der hämolytischen und bakterizid wirkenden Sera gegenüber der Behandlung mit Äther liegen bereits Untersuchungen von Kyes und Sachs (3) vor, welche fanden, daß frisches Meerschweinchenserum durch Schütteln mit Äther ebenso wie die sonstigen kompletierenden Funktionen auch seine Cobragift aktivierende Fähigkeit einbüßt. Ottolenghi und Mori (11) konnten feststellen, daß Äthyläther durch Veränderung des „hämolytischen“ Komplements das hämolysierende Vermögen normaler Sera aufhebt, dagegen keine merkliche Wirkung auf die bakteriziden Komplemente ausübt. Auch wir haben uns in gelegentlich zu diesem Zwecke ausgeführten Versuchen in voller Übereinstimmung mit den gleichlautenden Angaben von Ottolenghi und Mori überzeugt, daß das hämolytische Komplement des Meerschweinchensersums durch Extraktion mit Äther rasch verschwindet, wobei Versuche mit dem in physiologischer NaCl-Lösung aufgeschwemmten Äther-rückstand irgendeine hämolysierende oder kompletierende Wirkung zu erzielen, ein negatives Resultat ergaben.

Die für die Präzipitinreaktion und Komplementablenkung verwendeten Sera wurden folgendermaßen verarbeitet. 10, resp. 20 und 40 ccm der betreffenden Sera wurden im Atherextraktionsapparate nach Schacherl verschieden lange Zeit — von 6 und 8 Stunden bis zu 60 Stunden — mit Äther extrahiert. Die Extraktion ging in der Regel ohne Bildung einer Emulsion vor sich; nur bei länger dauernder Extraktion trat in manchen Fällen, so bei länger anhaltender Extraktion des Rinderserums und des Serums von Luetischen, eine Emulsion auf. Das mittels Scheidetrichters von der leicht gelblich oder schwach rötlich gefärbten Ätherschicht abgehobene Serum wurde, wo

dies nötig war, mittels Durchlüftung oder durch kurzes Stehenlassen im Brutschrank bei 38° von dem eventuell die Reaktion störenden, im Serum gelöst gebliebenen Äther befreit, wobei jede Konzentrationsänderung vermieden wurde.

Der Ätherextrakt wurde entweder in offener Schale im Luftstrom oder auf dem geschlossenen Wasserbade verdunsten gelassen, und der erhaltene Rückstand für manche Versuche in physiologischer Kochsalzlösung, für andere im Serum direkt emulgiert; in bestimmten Fällen wurde auch derart vorgegangen, daß der Rückstand nochmals in ca. 2 bis 3 ccm Äther aufgenommen und diese Ätherlösung zu dem Serum zugefügt wurde; der Äther wurde dann in der früher angegebenen Weise aus dem Serum entfernt; auf diese Weise suchten wir eine möglichst vollkommene Aufnahme der ätherlöslichen Substanzen durch das Serum zu erzielen.

Zu unseren Versuchen verwendeten wir Rinderserum, Pferdeserum, Hundeserum, normales Menschenserum und Serum einer Patientin mit Erscheinungen frischer Lues. Als Immunsera dienten zur Präzipitation Sera von Kaninchen, welche mit Rinderserum, Pferdeserum, Hundeserum resp. normalem Menschenserum entsprechend lange vorbehandelt waren. Der Titre der Immunpräzipitine betrug 1:10 000 für Rinderserum, 1:1000 für Pferdeserum, 1:5000 für Hundeserum und 1:10 000 für Menschenserum. Bei denjenigen Versuchen, bei welchen die Hemmung der Wirkung des hämolytischen Komplements (die sog. „Komplementablenkung“) studiert wurde, benützten wir als hämolytisches System inaktiviertes Serum eines mit serumfreiem Rinderblute immunisierten Kaninchens, komplementhaltiges Meerschweinchen血清 und eine zirka 5%ige Aufschwemmung gewaschenen Rinderblutes in Kochsalzlösung. Die Einzelheiten der Versuchsanordnung gehen aus den Protokollen hervor.

I. Versuche mit Rinderserum und Rinderimmunserum.

1. Einfluß der Ätherextraktion auf die Präzipitinreaktion.

Normales Rinderserum wurde nativ mit dem obenerwähnten präzipitierenden Serum ausgewertet, ebenso nach 16 stündiger und nach 58 stündiger Ätherextraktion.

a) Auswertung des nativen Rinderserums mit Rinderimmuns-
serum (Nr. 22):

			nach 24 Stunden
			Beobachtung:
1.	0,4 ccm konz. Ser. + 0,4 ccm Immunser. Nr. 22		Niederschlag
2.	0,4 „ (1:10) + 0,4 „		„ (reichl.)
3.	0,4 „ (1:50) + 0,4 „		„ (sehr reichl.) [Optimum]
4.	0,4 „ (1:100) + 0,4 „		„ (reichl.)
5.	0,4 „ (1:1000) + 0,4 „		„
6.	0,4 „ (1:10000) + 0,4 „		0
7.	0,4 „ (1:50000) + 0,4 „		0

b) Auswertung des Rinderserums nach 19 stündiger Extraktion:

			nach 24 Stunden
			Beobachtung:
1.	0,4 ccm konz. Ser. + 0,4 ccm Immunser. Nr. 22		Niederschlag
2.	0,4 „ (1:10) + 0,4 „		„
3.	0,4 „ (1:50) + 0,4 „		„
4.	0,4 „ (1:100) + 0,4 „		„
5.	0,4 „ (1:1000) + 0,4 „		„(Optimum)
6.	0,4 „ (1:10000) + 0,4 „		„
7.	0,4 „ (1:50000) + 0,4 „		Bodensatz
8.	0,4 „ (1:100000) + 0,4 „		0

c) Auswertung des Rinderserums nach 58 stündiger Extraktion:

Verdünnung des extrah. Serums:		nach 24 Stunden	
		Beobachtung:	
1.	0,4 ccm (1:100) + 0,4 ccm Immunser. Nr. 22		Niederschlag
2.	0,4 „ (1:1000) + 0,4 „		„
3.	0,4 „ (1:10000) + 0,4 „		„(Optimum)
4.	0,4 „ (1:50000) + 0,4 „		„
5.	0,4 „ (1:100000) + 0,4 „		„
6.	0,4 „ (1:500000) + 0,4 „		Bodensatz
7.	0,4 „ (1:1000000) + 0,4 „		0

Es ergibt sich aus diesen Versuchsreihen, daß nach 16 stündiger Ätherextraktion das Vermögen des Rinderserums mit einem und demselben Immunserum zu präzipitieren um das 30 fache, nach 58 stündiger Extraktion um mehr als das 50 fache zugenommen hat. Die Zunahme drückte sich nicht allein aus in der gesteigerten Fähigkeit des Serums in höheren Verdünnungen mit dem Immunserum zu reagieren, was auch in der

Verschiebung des Optimums der Niederschlagsmengen zum Ausdruck kommt, sondern auch darin, daß die extrahierten Sera in gleichen Konzentrationen viel früher und reichlicher Niederschläge bildeten, als das native.

2. Einfluß der Ätherextraktion auf die Präzipitinreaktion mittels Komplementablenkung (Bordet-Gengou, Neisser-Sachs).

Zur Verwendung kamen dieselben Sera, welche in den vorhergehenden Versuchsreihen ausgewertet worden waren.

a) Auswertung des nativen Rinderserums mit Rinderimmunserum:

Verdünnung des Rinderserums	Meerschweinchen-serum	Rinderimmun-serum Nr. 22	Inaktiv. Rinderblut-immun-serum Nr. 17	5 % Blut-aufschw.	Beobachtung
1. [0,4 ccm (1:50)	+ 0,02 ccm	+ 0,1 ccm] ¹⁾	+ 0,02 ccm	+ 0,3 ccm	nach 24 Stunden Beobachtung keine Hämolyse
2. [0,4 ccm (1:100)	+ 0,02 „	+ 0,1 „]	+ 0,02 „	+ 0,3 „	n. 24 Std. keine Hämolyse
3. [0,4 ccm (1:1000)	+ 0,02 „	+ 0,1 „]	+ 0,02 „	+ 0,3 „	n. 15 Min. keine Hämol., n. 24 Std. partielle Hämol.
4. [0,4 ccm (1:5000)	+ 0,02 „	+ 0,1 „]	+ 0,02 „	+ 0,3 „	n. 15 Min. Beginn d. Hämol., n. 24 Std. part. Hämol.
5. [0,4 ccm (1:10000)	+ 0,02 „	+ 0,1 „]	+ 0,02 „	+ 0,3 „	n. 15 Min. komplet gelöst (wie Kontrolle 1.)

¹⁾ Die eingeklammerten Werte [...] bedeuten, daß die Mischungen dieser Flüssigkeiten vor dem Zusatz des hämolysierenden Immunserums und der Blutkörperchenaufschwemmung $\frac{1}{4}$ Stunde bei 37° gehalten wurden. Alle Röhrchen wurden mit isotonischer Kochsalzlösung auf gleiches Volumen aufgefüllt, 2 Stunden bei 37°, dann bei Zimmertemperatur stehen gelassen.

b) Auswertung des 58 Stunden mit Äther extrahierten
Rinderserums:

Verdünnung des Rinderserums	Meer- schwein- chen- serum	Rinder- immun- serum Nr. 22	Inaktiv. Rinder- blut- immun- serum Nr. 17	5 % Blutauf- schw.	Beobachtung
1. [0,4 ccm (1:50)	+0,02 ccm	+0,1 ccm]	+0,02 ccm	+0,3 ccm	n. 24 Std. keine Hämolyse
2. [0,4 ccm (1:100)	+0,02 „	+0,1 „]	+0,02 „	+0,3 „	n. 24 Std. keine Hämolyse
3. [0,4 ccm (1:1000)	+0,02 „	+0,1 „]	+0,02 „	+0,3 „	nach 24 Stunden keine Hämolyse
4. [0,4 ccm (1:10000)	+0,02 „	+0,1 „]	+0,02 „	+0,3 „	n. 15 Min. keine Hämol., n. 24 Std. partielle Hämol.
5. [0,4 ccm (1:100000)	+0,02 „	+0,1 „]	+0,02 „	+0,3 „	n. 15 Min. keine Hämol., n. 24 Std. partielle Hämol.
6. [0,4 ccm (1:200000)	+0,02 „	+0,1 „]	+0,02 „	+0,3 „	n. 15 Min. keine Hämol., n. 24 Std. partielle Hämol.
7. [0,4 ccm (1:500000)	+0,02 „	+0,1 „]	+0,02 „	+0,3 „	n. 15 Min. keine Hämol., n. 24 Std. komplet gelöst.
8. [0,4 ccm (1:1000000)	+0,02 „	+0,1 „]	+0,02 „	+0,3 „	n. 15 Min. kom- plet gelöst (wie Kontrolle 1)

Die zu diesen Versuchen notwendigen Kontrollen ergeben sich
aus folgender Reihe:

1. [0,02 ccm Meersch.-Ser. + 0,6 ccm. isoton. NaCl-Lösung] + 0,02 ccm
inaktiviert. Rinderblutimmunserum
Nr. 17 + 0,3 ccm Blutkörper.: n. 15 Min.
komplet gelöst.
2. [0,02 „ + 0,1 ccm Rinderimmunserum Nr. 22
+ 0,5 ccm isoton. NaCl-Lösung] + 0,02 ccm
inaktiv. Rinderblutimmunserum Nr. 17
+ 0,3 ccm Blutk.: n. 15 Min. komplet gelöst.
3. [0,02 „ + 0,1 ccm natives Rinderser. + 0,5 ccm
isoton. NaCl-Lösung] + 0,02 ccm inakt.
Rinderblutimmunserum Nr. 17 + 0,3 ccm
Blutkörper.: n. 15 Min. komplet gelöst.

4. [0,02 ccm Meerschw.-Ser. + 0,1 ccm extrah. Rinderser. + 0,5 ccm isoton. NaCl-Lösung] + 0,02 ccm inakt. Rinderblutimmunserum Nr. 17 + 0,3 ccm Blutkörperchen: n. 15 Min. beginnende Lösung, nach $\frac{1}{2}$ Stunde gelöst.
5. 0,02 ccm Rinderimmunserum Nr. 22 + 0,2 ccm isoton. NaCl-Lösung + 0,2 ccm Blutk.: n. 24 Std. keine Hämol.
6. 0,4 ccm inaktiv. Rinderblutimmunserum Nr. 17 + 0,2 ccm Blutkörper.: n. 24 Stunden keine Hämolyse.

In Übereinstimmung mit dem Ergebnisse der Präzipitinreaktion geht auch aus den mit Hilfe der spezifischen Komplementablenkung gewonnenen Resultaten hervor, daß die Empfindlichkeit des ätherextrahierten Serums für sein Immunserum nahezu um das 100fache gesteigert ist. Es enthält demnach das native Serum ätherlösliche Stoffe, welche die spezifische Präzipitinreaktion abschwächen oder vielmehr denjenigen Vorgang, welcher in den Eiweißlösungen der sichtbaren Niederschlagsbildung vorausgeht und sich in der sog. „Ablenkung des Komplements“ kundgibt. Es lag demnach die Notwendigkeit vor, zu untersuchen, ob nach Vereinigung des aus dem Rinderserum gewonnenen Ätherextraktes mit dem ausgeätherten Serum die ursprünglichen Verhältnisse des nativen Serums sowohl in Bezug auf Präzipitation, als auch in Bezug auf Komplementablenkung herzustellen waren.

3. Einfluß der ätherlöslichen Substanzen des Rinderserums auf die Präzipitinreaktion und Komplementablenkung.

Zur Entscheidung dieser Frage wurde der Ätherextrakt, welcher nach 58 stündigem Ausäthern von 40 ccm Rinderserum im Apparat nach Schacherl gewonnen war, auf dem Wasserbade eingedunstet, der Rückstand in wenig Äther aufgenommen und die eine Hälfte dieses Extraktes zu 1 ccm nativen, die andere Hälfte zu 1 ccm ätherextrahierten Rinderserums zugesetzt; beide Flüssigkeiten wurden gut durchgemischt, zur Entfernung des Äthers durchlüftet und $\frac{1}{2}$ Stunde bei 37° digeriert. Zur Kontrolle wurden die gleichen Sera mit Äther allein in analoger Weise behandelt. Alle Lösungen wurden dann in ver-

schiedenen Verdünnungen mit dem früher erwähnten Rinderimmunserum (Nr. 22) geprüft.

a) Auswertung des nativen Rinderserums nach Zusatz der Lipoides aus Rinderserum mittels Präzipitinreaktion.

Nr.	Nativ. Rinderserum nach Zusatz der Lipoides	Rinderimmunserum Nr. 22	Ausfall der Reaktion nach 24 Stunden
1.	0,3 ccm (1:10)	0,3 ccm	sehr reichl. Niederschl.
2.	0,3 „ (1:100)	0,3 „	„ „ „
3.	0,3 „ (1:500)	0,3 „	Niederschlag
4.	0,3 „ (1:1000)	0,3 „	Spur Bodensatz
5.	0,3 „ (1:10000)	0,3 „	0
6.	Kontrolle 0,3 ccm (1:10)	0,3 ccm isot. NaCl-Lösung	trüb, kein Niederschlag

b) Auswertung des extrahierten Rinderserums nach Zusatz der Lipoides des Rinderserums mittels Präzipitinreaktion.

Nr.	Extrahiertes Rinderserum nach Zusatz der Lipoides	Rinderimmunserum Nr. 22	Ausfall der Reaktion nach 24 Stunden
1.	0,3 ccm (1:10)	0,3 ccm	sehr reichl. Niederschl.
2.	0,3 „ (1:100)	0,3 „	„ „ „
3.	0,3 „ (1:500)	0,3 „	Niederschlag
4.	0,3 „ (1:1000)	0,3 „	deutlicher Niederschlag
5.	0,3 „ (1:10000)	0,3 „	0
6.	Kontrolle 0,3 ccm (1:10)	0,3 ccm isot. NaCl-Lösung	trüb, kein Niederschlag

c) Auswertung des nativen Rinderserums nach bloßem Ätherzusatz.

(Kontrolle zu a).		
Natives Rinderserum (ohne Lipoides)	Rinderimmunserum Nr. 22	Ausfall der Reaktion nach 24 Stunden
1. 0,3 ccm (1:10)	0,3 ccm	sehr reichl. Niederschl.
2. 0,3 „ (1:100)	0,3 „	„ „ „
3. 0,3 „ (1:1000)	0,3 „	Niederschlag
4. 0,3 „ (1:10000)	0,3 „	Bodensatz

d) Auswertung des extrahierten Rinderserums nach bloßem Ätherzusatz.

		(Kontrolle zu b).		Ausfall der Reaktion nach 24 Stunden sehr reichl. Niederschl.
Natives Rinderserum (ohne Lipide)		Rinderimmunserum Nr. 22		
1. 0,3 ccm (1:10)		0,3 ccm		
2. 0,3 „ (1:100)		0,3 „	„ „ „	
3. 0,3 „ (1:1000)		0,3 „	„ „ „	
4. 0,3 „ (1:10000)		0,3 „	„ „ „	

Weiter hier nicht ausgewertet!

e) Auswertung des nativen Rinderserums nach Zusatz der Lipide mittels Komplementablenkung.

Nativ. Rinderserum nach Zusatz der Lipide	Meer- schwein- chen- serum	Rinder- immun- serum Nr. 22	Inaktiv. Rinder- blut- Kaninch.- Serum Nr. 17	Blut- aufschw. (5 %)	Ausfall der Reaktion
1. [0,2 ccm (1:100)	0,02 ccm	0,2 ccm] ¹⁾	0,02 ccm	0,3 ccm	n. 24 Std. ungelöst
2. [0,2 „ (1:1000)	0,02 „	0,2 „]	0,02 „	0,3 „	nach 1/2 Std. Beg. d. Lösung, nach 1 Std. komplet gelöst
3. [0,2 „ (1:5000)	0,02 „	0,2 „]	0,02 „	0,3 „	nach 1/4 Std. Beg. d. Lösung, nach 1/2 Std. komplet gelöst
4. [0,2 „ (1:10000)	0,02 „	0,2 „]	0,02 „	0,3 „	n. 1/4 Std. kompl. gel.
Kontrolle:					
[0,2 „ (1:100)	0,02 „	0,2 „ isot.	0,02 „	0,3 „	n. 24 Std. ungelöst NaCl-Lös.]

f) Auswertung des extrahierten Rinderserums nach Zusatz der Lipide mittels Komplementablenkung.

Extrahiertes Rinder- serum nach Zusatz der Lipide	Meer- schwein- chen- serum	Rinder- immun- serum Nr. 22	Inaktiv. Rinder- blut- Kaninch.- Serum Nr. 17	Blut- aufschw. (5 %)	Ausfall der Reaktion
1. [0,2 ccm (1:100)	0,02 ccm	0,2 ccm]	0,02 ccm	0,3 ccm	n. 24 Std. ungelöst
2. [0,2 „ (1:1000)	0,02 „	0,2 „]	0,02 „	0,3 „	n. 1 Std. ungelöst, n. 24 Std. partiell gelöst
3. [0,2 „ (1:5000)	0,02 „	0,2 „]	0,02 „	0,3 „	n. 1/4 Std. ungel., n. 1/2 Std. Beg. d. Lös., n. 1 Std. d. komplet gelöst
4. [0,2 „ (1:10000)	0,02 „	0,2 „]	0,02 „	0,3 „	n. 1/4 Std. ungel., n. 1/2 Std. Beg. d. Lös., n. 1 Std. komplet gelöst

¹⁾ Vgl. die Anmerkung S. 422.

Kontrolle:

[0,2 ccm (1:100)	0,02 ccm 0,2 „isot.	0,02 ccm	0,3 ccm n. 1/2 Std. ungelöst,
	NaCl-Lös.]		n. 1 Std. partiell gel.,
			n. 24 Std. kompl. gel.

Auswertung des hämolytischen Systems:

0,02 ccm Meerschweinchenserum + 0,2 ccm Rinderimmun-Serum Nr. 22
 + 0,2 ccm NaCl-Lösung + 0,02 ccm inakt. Rinderblut-Kaninch.-Serum
 Nr. 17 + 0,3 Blutkörperchen: nach 1/4 Std. komplet gelöst.

Die angeführten Versuche zeigen deutlich, daß ätherlösliche Substanzen des Rinderserums sowohl zum nativen wie zum extrahierten Rinderserum zugesetzt, imstande sind, die Präzipitinreaktion in sehr deutlicher Weise abzuschwächen. Während die Kontrollproben c), d) noch in einer Verdünnung 1:1000, resp. 1:10000 eine reichliche Niederschlagsbildung erkennen lassen, präzipitieren die mit Lipoid versetzten Sera nurmehr in einer Verdünnung 1:500 bzw. 1:1000. Die Beeinflussung trat in einem zweiten Versuche noch deutlicher hervor, in welchem die Lipoid mit dem Serum nicht bloß (wie im vorigen Versuche) 1/2 Stunde, sondern 4 Stunden bei 37° und weitere 20 Stunden bei Zimmertemperatur digeriert wurden. Hier zeigte sich, daß das mit Lipoiden behandelte extrahierte Rinderserum nur noch in einer Verdünnung 1:500 deutlich präzipitierte; bei dem nativen Serum machte sich kein weiterer Einfluß geltend (Präzipitation bis 1:500). Ob eine weitere Abschwächung der Präzipitinreaktion bis zum Verschwinden durch Zusatz größerer Lipoidmengen, eventuell längere Einwirkung unter günstigeren Bedingungen möglich ist, muß dahingestellt bleiben. In dieser Hinsicht wäre vielleicht daran zu erinnern, daß durch zahlreiche Untersuchungen, wie die von Dormeyer (13), Nerking (12), v. Liebermann (14) und neuerdings jene von Mansfeld (30) und Bondi (31) die Existenz von Verbindungen der Eiweißkörper mit Fett und fettartigen Stoffen sichergestellt ist. Für das Vorhandensein derartiger Verbindungen der Eiweißkörper mit ätherlöslichen Substanzen im Serum haben sich uns aus anderweitigen Untersuchungen Anhaltspunkte ergeben. Doch darf nicht ohne weiteres angenommen werden, daß derartige Verbindungen, wenn sie auch durch anhaltende Atherextraktion gespalten werden könnten, durch bloßen Zusatz der ätherlöslichen Produkte wieder restituiert werden müßten.

Die gleichen Ergebnisse wie bei der spezifischen Präzipitation erhielten wir auch bei der Anwendung der Komplementablenkung. Auch hier trat sehr deutlich nach Zusatz der Lipoiden die Wiederherstellung der beim nativen Serum beobachteten Verhältnisse hervor. Während das extrahierte Serum bei einer Verdünnung 1:200000 (Versuch 2 b) in der gewählten Versuchsanordnung die Wirkung des kompletierenden Serums noch deutlich herabsetzte, finden wir, daß nach Zusatz des Ätherextraktes dasselbe Serum nicht mehr imstande ist, in einer Verdünnung 1:5000 unter gleichen Bedingungen die Hämolyse zu verhindern (Versuch 3 f). Es wurde also durch den Zusatz der Lipoiden die durch Extraktion etwa um das 50fache gesteigerte Wirkung des Serums nahezu um denselben Wert wieder vermindert. Das native Serum wurde verhältnismäßig in bedeutend geringerem Maße beeinflusst. Zu bemerken ist, daß der Zusatz der Lipoiden an sich bei Anstellung des Versuches mit 100facher Verdünnung (Kontrolle zu 3 e) und 3 f) die Hämolyse verhindert (natives Serum), respektive beeinträchtigt (extrahiertes Serum), eine Erscheinung, welche mit dem bekannten Verhalten gewisser Lipoiden (z. B. Cholesterin) in Einklang steht; da bereits in einer Verdünnung 1:1000 die hemmende Wirkung der Lipoiden wegfällt (e), könnten die Ergebnisse unserer Versuche durch dieses Verhalten höchstens insofern berührt werden, als das Wiedererscheinen der Hämolyse in den niedrigsten Verdünnungen durch den Lipoidzusatz an sich verhindert werden könnte.

II. Einfluß der Ätherextraktion des Pferdeserums, Hundeserums und Menschenserums auf deren Präzipitinreaktion.

Die in gleicher Weise wie mit dem Rinderserum unternommenen Versuche mit Pferdeserum führten zu dem Ergebnisse, daß die Ätherextraktion hier keinerlei Einfluß auf die Präzipitinreaktion hatte. Das selbst tagelang extrahierte Pferdeserum hatte einem präzipitierenden Immunsorum gegenüber die gleiche Wirksamkeit, wie das native Pferdeserum.

Hundeserum, durch 16 Stunden im Schacherl-Apparat extrahiert und mit präzipitierendem Kaninchenimmunsorum geprüft, zeigte folgendes Resultat:

a)

1.	0,3 ccm nativ. Hundeser.	(1:10)	+ 0,3 ccm Hundeimmunser.	Befund n. 24 Std.
				Niederschlag
2.	0,3 „ „ „	(1:100)	+ 0,3 „ „	„
3.	0,3 „ „ „	(1:1000)	+ 0,3 „ „	„
4.	0,3 „ „ „	(1:5000)	+ 0,3 „ „	„
5.	0,3 „ „ „	(1:10000)	+ 0,3 „ „	Spur Niederschlag

b)

1.	0,3 ccm extrah. Hundeser.	(1:10)	+ 0,3 ccm Hundeimmunser.	Niederschlag
2.	0,3 „ „ „	(1:100)	+ 0,3 „ „	„
3.	0,3 „ „ „	(1:1000)	+ 0,3 „ „	Spur Niederschlag
4.	0,3 „ „ „	(1:5000)	+ 0,3 „ „	0
5.	0,3 „ „ „	(1:10000)	+ 0,3 „ „	0

Man ersieht aus diesen Versuchen, daß das Hundeserum sich völlig anders verhält, als das Rinderserum. Während es gelingt, Rinderserum durch Ätherextraktion für die Präzipitinreaktion empfindlicher zu machen, verliert Hundeserum durch die Ätherextraktion bedeutend an seiner Reaktionsfähigkeit (in unserem Falle etwa um das 10 fache).

Ebenso wie Hundeserum verhielt sich normales Menschenserum nach etwa 20 stündiger Extraktion. Auch hier zeigte sich in wiederholten Versuchen, daß beim ätherextrahierten Serum die Präzipitation langsamer und spärlicher auftrat, als in den Kontrollen mit nativem Menschenserum. Doch war der Unterschied viel weniger auffällig als bei Hundeserum und drückte sich hauptsächlich in der zeitlichen Aufeinanderfolge der Niederschlagsbildung aus. Ein gleicher Versuch, der mit dem Serum Luetischer angestellt wurde, ergab keinen wesentlichen Unterschied in bezug auf die Präzipitation des ätherextrahierten und nativen Serums.

Überblickt man die bei der Ätherextraktion verschiedener Sera gewonnenen Resultate, so findet man, daß durch Entfernung ätherlöslicher Substanzen aus dem Serum deutliche Änderungen in bezug auf die Präzipitinreaktion und die mit ihr einhergehende Komplementablenkung auftreten; diese Änderungen drücken sich bei dem Serum verschiedener Tierarten verschieden aus, indem die erwähnten Reaktionen durch Ätherextraktion bei Rinderserum begünstigt, bei Hundeserum abgeschwächt werden. Menschenserum wird nur wenig, Pferdeserum gar nicht

beeinflusst. Diese Ergebnisse schließen nicht aus, daß, wie bereits früher hervorgehoben wurde, eine auf anderem Wege durchgeführte, energischere Entfernung der Lipoiden aus dem Serum prägnantere Resultate ergeben würde. Jedenfalls zeigte sich in unseren Versuchen, daß die spezifische Präzipitinreaktion in gewissem Sinne u. zwar bei verschiedenen Tierarten verschieden, durch im Serum selbst befindliche, fettähnliche Substanzen zu beeinflussen ist. Wie wir später sehen werden, unterscheidet sich das Rinderserum auch in Bezug auf andere Reaktionen von den übrigen Seris, ein Unterschied, der auch dort durch den Gehalt ätherlöslicher oder ätherempfindlicher Substanzen bedingt zu sein scheint. Ob diesen ätherlöslichen Substanzen auf die untersuchten Vorgänge eine spezifische Wirkung in der Weise zukommt, daß das aus dem Serum einer Tierart gewonnene Extrakt nur die Reaktion der Sera dieser Tierart beeinflusst, nicht aber die anderer, lassen wir dahingestellt; der verschiedene Einfluß der Ätherextraktion in unseren Fällen kann wohl auf der verschiedenen Dignität der ätherlöslichen Substanzen beruhen. Es wurden in neuester Zeit Anhaltspunkte dafür gewonnen, daß Lipoiden aus roten Blutkörperchen Träger gewisser artspezifischer Wirkungen sein können (vgl. Bang und Forssman (6), Landsteiner und Dautwitz (7), Lefmann (9), Takaki (10)); unsere Versuchsergebnisse erinnern einigermaßen an die von Landsteiner und von Eisler (5), welche eine hemmende Wirkung von Petrolätherextrakten aus roten Blutkörperchen verschiedener Tierarten auf Serumhämolyse sahen, und dabei eine Andeutung einer spezifischen Wirkung wahrnahmen. Ferner sei hier verwiesen auf die bemerkenswerten Befunde von Neuberg und seinen Mitarbeitern Rosenberg und Reicher (33), welche auf einen Parallelismus zwischen Fettspeicherung und gewissen Immunitätsvorgängen deuten und den Gedanken nahelegen, daß auch die auf Lipoiden eingestellten Lipasen an den Immunitätserscheinungen beteiligt sein könnten. Aus unseren Versuchen ergibt sich, daß lipoidartige Substanzen des Serums bis zu einem gewissen Grade seine spezifischen Reaktionen beeinflussen können. Das eigentliche Substrat der Artspezifität des Serums gehört jedoch zweifellos seinen ätherunlöslichen Bestandteilen an.

B. Einfluß der Ätherextraktion kolloidfällender Tier- und Menschensera auf die Komplementablenkung (nach Wassermann) und auf die Lecithinausflockung.

War durch unsere obigen Versuche der Einfluß der Ätherextraktion normaler tierischer Sera auf die spezifische Präzipitinreaktion und die mit ihr parallelgehende Komplementablenkung dargetan, so war es von Interesse zu untersuchen, wie sich jene Sera verhalten, welche im allgemeinen die Eigenschaften haben, mit anderen Kolloiden nicht spezifische Gele zu bilden. Bekanntlich gelang es Wassermann (15) und seinen Mitarbeitern das Serum Luetischer durch eine Reaktion zu charakterisieren, welche allem Anscheine nach auf der Fähigkeit dieses Serums beruht, nicht spezifische Gele zu bilden und dadurch das Komplement eines hämolysierenden Systems abzulenken. Zur Gelbildung wurden benutzt: wässrige und alkoholische Organauszüge, Lecithin, gallensaure Salze, ölsaures Natron, Cholesterin, Vaseline.¹⁾ Nach allen bisherigen Erfahrungen hat sich diese Reaktion als recht charakteristisch für das Serum Syphilitischer erwiesen. Interessanterweise konnte Landsteiner (24) zeigen, daß das Serum von Kaninchen, welche mit gewissen Trypanosomen infiziert worden waren, ebenfalls diese Eigenschaft, die es vorher nicht hatte, erwirbt. Im Verlaufe von Studien über dieses Phänomen wurde gezeigt, daß derartige Sera in hervorragendem Maße imstande sind, mit gewissen kolloidalen Suspensionen Niederschläge zu bilden (Porges (17): Lecithin, Levaditi (18): gallensaure Salze).

Neuere Untersuchungen, welche Lecithinsuspensionen als Kolloide charakterisierten (Mayer A. und Terroine (32), Höber (21), Porges und Neubauer) (22), haben dargetan, daß derartige Suspensionen außer von anorganischen und organischen Salzen auch von verschiedenen Kolloiden ausgeflockt werden. Es zeigte sich u. a., daß unter bestimmten Bedingungen (bei saurerer Reaktion) verschiedene Eiweißkörper (Eialbumin) und Tiersera imstande sind, Lecithinsuspensionen auszuflocken. Neutrale Lecithinsuspensionen, wie man sie durch Verreiben von Lecithin mit physiologischer Kochsalzlösung erhält, werden

¹⁾ Vgl. die Arbeiten von Landsteiner (16), Porges u. Meier (17), Levaditi und Yamanouchi (18), Sachs und Altmann (19), Fleischmann (20).

in der Regel nur vom Serum ganz bestimmter Tierarten oder vom Serum ausgeflockt, das Menschen oder Tieren entstammt, die unter dem Einflusse gewisser Krankheitsprozesse standen. So zeigte es sich, daß in der Regel normales Menschen-, Kaninchen- und Pferdeserum neutrales Lecithin nicht ausflocken, während normales Rinderserum in derartigen Suspensionen sehr deutliche Niederschläge hervorruft (Weil und Braun) (23). Bei menschlichen Seris fand Porges, wie bereits erwähnt wurde, daß Serum von Luetischen die Fähigkeit besitzt, mit Lecithin Fällungen zu geben; ähnliche Eigenschaften scheinen nach neueren Erfahrungen in geringerem Maße dem Serum Tuberkulöser, Typhöser, Carcinomatöser innezuwohnen (v. Eisler (26), Weil u. Braun (23), Stumme (29)).

Zur Charakterisierung der Bestandteile der an diesen Gelbildungen beteiligten Sera kann nur Weniges angeführt werden. Landsteiner (24) beobachtete, daß Globulin aus normalem Menschenserum durch Kohlensäure ausgefällt, die Wassermannsche Reaktion gibt. Groß und Volk (25) fanden ein gleiches Verhalten für Euglobulin und Pseudoglobulin, die durch Ammonsulfatfällung aus dem Serum Gesunder und Syphiliskranker gewonnen waren. Levaditi (18) glaubt, einen alkohollöslichen Körper des Serums für die Beteiligung an der Reaktion in Anspruch nehmen zu können. Auch darüber, welche Substanzen des Serums an der Ausfällung kolloidaler Suspensionen, speziell des Lecithins, beteiligt sind, ist nichts bekannt. Nur Weil und Braun (23) geben an, daß auf 62° C erhitztes Rinderserum diese Fähigkeit verliert. v. Eisler (26) folgert aus Versuchen, in denen er findet, daß die Lecithinausflockung nicht der Komplementreaktion parallel geht, daß beide Phänomene von verschiedenen Substanzen abhängig sind und wahrscheinlich unabhängig voneinander im Serum vorkommen. Groß und Volk (25) fällten mit dem Serum Luetischer Lecithin aus und stellten mit der abzentrifugierten Flüssigkeit die Komplementreaktion an; diese gelang nur mehr unvollständig. Eine Trennung dieser beiden Serumkomponenten auf dem von ihnen eingeschlagenen Wege war demnach nicht erreicht. Versuche von Toyosumi, die lecithinausflockende Eigenschaft des Rinderserums durch Bakterienadsorption zu erschöpfen, führten zu keinem eindeutigen Resultat. Über einzelne hier erwähnte Punkte, besonders über

einige eigenartige Eigenschaften des Luesserums hofften wir durch die Entfernung der ätherlöslichen Substanzen des Serums Aufschluß zu erlangen.

I. Einfluß der Ätherextraktion der kolloidfällenden Sera auf die Lecithinausflockung.

Die Ätherextraktion aller hier verwendeten Sera fand in der früher beschriebenen Weise statt. Als Lecithinaufschwemmung diente eine ca. 0,5 %ige Emulsion von mit Aceton gereinigtem Lecithin¹⁾ in physiologischer Kochsalzlösung. Die Sera, bzw. ihre Verdünnungen, wurden zu gleichen Teilen mit der Lecithinsuspension gemischt, und mehrere Stunden im Brutschrank stehen gelassen. Um dem Einwande zu begegnen, daß durch Gegenwart des Äthers allein Änderungen des Resultates bedingt werden könnten, stellten wir Kontrollen auf, welchen Äther zugesetzt wurde; dabei konnten wir die Beobachtung machen, daß die mit Äther versetzten und kurz geschüttelten Proben sogar rascher die Lecithinsuspension ausflockten als die mit nativem Serum beschickten.

Normales Menschenserum:

nach 4 Std. (37°) u. 20 Std. (18°)

Nativ:	0,5 ccm konz.	+	0,5 ccm Lecith. susp.	...	kein Niederschlag
	0,5 „ (1:10)	+	0,5 „ „ „	...	„
Extrh.:	0,5 „ konz.	+	0,5 „ „ „	...	„
	0,5 „ (1:10)	+	0,5 „ „ „	...	„

Luesserum:

Nativ:	0,5 „ konz.	+	0,5 ccm Lecith. susp.	...	Ausflockung (nach 15 Minuten)
	0,5 „ (1:10)	+	0,5 „ „ „	...	Ausflockung (nach 3 Stunden)
Extrh.:	0,5 „ konz.	+	0,5 „ „ „	...	kein Niederschlag
	0,5 „ (1:10)	+	0,5 „ „ „	...	„

Rinderserum:

Nativ:	0,5 „ konz.	+	0,5 ccm Lecith. susp.	...	Ausflockung (nach 1 Stunde)
	0,5 „ (1:10)	+	0,5 „ „ „	...	Ausflockung (nach 3 Stunden)
Extrh.:	0,5 „ konz.	+	0,5 „ „ „	...	kein Niederschlag
	0,5 „ (1:10)	+	0,5 „ „ „	...	„

¹⁾ Für die lebenswürdige Überlassung einer größeren Menge des Lecithinpräparates sind wir Herrn Dozenten Dr. S. Fränkel zu besonderem Danke verpflichtet.

Ein Versuch, in welchem eine 1%ige Lösung von glykollsaurem Natrium statt der Lecithinsuspension verwendet wurde, fiel in gleicher Weise aus. Derartige Versuche wurden wiederholt ausgeführt und ergaben stets dasselbe Resultat. Sie zeigen, daß nach Ätherextraktion die betreffenden Sera (Luesserum, Rinderserum) ihre Eigenschaft, mit Lecithin Niederschläge zu geben, völlig einbüßen. Es lag also nahe, die durch Ausäthern dieser Sera gewonnenen Extrakte auf ihr Verhalten gegenüber Lecithinsuspensionen zu prüfen, da die Möglichkeit vorlag, daß ätherlöslichen Substanzen des Serums die Eigenschaft zukommt, Lipoidsuspensionen auszuflocken. Diebezügliche Versuche lieferten ein negatives Resultat, auch dann, wenn wir die Extrakte zu dem Serum, aus dem sie gewonnen waren, zusetzten. Trotzdem besteht die Möglichkeit, daß es sich bei der Lecithinausflockung dieser Sera um eine Ausflockung des Lecithins durch Serumlipoide handelt, denn es muß berücksichtigt werden, daß durch bloßen Zusatz der Ätherextrakte zu dem Serum die ursprünglichen Verhältnisse des nativen Serums nicht wieder herzustellen sind, zumal nicht die physikalisch-chemischen, die, wie man weiß, durch subtilste Änderungen (elektrische Umladung, Viscositätsänderungen, Änderungen der relativen Mengenverhältnisse, usw.) häufig in entgegengesetzter Weise beeinflusst werden können. Daß durch die Ätherextraktion tiefer eingreifende Änderungen des Serums nicht stattfinden, geht daraus hervor, daß dasselbe Serum, welches durch Ätherextraktion seine Fähigkeit verloren hat, mit Lecithin zu flocken, seine Fähigkeit mit spezifischem Präzipitin zu reagieren, völlig beibehalten hat (Luesserum), ja sogar noch empfindlicher geworden ist (Rinderserum). Es unterscheiden sich somit diejenigen Sera, welche imstande sind, Lecithin auszuflocken, von den nicht ausflockenden dadurch, daß sie einen Gehalt an lecithinfällenden ätherlöslichen oder durch Ätherbehandlung beeinflussbaren Substanzen besitzen. Menschliches Serum flockt normalerweise nicht aus. Es ist demnach nicht unwahrscheinlich, daß die Fähigkeit welche das Serum durch gewisse Krankheiten (Lues, Carcinom, Tuberkulose) gewinnt, auf einem Gehalt an ätherlöslichen oder ätherempfindlichen Substanzen beruht, die auf den Zerfall gewisser Organbestandteile zurückgeführt werden dürften. Ein höherer Gehalt an Lipoiden

allein, ohne Rücksicht auf deren Herkunft, bedingt noch keineswegs die in Rede stehende Fähigkeit des Serums; denn eine Vermehrung der Lipide, wie sie Takaki (28) in neuester Zeit im Verlaufe der verschiedensten Immunisierungsprozesse (Tetanus, Diphtherie, Typhus, Dysenterie, Streptokokken) gefunden hat, geht durchaus nicht parallel mit der Lecithinausflockung, wie uns eigene Versuche gelehrt haben. Versuche mit alkohol-löslichen Substanzen des Rinderserums zeigten, daß dieselben ebenfalls nicht imstande sind, Lecithin auszuflocken. Zu diesem Zwecke wurde das Serum mit dem doppelten Volumen 95%igen Alkohols gefällt, das Filtrat bei 37° eingengt und der in Kochsalzlösung aufgenommene Rückstand in verschiedenen Konzentrationen geprüft. Diese Resultate sind leicht erklärlich, wenn man die relativ große Labilität dieser Eigenschaft des Serums berücksichtigt.

Bereits Weil und Braun (23) erwähnen, daß das Serum bei 62° C die erwähnte Fähigkeit verliert. Dasselbe fanden wir beim Eintrocknen des nativen Serums bei 37° und in Übereinstimmung mit Toyosumi (28) bei längerem Lagern der Rindersera. Sowohl die Labilität, wie die Empfindlichkeit gegen Äther erinnern an das ähnliche Verhalten des Komplementes wie auch der Kobragift aktivierenden Substanz des Serums. Daß die Inaktivierung der ätherempfindlichen Substanz ähnlich wie bei der Kobragift-aktivierenden Wirkung des Lecithins nach Kyes und Sachs (3) auch hier durch eine Veränderung des eiweißhaltigen Mediums beeinflußt werden kann, ist immerhin möglich.¹⁾

Einige Versuche über die Natur des erhaltenen Niederschlages wurden in folgender Weise angestellt: 100 ccm Rinderserum wurden mit 50 ccm einer 1%igen Lecithinemulsion in Kochsalzlösung gemischt und 1/2 Stunde bei 40° ge-

¹⁾ Durch Fraktionieren mit Ammonsulfat konnten wir aus dem Rinderserum keine wirksamen Lösungen erhalten, wohl aber flockte das aus dem Luesserum gewonnene Globulin Lecithinsuspensionen aus, während das Albumin unwirksam blieb. Ob an dem negativen Ausfall bei Rinderglobulin der Salzgehalt der Lösung eine Rolle spielt, bleibe dahingestellt. Der positive Ausfall bei Luesserumglobulin ist, wie entsprechende Kontrollen lehrten, vom Salzgehalt unserer Lösungen unbeeinflusst geblieben.

halten; der nach mehrstündigem Stehen (in der Kälte) erhaltene Niederschlag wurde abgehoben und durch gründliches Waschen mit physiologischer Kochsalzlösung auf der Zentrifuge von anhaftendem Serum möglichst befreit. Man erhielt auf diese Weise einen ungefärbten, ziemlich voluminösen Niederschlag, der sich bis auf Spuren in Äther und nahezu restlos in Ätheralkohol löste. In Alkohol und Chloroform war er löslich und ließ sich aus Ätheralkohol mit Aceton zum Teile wieder ausflocken. Es scheinen also in Übereinstimmung mit unseren früheren Untersuchungen hauptsächlich Lipide an der Niederschlagsbildung beteiligt zu sein. Auch der bei der Ausflockung des Lecithins durch Luesserum erhaltene frisch ausgeflockte Niederschlag löst sich glatt nach Ätherzusatz. Doch müssen wir die Frage nach der Beteiligung von Eiweißsubstanzen des Serums an dem Niederschlage auf Grund der neueren Erfahrungen über die Änderung der Löslichkeitsverhältnisse der Eiweißkörper in Lecithin- und Mastixsuspensionen (Michaelis und Rona) offen lassen, wenn wir auch keine Anhaltspunkte für die Anteilnahme der Eiweißkörper an der Niederschlagsbildung gewonnen haben (vergl. diesbezüglich E. P. Pick im Handbuch Kraus-Levaditi S. 334).

Diese Angaben gelten für frisch ausgeflockte Niederschläge, welche im Verlaufe von einer oder von wenigen Stunden in dem Reaktionsgemisch entstanden sind und die wir allein als unverändertes Reaktionsprodukt ansehen können; Niederschläge dagegen, welche sich aus Rinderserum oder aus Luesserum nach längerem (etwa 24—48stündigem) Stehen mit Lecithinsuspensionen ausscheiden, erweisen sich häufig in den früher genannten Lösungsmitteln als völlig unlöslich und geben, in Lauge gelöst, zumeist eine deutliche Biuretreaktion.

Unsere obigen Befunde über die Löslichkeitsbedingungen frisch gefällter Rinderserum resp. Luesserum-Lecithin-Niederschläge stehen in guter Übereinstimmung mit analogen Untersuchungen von A. Mayer und Terroine (32) über die Beschaffenheit von Niederschlägen, welche mit dialysirtem, leicht angesäuertem Eier- und Pferdeserum-Albumin mit Lecithinsuspensionen erhalten worden sind.

II. Einfluß der Ätherextraktion der kolloidfällenden Sera auf die Komplementablenkung nach Wassermann.

Die Versuchsanordnung gestaltete sich in der von Wassermann und seinen Mitarbeitern angegebenen Weise mit der von Landsteiner (16) eingeführten Modifikation. Sie unterschied sich nur insofern, als wir statt der von Landsteiner neuerdings verwendeten alkoholischen Herzextrakte Kochsalzextrakte aus Meerschweinchenherzen benutzten, um nicht mit dem Alkohol eine neue Komponente einzuführen. Als hämolytisches System verwendeten wir in Anbetracht dessen, daß nach zahlreichen Erfahrungen menschliches Serum für sich Hammelblut zu lösen vermag, Rinderblut und entsprechendes Immuns serum vom Kaninchen. Zur Untersuchung kamen dieselben Sera, wie in den früheren Versuchen; auch die Technik war die gleiche.

Auswertung des hämolytischen Systems:

1. 0,1 ccm inakt. Rinderblutimmuns serum Nr. 17 (1:10)
+ 0,1 Meerschweinchens serum + 0,3 ccm 5% Rindblutaufschw.
nach $\frac{1}{4}$ Std. gelöst.
2. [0,1 ccm Meerschweinchens serum + 0,1 ccm Herzextr.]¹⁾
+ 0,1 ccm inakt. Rinderblutimm.-Ser. Nr. 17 (1:10) + 0,3 ccm
Bl. nach $\frac{1}{4}$ Std. gelöst.
3. 0,2 ccm inaktiv. Rinderblutimm.-Ser. Nr. 17 (1:10) + 0,3 ccm Bl.
nach 24 Std. keine Hämolyse.
4. 0,1 ccm Herzextr. + 0,3 ccm Bl. nach 24 Std. keine Hämolyse.

Natives normales Menschens serum:

1. [0,1 ccm nat. S. + 0,1 ccm Meerschweinchens serum + 0,1 ccm Herzextr.]
+ 0,1 ccm inakt. Rinderblutimm.-Ser. Nr. 17 (1:10)
+ 0,3 ccm Bl. nach $\frac{1}{2}$ Std. gelöst.

Ätherextrahiertes normales Menschens serum.

2. [0,1 ccm extr. S. + 0,1 ccm Meerschweinchens er. + 0,1 ccm Herzextr.]
+ 0,1 ccm inakt. Rinderblutimm.-Ser. Nr. 17 (1:10)
+ 0,3 ccm Bl. nach $\frac{1}{2}$ Std. gelöst.

Natives Luessers erum:

3. [0,1 ccm nat. S. + 0,1 ccm Meerschweinchens er. + 0,1 ccm Herzextr.]
+ 0,1 ccm inakt. Rinderblutimm.-Ser. Nr. 17 (1:10)
+ 0,3 ccm Bl. nach 24 Std. ungelöst (überstehende
Flüssigkeit farblos).

Extrahiertes Luessers erum:

4. [0,1 ccm extr. S. + 0,1 ccm Meerschweinchens er. + 0,1 ccm Herzextr.]
+ 0,1 ccm inakt. Rinderblutimm.-Ser. Nr. 17 (1:10)

¹⁾ Vgl. Anmerkung S. 422.

+ 0,3 ccm Bl. nach 24 Std. ungelöst (überstehende Flüssigkeit farblos).

Kontrollversuche ohne Herzextrakt:

Natives normales Menschenserum:

5. [0,2 ccm nat. Ser. + 0,1 ccm Meerschweinchenserum]
+ 0,1 ccm inakt. Rinderblutimm.-Ser. Nr. 17 (1:10) + 0,3 ccm
Bl. nach $\frac{1}{2}$ Std. gelöst.

Extrahiertes normales Menschenserum:

6. [0,2 ccm extr. S. + 0,1 ccm Meerschweinchenserum]
+ 0,1 ccm inakt. Rinderblutimm.-Ser. Nr. 17 (1:10) + 0,3 ccm
Bl. nach $\frac{1}{2}$ Std. gelöst.

Natives Luesserum:

7. [0,2 ccm nat. S. + 0,1 ccm Meerschweinchenserum]
+ 0,1 ccm inakt. Rinderblutimm.-Ser. Nr. 17 (1:10) + 0,3 ccm
Bl. nach 1 Std. gelöst.

Extrahiertes Luesserum:

8. [0,2 ccm extrh. S. + 0,1 ccm Meerschweinchenserum]
+ 0,1 ccm inakt. Rinderblutimm.-Ser. Nr. 17 (1:10) + 0,3 ccm
Bl. nach 24 Std. ungelöst. (Flüssigkeit farblos.)

In den angewendeten Mengen löste keines der verwendeten Sera Rinderblut:

1. 0,2 ccm nat. norm. Menschenserum + 0,3 ccm Rinderblutaufschw.
nach 24 Std. ungelöst.
2. 0,2 ccm extrh. Menschenserum + 0,3 ccm Rinderblutaufschw.
nach 24 Std. ungelöst.
3. 0,2 ccm nat. Luesserum + 0,3 ccm Rinderblutaufschw.
nach 24 Std. ungelöst.
4. 0,2 ccm extrh. Luesserum + 0,3 ccm Rinderblutaufschw.
nach 24 Std. ungelöst.

Aus diesen Versuchen geht hervor, daß ätherextrahiertes normales Menschenserum sich von dem nativen nicht unterscheidet; weder in Gegenwart von Herzextrakt, noch als solches ist das extrahierte Menschenserum imstande, die Komplementwirkung zu beeinflussen. Ganz anders verhält sich das Luesserum. Hier hemmt bereits das native Serum bei Anwesenheit von Herzextrakt die Hämolyse (Wassermannsche „Komplementablenkung“), ebenso das extrahierte. Ohne Zusatz von Herzextrakt erweist sich natives Luesserum wirkungslos, während extrahiertes die Hämolyse vollständig aufhebt. Es hat demnach durch die Ätherextraktion das Luesserum im Gegensatz zu normalem Menschenserum eine Änderung erfahren. Die charakteristische Eigenschaft des Luesserums, welche es durch Zusatz des Herzextraktes ge-

winnt, kommt dem ätherextrahierten Luesserum an sich zu. Es ist offenbar durch Ätherextraktion eine hemmende Komponente in Wegfall gekommen, welche verhindert, daß natives Luesserum an sich Komplement bindet. Für das Vorhandensein dieser Eigenschaft im nativen Serum spricht der Umstand, daß fast jedes Luesserum in mehr oder weniger ausgesprochener Weise eine stärkere Verzögerung der Hämolyse herbeiführt als normales Menschenserum. Die von uns beobachtete Hemmung der Hämolyse nach Ätherextraktion scheint also eine spezifische Eigenschaft des Luesserums zu sein, welche vielleicht mit der von Wassermann und seinen Mitarbeitern angegebenen identisch ist oder wenigstens in innigem Zusammenhange mit ihr steht. Um die Sicherheit zu haben, daß nicht zufällige Veränderungen des Serums für diesen Befund maßgebend sind, stellten wir außer den oben erwähnten Versuchen mit ätherextrahiertem normalem Menschenserum auch Versuche mit ätherextrahiertem Rinderserum und Hundeserum an, welche zeigten, daß diese das hämolytische System ebensowenig alterieren wie extrahiertes Menschenserum:

Normales Rinderserum:

1. [0,1 ccm Rinderserum + 0,1 ccm Meerschweinchenserum]
+ 0,1 ccm inakt. Rinderblutimm.-Ser. Nr. 17 (1 : 10) + 0,3 ccm
Blutaufschw. nach $\frac{1}{2}$ Std. gelöst.

Extrahiertes Rinderserum:

2. [0,1 ccm Rinderserum + 0,1 ccm Meerschweinchenserum]
+ 0,1 ccm inakt. Rinderblutimm.-Ser. Nr. 17 (1 : 10) + 0,3 ccm
Blutaufschw. nach $\frac{1}{2}$ Std. gelöst.

Normales Hundeserum:

3. [0,1 ccm Hundeserum + 0,1 ccm Meerschweinchenserum]
+ 0,1 ccm inakt. Rinderblutimm.-Ser. Nr. 17 (1 : 10) + 0,3 ccm
Blutaufschw. nach $\frac{1}{2}$ Std. gelöst.

Extrahiertes Hundeserum:

4. [0,1 ccm Hundeserum + 0,1 ccm Meerschweinchenserum]
+ 0,1 ccm inakt. Rinderblutimm.-Ser. Nr. 17 (1 : 10) + 0,3 ccm
Blutaufschw. nach $\frac{1}{2}$ Std. gelöst.

Es bleibt noch zu bemerken, daß die aus den verschiedenen Seris gewonnenen Extrakte in Kochsalzlösung aufgenommen die für die betreffenden Sera charakteristischen Wirkungen, wie die Komplementhemmung und deren Aufhebung, in keiner Weise zu beeinflussen imstande waren.

Da, wie wir früher gesehen haben, Luesserum nach Ätherextraktion Lecithinsuspensionen nicht mehr ausflockt, während durch dieses Verfahren die Eigenschaft, Komplement zu hemmen, scheinbar manifest wird, so hängt offenbar die Lecithinausflockung des luetischen Serums mit anderen Vorgängen zusammen, als die komplementbindende Wirkung.

Zusammenfassung:

1. Die spezifische Präzipitinreaktion und die damit zusammenhängende Komplementreaktion kann durch Ätherextraktion des Serums in der Weise beeinflusst werden, daß diese Reaktion gesteigert (Rinderserum) oder abgeschwächt wird (Hundeserum, Menschenserum) oder unbeeinflusst bleibt (Pferdeserum). Durch Zusatz von Ätherextrakt kann der Zustand des nativen Rinderserums wiederhergestellt werden.

2. Kolloidfällende Sera (Luesserum, Rinderserum) verlieren diese Eigenschaften durch Ätherextraktion. An der Niederschlagsbildung haben hauptsächlich äther-, alkohol-, alkohol-äther- und chloroform-lösliche Körper Anteil. Eiweißkörper scheinen in größeren Mengen daran nicht beteiligt zu sein.

3. Luesserum behält nach Ätherextraktion nicht bloß die Fähigkeit, die Wassermannsche Komplementablenkungsreaktion zu geben, sondern wird sogar befähigt, an sich, ohne Organextrakt, in intensiver Weise Komplement zu binden.

4. Dieser komplementbindende Serumbestandteil ist verschieden von dem lecithinfällenden.

Literatur.

1. E. Letsche: Beiträge zur Kenntnis der organischen Bestandteile des Serums. Zeitschr. f. physiol. Chem. **53**, 31, 1906.
2. Ransom: Saponin und sein Gegengift. Sitzungsber. d. Ges. z. Förd. d. gesamten Naturw. z. Marburg **1901**, 37—41.
3. Kyes u. Sachs: Zur Kenntnis der Kobragift-aktivierenden Substanzen. Berl. klin. Wochenschr. **1903**, 2—4.
4. M. Hahn: Der Petrolätherextrakt des Blutes normaler und immunisierter Tiere. Münch. med. Wochenschr. **1904**, 689.
5. K. Landsteiner u. M. v. Eisler: Über die Wirkungsweise hämolytischer Sera. Wiener klin. Wochenschr. **1904**, 676.
6. J. Bang u. Forssman: Untersuchungen über die Hämolysebildung. Beiträge z. chem. Physiol. u. Pathol. **8**, 236, 1906.

7. Dautwitz u. Landsteiner: Über die Beziehungen der Lipide zur Serumhämolyse. Beiträge z. chem. Physiol. u. Pathol. 9, 431, 1907.
8. R. Gottlieb u. G. Lefmann: Über die Giftstoffe des artfremden Blutes. Medizin. Klin. 1907, 15.
9. G. Lefmann: Zur Kenntnis der Giftsubstanzen des artfremden Blutes. Beiträge z. chem. Physiol. u. Pathol. 11, 255, 1908.
10. K. Takaki: Zur Kenntnis des Lysinogens der Blutscheiben. ibid. 11, 274, 1908.
11. D. Ottolenghi u. N. Mori: Die Wirkung des Äthyläthers auf die hämolytischen und bakteriziden Sera. Centralbl. f. Bakt. 88, 338, 468, 1905.
12. J. Nerking: Neue Beiträge zur Fettbestimmung in tierischen Geweben und Flüssigkeiten. Pflügers Archiv 73, 172, 1898.
13. Dormeyer: Die quantitative Bestimmung von Fetten, Seifen und Fettsäuren im tierischen Organismus. Pflügers Archiv 65, 90.
14. L. Liebermann u. S. Székely: Eine neue Methode zur Fettbestimmung in Futtermitteln, Fleisch, Kot usw. Pflügers Archiv 72, 360, 1898.
15. A. Wassermann, A. Neisser, C. Bruck u. A. Schucht: Weitere Mitteilungen über den Nachweis spezifisch-luetischer Substanzen durch Komplementverankerung. Zeitschr. f. Hygiene 55, 451, 1906.
16. K. Landsteiner, R. Müller u. O. Pötzl: Zur Frage der Komplementbindungsreaktionen bei Syphilis. Wiener klin. Wochenschr. 1907, 1565.
17. O. Porges u. Meier: Berl. klin. Wochenschr. 1907, 1655.
- 17a. H. Elias, E. Neubauer, O. Porges u. H. Salomon: Über die Spezifität der Wassermannschen Syphilisreaktion. Wiener klin. Wochenschr. 1908, 18, 652.
18. C. Levaditi u. Yamanouchi: Le Séro-Diagnostic de la syphilis. Compt. rend. des séances de la soc. de biol. Séance du 21. 12. 1907 63, 740. Dieselb.: Séroreaction de la syph. et de la paralysie générale: ibid. 64, 27, séance du 11. I. 1908.
19. H. Sachs u. Altmann: Über die Wirkung des oleinsäuren Natrons bei der Wassermannschen Reaktion auf Syphilis. Berl. klin. Wochenschr. 1908, 494.
20. Fleischmann: Zur Theorie und Praxis der Serumdiagnose der Syphilis. ibid. 1908, 490.
21. Höber: Zur Kenntnis der Neutralsalzwirkungen. Beiträge z. chem. Physiol. u. Pathol. 11, 35, 1908.
22. O. Porges u. E. Neubauer: Physikalisch-chemische Untersuchungen über das Lecithin und Cholesterin. Diese Zeitschr. 7, 152, 1907.
23. E. Weil u. H. Braun: Über Antikörper bei Tumoren. Wiener klin. Wochenschr. 1908, 650, und Lotos-Berichte 56, Nr. 3, 1908.
24. K. Landsteiner, R. Müller und O. Pötzl: Über Komplementbindungsreaktionen mit dem Serum von Dourinetieren. Wiener klin. Wochenschr. 1907, 1421.

25. Groß u. Volk: Serodiagnostische Untersuchungen bei Syphilis. Wiener klin. Wochenschr. 1908, 647.
 26. v. Eisler: Über Komplementablenkung u. Lecithinausflockung. Wiener klin. Wochenschr. 18, 422, 1908.
 27. Toyosumi: Über den Mechanismus der Lecithinausflockung durch Rinderserum. Wiener klin. Wochenschr. 1908, 611.
 28. Takaki: Über Tetanusgift bindende Bestandteile des Gehirns. Beiträge z. chem. Physiol. u. Pathol. 11, 288, 1908.
 29. Stumme: Wiener klin. Wochenschr. 1908. (Sitzungsberichte.)
 30. Mansfeld, G.: Das Wesen der sogenannten Lipolyse. Centralbl. f. Physiol. 1907, 666.
 31. Bondi, S.: Über Lipoproteide und die Deutung der degenerativen Zellverfettung. Wiener klin. Wochenschr. 1908, 487.
 32. Mayer André u. E. F. Terroine: Recherches sur les complexes colloïdaux d'albuminoïdes et de lipoides. I. Les lécithalbumines sont des complexes colloïdaux. Comptes rend. de la soc. de biolog. 1907, I, pag. 398, séance du 9 mars 1907.
 33. Neuberg u. Rosenberg: Lipolyse, Agglutination und Hämolyse. I. Berl. klin. Wochenschr. 1907, 54; — ferner Neuberg u. Reicher: Lipolyse, Agglutination und Hämolyse. II. Diese Zeitschr., 4, 281, 1907; — ferner Neuberg u. Reicher: Lipolyse, Agglutination und Hämolyse. III. Münch. med. Wochenschr. 1907, Nr. 35.
-

Permeabilität von Membranen in zwei entgegengesetzten Richtungen.

Von

H. J. Hamburger.

(Mit 1 Figur im Text.)

(Aus dem physiologischen Institut der Universität Groningen.)

(Eingegangen am 29. Mai 1908.)

I. Einleitung.

Noch stets bekämpfen einander zwei Auffassungen der Resorption im Verdauungstraktus: die, nach der die Aufsaugung im wesentlichen als ein physikalischer Prozeß zu betrachten sei, und die, nach welcher neben mechanischen Einflüssen auch sogenannte physiologische Triebkräfte eine Rolle, oder besser gesagt, die Hauptrolle spielen. Diese physiologischen Triebkräfte gehören nur dem lebenden Darm an und bilden eine Lebenseigenschaft der Mucosa. Bereits vor einigen Jahren meinten wir die erste, d. h. die sogenannte mechanische Auffassung huldigen zu müssen¹⁾ und noch vor anderthalb Jahr haben wir neue Versuche angestellt, welche zu derselben Schlußfolgerung führten.²⁾

Jedoch vergaßen wir, nicht auch bei letzterer Gelegenheit darauf hinzuweisen, daß die physiologischen Eigenschaften der lebenden Membranen sich in mancherlei Hinsicht durch das Absterben ändern müssen. Wir äußerten uns in folgender Weise³⁾:

„Ich denke nicht daran, behaupten zu wollen, daß das Leben auf den Resorptionsprozeß keinen Einfluß ausüben kann und es auch wirklich

¹⁾ Vgl. u. a. Osmotischer Druck und Ionenlehre, 2, 166—221, 1904.

²⁾ Hamburger, Nederl. Tijdschrift v. Geneeskunde, 2, 1906.

³⁾ Hamburger, Centralbl. f. Physiol. 1896. 25. Januar.

nicht tut. Unter physiologischen und pathologischen Bedingungen können unzweifelhaft in lebendigen Membranen fein nuancierte Veränderungen hervortreten, welche auf die darin statthabenden physikalischen Prozesse einen nicht geringen Einfluß ausüben, aber wodurch die Prozesse selbst ja nicht aufzuhören brauchen, rein physikalische Prozesse zu sein.“

„Der arterielle Blutdruck wird herbeigeführt durch Zusammenziehung des linken Ventrikels; das ist eine Tatsache, welche aus einem rein physikalischen Gesichtspunkt für einen jeden verständlich ist. Aber wenn irgend eine Ursache auf das Leben des Herzmuskels derart einwirkt, daß dieser fettig degeneriert, so ändert sich der Blutdruck. In dieser Tatsache jedoch kann kein Grund gelegen sein, den Zusammenhang zwischen Herzkontraktion und Blutdruck nicht mehr als einen rein physikalischen aufzufassen.“

Unter den Argumenten, welche zugunsten des Bestehens physiologischer Triebkräfte angeführt worden sind, scheint insbesondere das Resultat eines von O. Cohnheim angestellten Versuches auf die Physiologen einen großen Eindruck gemacht zu haben.¹⁾

Dieser Versuch ist im Prinzip folgender: Bringt man in eine unverletzte lebende Darmschlinge eine NaCl-Lösung, so wird dieselbe daraus resorbiert. Es geht also NaCl aus dem Darmlumen in die Blutgefäße hinüber. Bringt man statt einer NaCl-Lösung eine Zuckerlösung in eine Schlinge, so bleibt während des Resorptionsprozesses die Zuckerlösung nahezu chlorfrei; es geht also kein NaCl aus den Blutgefäßen durch das Epithel in das Darmlumen hinüber. Letzteres erfolgt aber wohl, wenn die Darmwand durch Fluornatrium oder Liquor Fowleri geschädigt ist. Also läßt das gesunde Darmepithel wohl NaCl hindurch in der Richtung Epithel → submucöses Bindegewebe, nicht aber in umgekehrter Richtung.

Diese Verschiedenheit in der Durchlässigkeit in zwei entgegengesetzten Richtungen ist nach Cohnheim eine spezifische Eigenschaft der lebenden unversehrten Darmschleimhaut, sie gehe der toten Mucosa vollständig ab.

Wir haben nun untersucht, ob letzteres in der Tat der Fall sei.²⁾

¹⁾ O. Cohnheim, Zeitschr. f. Biol. 1899, 443.

²⁾ Auf dem Heidelberger internationalen Physiologenkongreß im August 1907 haben wir die Versuchsergebnisse ganz kurz mitgeteilt.

II. Apparat und Versuchverfahren.

Das Untersuchungsverfahren bestand im Prinzip darin, daß ein offener horizontaler Glaszylinder an beiden Seiten mit der zu untersuchenden Membran, z. B. einer Magenmucosa, verschlossen wurde. Gegen die Membran wurde an beiden Seiten ein gleich weiter, mit Korkstopfen verschließbarer Glaszylinder gelegt. Füllte man den ersten, also den Mittelzylinder mit einer Lösung, z. B. einer Lösung von Pepsin in NaCl 0,9%, und die Seitenzylinder mit reiner Kochsalzlösung, so konnte durch die Membran hindurch Pepsin in die Seitengefäße diffundieren.

Es war nun die Frage, ob es für die Menge des hindurchtretenden Pepsins gleichgültig war, wie die Membran lag, mit anderen Worten, ob ein Unterschied sichtbar war, je nachdem die Epithelseiten einander zugekehrt oder abgekehrt waren.

Der für die Versuche benutzte Apparat ist hier in vertikalem Durchschnitt gezeichnet.

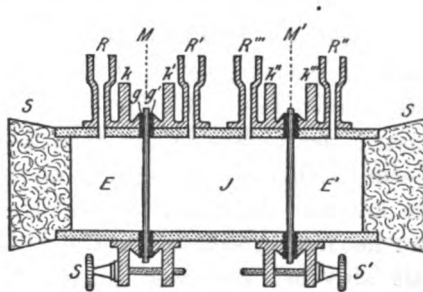


Fig. 1.

Wie ersichtlich, besteht der Apparat aus einem Mittelzylinder *J* und zwei Außenzylindern *E* und *E'*, alle drei von Glas. *M* und *M'* sind Stücke der zu untersuchenden Membran. Dieselben liegen zwischen den Kupferstücken *k, k', k''* und *k'''* und *K', K''* und *K'''*, welche auf den Glaszylinder gekittet sind.

Eigentlich kommen die Membranen nicht mit dem Kupfer in direkte Berührung, sondern mit den Gummiringen *G* und *G'*, welche auf das Kupfer gekittet sind. Durch Andrehen der Schrauben *S* und *S'* (es gibt selbstverständlich mehrere am Apparat; nur zwei sind gezeichnet) werden die Membranen so

gegen die Gummiringe gedrückt, daß E , J und E' hermetisch voneinander getrennt sind.

Die Füllung erfolgt durch die Kupferröhrchen R , R^1 , R^2 , und zwar, indem ein zu einem Capillar ausgezogenes Glasrohr mit dem capillaren Hals durch R gesteckt wird, bis derselbe den Boden des Glaszylinders erreicht.

Erst wird in dieser Weise J gefüllt, wobei die Luft durch R^3 entweichen kann. Nach der Füllung von J werden, nachdem die Gummistopfen S und S' aufgesetzt worden sind, E und E' gefüllt. Der Hals des Capillartrichterchens sei eng genug, um die Luft durch R austreten zu lassen. Nebenbei sei bemerkt, daß die Erweiterungen von R , R^1 , R^2 und R^3 eine ausgedehntere Anwendung des Apparates gestatten, indem man mittels kleiner Stopfen Manometerröhrchen aufsetzen kann.

Bei unseren Versuchen sind stets zwei vollkommen gleiche Apparate gebraucht worden. In dem einen Apparat waren die entsprechenden Seiten der Membran nach innen, d. h. einander zugekehrt, in den anderen nach außen, d. h. einander abgekehrt. Handelte es sich z. B. um die Mucosa, so wurden in dem einen Apparat die Epithelseiten nach innen gekehrt, und in dem andern nach außen, d. h. nach E und E' . Die beiden Apparate wurden in ein Kupfergestell gesetzt.¹⁾

Die Entleerung der Gefäße erfolgt mittels des bereits genannten, zu einem Capillar ausgezogenen Glasrohres, an welches ein Gummirohr mit zu Mundstück bestimmtem Glasrohr befestigt ist. Man hat nur zu saugen, das Gummirohr zu drücken und den Inhalt also bei Portionen in ein Meßgefäß überzubringen.

III. Verhalten der Magenschleimhaut gegenüber Pepsinlösungen.

In den hier zu beschreibenden Versuchen ist die Mucosa des Labmagens von Rindern gebraucht worden.

Zu diesem Zweck wurde der Magen in der großen Curvatur durchgeschnitten, offen gelegt und vom Inhalt befreit. Dann präparierte man die Muscularis von der Mucosa ab, und wenn

¹⁾ Der Apparat mit Zubehör ist bei Herrn J. J. Boom, Mechaniker des hiesigen physiologischen Instituts, zu erhalten.

ein genügend großes Stück der Mucosa zur Verfügung stand, wurde dasselbe in einer 0,9%igen Kochsalzlösung abgespült und auf eine Korkplatte gelegt. Um dann endlich die Membranen auszuschneiden, wurde ein dickes eisernes Rohr, das unten scharf abgedreht war, auf die Schleimhaut gesetzt und mittels kräftigen Hammerschlags eine runde Scheibe abgetrennt. Jetzt war die Membran fertig zum Gebrauch.

Der eine der beiden Apparate wurde nun beschickt mit zwei Membranen, deren Epithelseiten nach innen gekehrt waren. Im anderen Apparate waren die Epithelseiten nach außen gekehrt.

I. Versuch.

Schleimhaut seit 10 Stunden aus dem Tier entfernt.

In beiden Apparaten wird der Mittelzylinder *J* mit 10 ccm künstlichen Magensaftes versehen, welcher bereitet war durch Auflösung von käuflichem Pepsin in 0,3%iger HCl-Lösung. Die beiden äußeren Zylinderpaare *E* und *E'* erhielten je 4 ccm NaCl 0,9%. In allen Gefäßen lag das Niveau der Flüssigkeiten auf gleicher Höhe.

Die Füllung erfolgt um 6 Uhr nachmittags. Um 10 $\frac{1}{2}$ Uhr am folgenden Morgen, also 16 $\frac{1}{2}$ Stunden nachher, wird der Versuch abgebrochen, indem von den beiden Apparaten die Gefäße *E*, *E'* und *J* auf der angegebenen Weise entleert wurden. Die Messung ergab folgendes:

Die Epithelseiten sind gekehrt nach	Inhalt von		
	<i>E</i>	<i>E'</i>	<i>J</i>
innen	3,85 ccm	3,9 ccm	9,9 ccm
außen	4,1 „	4,1 „	9,5 „

Zunächst geht also aus diesem Versuch hervor, daß wenn das Epithel nach außen gekehrt ist, Flüssigkeit aus dem Mittelzylinder in die äußeren Zylinder hinübergeht, während umgekehrt, wenn das Epithel nach innen gekehrt ist, Flüssigkeit aus den äußeren Zylindern in den Mittelzylinder hinübergeht, mit anderen Worten, es findet eine Wasserbewegung in der Richtung Bindegewebe \rightarrow Epithel statt.

Weiter wird der Pepsingehalt der sechs Flüssigkeiten verglichen.

Zu diesem Zweck werden Röhrchen mit koaguliertem Hühnereiweiß nach Mett angefertigt und mit den zu untersuchenden Flüssigkeiten in Berührung gelassen. Da jedoch die Lösungen in *E* und *E'* keine genügende HCl-Menge enthalten, werden 3 ccm dieser Flüssigkeiten mit je 3 ccm 0,6%iger HCl-Lösung versetzt. Die Flüssigkeiten befinden sich in gleich großen Glaszylinderchen von etwa 50 mm Höhe und 22 mm Durchmesser, mit flachem Boden und Glasstopfen. Jedes Gemisch wird mit zwei Eiweißröhrchen beschickt. Gleiches gilt für die Flüssigkeit aus dem Mittelgefäß *J*, von der ebenfalls 6 ccm gebraucht werden.

Man hat also zwei Reihen von Flüssigkeiten:

3 ccm von *E* + 3 ccm HCl 0,6%,

3 ccm von *E'* + 3 ccm HCl 0,6%,

6 ccm von *J*.

Außerdem ist zur Kontrolle gewöhnlich auch die Verdauungskraft von 6 ccm des ursprünglichen künstlichen Magensaftes ermittelt worden.

Tabelle I.

10 Stunden alte Magenmucosa.

Im Mittelgefäß *J* künstlicher Magensaft; in *E* und *E'* NaCl 0,9%.

Zeitdauer der Ein- wirkung auf das Eiweiß	Flüssigkeit von	Millimeter Eiweiß verzehrt, wenn das Epithel gekehrt ist nach		Millimeter Eiweiß verzehrt in der ur- sprünglichen Lösung von Pepsin in HCl 0,3%
		innen	außen	
2 Stunden	<i>E</i>	Spur	$\frac{1}{2} + \frac{1}{2} + \frac{1}{2} + \frac{1}{4} = 3\frac{1}{4}$	$1\frac{1}{2} + 2 + 2 + 2 = 7\frac{1}{2}$
	<i>E'</i>	Spur	$\frac{1}{2} + \frac{1}{2} + \frac{1}{2} + \frac{1}{2} = 2$	
	<i>J</i>	$\frac{3}{4} + \frac{3}{4} + 1 + \frac{3}{4} = 3\frac{3}{4}$	$\frac{1}{2} + \frac{1}{2} + \frac{1}{2} + \frac{1}{2} = 2$	
5 „	<i>E</i>	$\frac{1}{2} + \frac{1}{2} + \frac{1}{2} + \frac{1}{2} = 2$	$1 + 1 + 1\frac{1}{4} + 1 = 4\frac{1}{4}$	$4 + 3\frac{3}{4} + 4 + 4 = 15\frac{3}{4}$
	<i>E'</i>	$\frac{1}{2} + \frac{3}{4} + \frac{1}{2} + \frac{1}{2} = 2\frac{1}{4}$	$1 + 1 + 1 + 1 = 4$	
	<i>J</i>	$2 + 2 + 2 + 2 = 8$	$1\frac{1}{2} + 1\frac{1}{2} + 1\frac{1}{2} + 1\frac{1}{2} = 6$	
8 „	<i>E</i>	$\frac{3}{4} + \frac{3}{4} + \frac{3}{4} + \frac{3}{4} = 3$	$1\frac{1}{4} + 1 + 1\frac{1}{4} + 1\frac{1}{4} = 4\frac{3}{4}$	$7 + 6 + 7 + 7 = 27$
	<i>E'</i>	$1 + 1 + 1 + 1 = 4$	$1\frac{1}{4} + 1\frac{1}{4} + 1\frac{1}{2} + 1\frac{1}{4} = 5\frac{3}{4}$	
	<i>J</i>	$2\frac{1}{2} + 2\frac{1}{2} + 2\frac{1}{2} + 2\frac{1}{2} = 10$	$2 + 2 + 2 + 2 = 8$	

Wie ersichtlich, ist in *E* und *E'* sowohl nach 2 Stunden wie nach 5 und 8 Stunden der Pepsingehalt größer, wenn das Epithel nach außen, als wenn es nach innen gekehrt ist. Dementsprechend zeigt sich umgekehrt der Pepsingehalt vom Mittelgefäß im ersten Falle am meisten abgenommen. Aus diesem Versuch geht also hervor, daß die Magenschleimhaut

mehr durchgängig ist für Pepsin in der Richtung Bindegewebe → Epithel als umgekehrt.

Mit Bezug auf Wasser war das nämliche der Fall.

II. Versuch.

Die im vorigen Experiment gebrauchte Schleimhaut war beim Anfang des Experimentes etwa 10 Stunden alt. Man könnte nun einwenden, die Membran sei dann noch nicht abgestorben gewesen. Deshalb wurde ein neuer Versuch angestellt mit einem Stück derselben Mucosa, nachdem dieselbe weitere 24 Stunden im Eisschrank verweilt hatte, also mit einer Schleimhaut von einem seit 34 Stunden toten Tiere. Die Versuchsdauer war wieder $16\frac{1}{2}$ Stunden.

Epithel gekehrt nach	Inhalt von		
	E	E'	J
innen	3,95 ccm	3,95 ccm	9,85 ccm
außen	4,05 „	4,00 „	9,7 „

Wie ersichtlich, liegt das Resultat wieder in derselben Richtung wie im vorigen Versuch. Weiter wurde auch der Pepsingehalt ermittelt. Die folgende Tabelle enthält die gefundenen Resultate.

Tabelle II.

34 Stunden alte Magenmucosa.

Im Mittelgefäß ist künstlicher Magensaft; in E und E' NaCl 0,9%.

Zeitdauer der Einwirkung auf das Eiweiß	Fülligkeit von	Millimeter Eiweiß verzehrt, wenn das Epithel gekehrt ist nach		Millimeter Eiweiß verzehrt in der ursprünglichen Lösung von Pepsin in HCl 0,3%
		innen	außen	
2 Stunden	E	$\frac{1}{4} + \frac{1}{4} + \frac{1}{4} + \frac{1}{4} = 1$	$\frac{1}{2} + \frac{1}{2} + \frac{1}{4} + \frac{1}{2} = 2\frac{1}{4}$	$2 + 2 + 2 + 2 = 8$
	E'	$\frac{1}{4} + \frac{1}{4} + \frac{1}{4} + \frac{1}{4} = 1$	$\frac{1}{2} + \frac{1}{2} + \frac{1}{2} + \frac{1}{2} = 2$	
	J	$1 + 1 + \frac{3}{4} + 1 = 3\frac{3}{4}$	$\frac{1}{2} + \frac{1}{2} + \frac{3}{4} + \frac{1}{2} = 2\frac{1}{4}$	
5 „	E	$1 + 1 + 1 + 1 = 4$	$1\frac{1}{4} + 1\frac{1}{4} + 1\frac{1}{2} + 1\frac{1}{4} = 5\frac{1}{4}$	$4 + 4 + 3\frac{3}{4} + 4 = 15\frac{3}{4}$
	E'	$\frac{3}{4} + \frac{3}{4} + 1 + \frac{3}{4} = 3\frac{3}{4}$	$1\frac{1}{2} + 1\frac{1}{4} + 1\frac{1}{2} + 1\frac{1}{2} = 5\frac{1}{4}$	
	J	$2 + 2 + 2 + 2 = 8$	$1\frac{3}{4} + 1\frac{3}{4} + 1\frac{1}{2} + 1\frac{1}{4} = 6\frac{1}{4}$	
8 „	E	$1\frac{1}{2} + 1\frac{1}{4} + 1\frac{1}{2} + 1\frac{1}{2} = 5\frac{3}{4}$	$2\frac{1}{4} + 2\frac{1}{4} + 2\frac{1}{2} + 2\frac{1}{2} = 9\frac{1}{2}$	$7 + 7 + 7\frac{1}{2} + 6\frac{3}{4} = 28\frac{1}{4}$
	E'	$1\frac{1}{4} + 1\frac{1}{4} + 1\frac{1}{2} + 1\frac{1}{4} = 5\frac{1}{4}$	$2\frac{1}{2} + 2\frac{1}{4} + 2\frac{1}{4} + 2\frac{1}{2} = 9\frac{1}{2}$	
	J	$3 + 3 + 3 + 3\frac{1}{2} = 12\frac{1}{2}$	$2\frac{1}{2} + 2\frac{1}{4} + 2\frac{1}{4} + 2\frac{3}{4} = 9\frac{1}{4}$	

Auch hier genau dasselbe Ergebnis wie im vorigen Versuch: wenn das Epithel nach außen gekehrt ist, geht mehr Pepsin aus dem Mittelgefäß hinüber, als wenn das Epithel nach

innen gekehrt ist. Ist ja $2\frac{1}{4} > 1$ und $2 > 1$, was noch bestätigt wird, dadurch dass $2\frac{1}{4} < 3\frac{3}{4}$.

Und wie der Leser bemerken wird, liegen die Verdauungsgrade nach 5 Stunden und 8 Stunden in entsprechender Richtung.

Die Experimente lehren also, daß auch eine seit 34 Stunden aus dem Magen isolierte Mucosa mehr Pepsin durchtreten läßt in der Richtung Bindegewebe — Epithel als umgekehrt.

Es wäre nun noch der Einwand denkbar, es sei nicht sicher, ob auch die seit 34 Stunden isolierte Mucosa wohl tot war. Deshalb haben wir den Versuch derweise wiederholt, daß die Schleimhaut vorher 5 Minuten in 0,9%iger NaCl-Lösung von 95° C untergetaucht gehalten wurde.

III. Versuch.

Epithel gekehrt nach	Inhalt von		
	E	E'	J
innen	3,7 cem	3,7 cem	10,2 cem
außen	4,05 „	4,0 „	9,6 „

Wieder dasselbe Resultat wie in den beiden ersten Versuchen.

Nämliches ist der Fall mit den Resultaten der Pepsin-gehaltbestimmung. Es möge dies aus folgender Tabelle hervorgehen.

Tabelle III.

Magenmucosa nach Behandlung mit NaCl 0,9% von 95° C.
Im Mittelgefäß J eine Lösung von Pepsin in NaCl 0,9%: in E und E'
NaCl 0,9%.

Zeitdauer der Ein- wirkung auf das Eiweiß	Flüssigkeit von	Millimeter Eiweiß verzehrt, wenn das Epithel gekehrt ist nach		Millimeter Eiweiß verzehrt in der ur- sprünglichen Lösung von Pepsin in HCl 0,3%
		innen	außen	
2 Stunden	E	0	$\frac{1}{2} + \frac{1}{2} + \frac{1}{2} + \frac{1}{2} = 2$	$2\frac{1}{2} + 2\frac{1}{4} + 2\frac{1}{2} + 2\frac{1}{2} = 9\frac{3}{4}$
	E'	0	$\frac{1}{2} + \frac{3}{4} + \frac{1}{2} + \frac{1}{2} = 2\frac{1}{4}$	
	J	$\frac{1}{2} + \frac{1}{2} + \frac{1}{2} + \frac{1}{2} = 2$	0	
5 „	E	$\frac{1}{4} + \frac{1}{4} + \frac{1}{4} + \frac{1}{4} = 1$	$1 + 1 + 1 + 1 = 4$	$4 + 4 + 3\frac{3}{4} + 4\frac{1}{4} = 20$
	E'	$\frac{1}{4} + \frac{1}{4} + \frac{1}{4} + \frac{1}{4} = 1$	$1 + 1 + 1 + 1 = 4$	
	J	$1\frac{1}{2} + 2 + 1\frac{3}{4} + 2 = 7\frac{1}{4}$	$\frac{3}{4} + \frac{1}{2} + \frac{1}{2} + \frac{1}{2} = 2\frac{1}{4}$	
8 „	E	$\frac{1}{2} + \frac{1}{2} + \frac{3}{4} + \frac{1}{2} = 2\frac{1}{4}$	$2 + 1\frac{3}{4} + 1\frac{3}{4} + 2\frac{1}{2} = 7\frac{3}{4}$	$7 + 6\frac{1}{2} + 7 + 7\frac{3}{4} = 27\frac{3}{4}$
	E'	$\frac{1}{2} + \frac{3}{4} + \frac{3}{4} + \frac{1}{2} = 2\frac{1}{2}$	$2\frac{1}{4} + 2 + 2 + 2 = 8\frac{1}{4}$	
	J	$2 + 2\frac{3}{4} + 2\frac{1}{4} + 2 = 9$	$1\frac{1}{4} + 1 + \frac{3}{4} + \frac{3}{4} = 3\frac{3}{4}$	

Dieser Versuch läßt also keinen Zweifel übrig, daß die tote Magenmucosa sowohl Pepsin wie Wasser besser durchtreten läßt in der Richtung Bindegewebe — Epithel als umgekehrt.

Der etwaige Einwand, daß die dem Epithel zugekehrte Flüssigkeit deshalb das meiste Pepsin enthielt, weil im Epithel noch Pepsin vorhanden war, kann diesen dritten Versuch nicht treffen, da durch die hohe Temperatur das Enzym abgetötet wurde.

IV. Verhalten der Darmschleimhaut gegenüber Pepsin und Trypsinogen.

Jetzt wurde untersucht, ob die Darmschleimhaut dieselben Permeabilitätsverhältnisse zeigen würde, wie die an der Magenschleimhaut beobachteten. Zu diesem Zweck wurde der Blinddarm des Pferdes gewählt. Bei diesem läßt sich die Mucosa leicht abpräparieren. Außerdem enthält dieselbe kein Fett, wie das beim Rind der Fall ist.

Beim Abpräparieren verfährt man am besten so, daß ein Stück des Blinddarms in der Länge geöffnet und mit der Epithelseite auf eine Korkplatte gelegt wird. Indem mit Stecknadeln befestigt wird, entfernt man die Muscularis von der Mucosa.

Übrigens wird in ganz derselben Weise verfahren wie bei der Magenmucosa und der Versuch in ähnlicher Weise eingerichtet.

IV. Versuch.

Die äußeren Gefäße *E* und *E'* werden mit je 4 ccm einer Lösung von Pepsin in 0,9%igen NaCl-Lösung gefüllt. Auch in den weiteren Versuchen wurde das Pepsin in Kochsalz aufgelöst und nicht in Salzsäure, weil dadurch eine etwaige Verdauung des toten Gewebes vermieden wurde. Das Mittelgefäß *J* enthielt eine reine 0,9%ige NaCl-Lösung. Nachdem die Flüssigkeiten 17 $\frac{1}{2}$ Stunden in den Apparaten verweilt hatten, werden dieselben entfernt, gemessen und auf ihrem Pepsingehalt untersucht.

Epithel gekehrt nach	Inhalt von		
	E	E'	J
innen	3,6 ccm	3,7 ccm	9,4 ccm
außen	4,5 „	4,0 „	8,8 „

Man sieht, daß Wasser sich bewegt hat in der Richtung Bindegewebe → Epithel.

Jetzt wurde der Pepsingehalt der Flüssigkeiten ermittelt. Zu diesem Zweck werden je 2 ccm mit 2 ccm 0,6% iger HCl-Lösung versetzt und werden die Gemische mit 2 Eiweißröhrchen beschickt.

Tabelle IV.

Blinddarmmucosa, 36 Stunden alt.
Das mittlere Gefäß J gefüllt mit NaCl-Lösung, die äußeren mit Pepsinlösung.

Zeitdauer der Einwirkung auf das Eiweiß	Flüssigkeit von	Millimeter Eiweiß verzehrt, wenn das Epithel gekehrt ist nach		Millimeter Eiweiß verzehrt in der ursprünglichen Lösung von Pepsin in NaCl 0,9%
		innen	außen	
2 Stunden	E	$1 + 1\frac{1}{4} + 1\frac{1}{4} + 1 = 4\frac{1}{2}$	$1\frac{3}{4} + 1\frac{1}{2} + 1 + 1\frac{1}{2} = 5\frac{3}{4}$	$2 + 2 + 2\frac{1}{4} + 2 = 8\frac{1}{4}$
	E'	$1 + 1\frac{1}{2} + 1\frac{1}{4} + 1 = 4\frac{3}{4}$	$1\frac{1}{2} + 1\frac{1}{4} + 1\frac{1}{2} + 1\frac{1}{4} = 5\frac{1}{2}$	
	J	$\frac{1}{2} + \frac{3}{4} + \frac{1}{2} + \frac{1}{2} = 2\frac{1}{4}$	$\frac{3}{4} + \frac{3}{4} + \frac{3}{4} + 1 = 3\frac{1}{4}$	
4 „	E	$2 + 2\frac{1}{2} + 3 + 2\frac{3}{4} = 11\frac{1}{4}$	$3\frac{1}{2} + 3 + 3\frac{1}{2} + 3\frac{1}{2} = 13\frac{1}{2}$	$4 + 3\frac{1}{2} + 4 + 3\frac{3}{4} = 15\frac{1}{4}$
	E'	$2 + 2\frac{1}{4} + 3 + 2\frac{3}{4} = 10$	$3 + 3\frac{1}{4} + 3\frac{1}{2} + 3\frac{1}{4} = 13$	
	J	$1 + 1 + 1\frac{1}{2} + 1\frac{1}{4} = 4\frac{3}{4}$	$1 + \frac{3}{4} + 1 + 1 = 3\frac{3}{4}$	
6 „	E	$3\frac{1}{2} + 3 + 3\frac{1}{4} + 3\frac{3}{4} = 13$	$4 + 4\frac{1}{4} + 4 + 4 = 16\frac{1}{4}$	$4 + 4\frac{1}{2} + 4\frac{1}{2} + 4\frac{1}{2} = 17\frac{1}{2}$
	E'	$3\frac{1}{4} + 3\frac{3}{4} + 3\frac{1}{2} + 3\frac{1}{4} = 13\frac{3}{4}$	$4 + 4\frac{1}{4} + 4 + 4\frac{1}{4} = 16\frac{1}{2}$	
	J	$1 + 1\frac{1}{4} + 1\frac{1}{2} + 1\frac{1}{4} = 5$	$1\frac{1}{4} + 1\frac{1}{4} + 1\frac{1}{2} + 1\frac{1}{2} = 5\frac{1}{2}$	
9 „	E	$4 + 4\frac{3}{4} + 4 + 4 = 16\frac{3}{4}$	$4\frac{3}{4} + 4\frac{1}{2} + 4\frac{3}{4} + 4\frac{3}{4} = 18\frac{3}{4}$	$6 + 5 + 6 + 7 = 25$
	E'	$4 + 4\frac{1}{4} + 4 + 4 = 16\frac{1}{4}$	$4\frac{1}{2} + 4\frac{3}{4} + 5 + 4\frac{3}{4} = 19$	
	J	$1\frac{1}{4} + 1\frac{1}{2} + 1\frac{1}{2} + 1\frac{3}{4} = 6$	$2 + 1\frac{1}{2} + 1\frac{3}{4} + 2 = 7\frac{1}{4}$	

Aus dieser Tabelle geht hervor, daß die in den äußeren Gefäßen vorhandenen Kochsalzpepsinlösungen mehr Pepsin verlieren, wenn die Epithelseiten nach innen, als wenn dieselben nach außen gekehrt sind.

Daß dementsprechend das Mittelgefäß im ersten Falle nicht einen größeren, sondern sogar einen geringeren Pepsingehalt zeigt als im zweiten Fall, hat seinen Grund darin, daß die mittlere Flüssigkeit mehr Wasser enthält. Vielleicht auch handelt es sich um eine Adsorptionsdifferenz.

Es schien jetzt von Interesse, zu untersuchen, ob die beobachteten Erscheinungen bei denselben Membranen bleibender Natur waren.

Zu diesem Zweck wurden die Apparate des vorigen Versuches, nachdem dieselben entleert waren, aufs neue mit denselben Flüssigkeiten gefüllt und während 22 Stunden sich selbst überlassen. Nach Entleerung und Messung war das Resultat folgendes.

Epithel gekehrt nach	Inhalt von		
	E	E'	J
innen	3,5 ccm	3,8 ccm	9,6 ccm
außen	4,5 „	4,1 „	9,0 „

Man sieht, daß auch jetzt wieder Wasser sich bewegen hat in der Richtung Bindegewebe → Epithel, und zwar in nicht geringerem Grade als im vorigen Versuch, wo die noch nicht benutzte Membran gebraucht wurde.

Und wie ist es mit den Pepsinkonzentrationen? Wie in der vorigen Versuchsreihe wurden 2 ccm jeder Flüssigkeit mit 2 ccm HCl 0,6% versetzt und in die Gemische je 2 Mettsche Eiweißröhrchen gebracht.

Die folgende Tabelle bringt die Resultate.

Tabelle V.

Blinddarmmucosa nach Gebrauch für Versuchsreihe Tabelle IV.

Zeitdauer der Einwirkung auf das Eiweiß	Flüssigkeit von	Millimeter Eiweiß verzehrt, wenn das Epithel gekehrt ist nach		Millimeter Eiweiß verzehrt in der ursprünglichen Lösung von Pepsin in NaCl 0,9%
		innen	außen	
2 Stunden	E	$1 + 1\frac{1}{4} + 1 + 1\frac{1}{4} = 4\frac{1}{2}$	$1\frac{1}{4} + 2 + 2 + 2 = 7\frac{1}{4}$	$2\frac{1}{2} + 2 + 2 + 2\frac{1}{4} = 8\frac{1}{4}$
	E'	$1\frac{1}{2} + 1\frac{1}{4} + 1 + 1\frac{1}{4} = 5$	$1\frac{1}{4} + 2 + 2 + 2 = 7\frac{1}{4}$	
	J	$\frac{1}{2} + \frac{1}{2} + \frac{1}{4} + \frac{1}{2} = 1\frac{1}{4}$	$\frac{1}{4} + 1 + 1 + \frac{1}{4} = 3\frac{1}{4}$	
4 „	E	$2 + 2\frac{1}{4} + 2 + 2 = 8\frac{1}{4}$	$2\frac{1}{4} + 2\frac{1}{2} + 2\frac{1}{2} + 2\frac{1}{4} = 10\frac{1}{4}$	$3\frac{1}{4} + 3 + 3\frac{1}{2} + 3 = 12\frac{1}{4}$
	E'	$2 + 2 + 2\frac{1}{4} + 2\frac{1}{4} = 8\frac{1}{2}$	$3 + 2\frac{1}{4} + 2\frac{1}{4} + 2\frac{1}{4} = 11\frac{1}{4}$	
	J	$1 + 1 + 1\frac{1}{4} + 1 = 4\frac{1}{4}$	$1\frac{1}{2} + 1\frac{1}{4} + 1\frac{1}{4} + 1\frac{1}{4} = 5\frac{1}{4}$	
6 „	E	$2\frac{1}{4} + 2\frac{1}{2} + 2\frac{1}{2} + 2\frac{1}{4} = 10$	$3\frac{1}{4} + 3\frac{1}{2} + 3\frac{1}{4} + 3\frac{1}{2} = 13\frac{1}{2}$	$4\frac{1}{2} + 5 + 4 + 4\frac{1}{4} = 17\frac{1}{4}$
	E'	$2\frac{1}{2} + 2\frac{1}{2} + 2\frac{1}{4} + 2\frac{1}{4} = 10\frac{1}{4}$	$3\frac{1}{4} + 3\frac{1}{4} + 3\frac{1}{4} + 3\frac{1}{4} = 13\frac{1}{4}$	
	J	$1\frac{1}{2} + 1\frac{1}{2} + 1\frac{1}{4} + 1\frac{1}{4} = 6\frac{1}{4}$	$2 + 2 + 1\frac{1}{4} + 1\frac{1}{4} = 7\frac{1}{4}$	
9 „	E	$3 + 3 + 3\frac{1}{4} + 3 = 12\frac{1}{4}$	$4 + 4 + 3\frac{1}{4} + 3 = 14\frac{1}{4}$	$5 + 4\frac{1}{4} + 5 + 5 = 19\frac{1}{4}$
	E'	$3 + 3\frac{1}{2} + 3 + 3 = 12\frac{1}{2}$	$4 + 4 + 3\frac{1}{4} + 3\frac{1}{4} = 15\frac{1}{4}$	
	J	$4 + 4 + 3\frac{1}{4} + 3 = 6\frac{1}{4}$	$2 + 2 + 1\frac{1}{4} + 1\frac{1}{4} = 7\frac{1}{4}$	

Man sieht, die Resultate sind gleichlautend mit den in der vorigen Tabelle; sogar sind dieselben viel mehr ausgesprochen.

Die Erscheinungen sind somit nicht an einer ersten Änderung der Membran verknüpft; sie zeigen sich auch, nachdem die Membran einige Zeit funktioniert hat.

Nachdem es sich also gezeigt hatte, daß auch tote Membranen eine verschiedene Durchgängigkeit in entgegengesetzten Richtungen besitzen, wurde geprüft, ob das Phänomen noch hervortreten würde nach Behandlung der Membranen mit Formol. Wäre das der Fall, so brauchte man nicht jedesmal frische Membranen zu präparieren und liegen zu lassen, sondern man konnte für die Experimente immer Material vorrätig haben.

Es wurde also ein Stück derselben Blinddarmmucosa, mit der auch die beiden vorigen Versuche angestellt waren und die seit drei Tagen im Eiskasten aufbewahrt war, 10 Stunden in Formollösung (1 käuflicher Formollösung + 9 dest. Wasser) belassen und vor dem Gebrauch in 0,9%iger NaCl-Lösung abgespült. Dann wurde die Membran einige Stunden in destilliertem Wasser ausgewaschen, bis dasselbe keine Chlorreaktion mehr zeigte und aufs neue in Formol gelegt. Die Mucosa hat durch diese Behandlung eine bedeutende Festigkeit bekommen und ist dünner geworden.

Mit diesen Membranen wurden nun genau dieselben Versuche angestellt wie die beiden vorigen.

Also würde in das Mittelgefäß *J* 10 ccm der reinen Kochsalzlösung und in die beiden äußeren Gefäße je 4 ccm einer Lösung von Pepsin in 0,9%iger NaCl-Solution gebracht.

Dauer des Versuches 16 Stunden.

Nach Entfernung der Flüssigkeiten beobachtet man folgendes:

Epithel gekehrt nach	Inhalt von		
	E	E'	J
innen	3,9 ccm	4,0 ccm	9,5 ccm
außen	3,6 „	3,5 „	9,9 „

Man sieht, was die Volumina betrifft, liegen die Resultate wieder in derselben Richtung wie in den vorigen Versuchen.

Und jetzt der Pepsingehalt. Darauf gewährt die nächste Tabelle eine Antwort.

Tabelle VI.

3 Tage alte Blinddarmmucosa nach Behandlung mit Formol.

Zeitdauer der Einwirkung auf das Eiweiß	Flüssigkeit von	Millimeter Eiweiß verzehrt, wenn das Epithel gekehrt ist nach		Millimeter Eiweiß verzehrt in der ursprünglichen Lösung von Pepsin in NaCl 0,9%
		innen	außen	
3 Stunden	E	$\frac{1}{4} + 0 + \frac{1}{4} + \frac{1}{4} = \frac{3}{4}$	0	
	E'	$\frac{1}{4} + \frac{1}{4} + \frac{1}{4} + \frac{1}{4} = 1$	0	
	J	$1\frac{1}{2} + 1\frac{1}{4} + 1\frac{1}{2} + 1\frac{1}{4} = 5\frac{1}{2}$	$1 + 1 + \frac{1}{4} + 1 = 3\frac{1}{4}$	$2 + 2 + 2 + 2 = 8$
5¼ „	E	$\frac{1}{2} + \frac{1}{4} + \frac{1}{4} + \frac{1}{4} = 2$	Spuren	
	E'	$\frac{1}{2} + \frac{1}{4} + \frac{1}{4} + \frac{1}{4} = 2$	Spuren	
	J	$2 + 2\frac{1}{4} + 2\frac{1}{4} + 2 = 8\frac{1}{2}$	$2\frac{1}{2} + 2\frac{1}{4} + 2\frac{1}{4} + 2\frac{1}{4} = 9\frac{1}{2}$	$2\frac{3}{4} + 2\frac{3}{4} + 2\frac{3}{4} + 2\frac{3}{4} = 11$
7½ „	E	$\frac{1}{2} + \frac{3}{4} + \frac{1}{2} + \frac{1}{2} = 2\frac{1}{4}$	$\frac{1}{4} + \frac{1}{4} + \frac{1}{4} + \frac{1}{4} = 1$	
	E'	$\frac{1}{2} + \frac{1}{4} + \frac{1}{4} + \frac{1}{4} = 2$	$\frac{1}{4} + \frac{1}{4} + \frac{1}{4} + \frac{1}{4} = 1$	
	J	$3 + 3 + 3 + 2\frac{3}{4} = 11\frac{3}{4}$	$2\frac{1}{2} + 2\frac{1}{2} + 2\frac{3}{4} + 2\frac{3}{4} = 10\frac{1}{2}$	$3\frac{1}{2} + 3\frac{1}{2} + 3\frac{1}{2} + 3\frac{1}{4} = 14\frac{1}{4}$
9 „	E	$\frac{1}{2} + \frac{1}{2} + \frac{1}{4} + \frac{1}{4} = 2\frac{1}{2}$	$\frac{1}{2} + \frac{1}{4} + \frac{1}{4} + \frac{1}{4} = 1\frac{1}{4}$	
	E'	$\frac{1}{2} + \frac{3}{4} + \frac{1}{2} + \frac{1}{2} = 2\frac{1}{4}$	$\frac{1}{2} + \frac{1}{2} + \frac{1}{2} + \frac{1}{2} = 2$	
	J	$3 + 3\frac{1}{4} + 3\frac{1}{2} + 3 = 12\frac{3}{4}$	$2\frac{1}{4} + 2\frac{1}{4} + 2\frac{3}{4} + 2\frac{3}{4} = 11$	$3\frac{1}{2} + 3\frac{3}{4} + 3\frac{1}{2} + 3\frac{3}{4} = 14\frac{1}{2}$

Auch von dieser Formol-Membran wünschten wir zu wissen, ob die Permeabilitäterscheinungen bleibender Natur waren.

Deshalb wurden die im vorigen Versuch benutzten Membranen in den beiden Apparaten belassen und die letzteren aufs neue angefüllt.

Versuchsdauer 23½ Stunden.

Epithel gekehrt nach	Inhalt von		
	E	E'	J
innen	3,9 ccm	3,8 ccm	9,5 ccm
außen	3,2 „	3,4 „	10,0 „

Die Untersuchung der 6 Flüssigkeiten auf ihren Pepsin-gehalt lieferten die Resultate, welche in der folgenden Tabelle verzeichnet sind.

Tabelle VII.

Die in der vorigen Tabelle benutzte Formelmucosa.
In E und E' NaCl-Lösung, in J Pepsin in NaCl 0,9%.

Zeitdauer der Ein- wirkung auf das Eiweiß	Richtung von	Millimeter Eiweiß verzehrt, wenn das Epithel gekehrt ist nach		Millimeter Eiweiß verzehrt in der ur- sprünglichen Lösung von Pepsin in NaCl 0,9%
		innen	außen	
3 Stunden	E	$\frac{1}{2} + \frac{1}{2} + \frac{1}{4} + \frac{1}{2} = 1\frac{3}{4}$	$0 + \frac{1}{4} + \frac{1}{4} + \frac{1}{4} = \frac{3}{4}$	
	E'	$\frac{1}{2} + \frac{1}{2} + \frac{1}{4} + \frac{1}{4} = 1\frac{1}{2}$	$0 + \frac{1}{4} + \frac{1}{4} + \frac{1}{4} = \frac{3}{4}$	
	J	$1 + 1 + 1 + 1\frac{1}{2} = 4\frac{1}{2}$	$1\frac{1}{2} + 1\frac{1}{4} + 1\frac{1}{2} + 1\frac{1}{4} = 5\frac{1}{2}$	$2 + 1\frac{1}{4} + 2 + 1\frac{1}{2} = 7\frac{1}{4}$
5 "	E	$\frac{3}{4} + \frac{3}{4} + \frac{3}{4} + \frac{3}{4} = 3$	$\frac{1}{2} + \frac{1}{2} + \frac{1}{2} + \frac{1}{2} = 2$	
	E'	$\frac{3}{4} + \frac{3}{4} + \frac{3}{4} + \frac{3}{4} = 3$	$\frac{1}{2} + \frac{1}{2} + \frac{1}{2} + \frac{1}{2} = 2$	
	J	$2 + 2\frac{1}{4} + 2 + 2 = 8\frac{1}{4}$	$2\frac{1}{2} + 2 + 2\frac{1}{2} + 2\frac{1}{2} = 9\frac{1}{2}$	$3 + 3 + 3\frac{3}{4} + 3 = 12\frac{3}{4}$
7 "	E	$1 + 1 + 1 + 1 = 4$	$\frac{3}{4} + \frac{3}{4} + \frac{3}{4} + \frac{3}{4} = 3$	
	E'	$1 + 1 + 1 + 1 = 4$	$\frac{3}{4} + \frac{3}{4} + \frac{3}{4} + \frac{3}{4} = 3$	
	J	$2\frac{1}{4} + 2\frac{1}{4} + 2\frac{1}{4} + 2\frac{1}{4} = 9\frac{1}{4}$	$3 + 3 + 3 + 3 = 12$	$4 + 3\frac{3}{4} + 4 + 4 = 15\frac{3}{4}$
10 "	E	$1\frac{1}{2} + 1\frac{1}{2} + 1\frac{1}{2} + 1\frac{1}{2} = 6$	$1 + 1 + 1 + 1 = 4$	
	E'	$1\frac{1}{2} + 1\frac{1}{2} + 1\frac{1}{2} + 1\frac{1}{2} = 6$	$1 + 1 + 1 + 1 = 4$	
	J	$3 + 2\frac{3}{4} + 3 + 3 = 11\frac{3}{4}$	$3\frac{1}{2} + 3\frac{1}{4} + 3\frac{1}{2} + 3\frac{1}{2} = 14\frac{1}{4}$	$5 + 5 + 5 + 4\frac{1}{2} = 19\frac{1}{2}$

Wie ersichtlich, zeigen auch die mit Formol behandelten Membran eine verschiedene Durchgängigkeit für Pepsin in den zwei entgegengesetzten Richtungen.

Es schien uns jetzt interessant zu untersuchen, inwieweit ein Permeabilitätsunterschied zu erkennen sein würde, wenn statt eines Enzyms ein Zymogen genommen wurde. Zu diesem Zwecke wandten wir uns zum Trypsinogen.

Es wurde folgenderweise bereitet. Nachdem das Tier (Schwein) geschlachtet und geöffnet war, wurde die Pankreasdrüse entfernt und in ein mit Kältemischung umgebenes Gefäß nach dem Laboratorium übergebracht. Da wurde die Drüse schnell zerkleinert und ausgepreßt und der trübe Preßsaft mit einer großen Menge 2%iger NaFl-Lösung versetzt. Die Bewirkung zielte darauf hin, jede Umsetzung von Trypsinogen in Trypsin vorzubringen, d. h. womöglich eine trypsinfreie Trypsinogenlösung zu bekommen.

Versuch VIII.

Das Experiment wurde in derselben Weise angestellt wie die vorigen. Die Membran stammte von demselben Stück mit

Formol behandelten Blinddarmmucosa, das die Membranen für die Versuche von Tabelle VI und VII lieferte. Dieselben waren aber auch in Kochsalzlösung bei 100° erhitzt um die Enterocinase darin unwirksam zu machen. In den äußeren Gefäßen befand sich je 4 ccm eines Gemisches von 4 ccm Preßsaft und 80 ccm NaFl 2%, im Mittelgefäß *J* 10 ccm einer reinen 2%igen NaFl-Lösung.

Wir ließen die Flüssigkeiten während 20 Stunden in den Apparaten verweilen.

Die Messung der Volumen gibt folgende Resultate.

Wenn die Epithelseiten der Mucosae gekehrt sind nach	Inhalt von		
	E	E'	J
innen	4,1 ccm	4,0 ccm	9,4 ccm
außen	3,6 „	3,7 „	9,9 „

Man sieht, daß mehr Wasser sich bewogen hat in der Richtung Epithel → Bindegewebe als umgekehrt.

Der Trypsinogengehalt der Flüssigkeiten wurde derweise ermittelt, daß dieselben versetzt wurden mit Extrakt einer frischen Darmschleimhaut in 2%iger NaFl-Lösung, und zwar im Verhältnis von 3 ccm der zu untersuchenden Flüssigkeit und 1 ccm Darmextrakt. Dem hierdurch freikommenden Trypsin wurde die Gelegenheit gegeben, Eiweiß von je 2 Mettschen Röhrchen zu verzehren. Um zu wissen, ob die Gefäße *E* und *E'* beim Anfang des Versuches bloß Trypsinogen enthielten, wurden 3 ccm des angewandten Saftfluornatriumgemisches statt mit 1 ccm Darmextrakt, mit 1 ccm NaFl-Lösung versetzt und also auf dessen freien Trypsingehalt untersucht. Daneben untersuchten wir auch das Verdauungsvermögen von 3 ccm des angewandten Saftfluornatriumgemisches + 1 ccm Darmextrakt.

Die folgende Tabelle wird jetzt verständlich sein.

Tabelle VIII.

Blinddarmmucosa des Pferdes, nach Behandlung mit heißer Kochsalz-
lösung und dann mit Formol.

Das Mittelgefäß J enthält eine 2%ige NaFl-Lösung. Die äußeren Ge-
fäße enthalten Preßsaft einer frischen Pankreasdrüse in NaFl-Lösung 2%.

Zeitdauer der Ein- wirkung auf das Eiweiß	Flüssigkeit von	Millimeter Eiweiß verzehrt, wenn das Epithel gekehrt ist nach		Millimeter Eiweiß verzehrt in
		innen	außen	
19 Std.	E	$1 + 1 + 1 + 1 = 4$	$\frac{1}{2} + \frac{1}{4} + \frac{1}{4} + \frac{1}{4} = 1\frac{1}{4}$	3 ccm des Pankreas- fluornatriumgemisches + 1 ccm Darmextrakt $2\frac{1}{2} + 2 + 2\frac{1}{4} + 2 = 8\frac{3}{4}$ 3 ccm des Pankreas- fluornatriumgemisches + 1 ccm NaFl-Lösung $\frac{1}{4} + \frac{1}{4} + \frac{1}{4} + \frac{1}{4} = 1$
	E'	$1 + 1 + \frac{3}{4} + 1 = 3\frac{3}{4}$	$\frac{1}{2} + \frac{1}{2} + \frac{1}{2} + \frac{1}{4} = 1\frac{3}{4}$	
	J	0	$\frac{1}{4} + \frac{1}{4} + \frac{1}{4} + \frac{1}{4} = 1$	
26 „	E	$1\frac{1}{2} + 1\frac{1}{2} + 1\frac{1}{4} + 1\frac{1}{2} = 5\frac{3}{4}$	$1 + 1 + 1 + 1 = 4$	3 ccm P-NaFl-Gemisch + 1 ccm Darmextrakt $3\frac{1}{4} + 3 + 3 + 3 = 12\frac{1}{4}$ 3 ccm P-NaFl-Gemisch + 1 ccm NaFl-Lösung $\frac{1}{2} + \frac{1}{2} + \frac{1}{2} + \frac{1}{4} = 2\frac{1}{4}$
	E'	$1\frac{1}{2} + 1\frac{1}{2} + 1\frac{1}{2} + 1\frac{1}{2} = 6$	$1 + 1 + 1 + 1 = 4$	
	J	Spur	$\frac{1}{4} + \frac{1}{4} + \frac{1}{4} + \frac{1}{4} = 1$	
45 „	E	$3\frac{1}{2} + 3\frac{1}{2} + 3\frac{3}{4} + 3\frac{1}{2} = 13\frac{3}{4}$	$2\frac{1}{4} + 2\frac{1}{4} + 2\frac{1}{2} + 2\frac{1}{2} = 10\frac{1}{2}$	3 ccm P-NaFl-Gemisch + 1 ccm Darmextrakt $6 + 5 + 6 + 6 = 23$ 3 ccm P-NaFl-Gemisch + 1 ccm NaFl-Lösung $1\frac{1}{2} + 1\frac{1}{2} + 1\frac{1}{4} + 1\frac{1}{2} = 6\frac{1}{4}$
	E'	$3\frac{1}{4} + 3\frac{1}{4} + 3\frac{3}{4} + 3\frac{1}{4} = 13$	$2\frac{1}{4} + 2\frac{1}{4} + 2\frac{1}{4} + 2\frac{1}{4} = 10\frac{1}{4}$	
	J	$\frac{1}{4} + \frac{1}{4} + \frac{1}{4} + \frac{1}{4} = 1$	$\frac{3}{4} + \frac{3}{4} + \frac{1}{2} + \frac{1}{4} = 2\frac{1}{4}$	
68 „	E	$4 + 4 + 4\frac{1}{4} + 4 = 16\frac{1}{4}$	$3\frac{1}{4} + 3\frac{1}{2} + 3\frac{1}{2} + 3\frac{1}{4} = 13\frac{1}{2}$	3 ccm P-NaFl-Gemisch + 1 ccm Darmextrakt $7 + 7 + 8 + 7 = 29$ 3 ccm P-NaFl-Gemisch + 1 ccm NaFl-Lösung $2 + 2 + 2\frac{1}{4} + 2 = 8\frac{1}{4}$
	E'	$5 + 4\frac{1}{4} + 4\frac{1}{4} + 4\frac{1}{4} = 18\frac{1}{2}$	$3\frac{1}{4} + 3\frac{1}{2} + 3\frac{1}{2} + 3\frac{1}{4} = 13\frac{1}{4}$	
	J	$\frac{1}{2} + \frac{1}{2} + \frac{1}{2} + \frac{1}{2} = 2$	$1\frac{1}{2} + 1\frac{1}{4} + 1\frac{1}{2} + 1\frac{1}{2} = 5\frac{1}{4}$	

Untersuchen wir zunächst, welche Resultate die 19stündigen
Verdauungsexperimente auf geliefert haben, so ergibt sich:

1. daß die Gefäße E und E' viel mehr verdauende
Substanz verloren haben, wenn das Epithel nach außen,
als wenn es nach innen gekehrt ist und daß dementsprechend
bei dieser Anordnung, im ersteren Fall (Epithel nach außen),
der Inhalt des Mittelgefäßes J auch ein stärker verdauendes
Vermögen erhalten hat,

2. daß das Preßsaftfluornatriumgemisch bereits beim An-
fang des Versuches freies Trypsin enthielt (letzte Spalte), nicht
viel aber; denn nach 19stündiger Verdauung stellt sich heraus,

daß die Verzeehrung bloß 1 ccm Eiweiß betragen hat, während durch Mitwirkung des Darmextraktes (Enterokinase) $8\frac{3}{4}$ ccm Eiweiß verdaut wurde.

Es erhebt sich nun die Frage: Darf man aus diesem Ergebnis schließen, daß die Durchgängigkeit in zwei entgegengesetzten Richtungen auch für das Trypsinogen eine verschiedene ist?

Diese Frage wäre ohne weiteres in bestätigendem Sinne zu beantworten gewesen, wenn 3 ccm Pankreasgemisch + 1 ccm NaFl-Lösung absolut keine Verdauung herbeigeführt hätte, d. h. trypsinfrei gewesen wäre. Jetzt aber liegt die Sache etwas komplizierter. Doch ist das Versuchsergebnis nicht zweideutig. Da ja der Gehalt an freiem Trypsin in der gebrauchten Pankreasfluornatriummischung nur 1 ccm Eiweiß entspricht und der Unterschied im Gehalt an Trypsinogen + Trypsin nach dem Experiment bzw. $4-1\frac{1}{4}$ und $3\frac{3}{4}-1\frac{3}{4}$, also im Mittel $2\frac{1}{2}$ beträgt, so muß dieser Unterschied größtenteils dem Trypsinogen zugeschrieben werden.

Nach 26stündiger und längerer Einwirkung wird die Sache wieder komplizierter, da dann das Trypsinogen von selbst sich allmählich in Trypsin umwandelt.

Es war jetzt von Interesse, zu wissen, ob der Unterschied in der Durchgängigkeit von Trypsinogen bleibender Natur war oder ob es sich im vorangehenden Versuch etwa nur um eine Anfangsmodifikation der Membran gehandelt hatte. Zu diesem Zweck haben wir den Versuch derweise wiederholt, daß nach Entleerung der Gefäße dieselben aufs neue mit den Flüssigkeiten gefüllt wurden, also eine Wiederholung des Versuches mit den bereits benutzten Membranen.

Versuch VIIIa.

Wir ließen die Flüssigkeiten 20 Stunden in den beiden Apparaten verweilen.

Die Messung der Volumina ergab folgende Resultate.

Wenn die Epithelseiten der Mucosae gekehrt sind nach	Inhalt von		
	E	E'	J
innen	4,0 ccm	4,1 ccm	9,2 ccm
außen	3,8 „	3,8 „	9,6 „

Die Verdauungsversuche sind in folgender Tabelle zusammengefaßt.

Tabelle VIIa.

Wiederholung des vorigen Versuches; die gebrauchten Membranen sind im Apparat geblieben.

Zeitdauer der Ein- wirkung auf das Eiweiß	Flüssigkeit von	Millimeter Eiweiß verzehrt, wenn das Epithel gekehrt ist nach		Millimeter Eiweiß verzehrt in
		innen	außen	
8 Stunden	E	$\frac{1}{4} + \frac{1}{4} + \frac{1}{4} + \frac{1}{4} = 1$	Spuren	3 ccm des Pankreas- fluornatriumgemisches
	E'	$\frac{1}{2} + \frac{1}{4} + \frac{1}{4} + \frac{1}{4} = 1\frac{1}{4}$	Spuren	+ 1 ccm Darmextrakt $1 + 1 + 1 + 1 = 4$
	J	0	$\frac{1}{4} + \frac{1}{4} + \frac{1}{4} + \frac{1}{4} = 1$	3 ccm des Pankreas- fluornatriumgemisches + 1 ccm NaFl-Lösung
	E	$2 + 2\frac{1}{2} + 2 + 2\frac{1}{2} = 9$	$1\frac{1}{2} + 1\frac{1}{2} + 1\frac{1}{4} + 1\frac{1}{4} = 5\frac{1}{2}$	Spuren
	E'	$2 + 2\frac{1}{2} + 2\frac{1}{4} + 2\frac{1}{2} = 9\frac{1}{4}$	$1\frac{1}{4} + 1\frac{1}{4} + 1\frac{1}{4} + 1\frac{1}{4} = 5$	3 ccm P-NaFl-Gemisch + 1 ccm Darmextrakt
	J	Spuren	$1 + 1 + \frac{1}{4} + 1 = 3\frac{1}{4}$	$3 + 3\frac{1}{4} + 3 + 3 = 12\frac{1}{4}$ 3 ccm P-NaFl-Gemisch + 1 ccm NaFl-Lösung
	E	$4 + 4\frac{1}{2} + 4\frac{1}{2} + 4\frac{1}{2} = 17\frac{1}{2}$	$3 + 3\frac{1}{4} + 3 + 3\frac{1}{4} = 12\frac{1}{2}$	$1 + 1 + \frac{1}{4} + 1 = 3\frac{1}{4}$ 3 ccm P-NaFl-Gemisch + 1 ccm Darmextrakt
	E'	$4 + 4\frac{1}{2} + 4 + 4\frac{1}{2} = 17$	$3 + 3\frac{1}{4} + 3\frac{1}{4} + 3\frac{1}{4} = 12\frac{3}{4}$	$6 + 5 + 6 + 6 = 23$ 3 ccm P-NaFl-Gemisch + 1 ccm NaFl-Lösung
	J	$\frac{1}{4} + \frac{1}{4} + \frac{1}{4} + \frac{1}{4} = 1$	$1\frac{1}{4} + 1\frac{1}{2} + 1\frac{1}{2} + 1\frac{1}{2} = 5\frac{1}{4}$	$1\frac{1}{2} + 1\frac{1}{2} + 1 + 1\frac{1}{2} = 5\frac{1}{2}$ 3 ccm P-NaFl-Gemisch + 1 ccm Darmextrakt
	E	$5 + 4\frac{1}{4} + 5 + 5 = 19\frac{1}{4}$	$3\frac{1}{2} + 3\frac{1}{4} + 4 + 3\frac{1}{2} = 14\frac{1}{4}$	$7 + 8 + 7 + 7 = 29$ 3 ccm P-NaFl-Gemisch + 1 ccm NaFl-Lösung
	E'	$5 + 5 + 5 + 4\frac{1}{4} = 19\frac{1}{4}$	$4 + 3\frac{1}{4} + 3\frac{1}{4} + 3\frac{1}{4} = 15\frac{1}{4}$	$2 + 2 + 1\frac{1}{4} + 2 = 7\frac{1}{2}$ 3 ccm P-NaFl-Gemisch + 1 ccm NaFl-Lösung
	J	$\frac{1}{4} + \frac{1}{4} + \frac{1}{4} + \frac{1}{4} = 1$	$1\frac{1}{2} + 2 + 1\frac{1}{4} + 2 = 5\frac{1}{4}$	

Wie ersichtlich, sind die Resultate genau dieselben wie die von Tabelle VIII. Es unterliegt also keinem Zweifel, daß ebenso wie für Pepsin auch für Trypsinogen die tote Blinddarmmucosa in der einen Richtung eine andere Permeabilität wie in der entgegengesetzten besitzt.

Dieses Resultat wurde noch bestätigt durch Versuche, in denen das Mittelgefäß mit dem Pankreassaft und die Seitengefäße mit reiner NaFl-Lösung beschickt wurden. Übrigens ist die Per-

meabilität selbst von Lipoidmembranen für Zymogen kürzlich von Swart¹⁾ nachgewiesen.

Fügen wir schließlich noch hinzu, daß, was sich für Trypsinogen zeigte, auch für Trypsin sich als gültig erwies. Es wurde dies konstatiert an Pankreaspreßsaft, in dem das Trypsinogen vorher umgewandelt war.

V. Verhalten anderweitiger tierischer Membranen gegenüber Pepsinlösungen.

Nachdem wir also gefunden hatten, daß die Mucosa von Magen und Darm in entgegengesetzten Richtungen eine verschiedene Permeabilität besitzen, schien es erwünscht zu wissen, ob es sich hier um eine Eigenschaft handelte, welche ausschließlich Schleimhäuten zukam. Deshalb wurden Versuche angestellt mit Muscularis, Muscularis-serosa, Pleura und Amnion.

Versuch IX.

Muscularis.

Von einem Labmagen wurde eine Muskelschicht abpräpariert, und zwar diejenige, welche der Mucosa anlag. Mit „Muskelschicht gekehrt nach innen“, wird in der folgenden Tabelle gemeint, daß die der Mucosa zugewandte Muskelseite nach innen gekehrt ist.

Die äußeren Gefäße enthalten 0,9% Kochsalzlösung, das Mittelgefäß Pepsinlösung in NaCl. Die Membran ist 16 Stunden alt. Dauer des Versuchs 20 Stunden.

Mucosaseite der Muskelschicht gekehrt nach	Inhalt von		
	E	E'	J
innen	3,7 ccm	3,8 ccm	9,9 ccm
außen	4,0 „	4,0 „	9,5 „

Man sieht, daß Wasser sich begeben hat von der Serosaseite nach der Mucosaseite der Muscularis. Also auch hier eine verschiedene Permeabilität von Wasser in den zwei entgegengesetzten Richtungen.

¹⁾ S. P. Swart, Diese Zeitschr. 6, 358, 1907.

Für die Bestimmung des Pepsingehalts wurde je 3 ccm der Flüssigkeiten mit 3 ccm 0,6%iger HCl vermischt und in diese Gemische zwei Eiweißröhrchen gebracht.

Tabelle IX.

Zeitdauer der Einwirkung auf das Eiweiß	Flüssigkeit von	Millimeter Eiweiß verzehrt, wenn die Mucosaseite des Muscularis gekehrt ist nach		Millimeter Eiweiß verzehrt in der ursprünglichen Lösung von Pepsin in NaCl 0.9%
		innen	außen	
3½ Stund.	E	$2 + 2\frac{1}{2} + 2 + 2 = 8\frac{1}{2}$	$1 + 1 + 1\frac{1}{4} + 1 = 4\frac{1}{4}$	$3 + 3 + 3\frac{1}{4} + 3 = 12\frac{1}{4}$
	E'	$2 + 2 + 2\frac{1}{4} + 2 = 8\frac{1}{4}$	$1 + 1 + 1 + 1 = 4$	
	J	$3 + 2\frac{1}{2} + 2\frac{1}{2} + 2\frac{1}{4} = 10\frac{1}{4}$	$3 + 3 + 3\frac{1}{2} + 3 = 12\frac{1}{2}$	
6½ „	E	$3 + 3\frac{1}{2} + 3\frac{1}{4} + 3\frac{1}{4} = 12\frac{3}{4}$	$2 + 2 + 2\frac{1}{4} + 2 = 8\frac{1}{4}$	$5 + 5 + 6 + 5 = 21$
	E'	$3 + 3\frac{1}{4} + 3\frac{1}{4} + 3 = 13$	$2\frac{1}{4} + 2 + 2\frac{1}{4} + 2\frac{1}{2} = 9$	
	J	$3\frac{1}{2} + 3 + 3\frac{1}{2} + 3\frac{1}{4} = 13\frac{3}{4}$	$4\frac{1}{4} + 4 + 4\frac{1}{2} + 4 = 17$	
9½ „	E	$5 + 5\frac{1}{2} + 6 + 5\frac{1}{4} = 21\frac{3}{4}$	$3 + 3 + 3\frac{1}{4} + 3 = 12\frac{1}{4}$	$7 + 6\frac{1}{2} + 7 + 7 = 27\frac{1}{2}$
	E'	$4\frac{1}{2} + 5 + 4\frac{3}{4} + 5 = 19\frac{1}{4}$	$3\frac{1}{2} + 3 + 3\frac{1}{4} + 3\frac{1}{4} = 13$	
	J	$4 + 4 + 4 + 4 = 16$	$6 + 5\frac{1}{2} + 6 + 5\frac{1}{2} = 23$	

Aus dieser Tabelle ergibt sich, daß, wenn die Mucosaseite der Muskelschicht nach innen gekehrt ist, die Flüssigkeiten der äußeren Gefäße mehr Pepsin enthalten, als wenn die Membranen nach der andern Seite gekehrt sind. Mit den Flüssigkeiten des Mittelgefäßes ist das entgegengesetzte der Fall.

Also darf man hier sagen, daß die Permeabilität der Muscularis für Pepsin in zwei entgegengesetzten Richtungen verschieden ist.

Versuch X.

Bei diesem Versuch ist als Membran Serosa-muscularis genommen. Beim Anfang des Diffusionsversuches ist die Membran 34 Stunden alt. Das Experiment wird in ganz derselben Weise ausgeführt wie das vorige. Die Tabellen bedürfen keiner weiteren Aufklärung.

Muscularis gekehrt nach	Inhalt von		
	E	E'	J
innen	3,7 ccm	3,75 ccm	9,2 ccm
außen	3,9 „	3,9 „	9,6 „

Das Resultat liegt in derselben Richtung wie das des vorigen Versuchs. Das nämliche ist der Fall mit Bezug auf den Pepsingehalt, wie aus der folgenden Tabelle (X) hervorgeht.

Tabelle X.

Serosa-muscularis, Labmagen, Rind.
Das Mittelgefäß J ist gefüllt mit Pepsinlösung.

Zeitdauer der Einwirkung auf das Eiweiß	Flüssigkeit von	Millimeter Eiweiß verzehrt, wenn die Muscularis gekehrt ist nach		Millimeter Eiweiß verzehrt in der ursprünglichen Lösung von Pepsin in NaCl 0,9%
		innen	außen	
3½ Stand.	E	$1\frac{1}{2} + 1\frac{1}{4} + 1\frac{1}{2} + 1\frac{1}{4} = 6\frac{1}{2}$	$1 + \frac{3}{4} + 1 + 1 = 3\frac{1}{4}$	$3 + 3 + 3\frac{1}{2} + 3 = 12\frac{1}{2}$
	E'	$1\frac{1}{2} + 1\frac{1}{2} + 1\frac{1}{2} + 1\frac{1}{4} = 5\frac{3}{4}$	$1 + \frac{1}{2} + 1 + \frac{3}{4} = 3\frac{1}{4}$	
	J	$2 + 2 + 2\frac{1}{2} + 2 = 8\frac{1}{2}$	$3 + 3 + 3\frac{1}{2} + 3 = 12\frac{1}{2}$	
6½ „	E	$2\frac{1}{4} + 2\frac{1}{2} + 2\frac{1}{4} + 2\frac{1}{4} = 9\frac{1}{2}$	$1\frac{3}{4} + 1\frac{1}{2} + 1\frac{1}{4} + 1\frac{1}{4} = 6\frac{1}{2}$	$5 + 4\frac{3}{4} + 5 + 4\frac{3}{4} = 19\frac{1}{2}$
	E'	$2\frac{1}{4} + 2\frac{1}{2} + 2\frac{1}{2} + 2\frac{1}{4} = 9\frac{1}{2}$	$1\frac{1}{2} + 1\frac{1}{4} + 1\frac{1}{4} + 1\frac{1}{4} = 5\frac{1}{2}$	
	J	$3 + 3\frac{3}{4} + 3 + 3 = 12\frac{3}{4}$	$4 + 4 + 4\frac{1}{4} + 4 = 16\frac{1}{4}$	
9½ „	E	$3\frac{1}{2} + 3\frac{3}{4} + 3\frac{1}{4} + 3\frac{1}{2} = 14$	$2\frac{1}{4} + 2 + 2 + 2\frac{1}{4} = 8\frac{1}{2}$	$7 + 7\frac{1}{2} + 7 + 7 = 28\frac{1}{2}$
	E'	$3\frac{1}{2} + 3\frac{3}{4} + 3\frac{1}{4} + 3\frac{1}{4} = 13\frac{1}{4}$	$2 + 2 + 2\frac{1}{4} + 2 = 8\frac{1}{4}$	
	J	$3 + 3\frac{3}{4} + 3\frac{1}{4} + 3\frac{1}{4} = 12\frac{3}{4}$	$5\frac{1}{4} + 5\frac{1}{2} + 5 + 5 = 20\frac{1}{4}$	

In der Tat geht aus diesen Versuchen hervor, daß die Permeabilität für Pepsin in entgegengesetzten Richtungen einen bedeutenden Unterschied zeigt.

Versuch XI.

Das folgende Experiment ist wieder angestellt worden mit der der Mucosa direkt anliegenden Muskelschicht des Labmagens. Die Membran ist 49 Stunden alt.

Im Mittelgefäß befindet sich wieder Pepsinlösung, in den äußeren Gefäßen reine Kochsalzlösung. Dauer des Versuchs 22 Stunden.

Mucosaseite der Muskelschicht gekehrt nach	Inhalt von		
	E	E'	J
innen	3,6 ccm	3,6 ccm	9,3 ccm
außen	3,9 „	3,9 „	9,6 „

Der Pepsingehalt der Flüssigkeiten geht hervor aus folgender Tabelle.

Tabelle XI.

Muscularis, Labmagen, Rind.

Das Mittelgefäß J ist mit Pepsinlösung gefüllt.

Zeitdauer der Ein- wirkung auf das Eiweiß	Flüssigkeit von	Millimeter Eiweiß verzehrt, wenn die Mucosaseite des Muscularis gekehrt ist nach		Millimeter Eiweiß verzehrt in der ur- sprünglichen Lösung von Pepsin in NaCl 0,9%
		innen	außen	
3½ Stund.	E	$\frac{1}{2} + \frac{1}{2} + \frac{1}{4} + \frac{1}{4} = 2\frac{1}{4}$	0	$2\frac{1}{2} + 2\frac{1}{2} + 3 + 2\frac{1}{2} = 10\frac{1}{2}$
	E'	$\frac{1}{4} + \frac{1}{2} + \frac{1}{4} + \frac{1}{4} = 2\frac{1}{4}$	0	
	J	$1\frac{1}{2} + 1\frac{1}{2} + 1\frac{1}{2} + 1\frac{1}{4} = 5\frac{1}{4}$	$2 + 2 + 2 + 2 = 8$	
6½ „	E	$1\frac{1}{2} + 1\frac{1}{2} + 2 + 1\frac{1}{4} = 6\frac{3}{4}$	$\frac{1}{2} + \frac{1}{2} + \frac{1}{2} + \frac{1}{2} = 2$	$4 + 4 + 4 + 4\frac{1}{2} = 16\frac{1}{2}$
	E'	$1\frac{1}{4} + 1\frac{1}{4} + 2 + 2 = 6\frac{1}{2}$	$\frac{3}{4} + \frac{1}{2} + \frac{1}{4} + \frac{1}{2} = 2\frac{1}{4}$	
	J	$2 + 2 + 2 + 2\frac{1}{4} = 8\frac{1}{4}$	$3\frac{1}{2} + 3\frac{1}{4} + 3\frac{1}{2} + 3\frac{1}{4} = 13\frac{1}{2}$	
9½ „	E	$2\frac{1}{2} + 2\frac{1}{4} + 2\frac{1}{4} + 2\frac{1}{4} = 9\frac{1}{4}$	$1 + 1 + 1 + 1\frac{1}{4} = 4\frac{1}{4}$	$6\frac{1}{2} + 6 + 6\frac{1}{4} + 6\frac{1}{2} = 25\frac{1}{4}$
	E'	$2\frac{3}{4} + 2\frac{1}{2} + 2 + 2 = 9\frac{1}{4}$	$1\frac{1}{4} + 1 + 1\frac{1}{4} + 1 = 4\frac{1}{2}$	
	J	$2\frac{1}{4} + 2\frac{1}{4} + 2\frac{1}{2} + 2\frac{1}{2} = 9\frac{1}{2}$	$5 + 5\frac{1}{2} + 5 + 5\frac{1}{2} = 21$	

Versuch XII.

Endlich stellten wir noch einen Versuch an mit einer Membran, welche aus Serosa und Muskelschicht bestand; also eine Wiederholung von Versuch X, mit dem Unterschied aber, daß jetzt die Pepsinlösung in die äußeren Gefäße E und E' gebracht wurde und die reinen Kochsalzlösungen in das Mittelgefäß. Alter der Membran 51 Stunden. Dauer des Versuchs 22 Stunden.

Muskelseite gekehrt nach	Inhalt von		
	E	E'	J
innen	4,2 ccm	4,1 ccm	8,8 ccm
außen	3,2 „	3,3 „	10,0 „

Wie ersichtlich, hat sich Wasser bewegt in der Richtung Muscularis → Serosa.

In der folgenden Tabelle (XII) ist das Verhalten des Pepsins ermittelt worden.

Tabelle XII.

Serosa-muscularis, Labmagen, Rind.

Die äußeren Gefäße E und E' sind gefüllt mit Pepsinlösung.

Zeitdauer der Einwirkung auf das Eiweiß	Flüssigkeit von	Millimeter Eiweiß verzehrt, wenn die Muscularis gekehrt ist nach		Millimeter Eiweiß verzehrt in der ursprünglichen Lösung von Pepsin in NaCl 0,9%
		innen	außen	
3½ Stund.	E	$1 + 1 + 1 + 1\frac{1}{4} = 4\frac{1}{4}$	$\frac{1}{2} + \frac{1}{2} + \frac{1}{2} + \frac{1}{2} = 2\frac{1}{2}$	$2 + 2 + 2 + 2 = 8$
	E'	$1 + 1\frac{1}{4} + 1\frac{1}{4} + 1 = 4\frac{1}{2}$	$\frac{1}{2} + \frac{1}{2} + \frac{1}{2} + \frac{1}{2} = 2\frac{1}{2}$	
	J	$\frac{1}{4} + \frac{1}{4} + \frac{1}{2} + \frac{1}{4} = 1\frac{1}{4}$	$1 + 1 + 1\frac{1}{4} + 1 = 4\frac{1}{4}$	
6½ „	E	$2\frac{1}{2} + 2\frac{1}{2} + 2\frac{1}{2} + 2\frac{1}{2} = 10$	$2 + 1\frac{1}{4} + 2 + 1\frac{1}{4} = 7\frac{1}{2}$	$4 + 4\frac{1}{2} + 4 + 4\frac{1}{2} = 17$
	E'	$2\frac{1}{2} + 2\frac{1}{2} + 2\frac{1}{2} + 2\frac{1}{2} = 9\frac{1}{2}$	$1\frac{1}{4} + 1\frac{1}{4} + 1\frac{1}{4} + 2 = 7\frac{1}{4}$	
	J	$1 + 1 + 1 + \frac{1}{4} = 3\frac{1}{4}$	$2 + 2\frac{1}{4} + 2 + 2\frac{1}{4} = 8\frac{1}{2}$	
9½ „	E	$4 + 4 + 4 + 4 = 16$	$3 + 3 + 3 + 3 = 12$	$7 + 7 + 7 + 6\frac{1}{4} = 27\frac{1}{4}$
	E'	$4 + 4\frac{1}{4} + 4 + 4 = 15\frac{1}{4}$	$3 + 3 + 3 + 2\frac{1}{4} = 11\frac{1}{4}$	
	J	$2 + 2 + 2 + 1\frac{1}{4} = 7\frac{1}{4}$	$3\frac{1}{4} + 4 + 3\frac{1}{4} + 4 = 15\frac{1}{2}$	

Auch diese Versuche lassen keinen Zweifel übrig, daß in der Richtung Muscularis → Serosa mehr Pepsin durchtritt als in umgekehrter Richtung. Ein Resultat, das vollständig übereinstimmt mit dem in Versuch X gewonnenen, wo die Anordnung der Flüssigkeiten eine andere war.

Versuch XIII.

Von den andern toten tierischen Membranen, die wir zur Untersuchung gezogen haben, folge jetzt ein Experiment mit der Pleura pulmonalis eines Kalbes, ein Präparat, das durch vorsichtiges Abziehen von der Lunge leicht gewonnen werden konnte. Als die Membran gewonnen wurde, war sie zwei Tage alt. Der Versuch ist jetzt wieder in ganz derselben Weise angestellt worden wie die vorigen. Die Pepsinlösung befindet sich im Mittelgefäß, die reinen NaCl-Lösungen in E und E'. Dauer des Versuchs 16 Stunden.

Lungenseite der Pleura gekehrt nach	Inhalt von		
	E	E'	J
innen	3,7 ccm	3,65 ccm	9,4 ccm
außen	4,0 „	4,1 „	9,8 „

Die folgende Tabelle (XIII) enthält die Resultate der Pepsinbestimmung.

Tabelle XIII.

Pleura pulmonalis Kalb.

Das Mittelgefäß J ist gefüllt mit Pepsinlösung.

Zeitdauer der Ein- wirkung auf das Eiweiß	Flüssigkeit von	Millimeter Eiweiß verzehrt, wenn die Endothal- seiten gekehrt sind nach		Millimeter Eiweiß verzehrt in der ur- sprünglichen Lösung von Pepsin in NaCl 0,9%
		innen	außen	
3½ Stund.	E	$1\frac{1}{4} + 1 + 1\frac{1}{4} + 1\frac{1}{4} = 4\frac{1}{2}$	$\frac{1}{4} + \frac{1}{4} + \frac{1}{4} + \frac{1}{4} = 1\frac{1}{2}$	2 + 2 + 2 + 2 = 8
	E'	$1\frac{1}{4} + 1\frac{1}{4} + 1\frac{1}{4} + 1\frac{1}{4} = 5$	$\frac{1}{4} + \frac{1}{4} + \frac{1}{4} + \frac{1}{4} = 1\frac{1}{2}$	
	J	$1 + 1 + \frac{1}{4} + 1 = 3\frac{1}{4}$	$1\frac{1}{2} + 1\frac{1}{4} + 1\frac{1}{4} + 1\frac{1}{4} = 6\frac{1}{4}$	
6½ „	E	$2\frac{1}{2} + 2\frac{1}{4} + 2\frac{1}{4} + 2\frac{1}{4} = 10$	$1\frac{1}{2} + 1\frac{1}{4} + 1\frac{1}{4} + 1\frac{1}{4} = 6\frac{1}{4}$	4 + 4 + 4 + 4½ = 16½
	E'	$2\frac{1}{4} + 2\frac{1}{4} + 2\frac{1}{4} + 2\frac{1}{4} = 9\frac{1}{2}$	$1\frac{1}{4} + 1\frac{1}{2} + 1\frac{1}{2} + 1\frac{1}{2} = 6\frac{1}{4}$	
	J	$1\frac{1}{4} + 1\frac{1}{4} + 1\frac{1}{4} + 1\frac{1}{4} = 6\frac{1}{4}$	$3 + 2\frac{1}{4} + 3 + 3 = 11\frac{1}{4}$	
9½ „	E	$3\frac{1}{4} + 3\frac{1}{4} + 3\frac{1}{4} + 3\frac{1}{4} = 13\frac{1}{2}$	$2 + 2 + 2\frac{1}{4} + 2 = 8\frac{1}{4}$	5½ + 5½ + 5½ + 5½ = 22
	E'	$3\frac{1}{4} + 3\frac{1}{4} + 3 + 3\frac{1}{2} = 18\frac{1}{2}$	$2 + 2\frac{1}{4} + 2 + 2 = 8\frac{1}{4}$	
	J	$2 + 2\frac{1}{4} + 2\frac{1}{4} + 2 = 8\frac{1}{2}$	$4 + 4\frac{1}{4} + 4 + 4 = 16\frac{1}{4}$	

Auch für das Brustfell ergibt sich also eine verschiedene Permeabilität für Pepsin in entgegengesetzten Richtungen, und zwar läßt die Membran mehr Pepsin durchgehen in der Richtung Lunge → Endothel als umgekehrt. Mit dem Wasser ist das entgegengesetzte der Fall.

Versuch XIV.

Auch mit Fruchthüllen sind Experimente angestellt worden.

Zunächst wurde gebraucht der Fruchtsack eines 15 cm langen Schafembryos in seiner ganzen Dicke. Nur diejenigen Stellen wurden benutzt, wo keine Anhäufungen von Glykogen sich befanden.

Im Mittelgefäß befindet sich 10 ccm reine Kochsalzlösung, in den äußeren Gefäßen E und E' je 4 ccm pepsinhaltige Kochsalzlösung von 0,9%. Dauer des Versuches 16 Stunden.

Die der Amnionflüssig- keit zugewandte Seite ist gekehrt nach	Inhalt von		
	E	E'	J
innen	3,6 ccm	3,7 ccm	9,4 ccm
außen	3,9 „	3,94 „	8,9 „

Aus diesem Versuche geht hervor, daß das Wasser sich leichter bewegt in der Richtung nach der Amnionflüssigkeit als umgekehrt.

Für das Pepsin stellt sich das nämliche heraus. Es geht dies aus folgender Tabelle (XIV) hervor.

Tabelle XIV.

Fruchthülle, Schaf.

Im Mittelgefäß J, reine NaCl-Lösung; in den äußeren Gefäßen E und E' Pepsinlösung.

Zeitdauer der Einwirkung auf das Eiweiß	Richtung von	Millimeter Eiweiß verzehrt, wenn die der Ammonflüssigkeit zugewandten Seiten gekehrt sind nach		Millimeter Eiweiß verzehrt in der ursprünglichen Lösung von Pepsin in NaCl 0,9%
		innen	außen	
2 Stunden	E	$1 + 1 + \frac{1}{2} + 1 = 3\frac{1}{2}$	$1\frac{1}{2} + 1\frac{1}{2} + 1\frac{1}{2} + 1\frac{1}{2} = 5\frac{1}{2}$	$2 + 2 + 1\frac{1}{2} + 2 = 7\frac{1}{2}$
	E'	$1 + 1 + 1 + 1 = 4$	$1\frac{1}{2} + 1\frac{1}{2} + 1\frac{1}{2} + 1\frac{1}{2} = 6$	
	J	$\frac{1}{2} + \frac{1}{2} + \frac{1}{2} + \frac{1}{2} = 2$	$\frac{1}{2} + \frac{1}{2} + \frac{1}{2} + \frac{1}{2} = 2$	
4 "	E	$2 + 2 + 2 + 2 = 8$	$2\frac{1}{2} + 2\frac{1}{2} + 2\frac{1}{2} + 2\frac{1}{2} = 10\frac{1}{2}$	$3 + 3 + 2\frac{1}{2} + 3 = 11\frac{1}{2}$
	E'	$2 + 2\frac{1}{2} + 2 + 2 = 8\frac{1}{2}$	$2\frac{1}{2} + 2\frac{1}{2} + 2\frac{1}{2} + 2\frac{1}{2} = 10\frac{1}{2}$	
	J	$\frac{1}{2} + \frac{1}{2} + \frac{1}{2} + \frac{1}{2} = 2$	$\frac{1}{2} + \frac{1}{2} + \frac{1}{2} + \frac{1}{2} = 2$	
7½ "	E	$2 + 2\frac{1}{2} + 2\frac{1}{2} + 2\frac{1}{2} = 8\frac{3}{4}$	$3\frac{1}{2} + 4 + 3\frac{1}{2} + 3\frac{1}{2} = 14\frac{1}{2}$	$4\frac{1}{2} + 4\frac{1}{2} + 4 + 4\frac{1}{2} = 17\frac{1}{2}$
	E'	$2\frac{1}{2} + 2\frac{1}{2} + 2\frac{1}{2} + 2\frac{1}{2} = 9\frac{1}{2}$	$3\frac{1}{2} + 3\frac{1}{2} + 3\frac{1}{2} + 3\frac{1}{2} = 14\frac{1}{2}$	
	J	$1\frac{1}{2} + 1\frac{1}{2} + 1 + 1 = 4\frac{1}{2}$	$\frac{1}{2} + \frac{1}{2} + \frac{1}{2} + \frac{1}{2} = 2$	

Es ist deutlich, daß da, wo im Apparat die der Amnionflüssigkeit zugekehrten Seiten nach innen gelegen sind, das meiste Pepsin aus den äußeren Gefäßen ins Mittelgefäß übergetreten ist.

Versuch XV.

Das vorliegende Experiment ist eine Wiederholung des vorigen mit dem Unterschied, daß jetzt bloß die innere Fruchthülle, also die, welche der Amnionflüssigkeit anlag, genommen wurde. Membran 34 Stunden alt. Dauer des Versuchs $17\frac{1}{2}$ Stunden.

Die der Amnionflüssigkeit zugewandte Seite ist gekehrt nach	Inhalt von		
	E	E'	J
innen	3,8 ccm	3,7 ccm	9,6 ccm
außen	4,2 "	4,1 "	8,4 "

Dieses Resultat stimmt mit dem des vorigen Versuches genau überein. Das gleiche ist der Fall mit dem der Pepsinbestimmung, wie aus folgender Tabelle (XV) hervorgeht.

Tabelle XV.

Amnion-Schaf.

Im Mittelgefäß J reine NaCl-Lösung; in den äußeren Gefäßen E und E' Pepsinlösung.

Zeitdauer der Einwirkung auf das Eiweiß	Richtung des Flüssigkeitsstroms	Millimeter Eiweiß verzehrt, wenn die der Amnionflüssigkeit zugewandten Seiten gekehrt sind nach		Millimeter Eiweiß verzehrt in der ursprünglichen Lösung von Pepsin in NaCl 0,9 %
		innen	außen	
2 Stunden	E	$1 + 1 + 1 + 1\frac{1}{4} = 4\frac{1}{4}$	$1\frac{1}{2} + 1\frac{1}{4} + 1\frac{1}{2} + 1\frac{1}{2} = 5\frac{1}{4}$	$2 + 2 + 2 + 2\frac{1}{4} = 8\frac{1}{4}$
	E'	$1 + 1 + 1 + 1 = 4$	$1\frac{1}{2} + 1\frac{1}{2} + 1\frac{1}{4} + 1\frac{1}{2} = 5\frac{3}{4}$	
	J	$\frac{1}{2} + \frac{1}{4} + \frac{1}{2} + \frac{1}{4} = 2$	$\frac{1}{2} + \frac{1}{4} + \frac{1}{4} + 1 = 3$	
5 "	E	$2\frac{1}{4} + 2\frac{1}{2} + 2 + 2\frac{1}{2} = 9\frac{1}{4}$	$2\frac{3}{4} + 2\frac{3}{4} + 3 + 2\frac{3}{4} = 11\frac{1}{4}$	$3 + 4 + 3 + 3\frac{1}{2} = 13\frac{1}{2}$
	E'	$2\frac{1}{4} + 2\frac{1}{2} + 2 + 2\frac{1}{4} = 9$	$3 + 2\frac{3}{4} + 3 + 3 = 11\frac{3}{4}$	
	J	$1\frac{1}{2} + 1 + 1\frac{1}{4} + 1\frac{1}{4} = 5$	$1 + 1 + \frac{3}{4} + 1 = 3\frac{3}{4}$	
9 "	E	$4\frac{1}{2} + 4 + 4 + 4 = 16\frac{1}{2}$	$5 + 4\frac{3}{4} + 4\frac{1}{2} + 4\frac{1}{2} = 18\frac{3}{4}$	$5 + 6 + 6 + 6 = 23$
	E'	$4\frac{1}{4} + 4\frac{1}{4} + 4 + 4\frac{1}{2} = 17$	$5 + 4\frac{3}{4} + 5 + 5 = 19\frac{3}{4}$	
	J	$2\frac{3}{4} + 2\frac{1}{4} + 3 + 2\frac{1}{4} = 10\frac{1}{4}$	$2 + 2 + 1\frac{1}{4} + 2 = 7\frac{1}{4}$	

Bis jetzt bezogen sich alle unsere Versuche auf die Durchgängigkeit toter Membranen für Wasser und Pepsin. Daß wir letztere Substanz dazu anwendeten, hatte darin seinen Grund, daß zunächst unsere Untersuchungen mit dem Magen anfangen; dann ist das Pepsin ein organisches Kolloid und beansprucht als solches unser Interesse, und endlich läßt es sich in bequemer Weise genau quantitativ ermitteln.

Doch war es von Interesse, auch andere Substanzen zu untersuchen. Und so wandten wir uns jetzt zu der Glukose, die Substanz, welche, wie aus der Einleitung hervorgeht, eigentlich die Anregung zu dieser Arbeit gegeben hatte.

Als Membran kam natürlich an allererster Stelle die Darmmucosa in Betracht.

VI. Verhalten der Darmmucosa gegenüber Glukose.

Versuch XVI.

Am Blinddarm des Pferdes wird in der beschriebenen Weise die Mucosa abpräpariert und in die Apparate gebracht. Das Mittelgefäß J wird beschickt mit 10 ccm 4%iger Glukose-

lösung, die äußeren Gefäße E und E' mit je 4 ccm Pferdeserum. Die Schleimhaut ist 21 Stunden alt. 17 Stunden nach dem Anfang des Versuches werden die Flüssigkeiten entfernt und gemessen.

Wenn die Epithelseiten der Mucosa gekehrt sind nah	Inhalt von		
	E	E'	J
innen	3,8 ccm	3,85 ccm	9,6 ccm
außen	4,2 „	4,3 „	9,1 „

Aus diesen Zahlen geht hervor, daß mehr Wasser sich bewogen hat in der Richtung Bindegewebe \rightarrow Epithel als umgekehrt.

Weiter werden die Flüssigkeiten auf ihren Glukose- und Kochsalzgehalt untersucht.

Die Glukosekonzentration wurde polarimetrisch ermittelt, indem die Flüssigkeiten mit 96% Alkohol vermischt wurden und die klaren Filtraten in das Beobachtungsrohr gebracht. Der Chlorgehalt wurde in der alkoholischen Flüssigkeit bestimmt durch Titration mit Chromas Kalicus.

Da in jedem der äußeren Gefäße E und E' das Flüssigkeitsvolum zu gering war für die polarimetrische Untersuchung, wurden dieselben zusammengefügt und dann mit Alkohol versetzt. So wurden dann 7 ccm von $E + E'$ mit 21 ccm Alkohol, 96%, vermischt. Nach 15 Minuten wurde filtriert und mit dem Filtrat das Polarimeterrohr angefüllt. Dazu braucht man 14 ccm. Das übrige Filtrat wurde für die Chlorbestimmung reserviert. In ähnlicher Weise wurde gehandelt mit der inneren Flüssigkeit, von der aber 9 ccm nicht mit 27, doch mit 18 ccm Alkohol vermittelt wurden.

Glukosebestimmung.

Als Polarimeter benutzten wir einen Laurentschen Halbschlatten-Apparat von Schmidt und Haensch mit Beckmannscher Natriumzerstäubungslampe.

Die Bestimmungen wurden in der Weise ausgeführt, daß erst 6 Ablesungen gemacht wurden, nachdem man die beiden Hälften gleichgemacht hatte durch Bewegung der Schraube

von rechts nach links und dann 6 Ablesungen nach Bewegung der Schraube von links nach rechts.

Es wurden somit im ganzen 12 Bestimmungen gemacht und von diesen das Mittlere genommen.

Die ersten 12 Bestimmungen galten dem Gemisch der beiden äußeren Flüssigkeiten, wenn die Epithelseiten nach innen gekehrt waren.

$$E + E' = \begin{matrix} 0,25, 0,25, 0,25 \\ 0,2, 0,25, 0,25 \end{matrix} \left. \vphantom{\begin{matrix} 0,25, 0,25, 0,25 \\ 0,2, 0,25, 0,25 \end{matrix}} \right\} \text{ von rechts nach links}$$

$$E + E' = \begin{matrix} 0,2, 0,25, 0,25 \\ 0,2, 0,25, 0,25 \end{matrix} \left. \vphantom{\begin{matrix} 0,2, 0,25, 0,25 \\ 0,2, 0,25, 0,25 \end{matrix}} \right\} \text{ von links nach rechts}$$

Mittelwert von 12 Ablesungen 0,237.

Epithelseiten nach außen gekehrt.

$$E + E' = \begin{matrix} 0,35, 0,4, 0,4 \\ 0,4, 0,35, 0,35 \end{matrix} \left. \vphantom{\begin{matrix} 0,35, 0,4, 0,4 \\ 0,4, 0,35, 0,35 \end{matrix}} \right\} \text{ von rechts nach links}$$

$$E + E' = \begin{matrix} 0,35, 0,25, 0,4 \\ 0,35, 0,4, 0,85 \end{matrix} \left. \vphantom{\begin{matrix} 0,35, 0,25, 0,4 \\ 0,35, 0,4, 0,85 \end{matrix}} \right\} \text{ von links nach rechts}$$

Mittelwert von 12 Ablesungen 0,37.

Es ist also mehr Glukose aus dem Mittelgefäß in die äußeren Gefäße getreten in der Richtung Bindegewebe → Epithel als umgekehrt.

Damit in Einklang steht das Resultat der Glukose-Bestimmung der Flüssigkeit im Mittelgefäß J .

Epithelseiten nach innen.

$$J = \begin{matrix} 0,05, 0,9, 0,9 \\ 0,95, 0,95, 0,95 \end{matrix} \left. \vphantom{\begin{matrix} 0,05, 0,9, 0,9 \\ 0,95, 0,95, 0,95 \end{matrix}} \right\} \text{ von rechts nach links}$$

$$J = \begin{matrix} 0,95, 0,95, 0,9 \\ 0,95, 0,95, 0,95 \end{matrix} \left. \vphantom{\begin{matrix} 0,95, 0,95, 0,9 \\ 0,95, 0,95, 0,95 \end{matrix}} \right\} \text{ von links nach rechts}$$

Mittelwert von 12 Ablesungen 0,937.

Epithelseite nach außen.

$$J = \begin{matrix} 0,9, 0,9, 0,85 \\ 0,9, 0,9, 0,9 \end{matrix} \left. \vphantom{\begin{matrix} 0,9, 0,9, 0,85 \\ 0,9, 0,9, 0,9 \end{matrix}} \right\} \text{ von rechts nach links}$$

$$J = \begin{matrix} 0,85, 0,85, 0,9 \\ 0,85, 0,9, 0,9 \end{matrix} \left. \vphantom{\begin{matrix} 0,85, 0,85, 0,9 \\ 0,85, 0,9, 0,9 \end{matrix}} \right\} \text{ von links nach rechts}$$

Mittelwert von 12 Ablesungen 0,883.

Wie ersichtlich, hat die Flüssigkeit im Mittelgefäß die meiste Glukose verloren, wenn die Epithelseiten nach außen gekehrt waren.

Aus diesen Versuchen erhellt also, daß die tote Darm-schleimhaut mehr Glukose durchgehen ließ in die Richtung Bindegewebe → Epithel als umgekehrt.

Bestimmung des Chlors.

Epithelseite der Darm-mucosa gekehrt nach	4 ccm des alkoh. Fil-trates von E + E'	5 ccm des alkoh. Fil-trates von J
innen	0,51 ccm AgNO ₃ n ₁₀	0,68 ccm AgNO ₃ n ₁₀
außen	0,48 „ „ „	0,75 „ „ „

Das Chlor hat also die entgegengesetzte Richtung bevorzugt, d. h. Epithel → Bindegewebe.

Versuch XVII.

Dieser Versuch ist in ganz derselben Weise und mit der-selben Membran angestellt worden, wie der Versuch XVI, nur daß jetzt die Mittelgefäße J, statt mit Glukose, mit Serum beschickt wurden. Die Membran ist 34 Stunden alt.

Als die Epithelseiten gekehrt waren nach	Inhalt von		
	E	E'	J
innen	3,4 ccm	3,3 ccm	10,2 ccm
außen	3,6 „	3,7 „	9,4 „

Auch hier wieder eine größere Durchlässigkeit für Wasser in der Richtung Bindegewebe → Epithel als umgekehrt.

Die Glukosebestimmungen bringen folgendes ans Licht.

Glukosebestimmung.

Wenn die Epithelseiten gekehrt sind nach	Mittelwert von 12 Polarimeterablesungen	
	E + E'	J
innen	0,854 ccm	0,108 ccm
außen	0,7 „	0,364 „

Also hat sich mehr Glukose bewegt in der Richtung Epithel → Bindegewebe als umgekehrt.

Und jetzt die Bestimmung des Chlors.

Wenn die Epithelseiten gekehrt sind nach	ccm AgNO_3 $n/_{10}$	
	$E + E'$	J
innen	0,6 ccm	0,8 ccm
außen	0,5 „	1,04 „

Wie ersichtlich, gestaltet sich hier die Bewegung von Kochsalz genau wie die der Glukose.

Versuch XVIII.

Der jetzige Versuch ist eine Wiederholung des vorigen; sogar sind die Membranen die nämlichen, d. h. dieselben sind nicht aus den Apparaten entfernt worden. Die Membranen sind 58 Stunden alt.

Bestimmung des Wassers.

Wenn die Epithelseiten gekehrt sind nach	Inhalt von		
	E	E'	J
innen	3,8 ccm	3,8 ccm	9,1 ccm
außen	4,1 „	4,1 „	8,6 „

Wie in den beiden vorigen Versuchen, überwiegt auch hier die Wasserbewegung in der Richtung Bindegewebe \rightarrow Epithel.

Bis jetzt hatten wir, um die Glukose und das Chlor der Flüssigkeiten zu bestimmen, das alkoholische Filtrat jedesmal in zwei Teile geteilt. Bei näherer Überlegung schien das nicht nötig, denn eigentlich könnte in derselben Flüssigkeit nach der Polarisation noch das Chlor ermittelt werden. Dadurch brauchten wir weniger Flüssigkeit, konnten wir also die Verdünnung beschränken und damit die Genauigkeit steigern.

Also wurden $E + E'$ mit der doppelten statt mit der dreifachen Quantität Alkohol, und J mit der gleichen, statt mit der doppelten Quantität Alkohol versetzt.

Bestimmung der Glukose.

Wenn die Epithelseiten der Mucosae gekehrt sind nach	Mittelwert von 12 Polarimeterablesungen	
	$E + E'$	J
innen	0,387 ccm	0,987 ccm
außen	0,496 „	0,9 „

Bestimmung des Chlors.

Wenn die Epithelseiten der Mucosae gekehrt sind nach	AgNO ₃ n/10	
	E + E'	J
innen	1,8 ccm	1,5 ccm
außen	1,6 „	1,9 „

Versuch XIX.

Abermalige Wiederholung des Versuchs XVII mit denselben Membranen von Versuch XVII und XVIII.

Dieselben sind 80 Stunden alt.

Wenn die Epithelseiten gekehrt sind nach	Inhalt von		
	E	E'	J
innen	3,8 ccm	3,7 ccm	9,6 ccm
außen	4,2 „	4,1 „	9,0 „

Bestimmung der Glukose.

Wenn die Epithelseiten gekehrt sind nach	Mittelwert von 12 Polarimeterablesungen	
	E + E'	J
innen	0,25 ccm	0,825 ccm
außen	0,87 „	0,627 „

Bestimmung des Chlors.

Wenn die Epithelseiten gekehrt sind nach	CaAgNO ₃ n/10	
	E + E'	J
innen	0,9 ccm	1,0 ccm
außen	0,75 „	1,15 „

Faßt man die Resultate der vier Versuchsreihen mit Glukose und Serum gegenüber die tote Blinddarmmucosa zusammen, so ergibt sich eine große Übereinstimmung:

Für Chlor ist die Durchgängigkeit in der Richtung Epithel → Bindegewebe größer als in umgekehrter Richtung.

Wasser und Glukose dagegen bevorzugen die umgekehrte Richtung. Da ist nämlich die Durchgängigkeit am größten in der Richtung Bindegewebe → Epithel.

Nur eine Ausnahme auf letztere Regel haben wir beobachtet. Im Versuch XVII hat sich nämlich mehr Glukose in der Richtung Epithel → Bindegewebe bewogen. Dieses Er-

gebnis ist um so mehr auffallend, weil in den zwei folgenden vollkommen denselben Versuchen mit denselben Membranen das entgegengesetzte Resultat gewonnen wurde.

Vielleicht handelt es sich um Glukosemengen, die von dem vorangehenden Versuch XVI noch in der Membran zurückgeblieben waren.

Alle Versuche mit toten tierischen Membranen zeigen also eine verschiedene Permeabilität in entgegengesetzten Richtungen, sowohl für Wasser wie für Pepsin, Kochsalz und Glukose, und wie sich aus unsern älteren Versuchen gezeigt hat, auch für SO_4 .

Daß die Richtung, welche z. B. von der Glukose in der toten Mucosa bevorzugt wird, nicht der in der lebenden Schleimhaut entspricht, ist hier nicht von prinzipieller Bedeutung; denn durch das Absterben ändert die Membran ihre physikalischen Eigenschaften.

Konnten wir bei den Versuchen an der Mucosa noch an die Möglichkeit denken, daß eine postmortal noch bestehende Struktur verantwortlich zu stellen sei, so lernten doch die Experimente an Pleura pulmonalis und Fruchthüllen, daß an eine spezifische Struktur kaum zu denken war.

Wir überlegten nun, daß alle gebrauchten tierischen Membranen jedenfalls das gemeinsam haben, daß sie wenigstens aus zwei Schichten bestehen, und so kamen wir auf den Gedanken, zu erforschen, ob die gefundenen Erscheinungen auch nicht zu beobachten sein würden bei künstlichen Doppelmembranen. Deshalb haben wir solche angefertigt. Sie waren zusammengesetzt aus Pergament und Chromgelatin, Pergament und Chrom-eiweiß, Pergament und Kollodion.

VII. Verhalten künstlicher Doppelmembranen gegenüber Wasser und Pepsin.

Versuch XX.

Doppelmembran von Pergament und Chromateiweiß.

Diese Membranen wurden so angefertigt, daß ein Stück mit Wasser getränktes Pergamentpapier glatt über die offene Seite eines Becherglases gespannt wurde und die Oberfläche des Pergamentpapieres in eine Auflösung von Hühnereiweiß und Kaliumbichromat getaucht wurde. Nachher wurde die Mem-

bran dem Einflusse des Sonnenlichtes ausgesetzt. Auf diese Weise ist die Eiweißmembran unlöslich für Wasser geworden. Was die Eiweißlösung selbst betrifft, so wurde dieselbe erhalten, indem man frisches Hühnereiweiß mit der Scheere gut zerkleinerte; dann wurden einige Tropfen einer konzentrierten Kaliumbiocromatlösung hinzugefügt, und nach guter Vermischung mittels Saugpumpe filtriert.

Im vorliegenden Versuch enthält das Mittelgefäß eine Lösung von Pepsin in 0,9% iger Kochsalzlösung, die äußeren Gefäße enthalten die reine NaCl-Solution. Dauer des Versuchs 22¹/₂ Stunden.

Wenn die Eiweißschicht gekehrt ist nach	E	Inhalt von E'	J
innen	3,4 ccm	3,5 ccm	9,4 ccm
außen	3,8 „	3,8 „	9,7 ccm

Aus diesem Versuche erhellt, daß die Doppelmembran in der einen Richtung mehr Wasser durchläßt, als in entgegengesetzter Richtung.

Ähnliches ergibt sich für das Pepsin, wie sich aus folgender Tabelle (XVI) hervorgeht.

Tabelle XVI.

Pergament-Chromateiweiß.

Im Mittelgefäß J Pepsinlösung, in den äußeren Gefäßen E und E' reine NaCl-Lösung.

Zeitdauer der Ein- wirkung auf das Eiweiß	Richtung von	Millimeter Eiweiß verzehrt, wenn die Eiweiß- schichten gekehrt sind nach		Millimeter Eiweiß verzehrt in der ur- sprünglichen Lösung von Pepsin in NaCl 0,9%
		innen	außen	
4 Stunden	E	$\frac{1}{2} + \frac{1}{2} + \frac{1}{2} + \frac{1}{2} = 2$	$\frac{1}{4} + \frac{1}{4} + \frac{1}{4} + \frac{1}{4} = 1$	$3\frac{1}{2} + 4 + 3\frac{1}{2} + 4 = 15\frac{1}{2}$
	E'	$\frac{3}{4} + \frac{1}{2} + \frac{1}{2} + \frac{1}{4} = 2\frac{1}{2}$	$\frac{1}{4} + \frac{1}{4} + \frac{1}{4} + \frac{1}{4} = 1$	
	J	$1 + 2 + 2 + 2\frac{1}{2} = 7\frac{1}{2}$	$3 + 3 + 3\frac{1}{2} + 3 = 12\frac{1}{2}$	
7 „	E	$2 + 2 + 2 + 2 = 8$	$1 + 1\frac{1}{4} + 1 + 1 = 4\frac{1}{4}$	
	E'	$2 + 2\frac{1}{4} + 2 + 2\frac{1}{2} = 8\frac{3}{4}$	$1 + 1\frac{1}{4} + 1\frac{1}{4} + 1 = 4\frac{1}{2}$	
	J	$3 + 3 + 3 + 3 = 12$	$4 + 4 + 4 + 4 = 16$	
11 „	E	$3\frac{1}{4} + 3\frac{1}{2} + 3\frac{1}{2} + 3\frac{1}{2} = 13\frac{3}{4}$	$2\frac{1}{2} + 2\frac{1}{4} + 2\frac{1}{2} + 2\frac{1}{2} = 9\frac{1}{4}$	$5 + 5 + 5 + 5 = 20$
	E'	$3\frac{1}{2} + 3\frac{1}{2} + 3\frac{1}{2} + 3\frac{1}{2} = 14\frac{1}{2}$	$2\frac{1}{4} + 2\frac{1}{2} + 2\frac{1}{4} + 2\frac{1}{2} = 10$	
	J	$3\frac{1}{2} + 3\frac{1}{2} + 3\frac{1}{2} + 3\frac{1}{2} = 14\frac{1}{2}$	$5 + \frac{1}{2} + 5\frac{1}{2} + 5 = 21$	

Versuch XXI.

Pergament-Chromateiweiß.

Dieser Versuch entspricht genau dem vorigen, nur daß jetzt im Mittelreservoir die reine Kochsalzlösung sich

befindet und in den äußeren Gefäßen die Pepsinlösung. Dauer des Versuchs $23\frac{1}{2}$ Stunden.

Wenn die Eiweißschicht gekehrt ist nach	Inhalt von		
	E	E'	J
innen	3,0 ccm	3,9 ccm	9,3 ccm
außen	4,1 „	4,1 „	9,6 „

Wie ersichtlich, liegen hier die Resultate genau in derselben Richtung wie im vorigen Experiment.

Dasselbe ist der Fall mit den Ergebnissen der Pepsinbestimmung, wie aus folgender Tabelle (XVII) hervorgeht.

Tabelle XVII.

Pergament-Chromateiweiß.

Im Mittelgefäß J reine NaCl-Lösung, in den äußeren Gefäßen E und E' Pepsinlösung in NaCl.

Zeitdauer der Ein- wirkung auf das Eiweiß	Flüssigkeit von	Millimeter Eiweiß verzehrt, wenn die Eiweiß- schichten gekehrt sind nach		Millimeter Eiweiß verzehrt in der ur- sprünglichen Lösung von Pepsin in NaCl 0,9%
		innen	außen	
$3\frac{1}{2}$ Std.	E	$1\frac{1}{2} + 1\frac{1}{2} + 1\frac{1}{2} + 1\frac{1}{2} = 6$	$1 + 1 + 1 + \frac{3}{4} = 3\frac{3}{4}$	$2 + 2 + 2 + 2 = 8$
	E'	$1\frac{3}{4} + 1\frac{1}{2} + 1\frac{1}{2} + 1\frac{3}{4} = 6\frac{1}{2}$	$1 + \frac{3}{4} + \frac{3}{4} + 1 = 3\frac{1}{2}$	
	J	$\frac{1}{4} + \frac{1}{4} + \frac{1}{8} + \frac{1}{8} = \frac{3}{4}$	$\frac{1}{2} + \frac{3}{4} + \frac{3}{4} + \frac{3}{4} = 3\frac{3}{4}$	
$6\frac{1}{2}$ „	E	$2\frac{1}{2} + 2\frac{1}{2} + 2\frac{3}{4} + 2\frac{1}{2} = 10\frac{1}{4}$	$2 + 2 + 1\frac{3}{4} + 1\frac{3}{4} = 7\frac{1}{2}$	$3 + 3 + 3\frac{1}{2} + 3\frac{1}{2} = 13$
	E'	$2\frac{3}{4} + 2\frac{3}{4} + 2\frac{1}{2} + 2\frac{3}{4} = 10\frac{1}{2}$	$2 + 1\frac{3}{4} + 2 + 1\frac{3}{4} = 7\frac{1}{2}$	
	J	$\frac{3}{4} + \frac{1}{4} + \frac{1}{2} + \frac{1}{2} = 1\frac{1}{2}$	$1\frac{1}{4} + 1\frac{1}{2} + 1\frac{1}{2} + 1\frac{1}{2} = 5\frac{1}{4}$	
$8\frac{1}{2}$ „	E	$3\frac{1}{4} + 3\frac{1}{4} + 3\frac{1}{2} + 3\frac{1}{4} = 13\frac{1}{4}$	$2\frac{1}{2} + 2\frac{1}{2} + 2 + 2\frac{1}{4} = 9\frac{1}{4}$	$4 + 4 + 4 + 4\frac{1}{2} = 16\frac{1}{2}$
	E'	$3\frac{1}{2} + 3\frac{1}{4} + 3\frac{1}{4} + 3\frac{1}{2} = 14$	$2\frac{1}{2} + 2\frac{1}{4} + 2\frac{1}{2} + 2 = 9\frac{1}{4}$	
	J	$\frac{3}{4} + \frac{3}{4} + \frac{1}{2} + \frac{1}{2} = 2\frac{1}{2}$	$2 + 2\frac{1}{4} + 2\frac{1}{2} + 2\frac{1}{4} = 9$	

Wie aus Betrachtung der Tabelle hervorgeht, ist in den äußeren Gefäßen eine größere Pepsinmenge vorhanden, wenn die Eiweißschichten nach innen, als wenn sie nach außen gekehrt sind. Somit ist die Durchgängigkeit der Doppelmembranen für Pepsin am größten in der Richtung Eiweiß \rightarrow Pergament. Für Wasser ist gerade das umgekehrte der Fall.

Pergament-Collodium.

Noch eine andere künstliche Doppelmembran wurde untersucht; statt Chromat-Eiweiß wurde nämlich Collodium gebraucht. Um diese Doppelmembran anzufertigen, wurde wieder feuchtes

Pergamentpapier über die offene Seite eines Becherglases gespannt. Dann ließ man das Pergament gut austrocknen, um die Fläche später mit einer dünnen Collodidlösung zu übergießen. Indem dann das Becherglas hin und her bewegt wurde, konnte eine ziemlich gleichmäßige Membran des Collodiums erzielt werden. Fügen wir noch hinzu, daß die Collodidlösung die gewöhnliche war, nicht Collodium elasticum. Weiter, daß das Pergamentpapier groß genug war, um aus demselben die 4 Membranen, welche der Versuch erforderte, ausscheiden zu können. Beim Chrom-Eiweißmembran war auf dasselbe geachtet worden.

Versuch XXII.

Die Pepsinkochsalzlösung befindet sich im Mittelgefäß. In den äußeren Gefäßen die 0,9%ige NaCl-Lösung. Dauer des Versuchs $23\frac{1}{2}$ Stunden.

Wenn die Collodionseite gekehrt ist nach	Inhalt von		
	E	E'	J
innen	3,7 ccm	3,6 ccm	9,6 ccm
außen	3,9 „	3,9 „	9,7 „

Die Wasserbewegung entspricht also genau der, welche auch bei Chromeiweiß-Pergamentmembran gefunden wurde.

Mit der Pepsinbewegung war das nämliche der Fall.

Es mag dies aus folgender Tabelle hervorgehen.

Tabelle XVIII.

Pergament-Collodium.

Im Mittelgefäß J Pepsinlösung, in den äußeren Gefäßen E und E' reine 0,9%ige NaCl-Lösung.

Zeitdauer der Ein- wirkung auf das Eiweiß	Richtung von	Millimeter Eiweiß verzehrt, wenn die Collodion- schichten gekehrt sind nach		Millimeter Eiweiß verzehrt in der ur- sprünglichen Lösung von Pepsin in NaCl 0,9%
		innen	außen	
3 Stunden	E	$\frac{1}{2} + \frac{1}{2} + \frac{1}{2} + \frac{1}{2} = 2$	0	3 + 3 + 3 + 3 = 12
	E'	$\frac{1}{2} + \frac{3}{4} + \frac{1}{2} + \frac{1}{4} = 2\frac{1}{4}$	0	
	J	$1 + 1\frac{1}{4} + 1 + 1\frac{1}{4} = 4\frac{1}{2}$	$2 + 2 + 2\frac{1}{2} + 2 = 8\frac{1}{2}$	
7 „	E	$1 + 1 + 1\frac{1}{4} + 1 = 4\frac{1}{4}$	Spuren	$4 + 4\frac{1}{2} + 4\frac{1}{2} + 4\frac{1}{2} = 17\frac{1}{2}$
	E'	$1 + 1 + 1 + 1 = 4$	Spuren	
	J	$2 + 2\frac{1}{2} + 2 + 2\frac{1}{2} = 9$	$3 + 3\frac{1}{2} + 3 + 3\frac{1}{2} = 12\frac{1}{2}$	
10 „	E	$1\frac{1}{2} + 1\frac{1}{2} + 1\frac{1}{2} + 1\frac{1}{2} = 6\frac{1}{2}$	$\frac{1}{4} + \frac{1}{2} + \frac{1}{4} + \frac{1}{4} = 1\frac{1}{4}$	$5\frac{1}{2} + 5\frac{3}{4} + 5\frac{1}{4} + 5\frac{3}{4} = 22\frac{1}{4}$
	E'	$1\frac{1}{2} + 1\frac{1}{2} + 1\frac{1}{2} + 1\frac{1}{2} = 6\frac{1}{2}$	$\frac{1}{4} + \frac{1}{4} + \frac{1}{4} + \frac{1}{4} = 1$	
	J	$2\frac{1}{2} + 3 + 2\frac{1}{2} + 2\frac{1}{2} = 11$	$3\frac{3}{4} + 3\frac{3}{4} + 4 + 3\frac{3}{4} = 15\frac{1}{4}$	

Versuch XXIII.

Endlich wurde der vorige Versuch wiederholt, mit dem Unterschied, daß jetzt im Mittelreservoir statt Pepsinlösung reine Kochsalzlösung gebracht wurde. Dauer des Versuchs $23\frac{1}{2}$ Stunden.

Wenn die Collodionseite gekehrt ist nach	Inhalt von		
	E	E'	J
innen	4,0 ccm	4,0 ccm	8,9 ccm
außen	3,4 „	3,5 „	9,8 „

Und jetzt die Pepsinbestimmung. Von dieser mögen die Resultate aus folgender Tabelle (XIX) hervorgehen.

Tabelle XIX.

Pergament-Collodium.

Im Mittelgefäß J reine 0,9%ige NaCl Lösung, in den äußeren Gefäßen E und E' Pepsinlösung.

Zeitdauer der Ein- wirkung auf das Eiweiß	Flüssigkeit von	Millimeter Eiweiß verzehrt, wenn die Collodion- schichten gekehrt sind nach		Millimeter Eiweiß verzehrt in der ur- sprünglichen Lösung von Pepsin in NaCl 0,9%
		innen	außen	
3 Stunden	E	$2 + 1\frac{1}{2} + 2 + 2 = 7\frac{1}{2}$	$1 + 1 + 1\frac{1}{2} + 1 = 4\frac{1}{2}$	$2 + 2\frac{1}{2} + 2 + 2\frac{1}{2} = 8\frac{1}{2}$
	E'	$2 + 1\frac{1}{2} + 1\frac{1}{2} + 1\frac{1}{2} = 7$	$1 + 1 + 1 + \frac{1}{2} = 3\frac{1}{2}$	
	J	0	$\frac{1}{2} + \frac{1}{2} + \frac{1}{2} + \frac{1}{2} = 2\frac{1}{2}$	
7 „	E	$4\frac{1}{2} + 4 + 4\frac{1}{2} + 4 = 17$	$3\frac{1}{2} + 3 + 3 + 3 = 12\frac{1}{2}$	$5 + 5 + 5\frac{1}{2} + 5\frac{1}{2} = 20\frac{1}{2}$
	E'	$4 + 4 + 3\frac{1}{2} + 3\frac{1}{2} = 15\frac{1}{2}$	$2\frac{1}{2} + 3 + 2\frac{1}{2} + 3 = 11\frac{1}{2}$	
	J	$\frac{1}{2} + \frac{1}{2} + \frac{1}{2} + \frac{1}{2} = 2$	$2 + 2\frac{1}{2} + 2\frac{1}{2} + 2 = 8\frac{1}{2}$	
10 „	E	$5 + 5 + 5\frac{1}{2} + 5 = 20\frac{1}{2}$	$4\frac{1}{2} + 4 + 4\frac{1}{2} + 4 = 16\frac{1}{2}$	$7 + 7 + 7\frac{1}{2} + 7\frac{1}{2} = 29$
	E'	$5 + 5\frac{1}{2} + 4\frac{1}{2} + 5\frac{1}{2} = 20\frac{1}{2}$	$3\frac{1}{2} + 4 + 3\frac{1}{2} + 3\frac{1}{2} = 15$	
	J	$1 + 1\frac{1}{2} + 1 + 1 = 4\frac{1}{2}$	$3 + 3\frac{1}{2} + 3\frac{1}{2} + 3 = 12\frac{1}{2}$	

Hier also dasselbe Resultat wie im vorigen Versuch: es geht mehr Pepsin in die Richtung Pergament \rightarrow Collodium als umgekehrt.

Zusammenfassung.

Die oben beschriebenen Versuche haben in der Hauptsache folgendes gelehrt:

1. Die Magenmucosa eines seit 3 Tagen toten Tieres läßt Wasser und Pepsin in größerem Maße durchgehen in der Richtung Bindegewebe \rightarrow Epithel als umgekehrt.

Man könnte den Einwurf machen, daß nach drei Tagen

die Magenschleimhaut noch nicht abgestorben sei und also der Unterschied in der Durchgängigkeit in zwei entgegengesetzten Richtungen doch noch auf einer Lebenseigenschaft der Mucosa beruhe.

Um diesem Einwand zu begegnen, wurden die Versuche wiederholt mit Magenschleimhäuten, welche einer kochenden Kochsalzlösung ausgesetzt gewesen waren. Trotzdem blieb der betreffende Unterschied in der Permeabilität bestehen.

2. Nicht nur bei der Magenmucosa, sondern auch bei der Darmmucosa eines längst verstorbenen Tieres wurden diese Erscheinungen beobachtet, und zwar selbst, nachdem letztere einige Stunden mit 10%iger Formalinlösung behandelt worden war.

Was für Pepsin galt, zeigte sich auch für Trypsin und Trypsinogen.

3. Um der Erklärung der genannten Erscheinungen näher zu treten, könnte man geneigt sein, die postmortal noch bestehende Struktur von Schleimhäuten dafür verantwortlich zu machen. Es ergab sich jedoch, daß andere tote tierische Membranen, wie der Muscularis des Magens, die Pleura pulmonalis und die Fruchthüllen von Embryonen ähnliche Erscheinungen erkennen ließen.

Was konnte dann die Ursache sein?

4. Ausgehend von der Überlegung, daß die genannten tierischen Membranen wenigstens aus zwei verschiedenen Schichten bestehen, wurde dann erforscht, inwieweit die genannten Unterschiede in der Durchgängigkeit in zwei entgegengesetzten Richtungen, auch bei künstlichen Doppelmembranen zu konstatieren sein würden.

In der Tat ergab sich, daß Doppelmembranen von Pergamentpapier und Chromateiweiß und von Pergamentpapier-Colloidum die Erscheinung in ganz einwandsfreier Weise zeigten.

5. Nicht nur für Pepsin und Wasser, sondern auch für Glukose und Kochsalz macht sich das Phänomen geltend.

6. Die Meinung Otto Cohnheims, daß an eine vitale Funktion der Mucosa gedacht werden müsse, da beim lebenden Tiere wohl Kochsalz aus dem Darmlumen resorbiert wird, aber nicht aus den Blutgefäßen in das Darmlumen hinübertritt, kann

demnach nicht mehr aufrecht erhalten werden, denn die obigen Versuche haben in deutlicher Weise gezeigt, daß die Verschiedenheit in der Permeabilität in zwei entgegengesetzten Richtungen nicht nur bei der toten Mucosa, sondern sogar bei künstlichen Doppelmembranen beobachtet wird.

7. Man könnte schließlich noch die Bemerkung machen, daß im Versuch Cohnheims absolut kein Kochsalz in das Darmlumen übertrat, während in unsern Experimenten eine Diffusion in beiden Richtungen, wenngleich in den zwei entgegengesetzten Richtungen in verschiedenen Graden, stattfand.

Man muß hier aber zwei Sachen im Auge behalten: zunächst, daß die von Cohnheim angegebene vollständige Impermeabilität von Kochsalz in der Richtung Bindegewebe → Epithel in Versuchen Heidenhains keine Stütze findet, und zweitens, daß, wenn in der Tat in der lebenden unversehrten Schleimhaut diese vollständige Impermeabilität bestände, doch die Schlußfolgerung unangefochten bleibt, daß es sich hier nicht um eine spezifische Lebenseigenschaft handelt. Vielmehr liegt es nahe, bei dem Vergleich zwischen lebenden und toten Membranen anzunehmen, daß hier nur quantitative Differenzen obwalten. Solche findet man selbst bei lebenden Membranen unter verschiedenen physiologischen Bedingungen. Es kann also nicht wundern, daß dieselben sich auch beobachten lassen, und daß sogar das Zeichen umkehren kann, wenn die Membran abstirbt.

Auf Grund theoretischer Überlegungen, welche bezweckten, der Ursache der Erscheinungen näher zu treten, sind wir zu dem Schluß gelangt, daß sich künstliche Doppelmembranen herstellen lassen müssen, welche für bestimmte Stoffe in der einen Richtung absolut impermeabel sind, in der entgegengesetzten Richtung aber diesen Substanzen den Durchgang gestatten. Mit den betreffenden Versuchen sind wir noch beschäftigt.

8. Wie diese Experimente auch ausfallen mögen, aus den bis jetzt ausgeführten Versuchen haben sich Tatsachen ergeben, denen man beim Studium des Mechanismus, sowohl der Sekretions- wie von den Resorptionserscheinungen im Organismus Rechnung zu tragen haben wird.

Calorimetrische Untersuchungen über die Eiweißfällung.

Von

Amedeo Herlitzka.

Privatdozent und Assistent am physiologischen Institut in Turin.

(Eingegangen am 7. Juni 1908.)

Seit längerer Zeit beschäftige ich mich mit der Untersuchung der Wärmetönung, die bei der Fällung von Eiweiß mit Metallsalzlösungen stattfindet. Da diese Untersuchungen vorläufig nicht abgeschlossen sind und ich nicht sicher bin, dieselben in der nächsten Zeit weiterführen zu können, möchte ich hier einige Resultate davon zusammenfassen:

Schon vor vielen Jahren haben sich Wiedemann und Lüdeking¹⁾ mit der Wärmetönung bei der Auflösung von Eiweiß und von anderen Kolloiden befaßt und nachgewiesen, daß bei deren Hydratation eine positive Wärmetönung stattfindet, während die eigentliche Lösungswärme negativ ist. Bei der „Eiweißkoagulation“ mittels Essigsäure oder Salpetersäure wird Wärme frei: und zwar bei Essigsäurebehandlung des Eiweißes frischer Eier beträgt die Wärmeentwicklung pro Gramm von $+12,1$ bis $+12,4$ Cal., bei Salpetersäurebehandlung des trockenen Eiweißes $+2,3$ bis $+2,8$ Cal.

Ich habe nun die Fällung einer Eiweißlösung mittels Lösungen verschiedener Salze bewirkt.

Die Albuminlösung wurde aus Hühnereiern durch Ammoniumsulfat und nachträglicher Dialyse gewonnen.

Die calorimetrischen Untersuchungen wurden mittels eines Thomsenschen Silbermischcalorimeters und zweier Beekmann-

¹⁾ Wiedemann und Lüdeking, *Annal. d. Physik u. Chem.* N. F. 25, 145 bis 153, 1885.

schen Thermometer ausgeführt. Letztere waren in $0,01^{\circ}$ geteilt, und durch Lupeablesung wurden die Tausendstel abgeschätzt. Der Silbercalorimeter befand sich in zwei Nickelschutzgefäßen und diese wiederum in einem großen doppelwandigen Gefäß, welches eine gesättigte Alaunlösung enthielt. Die Anfangs- und Endtemperaturen wurden aus den vor und nach der stattgefundenen Reaktion von Minute zu Minute abgelesenen Temperaturen berechnet. Der Wärmeaustausch des Calorimeters mit der Umgebung betrug pro Minute höchstens $0,002^{\circ}$ bis $0,003^{\circ}$.

Ich werde hier nur die Untersuchungen besprechen, die ich über die Fällung mit Ammoniumsulfat und Silbernitrat ausgeführt habe.

Um die Eiweißlösung durch Ammoniumsulfat auszusalzen, habe ich 200 ccm der ersteren mit 300 ccm gesättigter Salzlösung behandelt. Die Eiweißlösung enthielt $4,257\%$ Eiweiß. Da ich hier mit einer konzentrierten Salzlösung arbeitete, habe ich die Wärmekapazität letzterer messen müssen. Das geschah durch Einführung eines Quecksilbertermophors in den mit der zu untersuchenden Flüssigkeit beschickten Calorimeter.

Das Ergebnis dieser Vorversuche war, daß die Wärmekapazität der 300 ccm gesättigten Ammoniumsulfatlösung 261,07 betrug. Die Ammoniumsulfatlösung enthielt auf 100 ccm 53 Gramm des Salzes und 71 Gramm Wasser.

Es sei hier darauf hingewiesen, daß alle calorimetrischen Werte, die ich hier anführe, den Durchschnitt von zwei gut miteinander übereinstimmenden Bestimmungen darstellen. Als gut übereinstimmend bezeichne ich solche, die nicht über eine Calorie voneinander abweichen. Eine größere Genauigkeit ist nicht zu erwarten, da schon ein Fehler von $0,001^{\circ}$ in der Endtemperatur, wenn der Temperaturunterschied für beide Gefäße gleichzeitig ist, bei einer gesamten Wärmekapazität von 400 bis 500 ein Fehler in der Wärmetönung von 0,4 bis 0,5 Calorien ergibt.

Bei der Mischung von 300 ccm der Ammoniumsulfatlösung mit 200 ccm Eiweißlösung beobachtete ich eine Wärmetönung von — 58,5 Calorien.

Natürlich ist es nun notwendig zu untersuchen, ob bei dem Zustandekommen dieser Wärmetönung die Eiweißfällung beteiligt ist.

Aus den Untersuchungen von Galeotti¹⁾ wissen wir, daß bei der Aussalzung des Albumins durch Ammoniumsulfat nur Albumin gefällt wird, während im Niederschlag kein Ammoniumsulfat nachgewiesen werden kann.

Die Wärmetönung kann sich also nur aus der eventuell vorhandenen Fällungswärme des Albumins und der Verdünnungswärme der Salzlösung ergeben.

Wenn wir also die Verdünnungswärme bestimmen, so werden wir erfahren können, ob eine Fällungswärme für das Albumin unter diesen Umständen nachweisbar ist, und zwar mit welchem Vorzeichen.

Ich habe deshalb dasselbe Volumen Ammoniumsulfatlösung mit 200 ccm Wasser verdünnt und die Wärmetönung bestimmt. Diese beträgt Cal. — 58,7. Aus dem Vergleich dieser Zahl mit der bei der Fällung des Albumins gefundenen ergibt sich, daß bei letzterer die gesamte Wärmetönung aus der Verdünnungswärme der Ammoniumsulfatlösung besteht. Unter diesen Umständen bewirkt also die Fällung des Eiweißes keine Wärmetönung. Eine Untersuchung verschiedener Mischungen von Eiweiß- und Salzlösungen war bei diesem Salze nicht wohl durchführbar, da es nicht möglich war, wegen der Größe des Calorimeters das Volumen der Eiweißlösung unter ein Minimum herabzusetzen noch das der Salzlösung zu vergrößern. Auch die Konzentration des Ammoniumsulfates konnte ich nicht vermindern, wenn ich einen beträchtlichen Niederschlag erhalten wollte.

Ich komme jetzt zu den Versuchen mit Silbernitrat. Diese wurden mit einer Eiweißlösung ausgeführt, die 4,431% Albumin enthielt. Die Silbernitratlösungen waren von folgender

Konzentration: $\frac{N}{4}$, $\frac{N}{10}$, $\frac{N}{20}$.

Bei diesen Versuchen ist es schwieriger, den Anteil der Wärmetönung zu bestimmen, der eventuell der Fällung des Eiweißes zuzuschreiben ist. Aus Untersuchungen von Galeotti²⁾ geht hervor, daß bei der Behandlung von Eiweißlösung mit Silbernitrat ein Niederschlag entsteht, der sowohl Eiweiß als

¹⁾ Galeotti, G., Zeitschr. f. physiol. Chem. 44, 363.

²⁾ Galeotti, G., Zeitschr. f. physiol. Chem. 40, 541.

auch Silber enthält; die Menge der beiden hängt mit der Konzentration der Lösungen zusammen. Beide Stoffe können also bei der Fällung eine Wärmetönung hervorrufen. Ein anderer Anteil der Wärmetönung kann auch durch die Verdünnungswärme des in der Lösung bleibenden Silbernitrats dargestellt sein. Außerdem enthält die Eiweißlösung immer gewisse Mengen Chlor, das sich mit dem Silber zu Silberchlorid verbinden kann. Ich habe in allen Fällen angenommen, daß das ganze im Albumin enthaltene Chlor als Chlorion vorhanden sei.

Um alle diese Anteile richtig bestimmen zu können, war es also notwendig, in jedem Falle erfahren zu können, wieviel Silber und wieviel Albumin gefällt worden waren. Ich konnte das aber nicht direkt im Niederschlag bestimmen, da ich, um die Konzentration der verschiedenen Stoffe nicht zu ändern, den Niederschlag nicht waschen und denselben nicht von der anhaftenden Flüssigkeit befreien konnte. Ich konnte auch nicht die relativ einfache Methode, die Galeotti in seiner Arbeit anwandte, benutzen, da mir die Kenntnis der prozentigen Zusammensetzung des Niederschlages nicht genügte, sondern da ich der absoluten Werte des ganzen gefällten Silbers und Albumins bedurfte. Ich habe deshalb eine viel kompliziertere Methode ausarbeiten müssen, die mich jedoch zum Ziele führte. Das Prinzip dieser Methode, die auch für ähnliche Fälle anwendbar ist, besteht einfach darin, nur die abfiltrierte Flüssigkeit zu untersuchen.

Ich habe zuerst das Volumen des Filtrates bestimmen müssen. Dies kann nur indirekt geschehen. Vor allem kannte ich genau die Volumina der reagierenden Lösungen. Beide Lösungen wurden immer mit einer sehr genauen, mit Korrektionstabellen versehener Pipette „à écoulement libre“ von Baudin, Paris, gemessen: die Eiweißlösung befand sich im Calorimeter selbst und gelangte also ohne Verlust zur Reaktion. Die Silberlösung dagegen kam in das gläserne Mischgefäß, und einige Tropfen blieben deshalb beim Vermischen der zwei Lösungen an den Wänden haften. Nach erfolgter calorimetrischer Bestimmung wurde das Gefäß mehrmals mit destilliertem Wasser ausgespült, die Waschflüssigkeit in einer gewogenen Schale gesammelt, das Wasser abgedampft und zuletzt die Schale mit dem Rückstand gewogen. Aus dem Gewicht des zurückge-

bliebenen Silbernitrats wurde das Volumen der nicht zur Reaktion gelangten Silberlösung berechnet.

Ich ermittelte nun aus dem Trockenrückstand der Silber- und der Eiweißlösung den Wassergehalt in den zur Reaktion gelangenden Flüssigkeitsvolumina. Ich habe mich zur Annahme berechtigt gehalten, daß das ganze Wasser in dem Filtrate wiederzufinden sei, um so mehr daß das Silbernitrat keine Hydrate bildet. Indem ich also den Wassergehalt in einer genau abgemessenen Menge des Filtrats bestimmte, konnte ich das ganze Volumen des Filtrats berechnen. Ich bestimmte nun in 20 ccm des Filtrats einerseits nach Verbrennung der organischen Substanz den Silbergehalt nach der gravimetrischen Methode, andererseits den Stickstoffgehalt (Salpeterstickstoff ausgenommen) nach Kjeldahl. Daraus berechnete ich das gesamte Silber und den gesamten Stickstoff im Filtrate. Ich hatte vorher den Stickstoff in der zur Reaktion gelangten Eiweißlösung bestimmt, und der Silbergehalt der Silbernitratlösung war durch die Konzentration bekannt.

Indem ich von diesen Werten die zuletzt gefundenen abzog, erhielt ich das Gewicht des Silbers und des Stickstoffs, welche sich im Niederschlag befanden. Wenn man zuletzt den Stickstoffwert mit 6,1456 (Verhältnis des Albumins und des Stickstoffs in der Eiweißlösung) multipliziert, erhält man das Gewicht des gefällten Eiweißes.

Kurz zusammengefaßt gestaltet sich die Analyse für jede calorimetrische Bestimmung wie folgt:

1. Bestimmung des Wassers in 20 ccm Silberlösung.
2. Bestimmung des Wassers in 20 ccm Eiweißlösung.
3. Bestimmung der im Mischgefäß zurückgebliebenen Silberlösung.
4. Bestimmung des Wassers im Filtrate.
5. Aus 1, 2, 3 und 4 Berechnung des Volumens des Filtrates.
6. Bestimmung des Stickstoffs in der Eiweißlösung.
- (7. Silbergehalt in der Silbernitratlösung bekannt.)
8. Bestimmung des Silbers im Filtrate.
9. Bestimmung des Stickstoffs im Filtrate.
10. Berechnung des gefällten Silbers und Stickstoffs.

Um aber das Silber zu bestimmen, das durch das Albumin

gefällt wurde, ist es noch notwendig, vom ganzen niedergeschlagenen Silber den Anteil abzuziehen, der durch das Chlor gebunden wurde. Deshalb wurde der Chlorgehalt des Albumins nach Veraschung mit Natriumcarbonat und Salpeter als Chlorsilber bestimmt.

Nachdem so die analytischen Grundlagen gewonnen sind, gestaltet sich die calorimetrische Untersuchung wie folgt: Vor allem wird die Wärmetönung bei der Vermischung der Silber- und der Eiweißlösung bestimmt. Daraufhin wird die Fällungswärme des Silbernitrates bestimmt. Dabei bin ich von folgender Erwägung ausgegangen. Wenn wir 200 ccm Silbernitratlösung mit ebensoviel Kubikzentimeter Eiweißlösung vermischen und dabei x Gramm Silber durch das Eiweiß gefällt werden, so muß die Fällungswärme für das Silbernitrat die gleiche sein, als wenn wir die entsprechende Menge Silbernitrat in 400 ccm Wasser auflösen würden: nur muß natürlich das Vorzeichen entgegengesetzt sein. Auf solchem Wege habe ich die Fällungswärme des Silbernitrates bestimmt. Die Verdünnungswärme und die Bildungswärme des Chlorsilbers habe ich bestimmt, indem ich 200 ccm einer Silberlösung gebrauchte, die so viel Silbernitrat enthielt wie die zum eigentlichen Versuche angewandte nach Abzug des durch das Eiweiß gefällten Silbers. Diese Lösung wurde mit einer Chlornatriumlösung vermischt, die denselben Chlorgehalt wie die Eiweißlösung hatte. Und da letztere 0,0662% Chlor enthielt, so gebrauchte ich eine Chlornatriumlösung von 1,0909 g im Liter.

Um das vorhergehende durch ein Beispiel zu erläutern, gebe ich im folgenden einen Versuch ausführlich wieder.

200 ccm Eiweißlösung werden in den Calorimeter gebracht. 200 ccm einer $\frac{1}{10}$ -Silbernitratlösung werden in das Mischgefäß gebracht. Nach erfolgter Mischung bleiben 0,0105 g AgNO_3 in dem Mischgefäß. Diese entsprechen 0,6 ccm einer $\frac{1}{10}$ -Lösung. Das Volumen der zur Mischung gelangten Silberlösung beträgt 199,4 ccm.

200 ccm Eiweißlösung enthalten 191,91 ccm Wasser.

199,4 ccm Silberlösung enthalten 198,32 ccm Wasser.

Das Gesamtvolumen des Wassers ist somit 390,23 ccm.

20 ccm des Filtrates enthalten 19,8405 ccm Wasser.

390,23 ccm Wasser entsprechen also 393,35 ccm Filtrates.

200 ccm Eiweiß enthalten 1,4420 g Stickstoff = 8,8620 g Eiweiß.

20 ccm des Filtrates enthalten 0,009905 g Stickstoff.

Der Stickstoff im gesamten Filtrate beträgt also 0,19481 g = 1,1974 g Eiweiß.

Der Niederschlag enthält folglich 1,2472 g Stickstoff = 7,6646 g Eiweiß.

199,4 ccm $\frac{1}{10}$ -Silbernitratlösung enthalten 3,3895 g AgNO_3

20 ccm des Filtrates enthalten 0,0784 g AgNO_3 .

Das Silbernitrat im ganzen Filtrat beträgt also 1,5417 g.

Der Niederschlag enthält folglich 1,8478 g.

Davon sind mit 0,1324 g Chlor 0,6338 g AgNO_3 gebunden.

Silbernitrat im Filtrate und als Chlorsilber im Niederschlag zusammen 2,1755 g.

Durch Eiweiß sind mithin 1,2140 g AgNO_3 niedergeschlagen.

Wärmetönung bei Vermischung von 200 ccm Eiweißlösung mit 199,4 ccm $\frac{1}{10}$ -Silbernitratlösung Cal. + 113,426.

Bindungswärme von 200 ccm Lösung, die 2,1755 g AgNO_3 enthält mit 200 ccm einer 1,0909 ‰ NaCl-Lösung + 62,396 Cal.

Lösungswärme von 1,214 g Silbernitrat in 400 ccm Wasser — 39,237 Cal.

Letztere muß in Rechnung mit positiven Vorzeichen gebracht werden, da es sich bei der Silbereiweißfällung um einen Niederschlag handelt.

Wenn wir die zwei letzten Werte addieren, erhalten wir + 101,633 Cal., die wir von 113,426 subtrahieren. Es bleibt uns so ein Wert von + 11,793 Cal. übrig. Das bedeutet, daß zum weitaus größten Teil die Wärmetönung durch die Bildung des Chlorsilbers die Verdünnung des übriggebliebenen Silbernitrates und die Fällung des Silbernitrates hervorgerufen wird. Es bleibt aber ein Rest, welcher dem Niederschlag des Silbereiweißes zuzuschreiben ist. Auf die Bedeutung dieser Wärmetönung komme ich bei der Besprechung der weiteren Resultate zurück. Hier habe ich nur den Gang der Untersuchung beleuchten wollen. Es ist selbstverständlich, daß sämtliche Analysen doppelt ausgeführt worden sind.

Ich gebe hier die Ergebnisse der verschiedenen calorimetrischen und analytischen Untersuchungen wieder.

I.

Wärmetönung von 200 ccm Eiweißlösung mit 199,2 ccm AgNO_3 -Lösung ($\frac{n}{4}$) = Cal. + 135,8.

Silbernitrat im Filtrate + Silbernitrat durch Chlor gebunden = 5,7886 g.

200 ccm 5,7886 g AgNO_3 , enthaltend mit 200 ccm 1,0909 ‰ NaCl-Lösung, geben eine Wärmetönung von Cal. + 58,38

Silbernitrat im Niederschlag = 2,6787 g,

dessen Fällungswärme Cal. + 86,83

zusammen + 145,21

Wärmetönungsrest Cal. — 9,40.

Im Niederschlag 1,4036 g Stickstoff = 8,6263 g Eiweiß.

II.

Wärmetönung von 200 ccm Eiweißlösung mit 199,6 ccm $\frac{n}{4}$ - AgNO_3 -Lösung Cal. + 130,95.

Silbernitrat im Filtrate + Silbernitrat, durch Chlor gebunden = 6,5155 g.

200 ccm 6,5155 g Silbernitrat enthaltend mit 200 ccm 1,0909 ‰ NaCl-Lösung, geben eine Wärmetönung von

Cal. + 63,72

Silbernitrat im Niederschlag = 1,969 g

dessen Fällungswärme Cal. + 64,24

zusammen Cal. + 127,96

Wärmetönungsrest Cal. + 2,99.

Bei dieser Reaktion werden 1,3843 g Stickstoff = 8,5072 g Eiweiß gefällt.

III.

Siehe das ausführlich besprochene Beispiel:

Silberniederschlag 1,214 g.

Stickstoff- (resp. Eiweiß-) Niederschlag 1,2571 g (resp. 7,6646)

Wärmetönungsrest Cal. + 11,793.

IV.

Wärmetönung von 200 ccm Eiweißlösung mit 199,4 $\frac{n}{20}$ - AgNO_3 -Lösung Cal. + 106,206.

Silbernitrat im Filtrate + Silbernitrat durch Chlor gebunden = 0,8904 g.

Diese Menge in 200 ccm Lösung + 200 ccm 1,0909 ‰
NaCl-Lösung geben eine Wärmetönung von

$$\text{Cal.} + 62,303$$

Silbernitrat im Niederschlag = 0,8853 g,

$$\text{dessen Lösungswärme} \quad \text{Cal.} + 27,536$$

$$\text{zusammen} \quad \text{Cal.} + 89,536$$

$$\text{Wärmetönungsrest} \quad \text{Kal.} + 16,670.$$

Im Niederschlag 1,227 g Stickstoff = 7,5406 g Eiweiß.

Ich wiederhole hier, daß alle calorimetrischen Untersuchungen doppelt und übereinstimmend ausgeführt wurden; bei jeder einzelnen calorimetrischen Untersuchung wurde die oben beschriebene Analyse wiederum doppelt ausgeführt.

Wenn wir die oben angegebenen Werte des Wärmetönungsrestes, der auf die Bildung des Niederschlages zurückzuführen ist, betrachten, so fällt uns der große Unterschied dieser Werte auf, und es könnte scheinen, daß keine Gesetzmäßigkeit darin zu erkennen ist. In der Tat finden wir sogar Werte mit entgegengesetzten Vorzeichen bei Niederschlagbildungen, die keine großen Unterschiede in der Eiweißfällung darbieten. Man ist deshalb zur Annahme gezwungen, daß diese Fällungswärmetönung als Funktion zweier Variablen aufzufassen ist: sie kann also nicht allein von der Eiweißfällung abhängen, sondern noch von einem anderen Faktor. Diesen letzteren habe ich in der Silberfällung erblickt. Ich habe die Annahme gemacht, daß bei der Silbereiweißfällung nicht nur die Lösungswärme (mit entgegengesetzten Vorzeichen) in Betracht kommt, sondern noch eine Wärmetönung für die Vermischung des Silbersalzes mit dem Eiweiße und eine für die Fällung des Eiweißes. Die beiden letzteren würden zusammen den Wert ergeben, den ich als Wärmetönungsrest bezeichnet habe.

Wenn diese Voraussetzungen stimmen, so müßte man folgende Gleichung aufstellen können:

$$\text{Cal.} = x(\text{Ag}) + y(\text{Ei.}).$$

Cal. bedeutet die Wärmetönung (nach erfolgter Korrektur), x die Wärmetönung für die Mischung von 1 g Silbernitrat mit Eiweiß, Ag das gefällte Silbernitrat in Gramm ausgedrückt, y die Wärmetönung bei der Fällung eines Grammes Eiweiß, und Ei. das Gewicht des gefällten Eiweißes.

Wenn ich in der Gleichung die Werte vom III. und IV. Versuche einsetzte, so erhalte ich die folgenden zwei Gleichungen:

$$\begin{aligned} 11,793 &= 1,214 x + 7,6646 y \\ \text{und } 16,670 &= 0,8904 x + 7,5406 y \\ \text{daraus folgt } x &= -16,6727 \\ y &= +4,1794. \end{aligned}$$

Wenn wir uns durch diese Gleichung mit den so gefundenen Werten von x und y den Wert von Cal. in den anderen Versuchen berechnen, da finden wir

	Cal. gefunden	Cal. berechnet
I.	— 9,40	— 8,608
II.	+ 2,993	+ 2,727.

Die so gefundenen und berechneten Werte stimmen also miteinander in den Grenzen der Genauigkeit des Kalorimeters (s. oben) überein.

Ich glaube also, daß damit bewiesen sei, daß die Wärmetönung, die durch die Fällung von Eiweiß durch Silbernitrat hervorgerufen — einerseits von einer positiven Fällungswärme des Eiweißes, andererseits von einer negativen Wärme, die dem Silbernitrat zuzuschreiben ist — zusammengesetzt wird.

Die Fällungswärme des Eiweißes ist $+4,1794$ pro Gramm die dem Silbernitrat zuzuschreibende Wärmetönung — $16,6727$ pro Gramm oder — 3000 Cal. pro Mol (AgNO_3). Es ist hier zu beobachten, daß die Lösungswärme für ein Mol Silbernitrat ($\text{Ag}_2\text{N}_2\text{O}_6$) Thomsen¹⁾ in 400 Mol Wasser — 10880 Cal. beträgt. Die Wärmetönung, die uns jetzt beschäftigt, ist gleichsinnig mit der Lösungswärme des Salzes und ist deshalb der Fällungswärme entgegengesetzt.

Ich glaube deshalb, daß diese Wärmetönung einem der Lösung analogen Vorgang zuzuschreiben ist, und da wir aus den Arbeiten von Galeotti wissen, daß die sogenannten Eiweißmetallverbindungen keine Verbindungen mit konstanten Verhältnissen sind, so bin ich geneigt, diese Wärmetönung als eine Adsorptionswärme des Silbernitrates durch das Eiweiß zu bezeichnen. Diese Adsorptionswärme ist mit der Lösungswärme gleichsinnig. Ob dies eine Regel für alle Metalleiweiß-

¹⁾ Thomsen J., Syst. Durchführ. thermochemischer Untersuchungen, Stuttgart, 1906, S. 17.

fällungen ist, wird sich nur aus weiteren Untersuchungen, die ich schon in Angriff habe, mit Metallsalzlösungen mit positiver Lösungswärme ergeben.

In all diesen Betrachtungen und Rechnungen bin ich von den Voraussetzungen ausgegangen, daß die Adsorptionswärme der Quantität des gefällten Salzes proportionell sei, was für die anderen Wärmetönungen ja zutrifft. Ob aber auch die Adsorptionswärme von der Eiweißmenge abhängt, ist durch weitere Versuche zu ermitteln. Bei meinen Versuchen kann man das nicht untersuchen, da die gefällten Eiweißmengen nicht große Unterschiede bieten. Wenn sich aber die Adsorptionswärme der Lösungswärme ähnlich benimmt, so müßte die Eiweißmenge nicht ohne Einfluß bleiben.

Wenn ich die vorläufigen Ergebnisse dieser Untersuchungen zusammenfassen darf, so möchte ich folgende Punkte hervorheben:

1. Bei der Aussalzung von Eiweiß durch Ammoniumsulfat, also bei einem durch einfache Verdünnung umkehrbaren Prozeß, bei der nur Eiweiß aber kein Salz gefällt wird, habe ich keine Wärmetönung beobachten können.

2. Bei der Fällung von Eiweiß mit Silbernitrat, bei welcher sich im Niederschlag sowohl Eiweiß als Silber vorfinden, ist eine Wärmetönung nachweisbar.

3. Diese Wärmetönung kann sowohl positiv als negativ sein. Wenn bei der Fällung viel Silber niedergeschlagen ist, so erhält man negative Werte.

4. Zu dieser Wärmetönung tragen eine positive und eine negative Tönung bei. Erstere ist der Eiweißfällung, letztere der Adsorption des Silbers durch das Eiweiß zuzuschreiben.

5. Die Fällungswärme des Eiweißes bei Silbernitratfällung beträgt 4,1794 Cal. pro Gramm Eiweiß.

6. Die Adsorptionswärme des Silbers beträgt — 16,6727 Cal. pro Gramm Silbernitrat und — 3000 Cal. pro Mol. Die Adsorptionswärme hat in diesem Falle dasselbe Vorzeichen wie die Lösungswärme.

Es soll noch darauf hingewiesen werden, daß, wenn man diese Versuche mit denen von Wiedemann und Lüdeking vergleicht, die Tatsache auffällt, daß diejenigen Prozesse, die zu einer Denaturierung des Eiweißes, d. i. zu einer bei ein-

facher Verdünnung mit Wasser nicht umkehrbaren Fällung führen, eine positive Wärmetönung hervorrufen, während die einfache Aussalzung von keiner Wärmetönung begleitet wird.

Ich hüte mich wohl, aus diesen Ergebnissen irgendeinen theoretischen Schluß zu ziehen oder gar dieselben zu verallgemeinern. Ich glaube aber, daß dieselben zu weiteren Untersuchungen anregen, Untersuchungen, die ich zum Teil schon unternommen habe und an denen ich mich in Zukunft zu beteiligen gedenke.

Zur Frage der biochemischen Eigenschaften des *Bacillus osteomyelitidis*.

Von

Olga Grigoriew-Manoilow.

(Aus dem chemischen Laboratorium des kaiserlichen Institutes für experimentelle Medizin zu St. Petersburg.)

(Eingegangen am 18. Mai 1908.)

M. Nencki¹⁾ war der erste, der sich im Jahre 1876 mit der Frage der Eiweißspaltung durch Bakterien befaßt hat; bereits damals hat er festgestellt, daß die Spaltungsprodukte der Albumine sich von denjenigen der Glutine nicht nur quantitativ, sondern auch qualitativ unterscheiden. Unter den Spaltungsprodukten des Glutins wurden die Aminosäuren Leucin und Glykokoll aufgefunden, während die Anwesenheit des Tyrosins, Indols und Phenols nie festgestellt werden konnte.

Diese Ergebnisse wurden späterhin von Schützenberger²⁾ und von Brieger bestätigt. Im Jahre 1876 setzte Jeannert³⁾ in Nenckis Laboratorium in Bern die genannten Untersuchungen sowohl bei aeroben, als auch bei anaeroben Verhältnissen fort.

Im folgenden Jahre hat Nencki⁴⁾ in seinem klassischen Werke „Chemischer Mechanismus der Fäulnis“ dargetan, daß das Wesen der Eiweißspaltung durch Fäulnisbakterien mit der Einwirkung der Alkalien im wesentlichen übereinstimmt, indem in beiden Fällen ein hydrolytischer Prozeß im Spiele ist.

¹⁾ Über die Zersetzung der Gelatine und des Eiweißes bei der Fäulnis mit *Pancreas*. Bern 1876.

²⁾ Les fermentations. Paris 1876.

³⁾ Journ. f. prakt. Chem. 15.

⁴⁾ Journ. f. prakt. Chem. 15.

Andererseits ist aus Drechsels Arbeiten über die Eiweißspaltung im Tierorganismus und aus den Untersuchungen E. Schulzes und J. Stoklasas über die Eiweißspaltung in Pflanzen ersichtlich, daß beide Prozesse und ebenso die bei denselben entstehenden Spaltungsprodukte miteinander identisch sind.

Die Frage der Zersetzung des Knochenmehls durch Bakterien wurde zuerst von J. Stoklasa¹⁾ im Jahre 1900 in Angriff genommen.

In dieser interessanten und sowohl in biologischer, als in agrikulturchemischer Hinsicht bedeutungsvolle Arbeit wurde der Einfluß des Wachstums verschiedenartiger Bakterien (*Bac. megatherium*, *mycoides*, *mesentericus*, *butyricus*, *vulgaris*, *Proteus vulgaris*, *Bac. fluorescens* und *pseudo-fluorescens*) auf die Korrelationen verschiedener Typen der Stickstoffverbindungen, und zwar der Amide, der Diamine und der Monoamine studiert. Auch wurde der Übergang der unlöslichen Phosphate des Knochenmehls in lösliche Verbindungen untersucht. Es ergab sich, daß einige Bakterien, namentlich *Bac. megathericum*, *Bac. mycoides* und *Bac. mesentericus vulgaris*, sich dadurch auszeichnen, daß sie unlösliche Phosphorverbindungen mit großer Energie in lösliche überführen.

Es hat sich außerdem herausgestellt, daß phosphor- und fluorsaurer Calcium im Knochenmehl in einer organischen Verbindung vorhanden sind; erst nachdem die genannte Verbindung zerstört worden war, gelang die Identifizierung des phosphorsauren Kalks durch chemische Reagenzien als Bicalciumphosphat, Monocalciumphosphat, oder schließlich als freie Phosphorsäure. Die genannten Untersuchungen haben ebenfalls festgestellt, daß die verschiedenen obenerwähnten Bakterienarten einen einheitlichen hydrolytischen Prozeß hervorrufen; nur in betreff der Energie der Einwirkung verschiedener Bakterienarten sind Unterschiede zu verzeichnen, und zwar sowohl hinsichtlich der Umwandlung des Gelatinestickstoffs in Amidstickstoff, als hinsichtlich der Überführung des unlöslichen Phosphors in lösliche Phosphorverbindungen.

¹⁾ Centralbl. f. Bakt. 6, 2. Abt., 1900.

Bis vor kurzem wurde der unter dem Namen „Osteomyelitis“ bekannte pathologische Prozeß der Wirkung des Staphylokokkus zugeschrieben, d. h. man nahm den Staphylokokkus als ausschließlichen Erreger dieser Erkrankung an. Einige Autoren sind auch jetzt noch der Meinung, daß die Osteomyelitis einzig und allein durch Staphylokokken und nicht durch irgend eine andere Bakterienart hervorgerufen wird.

Im Jahre 1902—1903 gelang es A. Henke¹⁾ im chemischen Laboratorium des kaiserlichen Institutes für experimentelle Medizin, aus Knochensequestern von vier an Osteomyelitis erkrankten Patienten (in der Klinik des Prof. A. Kadians in St. Petersburg) einen neuen *Bacillus* zu isolieren. Henke stellte eine Reihe von Untersuchungen an, bei welchen er diesen *Bacillus* sowohl von physiologischer als auch von morphologischer Seite studierte. Die Ergebnisse dieser Untersuchungen sind in seiner Dissertation veröffentlicht.

Durch Tierexperimente stellte er fest, daß der von ihm isolierte *Bacillus* sowohl eine Erkrankung des Knochenmarks als auch Defekte an den Röhrenknochen zu bewirken im stande ist, und zwar an den für osteomyelitische Prozesse charakteristischen Stellen, nämlich gerade an der Diaphysen- und Epiphysen-Grenze.

Ohne näher auf die spezielle Frage einzugehen, in welcher Weise die bei Osteomyelitis isolierten Mikroben an dem pathologischen Prozesse selbst beteiligt sind, habe ich auf Veranlassung von Frau Dr. N. Sieber-Schumoff mich mit dem Studium dieses *Bacillus* (Henke) befaßt, denn, abgesehen vom klinischen Interesse, bietet der genannte *Bacillus* auch vom chemischen Standpunkte ein zweifelloses Interesse dar.

Der Hauptzweck der vorliegenden Untersuchungen bestand darin, das Verhalten dieses *Bacillus* gegenüber den organischen ebenso wie den anorganischen Bestandteilen des Knochenmehls zu erforschen, um auf Grund der erhaltenen Resultate die biochemischen Eigenschaften einerseits und seine Rolle beim osteomyelitischen Prozeß andererseits festzustellen.

Zu diesem Zweck züchtete ich den genannten *Bacillus* auf verschiedenen künstlichen Nährboden, vorzugsweise auf solchen, welche

¹⁾ Dr. A. Henke, „Bactericide Eigenschaften des Knochenmarks“ 1903, Dissertation (russ.).

Knochenbestandteile enthielten, resp. Knochenmehl oder Knochenauskochung zugesetzt wurden. Die Kultivierung des *Bacillus* fand sowohl unter aeroben, als unter anaeroben Verhältnissen statt. Außerdem wurden noch Substrate von ausschließlich anorganischer Natur benutzt. In letztem Falle bediente ich mich einer Stammlösung von folgender Zusammensetzung:

Lösung A.

1000,0	Aqua destillata
1,0	K ₂ SO ₄
0,5	MgCl ₂
0,10	Fe ₃ (SO ₄) ₂

Diese Lösung „A“ wurde in der Menge von je 100 ccm auf 1 l Nährflüssigkeit verwendet. In einigen Fällen wurde außerdem noch Knochenmehl hinzugesetzt. Der Knochenextrakt wurde in folgender Weise zubereitet: Die vom Knochenmark befreiten und gut durchgewaschenen Knochen wurden mit einem bestimmten Quantum Wasser übergossen und im Laufe einer Stunde dem Kochen im Autoklaven unterworfen. Die auf diese Weise erhaltene Knochenauskochung wurde je nach Bedarf zu 500 bis 1000 ccm in sterile Kolben verteilt und einerseits als solche oder nach Zusatz dieser oder jener Substanz nochmals sterilisiert und darauf nach erfolgter Abkühlung mit Osteomyelitis-Bakterien geimpft. Der erwähnte Extrakt hatte das Aussehen einer dicken, kolloidalen, gelblich-trüben undurchsichtigen Flüssigkeit.

Analyse des von mir verwandten Knochenmehls gab folgende Resultate:

Wasser	3,09—3,53%
Anorganischer Bestandteil	80,879%
Organischer „	19,12%
P ₂ O ₅	29,80—29,54%
N	3,168—3,178%
Ca	30,87—31,5%
Mg	2,5—2,9%

Zur Lösung der Frage, welche Nährsubstrate für das genannte Bakterium am geeignetsten sind, wurde zunächst folgende Zusammensetzung des Nährbodens gewählt:

I. Gruppe.

Kolben Nr. 2 diente zur Kontrolle.

29./III. 1906.

Kolben Nr. 1.	Kolben Nr. 2.	Kolben Nr. 3.
1000,0 ccm Aqua destillata	Idem.	1000,0 ccm Aqua destillata
10,0 Knochenmehl		10,0 Knochenmehl
100,0 ccm „Lösung A“		
Geimpft	Kontrolle	Geimpft

Nach zweimonatlichem Verweilen im Brutschrank hatten diese Kolben folgendes Aussehen: das Knochenmehl fand sich als ein dicker Niederschlag am Boden des Gefäßes vor, während auf der Flüssigkeitsoberfläche eine ganz feine homogene geringe Haut zu konstatieren war.

Dieses Nährsubstrat erwies sich somit als wenig geeignet für die Entwicklung von *Osteomyelitis-Bacillus*. Die Analyse des Knochenmehls zeigte, daß weder ein Verlust der Mineralsalze, noch ein Auflösen des phosphorsauren Calciums stattfand.

II. Gruppe.

Am 29./III. 1906 wurden weitere 3 Kolben von folgender Zusammensetzung geimpft:

29./III. 1906.		
Kolben Nr. 4.	Kolben Nr. 5.	Kolben Nr. 6. ¹⁾
1000,0 Aqua destillata	1000,0 ccm Aqua dest.	1000,0 Bouillon
10,0 Zucker	10,0 Pepton	
1,0 KNO ₃	0,5 NaCl	
100,0 Lösung A	10,0 Zucker	
Geimpft	Geimpft	Geimpft

Am 29./V. 1906: In dem Kolben Nr. 4 und 5 hat sich kaum etwas entwickelt.

Kolben Nr. 6 zeigt üppiges Wachstum in Form einer dicken Haut, die sich zuerst an der Oberfläche befand, dann aber zu Boden sank.

III. Gruppe.

Am 29./III. 1906 wurden gleichzeitig noch 8 Kolben mit folgendem Inhalt zur Impfung benutzt:

Kolben Nr. 7.	Kolben Nr. 8.	Kolben Nr. 9.	Kolben Nr. 10.
500,0 Aqua dest.	Idem	500,0 ccm Aq. dest.	500,0 Aqua dest.
5,0 Zucker		5,0 Zucker	5,0 Zucker
2,5 Asparagin		2,5 (NH ₄) ₂ SO ₄	2,5 Asparagin
100,0 Lösung A		100,0 ccm Lös. A	2,5 Na ₂ HPO ₄
Geimpft	Kontrolle	Geimpft	100,0 Lösung A Geimpft
Kolben Nr. 11.	Kolben Nr. 12.	Kolben Nr. 13.	Kolben Nr. 14.
500,0 Aqua dest.	500,0 Aqua dest.	1000,0 Aqua dest.	1000,0 Aquadest.
5,0 Zucker	5,0 Zucker	10,0 Pepton	10,0 Pepton
2,5 Asparagin	2,5 Na ₂ HPO ₄	0,5 NaCl	0,5 NaCl
2,5 Na ₂ HPO ₄	3,5 (NH ₄) ₂ SO ₄	—	5,0 Na ₂ HPO ₄
100,0 Lösung A	100,0 Lösung A	—	—
Kontrolle	Geimpft	Geimpft	Geimpft

¹⁾ Nr. 6 wurde zur Kontrolle der Lebensfähigkeit der zur Impfung benutzten Kultur aufgestellt.

Am 10./VI. 1906 war der Befund folgender:

Kolben 7, 8, 9, 11 kein Wachstum.

Kolben Nr. 10 am Boden ein kleines Häutchen, dessen Entwicklung späterhin zum Stillstand gekommen ist.

Kolben Nr. 12 ein kleines, kaum merkliches Häutchen; noch unbedeutender als im letztgenannten Kolben.

Kolben Nr. 13 eine Haut; Nr. 14 außerordentlich reichliche Hautbildung.

Um die Frage zu lösen, ob etwa phosphorsaures Natrium das Wachstum des Bacillus befördert, wurde am 10./VI. 1906 dem Kolben Nr. 7.

500,0 Aqua destillata

2,5 Asparagin

5,0 Zucker

100,0 Lösung A

5 g Knochenmehl zugefügt; das Resultat war aber ein wenig befriedigendes.

Nachdem die beschriebenen Versuchsreihen zu einem negativen Ergebnis geführt hatten, wurde eine vierte Gruppe von Nährboden am Knochengewebe mit Bacterium osteomyelitis geimpft.

IV. Gruppe.

10./VI. 1906.

Kolben Nr. 15.	Kolben Nr. 16.	Kolben Nr. 17.
500,0 ccm Knochenauskochenung Kontrolle Aerob	500,0 ccm Knochenauskochenung Geimpft Aerob	500,0 ccm Knochenauskochenung Geimpft Anaerob

Am 4./IX. zeigten diese Kulturen folgendes Aussehen:

Kolben Nr. 15.	Kolben Nr. 16.	Kolben Nr. 17.
Kolloidal gelblich braun Undurchsichtig	Feines bläul. Häutchen Kolloidal Undurchsichtig	Gleiches Aussehen wie in 16. Die Färbung etwas dunkler

V. Gruppe.

Impfung auf Nährboden von folgender Zusammensetzung:

10./VI. 1906.

Kolben Nr. 18.	Kolben Nr. 19.	Kolben Nr. 20.
500,0 ccm Knochenauskochenung 5,0 Knochenmehl Aerob Kontrolle	500,0 ccm Knochenauskochenung 5,0 Knochenmehl Aerob Geimpft	500,0 ccm Knochenauskochenung 5,0 Knochenmehl Anaerob Geimpft

Am 4./VIII. 1906 war das Aussehen der Kulturen folgendes:
 Kolben Nr. 18. Kolben Nr. 19. Kolben Nr. 20.

Das beinahe vollkommen ungelöste Knochenmehl hat sich am Boden abgesetzt. Oberhalb trübe, kolloidale Flüssigkeit. Undurchsichtig mit suspendierten Körnchen des Knochenmehls.	Das gleiche Aussehen wie in Nr. 18, nur oberhalb ein kleines Häutchen, welches sich von demjenigen des Kolbens Nr. 16 (Knochenextrakt ohne Zusatz von Knochenmehl) nur wenig unterscheidet.	Beinahe das gleiche Aussehen wie in Nr. 19.
---	---	---

Die vorläufigen chemischen Untersuchungen (Vorversuche):
 Am 4./IX. 1906 wurde der anaerobe Kolben und am 8./XII. 1906 der aerobe Kolben geöffnet. Der Knochenmehlniederschlag wurde unter Absaugen abfiltriert.

Reaktion des Filtrates alkalisch.

Vergleichung der beiden Kolben:

Anaërob	Aërob
Gesamtstickstoff im Filtrat:	
0,3436 %	0,3347 %
Stickstoff der Diamine:	
0,2779 %	0,24729 %
Ammoniakstickstoff:	
—	0,0441 %
Organische Bestandteile:	
90,56 %	92,11 %
Anorganische Bestandteile:	
9,4 %	7,89 %
Untersuchung des abfiltrierten Niederschlags:	
P ₂ O ₅ 31,28 %	32,52 %
Ca 30,24 %	32,56 %
Organische Bestandteile:	
—	85,41 %
Anorganische Bestandteile:	
—	14,56 %

In Erwägung dessen, daß in der IV. Gruppe (Knochenextraktnährboden) ein außerordentlich unbedeutendes Bakterienwachstum zu verzeichnen war, wurde am 20./XI. 1906 je 5,0 g Knochenmehl und 5,0 g Zucker zu obigem Nährboden zugesetzt; nach nochmaliger Sterilisation wurden die Kolben wiederum geimpft:

Kolben Nr. 15.	Kolben Nr. 16.	Kolben Nr. 17,
500,0 Knochenauskochen	500,0 Knochenauskochen	500,0 Knochenauskochen
5,0 Knochenmehl	5,0 Knochenmehl	5,0 Knochenmehl
5,0 Sacch. uvicum.	5,0 Sacch. uvicum.	5,0 Sacch. uvicum.
Kontrolle	Aërob. Geimpft	Anaërob. Geimpft

Am 3. Tage ersehen wir folgendes:

Kolben Nr. 15.	Kolben Nr. 16.	Kolben Nr. 17.
Knochenmehlniederschlag am Boden. Im übrigen analoge Verhältnisse wie ohne Knochenmehl und Zucker.	Knochenmehlniederschlag. Oberhalb desselben eine zweite unbedeutende Niederschlagschicht. Sonst dasselbe Aussehen.	Über dem Knochenmehl reichlicher Niederschlag. Gleiches Aussehen wie in Nr. 23.

Nr. 16./17.

Am 2./I. 1907 wurde der aerobe Kolben geöffnet und untersucht, Färbung dunkelrot, Reaktion stark alkalisch. Der Knochenmehlniederschlag wurde unter Absaugen abfiltriert. Im Filtrate wurde 0,560 g Zucker gefunden. Der Zucker wurde nach Allihn bestimmt, wodurch bedeutend genauere Resultate (als nach Fehlingbestimmung) erzielt worden waren. Der anärobe Kolben geöffnet 16./I. 1907, Die Färbung noch dunkler. Lösung vollständig durchsichtig. Oberhalb des Knochenmehls hat sich ein Niederschlag gebildet. Reaktion sauer.

Vergleichung der beiden Kolben:
vorläufige Untersuchungen

Aërob	Anaërob
Gesamtstickstoff im Filtrat:	
0,366 %	0,3300 %
Stickstoff der Diamine:	
0,307 %	0,267 %
Ammoniakstickstoff:	
—	0,02487 %
Im Niederschlag (Typus B)	
Stickstoff:	
1,71 %	—
P ₂ O ₅	
31,64 %	29,55 %
Calcium:	
31,83 %	28,85 %

VI. Gruppe:

Am 10./VI. 1906 wurden folgende Nährboden geimpft:

Kolben Nr. 21.	Kolben Nr. 22.	Kolben Nr. 23.
500,0 Knochenauskochenung	500,0 Knochenauskochenung	500,0 Knochenauskochenung
5,0 Saccharum uvicum	5,0 Saccharum uvicum	5,0 Saccharum uvicum
Aërob	Aërob	Anaërob
Kontrolle	Geimpft	Geimpft

Am 4./VIII. 1906 hatten wir folgendes Bild:

Kolben Nr. 21.	Kolben Nr. 22.	Kolben Nr. 23.
Das Substrat sieht ganz analog aus wie dasjenige mit Knochenextraktall-ein.	Im Aufhellen begriffene Flüssigkeit; kaum sichtbarer, unbedeutender Niederschlag am Boden. Oben eine Haut.	Reichlicher Bodensatz. Oberhalb desselben ganz aufgehellte Lösung und an der Oberfläche eine feine Haut.

Nr. 22.

Das äußere Aussehen des Kolbeninhaltes war von demjenigen der anaëroben Kultur durchaus verschieden. Lösung kolloidal wie vor der Impfung, am Boden des Kolbens eine unbedeutende Haut; der in der anaëroben Kultur so reichliche Niederschlag ist ebenfalls vorhanden. (Nr. 22) Überimpfung auf Bouillon ergab positives Resultat. Reaktion der Flüssigkeit alkalisch. 5 ccm des Filtrates brauchten zur Neutralisation 0,8 ccm $\frac{N}{10}$ -H₂SO₄ Indikator-Phenolphthalein Reaktionen auf Eiweiß positiv. Die Flüssigkeit wurde durch Bakterien zurückhaltende Papierfilter (Schleicher und Schüle) filtriert. Aus 10 ccm des Filtrats 0,2266 g Trockenrückstand erhalten mit 92,80 % der organischen und 7,23 % der anorganischen Substanz.

Es wurde außerdem im Filtrate gefunden:

Gesamtstickstoff	= 0,35578 %
Stickstoff der Diamine	= 0,3024 %
Ammoniakstickstoff	= 0,064406 %
Phosphor	= 0,0002317 %
Unverbrauchter Zucker	= 2,37 %

Nr. 23.

Dieser Kolben wurde am 10./VI. 1906 mit (*Osteomyelitis-Bacillus*) geimpft und bis zum 4./IX. 1906 unter anaëroben Verhältnissen in einem Brutschrank stehen gelassen. Die am Tage der Untersuchung aus dem Kolben gemachten Überimpfungen ergaben das charakteristische Wachstum des *Osteomyelitis-Bacillus*, und die Kultur erwies sich als vollkommen rein. Reaktion sauer. Der Niederschlag wurde abfiltriert, ausgewaschen und getrocknet. Die Flüssigkeit wurde kalt filtriert, daher her die Filtration äußerst verlangsamt, ein großer Teil des Niederschlages ging dabei verloren. (Das erhaltene Gewicht des gebliebenen Niederschlages = 0,1824 g.) Er war unlöslich in Säuren, leicht löslich in Alkalien; beim Glühen verbrannter fast vollkommen mit Hinterlassung geringer Spuren von Asche.

Im Niederschlag gefunden:

Stickstoff	= 1,766 %
Schwefel	= 8,22 %
Phosphor	= 0,0318 %

Im Filtrate gefunden:

Organische Substanz	= 93,89 %
Anorganische	= 6,10 %
Gesamtstickstoff	= 0,31365 %
Stickstoff der Diamine	= 0,29082 %
Unverbrauchter Zucker	= 2,27 %

Der Gehalt an Zucker wurde mittelst Titration nach Fehling bestimmt. Zur Bestimmung der flüchtigen Bestandteile wurden 100 ccm des Filtrats auf dem Sandbade destilliert. Das erhaltene Destillat zeigte saure Reaktion und gab die Jodoformprobe. Acetonprobe fiel negativ, Alkoholprobe deutlich positiv aus.

Um Gegenwart der Milchsäure festzustellen, wurde das Filtrat zum Sirup eingeeengt und die etwaigen vorhandenen Milchsäuren mit Äther extrahiert, der Ätherrückstand mit Zinkoxyd gekocht; in dem erhaltenen Filtrat nach Ablauf von 24 Stunden bildeten sich die nadelförmigen Krystalle der Zinklactats; die Menge war aber zu gering, um quantitative Analyse des Zinksalzes, resp. Zink- und Krystallwasserbestimmung machen zu können.

VII. Gruppe.

Am 6./11. 1907 wurden weitere 6 Kolben geimpft; die Nährboden bestanden aus frischbereiteter wässriger Knochenauskochung, die das Aussehen einer milchigen gelblich-kolloidalen Flüssigkeit hatte:

Kolben Nr. 24.	Kolben Nr. 25.	Kolben Nr. 26.
400,0 ccm Knochenauskochung 4,0 Saccharum uvicum Aerob Kontrolle	400,0 ccm Knochenauskochung 4,0 Saccharum uvicum Aerob Geimpft	400,0 ccm Knochenauskochung 4,0 Saccharum uvicum Anaerob Geimpft.

Nach 3 Tagen bekamen diese Kulturen folgendes Aussehen.

Kolben Nr. 24.	Kolben Nr. 25.	Kolben Nr. 26.
Kein Niederschlag, Flüssigkeit von kolloidalem milchig-weißem Aussehen.	An der Oberfläche eine Haut. Am Boden ein geringer Niederschlag. Die Flüssigkeit beginnt sich in den oberen Schichten aufzuhellen, bleibt aber noch kolloidal.	Reichlicher Niederschlag; Flüssigkeit vollkommen durchsichtig. An der Oberfläche eine Haut.

VIII. Gruppe.

Am 6./11. 1907 wurden weitere 3 Kolben mit derselben Auskochung geimpft.

Kolben Nr. 27.	Kolben Nr. 28.	Kolben Nr. 29.
300,0 ccm Auskochung, 3,0 Saccharum uvicum 3,0 Knochenmehl Aerob Kontrolle	300,0 ccm Auskochung 3,0 Saccharum uvicum 3,0 Knochenmehl Aerob Geimpft	300,0 ccm Auskochung 3,0 Saccharum uvicum 3,0 Knochenmehl Anaerob Geimpft

Gleiches Aussehen wie vorher, mit dem Unterschied, daß das Knochenmehl sich am Boden abgesetzt hat.

Der allgemeine Gang der Untersuchung.

Zu den oben beschriebenen Versuchen diente frische 24 Stunden alte Bouillonkultur des Osteomyelitis-Bacteriums, deren Reinheit durch mikroskopische Untersuchung sichergestellt wurde. Die von Henke gemachten Angaben über die morphologischen und kulturellen Eigenschaften von diesem *Bacillus* waren folgende: „Üppiges Wachstum mit Hautbildung auf Bouillon, wobei die Bouillon gleichmäßig getrübt wird. Auf Gelatineplatten kommt es zur Bildung von trockenen glänzenden weißen Kolonien. Die Osteomyelitis-Mikrobe hat die Form eines kleinen Stäbchens mit abgerundeten Enden. Die Länge übertrifft die Dicke fast um das Doppelte (ca. $1,5 \mu$ lang und $0,8 \mu$ dick); was die Färbung anlangt, so färbt sich die Mikrobe mit Gentianoviolett und Fuchsin in toto, mit Methylenblau bipolar.“ Auf die eben angeführten Eigenschaften wurden die Kulturen sowohl bei der Impfung wie auch nach dem Schluß je eines Versuches geprüft. Die Impfungen des Nährbodens wurden vermittels einer sterilen Pipette ausgeführt. Die geimpften Kolben wurden in den Brutschrank bei 37°C gestellt. Zur Herstellung der anaeroben Kulturen bediente man sich einer Vorrichtung, welche Gasdurchleitung ermöglichte, zu diesem Zwecke die Kulturkolben mit doppelt durchbohrten Kautschukpfropfen verschlossen wurden. Durch die eine Bohrung führte man ein rechtwinklig gebogenes Glasrohr ein, das bis zum Boden des Kolbens reichte; durch die zweite Bohrung ein ebenfalls rechtwinklig gebogenes Röhrchen, welches mit Quecksilber-Verschuß versetzt worden war.

Nach stattgefundener Impfung wurde durch den Kolben ein Wasserstoffstrom geleitet, worauf das zuleitende Rohr zugeschmolzen war. Alsdann wurden die Kolben in den Brutschrank gestellt und nach einem bestimmten Zeitintervalle der Untersuchung unterworfen. Vorerst wurde aus dem Kolbeninhalt eine Impfung auf Bouillon gemacht, um festzustellen, ob die Mikrobe im lebensfähigen Zustand und nicht verunreinigt war. Sodann wurde die gesamte Flüssigkeitsmenge gemessen und die Reaktion des Nährsubstrates mit Lackmus, bzw. durch Titration mit $\frac{n}{20}$ -NaOH oder $\frac{n}{10}$ - H_2SO_4 geprüft. Der Kolbeninhalt wurde

filtriert, um die Bakterien fern zu halten. Die Filtration wurde entweder durch Chamberlandsche Kerzen oder durch ein Bakterien zurückhaltendes Papierfilter, gewöhnlich mit Hilfe der Saugpumpe, ausgeführt. Um einer Zersetzung vorzubeugen, wurde die Flüssigkeit mit Thymol, Toluol oder Chloroform versetzt.

In den Versuchsreihen VII und VIII wurden die Kulturen nach Verweilen von bestimmter Zeit im Brutschrank in toto im Autoklaven sterilisiert und gleich darauf durch ein Faltenfilter filtriert; der abfiltrierte Niederschlag wurde auf ein kleines Papierfilter gebracht, so daß es leicht war, denselben in gewogenen Uhrgläsern abzuspülen und bis zum konstanten Gewicht zu trocknen. Die gesamte Flüssigkeitsmenge wurde ebenfalls mit einem der genannten Antiseptica versetzt und an einem kalten Ort aufbewahrt. Die auf die eine oder die andere Weise filtrierte Flüssigkeit, welche ich mit dem Namen „Filtrat A“ bezeichne, wurde zu folgenden Bestimmungen verwendet. Der Niederschlag wurde getrocknet und für sich untersucht.

„Das Filtrat A.“

1. Wie oben erwähnt, wurde in erster Linie das Nährsubstrat auf seine Reaktion geprüft: 5—10 ccm des Filtrates wurden mit einer bestimmten Menge Wasser verdünnt und nach Zusatz von Phenolphthalein oder Lacmoid als Indikator mit n_{20} -NaOH oder n_{10} -H₂SO₄ titriert.

2. Dann wurde die Gesamtmenge der Flüssigkeit gemessen.

3. Die Bestimmung des Gesamtstickstoffes wurde nach Kjeldahl ausgeführt, wobei 5—10 ccm des „Filtrates A“ mit H₂SO₄ (konzentr.) unter Zusatz von K₂SO₄ verbrannt wurden. Danach wurde NH₃ in n_{10} -H₂SO₄ überdestilliert und der Säureüberschuß mit n_{20} -NaOH zurücktitriert, wobei Lacmoid als Indikator diente.

Der erhaltene Stickstoff wurde in der VII. Versuchsreihe in Prozent, dagegen in Serie VIII auf die gesamte Flüssigkeitsmenge berechnet. Zur Erläuterung der Frage, ob beim Wachstum des Bacillus osteomyelitis eine Änderung in Stickstoffverteilung resp. Umwandlung der Stickstoffverbindungen stattfindet, wurde außer dem Gesamtstickstoff auch Ammoniakstickstoff, Stickstoff der Diamine und aus Differenz auch derjenige der Monoamine bestimmt.

4. Die Ammoniakbestimmung wurde nach der Methode von Nencki ausgeführt. Die Rücktitration des n_{10} -H₂SO₄-Überschusses wurde mit n_{20} -KOH vorgenommen. Aus der Ammoniakmenge habe ich den Stickstoff berechnet.

5. Die Diamine wurden mittels 30% Phosphorwolframsäure beim 5%igen H₂SO₄-Gehalt ausgeführt. Nach 12—18stündigem Stehen im Dunkeln wurde der Niederschlag abfiltriert, mit 5% H₂SO₄ ausgewaschen und samt dem Filter nach Kjeldahl verbrannt, um den Stickstoff der Diamine zu erfahren.

6. Darauf wurden von der erhaltenen Menge des Gesamtstickstoffes diejenigen des Ammoniakstickstoffes und des Stickstoffes der Diamine,

auf die Gesamtmenge der Flüssigkeit berechnet, abgezogen; die Differenz ergab den Stickstoffgehalt der Monoamine.

7. Zur Bestimmung der Trockensubstanz des Filtrates A wurden 10 ccm davon in einem Porzellantiegel von bekanntem Gewicht auf dem Wasserbade verdampft, der erhaltene Rückstand wurde bis zum konstanten Gewicht getrocknet und gewogen. Die Gewichts Differenz ergab den Trockenrückstand von 10 ccm, welcher alsdann auf die Gesamtmenge der Flüssigkeit umgerechnet wurde.

8. Die organischen Bestandteile des „Filtrates A“ wurden in der Weise bestimmt, daß der eben erwähnte Trockenrückstand vorsichtig in einer kleinen Bunsenflamme verbrannt wurde. Aus dem nach dem Verbrennen stattgefundenen Gewichtsverlust ergab sich die Menge der darin vorhandenen organischen Stoffe.

9. Anorganische Bestandteile wurden durch Wägung des Verbrennungsrückstandes bestimmt, wobei die für 10 ccm erhaltene Zahl auf die gesamte Flüssigkeitsmenge umgerechnet wurde.

10. Zur Bestimmung von P_2O_5 des „Filtrats B“ habe ich mehrere Methoden angewendet. Als die geeignetste erwies sich die Methode von Woy.

In den Versuchsreihen VII und VIII war der P_2O_5 -, resp. P-Gehalt folgenderweise ermittelt: Verhältnismäßig große Mengen des „Filtrats A“, 50–100 ccm wurden in einem Porzellantiegel auf dem Wasserbade fast zur Trockne eingedampft, dem trockenen Rückstande wurde ein Gemisch von $2 KNO_3 : 1 Na_2CO_3$ zugesetzt und das Ganze vorsichtig in einer Bunsenflamme zusammengeschmolzen, wobei ich die anfangs ganz kleine Flamme allmählich verstärkte und zuletzt den Tiegel so lange durchglühte, bis die Schmelze vollkommen durchsichtig geworden war. Bei Anwesenheit von Zucker muß die Verbrennung besonders vorsichtig ausgeführt werden, um keinen Stoffverlust zu erhalten. Die auf diese Weise erhaltene Schmelze wurde in HNO_3 gelöst und eventl. nach vorheriger Filtration in 2 Portionen für Ca- und P-Bestimmungen geteilt.

Die weitere Phosphoranalyse wurde nach Woy ausgeführt. Der gelbe Niederschlag auf dem Gutschschen Filter von bekanntem Gewicht wurde gesammelt, durchgeglüht und gewogen. Das erhaltene, $12 M_0O_3P_2O_5$ entsprechende Gewicht wurde auf 0,03943 für P_2O_5 und 0,01723 für P-Koeffizienten multipliziert, wonach die für 10 ccm „Filtrats A“ erhaltenen Zahlen auf die gesamte Flüssigkeitsmenge umgerechnet wurden.

Ich habe außerdem noch andere Methoden gebraucht, von denen ich aber keine besonders genauen Resultate erhielt und die ich nur beiläufig erwähnen will.

40 ccm „Filtrats A“ wurden mit einer Mischung von H_2SO_4 und HNO_3 verbrannt, nach dem Verbrennen das Gemisch neutralisiert und P_2O_5 nach der Methode von Woy bestimmt.

In einigen Fällen verwendete ich zur P_2O_5 -Bestimmung dasjenige Gemisch, welches nach der Kjeldahlschen Stickstoffbestimmung übrig

blieb, wobei der Alkaliüberschuß mit H_2NO_3 neutralisiert und darauf P_2O_5 nach Woy bestimmt wurde.

11. Die Calciumbestimmung im „Filtrat A“ wurde folgendermaßen ausgeführt: 50 ccm desselben wurden auf dem Wasserbade zur Trockene eingedampft, dem trockenen Rückstand ein Gemisch von $\text{KNO}_3:\text{Na}_2\text{CO}_3$ zugesetzt und das Ganze in einer Bunsenflamme zusammengeschmolzen. Die Schmelze wurde in HNO_3 gelöst, die erhaltene Lösung mit Ammoniak in Überschuß und dann mit Essigsäure versetzt. Gleichzeitig erwärmte man eine 10%ige Lösung von oxalsaurem Ammonium, beide Lösungen wurden alsdann heiß unter beständigem Umrühren zusammengegossen und im Verlauf von 18 Stunden stehen gelassen. Darauf wurde der Niederschlag abfiltriert, mit Essigsäure ausgewaschen, in einem Platentiegel ausgeglüht und als CaO gewogen.

12. Zuckerbestimmung. Im Anfang wurde die Zuckerbestimmung durch Titration mit der Fehlingschen Lösung ausgeführt. Da aber diese Methode keine genaue Bestimmung ermöglichte, so mußte sie durch die Allihnsche Methode ersetzt werden.

Für Zuckerbestimmung wurden 10 ccm des „Filtrats A“ verwendet und der erhaltene Wert sowohl auf 100 ccm, wie auf die Gesamtmenge der Flüssigkeit umgerechnet.

13. Das „Filtrat A“ wurde außerdem noch auf die Anwesenheit von Eiweiß, Alkohol, Aceton, Milchsäure qualitativ untersucht.

Die Analyse des von der Bakterienkultur abfiltrierten Niederschlags.

Der Niederschlag in den Kulturen war zweierlei Art: entweder bestand derselbe ausschließlich aus fast ungelöstem Knochenmehl mit unbedeutender Beimengung von Bacterium „Typus B“, oder er hatte das Aussehen einer weißen amorphen Masse — „Typus A“; in denjenigen Fällen, wo das Knochenmehl fehlte und die Nährsubstrate Zucker enthielten, war in den anaeroben Kulturen besonders reichlicher Niederschlag zu konstatieren.

Beim Trocknen schwärzte sich der Niederschlag und wurde hornartig. Je nach der Art des Niederschlags wurde eine entsprechende Untersuchung vorgenommen, deren Beschreibung nunmehr folgt:

Analyse des Niederschlags vom „Typus A“ (ohne Knochenmehl).

Der in den auf Knochenextrakt und Zucker gezogenen Kulturen entstandene Niederschlag wurde sorgfältig abfiltriert, in der oben beschriebenen Weise ausgewaschen und in Uhrgläsern bis zum konstanten Gewicht getrocknet.

Ein Teil desselben wurde zur Bestimmung der organischen, ein anderer zur Bestimmung der anorganischen Bestandteile benutzt; noch ein Teil des Niederschlags wurde zur Stickstoffbestimmung verwendet.

Außerdem wurde ein Teil mit Natriumcarbonat und Salpeter zusammengeschmolzen, worauf Schwefel als schwefelsaures Barium und Phosphor nach der Woyschen Methode bestimmt wurde.

Schließlich wurde ein Teil des Niederschlages in 1% Natronlauge gelöst. Die erhaltene Lösung wurde zur Identifizierung der Eiweißstoffe des Niederschlages mit Hilfe der entsprechenden Reaktionen benutzt. Sowohl die Zusammensetzung, wie auch die Reaktionen sprachen dafür, daß es sich hier um einen Stoff aus der Gruppe des Chondroitins handelte.

Analyse des Niederschlages „Typus B“.

Der Niederschlag wurde in oben beschriebener Weise abfiltriert und in Uhrgläsern getrocknet. Bestimmt wurden: die Asche, die organischen Bestandteile und der Stickstoff nach Kjeldahl.

Zur Bestimmung der anorganischen Verbindungen, speziell des Phosphors und Calciums, wurde eine gewisse Menge der Substanz meistens mit einem Gemisch von 1 KNO_3 , 2 Na_2CO_3 zusammengeschmolzen oder in einigen Fällen in HNO_3 gelöst. Alsdann wurde die Schmelze mit Säure behandelt und die Phosphorbestimmung nach Woy ausgeführt.

Zur Calciumbestimmung wurde eine Probe in analoger Weise bearbeitet, das Ca als oxalsaurer Kalk gefällt und zu CaO verbrannt.

Dadurch sind die gesamten Analysen erschöpft, die bei der Untersuchung von Kulturen des *Bac. osteomyelitis* unter verschiedenen Verhältnissen ausgeführt worden waren.

Um Wiederholungen zu vermeiden und möglichst kurz die erhaltenen Resultate zu berichten, werden nur die der Versuchsreihen VII und VIII entsprechenden Zahlen angeführt.

Analysentabelle der VII. Versuchsreihe.

Aufgestellt am 6./II. 07.

Vergleich von zwei Kolben A und B — gleicher Zusammensetzung — aber verschiedenen Alters mit dem Kontrollkolben C.

A geeimpft	B geeimpft	C kontroll.
Zusammensetzung:		
400 ccm Knochen- auskochenung.	400 ccm Knochen- auskochenung.	400 ccm Knochen- auskochenung.
4 g Saccharum uvicum.	4 g Saccharum uvicum.	4 g Saccharum uvicum.
Anaërob.	Anaërob.	Anaërob.
Alter:		
45 Tage.	83 Tage.	55 Tage.

Untersuchung des Filtrats „A“.

Die Kulturen wurden, wie eben erwähnt, unmittelbar nach der Sterilisation — heiß filtriert.

Menge des Filtrats „A“:		
370 ccm	380 ccm	375 ccm
Reaktion:		
Sauer	Sauer	Sauer

Zur quantitativen Bestimmung der Acidität wurden 10 ccm des Filtrats + 45 ccm Wasser mit $n\text{-}^{1/20}\text{-KOH}$ zur schwach Rosafärbung titriert, (Indikator-Phenolphthalin) Gebraucht.

1,3 ccm $n\text{-}^{1/20}\text{-KOH}$ | 1,15 ccm $n\text{-}^{1/20}\text{-KOH}$ | 0,5 ccm $n\text{-}^{1/20}\text{-KOH}$

Gesamtacidität:

1,3 ccm $n\text{-}^{1/20}\text{-KOH} \times 37$ | 1,15 ccm $n\text{-}^{1/20}\text{-KOH} \times 38$ | 0,5 ccm $n\text{-}^{1/20}\text{-KOH} \times 37,5$
 $= 48,1 \text{ ccm } n\text{-}^{1/20}\text{-KOH}$ | $= 43,7 \text{ ccm } n\text{-}^{1/20}\text{-KOH}$ | $= 18,75 \text{ ccm } n\text{-}^{1/20}\text{-KOH}$

Zur Bestimmung des Trockenrückstandes im Filtrat A wurden 10 ccm desselben auf dem Wasserbade zur Trockne verdampft, worauf der Rückstand bis zum konstanten Gewicht getrocknet wurde:

Erhalten für 10 ccm:		
0,0786 g	0,0734 g	0,1416 g
Für die Gesamtmenge:		
2,9082 g	2,7892 g	5,31 g

Organische Stoffe im Trockenrückstand des Filtrats A.
Trockenrückstand für 10 ccm.

0,0786 g	0,0734 g	0,1416 g
Gewichtsverlust bei der Verbrennung:		
0,0718 g	0,0653 g	0,1344 g

Folglich wurde für die Gesamtmenge der Flüssigkeit — organische Substanz — gefunden:

$0,0718 \times 37 = 2,6566 \text{ g}$ | $0,0653 \times 38 = 2,4814 \text{ g}$ | $0,1344 \times 37,5 = 5,04 \text{ g}$

Anorganische Substanz:

0,0786 g Trockensubst. | 0,0734 g Trockensubst. | 0,1416 g Trockensubst.

Asche gewogen:

0,0068 g	0,0081 g	0,0072 g
oder 8,65%	oder 11,03%	oder 5,09%

Im Gesamtfiltrat „A“ sind:

0,2516 g	0,3078 g	0,2700 g
anorganische Substanz.		

Gehalt des Gesamtfiltrates an festen Stoffen:

Im ganzen = 2,9082 g	2,7892 g	5,31 g
Organ. Subst. = 2,6566 g	2,4814 g	5,04 g
Anorg. „ = 0,2516 g	0,3078 g	0,2700 g

Zuckermenge bestimmt in 10 ccm Filtrats „A“ (A und B in C) in 5 ccm Filtrats „A“ nach Allinischer Methode. Gewicht des Kupfers.

A	B	C
0,0855 g	0,0348 g	0,0859 g

entspricht:		
0,0447 g Zucker oder 0,447%	0,04328 g Zucker oder 0,4328%	0,0439 g Zucker oder 0,878%
Gesamtmenge des Zuckers im Filtrat „A“.		
$0,0447 \times 37 = 1,6539 \text{ g}$ $0,04328 \times 38 = 1,64464 \text{ g}$ $0,0878 \times 37,5 = 3,2925 \text{ g}$		
Gesamtmenge des für den Versuch verwendeten Zuckers:		
4,0000 g (genommen)	4,0000 g	4,0000 g ¹⁾
1,6539 g (geblieben)	— 1,6446 g	3,2925 g
2,3461 g (verschwinden).	2,3554 g	0,7075 g
Folglich sind 2,3461 g durch Bakterienwachstum verbraucht.		anstatt 4 die zum Versuch verwendet wurden.

Menge des Gesamtstickstoffs in 10 ccm nach Kjeldahl.

Im Rezipient:		
15 ccm $n^{1/10}$ -H ₂ SO ₄ entspricht	12 ccm $n^{1/10}$ -H ₂ SO ₄ entspricht	15 ccm $n^{1/10}$ -H ₂ SO ₄ entspricht
29,70 ccm $n^{1/20}$ -KOH	23,70 ccm $n^{1/20}$ -KOH	29,70 ccm $n^{1/20}$ -KOH.
Verbraucht auf:		
15 ccm $n^{1/10}$ -H ₂ SO ₄ = 25,2 $n^{1/20}$ -KOH	12 ccm $n^{1/10}$ -H ₂ SO ₄ = 19,3 ccm $n^{1/10}$ -KOH	15 ccm $n^{1/10}$ -H ₂ SO ₄ = 23,1 $n^{1/20}$ -KOH.
Folglich waren:		
4,5 ccm $n^{1/20}$ -KOH oder 2,23 $n^{1/10}$ -H ₂ SO ₄	4,4 ccm $n^{1/20}$ -KOH oder 2,2 ccm $n^{1/10}$ -H ₂ SO ₄	6,6 ccm $n^{1/20}$ -KOH oder 3,3 ccm $n^{1/10}$ -H ₂ SO ₄ .
durch NH ₃ gebunden.		

1) Zur Aufklärung der Frage, weshalb die Kontrollkultur nur 3,2925 g Zucker enthält, während 4 g für den Versuch abgewogen, — wurden 4 g desselben Zuckers in 400 ccm destill. Wasser gelöst und von dieser Lösung 2 Proben von je 5 ccm zur Zuckerbestimmung verwendet, — das Übrige wurde sterilisiert und im Verlauf von mehreren Tagen im Brutschrank aufbewahrt. 5 ccm sterilisierter Zuckerlösung reduzierten 0,0861 g Cu, entsprechend 0,878% und nicht 1% Zucker, wie zu erwarten wäre.

In zwei Portionen nicht sterilisierter Zuckerlösung erwies sich folgendes:

Erste Probe von 5 ccm:	Zweite Probe:
Cu-Gewicht 0,0833 g	0,0844 g
entspricht 0,0425 g Zucker	0,0428 g
oder 0,8460%	oder 0,856 %
in 400 ccm 3,3840 g	in 400 ccm 3,4240 g

bei saurer Reaktion.

Daraus ist der Schluß zu ziehen, daß die Auskochung an und für sich bei saurer Reaktion den Zucker nicht verändert, d. h. daß im vorliegenden Fall keine Zuckerspaltung stattfindet. Da es sich hier also um die Unreinheit des Zuckers handelt, mache ich überall entsprechende Korrektur des Zuckergehaltes.

Menge des Gesamtstickstoffs in 10 ccm nach Kjeldahl:

Titre: 1 ccm $n^{-1}/_{10}\text{-H}_2\text{SO}_4 = 0,00139714 \text{ g N.}$

Die Stickstoffberechnung ergibt in 10 ccm:

A	B	C
$0,00139714 \times 2,25$ $= 0,003143665 \text{ g N.}$	$0,00139714 \times 2,2$ $= 0,003073703 \text{ g N.}$	$0,00139714 \times 3,3$ $= 0,004610562 \text{ g N.}$
In 100 ccm Auskochung:		
0,03143565 g N	0,03073703 g N	0,046105 % N.
Im Gesamtfiltrat „A“:		
in 370 ccm $= 0,003143565 \times 370$ $= 0,116311905 \text{ g N}$	in 380 ccm $= 0,003073708 \times 380$ $= 0,116700904 \text{ g N}$	in 375 ccm $= 0,004610562 \times 375$ $= 0,1728960750 \text{ g N.}$

Menge des mit Phosphorwolframsäure gefällten Stickstoffs.

In 10 ccm Filtrats „A“.

Im Rezipient:

10 ccm $n^{-1}/_{10}\text{-H}_2\text{SO}_4$ entspricht 19,75 ccm $n^{-1}/_{20}\text{-KOH}$	10 ccm $n^{-1}/_{10}\text{-H}_2\text{SO}_4$ entspricht 19,75 ccm $n^{-1}/_{20}\text{-KOH}$	10 ccm $n^{-1}/_{10}\text{-H}_2\text{SO}_4$ entspricht 19,75 ccm $n^{-1}/_{20}\text{-KOH.}$
--	--	---

Verbrauch:

16,50 ccm $n^{-1}/_{20}\text{-KOH}$	16,60 ccm $n^{-1}/_{20}\text{-KOH}$	16,70 ccm $n^{-1}/_{20}\text{-KOH.}$
-------------------------------------	-------------------------------------	--------------------------------------

Folglich waren:

1,62 ccm $n^{-1}/_{10}\text{-H}_2\text{SO}_4$ $0,00139714 \times 1,62$ $= 0,0022633688 \text{ g N}$	1,57 ccm $n^{-1}/_{10}\text{-H}_2\text{SO}_4$ mit NH_3 gebunden. $0,00139714 \times 1,57$ $= 0,002193809 \text{ g N}$	1,52 ccm $n^{-1}/_{10}\text{-H}_2\text{SO}_4$ $0,00139714 \times 1,52$ $= 0,0021236428 \text{ g N.}$
---	---	--

Im Gesamtfiltrat „A“:

in 370 ccm $= 0,0022633688 \times 37$ $= 0,0837445716 \text{ g N}$	in 380 ccm $= 0,0021938097 \times 38$ $= 0,0833533724 \text{ g N}$	in 375 ccm $= 0,0021236428 \times 37,5$ $= 0,079636605 \text{ g N.}$
--	--	--

A	B	C
Menge des Ammoniakstickstoffs bestimmt nach der Methode von Nenoki in 10 ccm des Filtrats „A“.		

Im Rezipient: 10 ccm $n^{-1}/_{10}\text{-H}_2\text{SO}_4$.

10 ccm $n^{-1}/_{10}$ entsprechen 19,75 ccm $n^{-1}/_{20}\text{-KOH.}$

0,27 ccm $n^{-1}/_{10}\text{-H}_2\text{SO}_4$ verbunden mit NH_3 $0,00139714 \text{ g} \times \text{N} \times 0,27$ $= 0,0003772278 \text{ g N}$	0,25 ccm $n^{-1}/_{10}\text{-H}_2\text{SO}_4$ $0,00139714 \text{ g} \times 0,25$ $= 0,000349285 \text{ g N}$	0,25 ccm $n^{-1}/_{10}$ ver- bunden $0,00139714 \text{ g} \times 0,25$ $= 0,000349285 \text{ g N}$
--	--	---

Im Gesamtfiltrat „A“:

370 ccm 0,0139640286 g N	380 ccm 0,013272830 g N	375 ccm 0,0130981875 g N.
-----------------------------	----------------------------	------------------------------

Gesamtmenge des Ammoniakstickstoffs und des Stickstoffs, welcher in dem Phosphorwolframsäureniederschlag enthaltend ist:

0,0837445716 g (Pwls.)	0,0833533724 g (Pwls.)	0,079636605 g (Pwls.)
+ 0,0139574286 g (Am.)	+ 0,0132728300 g (Am.)	+ 0,013098187 g (Am.)
0,0977020002 g N	0,0966262024 g N	0,092734792 g N

Gesamtmenge des Monoaminstickstoff:

0,116311905 g N	0,116700904 g N	0,172896075 g N
— 0,097702000 g N	— 0,096626202 g N	— 0,092734792 g N
0,018509905 g N	0,019074702 g N	0,080161283 g N

Menge des Phosphorsäureanhydrits, bestimmt nach der Woytschen Methode.

In 100 ccm des Filtrats „A“:

Gewicht des Niederschlags $12\text{MoO}_3\text{P}_2\text{O}_5$.

0,1151 g	0,1400 g	0,041 g
----------	----------	---------

Koeffizienten für P_2O_5 : 0,03946 und für P: 0,01723.

P_2O_5 in 100 ccm gefunden:

0,004541846 g	0,0055244 g	0,00323572 g
---------------	-------------	--------------

In Gesamtflüssigkeit:

P_2O_5 : 0,0168048302 g	0,02099272 g	0,0121339500 g
---	--------------	----------------

In 100 ccm P:

0,001983173 g	0,0024122 g	0,00141286 g
---------------	-------------	--------------

P in der Gesamtmenge der Flüssigkeit:

0,00733740 g	0,00916636 g	0,005298225 g
--------------	--------------	---------------

CaO gefunden:

In 50 ccm des Filtr. „A“. In 60 ccm des Filtr. „B“. In 60 ccm des Filtr. „C“.

Gewicht des CaO:

0,0062 g	0,0095 g	0,0036 g
----------	----------	----------

Koeffizient für Ca: 0,714795.

Gefunden:

0,0044316390 g Ca	0,00679 g Ca	0,00257362 g Ca
-------------------	--------------	-----------------

Für 100 ccm des Filtrats „A“:

0,008863278 g	0,0113 g	0,0042883 g
---------------	----------	-------------

In Gesamtmenge der Flüssigkeit:

0,0287946946 g Ca	0,04294 g Ca	0,0160875 g Ca
-------------------	--------------	----------------

Untersuchung des Niederschlags Type „A“.

Nach dem Trocknen hat sich die weiße Farbe des Niederschlags in eine bräunlich-schwarze umgewandelt. Der Niederschlag ist unlöslich in Säuren, leicht in Alkalien, bei deren Neutralisation er ausfällt. Die

Lösung gibt die Trommersche Reaktion:

A	B	C
Gewicht des Niederschlags:		
0,8478 g	0,8812 g	kein Niederschlag.

N nach Kjeldahl bestimmt.		Probe:
0,0603 g	0,0651 g	kein Niederschlag.
5,44% N	5,04% N	
Absolute Stickstoffmenge:		
0,0603 : 0,003283279 g	0,0651 : 0,00327704 g	kein Niederschlag.
0,8478 : x	0,8812 : x	
Gefunden:		
= 0,0544 g N	= 0,0541248 g N	
Menge des erhaltenen Schwefels aus der alkalischen Lösung als BaSO ₄		
S = 4,96%	Analyse mißlungen.	
Phosphorgehalt des Niederschlages nach Woy bestimmt. Probe:		
0,1922 g	0,1330 g	kein Niederschlag.
Gewicht des Niederschlages von 12 MoO ₃ P ₂ O ₅ :		
0,0285 g	0,0504 g	kein Niederschlag
Koeffizient für P = 0,0172 g:		
0,01723 × 0,0285 g	0,01723 × 0,0504 g	kein Niederschlag.
= 0,0004915055 g P	= 0,000868392 g P	
= 0,255% P	= 0,653% P	
Absoluter P-Gehalt:		
0,1922 : 0,0004915055	0,133 : 0,000868392 g	
= 0,8478 : x	0,8812 : x	
0,00217 g P	x = 0,00575 g P	

Zur Bestimmung der Gesamtmenge der festen Stoffe wurde die dem Gehalt des Filtrats „A“ an festen Stoffen entsprechende Zahl zu dem Gewicht des Niederschlages addiert.

Gewicht des Niederschlages:		
0,8478 g	0,8812 g	0,0
Feste Stoffe des Filtrats „A“:		
2,9382 g	2,7892 g	5,31 g
Summe:		
3,7860 g	3,6704 g	5,31 g
Menge des gespaltenen Zuckers:		
2,3461 g	2,3554 g	
2,3461 g (Zucker)	2,3554 g	
+ 3,7860 g (feste Stoffe)	+ 3,6704 g	
6,1321 g im ganzen)	6,0258 g	
Feste Stoffe des Filtrats „A“:		
2,9382 g (feste Stoffe des Filtrats)	2,7892 g	
+ 2,3461 g (gespaltenen Zucker)	+ 2,3554 g	
	5,1446 g	
	(5,1446 g ebenso, wie in Kontrolle.)	
5,2843 g	6,0258 g	
6,1321 g	— 5,1446 g	
— 5,2834 g	0,8812 g	
0,8478 g		

VIII. Versuchsreihe,

die zur Aufklärung des Einflusses des Luftzutritts resp. Luftabschlusses auf die Entwicklung des Osteomyelitis angestellt worden war:

D	E	F
300 ccm Knochen- auskochung. 3 g Saccharum uvicum. 3 g Knochenmehl	Zusammensetzung: 300 ccm Knochen- auskochung. 3 g Saccharum uvicum. 3 g Knochenmehl	300 ccm Knochen- auskochung. 3 g Saccharum uvicum. 3 g Knochenmehl
Geimpft Anaërob. 46 Tage.	Geimpft Anaërob. 45 Tage.	Kontrolle. Anaërob. 47 Tage.

Flüssigkeitsmenge: 280 ccm.

Untersuchung des Filtrats „A“.

Reaktion:

Alkalische	Saure	Alkalische
------------	-------	------------

Mit Indikator Lacmoid: 10 ccm des Filtrats „A“ verdünnt mit 40 ccm destill. Wasser brauchten zur Neutralisation

1,0 ccm $n\text{-}^{1/10}\text{-H}_2\text{SO}_4$	3,4 ccm $n\text{-}^{1/20}\text{-KOH}$	0,9 ccm $n\text{-}^{1/10}\text{-H}_2\text{SO}_4$
--	---------------------------------------	--

Für 280 ccm:

28 ccm $n\text{-}^{1/10}\text{-H}_2\text{SO}_4$	95,2 ccm $n\text{-}^{1/20}\text{-KOH}$	25,2 ccm $n\text{-}^{1/10}\text{-H}_2\text{SO}_4$
---	--	---

Bestimmung des Trockenrückstandes des Filtrats „A“.

In 10 ccm des Filtrats „A“ gefunden:

0,0658 g	0,1276 g	0,0422 g
----------	----------	----------

Im ganzen, d. h. in 280 ccm des Filtrats „A“:

1,8428 g	3,5728 g	1,1816 g
----------	----------	----------

Bestimmung der organischen Substanzen des Trockenrückstandes Filtrat „A“.

In 10 ccm des Filtrats „A“ gefunden:

0,0658 g	0,1276 g	0,0422 g
----------	----------	----------

Gewichtsverlust nach der Verbrennung:

0,0542 g	0,1109 g	0,0340 g
----------	----------	----------

D

E

F

Gesamtmenge der organischen Stoffe des Filtrats „A“:

$0,0542\text{g} \times 28 = 1,5176\text{g}$ | $0,1109\text{g} \times 28 = 3,1052\text{g}$ | $0,034\text{g} \times 28 = 0,952\text{g}$

Bestimmung der anorganischen Stoffe des Filtrats „A“.

In 10 ccm bleiben nach der Verbrennung:

0,0116 g	0,0167 g	0,0082 g
----------	----------	----------

Im ganzen:

$0,0116\text{g} \times 28 = 0,3288\text{g}$ | $0,0167\text{g} \times 28 = 0,4676\text{g}$ | $0,0082\text{g} \times 28 = 0,2296\text{g}$

Menge des nichtgespaltenen Zuckers bestimmt nach der Alihnischen Methode:

In 10 ccm Filtr. „A“.	In 5 ccm Filtr. „A“.	In 10 ccm Filtr. „A“.
Gewicht des Cu: 0,0234 g	Gewicht des Cu: 0,0100 g	Gewicht des Cu: 0,1094 g
	entspricht:	
0,0127 g Zucker	0,006 g	0,0555 g

Im ganzen:

$$0,0127 \text{ g} \times 28 = 0,4556 \text{ g} \quad | \quad 0,0120 \text{ g} \times 28 = 0,336 \text{ g} \quad | \quad 0,0555 \text{ g} \times 28 = 1,5500 \text{ g}$$

Zucker genommen mit Korrektur:

2,4069 g	2,4069 g	2,4069 g
— 0,4556 g geblieben	— 0,3360 g	— 1,5500 g
<u>1,9513 g gespalten</u>	<u>2,0709 g gespalten</u>	<u>0,8569 g gespalten</u>

Menge des Gesamtstickstoffs im Filtrat „A“.

Zur Bestimmung des Gesamtstickstoffs wurden 10 ccm des Filtrats „A“ nach Kjeldahl verbrannt:

Rezipient: 12 ccm $n\text{-}^{1/10}\text{-H}_2\text{SO}_4$ entsprechen 23,70 ccm $n\text{-}^{1/20}\text{-KOH}$.

Gebraucht:	Gebraucht:	Gebraucht:
16,20 ccm $n\text{-}^{1/20}\text{-KOH}$	17,20 ccm $n\text{-}^{1/20}\text{-KOH}$	4,36 ccm $n\text{-}^{1/10}\text{-H}_2\text{SO}_4$
oder:	oder:	gebunden
7,50 ccm $n\text{-}^{1/20}\text{-KOH}$	6,50 ccm $n\text{-}^{1/20}\text{-KOH}$	$= 0,00139714 \times 4,36$
oder:	oder:	$= 0,0060216734 \text{ g N}$
3,75 ccm $n\text{-}^{1/10}\text{-H}_2\text{SO}_4$	3,25 ccm $n\text{-}^{1/10}\text{-H}_2\text{SO}_4$	$= 0,060216734 \% \text{ N}$
$= 0,00139714 \text{ g} \times 3,75$	$= 0,00139714 \times 3,25$	
$= 0,005269275 \text{ g N}$	$= 0,00457070 \text{ g N}$	
$= 0,05269275 \% \text{ N}$	$= 0,0457070 \% \text{ N}$	

Im ganzen Filtrat „A“:

0,1475307 g N	0,12798714 g N	0,1686068502 g N
---------------	----------------	------------------

Menge des Ammoniakstickstoffs im Filtrat „A“:

10 ccm des Filtrats werden nach der Methode von Nencki bearbeitet.

Im Rezipient: 10 ccm $n\text{-}^{1/10}\text{-H}_2\text{SO}_4$ entsprechen 19,75 ccm $n\text{-}^{1/20}\text{-KOH}$.

Verbraucht zur Rücktitration:

19,1 ccm $n\text{-}^{1/20}\text{-KOH}$	19,35 ccm $n\text{-}^{1/20}\text{-KOH}$	17,80 ccm $n\text{-}^{1/20}\text{-KOH}$
folglich:	folglich:	folglich:
0,32 $n\text{-}^{1/10}\text{-H}_2\text{SO}_4$	0,20 ccm $n\text{-}^{1/10}\text{-H}_2\text{SO}_4$	0,97 ccm $n\text{-}^{1/10}\text{-H}_2\text{SO}_4$
gebunden.	gebunden.	

Umgerechnet auf Stickstoff:

$0,00139714 \times 0,32$	$0,00139714 \times 0,20$	$0,00139714 \times 0,97$
$= 0,000447 \text{ g N}$	$= 0,000279 \text{ g N}$	$= 0,001355 \text{ g N}$

Im ganzen:

0,0125183744 g N	0,007823984 g N	0,0379463224 g N
0,1475307 gesamt N	0,12798974 g	0,168606850 g
— 0,0125183 (Am.)	— 0,00782398 g	— 0,037946322 g
<u>0,1350124 g N</u>	<u>0,12016576 g N</u>	<u>0,130660528 g N</u>

D	E	F
Menge des nach Woy bestimmten Phosphorsäureanhydrids:		
Verwendet 80 ccm des Filtrats „A“.		
Gewicht 12 MoO ₃ P ₂ O ₅ = 0,1698 g	100 ccm Filtrat „A“ = 0,5910 g	80 ccm Filtrat „A“ = 0,1061 g
Konstante für P ₂ O ₅ = 0,03946 g		
0,03946 × 0,1698 = 0,0067 g P ₂ O ₅	0,03946 × 0,591 = 0,02332086 g P ₂ O ₅	0,03946 × 0,1061 = 0,004188701 g P ₂ O ₅
Im ganzen:		
0,023436 g P ₂ O ₅	0,065298408 g P ₂ O ₅	0,01465352 g P ₂ O ₅
Konstante für P = 0,01723 g		
0,01723 × 0,1698 = 0,002925 g P	0,01723 × 0,5910 = 0,0101829 g P	0,01723 × 0,1061 = 0,0018281 g P
Im ganzen:		
0,0102398 g P	0,028512207 g P	0,0063983605 g P
Calcium des Filtrats „A“:		
bestimmt in 50 ccm Gewicht des CaO: 0,0135 g	bestimmt in 60 ccm 0,0448 g	bestimmt in 50 ccm 0,0015 g
Konstante für Ca = 0,714795:		
0,714795 × 0,0135 = 0,0096497 in 100 ccm = 0,019299465 g Ca	0,714795 × 0,0448 = 0,032022816 g Ca in 100 ccm = 0,05337 g Ca	0,714795 × 0,0015 = 0,0010721925 g Ca in 100 ccm = 0,002144385 g Ca
Im ganzen:		
0,0540385 g	0,149436 g Ca	0,005804178 g
Untersuchung des abfiltrierten Niederschlags Typus „B“:		
Der Niederschlag wurde sorgfältig mit destilliertem Wasser ausgewaschen und bis zum konstanten Gewicht getrocknet.		
Gewicht des Niederschlags:		
2,3764 g	2,9883 g	2,3799 g
Summe des Niederschlags und des festen Rückstandes des Filtrats „A“:		
2,3764 g (Niederschlag)	2,9883 g	2,3799 g
+ 1,8428 g (fest. Rückst.)	+ 3,5711 g	+ 1,1816 g
<u>4,2192 g</u>	<u>6,5601 g</u>	<u>3,5615 g</u>
Menge der organischen Substanz des Niederschlags:		
0,2980 g	0,2380 g	0,1752 g
Nach dem Verbrennen eine Gewichtsverminderung von:		
0,0636 g	0,0800 g	0,0299 g
Absolute Menge der organischen Substanz des Niederschlags:		
0,2980 : 0,0636 =	0,2380 : 0,08 =	0,1752 : 0,0299 =
= 2,3764 : x	= 0,9883 : x	= 2,3799 : x
x = 0,5071 g	x = 1,004 g	x = 0,406 g

D	E	F
Menge der anorganischen Substanz des Niederschlags:		
Probe: 0,2980 g	0,2380 g	0,1752 g
Nach dem Verbrennen übrig geblieben:		
0,2344 g	0,1580 g	0,1453 g
Absolute Menge der anorganischen Substanz des Niederschlags:		
0,2980:0,2344 =	0,2380:0,1580 =	0,1752:0,1453 =
= 2,3764 : x	= 2,9883 : x	= 2,3799 : x
x = 1,868 g	x = 1,975 g	x = 1,973 g
Menge des Stickstoffs des Niederschlags.		
I. Analyse. Probe:		
0,1518 g	0,1215 g	0,0632 g
Gebunden:		
1,95 ccm n- ¹ / ₁₀ -H ₂ SO ₄	2,25 ccm n- ¹ / ₁₀ -H ₂ SO ₄	0,65 ccm n- ¹ / ₁₀ -H ₂ SO ₄
Stickstoffberechnung:		
0,00139714 × 1,95	0,00139714 × 2,25	0,00139714 × 0,65
= 0,00272442 g N.	= 0,003143565 g N.	= 0,000908141 g N.
oder 1,80% N.	oder 2,59%	oder 1,421%
II. Analyse. Probe:		
0,1493 g	0,1395 g	0,1028 g
Gebunden		
1,91 ccm n- ¹ / ₁₀ -H ₂ SO ₄	2,82 ccm n- ¹ / ₁₀ -H ₂ SO ₄	1,02 ccm n- ¹ / ₁₀ -H ₂ SO ₄
0,00139714 × 1,91	0,00139714 × 2,82	0,00139714 × 1,02
= 0,002667537 g N.	= 0,00399348 g N.	= 0,0014250828 g N.
oder 1,78% N.	oder 2,82% N.	oder 1,386% N.
Absolute Menge des Stickstoffs des Niederschlags.		
1. Bestimmung:		
0,1518:0,00272442	0,1215:0,003143565	0,0632:0,000908141
= 2,3764 : x: 0,426 g N.	= 2,9883 : x	= 2,3799 : x
x = 0,0426 g N.	x = 0,077 g N.	x = 0,0341 g N.
2. Bestimmung:		
0,1493:0,002667537	0,1395:0,00399348	0,1028:0,0014250828
= 2,3764 : x	= 2,9883 : x	= 2,3799 : x
x = 0,0437 g N.	x = 0,0857 g N.	x : 0,0329 g N.
Menge des P ₂ O ₅ des Niederschlags. Probe:		
0,1287 g	0,1818 g	0,1908 g
Gewicht des Niederschlags 12 MoO ₃ P ₂ O ₅ :		
0,9599 g	1,1909 g	1,4313 g
Koeff. für P ₂ O ₅ = 0,03946.		
P ₂ O ₅ = 0,037877654 g	0,046992914 g	0,056479098 g
oder 29,38% P ₂ O ₅	oder 25,85%	oder 29,070%

D	E	F
Koeff. für P = 0,01723:		
0,01723 \times 0,9599 = 0,016539077 g oder 12,85%	0,01723 \times 1,1909 = 0,0205192 g oder 11,28%	0,01723 \times 1,4313 = 0,024701199 g oder 12,91%
Calcium. Probe:		
0,3603 g	0,1992 g	0,1680 g
Gewicht des CaO:		
0,1355 g	0,0714 g	0,0730 g
Koeff. für Ca: 0,714795 g.		
Ca gefunden:		
0,0968547225 g oder 31,61% Ca	0,051036363 g oder 25,13% Ca.	0,052180038 g oder 31,06% Ca.
* * *		

Auf Grund der erhaltenen Resultate können folgende Schlüsse gezogen werden (zur besseren Orientierung stelle ich die Resultate der Versuchsserien VII und VIII zusammen):

Resultate der Versuchsreihe VII.

Der Nährboden dieser Versuchsserie bestand aus 400 ccm Knochenextrakt + 4 g Saccharum Uvicum. Die Kulturen wurden bei anaeroben Verhältnissen gezüchtet. Der Kontrollkolben wurde nach 55, der Kolben Nr. 1 nach 45 und der Kolben Nr. 2 nach 83 Tagen untersucht, um den Einfluß der Zeitdauer zu beurteilen. Was die Reaktion anbetrifft, so ist kein großer Unterschied zwischen den Kolben Nr. 1 und 2, wohl aber ein solcher im Vergleich der beiden genannten Kolben mit dem Kontrollkolben zu verzeichnen:

Bei der Untersuchung des Filtrates wurde im Vergleich mit dem Kontrollkolben eine Gewichtsabnahme des festen Rückstandes in dem Versuchskolben Nr. 1 und 2 wahrgenommen, und zwar für Kolben Nr. 1 um 2,428 g und für Kolben Nr. 2 um 2,5208 g.

Der Verlust an festen Stoffen bezieht sich hauptsächlich auf die organische Substanz; es wurde nämlich im Vergleich mit dem Kontrollkolben folgende Gewichtsabnahme der organischen Substanz gefunden: in Kolben Nr. 1 = 2,3834 g und in Kolben Nr. 2 = 2,5586 g.

In bezug auf anorganische Stoffe des festen Rückstandes des Filtrats wurde eine geringe Zunahme festgestellt, und zwar um 0,0378 g für den Kolben Nr. 2 im Vergleich mit dem Kontrollkolben.

In der Verteilung des Stickstoffs wurde ebenfalls eine Änderung nachgewiesen. Die Menge des Gesamtstickstoffs ist in beiden Kolben (0,0561 bis 0,0565 g) geringer geworden.

Die Menge für NH_3 erhaltenen Zahlen erlauben keine Schlüsse zu ziehen; die den mit Phosphorwolframsäure fällbaren Stickstoff entsprechenden Zahlen zeigen im Vergleich mit dem Kontrollkolben eine

geringe (0,00371 bis 0,0041) Zunahme. Es hat sich also die Menge des mit Phosphorwolframsäure fällbaren Stickstoffs vergrößert.

Die Menge des Stickstoffs der Monoamine hat sich dagegen vermindert, im Kolben Nr. 1 war ein Verlust von 0,06105 g und in Kolben Nr. 2 von 0,05908 g zu verzeichnen. Es ist höchst wahrscheinlich, daß der Stickstoff der Monoamine als Nährmaterial für den Osteomyelitis-Mikroben gedient hat.

Der Phosphorgehalt des Filtrats hat sich ebenfalls vergrößert, und zwar im Kolben Nr. 1 um 0,00204 g, im Kolben Nr. 2 um 0,003863 g im Vergleich mit dem Filtrat des Kontrollkolbens. Auch wurde eine Zunahme des Ca-Gehalts wahrgenommen, dieselbe betrug im Kolben Nr. 1 0,0127 g und im Kolben Nr. 2: 0,02685 g.

Weiter was Zucker anbetrifft, so wurden in beiden Kolben gleiche Zuckermengen verbraucht, welche etwa die Hälfte der ursprünglich vorhandenen Menge ausmachten.

Die Untersuchung des Niederschlages ergab folgendes: die Wägung des Niederschlages ergab für Kolben Nr. 1: 0,8478 und für Nr. 2: 0,8812 g.

In den Niederschlägen der beiden Kolben wurden beinahe gleiche Stickstoffmengen gefunden, und zwar 0,0544 g und 0,054125 g. Die Phosphormenge im Niederschlag des Kolben Nr. 1 war gleich 0,00217 g, diejenige des Kolbens Nr. 2: 0,00575 g.

Behufs Aufklärung des hier vorliegenden biologischen Prozesses wurden die Mengen des Niederschlages und des festen Rückstandes des Filtrats zusammen addiert, auf diese Weise wurde ein Verlust an festen Stoffen festgestellt, und zwar für Kolben Nr. 1 um 1,524 g und im Kolben Nr. 2 um 1,6396 g.

Resultate der Versuchsreihe VIII.

Die hierzu gehörenden Versuche wurden zur Lösung der Frage, ob anaerobe oder aerobe Verhältnisse für den Osteomyelitis-Bacillus besser passen, aufgestellt. Die erhaltenen Resultate sprechen zugunsten der anaeroben Verhältnisse. Die Reaktion war sauer beim anaeroben Verhältnisse aufbewahrten Kolben (95,2 cm $\frac{31}{20}$ n-KOH); der Kontroll- und der bei Luftzutritt aufbewahrte Kolben wiesen alkalische Reaktion auf. Der Trockengehalt des Rückstandes im Filtrat der anaeroben Kultur war um 2,3912 g größer als dasjenige des Kontrollkolbens, auch im aerob aufbewahrten Kolben hat sich eine 0,6612 g betragende Zunahme des Trockenrückstandes ergeben.

Die genannte Gewichtszunahme des Rückstandes bezog sich vorwiegend auf organische Stoffe, deren Menge im anaeroben Kolben um 2,1532 g, im aeroben aber um 0,5655 g diejenige des Kontrollkolbens übertrifft.

An anorganischen Stoffen wurden bei direkter Bestimmung folgende Zunahmen festgestellt: für anaeroben Kolben 0,238 g, für aeroben Kolben 0,0992 g.

In bezug auf die Zuckerspaltung war zwischen den anaeroben und den aeroben Verhältnissen kaum ein Unterschied zu verzeichnen.

Der Gesamtstickstoffverlust im Filtrate des anaerob aufbewahrten Kolbens war um 0,041 geringer als die gefundene NH_3 -Menge; auch im aerob aufbewahrten Kolben war im gleichen Sinne eine Differenz von 0,021 g zu verzeichnen. Aus diesen Daten dürfen allerdings noch keine bestimmten Schlußfolgerungen gezogen werden.

Der Phosphorgehalt des Filtrates des anaeroben Kolbens war im Vergleich mit demjenigen des Kontrollkolbens um 0,022114 g gestiegen, im aeroben Kolben dagegen wurde eine Zunahme nur von 0,00384 g wahrgenommen. Der Calciumgehalt des Filtrates des anaeroben Kolbens hat im Vergleich mit demjenigen des Kontrollkolbens um 0,14363 g und der Calciumgehalt des aeroben Kolbens nur um 0,04823 g zugenommen.

Bei der in derselben Weise ausgeführten Untersuchung des Niederschlages der Versuchsserie VIII wurden folgende Resultate erhalten: im Kolben Nr. 2 eine 0,6084 g betragende Gewichtszunahme des Niederschlages, im Kolben Nr. 1 keine Gewichtszunahme des Niederschlages.

Wird zum Gewicht des Niederschlages dasjenige des festen Filtratrückstandes zugegeben, so ergeben sich folgende Zunahmen des Gesamtgewichtes im anaeroben Kolben 2,998 g und im aeroben Kolben nur 0,65805 g.

Die Bestimmung der organischen Substanz des Niederschlages zeigte, daß im anaeroben Kolben 0,6 g und im aeroben nur 0,1011 g organische Stoffe gebildet wurden.

Die erhaltenen Zahlen der Gesamtmenge der anorganischen Bestandteile des Niederschlages sind wenig demonstrativ.

Der Stickstoffgehalt des Niederschlages hat bei anaerobem Wachstum des *Osteomyelitis*-Stäbchen um 0,0483 g, bei aeroben um 0,01 g zugenommen.

Der Phosphorgehalt (in %) des Niederschlages des anaeroben Kolbens hat zum Gegenteil um 1,64 % abgenommen, bei aerobem Wachstum des Mikroben wurde nur um 0,07 % weniger Phosphor gefunden als im Kontrollkolben. Ein noch größerer Verlust war bezüglich des Calciumgehaltes zu verzeichnen, derselbe betrug im Niederschlag des anaeroben Kolbens 5,93 % und im Niederschlag des aeroben Kolbens nur 0,54 %.

Schlußfolgerungen:

1. Auf rein anorganischen Substraten vermag *B. osteomyelitis* nicht zu wachsen. Auch bei Zuckerzusatz war auf den genannten Medien kein Wachstum zu verzeichnen.
2. In Knochenauskochen unter Zusatz des Knochenmehls war das Wachstum von *B. osteomyelitis* nicht sehr üppig.
3. In Knochenauskochen unter Zusatz von Knochenmehl

und Zucker vermag *B. osteomyelitidis* verhältnismäßig gut zu wachsen, besonders bei Luftabschluß.

4. Anaerobe Verhältnisse sind dem Wachstum des *B. osteomyelitidis* günstiger als aerobe Verhältnisse.

5. Bei Luftzutritt ist die Zuckerspaltung beinahe ebenso groß wie bei Luftabschluß.

6. In einem aus Knochenauskochen und Zucker hergestellten Nährsubstrate durch den *B. osteomyelitidis* bei Luftabschluß wird die Ausfällung eines Niederschlages verursacht.

7. Das Calciumphosphat des Knochenmehls wird durch *B. osteomyelitidis* in Lösung gebracht.

8. Bei Luftabschluß ist die Auflösung des Calciumphosphats intensiver als bei Luftzutritt.

Kobragift und Hämolyse.

Von

Ivar Bang.

Erste Mitteilung.

(Aus dem med. chemischen Institut der Universität Lund.)

(Eingegangen am 26. Mai 1908.)

Für einen Essay über die Biochemie der Lipoide war es notwendig, einige Kontrolluntersuchungen über die Lecithinwirkung bei der Kobragifthämolyse anzustellen, um eine persönliche Auffassung hierüber zu gewinnen.

Es zeigte sich hierbei nach und nach, daß die Angaben von Kyes nicht mit den tatsächlichen Verhältnissen übereinstimmten, und ich mußte zu einer selbständigen Bearbeitung der Probleme übergehen. Ich beabsichtige, in den folgenden Mitteilungen meine Versuchsergebnisse, sobald sie für eine Publikation reif werden, zu veröffentlichen, und habe für diese erste Mitteilung die Ergebnisse meiner Studien über Kyes Kobralecithid bestimmt.

I.

Nachdem Flexner und Noguchi gefunden hatten, daß die hämolytische Wirkung des Schlangengiftes durch zwei Faktoren bedingt ist, wovon der eine dem Gift entspricht und der andere einen Serumbestandteil darstellt, hat bekanntlich Kyes dieses komplexe Hämolysin genauer untersucht.

In seiner ersten Mitteilung zeigt Kyes,¹⁾ daß der Serumbestandteil alkohol- und ätherlöslich und mit dem Lecithin identisch ist. Seine Folgerung lautet: Der Aktivator geht bei der Fällung des Serums mit Alkohol in diesen über

¹⁾ Berl. klin. Wochenschr. 1902, Nr. 38 u. 39.

und ist ferner auch in Äther löslich. „Ätherlösliche Substanzen des Blutserums sind ja längst bekannt. Es kommen dabei hauptsächlich Cholesterin, Lecithin, Fette und Fettsäuren in Betracht. Nach einigen negativen Versuchen mit Cholesterin fanden wir, daß Lecithin die Eigenschaften des Aktivators besitzt.“

Diese Folgerung geht aber nicht aus Kyes Beobachtungen hervor, wohl aber eine entgegengesetzte.

Kyes bemerkt nämlich: „Lösten wir den nach Verdunsten des Alkohols bleibenden Rückstand in Kochsalzwasser und schüttelten wir diese Lösung mit Äther aus, so hatte der Äther die aktivierende Substanz in toto¹⁾ aufgenommen.“ Und weiter: „Lecithin läßt sich aus seiner Kochsalzlösung mit Äther ausschütteln. Wie folgender Versuch zeigt, geht dabei das Lecithin in reicher Menge in Äther über, aber nicht vollständig²⁾“, indem beinahe die halbe Menge in der Kochsalzlösung zurückbleibt.

Eine Substanz, welche quantitativ aus Wasserlösung durch Äther ausgeschüttelt werden kann, ist doch unmöglich mit einer solchen, welche ceteris partibus andere Lösungsverhältnisse zeigt, identisch.

Dagegen sprechen diese Beobachtungen entschieden für die Möglichkeit, daß der Aktivator eine Fettsäure oder Neutralfett ist, indem diese auch dieselbe aktivierende Errungenschaft wie das „Lecithin“ besitzen.

Daß aber die aktivierende Substanz in toto durch Äther auszuschütteln ist, spricht gegen die bekannte Tatsache, daß Serum Seifen enthält, welche einerseits stark aktivierend wirken und andererseits zwar in Kochsalzlösung löslich, dagegen nicht ätherlöslich sind. Besonders Noguchi³⁾ hat durch Alkohol-extraktion des Blutes mit folgender Trennung durch Äther stark hämolytisch (und aktivierend) wirkende Seifen in dem ätherunlöslichen Rückstand gefunden.

In einer späteren Mitteilung nehmen zwar Kyes und Sachs³⁾ von der Lecithinnatur des nativen Serumaktivators Abstand — sie identifizieren ihn jetzt mit Alexin —, dagegen

¹⁾ Von mir gesperrt.

²⁾ Diese Zeitschr. 6, 339, 1907.

³⁾ Berl. klin. Wochenschr. 1903, Nr. 2 bis 4.

halten sie offenbar an der Auffassung über die Natur des alkohol-löslichen Bestandteils fest und folgern, daß das Lecithin als unwirksame komplexe Verbindung mit Eiweiß in dem Normalserum (und Blutkörperchen) vorkommt, aus welcher Verbindung das Lecithin durch verschiedene Einwirkungen (Alkohol, Erhitzen) frei und disponibel wird.

Wie bemerkt, erlauben Kyes' Versuche keine solche Folgerung.

Es bleibt also noch übrig Kyes' indirekte Beweise zu berücksichtigen: Lecithin, d. h. Phosphatide, kommen in Blutserum vor und gehen auch in das Alkoholextrakt über —; die Phosphatide sind zum Teil Aktivatoren, ergo stellen sie mit den übrigen Aktivatoren zusammen die komplettierende Wirkung des Serums bzw. des alkoholischen Serumextraktes dar.

Eine solche Folgerung ist unter folgenden Voraussetzungen berechtigt: 1. daß sämtliche Phosphatide oder jedenfalls die in Serum vorkommenden sind Aktivatoren; 2. daß diese wirksamen Phosphatide, welche nach Kyes in gebundendem, unwirksamem Zustande im Normalserum vorkommen, auch tatsächlich bei der Einwirkung von Alkohol oder Erhitzung disponibel werden. Betreffs Alkohol dürfte diese Voraussetzung wahrscheinlich zutreffen. Bewiesen ist sie aber nicht. Die Phosphatide des Serums sind nicht zur Prüfung dargestellt worden. Und daß die Phosphatide tatsächlich beim Erhitzen frei werden, ist nicht nur nicht bewiesen, sondern auch zweifelhaft. Es ist mindestens ebenso wahrscheinlich, daß gerade die Seifen hierbei disponibel werden.

Dagegen hat Kyes gefunden, daß gewisse Phosphatide, besonders das Lecithin, sehr wirksame Aktivatoren sind. Weiter hat Kyes gezeigt, daß Kobragift und Lecithin zuerst miteinander unter Bildung einer neuen chemischen Verbindung, dem Kobralecithid, reagieren. Das Kobragift stellt das komplette Hämolysin dar. Ähnliche Verbindungen bildet auch Lecithin mit vielen anderen Giften.

Der Vorgang bei der Lecithidbildung ist von Ehrlichs Schule als ein wichtiger Analogiebeweis für Ehrlichs Theorie über die Bindung des Komplements mit dem Amboceptor zur Bildung dieses Hämolysins gedeutet.

Wir wollen in Betracht der Wichtigkeit dieser Frage nach-

prüfen, welche Beweise Kyes¹⁾ für die Existenz und Identität des Kobralecithids geliefert hat.

Aus Lecithin (verschiedene Handelspräparate) und Kobragift ließ sich bei passender Behandlung ein Körper darstellen, welcher die totale hämolytische Wirkung des Giftes enthielt. Die Eigenschaften, Zusammensetzung und Molekulargewicht dieses Körpers wurden festgestellt.

Die Molekulargröße war zwischen 2000 und 3000. Das Molekulargewicht der Lecithinkomponente war 541. Folglich kommen mehrere Moleküle Lecithin in Kobralecithid vor, wenn die Molekülgröße des Giftes nicht sehr groß ist. Wie groß diese ist, wissen wir nicht. Jedenfalls ist sie ziemlich groß, sicher viel über 100 bis 200. Demgemäß müßte das Lecithid mindestens aus 5 bis 10% Kobragift bestehen.

Die Zusammensetzung des Lecithids zeigte indessen genau denselben Gehalt an P und N, wie das darin vorkommende „Lecithin“. Wenn man deswegen nicht annehmen will, daß Kobragift und Lecithin genau dieselbe Zusammensetzung — besonders betrifft N und P — besitzt, sprechen die gefundenen analytischen Werte bestimmt gegen die gefundene Molekulargröße.

Um beurteilen zu können, welche von beiden die richtige Auffassung ist, wollen wir die ursprünglich reagierenden Quantitäten von Gift und Lecithin berücksichtigen. Es wurden 2 g Kobragift mit 80 g Lecithin gemischt. Es resultierte nach Reinigung 10,6 g Lecithid. Nun besteht aber das Kobragift hauptsächlich aus indifferenten Substanzen, wie Eiweißkörper, Salze, Wasser u. a. Das Hämolysin kommt sicher nur in minimaler Menge vor — sagen wir zirka 1%. Infolgedessen besteht das Lecithid — es ist rein dargestellt (!) — aus etwa 0,02 g Kobragift und über 10 g Lecithin, d. h. 1 Teil Gift auf 500 Teile Lecithin. Es ist deswegen wohl begreiflich, daß das Gift die Analysen nicht beeinflussen konnte. Die Werte zeigen aber weiter, daß bei der Molekulargröße des Giftes = 100 etwa 100 Moleküle Lecithin mit einem Molekül Gift reagieren müssen. Ein solches Molekül ist aber undenkbar bei einer Molekulargröße des Giftes von 100. Ist dieselbe aber größer, müssen

¹⁾ Diese Zeitschr. 4, 104, 1907.

dementsprechend noch mehrere Moleküle Lecithin in der Verbindung vorkommen.

Die besonderen Eigenschaften des Lecithids sind von Kyes als Kriterium der Reinheit des Präparates hervorgehoben. An seiner äußeren Beschaffenheit differenziert es von der wachsartigen Konsistenz des Lecithins. Es ist in Äther unlöslich, während Lecithin ätherlöslich ist, ebenso in Wasser von 30°. Dagegen ist es im Gegensatz zu dem Kobragift in Chloroform und Alkohol löslich.

Gegen diese Charakteristik ist nun zu bemerken, daß das Eigelb — aus welchem die Lecithine des Handels stammen — mehrere Phosphatide enthalten, wovon einige in Äther unlöslich sind (s. z. B. bei Stern und Thierfelder¹⁾). Wenn deswegen 80 g Handelslezithin 10 g ätherunlösliches Produkt geliefert haben, braucht dies nur darauf hin zu deuten, daß die ätherunlöslichen Phosphatide ausgeschieden worden sind.

Schwerer wiegt doch die Tatsache, daß die meisten Handelspräparate denaturierte Produkte sind, welche recht beträchtlich bei der Darstellung zersetzt worden sind. Z. B. wird das Agfa-Lecithin, welches hauptsächlich von Kyes verwendet worden ist, aus der CdCl_2 -Verbindung dargestellt, und Erlandsen²⁾ hat gefunden, daß das Lecithin schon bei der Vereinigung mit CdCl_2 ein Molekül Fettsäure verliert. Es darf deswegen kein Wunder nehmen, daß Kyes für das Kobralecithid die Zusammensetzung eines Monofettsäurelezithid gefunden hat. Dagegen irrt er, wenn er eine Abspaltung des Fettsäurerestes durch Kobragift präsumiert. Die Abspaltung ist schon bei der Darstellung des Präparates geschehen. Aus dieser Kritik von Kyes Arbeiten komme ich zu der Folgerung, daß die Existenz eines Kobralecithids im Sinne Kyes völlig unbewiesen ist.

Es ist auch nicht bewiesen, daß Lecithin oder Phosphatide überhaupt Aktivatoren sind. Die betreffenden Handelspräparate sind nämlich nicht rein. Außer bei weitem Zersetzungsprodukten der Phosphatide enthalten sie Fett, Fettsäuren und Seifen, welche nachweislich Aktivatoren sind. Kyes erwähnt selbst

¹⁾ Zeitschr. f. physiol. Chem. 58, 370.

²⁾ Zeitschr. f. physiol. Chem. 51, 71.

das Vorkommen von Fett und Fettsäuren. Wintgen und Keller¹⁾ haben Ammoniak nachgewiesen. Ammoniakseife ist nach Noguchi²⁾ ein besonders kräftiger Aktivator. Sie wirkt auch direkt hämolytisch bei etwas größerer Menge. Dasselbe ist auch beim Handelslezithin der Fall. Rein dargestellte Phosphatide hämolysieren aber nicht oder jedenfalls erst in großer Konzentration. Es ist deswegen eine offene Frage, ob die mehr oder weniger zersetzten Phosphatide der Handelspräparate die Aktivatoren darstellen oder andere Bestandteile des Präparates. Ausgeschlossen ist die Phosphatidnatur des Aktivators hiermit nicht. Auch kann man nicht von der Möglichkeit absehen, daß in der Tat ein Lecithid im Sinne Kyes' vorkommt, obwohl Kyes' Beweisführung ungenügend ist.

Kontrolluntersuchungen hierüber sind deswegen vonnöten. Ich habe auch solche angestellt und werde mit meinen Untersuchungen über Agfa-Lecithin anfangen.

Schon einige vorläufige Versuche ergaben ein mit Kyes Angaben nicht übereinstimmendes Ergebnis.

Dialysiert man eine 0,1%ige Lecithinlösung, so geht ein Teil der aktivierenden Substanzen in das wasserklare Dialysat über. Und die Phosphatide dialysieren nicht, auch sind wohl Phosphatidlösungen niemals ganz klar. Versetzt man eine 0,1%ige Lecithinlösung mit Aceton in der Proportion 3 Azeton: 10 Lecithinlösung (0,1 g Agfa-Lecithin + 5 ccm Methylalkohol + 95 ccm 0,8%ige NaCl-Lösung) bekommt man einen beträchtlichen Niederschlag. Das Filtrat opalesziert nur schwach. Im Filtrate aber findet man die gesamte Aktivatorquantität, während der Niederschlag, welcher eine positive P-Reaktion gibt, unwirksam ist.

Gehen wir nunmehr zu Kyes' Versuchen über: Kyes hat Kobragiftlösung mit Lecithin-Chloroformlösung geschüttelt und aus der Chloroformlösung, welche das Kobragift aufgenommen hat, mit Äther bei -12° das Lecithid niedergeschlagen. Während des Schüttelns wird die saure Reaktion nach Titration mit Alkali abgestumpft. Das Lecithid wurde wieder in Alkohol gelöst und aufs neue mit Äther gefällt.

¹⁾ Arch. d. Pharmakol. 244, 1, 3, 1906.

²⁾ Diese Zeitschr. 6, 327, 1907.

Es wird bemerkt, daß Kyes überhaupt keine Kontrolluntersuchungen gemacht hat. Dies ist zu bedauern, da ihm mehrere Fehler untergelaufen sind. Erstens wird die Acidität mit Phenolphthalein als Indikator bestimmt. Da aber die Titration in alkoholischer Lösung (5 ccm Emulsion + 5 ccm Amylalkohol + 10 ccm Äthylalkohol) ausgeführt worden ist, so ist Phenolphthalein als Indikator unbrauchbar. Man muß wegen des Zurückdrängens der Dissoziation einen bedeutenden Überschuß von Alkali bis Rotfärbung hinzufügen — wie bekannt und leicht kontrollierbar ist. Zu einer solchen Mischung ohne Lecithin konnte ich z. B. beinahe 1 ccm $\frac{n}{s}$ -Natronlauge zufügen, ohne die geringste Rotfärbung zu bekommen.

Zweitens ist es längst bekannt, daß viele Phosphatide — und besonders die des Eigelbes — bei Abkühlung ihrer alkoholischen und ätherischen Lösung ausgefällt werden. Es ist deswegen zu befürchten, daß bei diesem Verfahren das Lecithid jedenfalls nicht rein dargestellt werden kann.

Drittens enthält das Eigelb auch ätherunlösliche Phosphatide. Und daß solche jedenfalls auch in den Handelspräparaten vorkommen, ist sehr leicht zu beweisen. Versetzt man z. B. eine Probe von Agfa-Lecithin mit Äther, so bleiben reichliche Mengen ungelöst zurück.

Es besteht deswegen der Verdacht, daß bei Kyes' Verfahren zur Kobragiftlecithidherstellung verschiedene Körper ausgeschieden werden, und weiter, daß vielleicht das Gift mit diesen niedergerissen werden konnte — ebenso wie man z. B. durch Kolestearin Lab und ähnliche Enzyme ausfällen kann. Eine solche Auffassung wird durch die Beobachtung von v. Dungern und Coca¹⁾ gestützt, daß das Kyessche Kobragiftlecithid natives Kobragift in erheblicher Menge enthält. Ich habe deswegen mit Agfa-Lecithin einen Blindversuch angestellt, worin nach Kyes verfahren wurde, nur mit dem Unterschied, daß kein Kobragift zum Lecithin gesetzt wurde. Die Neutralisation wurde auch unterlassen, da Kyes' Angaben hierüber unbrauchbar sind.

2 g Agfa-Lecithin wurden in 10 ccm Chloroform gelöst und mit 10 Vol. Äther versetzt. Der Niederschlag wurde nach drei

¹⁾ Münch. klin. Wochenschr. 1907, 2317.

Tagen bei -12° in Alkohol gelöst und wieder bei -12° mit 10 Vol. Äther gefällt. (Da ich über kein passendes Kältezimmer verfüge, hat mein Freund Dr. Madsen, Direktor des Seruminstituts in Kopenhagen, diesen Versuch für mich ausgeführt. Auch hier möchte ich Dr. Madsen meinen Dank aussprechen.) Vergleicht man die Eigenschaften dieses Präparates, welches in reichlicher Menge ausgeschieden wurde, mit denselben von dem Kobralecithid, so hat Kyes für dieses gefunden: „Vom Lecithin, wie auch vom Kobragift unterscheidet es sich ferner durch die Löslichkeitsverhältnisse.“

Tabelle.

Lösungsmittel	Kobralecithid	Präparat aus Agfa-Lecithin	Lecithin
Wasser	bei 30° löslich	wenig opaleszierende Lösung ¹⁾	unlöslich
Chloroform	löslich	löslich	löslich
Alkohol	„	„	„
Äther	unlöslich	unlöslich	„

Die „absolute Reinheit“ des Kobralecithids, wie Kyes annimmt, dürfte deswegen nicht zutreffen. Die experimentelle Untersuchung hat aber ein mit der theoretischen Betrachtung übereinstimmendes Ergebnis gegeben.

Und ich komme deswegen zu der Schlußfolgerung, daß Kyes' Kobralecithid erstens unmöglich ein reines Präparat sein kann. Es ist zweitens eine offene Frage, ob es aus einer Mischung von Gift und Aktivator besteht oder eine chemische Verbindung darstellt. Welcher dieser Aktivator ist, geht nicht aus Kyes' Arbeiten hervor. Man kann an zersetzte Phosphatide und Fette bzw. Seifen denken.²⁾

¹⁾ In Methylalkohol gelöst bildet es mit Wasser (1:10) eine wasserklare Lösung.

²⁾ Gegen mein absprechendes Urteil über den Wert der Handelspräparate (siehe die Abhandlung: Biochemie der Zellipode. Ergebn. der Physiol. 6) hat Paul Mayer (diese Zeitschr. 8, 199, 1908) Einspruch erhoben. Obwohl nicht im chemischen Sinne rein, ist doch

II.

Wenn man sich über die aktivierende Rolle des Lecithins, bzw. der Phosphatide orientieren will, muß man erstens dafür Sorge tragen, daß native Phosphatide und nicht Zersetzungsprodukte vorliegen. Zweitens dürfen jedenfalls keine anderen als Aktivatoren erkannte Substanzen als Verunreinigungen vorkommen. Und drittens muß man zuletzt die einzelnen Phosphatide zur Prüfung darstellen können. Diese Forderungen sind sämtliche schwer zu erfüllen. Phosphatide werden leicht verändert. Verunreinigungen haften sehr fest, und es ist zu bedenken, daß solche nur spurenweise zu existieren brauchen, um eine komplette Aktivierung zu erzielen. Etwa $\frac{5}{1000}$ mg Ammoniakseife genügt unter Umständen zur Hämolyse von 2 ccm 5% Blut + Kobragift. Und betreffs der Reindarstellung der verschiedenen Phosphatide stellt dies Problem ein noch nicht erzielttes Desiderat dar.

Als Material zur Darstellung der Handelspräparate dient das Eigelb. Ich habe es deswegen auch als Ausgangspunkt genommen. Während meiner Arbeit erschien die Publikation von Stern und Thierfelder, welche mir von Nutzen gewesen ist. Meine Erfahrungen stimmen im ganzen mit den Ansichten dieser Forscher überein. Unsere Fragestellungen waren aber ganz verschieden; denn während Stein und Thierfelder die Reindarstellung der Phosphatide mit folgendem Studium der Eigenschaften dieser anstrebten, war es meine Aufgabe, zu untersuchen, welche Phosphatide Aktivatoren sind.

nach Mayer das Agfalecithin ein vortreffliches Präparat. Auf die von mir angeführten Argumente hat Mayer doch keine Rücksicht genommen, und Mayers subjektive Ansicht stellt wohl eigentlich keinen Beweis dar. Hat doch Erlandsen erwiesen, daß z. B. das Lecithin (wahrscheinlich auch andere Phosphatide) bei der Verbindung mit CdCl_2 ein Molekül Fettsäure verliert, und Agfalecithin ist eben aus der CdCl_2 -Verbindung isoliert. Kann man doch weiter allein durch Schütteln des „Lecithins“ mit Aceton reichlich Fett extrahieren, und kann man es doch, wie bemerkt, durch Äther in lösliche und unlösliche Produkte trennen. Diese und andere Tatsachen hat Mayer erst zu widerlegen; nachher können wir über seine Ergebnisse der optischen Verhältnisse des Lecithins usw. diskutieren.

Ich habe in allem drei Darstellungsversuche in dieser Absicht vorgenommen, jedesmal aus 10 frischen Eiern. Das Ei-gelb wurde erst durch Ventilation getrocknet und dann mit Äther dreimal extrahiert. Während der Ätherextraktion wurde die Luft durch Kohlensäure ersetzt und die Kolben gegen Licht geschützt.

Die vereinigten Ätherextrakte wurden stark konzentriert und mit 10 bis 20 Vol. Aceton niedergeschlagen, der Niederschlag wieder in wenig Äther — ca. 50 ccm — gelöst (wobei ein geringer Teil ungelöst blieb) und aufs neue mit 10 Vol. Aceton gefällt. Der Niederschlag wurde wieder in Äther gelöst (auch jetzt blieb ein geringer Teil zurück) und nochmals mit Aceton niedergeschlagen. Diese dritte Acetonlösung war bereits ziemlich ungefärbt und gab mit Wasser nur eine geringe Opaleszenz. Trotzdem enthielt der Niederschlag fortwährend reichlich Fett und noch Kolesterolin. Dieselbe Erfahrung haben Stern und Thierfelder gemacht.

Die Acetonlösungen aktivisieren nicht Kobragift; ob ein Aktivator fehlte oder vielleicht das Kolesterolin die Wirkung eines solchen aufhob, lasse ich unentschieden. Der in Äther unlösliche Teil enthielt außer wenig Ovovitellin auch das von Stern und Thierfelder und Fränkel isolierte neue Phosphatid. Dieses war ohne Wirkung und soll deswegen nicht mehr berücksichtigt werden.

Die gereinigten Ätherextrakte wurden in den drei Versuchen auf verschiedene Weise verarbeitet.

Im ersten Versuch würde das Lecithin durch Verwendung von kochendem Aceton dargestellt in der Hoffnung, daß die azetonlöslichen Verunreinigungen nach Abkühlung in Lösung bleiben sollten. Das war aber nicht der Fall. Der nach Abkühlung ausgeschiedene Niederschlag wurde weiter mit Methylalkohol fraktioniert. Ein großer Teil blieb ungelöst zurück und entsprach der in Alkohol unlöslichen, in Äther löslichen Fraktion von Stern und Thierfelder. Wir wollen diese Fraktion die Kephalinfraktion und die alkohollösliche Fraktion die Lecithinfraktion nennen.

Sowohl die Kephalin- als auch die Lecithinfraktion hatten aktivierende Wirkung. Da sie aber lange nicht rein waren und das Material bei den Manipulationen stark zusammen-

geschmolzen war, wurde von einer weiteren Reindarstellung Abstand genommen. Das Verfahren mit kochendem Azeton dürfte nicht empfehlenswert sein.

In dem zweiten Versuch wurde der gereinigte Azetonniederschlag in 40 ccm Methylalkohol gelöst. Die Lösung entsprach der Lecithinfraction, der Rückstand der Cephalinfraction.

Von der Lecithinfraction wurde 1 ccm in 99 ccm 0,8% NaCl-Lösung übergeführt.

0,165 mg Substanz = 0,3 ccm + 0,02 ccm 0,1% Kobragiftlösung = Spur von Hämolyse

0,110 mg Substanz = 0,2 ccm + 0,02 ccm 0,1% Kobragiftlösung = 0.

Eine nämliche Quantität Agfa-Lecithin genügt um totale Hämolyse mit 0,02 ccm 0,1% Kobragiftlösung zu erzeugen.

Die methylalkoholische Lösung wurde eingetrocknet und mit Aceton (190 ccm) fraktioniert. Der Rückstand wurde wieder in 40 ccm Methylalkohol gelöst.

10 ccm der Acetonlösung mit 46,2 mg Substanz wurde mit 90 ccm 0,8% NaCl-Lösung versetzt.

0,139 mg Substanz	= 0,3 ccm + 0,02 ccm Kobralösung	= totale Hämolyse
0,092 „	„ = 0,2 „ + „	= starke „
0,046 „	„ = 0,1 „ + „	= schwache „

1 ccm der Methylalkohollösung mit 9 ccm 0,8% NaCl-Lösung:

0,486 mg = 0,3 ccm + 0,02 Kobralösung = 0.

Dieselben Mengen Gift und Phosphatid wurden dann erst 4 $\frac{1}{2}$ Stunden miteinander digeriert. Der Erfolg war derselbe.

Bei Behandlung mit Methylalkohol blieb ein geringer Rest zurück. Dieser wurde in 50 ccm Kochsalzlösung aufgeschwemmt.

0,3 ccm + 0,02 Kobralösung	= total
0,2 „ + „	= „
0,1 „ + „	= stark.

Die ursprüngliche methylalkoholische Lösung ließ sich demgemäß in drei Fraktionen trennen, wovon 2 Fraktionen, die acetonlösliche und in Methylalkohol unlösliche, aktiv waren, während die dritte Fraktion, welche Lecithin entsprach, völlig unwirksam war.

Die Kephalinfraktion wurde in 50 ccm Äther gelöst. Der Rückstand war inaktiv.

10 ccm Ätherlösung in 100 Kochsalzlösung, Äther durch Erwärmen verjagt.

$$\begin{array}{rcll} 0,18 \text{ mg Substanz} & = & 0,3 \text{ ccm} + 0,02 \text{ Kobralösung} & = \text{total} \\ 0,12 \text{ „ „} & = & 0,2 \text{ „} + & \text{„} = \text{„} \\ 0,06 \text{ „ „} & = & 0,1 \text{ „} + & \text{„} = \text{„} \end{array}$$

Die Kephalinfraktion war also stark aktiv. Es fragt sich aber, ob der Aktivator aus einem oder mehreren Phosphatiden besteht oder den Verunreinigungen entspricht. Die ätherische Lösung war bernsteingelb gefärbt. So war es auch immer mit den aktiven methylalkoholischen Lösungen der Fall, während die gereinigte methylalkoholische Lösung farblos oder jedenfalls sehr schwach gefärbt war. Und trotz der vielen Reinigungen gelangen doch Stern und Thierfelder nicht zu ganz reinen Präparaten der Kephalinfraktion.

30 ccm Ätherlösung wurden deswegen bis 10 ccm verdunstet und mit 8 Vol. Aceton versetzt. 20 ccm Filtrat + 80 ccm Kochsalzlösung ergaben eine schwach, aber deutlich opaleszierende Lösung.

$$0,4 \text{ ccm} + 0,02 \text{ Kobralösung} = 0.$$

Von der oben erwähnten Kephalinlösung in NaCl wurde eine Probe mit Aceton versetzt. Niederschlag unverändert wirksam, Filtrat inaktiv. Das entgegengesetzte Verhältnis wurde bei Agfa-Lecithin gefunden. Die Versuche geben für die Auffassung keine Stütze, daß die supponierten Verunreinigungen den Aktivator darstellen. Auf der andern Seite darf man nicht übersehen, wie außerordentlich fest die Verunreinigungen an den Phosphatiden haften. Und es ist auch nicht von vornherein ausgemacht, daß diese gerade acetonlöslich sein sollen. Von einer weiteren Reinigung der Kephalinfraktion wurde Abstand genommen.

Im dritten Versuch wurden die quantitativen Verhältnisse näher berücksichtigt.

Das erste und zweite Ätherextrakt wurde nach Konzentration mit dem dritten vereinigt = 480 ccm. 1 ccm davon + 90 ccm Kochsalzlösung + 10 ccm Methylalkohol.

$$\begin{array}{rcll} 0,4 \text{ ccm} + 0,02 \text{ Kobralösung} & = & \text{deutliche Hämolyse} \\ 0,3 \text{ „} + & \text{„} & = \text{Spur.} \end{array}$$

Die Ätherlösung enthielt demgemäß weniger als 120 000 aktivierende Einheiten $\left(\frac{0,4 \cdot 1}{100 \cdot 480} = 120\,000\right)$.

Der gereinigte Acetonniederschlag wurde in 100 ccm Äther aufgeschlemmt. 1 ccm + 20 ccm NaCl-Lösung; Äther weggekocht.

0,04 ccm + 0,02 Kobralösung = totale Hämolyse
0,02 „ + „ = starke „

Totale Ätherlösung enthielt zwischen 50 000 $\left(\frac{0,04 \cdot 1}{20 \cdot 100}\right)$ und 100 000 $\left(\frac{0,02 \cdot 1}{20 \cdot 100}\right)$ aktivierende Einheiten.

Die Ätherlösung wurde nach Konzentration bis auf 50 ccm mit 415 ccm Azeton gefällt. Acetonlösung nach 24 Stunden dekantiert. Sie war unwirksam. Rückstand wieder in 100 ccm Äther gelöst und vom ungelösten durch Zentrifugierung getrennt. 1 ccm + 20 NaCl-Lösung, Äther verjagt.

0,04 ccm + 0,02 Kobralösung = beinahe Total
= ca. 50 000 Einheiten.

Ätherextrakt bis 20 ccm konzentriert und mit 100 Äthylalkohol versetzt. Reiche Fällung in 100 Äther gelöst (Kephalinfraktion); gelb gefärbtes Filtrat (Lecithinfraktion).

Kephalinfraktion 1 ccm + 10 ccm NaCl-Lösung } Äther verjagt.
Lecithinfraktion 1 ccm + 10 ccm „ }

Kephalinfraktion 0,04 ccm + 0,02 Kobralösung = total = 25 000 Einheiten
Lecithinfraktion 0,06 „ + „ = „ = 20 000 „

Kephalinfraktion bis 20 ccm konzentriert und mit 200 Azeton gefällt. Azetonlösung inaktiv. Der Rückstand, in 100 Äther gelöst und vom ungelösten abzentrifugiert, enthielt 20 000 bis 25 000 Einheiten. Die ätherunlösliche Fraktion war unwirksam. Die Ätherlösung wurde nochmals eingetrocknet und in 100 ccm Äther gelöst. 10 ccm enthielt 0,1245 g Substanz. 1 ccm + 10 NaCl-Lösung. Äther weggekocht:

mgr = 0,08 ccm + 0,02 Kobralösung = total = 23 000 Einheiten.

Lecithinfraktion bis 20 ccm konzentriert und mit Azeton (230 ccm) gefällt. Der Rückstand war teilweise in 100 ccm Äthylalkohol löslich. Der unlösliche Teil wurde in 100 ccm Äther gelöst.

Acetonlösung 2 ccm + 8 NaCl-Lösung

Alkohollösung 2 „ + 8 „

Ätherlösung 2 „ + 8 „ Äther weggekocht + 2 ccm Alkohol

Acetonlösung 0,1 ccm + 0,02 Kobralösung = total = 12 500 Einheiten
 Alkohollösung 0,05 „ + „ = „ = 10 000 „
 Ätherlösung 0,15 „ + „ = „ = 8 500 „

Da indessen die Alkohollösung noch gefärbt war und beim Stehen eine Fällung entstand, wurde die Lösung bis 20 ccm konzentriert. Es wurden reichliche Mengen Substanz ausgeschieden und die Lösung war wenig gefärbt. Da indessen das Lecithin sehr leicht in Alkohol löslich ist, muß die Lecithinkonzentration jedenfalls hier größer sein als in der ursprünglichen Lösung. 1 ccm + 9 ccm NaCl-Lösung ergab eine stark opaleszierende Flüssigkeit.

1,18 mg Substanz = 0,08 ccm + 0,02 Kobralösung = mäßige Hämolyse
 = < 2500 Einheiten.

Zur besseren Übersicht stelle ich die Ergebnisse in folgender Tabelle zusammen:

Ätherextrakt < 120 000 Einheiten mit Azeton behandelt.			
Acetonlösung = 0		Rückstand = 50 000—100 000 in Äther gelöst und mit Azeton gefällt	
Acetonlösung = 0		Rückstand = 50 000 in Äther gelöst	
Rückstand = 0		Ätherlösung, mit Alkohol gefällt	
Alkohollösung = 20 000, mit Aceton gefällt		Residuum in Äther gelöst = 25 000, mit Aceton niedergeschlagen	
Acetonlösung	Rückstand mit	Acetonlösung	Rückstand in Äther gelöst
12 500 = 25 %	Alkohol extrahiert	= 0	
der totalen Quantität.		Lösung = 25 000 Residuum = 0	
Alkohollösung	Residuum in Äther	= 50 % der totalen Quantität	
10 000	8 500 = 7 % der	(Kephalin).	
	totalen Quantität		
bis 20 konzentriert	(Kephalin).		
Lösung = < 2500			
= < als 5 % der totalen Quantität (Lecithin).			
ca. 15 % verloren gegangen, bzw. verbraucht worden.			

In den referierten Versuchen sind wir vier verschiedenen Fraktionen begegnet, nämlich: 1. der acetonlöslichen Fraktion, 2. der in Alkohol und Äther unlöslichen Fraktion, 3. der Lecithinfraktion und 4. der Kephalinfraktion.

Von diesen haben wir von der zweiten Fraktion als unwirksam abgesehen.

Sämtliche übrigen Fraktionen stellen sicher Mischungen dar. Von einer Reindarstellung der betreffenden Körper ist Abstand genommen teils aus dem Grunde, daß man nicht ohne große Schwierigkeiten hierzu kommen kann, und die betreffenden Körper sind dennoch ungenügend charakterisiert. Teils aber deshalb, daß die biologische Methode eine weit feinere ist, als es unsere chemischen Methoden sind. Selbst im chemischen Sinne rein dargestellt können die Substanzen genügend unrein sein, um eine biologische Reaktion auslösen zu können.

Das einzig mögliche Verfahren dürfte demgemäß die Schlußfolgerung per exclusionem sein. Wenn eine Fraktion unwirksam ist, können die darin erhaltenen Körper keine Aktivatoren sein, soweit keine Hemmungskörper vorliegen. Von solchen kommt hauptsächlich nur das Kolesterol in Betracht, welches nur für die erste Fraktion von Bedeutung sein kann. Betreffs der ersten Fraktion haben wir sowohl aktive als inaktive Acetonlösungen gefunden. Die ursprünglichen Azetonextrakte und das Acetonextrakt aus der Kephalinfraktion waren unwirksam, während das Extrakt aus der Lecithinfraktion immer stark wirksam war. Im zweiten Versuche bewirkten 0,09 mg dieser Fraktion totale Hämolyse. Nun ist es bekannt, daß die Azetonlösung auch Phosphatide enthält, und die Frage steht deswegen offen, welche der Substanzen dem Aktivator entspricht. Im dritten Versuch wurden ca. 25 % der totalen Aktivatorquantität in dieser Fraktion gefunden.

Die Lecithinfraktion muß das Lecithin enthalten. Es ist aber erwiesen, daß im zweiten Versuche 0,49 mg Substanz keine Hämolyse und im dritten 1,18 mg mäßige Hämolyse bewirkte. Da nun eine weit geringere Quantität Agfa-Lecithin bei derselben Kobragiftmenge genügt, um totale Hämolyse zu bewirken (Kyes und Sachs¹⁾ fanden für 1 ccm Ochsenblut und 0,005 ccm 1% Kobralösung 0,0075 mg Agfa-Lecithin), geht aus den Versuchen mit Bestimmtheit hervor, daß das Monophosphatid Lecithin unmöglich etwas mit Aktivierung des Kobragiftes zu tun hat. Ein Kobragiftlecithid im Sinne Kyes' kann demgemäß überhaupt nicht existieren, und dieser Begriff ist infolgedessen als unzutreffend fallen zu lassen.

¹⁾ Berl. klin. Wochenschr. 1908, Nr. 2 bis 4.

Die Kephalinfraktion enthält die größte Quantität des Aktivators oder ca. 50 % der Totalmenge. Auch ist die größte relative Wirkung hier gefunden, indem im zweiten Versuch 0,06 mg totale Hämolyse bewirkten. Es fragt sich dann, ob die Befunde für die Aktivatornatur dieses Phosphatides sprechen, oder ob man eher an eine Wirkung von Verunreinigungen denken darf.

Für eine aktivierende Wirkung spricht erstens der Umstand, daß man durch Aceton nichts von dem Aktivator entfernen kann. Beim Lecithin war gerade das Entgegengesetzte der Fall.

Zweitens haben Kyes und Sachs¹⁾ ein Originalpräparat von Kochs Kephalin aus Schafsgehirn untersucht und eine markante Wirkung desselben gefunden.

Drittens haben Stern und Thierfelder gefunden, daß die Jodzahl des Kephalins aus Eigelb 70,4 entspricht, während dem Lecithin nur eine Jodzahl von 48,7 und dem ätherunlöslichen Phosphatid eine Jodzahl von 34,3 zukommen. Da man nun ferner weiß, daß ungesättigte Fettsäuren Aktivatoren sind, während die gesättigten inaktiv sind, konnte man per analogiam ein ähnliches Verhältnis für die Phosphatide präsumieren.

Gegen die Aktivatornatur des Kephalins läßt sich aber auch etwas anführen.

Daß Kochs Kephalin aktivierend wirkte, könnte aus dem Vorkommen minimaler Verunreinigungen erklärt werden. Denn auf der anderen Seite war ein Protagonpräparat von Kossel unwirksam.²⁾ Und das Protagon besteht hauptsächlich aus Kephalin. Weiter war in meinem zweiten Versuch schon 0,06 mg Kephalin für totale Hämolyse genügend. Im dritten Versuche aber mußte 1 mg zur totalen Hämolyse zugefügt werden.

In Übereinstimmung hiermit war das Ätherextrakt, d. h. die Kephalinlösung immer gefärbt, und die stark gefärbten Lösungen waren überall sehr aktiv. Bei der Lecithinfraktion wurden die färbenden Verbindungen durch Azeton entfernt. Auch kamen, wie bemerkt, Stern und Thierfelder nach vielen Reinigungen doch nicht zu ganz reinen Produkten dieser Fraktion.

¹⁾ l. c.

²⁾ Kyes, Berl. klin. Wochenschr. 1902, Nr. 38 bis 39.

Endlich habe die gereinigten CdCl_2 -Verbindungen der Phosphatide aus Eigelb untersucht. Sie waren inaktiv, während nicht gereinigte CdCl_2 -Präparate aktiv waren.

Die Frage steht deswegen noch offen, ob das Kephalin selbst einen Aktivator darstellt oder nicht. Bei einer solchen Sachlage ist es ganz aussichtslos, die Frage zu diskutieren, inwieweit ein dem Kobralezithid entsprechendes Phosphatid vorkommen kann.

Es fragt sich dann zuletzt, ob andere Phosphatide Aktivatoren sind. Von Phosphatiden habe ich als Repräsentanten der übrigen Hauptgruppen untersucht:

1. das Monamidophosphatid Cuorin und
2. das Diamidophosphatid des Eigelbes.

Beide waren völlig inaktiv.

Kyes hat gefunden, daß Zerebrin inaktiv ist. Die Zerebroside dürften deswegen kaum Aktivatoren sein.

Pascucci¹⁾ hat sogar für künstliche Lipoidmembranen gezeigt, daß Zerebrin ein Hemmungskörper gegen Kobragift ist. Dasselbe ist auch mit Kolesterolin der Fall.

Sieht man deswegen von den Fetten und Seifen ab, so ist unter den gesamten Lipoidstoffen nur das einzige Phosphatid Kephalin vielleicht ein Aktivator. Mehrere Tatsachen sprechen aber bestimmt gegen die Aktivatornatur des Kephalsins.

Auch für mehrere andere immunitätstheoretische Fragen, z. B. die Komplementablenkung bei Syphilis, ist das Lecithin jetzt in den Vordergrund gezogen worden.

Unglücklicherweise sind auch hier immer die Handelspräparate verwendet worden. Man weiß deswegen hier niemals, was eigentlich die Reaktionen auslöst. Und irgendwelche Schlußfolgerungen bezüglich der Organphosphatide in dieser Hinsicht zu ziehen, ist deswegen völlig unerlaubt.

¹⁾ Beiträge z. chem. Physiol. u. Pathol. 6, 552.

Zur Methodik der Zuckerbestimmung.

Von

Ivar Bang.

(Aus dem medizinisch-chemischen Institut der Universität Lund.)

(Eingegangen am 9. Juni 1908.)

In dieser Zeitschrift hat neulich Jessen-Hansen¹⁾ eine eingehende Prüfung meiner Methode zur Zuckerbestimmung publiziert. Obgleich ich zu den tatsächlichen Befunden von J.-H. nichts zu bemerken habe und nur mit seinem anerkennenden Urteil über dieselbe zufrieden sein kann, möchte ich doch einige Bemerkungen über die theoretischen Betrachtungen von J.-H. hinzufügen.

Bei einer Nachprüfung einer Methode muß man selbstverständlich die möglichen Fehlerquellen genau berücksichtigen, was man am besten dadurch tut, daß man unter Voraussetzungen arbeitet, welche zwar praktisch nicht oder nur wenig zur Verwendung kommen, aber andererseits die betreffende Fehlerquelle prädominieren läßt. Hierdurch läßt sich die Größenordnung der Fehlerquelle finden. Und ist sie unter diesen Umständen nur klein gefunden, kann man bei gewöhnlicher Verwendung, wo die Vorschriften befolgt werden sollen, mehr oder weniger davon absehen.

Bei der Untersuchung verschiedener Fehlerquellen, wie Schnelligkeit des Zuflusses von Hydroxylaminlösung, „weißer Lösung“, Temperatur, Volumen der „blauen“ Lösung und Konzentration der CuSO_4 -Lösung, hat auch J.-H. dieses Verfahren gebraucht und ist zu der Auffassung gekommen, daß diese Fehlerquellen von einer geringen Größenordnung sind, welche die Brauchbarkeit der Methode nicht unmöglich machen.

¹⁾ Diese Zeitschr. 10, 249, 1908.

Ich werde zufügen: die Fehlerquellen kommen nur dann in Betracht, wenn man die Vorschrift nicht befolgt. Und es ist in dieser Beziehung vorzuheben, daß man in keiner Weise die Vorschriften strenger befolgen muß als bei jeder anderen Methode. Wenn erstens J.-H. betreffs einer Schnelligkeit des Zuflusses von 10 bis 15 Sekunden und 20 ccm eine Differenz von 0,8 ccm weißer Lösung und von 15 bis 30 Sekunden 0,5 ccm Unterschied findet, kann man bei gewöhnlicher Schnelligkeit (15 Sekunden) davon ausgehen, daß geringere Differenzen der Schnelligkeit, welche hier allein in Betracht kommen, ohne Belang sind. Dies um so mehr, als bei einer Zuckertitration weniger als 50 ccm weißer Lösung benutzt, und die Differenz bei 50 ccm gefunden ist.

Dasselbe trifft bei der Temperatur zu. Es ist vorgeschrieben, daß man bis Zimmertemperatur abkühlen soll. Eine Differenz hiervon bis 32° bzw. 8° ist praktisch undenkbar. Und solche Differenzen bedingen doch nur bei 50 ccm weißer Lösung 1,2 ccm bzw. 0,8 ccm Differenz.

Ebenso das Volumen. Man kocht immer nur 3 Minuten und kühlt dann rasch ab. Daß hierbei nicht immer genau dieselbe Flüssigkeitsmenge wegekocht, soll zugegeben werden. Größere Unterschiede kommen aber nicht in Betracht, und da eine Differenz von 10 ccm nur eine Differenz von 0,7 ccm bei 50 ccm weißer Lösung bedingt, kann man ruhig auch von dieser Fehlerquelle absehen.

Ich glaube deswegen, daß die Versuche von J.-H. eben beweisen, daß die möglichen Fehlerquellen bei der praktischen Verwendung meiner Methode nicht ernstlich in Betracht kommen können, wenn man mit einer gewöhnlichen Schnelligkeit titriert, ungefähr bis Zimmertemperatur abkühlt und 3 Minuten kocht. Dies um so weniger, als die meisten gefundenen Fehler kaum außerhalb der Fehlergrenzen liegen. Daß ein Blindversuch die Differenz von 0,7 ccm aufweist, sagt nichts. Der Kupferverbrauch bei den verschiedenen Zuckerquantitäten ist empirisch gefunden. Ob dann der Zucker allein oder auch die konstante Volumverminderung dem Kupfer entsprechen, ist ganz gleichgültig. Nur für die extrapolierten Ziffern 1 und 2 mg dürfte vielleicht eine Korrektur nötig sein. — Eine größere Verschiebung des Nullpunktes kann aber nicht vorkommen,

wie J.-H. meint. Denn es kochen etwa 10 ccm weg, und nach Abkühlung hat man auch hier etwa 50 ccm blaue Lösung zurück.

Der stringente Beweis für die Exaktheit der Methode, wie sie praktisch zur Verwendung kommt, muß deswegen nach meiner Ansicht darin bestehen, daß man bei mehreren Parallelversuchen eine genügende Übereinstimmung findet. Bei solchen Versuchen hat J.-H. eine etwas weniger gute Übereinstimmung als ich und meine Mitarbeiter gefunden. Trotzdem möchte ich vorläufig auf J.-H.'s Beobachtungen den größeren Wert legen. Selbst aber wenn man die Befunde von J.-H. zugrunde legt, hat doch J.-H. nimmer eine Differenz von über 1 mg Zucker beobachtet, was die praktische Brauchbarkeit derselben zeigen kann.

Herr J.-H. findet das System meiner Tabelle unglücklich gewählt. Nur wenn beide Lösungen richtig sind, wird man dieselbe verwenden können. Nach unseren Erfahrungen bekommt man aber so gut wie immer „richtige“ Lösungen, wenn man die Vorschrift befolgt. Die Beobachtungen anderer Forscher stimmen auch hiermit überein.

Da es sich aber erwiesen hat, daß die weiße Lösung unverändert haltbar ist, muß ich der Auffassung J.-H.'s beistimmen, daß man wohl besser von der weißen Lösung als Standardlösung ausgeht. Denn die weiße Lösung kann man bequem äußerst genau herstellen. Übrigens will ich bemerken, daß ich niemals einen größeren Unterschied zwischen der weißen und blauen Lösung als 0,1 ccm auf 10 ccm gefunden habe. Und selbst ein solcher Unterschied spielt doch keine größere Rolle und ist zudem äußerst einfach zu berechnen.

Zur Frage des Albumosengehaltes des Blutes.

Von

Ernst Freund.

(Aus dem chemisch-pathologischen Laboratorium der k. k. Kranken-Anstalt „Rudolf-Stiftung“, Wien.)

(Eingegangen am 9. Juni 1908.)

Die Antwort Abderhaldens auf meine zahlreichen, bezüglich der Verwertbarkeit seiner Angaben gestellten Anfragen und bezüglich der Richtigstellungen seiner Ansichten zeichnet sich hauptsächlich durch das aus, was sie nicht enthält.

Ich konstatiere dem gegenüber, daß Abderhalden keine Erwiderung gegenüber meinem Vorhalte vorbringt, daß er bei dem Nachweise der Albumosen unrichtig vorgegangen sei, indem er teils an zehnfach, also zu stark verdünntem Blute oder Plasma die Biuretreaktion versuchte, teils durch Mastixemulsion oder Kupferacetat Albumosen, die er in Lösung erhalten wollte, unlöslich machte.

Da mir ein genaues Eingehen auf die Erwiderung Abderhaldens durch Platzmangel der Zeitschrift unmöglich gemacht ist, muß ich mich begnügen, nur noch auf die Behauptung Abderhaldens einzugehen, daß die Kontroverse davon herrührt, daß er an Plasma und ich an Gesamtblut gearbeitet habe.

Ich zitiere diesbezüglich Abderhalden gegen Abderhalden:
Abderhalden schreibt:

1. Über das Vorkommen von Albumosen im Blute, von Emil Abderhalden und Karl Oppenheimer, Zeitschr. f. physiol. Chem. 42, 156, Juni 1904:

„Aus diesen Befunden geht hervor, daß ‚Albumosen‘ auf keinen Fall zu den normalen Blutbestandteilen zu rechnen sind.“

Abderhalden schreibt:

Zur Frage des Albumosengehaltes des Gesamtblutes, des Plasmas und des Serums. Diese Zeitschr. 10, 3, 280, Mai 1908:

„Wir haben nur mit Plasma und Serum gearbeitet und kommen also bei der Frage nach dem Albumosengehalte des Gesamtblutes gar nicht in Betracht.“

2. Abbau und Aufbau der Eiweißkörper im tierischen Organismus, von Emil Abderhalden, Zeitschr. f. physiol. Chem. 44, 36, Januar 1905:

„Das von den angeführten drei Versuchstierengewonnenem mit Fluornatrium an der Gerinnung verhinderte Blut wurde mit einer 10% Kochsalzlösung versetzt und hierauf mit wenig Essigsäure durch rasches Aufkochen enteiweißt.“

3. Auch in der Arbeit mit Funk und London, Zeitschr. f. physiol. Chem. 51 lautet der Schlußpassus S. 287, März 1907:

„Wir halten den Nachweis, daß sicher keine größeren Mengen von Abbauprodukten im Blute zirkulierten, für sehr wichtig.“

Ich konstatiere, daß Abderhalden in jeder seiner zitierten Arbeiten über Biuretreaktionen am enteiweißten Blute resp. über den Gehalt des Blutes an biuretgebenden Abbauprodukten berichtet und trotzdem in seiner neuesten Erwiderung klipp und klar behauptet: „Wir haben nur mit Plasma und Serum gearbeitet und kommen also bei der Frage nach dem Albumosengehalte des Gesamtblutes gar nicht in Betracht.“

Ich überlasse es Herrn Abderhalden, auch diesem krassen Widerspruch seiner eigenen Publikationen gegenüber „auf diese Sache nicht mehr einzugehen“; ich selbst werde unentwegt, solange in dieser Sache Unrichtigkeiten von seiner Seite publiziert werden, denselben entgegen-treten.

Berichtigung.

J. Traube.

In meiner Arbeit: „Über die Wirkung lipidlösllicher Stoffe auf rote Blutkörperchen“ im 10. Bande dieser Zeitschrift ist auf Seite 374 eine Tabelle entstellt wiedergegeben worden.

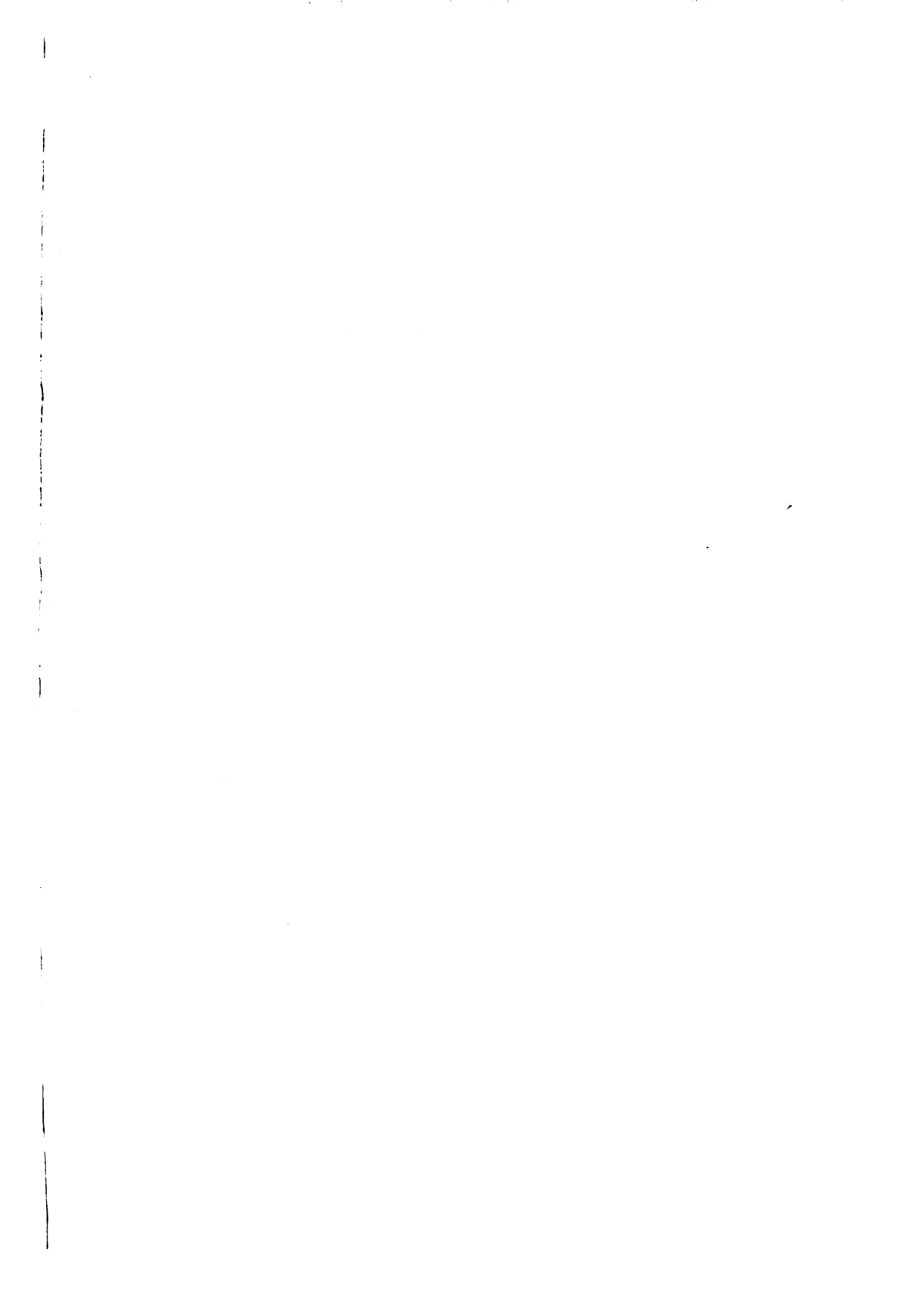
Diese Tabelle muß lauten:

Äthylalkohol	3,0	Äthylacetat	3,0
Propylalkohol	3,4	Propylacetat	3,0
Butylalkohol	3,5	Butylacetat	3,0
Amylalkohol		Äthylurethan	3,0
Septylalkohol	3,0	Propylurethan	
Octylalkohol			

Autorenverzeichnis.

- Arrhenius, Svante. Hämolytische Versuche. S. 161.
- Bang, Ivar. Kobragift und Hämolyse. I. S. 521.
- — Zur Methodik der Zuckerbestimmung. S. 538.
- Baumgarten, P. v. Die osmologische Auffassung der Häm- und Bakteriolyse. S. 21.
- Bayliss, W. M. Über die Permeabilität der Froschhaut mit besonderer Berücksichtigung der Wirkung von Kaliumionen und der Frage der irreziproken Durchlässigkeit. S. 226.
- Bottazzi, Fil. und A. Japelli. Physiko-chemische Eigenschaften des Blutes und der Lymphe nach Transfusion homogenen Blutes. S. 331.
- Bredig, G. und E. Wilke. Erregung und Beeinflussung katalytischer Pulsationen durch elektrische Ströme. S. 67.
- Buglia, G. Veränderungen der Oberflächenspannung des Blutserums unter dem Einfluß von verschiedenen Elektrolyten. S. 311.
- Dekhuyzen, M. C. Ein Kryoskop. S. 346.
- Eijkman, C. Die Überlebenskurve bei Abtötung der Bakterien durch Hitze. S. 12.
- Famulener, L. W. und Thorvald Madsen. Die Abschwächung der Antigene durch Erwärmung. S. 186.
- Foa, Carlo. Eine Methode graphischer Registrierung einiger Gärungsvorgänge. S. 382.
- Freund, Ernst. Zur Frage des Albumosegehaltes des Blutes. S. 541.
- Grigoriew-Manoilow, Olga. Zur Frage der biochemischen Eigenschaften des *Bacillus osteomyelitis*. S. 493.
- Grünhut, L. Die schweflige Säure in biochemischer Beziehung. S. 89.
- Hamburger, H. J. Permeabilität von Membranen in zwei entgegengesetzten Richtungen. S. 443.
- Hekma, E. Ein Beitrag zur Verwendung von citronensaurem Natron im Dienste von Untersuchungen über Phagocytose. S. 177.
- Hemmeter, John C. Die Wirkung der Totalexstirpation sämtlicher Speicheldrüsen auf die sekretorische Funktion des Magens beim Hunde. S. 238.
- Herlitzka, Amedeo. Calorimetrische Untersuchungen über die Eiweißfällung. S. 481.
- Herzog, R. O. und H. Kasarnowski. Über die Diffusion von Kolloiden. II. S. 172.
- Höber, Rudolf und Felicia Kempner. Beobachtungen über Farbstoffausscheidung durch die Nieren. S. 105.
- Japelli, A., siehe Bottazzi und Japelli.
- Kasarnowski, H., siehe Herzog und Kasarnowski.
- Kempner, Felicia, siehe Höber und Kempner.
- Korányi, A. v. Ähnlichkeiten und Unterschiede zwischen Seifen und Komplementen. S. 82.
- Leersum, E. C. van. Über die Ausscheidung von Aminosäuren während der Schwangerschaft und nach der Entbindung. S. 121.
- Liebermann, L. v. Können Antigene Amboceptoren binden? S. 405.

- Loeb, Jacques. Über den Unterschied zwischen isosmotischen und isotonischen Lösungen bei der künstlichen Parthenogenese. S. 144.
- Madsen, Thorvald, siehe Famulener und Madsen.
- Mendel, Lafayette B. Der Einfluß der Nahrung auf die chemische Zusammensetzung des Tierkörpers. S. 281.
- Neuberg, C. Lipolyse. Agglutination und Hämolyse. IV. S. 400.
- Pekelharing, C. A. Ein paar Bemerkungen über Fibrinferment. S. 1.
- Pick, E. P. und E. Pribram. Beiträge zur Kenntnis ätherempfindlicher und ätherlöslicher Substanzen des Blutserums und ihr Einfluß auf einige Immunitätsreaktionen. S. 418.
- Plesch, J., siehe Zuntz und Plesch.
- Polimanti, Osw. Physikalisch-chemische Veränderungen einiger normalen Flüssigkeiten während ihres Fäulnisprozesses. S. 260.
- Pribram, E., siehe Pick und Pribram.
- Rancken, Dodo und Robert Tigerstedt. Zur Kenntnis der Temperatur im menschlichen Magen. S. 36.
- Richet, Charles. Über die Wirkung schwacher Dosen auf physiologische Vorgänge und auf die Gärungen im besonderen. S. 273.
- Sabbatani, L. Physikalisch-chemische Betrachtungen über die pharmakologische und toxische Wirkung von Quecksilber. S. 293.
- Samojloff, A. Über den Einfluß der Gerinnung des Blutes auf die Leitfähigkeit desselben. S. 210.
- Strauß, H. Über einige Ergebnisse physikalisch-chemischer Studien über den Wasserstoffwechsel. S. 137.
- Tigerstedt, Robert, s. Rancken und Tigerstedt.
- Traube, J. Berichtigung. S. 542.
- Vandevelde, A. J. J. Über Milchsucker zerstörende Enzyme in der Milch. S. 61.
- Wilke, E., siehe Bredig und Wilke.
- Zuntz, N. u. J. Plesch. Methode zur Bestimmung der zirkulierenden Blutmenge beim lebenden Tiere. S. 47.



PERIODICAL

THIS BOOK IS DUE ON THE LAST DATE
STAMPED BELOW

RENEWED BOOKS ARE SUBJECT TO
IMMEDIATE RECALL

Library, University of California, Davis

Series 458A

61862		QP501
Biochemische zeitschrift.	B54	
		v.11

Biochemische zeitschrift

QP501
B54
v.11

PERIODICAL

61862

